

بِسْمِ اللّٰهِ الرَّحْمٰنِ الرَّحِيْمِ

تقدیم به (وچ بزرگ مادر) (بابه طباطبایی)
علی هائزیان

تقدیم به (وان پاک آسمانی فواهرم ، فاطمه همتی
محمد حسین همتی



دانشگاه فردوسی مشهد

انتشارات دانشگاه فردوسی مشهد، شماره ۳۸۱

ترکیب‌های بین فلزی

گرها رد ساونف

ترجمه‌ی

علی حائریان اردکانی

محمد حسین همتی

گرهارد ساوتاف

ترکیب‌های بین فلزی / گرهارد ساوتاف؛ ترجمه‌ی علی حائزیان اردکانی، محمد حسین همتی. - مشهد: دانشگاه فردوسی مشهد، ۱۳۸۲.

ص. : مصور، نمودار. - (دانشگاه فردوسی مشهد؛ ۲۶۴)

ISBN 964-386-017-5 ۱۲۵۰۰ ریال

فهرستنامه براساس اطلاعات فیبا.

عنوان اصلی
Intermetallics.

کتابنامه : ص. [۲۱۱ - ۲۴۸] ; همچنین به صورت زیرنویس.

۱. آلیاژها. ۲. ترکیب‌های بین فلزی.

الف. حائزیان اردکانی، علی، ۱۳۲۵ - ، مترجم. ب - همتی، محمد حسین، ۱۳۵۷ - ، مترجم. ج. دانشگاه فردوسی مشهد.
د. عنوان.

۶۶۹ / ۹۴

TA۴۸۳ / س ۲ ت

۱۳۸۲

م ۸۲ - ۱۴۰۰۷

کتابخانه ملی ایران



گرهارد ساوتاف

مواد بین فلزی

ترجمه‌ی

دکتر علی حائزیان اردکانی - محمد حسین همتی

وزیری، ۲۷۶ صفحه، ۱۰۰۰ سخ، چاپ اول، تابستان ۱۳۸۲

چاپ: مؤسسه‌ی چاپ و انتشارات دانشگاه فردوسی مشهد

بهای: ۱۲۵۰۰ ریال

(ISBN 964-386-017-5)

شابک ۱۷-۵۰۰۶-۳۸۶-۹۶۴

فهرست مطالب

نه	مقدمه‌ی مترجم
یازده	مقدمه‌ی مؤلف
۱	فصل ۱ - مقدمه
۱	۱-۱- تعریف ترکیب‌های بین فلزی و نکات عمده‌ی این کتاب
۳	۱-۲- ملاحظات تاریخی
۹	فصل ۲ - ملاحظات عمومی
۹	۲-۱- پیوند، ساختار بلوری و پایداری فاز
۱۴	۲-۲- استحکام پیوند و ویژگی‌های اساسی
۱۸	۲-۳- معیارهای انتخاب فاز
۲۳	فصل ۳ - آلمیناید‌های تینانیم و فازهای مریبوطه
۲۳	Ti _x Al - ۱-۳
۳۶	TiAl - ۲-۳
۵۰	۳-۱- دیگر فازهای Al _x Ti و D ₀ ۲۲
۵۹	۳-۲- تری آلمیناید‌های با ساختار L ₁
۶۵	فصل ۴ - آلمیناید‌های نیکل و فازهای مریبوطه
۶۵	Ni _x Al - ۱-۴
۷۸	۴-۱- سایر فازهای L ₁
۸۴	۴-۲- سایر فازهای NiAl - ۳-۴
۱۲۶	۴-۳- سایر فازهای B ₂
۱۳۵	۴-۴- فازهای نوع هیوسنر
۱۳۶	۴-۵- فازهای مولیبدن - نیکل
۱۳۹	فصل ۵ - آلمیناید‌های آهن و فازهای مریبوطه
۱۳۹	۵-۱- Fe _x Al - ۱-۵

۱۴۳	و فازهای مرتبط Fe_xAlC_x -۲-۵
۱۴۴	$FeAl$ -۳-۵
۱۴۹	فصل ۶ - فازهای با پایه مس
۱۵۰	$CuZn$ -۱-۶
۱۵۱	۲-۶ آلیازهای حافظه‌ی شکل $Cu-Zn-Al$
۱۵۳	۳-۶ آلیازهای $Cu-Zn-Al$ حافظه دار
۱۵۴	۴-۶ فازهای $Cu-Au$
۱۵۶	۵-۶ ملقمه‌های مسی
۱۵۹	فصل ۷ - فازهای Al
۱۶۰	۱-۷ خواص عمدۀ V_xSi
۱۶۳	۲-۷ V_xGa
۱۶۳	۳-۷ Nb_xSn
۱۶۵	۴-۷ Nb_xAl
۱۶۸	۵-۷ Nb_xSi
۱۶۸	۶-۷ Cr_xSi
۱۷۱	فصل ۸ - فازهای لاؤ
۱۷۱	۱-۸ خواص عمدۀ Cr_xSi
۱۷۴	۲-۸ کاربردها
۱۸۱	فصل ۹ - بوپلایدها
۱۸۵	فصل ۱۰ - ترکیب‌های خاکی نادر
۱۸۵	۱-۱۰ مواد مغناطیس
۱۸۷	۲-۱۰ مواد نگهدارنده‌ی هیدروژن
۱۸۹	فصل ۱۱ - سیلیسایدها
۱۹۱	۱-۱۱ فازهای M_xSi
۱۹۲	۲-۱۱ فازهای M_xSi
۱۹۴	۳-۱۱ فازهای M_xSi_2

۱۹۷	۴-۱۱ فازهای MSi
۱۹۷	۵-۱۱ دی سیلیسایدها
۲۰۵	فصل ۱۲ - چشم اندازها
۲۰۹	قدرتانی
۲۱۱	منابع
۲۲۹	واژه‌یاب

بسم الله الرحمن الرحيم

مقدمه‌ی مترجمان

منت خدای راعز و جل که طاعت‌ش موجب قربت است و به شکر اندرش مزید نعمت. هر نفسی که فرو می‌رود ممد حیات است و چون بر می‌آید مفرح ذات. پس در هر نفس دونعمت موجود است و بر هر نعمتی شکری واجب.

كتابي که پيش روی شمامست ترجمه‌ی كتاب بسيار پربار Intermetallics تأليف گرها رد ساوت‌ف است که بی شک می‌توان آن را جامع‌ترین و عميق‌ترین كتاب در اين زمينه دانست. آقای دكتور ساوت‌ف مدیر گروه تحقیقاتی تركيب‌ها و مواد بین فلزی در مؤسسه‌ی ماکس پلانک و استاد دانشگاه فنی آخون آلمان است. آقای ساوت‌ف دكتراه خود را در سال ۱۹۶۹ از دانشگاه کوتینگ در زمينه‌ی سيتیك فازهای بین فلزی Ni-Si در سیستم آلياژي Si-Ni اخذ کرده و سپس تحقیقاتش را در سیستم‌های غیر فلزی در همان دانشگاه ادامه داده است. طی ده‌هی گذشته بيشتر فعالیت‌های آقای ساوت‌ف در مؤسسه‌ی ماکس پلانک در زمينه‌های بنیادی و عملی تركيب‌های بین فلزی بوده است.

مترجمان اين كتاب را از آن جهت برای برگردان به فارسي برگزيرند که جاي آن در مجموعه‌ی كتاب‌های مواد و متالورژي خالي بود. كتاب شامل ۱۱ فصل است که بيشتر انواع تركيب‌های بین فلزی را در بر می‌گيرد. برای نگارش كتاب، مؤلف به ييش از ۱۸۰۰ مقاله و كتاب مراجعه کرده است که بخش قابل توجهی از آن مرتبط به كارهای خود مؤلف در مؤسسه‌ی تحقیقات ماکس پلانک آلمان است. اميدواريم اين كتاب به جامعه‌ی علمي ايران گامی باشد در راه خودکفائي و ادادی ديني به ميهن عزيzman. در پيان از انتشارات دانشگاه فردوسی مشهد به خاطر موافقت با چاپ كتاب، مؤسسه‌ی چاپ و انتشارات آن دانشگاه از جهت چاپ و آقای محمد ابراهيم زواری بابت تایپ و صفحه‌آرایی كتاب سپاسگزاری می‌کنيم.

حائزيان - همتى

haerian@ferdowsi.um.ac.ir

تابستان ۱۳۸۲

پیش‌گفتار

ترکیب‌های بین فلزی (بین فلزات) گروه جالب و جدیدی از مواد هستند. این مواد به خاطر خواص ویژه‌ی فیزیکی و مکانیکی شان موقعیتی بینایین مواد فلزی و غیر فلزی دارند. این گستره‌ی خواص علاقه‌ی پژوهشگران و کاربران مواد در سراسر دنیا را برانگیخته است و موجب به بازار آمدن تعدادی مواد جدید و سیلی از کنفرانس‌ها و مقالات تازه شده است.

تک نگار فعلی در ابتدا به عنوان جلد ۱۸ از مجموعه‌ی :

Material Science and Technology : Acomprehensive Treatment

تألیف : Edward J. Krammer و Peter Haasen ، Robert W. Cahn (ویراستار جلد ۸)

Dr. Karl Heinz Matucha (Dr. تهیه شده است. هدف کتاب ارائه چشم اندازی کلی از ترکیب‌های بین فلزی است که هم تفصیلی و هم جامع است و حاوی اطلاعات بنیادی و کاربردی می‌باشد. حاصل کار مروری مفصل و انتقادی از کل حوزه‌ی بین فلزات با تأکید بر آن دسته از فازهای بین فلزی است که تا به حال به عنوان مواد سازه‌ای و عملکردی به کار می‌رفته‌اند یا موادی که به تازگی به بازار راه یافته‌اند. در ادامه‌ی مبحث آشنایی تاریخی و رابطه‌ی بین پیوند اتمی، ساختار بلورین، پایداری فازها و خواص، دسته بندی‌های اساسی بین فلزات ارائه شده است. آلومیناید‌های تیتانیم، نیکل و آهن، فازهای مسی، فازهای A15 و لاوه، بریلاید‌ها، فازهای خاکی نادر و سیلیساید‌ها بررسی شده‌اند. در این ارتباط به ویژه ساختار بلورین، نمودارهای فازی و خواص فیزیکی و مکانیکی و همچنین رفتار خوردگی شان مورد توجه قرار گرفته‌اند. وضعیت دانش روز و چشم اندازهای آینده وسایل مربوط به کاربردهای امروزی و آینده بررسی شده‌اند. ناشر تصمیم گرفته است که این کتاب را به صورت تک نگار منتشر کند تا خواننده‌های بیشتری از آن بهره گیرند.

پژوهش‌های مؤلف در زمینه‌ی ترکیب‌های بین فلزی با پشتیبانی :

Deutsche Forschungsgemeinschaft (DFG) and the Bundesminister für
Forschung und Technologie (BMFT)

در طول یک دهه انجام شده که موجب سپاسگزاری فراوان است. مؤلف مدیون همکاران خود در مؤسسه‌ی ماکس پلاتنک است که در مورد نتایج تحقیقاتشان بحث‌های سودمندی انجام داده‌اند. تصاویر میکروسپکتکترونی فازهای مختلف بین فلزی را خانم Erica Bartsh و آزمایش‌های مکانیکی متعدد روی مواد ترد را آقای Gerhard Bialkowski انجام داده که از آن‌ها نیز سپاسگزاری می‌کنم.

احتمالاً دلیل تردی بلورهای فلزی با ترکیب‌های منحصر به فرد، (ترکیب‌های فلزی) این است که این مواد، توانایی لازم برای تشکیل سطوح لغش را ندارند، یا آن که علاوه بر آن امکان تشکیل ترک نیز در آن‌ها وجود دارد.

Tammann و Dahl (۱۹۲۳)

فصل ۱

مقدمه

۱-۱- تعریف ترکیب‌های بین‌فلزی و نکات عمده‌ی این کتاب

ترکیب‌های بین‌فلزی عنوانی مختصراً و کوتاه برای ترکیب‌ها و فازهای بین‌فلزی است. این مواد همان‌گونه که در بخش‌های بعدی روش خواهد شد، از ترکیب فلزات مختلف به دست می‌آیند و طبقه‌ی متعدد و بسیار بزرگی از مواد را تشکیل می‌دهند.

طبق یک تعریف ساده^(۱) ترکیب‌های بین‌فلزی، ترکیب‌هایی از فلزات هستند که ساختارهای بلوری آن‌ها با فلزات تشکیل‌دهنده‌شان متفاوت است که نتیجتاً فازهای بین‌فلزی و آلیاژهای منظم را شامل می‌شوند. طی ده سال اخیر ترکیب‌های بین‌فلزی به دلیل کاربردهایشان در دمای بالا، در علم و تکنولوژی مواد مورد توجه بسیار بوده و هنوز هم به طور فزاینده‌ای مورد توجه هستند و انتظار می‌رود گروه جدیدی از مواد سازه‌ای براساس ترکیب‌های بین‌فلزی به وجود آید. ظهور مواد‌گوناگون در نقاط مختلف دنیا، خصوصاً آمریکا، ژاپن و آلمان در حال پیشرفت است. این فعالیت‌ها موضوع اصلی این کتاب را تشکیل می‌دهند. البته باید توجه شود که علاوه بر ترکیب‌های بین‌فلزی با ویژگی‌های برجسته در دمای بالا، ترکیب‌های بین‌فلزی دیگری با خواص فیزیکی عالی وجود دارند که مدت‌ها پیش موجب ظهور مواد کاری نوین شده‌اند که آن‌ها نیز در این کتاب مطرح خواهند شد. فعالیت‌های متعدد و زیاد بر

روی ترکیب‌های بین فلزی همراه با علاقه‌ی فراوان موجب بر پایی کنفرانس‌ها، همایش‌ها و کارهای عملی زیاد به منظور تحقیق و توسعه‌ی مواد بین فلزی در سال‌های گذشته بوده است. نتایج این فعالیت‌ها در مجموعه مقالات، همایش‌ها و هم‌چنین در مجله‌های علمی و گزارش‌های تحقیقی منتشر شده است و مقالات مطالعاتی فراوانی در زمینه‌ی جنبه‌های گوناگون ترکیب‌های بین فلزی در این کتاب‌ها و مجله‌های علمی وجود دارد. به علاوه جنبه‌های خاص ترکیب‌های بین فلزی در جلد‌های مختلف مجموعه‌های فناوری و علم مواد (MST) نوشته شده توسط دلایی^(۱) مطرح می‌شوند؛ فصل‌های نوشته شده توسط پتیفر^(۲) و فرو^(۳) و ساکن^(۴) در جلد ۱، فصل‌های ایندن^(۵) و پیتسچ^(۶) در جلد ۵ و فصل‌های ۶ یا ماکوشی^(۷) و موخرجی^(۸) در جلد ۶.

هدف کتاب حاضر ارائه‌ی توصیف مختصری از ترکیب‌های فلزی گوناگونی است که همگی اکنون برای بهبود مواد موجود انتخاب شده‌اند یا که به عنوان نوید بخش ظهور مواد جدید مورد توجه بوده و هستند. در این کتاب ویژگی‌های خاص آن‌ها ارائه می‌گردد و سازوکارهای فیزیکی که رفتار مشاهده شده را کنترل می‌کنند و مسائل مربوطه مطرح و حالت موجود و جنبه‌های پیشرفت مواد مربوط به آن‌ها ارزیابی می‌شود. البته این کتاب به دلیل شمار زیاد فعالیت‌های هنوز هم به طور فزاینده‌ای ادامه دارد و به خاطر پیشرفت‌های فراوانی که هنوز در کتاب‌های عمومی ظاهر نشده‌اند، نمی‌تواند شامل تمام جزئیات باشد.

پس از یک بخش مقدماتی به همراه توضیح مختصری از تاریخچه‌ی ترکیب‌های بین فلزی، اصول ترکیب‌های بین فلزی از طریق ارجاع به مأخذهای مربوط در جلد‌های MST مطرح می‌شوند. در این میان، به طور خاص پایداری فازها، هم‌چنین رابطه‌ی بین پیوند اتمی و ویژگی‌های اساسی و معیارهای گروه‌بندی فازهای مختلف مطرح خواهند شد. سپس ترکیب‌های بین فلزی مختلف و ظهور مواد مربوط به آن‌ها تشريح و سرانجام چشم‌اندازها و هم‌چنین نیاز برای توسعه و تحقیق ارزیابی می‌گردد.

1- Delaey

2- Pettifor

3- Ferro

4- Saccone

5- Inden

6- Pitsch

7- Utnakoshi

8- Mukherjee

۱-۲- ملاحظات تاریخی

تاریخچه‌ی ترکیب‌های بین‌فلزی بارها توسط وست بر وک (یکی از پژوهشگران محوری در تحقیق و توسعه‌ی ترکیب‌های بین‌فلزی در نیمه‌ی دوم قرن بیستم) به طور تقریباً مفصل تشریح شده است^(۱)، از این‌رو در این جا تنها برخی نکته‌های مهم مورد توجه قرار می‌گیرند.

(همان‌گونه که در جدول ۱ آمده است) ترکیب‌های بین‌فلزی از آغاز تاریخ متالورژی استفاده می‌شده‌اند (برای فهرست اسامی پژوهش‌گران فصل نوشته شده توسط فرو و ساکن در جلد ۱ MST را ملاحظه کنید). این قبیل ترکیب‌های بین‌فلزی پیامد سیستم‌های آلیاژی مورد استفاده بادمای ذوب پایین بوده‌اند. استفاده از آن‌ها بر سختی و مقاومت سایشی عالی ترکیب‌های بین‌فلزی به همراه خواص فلزی‌شان متکی بود^(۲). به دلیل رفتار فلزی ترکیب‌های بین‌فلزی، آن‌ها را صیقل می‌داده‌اند و بتراپاین جنبه‌ی تزئینی شان نیز برای بسیاری از کاربردها اهمیت داشت. پوشش‌های برنتزی در مصر قدیم و آیینه‌هایی که نه تنها چیزیان باستان، بلکه توسط رومیان و اتروسکایی‌ها استفاده می‌شدند،^(۳) مثال‌هایی در این مورد هستند. در این زمینه باید توجه کرد که برخی از بین‌فلزات جلوه‌های رنگی زیبایی از خود نشان می‌دهند، مانند Sb-Cu_x بتفش (تدیس فلزی و نوس) که قبلاً هم کشف شده بود^(۴).

در طول قرن نوزدهم با پیشرفت متالورژی فیزیکی، ترکیب‌های بین‌فلزی موضوع تحقیقات علمی قرار گرفتند و اولین گواه این امر تشکیل ترکیب بین‌فلزی بود که توسط کارستن^(۵) در آلمان^(۶) گزارش شد. کارگسترده و فراگیر بر روی بین‌فلزات توسط تامان^(۷) در گوتینگن^(۸) آلمان و کورناکف^(۹) در سن پترزبورگ^(۱۰) روسیه در آغاز قرن بیست شروع شد که از آن‌ها تعداد زیادی مقالات راهنما به دست آمده است^(۱۱). کار اولیه بر روی بین‌فلزات در دهه‌ی اول قرن بیست مطالعات

1 - Westbrook , 1967, 1970, 1977, 1993

2 - Westbrook , 1977

3 - Westbrook, 1977

4 - Westbrook, 1977

5- Karsten

6 - Westbrook, 1967, 1970

7- Tammann

8- Göttingen

9- Kurnakov

10- St. Petersburg

11 - Kurnakov, 1900, 1914; Tammann, 1903, 1906; Kurnakov and Zhemchuzhny, 1908; Tammann and Dahl, 1923

ردیف	عنوان مقاله	نام ایندکس	تاریخ شروع استفاده (تقریبی)	ماده با فرآیند	تاریخ شروع استفاده از ایندکس
۱	جدول ۱- برخی از کاربردهای گذشت و حل ترکیب‌های بین‌تلزی (Sauthoff, 1989)	فاز	۱۹۷۰	Cu _x As	۱۹۷۰
۲	کاربرد پوشش اپراتوری پرزنی ... (صرور، آنا تویل، بریتانیا)	Cu-Zn	۱۹۷۵	Cu _x Sn _y	۱۹۷۵
۳	سکه، نظافت تزئینی (رم)	Ag _x Hg _y +Sn _x Hg _y	۱۹۷۰	Ag _x Hg _y	۱۹۷۰
۴	آینه (چین)	Cu _x Sn _y	۱۹۷۰	Cu _x Sn _y	۱۹۷۰
۵	پرکتنه‌هی دندانی (چین)	Cu _x Hg _y	۱۹۷۰	Cu _x Hg _y	۱۹۷۰
۶	پرکتنه‌هی دندانی (آلمان)	Sn _x Hg _y	۱۹۷۰	Sn _x Hg _y	۱۹۷۰
۷	سطح آینه (ترن)	Sb _x Sn _y	۱۹۷۰	Sb _x Sn _y	۱۹۷۰
۸	چابهار	(Cu, Mn) _x Al	۱۹۷۰	(Cu, Mn) _x Al	۱۹۷۰
۹	کاردیو (آلمان)	Ni _x Fe	۱۹۷۰	Ni _x Fe	۱۹۷۰
۱۰	آلیاژ مناطقی با غلظت پریدنی بالا	FeCo(2 V)	۱۹۷۰	FeCo(2 V)	۱۹۷۰
۱۱	آلیاژ مناطقی نرم	NiAl-Fe-Co	۱۹۷۰	NiAl-Fe-Co	۱۹۷۰
۱۲	مناطقیس دائم	Fe _x (Si, Al)	۱۹۷۰	Fe _x (Si, Al)	۱۹۷۰
۱۳	ماده‌هد مناطقیس	CuZn-Al	۱۹۷۰	CuZn-Al	۱۹۷۰
۱۴	آلیاژ‌های خالقلی شکل	(Cu,Ni) _x Al	۱۹۷۰	(Cu,Ni) _x Al	۱۹۷۰
۱۵	پوشش سطحی برای حفاظت از محیط	NiAl _x CoAl	۱۹۷۰	NiAl _x CoAl	۱۹۷۰
۱۶	پوشش آلومینیم‌جعبه‌ای	MoSi _x	۱۹۷۰	MoSi _x	۱۹۷۰
۱۷	آلیاژ کاتالیز، موژیلت	Nb _x Sn	۱۹۷۰	Nb _x Sn	۱۹۷۰
۱۸	آبرسان‌ها	NiTi	۱۹۷۰	NiTi	۱۹۷۰
۱۹	آلیاژ حافظه‌ی شکل	Co-Sm	۱۹۷۰	Co-Sm	۱۹۷۰
۲۰	مناطقیس های دائم		۱۹۷۰		۱۹۷۰
۲۱	تزریک‌ها		۱۹۷۰		۱۹۷۰
۲۲	تی‌تی‌ول		۱۹۷۰		۱۹۷۰
۲۳	مناطقیس های کمال - سمارت		۱۹۷۰		۱۹۷۰

پیرامون پایداری فاز، تعادل‌های فازی و واکنش‌های فازی به منظور ترسیم نمودارهای فازی، به همراه تحقیقات پیرامون ویژگی‌های گوناگون مانند خواص شیمیایی، الکتروشیمیایی، ویژگی‌های فیزیکی شامل مغناطیسی بودن و آبرسانایی و خصوصیات مکانیکی را در بر می‌گرفت^(۱). در رابطه با رفتار مکانیکی مشخص شد که سختی بسیار خوب بین فلزات با تردی نامتعارف همراه می‌شود و دلایل آن هم مورد بررسی قرار گرفتند^(۲).

ترکیب‌های بین فلزی در قرن بیستم برای نخستین بار و به طور مقدماتی به عنوان موادکاری استفاده شدند (مثال‌های جدول ۱). در حقیقت اولین استفاده‌های صنعتی بر رفتار مغناطیسی ویژه‌ی فازهای معین متکی بود و پیشرفت مواد مربوطه به طور مثال منجر به ساخت سنداست^(۳) شد که ویژگی‌های مغناطیسی و مقاومت سایشی بسیار خوبی از خود نشان می‌دهد و به طور گسترده برای هدهای مغناطیسی در ضبط صوت‌ها استفاده می‌شود^(۴).

با ظهور مواد آبرسانای جدید در نیمه‌ی دوم قرن بیستم کاربرد مهم دیگری بر اساس ترکیب‌های A15 که برای آبرسانان کنندگی مغناطیسی‌ها استفاده می‌شوند، حاصل شد^(۵). گروه سوم مواد کاری، آلیزهای با حافظه‌ی شکل با استفاده از استحاله‌ی فاز مارتزیت را ممکن ساخت که مجدداً کاربردهای متنوعی در سه دهه‌ی اخیر پیدا کرده است.

گروه مهمی از مواد کاربردی به وسیله‌ی ترکیب‌های III-V، مانند InSb و InAs و GaAs و شکل می‌گیرند که کاربردهایی در الکترونیک و تولید نیروی برق حرارتی پیدا کرده‌اند^(۶). اجزای تشکیل دهنده‌ی این فازهای نمایان گرگذر از فلزات به شبه فلزات و غیر فلزات بوده و ترکیب‌های حاصله نیمه رسانا هستند. از این‌رو، این ترکیب‌های نیمه‌هادی بین فلزی خارج از حوزه‌ی ترکیب‌های بین فلزی متعارف که رفتار فلزی از خود نشان می‌دهند، هستند.

در گذشته ترکیب‌های بین فلزی به دلیل تردیشان کاربرد چندانی به عنوان مواد سازه‌ای پیدا نکرده‌اند، تنها استثناء قابل توجه، استفاده‌ی پیوسته از ملقطه به عنوان پرکننده‌ی دندانی است^(۷). از سوی

1 - Tammann, 1923

2 - Tammann and Dahl, 1923

3 - Sendust

4 - Yamamoto, 1980; Brock, 1986

5 - B.W. Roberts, 1967; Westbrook, 1977; Dew-Hughes, 1986

6 - C.S. Roberts, 1967; Cadoff, 1967

7 - Westbrook, 1974, 1977

دیگر، مواد بین فلزی مختلف به طور موقت آمیزی به صورت فاز ثانویه‌ی استحکام بخش در آلیاژهای مرسوم برای استفاده در سازه‌ها استفاده شدند^(۱). بنابراین واضح است که بین فلزات به دلیل سختی و پایداری بالا نویدبخش کاربردهایی به عنوان مواد سازه‌ای در دمای بالا هستند و در حقیقت فعالیت‌های متنوعی در آغاز دهه‌ی پنجاه به منظور آشکار کردن نیروی بالقوه‌ی بین فلزات برای کاربردهای سازه‌ای آغاز شد^(۲). فازهای منتخب متنوع و امیدوارکننده‌ای شناخته شدند. اما مشکلات مرتضع نشده‌ی مربوط به تردی آن‌ها، مانع گسترش بیشتر مواد مربوطه شده و بنابراین فعالیت‌های مختلف در دهه‌ی ۶۰ به تدریج کم رنگ گردید^(۳).

یکی از تبعات این فعالیت‌ها، ظهور المنت‌های حرارتی برقی بر اساس ترکیب MoSi_β بود (جدول ۱) و پیدایش آن‌ها بر رفتار شیمیایی سودمند این فاز یعنی مقاومت به اکسایش زیاد در دماهای خیلی بالا تکیه داشت^(۴). در این زمینه باید به پوشش دهنده‌های سطحی اشاره کرد که در جریان گسترش آبرآلیاژها برای محافظت مواد پوشش دار در برابر خوردگی در دمای بالا ظهور کرده‌اند و اساساً بر ترکیب‌های بین فلزی از قبیل NiAl و CoAl متکی هستند^(۵).

باید توجه کرد که دی سیلیسایدمولیبدن مذکور در جدول ۱ حالت مرزی در بین فلزات است زیرا سیلیسیم فلز نیست بلکه یک نیمه هادی محسوب می‌شود. معلوم شده است که ترکیب سیلیسیم با فلزات، ترکیب‌هایی با خواص فلزی مانند MoSi_β , هم‌چنین ترکیب‌هایی با خواص نیمه رسانایی ایجاد می‌کند^(۶). به عبارت دیگر، سیلیسایدها شاخص گذرا از ترکیب‌های بین فلزی به ترکیب‌های فلزی و غیرفلزی هستند. با این وجود سیلیسایدها معمولاً به دلیل شابتشای فراوان با فلزات در حیطه‌ی بین فلزات قرار می‌گیرند^(۷).

اولین پیشرفت‌های موفق و چشم‌گیر مواد سازه‌ای بر آلومینیايدهای تیتانیم TiAl , Ti_βAl پایه گذاری گردید و در ابتدای دهه‌ی ۷۰ با مطالعات مقدماتی بر روی تغییر‌شکل شان آغاز شد^(۸). در

1 - Westbrook, 1970

2 - Westbrook, 1960 a, b

3 - Westbrook, 1965, 1970, 1977; Ryba, 1967; Liu and Stiegler, 1984; Cahn, 1989; Liu et al., 1990

4 - Fitzer and Rubisch, 1958; Schrewelius and Magnusson, 1966

5 - Nicholls and Stephenson, 1991

6 - Nowotny, 1963

7 - Wehrmann, 1967

8 - Shechtman et al., 1974; Fleischer et al., 1989 a; Schneibel et al., 1986

حالی که توانایی بالقوه‌ی این فازها جهت استفاده در دمای بالا قبلاً در دهه‌ی ۵۰ مشخص شده بود^(۱). این پیشرفت‌ها، همراه با فعالیت‌های فراوان دیگر هم‌چنان ادامه دارد.

دیگر پیشرفت موفق‌آمیز و قابل توجه مشابه در مورد مواد سازه‌ای بر مبنای آلمینیايد نیکل Al-Ni پایه گذاری شد که فاز ثانویه‌ی استحکام‌بخش در آبرآلیاژها است و فاز مورد توجه در دهه‌ی ۵۰ نیز بوده است^(۲). این پیشرفت جرقه‌ی بزرگ لازم برای کشف اثر نرم‌کنندگی افزودن مقدار کمی پُرن بود^(۳) زیرا کشف این اثر شروع برنامه‌های تحقیقی زیادی بر مبنای ترکیب‌های بین فلزی را موجب شد و علاقه‌ی عمومی فزاینده‌ای را در مورد ترکیب‌های بین فلزی برانگیخت.

گروه‌های تحقیقاتی بیش تر و بیش تری کاربر روی بین فلزات را آغاز کردند و در اکثر موارد در دهه‌ی اخیر Al-Ni به عنوان موضوع تحقیق انتخاب شد. پیشرفت مرتبط دیگر که پیشتر در ابتدای دهه‌ی ۷۰ آغاز گردید بر اساس فاز چهارتایی V(Fe, Co, Ni)_۳ با ساختار بلوری Al-Ni قرار گرفت^(۴). این پیشرفت‌های موقتی آمیز، آغاز کاربر روی دیگر فازهای غیررایج را که اخیراً در دماهای کاربردی بالا و / یا چگالی‌های پایین مورد توجه گرفته‌اند، موجب شده است^(۵). طیف وسیعی از فعالیت‌های کنونی حاصل پیشرفت‌های مختلف در سال‌های قبل می‌باشد که موضوع بخش‌های بعدی این کتاب است.

1 - McAndrew and Kessler, 1956

2 - Liu and Stiegler, 1984

3 - Aoki and Izumi, 1979; Liu and Koch, 1983

4 - Liu and Inouye, 1979

5- Sauthoff, 1989

فصل ۲

ملاحظات عمومی

۱-۲- پیوند، ساختار بلوری و بایباری فاز

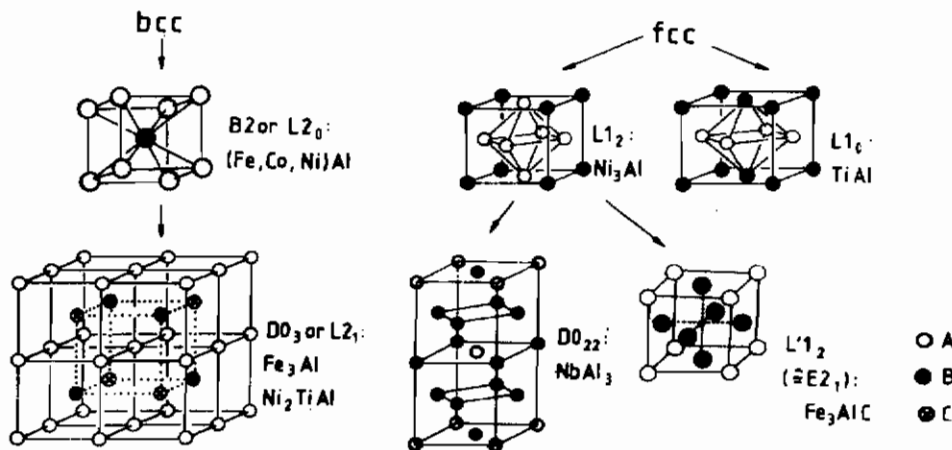
ترکیب‌های بین‌فلزی به این دلیل تشکیل می‌شوند که استحکام پیوند بین اتم‌های نامتشابه مربوطه بیش‌تر از استحکام پیوند بین اتم‌های مشابه است. به این ترتیب، بین فلزات ساختارهای بلوری ویژه‌ای را با پراکنده‌گاهای اتمی منظم می‌سازند که در آن‌ها هر اتم ترجیحاً با اتم‌های نامتشابه احاطه شده‌است. مثال‌های ساده چنین ساختارهایی در شکل ۱ دیده می‌شود. ساختارهای بلوری بین فلزات مفصل‌آ توسط فرو و ساکن در جلد یک MST مورد بحث قرار گرفته است.

ساختار بلوری یک ترکیب بین‌فلزی از طریق استحکام و مشخصه‌ی پیوند در بلورکه به ترکیب خاص الکترونی اش بستگی دارد، تعیین می‌گردد. البته، رابطه‌ی بین نوع ساختار و ویژگی‌های اتمی اتم‌های تشکیل‌دهنده رابطه‌ی ساده‌ای نیست و از این‌رو از معیارهای گوناگونی برای ایجاد تناسب بین نوع ساختار و نوع فاز، یا به عبارت دیگر پیش‌بینی ساختار بلوری یک فاز یا گروه مشخص فازی، استفاده می‌شود. هم‌چنین نمی‌توان انتظار داشت همه‌ی بین فلزات پیوند فلزی مشابه با فلزهای تشکیل دهنده‌شان داشته باشند. این مسئله به صورت مفصل و مکرر مطرح گردیده است و ترکیب‌های بین‌فلزی به طور قراردادی طبق معیارهای مختلف دسته‌بندی شده‌اند^(۱).

باید توجه داشت که این دسته‌بندی‌ها قدری مبهم هستند، زیرا نویسندهان مختلف بر جنبه‌های متفاوت بین فلزات خاص تأکید کرده‌اند. در ادامه برای روشن شدن مطلب بررسی مختصری از سه گروه مهم و نسبتاً متفاوت ترکیب‌های بین‌فلزی ارائه می‌گردد.

1- Nevitt, 1963; Schulze, 1967; Schubert, 1967; Laves, 1967; Girgis, 1983; Hafner, 1987; Pettifor, 1988;

و فصل‌های نگاشته شده توسط Pettifor Ferro Saccone در جلد ۱ کتاب MST.



شکل ۱- برخی از ساختارهای بلوری بین‌فلزی همراه با مثال‌هایی که به ترتیب از ساختارهای bcc، fcc مشتق می‌شوند.

(Sauthoff, 1989)

فازهای زیستل از ترکیب فلزات سمت چپ و راست جدول تناوبی عناصر تشکیل می‌شوند و با اریتال‌های الکترونی کاملاً پر (معمولًا بالایه‌ی هشت الکترونی پر) مشخص می‌گردند^(۱). بنابراین چنین فازهایی احتمالاً به عنوان ترکیب‌های ظرفیتی که از قوانین آشنای ظرفیت شیمیایی تعیت می‌کنند، در نظر گرفته می‌شوند^(۲). فازهای زیستل ساختار بلوری دارند که برای نمک‌های معمولی مانند NaCl با ساختار مکعبی (در اینجا، و بعد از این برای نشان دادن ساختار از تعاریف استروکتربریخت^(۳) استفاده می‌شود) یا Mg, Si با ساختار C1 مکعبی^(۴) مشخص می‌شوند و بنابراین انتظار می‌رود که پیوند یونی داشته باشد. البته معلوم شده است که انواع پیوندها (یونی، فلزی و اشتراکی) و ترکیب‌های آن‌ها به توزیع الکترونی خاصی بستگی دارند. به عبارت دیگر فازهای زیستل هم می‌توانند به عنوان ترکیب‌های الکترونی مورد توجه قرار گیرند زیرا انرژی پیوند ساختار الکترونی بخش بزرگی از انرژی کل است و انواع ساختار بلوری به چگالی ویژه‌ی الکترون‌های ظرفیت‌شان (عدد متوسط الکترون‌های ظرفیت در اتم) نسبت داده می‌شوند^(۵).

1 - Laves, 1967; Schäfer et al., 1987; Schmidt, 1987

2 - Gergis, 1983; Hafner, 1987

3 - Strukturbericht

4 - Villars and Calvert, 1991

5 - Hafner, 1987

معروف ترین ترکیب‌های الکترونی معروف‌تر، فازهای هیوم - راتری^(۱) هستند که ساختار مکعبی B2 دارند، مانند: برنج بتا در دماهای بالا و آلمیناید‌های فلزات واسطه (CoAl, NiAl, FeAl) یا ساختار مکعبی پیچیده‌ی A13 (نوع منگنز β) مانند Cu₆Si و Zn₃Co یا ساختار منشور تنگ بسته‌ی A3 مانند Ag₃Al و Cu₃Ca به ازای چگالی الکترون ظرفیت $\text{VEC} = \frac{3}{4}$ و ساختار مکعبی پیچیده‌ی D8، (نوع برنج δ) به ازای $\text{VEC} = \frac{21}{13}$ مانند Fe₃Zn و Cu₃Fe و باز هم ساختار A3 برای $\text{VEC} = \frac{7}{4}$ از قبیل Ay₃Al و CuZn₃^(۲). علی‌رغم پیوند ساختاری شبیه فلزی، پیوند در چنین بین فلزاتی به طور خالص فلزی نیست. به عنوان مثال مشخص شده است که پیوند در NiAl ذکر شده در بالا اساساً اشتراکی به همراه اندکی خاصیت فلزی و بدون جزء یونی است^(۳) که با توجه به ساختارهای پیوند Ni، Al و NiAl قابل درک است^(۴). در حقیقت بر اساس محاسبات ابتداًی جدید نشان داده شده است که آلمیناید‌های B2 دقیقاً ترکیب‌های الکترونی هیوم - راتری نیستند^(۵). این بدان معنی است که قوانین هیوم - راتری که ساختار بلوری رابه چگالی الکترون ظرفیت نسبت می‌دهند، تصویر بسیار ساده‌ای از وضع پیوند را رائه می‌دهند. با این وجود، چنین قوانینی مفیدند زیرا ماهیت پیوند را به صورت بسیار شگفت‌آوری، واقعی توصیف می‌کنند.

ترکیب‌های بین فلزی دیگر به بهترین وجه از طریق نسبت اندازه‌ها و نحوه انباشت اتم‌های تشکیل‌دهنده‌شان مشخص می‌شوند و بنابراین ترکیب‌های عامل اندازه یا بسته به موقعیت، بین فلزات تنگ بسته، و یا فازهای فرانک - کاسپار^(۶) نامیده می‌شوند^(۷). گروه مهم دیگر از این بین فلزات فازهای A15 هستند که در بخش قبلی به آن اشاره شد. معروف‌ترین ترکیب‌های عامل اندازه فازهای لاوه هستند که بزرگ‌ترین گروه بین فلزات را تشکیل می‌دهند و در ساختار منشوری بسیار مشابه C14 و مکعبی C15 یا ساختارهای منشوری C36 متبلور می‌شوند و MgCu₃, MgZn₃, MgNi₃ و به ترتیب مثال‌های نمونه‌وار آن‌ها هستند^(۸). البته چگالی الکترون ظرفیت هم در این جا عامل مهمی است زیرا تفاوت بین سه ساختار بلوری را مشخص می‌کند. این ساختارهای بلوری از طریق تقارن یا هم‌آرایی زیاد اتمی و

1 - Hume- Rothery

2 - Grgis, 1983

3 - Fox and Tabbernor, 1991

4 - Engell et al., 1991

5 - Schultz and Davenport, 1993

6 - Frank- Kaspar

7 - Wernick, 1967; Grgis 1983; Watson and Bennett, 1985; Hafner, 1987

8 - Wernick, 1967

چگالی بالا (بسیار شبیه فلزات) شناخته می‌شوند و در واقع بنابر اطلاعات محدود موجود اساساً فازهای لاوه پیوند فلزی از خود نشان می‌دهند^(۱).

فازهایی وجود دارند که از طریق استحاله‌ی فاز همراه با کاهش تفاوت بلوری از محلول جامد اجزای تشکیل‌دهنده در دمای گذاری پایین تراز دمای ذوب تشکیل می‌شوند که به فازهای کورناکف^(۲) مشهورند^(۳). در ساده‌ترین حالت، استحاله‌ی فاز از واکنش نظم‌یابی در شبکه‌ی محلول جامد که به یک ساختار آبر شبکه‌ای منجر می‌شود، حاصل می‌گردد. مثال‌های تشکیل فاز از طریق نظم‌یابی اتمی عبارتند از: فازهای FeAl_γ با ساختار D_0 که توسط نظم‌یابی دو مرحله‌ای از محلول جامد bcc حاصل می‌شوند (بخش ۱-۵ را بینید)، همچنین $\text{Ni}_\gamma\text{Fe}$ با ساختار L_1 (بخش ۲-۴ را ملاحظه کنید)، CuAu با ساختار L_1 و Cu_3Au با ساختار L_1 (در بخش ۴-۶)، که سه فاز آخري از محلول‌های جامد fcc ساخته می‌شوند. این نظم‌یابی اتمی همراه با تشکیل آبر شبکه، به طور واضح از اتصال محکم تر اتم‌های نامتشابه در مقایسه با اتم‌های مشابه حاصل می‌شود. تفاوت انرژی پیوند بین اتم‌های مشابه و نامتشابه معمولاً انرژی اندرکنش نامیده می‌شود و مترادف با انرژی نظم‌یابی است. بنابراین برای انرژی اندرکنش بالاتر، پایداری بلوری زیادتر با دمای نظم‌یابی بالاتر انتظار می‌رود. درجه‌ی نظم را که به دما و ترکیب و همچنین به دمای نظم بی‌نظمی وابسته است می‌توان به صورت تابعی از انرژی اندرکنش برای فاز مشخص با درجات تقریب مختلف الگوسازی کرد؛ (مثلًا برای تقریب درجه‌ی اول با الگوی ساده‌ی براگ - ویلیامز^(۴) یا برای تقریب‌های بالاتر با روش انحراف خوش‌ای یا روش مونت کارلو^(۵)). جدا از درجه‌ی دقیقت، قابلیت پیش‌بینی کنندگی چنین الگوهایی در مورد پایداری فاز و محاسبات نمودار فازی بر شناخت انرژی اندرکنش و این که آیا چنین انرژی‌های اندرکنشی برای مشخص کردن حالت پیوند اتمی کافی هستند یا نه، تکیه دارد. تحلیل سیستم‌های فلزهای واسطه‌ی مختلف نشان داده است که در بیشتر موارد الگوسازی با روش انحراف خوش‌ای یا روش مونت کارلو سازگاری خوبی با مشاهدات تجربی ارائه می‌دهد، در صورتی که در برخی موارد با ساختارهای bcc ، الگوی ساده، براگ - ویلیامز نتایج بهتری نسبت به الگوهای پیچیده‌تر به دست می‌دهد^(۶).

1 - Schulze, 1967; Hafner, 1987

2 - Kurnakov

3 - Kornilow, 1967

4- Bragg-Williams

5 - DeFontaine, 1979; Chapter by Binder, and Inden and Pitsch in Volume 5 of MST

6 - Chapter by Inden and Pitsch in Volume 5 of MST

می‌توان چنین نتیجه‌گیری کرد که تک متغیرهای ساده‌ی اتمی مانند انرژی اندرکنش، اندازه‌ی اتمی یا چگالی الکترون ظرفیت صرفاً اعتبار محدودی دارند و معمولاً برای پیش‌بینی پایداری فاز براساس تابعی از اجزای تشکیل‌دهنده‌اش کافی نیستند. اگر ویژگی‌های آرایش‌های الکترونی (که به شکل موقعیت استقرار عناصر در جدول تناوبی منعکس می‌شوند) مورد توجه قرار گرفته باشد، انتظار می‌رود تناسب بهتر و عمومی‌تری بین ویژگی‌های اتمی و ساختار بلوری ماده‌ی مرکب حاصل شود. در حقیقت تناسب بهتری هم به دست آمده است اما نقشه‌های ساختاری حاصله هنوز محدودیت‌های خاص خودشان را دارند زیرا تغییرات آرایش الکترونی ناشی از تشکیل ماده‌ی مرکب را مورد توجه قرار نمی‌دهند^(۱).

تا این جای باید نتیجه‌گیری شده باشد که خصوصیت پیوند و ساختار بلوری یک ترکیب بین فلزی را با یک روش مشخص تنها می‌توان براساس محاسبه‌ی ابتدایی مکانیک کوانتومی برای فاز مربوطه به دست آورد^(۲). در این زمینه پیشرفت‌های زیادی به دست آمده است^(۳) و برای فازهای مختلف مهم با ساختارهای نه چندان پیچیده، انرژی بلور به صورت تابعی از ساختار شبکه به منظور برآورد پایداری فاز محاسبه شده است^(۴). البته حتی در موارد ساده‌هم، این محاسبات بسیار وقت‌گیرند و پیشرفت بیشتر درآینده به منظور ترسیم خطوط راهنمای توسعه‌ی مواد کاربردی براساس فازهای چندگانه (یعنی سه تابی، چهارتایی و...) با ساختارهای بلوری پیچیده‌تر ضروری است.

از بحث این بخش چنین برمن آید که کلاً بین فلزات، گروه یک‌نواختی از مواد را تشکیل نمی‌دهند. در عوض، اصطلاح ترکیب‌های بین فلزی قسم بزرگی از فازهایی را در بر می‌گیرد که از حيث پیوند، ساختار بلوری و خواص با هم تفاوت فاحش دارند. بنابراین ویژگی‌های بین فلزات را عموماً نمی‌توان برای همه‌ی بین فلزات مطرح کرد و تنها می‌توان از طریق رجوع به گروه‌های مشخص ترکیب‌های بین فلزی مورد بحث قرارداد.

ممکن است چنین فرض شود که ساختار بلوری خاص یک ترکیب بین فلزی خصوصیت و استحکام پیوند را به طور معقولی منعکس می‌کند و بنابراین ساختار بلوری می‌تواند معیار مناسبی برای

1 - Pettifor, 1988; Villars et al., 1989

2 - Hafner, 1987, 1989; Majewski and Vogl, 1989

3 - Györffy et al., 1991

4 - Freeman et al., 1991; Bose et al., 1991; Lin et al., 1991; Pettifor and Aoki, 1991; Gonis et al., 1991; Beeker et al., 1991; Vignoli et al., 1991; Sluiter et al., 1990; Huang et al., 1991; De Fontaine et al., 1991; Turchi et al., 1991; Chapter by Pettifor in Volume 1 of MST

طبقه‌بندی فاز باشد. البته، این بدان معنی نیست که بین فلزات با ساختار بلوری یکسان از حیث پیوند و خواص یکسان هستند، زیرا مثلاً ساختار $B2$ برای ترکیب بین فلزی $NiAl$ و نمک کاملاً یونی $CsCl$ یکسان است و در مورد دی سیلیسایدهای فلزات واسطه با ساختار $C4$ ، $C8$ ، $NbSi$ ، $CrSi$ ، Mn ماده‌ای فلزی، ولی یک نیمه هادی است^(۱). در حقیقت اخیراً بر اساس محاسبات ابتدا این نشان داده شده است که هم آرایی و به هم پیوستگی اتمی بین ترکیب پایداری و انرژی بلور مربوط است تا تقارن آن^(۲). با توجه به پیچیدگی دسته‌بندی بین فلزات، اغلب آن‌ها طبق معیارهای کاربردی تری که به تشابهات رفتاری شان مربوط می‌شوند، دسته‌بندی می‌گردند. در بخش‌های بعدی بین فلزاتی که مورد بحث قرار می‌گیرند بر حسب جزء تشکیل‌دهنده و ساختار بلوری به روشنی نسبتاً موضوعی گروه‌بندی می‌شوند.

۲-۲- استحکام پیوند و پیزگی‌های اساسی

یک پیزگی اساسی، دمای ذوب است زیرا معلوم شده است که آن دسته از متغیرهای مواد که رفتار تغییر شکل را مشخص می‌کنند کاملاً با دمای ذوب مرتبط هستند^(۳)، به عنوان مثال، ضریب کشسانی که نه تنها تغییر شکل موم سان را کنترل می‌کند، بلکه از متغیرهای مهم در توصیف نحوه تغییر شکل موم سان نیز می‌باشد، و ثابت نفوذ که نه فقط کنترل کننده‌ی سیتک واکنش‌های فازی است، بلکه سیتیک‌های تغییر شکل در دمای بالا یعنی خرز رانیز کنترل می‌کند. علاوه بر این، دمای ذوب مستقیماً به عنوان معیار پایداری فاز مورد توجه قرار می‌گیرد، زیرا گسترده‌ی دمای کاربرد را محدود می‌سازد. البته، یک فاز وقتی ذوب می‌شود که انرژی گیبس فاز جامد که تابع حالت ترمودینامیکی است و پایداری فاز را کنترل می‌کند، بین تراز مقدار آن در فاز مایع باشد^(۴). انرژی گیبس (G) فاز از رابطه‌ی زیر به دست می‌آید:

$$G = H - TS \quad (1)$$

یعنی به وسیله‌ی انتالپی (H) در دمای $K = T = ۰$ به دست می‌آید و وابستگی دمایی آن از طریق انتروپی (S) تعیین می‌شود. بنابراین دمای ذوب به تفاوت‌های انتالپی و انتروپی بین حالت‌های جامد و مایع بستگی دارد و تابع نسبتاً پیچیده‌ای از استحکام پیوند است. فقط انتالپی مستقیماً به انرژی بلوری

1 - Nowotny, 1963

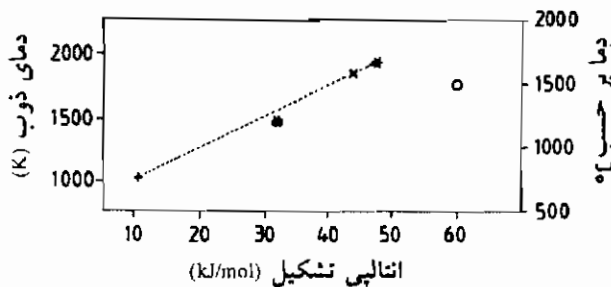
2 - Shah and Pettifor, 1993

3 - Frost and Ashby, 1982

4- Denbigh (1971) and Chapter by Pelton in Volume 5 of MST

داخلی که از طریق استحکام پیوند تعیین می‌گردد، مرتبط می‌شود. با این وجود، دمای ذوب برای فازهای به حد کافی مشابه (مانند آنچه که در شکل ۲ نشان داده شده است)، به صورت بسیار شگفت‌انگیزی به انتالپی تشکیل فاز مربوط می‌شود. برای تعداد محدود فازهای بررسی شده با ساختار B2 رابطه خطی وجود دارد، در حالی که فاز AlTi با ساختار بلوری متفاوت، از رابطه‌ی دیگری تعیت می‌کند.

ممکن است چنین استنباط شود که انتالپی تشکیل فاز می‌تواند متغیر بهتری برای مشخص کردن استحکام پیوند و پایداری فاز برای مربوط کردن آن با ویژگی‌های اساسی مانند ضریب‌های کشسانی باشد. انتالپی‌های تشکیل به صورت تجربی تعیین شده‌اند^(۱) و می‌توانند از طریق محاسبات مکانیک کوانتومی محاسبه^(۲) یا با روش‌های کم و بیش تجربی برآورد شوند^(۳). شکل ۳ برخی از داده‌های سیستم Ni-Al را نشان می‌دهد که توافق خوب بین تئوری، برآورد و آزمایش را روشن می‌سازد.



شکل ۲- دمای ذوب به صورت تابعی از انتالپی تشکیل برای فازهای B2 بین فلزی‌های (CoAl(x)، FeAl(–)، CuZn(+))^(۱)؛ برای فازهای Al (○)، TiAl (○)، NiAl (*)^(۲)؛ بین فلزی (Hultgren, 1963)^(۳)

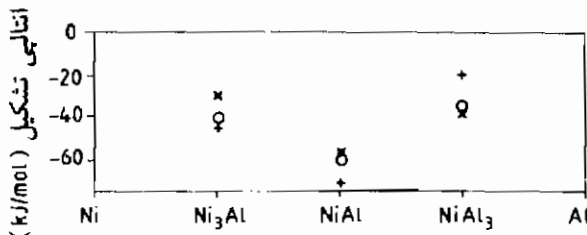
البته مقادیر انتالپی در شکل‌های ۲ و ۳ مربوط به تشکیل ماده‌ی مرکب از اجزای تشکیل‌دهنده‌شان در دمای اتفاق یعنی از بلورهای عنصر جامد هستند، و بنابراین چنین انتالپی‌های تشکیلی تنها تغییرات استحکام پیوند حین شکل‌گیری ماده‌ی مرکب را مشخص می‌کنند. برای مشخص کردن کامل استحکام پیوند، انتالپی کل فاز که به تشکیل ماده‌ی مرکب از عناصر در حالت گازی برمی‌گردد، لازم می‌شود. انتالپی کل فاز C برای فاز H_{total} ممکن است از جمع انتالپی تشکیل (H_{form})

1 - Hultgren, 1963

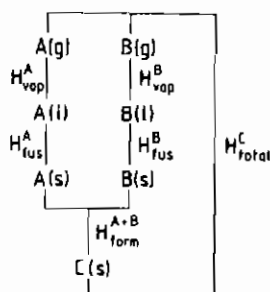
2- Hackenbracht and Kübler, 1980

3 - de Boer et al., 1988

و انتالپی‌های ذوب و تبخیر (H_{vap}) و عناصر تشکیل دهنده‌ی A و B (مطابق با چرخه‌ی واکنش ارائه شده در شکل ۴) برآورد شود.



شکل ۳- انتالپی‌های تشکیل حاصل از آزمایش (x)، محاسبات مکانیک کواتومی (+)، دیبورو-همکاران، به صورت تابعی از ترکیب برای سیستم Ni-Al (Engell et al., 1991) و برآوردهای (o) دیبورو-همکاران، به صورت تابعی از ترکیب برای سیستم Ni-Al (Hackenbracht and Kübler, 1980)



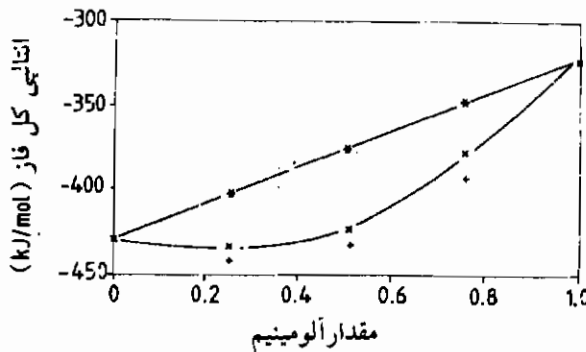
شکل ۴- چرخه‌ی واکنش برای تشکیل فاز C از اجزای گازی A و B (متن را بینید).

به عنوان مثال شکل ۵ داده‌هایی برای سیستم Ni-Al را نشان می‌دهد که باز هم سازگاری بین برآوردها و داده‌های تجربی مشهود است. باید توجه شود که انتالپی‌های تشکیل در مقایسه با انتالپی‌های کل، کم هستند یعنی انتالپی‌های عناصر تشکیل دهنده سهم عمده‌ای در انتالپی‌های کل دارند.

همبستگی بین انتالپی کل فاز و ضریب یانگ که یکی از سه ضریب کشناسی است برای فازهای مکعبی مختلف یعنی برای عناصر Al و Ni (Al₁, Ni₁, NiAl(L₁), NiAl(fcc), NiAl(bcc) منظم (CoAl(B₂), FeAl, NbCr, LaAl, CaAl, YAl و ZrCo, HfCo, C15) در شکل ۶ دیده می‌شود. این همبستگی برای فازهای لاؤه کاملاً خوب است، به عبارت دیگر به نظر می‌رسد که یک نوار پراکنندگی متعارف وجود داشته باشد. داده‌های برخی فازهای دیگر نزدیک این نوار متعارف هستند. البته باید توجه کرد که نقاط داده‌ها (همان‌طور که از نقطه‌ی داده برای Ni₁Al₁ دیده می‌شود) احتمالاً در معرض بی ثباتی‌های تجربی محسوسی باشند. چنین

بی ثباتی هایی برای ضریب یانگ ممکن است ناشی از تفاوت در ریز ساختار یعنی بافت و عیوب باشد. گذشته از این، داده ها در مورد فازهای B_2 نشان می دهد که ضریب یانگ تابع ساده ای از انتالپی فاز نیست. البته باید انتظار چنین مسئله ای را داشت زیرا ضریب یانگ تابع پیچیده ای از چاهه های پتانسیلی اتم ها می باشد که نمی توان آن ها را با یک متغیر مشخص کرد. همان گونه که در شکل ۷ دیده می شود، همبستگی مشابهی برای انرژی فعال سازی نفوذ یافت شده است.

باید چنین نتیجه گرفت که همبستگی های توجیه شده فیزیکی بین متغیر هایی که استحکام پیوند و پایداری فاز را مشخص می کنند از یک سو، و رفتار فازهای ماکروسکوپی از سوی دیگر، وجود دارند. البته این قبیل همبستگی ها، بیان گر رابطه های عمل کردی پیچیده ای هستند و بنابراین صرفاً برای پیش بینی های ذرحد مرتبه ای اعشار، مفید هستند. بیشتر پیش بینی های کمی، خصوصیت و استحکام پیوند را به طور مفصل تر بررسی می کنند به عبارت دیگر باید بر محاسبات مکایک کوانتو می که پرز حمت و وقت گیر هستند متکی باشند.

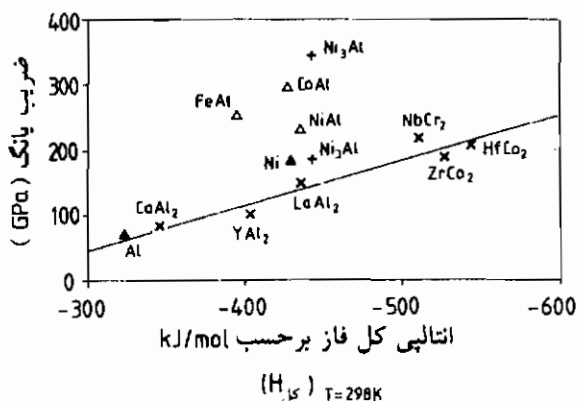


شکل ۵- انتالپی کل فازهای میورت تابعی از ترکیب برای سیستم Ni-Al (Hultgren, 1963) داده های تجربی (+) و برآوردها (x) در مقایسه با محلول جامد آرمانی (*) با انتالپی تشکیل از بین رونده (de Boer et al., 1988) (Von Keitz and Sauthoff, 1991)

اخیراً ویژگی های بنیادی فازهای ساده م مختلف (خصوصاً ضریب های کشنندی) از طریق محاسبات ابتدایی مورد مطالعه قرار گرفته اند و پیشرفت های زیادی در این زمینه به دست آمده است^(۱). بنابراین درک بنیادی خاصیت پیوند مثلاً برای آلومیناید های فلزات واسطه به دست آمده و نشان داده شده است که درجه هی پیوند جهت دار الکترون لایه ای ل استحکام گستنگی رخ برگی آرمانی را تعیین

1- Fu and Yoo, 1990, 1991; Lee and Yoo, 1990; Gao et al., 1991; Yoo and Fu, 1991, 1993; Yoo, 1991; Fu, 1995

می‌کند^(۱). البته، برای آلمینیايدهای فلزات واسطه با ساختار B2 هم نشان داده شده است که شکل پذیری یا تردی تابع بسیار پیچیده‌تری از استحکام و خاصیت پیوند است و که بتوان رابطه‌های ساده‌ای بین پارامترهای توزیع الکترونی و خواص مکانیکی برقرار ساخت^(۲).



شکل ۶- ضرب یانگ به صورت تابعی از انتالپی کل فاز (H_{T=298K}) در مای اتفاق برای عنصر Al و Ni₃Al fcc (Lide, 1992) (▲)، (Al) (▲)، (Ni) (▲) منظم با ساختار L1₂ (Harmouche and Wolfenden, 1985) (Δ)، (B2) منظم با ساختار CoAl و NiAl، FeAl، (1965; Munroe and Baker, 1988 و فازهای لاوی مکعبی، HfCo₂، ZrCo₂، NbCr₂O₇، LaAl₃، YAl₃، CaAl₂، (x) (Shannette and Smith, 1969; Schultz and Smith, 1974; Fleischer et al., 1988

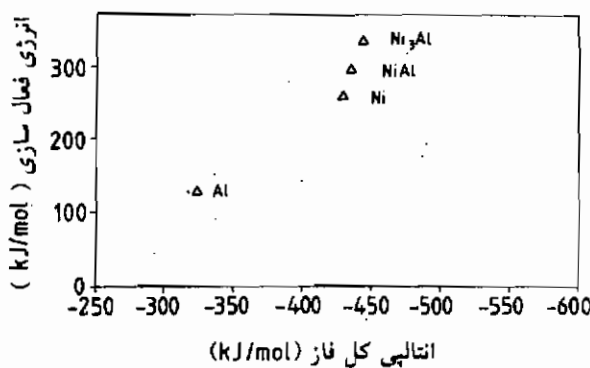
۳-۲- معیارهای انتخاب فاز

فازهای منتخب برای توسعه‌ی مواد با توجه به کاربردهای معینی انتخاب می‌شوند. به عبارت دیگر مواد باید ویژگی‌های مشخصی از خود نشان دهنده که برای آن استفاده‌ی خاص، امیدوارکننده باشند. برای مغناطیس‌های دائمی حاصل انرژی [B.H] عدد مرغوبیت است و باید به مقادیر بالا برسد^(۳)، در صورتی که برای سایر مواد کاربردی متغیرهای فیزیکی دیگری تعیین کننده هستند.

1 - Fu and Yoo, 1992a

2 - Schultz and Davenport, 1992, 1993

3- Stadelmaier et al., 1991



شکل ۷- آنرژی فعال سازی نفوذ به صورت تابعی از انتالپی کل فاز برای Al، Ni₃Al، NiAl، Ni (Forst and Ashby, 1982; Wever et al., 1989; Engell et al., 1991; Bon Keitz and Sauthoff, 1991)

پیش‌تر، معیارهای انتخاب برای کاربردهای سازه‌ای در دمای بالا توسط ساوت (Sauthoff, 1989)^(۱) مورد بحث قرار گرفته است. نخست، چنین فازهایی باید استحکام کافی در دمای کار (که به معنای مقاومت به خرس کافی نیز هست) را داشته باشند. مقاومت خرسی با ضریب نفوذ و با ضریب برشی سنجیده می‌شود^(۲) و هر دو متغیر با دمای ذوب اندازه گیری می‌شوند^(۳). بنابراین فاز منتخب باید دمای ذوب به اندازه کافی بالا داشته باشد. حد بالای دما برای کاربردهای سازه‌ای آلیاژهای فلزی رایج در بسیاری از موارد حدود ۷۵ درصد دمای ذوب است. آلیاژهای دیرگداز پیشرفته‌تر، این آلیاژهای پایه‌ی نیکل هستند و در توربین‌های گاز با دمای کاری بالاتر تا حدود ۱۱۰۰°C استفاده می‌شوند^(۴). بنابراین اگر دمای کاربردی بالاتر از دمای کاربردی این آلیاژ مد نظر باشد، فازهایی با دمای ذوب بالاتر از ۱۶۰۰°C باید مورد توجه قرار گیرند. فازهای با نقطه ذوب بالا ممکن است ترکیب یوتکنیک با نقطه ذوب پایینی تشکیل دهنده که احتمالاً بر پایداری فاز در حين فراوری و کار تأثیر می‌گذارد و بنابراین باید از چنین فازهای با یوتکنیک‌های دارای نقطه ذوب پایین اجتناب کرد.

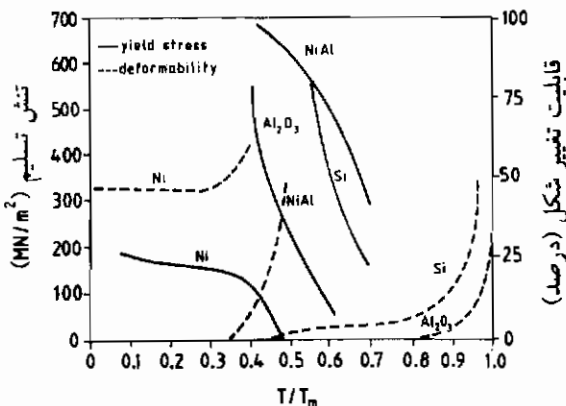
1 - Sauthoff

2 - Jung et al., 1987

3 - Frost and Ashby, 1982

4 - Petrasek et al., 1986

برای بسیاری از کاربردهای سازه‌ای و عملی، چگالی بسیار مهم است و گاهی اوقات متغیر تعیین کننده می‌باشد. ترکیب‌های بین‌فلزی سازه‌ای برای قطعات متحرک باید به اندازه‌ی کافی استحکام ویژه بالایی داشته باشند. استحکام ویژه نسبت استحکام به وزن مخصوص است و دیمانسیون طول دارد. استحکام شکست ویژه، یعنی طول پارگی ابزار آلیاژ‌های پیشرفته مانند ابزار آلیاژ MA6000 که به طور مکانیکی آلیاژسازی و با پراکنش اکسیدی سخت گردانی شده است (ODS)، در حدود ۱۵ کیلومتر می‌باشد^(۱) که فaudت‌تاً باید کم تراز طول پارگی مواد سازه‌ای جدید باشد. فازهایی که حاوی عناصر سبک مانند Al، Si، Ti یا Mg هستند ممکن است علی‌رغم استحکام کم تر یا گستره‌ی دمایی کار محدود، به خاطر چگالی پایین‌شان در مقایسه با آلیاژ‌های معمول قابل قیاس باشند.



شکل ۸- تنش تسلیم و قابلیت تغییر شکل به صورت تابعی از دمای هم‌سان T/T_m (دمای ذوب) برای مواد مختلف با پیوندهای اتمی متفاوت (Westbrook, 1965).

مسئله‌ی اصلی در مورد ترکیب‌های بین‌فلزی محکم، تردی‌شان است که فراوری و استفاده از آن‌ها را مشکل یا غیر ممکن می‌سازد. البته تردی ترکیب‌های بین‌فلزی باید کم تراز تردی سرامیک‌ها باشد، زیرا پیوند اتمی بین‌فلزات (حداقل تا اندازه‌ای) هنوز فلزی است، در صورتی که در سرامیک‌ها بیش‌تر اشتراکی یا یونی است. این مسئله در شکل ۸، که وابستگی دمایی تنش تسلیم و قابلیت تغییر شکل ترکیب بین‌فلزی NiAl را با نیکل، سیلیسیم و آلومینا مقایسه می‌کند، روشن می‌شود. NiAl که فاز منتخب برای کاربردهای در دمای بالاست، با افزایش دما در تقریباً نصف دمای ذوب (T_m) نرم می‌شود. این دما در گستره‌ی کار سیلیسیم با پیوند اشتراکی و بالاتر از دمای ماده‌ی سرامیکی Al_2O_3 است. البته دمای

تبدیل تردی به نرمی برای NiAl ، حدود $4T_m^0 / 4T_m$ است، در صورتی که برای Si و Al_2O_3 بیش از $8T_m^0 / 8T_m$ باشد، یعنی رفتار تغییر شکل چنین بین فلزی ممکن است در حد وسط فلزات و سرامیک‌ها در نظر گرفته شود.

تغییر شکل موم سان در بین فلزات به دلیل پیوند اتمی محکم‌تر و در نتیجه توزیع اتمی منظم که باعث ساختارهای بلوری بسیار پیچیده می‌شود، مشکل‌تر از فلزات و آلیاژهای فلزی رایج است^(۱). در حقیقت تجربه نشان می‌دهد که تردی بین فلزات با کاهش تقارن شبکه و افزایش اندازهٔ سلول واحد زیاد می‌شود^(۲). بنابراین بین فلزات با تقارن بلوری بالا (احتمالاً فازهای مکعبی) و سلول‌های واحد کوچک برای پیشبرد مواد سازه‌ای جدید ترجیح داده می‌شوند. شکل ۱، چنین ساختارهای بلوری را که مکعبی ($B2^0$ ، $D2^0$ ، $L1_1$ ، $L1_2$ ، $L1_3$) یا تقریباً مکعبی (یعنی به صورت مکعب مستطیلی واپیچش شده‌ی $D2_2^0$ ، $D2_3^0$ ، $L1_4$) هستند، نشان می‌دهد. برخی از مثال‌ها، TiAl ، Fe_3Al ، NiAl ، FeAl ، Ni_3Al یا Al_3Fe فازهای منتخب برای توسعهٔ مواد سازه‌ای هستند.

البته حتی برای این فازهای منتخب، تردی به عنوان یک مشکل باقی می‌ماند که دلایل متنوعی دارد^(۳). ماده‌اگر هیچ قابلیت تغییر شکل موم سان و آزادسازی تنش در نوک ترک نداشته باشد، یعنی تنش تسلیم آن بیش تراز تنش لازم برای پارگی یا شکست باشد، به صورت ترد می‌شکند. علت این امر ممکن است تعداد و/یا حرکت ناکافی نابه‌جاوی‌ها و/یا تعداد ناکافی سیستم‌های لغزش باشد. از آن جاکه این متغیرها نه تنها به تقارن بلوری، بلکه به مشخصه‌های ویژهٔ فازهای خاص نیز وابسته است، هدف از انتخاب فاز و تغییر ترکیب از طریق آلیاژسازی باید دست یابی به نابه‌جاوی‌هایی با انرژی‌های کم تر و قابلیت حرکت بیش تر و حداقل پنج حالت مستقل تغییر شکل یعنی سیستم‌های لغزش نابه‌جاوی‌ها و دوقلویی (برای تغییر شکل یک‌نواخت کلی طبق معیار فن-میزس^(۴) ضروری هستند) باشد^(۵).

ناهمسان‌گردنی بلور عامل مهمی در تردی است و معیارهایی استفاده می‌شوند که متکی به نسبت ثابت‌های کش‌سانی هستند^(۶). شکست ترد ممکن است نتیجهٔ مرزدانه‌های ضعیف و دیگر غیرهمگنی‌های ریزساختاری که به تغییر شکل منطقه‌ای و تمرکزهای تنش منجر می‌شوند، باشد. عدم

1 - Paufler, 1985

2 - Paufler, 1976

3 - Liu et al., 1990; Baker and George, 1992

4 - Von Mises

5 - Von Mises, 1928; Kocks, 1958, 1970; Kocks and Canova, 1981; Fleischer, 1988

6 - Paxton and Pettifor, 1992

تناسب تنش تسلیم و تنش شکست نیز می‌تواند ناشی از انرژی شکست بسیار کم باشد که ترک خوردگی و پارگی را تسهیل می‌کند. این مشکل احتمالاً با جدایش ناخالصی‌ها که معمولاً انرژی سطحی را کاهش می‌دهند، شدیدتر می‌شود^(۱). ناخالصی‌ها (خصوصاً اکسیژن) ممکن است از محیط وارد ماده شوند، از این‌رو تردی محیطی بحث مهمی برای بسیاری از ترکیب‌های بین فلزی است^(۲). شناخت عمیق تر ترمودینامیک و سیستیک یک سیستم آلیاژی خاص برای کاهش تأثیرات مختلف تردی ضروری است. ترکیب‌های بین فلزی برای هر کاربردی در محیط‌های مربوطه باید مقاوم به خوردگی باشند. این موضوع برای استفاده در دمای بالا در بسیاری از مواد به معنای مقاومت به اکسایش است. مقاومت به اکسایش از طریق وجود عنصری که می‌تواند لایه‌های اکسیدی محافظت تشکیل دهدن (خصوصاً Cr, Al) یا (Si) فراهم می‌شود^(۳). البته اکسید کرم در بالاتر از ۱۰۰۰°C فرار است و اکسید سیلیسیم ممکن است سیلیکات‌های با دمای ذوب پایین بسازد. از این‌رو آلومینایدها شدیداً برای کاربردهای در دمای بالا سازگار شده‌اند. برای این‌که پوسته‌ها به عنوان لایه‌ی محافظ عمل کنند، باید چگالی و چسبندگی کافی داشته باشند که ممکن است از طریق آلیاژ کردن با عنصر دیگر (پرآلیاژ کردن) و خصوصاً با افزایش مقدار کرم تر عنصر فعال مانند Hf یا Zr یا Ti (کم آلیاژ کردن) بهبود یابد^(۴). گذشته از این، پوسته‌ها باید پایداری درازمدت کافی از خود نشان دهند که به معنای پایداری مکانیکی نیز هست. یعنی باید کرنش را (مثلًاً در هنگام خرش) بدون ایجاد آسیب تحمل کنند^(۵). در مورد مقاومت به اکسایش ناکافی ممکن است پوشش‌های محافظت به کار برده شوند^(۶). البته به دلیل افزایش آهنگ نفوذ و واکنش، پایداری حرارتی چنین پوشش‌هایی با افزایش دما، کاهش می‌یابد و بنابراین بین فلزات برای کاربردهای بالاتر از ۱۱۰۰°C باید ذاتاً مقاوم به خوردگی باشند.

بالاخره، امروزه باید آماده‌سازی ترکیب بین فلزی با کیفیت مناسب در آزمایشگاه ممکن باشد. از نقطه نظر علمی، این نیاز اساسی برای هر پیشرفتی در مواد است. فراوری ترکیب‌های بین فلزی با استحکام بالا به دلیل تردی شان دشوار است و توسعه‌ی فنون فراوری لازم، وظیفه‌ی بسیار دشواری است. البته، کار مهمی نیز محسوب می‌شود، زیرا کیفیت ضعیف تردی ظاهری را افزایش و استحکام را کاهش می‌دهد که نتیجتاً ممکن است مانع هرگونه کاربردی برای ماده‌ی مورد آزمایش گردد.

1 - Hondros, 1978

2 - Liu et al., 1990; Liu, 1991a

3- Aitken, 1967; Hindam and Whittle, 1982; Fitzer and Schlichting, 1983; Meier and Pettit, 1992

4 - Rahmel and Schwenk, 1977; Hindam and Whittle, 1982

5 - Riedel, 1982

6 - Pettit and Goward, 1983; Weatherill and Gill, 1988; Patnaik, 1989; Nicholls and Stephenson, 1991

فصل ۳

آلومیناید های تیتانیم و فاز های مربوطه

Ti_xAl - ۱-۳

۱-۱-۱-۳ - ویژگی های اساسی و نمودار فاز

آلومیناید تیتانیم Ti_xAl (که اغلب با فاز α , مشخص می گردد) با ساختار منشوری منظم D_{00} (نوع Ni₃Sn) مبتلور می شود و در شکل ۹ نشان داده شده است. نسبت ثابت های شبکه c/a و آن $c/a = 0.8$ می باشد^(۱). مقداری که عموماً برای چگالی آن پذیرفته می شود 4.2 g/cm^3 است^(۲)، در صورتی که برای آلیاژ های با پایه Al_xTi_y چگالی در گستره $1/4 \text{ to } 4/7$ گرم بر سانتی متر مکعب گزارش شده است (جدول ۲). این چگالی کم، آلومیناید های تیتانیم را برای توسعه می مواد جدید بسیار جالب توجه کرده است.

مشخصه های انبساط حرارتی توسط شاشیکالا^(۳) و همکارانش (۱۹۸۹) تشریح شده است. واپستگی ثابت های کش سانی Ti_xAl چند بلوره به دما و ترکیب مطالعه شده اند^(۴)، و خصوصاً ضریب یانگ 149 GPa و ضریب برنشی 58 GPa و ضریب پواسان 0.29 برای آلیاژ های حاوی 26 درصد اتمی Al در دمای اتاق به دست آمده است. ضریب های یانگ برای آلیاژ های پایه Ti_xAl در گستره $100-145 \text{ GPa}$ است که به خوبی با ارقام $110-96 \text{ GPa}$ در مورد آلیاژ های رایج پایه Ti قابل مقایسه می باشد^(۵). باید توجه شود که در مورد Ti_xAl (مانند دیگر موارد) مقادیر بسیار متفاوتی برای ضریب

1 - Eckerlin et al., 1971; Villars and Calvert, 1991

2 - Fleischer, 1985; Munroe and Baker, 1988; Destefani, 1989

3 - Shashikala

4 - Schafrik, 1977

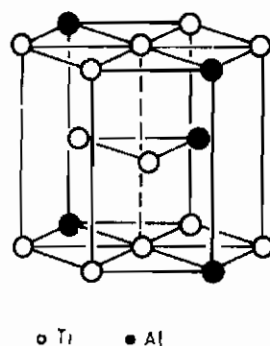
5 - Kimura et al., 1990; Froes et al., 1991

یانگ، (مثلًا 7WMPa) اندازه‌گیری شده است^(۱). این مسأله واقعیتی را تأکید می‌کند که ضریب‌های کشسانی به طور حساسی به ترکیب آلیاژ و ریزساختار با تمام ناخالصی‌هایی که ممکن است حین فراوری در آن وارد شوند، بستگی دارد.

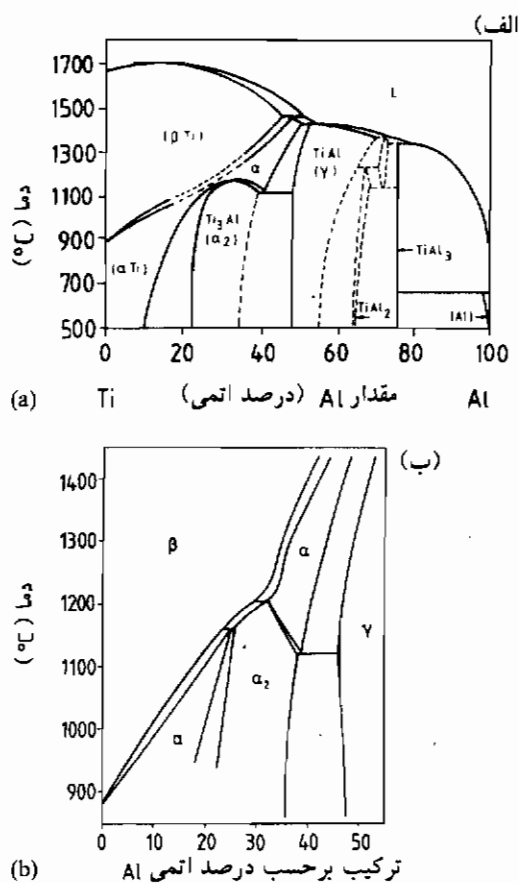
جدول ۲- ویژگی‌های آلیاژ‌های پایه‌ی Al، Ti_3Al در مقایسه با آلیاژ‌های متداول تیتانیم و آبرآلیاژ‌های پایه‌ی نیکل

(Morral, 1980; Lipsitt, 1985a; Kim, 1989; Kim and Froes, 1990; Froes et al., 1991)

آبرآلیاژها	TiAl	Ti_3Al	Ti	ویژگی
A1/L1 ₂	L1 ₂ /D ₀ ₁₉	D ₀ ₁₉ /A2/B2	A2/A2	ساختار
۷/۹-۹/۱	۳/۷-۳/۹	۴/۱-۴/۷	۴/۵	چگالی (g/cm ³)
۱۹۰-۲۲۰	۱۶۰-۱۸۰	۱۰۰-۱۴۵	۹۵-۱۱۵	ضریب یانگ در دمای اتاق (GN/m ²)
۲۵۰-۱۳۱۰	۴۰۰-۶۵۰	۷۰۰-۹۹۰	۳۸۰-۱۱۵۰	استحکام تسلیم در دمای اتاق (MN/m ²)
۶۲۰-۱۶۲۰	۴۵۰-۸۰۰	۸۰۰-۱۱۴۰	۴۸۰-۱۲۰۰	استحکام کششی در دمای اتاق (MN/m ²)
۱۰۹۰	۱۰۰۰	۷۶۰	۶۰۰	حد دمایی ناشی از خروش (°C)
۱۰۹۰	۹۰۰	۶۵۰	۶۰۰	حد دمایی ناشی از اکسایش (°C)
۳-۵۰	۱-۴	۲-۲۶	۱۰-۲۵	کرنش کششی شکست در دمای اتاق (%)
۸-۱۲۵	۱۰-۶۰	۱۰-۲۰	۱۲-۵۰	کرنش کششی شکست در دمای زیاد (%)
۲۵	۱۰-۲۰	۱۲-۴۲	زیاد	چهارمگی شکست K_{Ic} در دمای اتاق (MN/m ^{1/2})



شکل ۹- ساختار بلوری Ti_3Al برای D₀₁₉



شکل ۱۰-الف-نمودار فازی Ti-Al بر اساس کارهای وسیمز (۱۹۹۱)، فرونس و همکاران (۱۹۹۱) و کیم و دیمودوک (۱۹۹۱).
ب-نمودار تجدید نظر شده بر اساس داده های جدید طبق کارهای هلویگ و همکاران (۱۹۹۲) و کاینوما و همکاران (۱۹۹۴).

همانگونه که در نمودار فاز Ti-Al متداول (شکل ۱۰-الف) نمایان است، گسترهای ترکیبی وسیعی دارد که البته هنوز مورد بحث بوده و اخیراً در آن تجدید نظر شده است که در شکل ۱۰-ب مشاهده می شود^(۱). با دو فاز Ti₃Al، با تنظیم α -Ti₃ با ساختار A₃ منشور تگ بسته و β -Ti₃ با ساختار A₂ (bcc) و با آلومیناید های تیتانیم مهم دیگر TiAl (که موضوع بخش ۲-۳ است) به تعادل پایدار می رسد. پایداری فازهای مختلف در سیستم Ti-Al به صورت نظری از طریق محاسبات اصل

نخستین مطالعه شده است^(۱). باید توجه داشت که این تعادل‌ها (یعنی ترکیب‌های تعادلی و دماهای گذار) به طور حساسی به درصد ناخالصی‌ها، خصوصاً اکسیژن بستگی دارند^(۲). شناخت ابتدایی از سیستم Ti-Al-O وجود دارد^(۳). اما عواقب افزایش جزئی اکسیژن بر تعادل‌های سیستم Al_xTi_{1-x}Al هنوز با جزئیات کمی کافی بررسی نشده است.

به منظور کنترل و بهینه‌سازی خوردگی و ویژگی‌های مکانیکی، Ti_xAl_{1-x} با عنصرین نشین و جانشین مختلف آلیاژسازی شده است^(۴). از حیث خواص مکانیکی، آلیاژکردن با Nb که جایگزین Ti می‌شود بسیار حائز اهمیت می‌باشد^(۵). سیستم Ti-Al-Nb اخیراً تحلیل شده است^(۶) و شکل ۱۱ نسخه‌ی آزمایشی نمودار فاز Ti-Al-Nb را طبق کار هلویگ^(۷) (۱۹۹۰) نشان می‌دهد. باید توجه کرد که تعادل‌های مختلف در این مورد تاکنون کاملاً درک نشده‌اند و هنوز به دلیل مشاهدات متناقض آزمایشگاهی مورد بحث هستند. خصوصاً، فازهای اضافی یعنی فاز O لوزی القاعده (ارتورمیک) Ti_xAlNb و ساختارهای^(۸) و فاز T_x مشاهده شده و علاوه بر فاز B₂ در گوشه‌ی پرتیتانیم نمودار به کار رفته‌اند^(۸). تاکنون شناخت محدودی از تعادل‌های فلزی مربوط به دست آمده است^(۹). درک بهتری از این تعادل‌های فازی با آزمایش‌های زوج نفوذی و تحلیل‌های مسیر نفوذ که از داده‌های نفوذ قابل کسب هستند، به دست آمده است^(۱۰). اثرات آلیاژکردن با Mo و V بر روابط فازی اخیراً مطالعه شده‌اند^(۱۱).

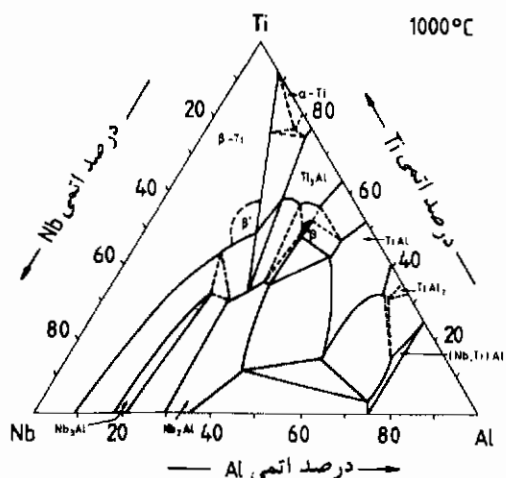
۳-۱-۲- ریزساختار و رفتار مکانیکی

شکل ۱۲ وابستگی استحکام و قابلیت تغییر شکل نوسان چند بلوره‌ی تک فازی Ti_xAl را به دما

- 1 - Asta et al., 1993
- 2 - Kahveci and Welsch, 1986; Huang and Siemers, 1989; Froes et al., 1991; Saunders and Chandrasekaran, 1992
- 3 - Glazova, 1965; Rahmel and Spencer, 1991; Saunders and Chandrasekaran, 1992; Hoch and Lin, 1993
- 4 - Froes et al., 1991
- 5 - Rowe, 1990
- 6 - Hellwig, 1990; Kattner and Boettinger, 1992
- 7 - Hellwig
- 8 - Rowe et al., 1991; Rowe, 1990; Koss et al., 1990; Perepezko, 1991a; Muraleedharan et al., 1992a, b; Bendersky et al., 1992; Hsiung and Wadley, 1992
- 9 - Kim and Froes, 1990; Das et al., 1993a
- 10 - Ma et al., 1992
- 11 - Das et al., 1993b; Ma and Dayananda, 1993

طبق کار لیپسیت^(۱) و همکارانش (۱۹۸۰) نشان می دهد. در این جا می توان دید که این فاز ترد است و عملأ قابلیت هیچ تغییر شکلی را در دماهای پایین تا 600°C ندارد. بالاتر از این دما، تغییر شکل موم سان مشاهده شد که البته هنوز هم با ترکهای بین دانه ای همراه است. به این ترتیب، استحکام شکست تا 600°C تقریباً 60 MPa است. بالاتر از این دما، نرم شدن فعال شده حرارتی رخ می دهد که تغییر شکل موم سان را ممکن می سازد و کرنش حاصل منجر به استحکام های تسليم پایین تر از استحکام شکست می شود.

ریزسازوکارهای تغییر شکل و مخصوصاً واکنش های نابه جایی مفصل از جنبه ای استحکام و شکل پذیری بحث و بررسی شده اند^(۲). در ساختار β -Ti وجود پنج سیستم لغزش مستقل امکان پذیر است^(۳)، که می توانند معیار فن-میزس برای تغییر شکل یکنواخت را باورده سازد^(۴). البته مطالعات بر روی تک بلورها نشان داده اند که تنش های تسليم برای سیستم های لغزش مختلف بسیار با



شکل ۱۱-قطعه هم دمای نمودار فازی $\text{Ti}-\text{Al}-\text{Nb}$ در 1000°C که فاز β -Ti با ساختار B2 در دماهای پایین تر به فاز α تبدیل می شود.
(Hellwig, 1990)

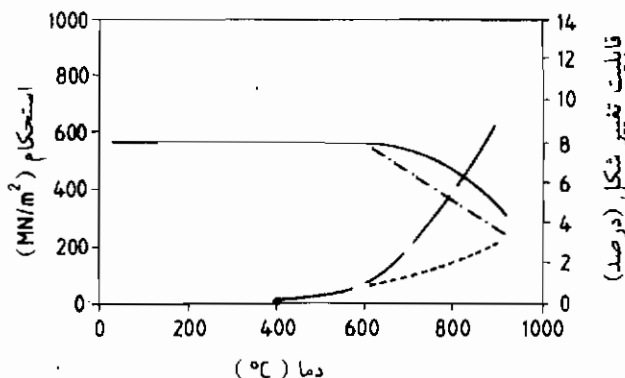
1 - Lipsitt

2 - Koss et al., 1990; Kim and Froes, 1990; Yamaguchi and Uinakoshi, 1990; Froes et al., 1991; Uinakoshi et al., 1993a, b

3 - Kim and Froes, 1990

4 - Von Mises, 1928

هم متفاوتند^(۱) و از این رو تمامی پنج سیستم لغزش حین تغیر شکل چند بلوره‌ی $\text{Al}_\text{m}\text{Ti}$ فعال نمی‌شوند. فقط کمی نرمی کششی برای لغزش در صفحه‌ی قاعده مشاهده شده است، در صورتی که لغزش منشوری به ازدیاد طول‌های کششی بسیار زیاد منجر می‌شود^(۲). چون همانند فلزات با ساختار منشوری، هیچ‌گونه دو قلوشدن تنش زدایی وجود ندارد، تعداد کم سیستم‌های لغزش همراه با لغزش صفحه‌ای مشاهده شده به ناسازگاری‌های کرنش و تمرکز تنش در مرزدانه‌ها می‌انجامد که نتیجه‌ی آن شکست رخ برگی است^(۳).



شکل ۱۲- استحکام کششی و قابلیت تغیر شکل مومسان به صورت تابعی از دما برای $\text{Al}_\text{m}\text{Ti}$ تک‌فاز، چند‌بلوره و استوکیومتری = تنش شکست (زیر 600°C) یا استحکام کشش نهایی، - - - = تنش تسلیم، - - = قابلیت تغیر شکل ظاهری شامل ریزترک خوردگی، --- = قابلیت تغیر شکل تخمینی بدون ریزترک (Lipsitt et al., 1980).

مشخص شده است که یکی از سیستم‌های لغزش ممکن در تک بلورها و استگی نامتعارف به دما برای تنش تسلیم از خود نشان می‌دهد^(۴) به عبارت دیگر تنش تسلیم با افزایش دما بالا می‌رود تا به بیشترین مقدارش برسد. چنین و استگی نامتعارفی به دما، مشخصه‌ی بین‌فلزات متعددی است و با تفصیل بیشتری برای مورد کاملاً شناخته شده‌ی $\text{Ni}_\text{m}\text{Al}$ تحلیل شده است که در بخش ۱-۴-۲ مطرح می‌گردد. البته یافته‌ها برای $\text{Ni}_\text{m}\text{Al}$ به دلیل آرایش‌های متفاوت نابهایی برای $\text{Al}_\text{m}\text{Ti}$ کاربرد ندارد^(۵).

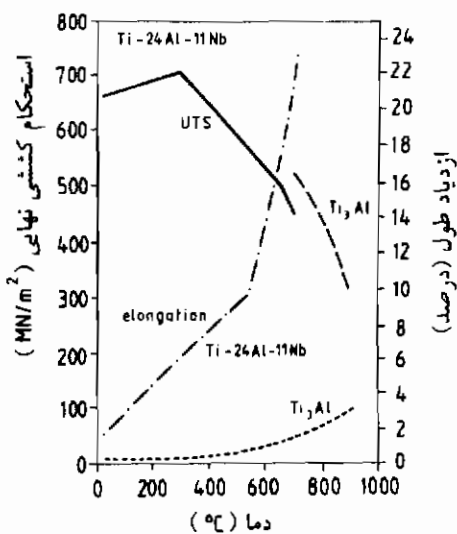
1 - Minonishi, 1991; Nakano and Umakoshi, 1993

2 - Inui et al., 1993

3 - Koss et al., 1990; Kim and Froes, 1990; Froes et al., 1991

4 - Minonishi, 1991; Umakoshi et al., 1993 b

5 - Minonishi, 1991



شکل ۱۳-وابستگی استحکام به دما برای $Ti_{3}Al$ (—) و $Ti-24Al-11Nb$ (---) و ابستگی دمایی از دید طول در اثر کشش برای $Ti_{3}Al$ (----) $Ti-24Al-11Nb$ (— . — . —) $Ti_{3}Al$ (--- . ---) همه در صد هادر صد اتمی است (Rowe, 1990)

باید تأکید کرد که این تأثیر را صرفاً در تک بلور $Ti_{3}Al$ با جهت‌گیری مناسب می‌توان مشاهده نمود زیرا سیستم لغزش مربوطه در $Ti_{3}Al$ چندبلوره فعال نمی‌شود.

هدف از توسعه‌ی مواد مختلف بر پایه‌ی $Ti_{3}Al$ بهبود توازن استحکام و شکل پذیری از طریق آلیاژ کردن با عناصر دیگر و به وسیله‌ی کنترل ریزساختار است^(۱). همان‌گونه که در شکل ۱۳ دیده می‌شود، عنصر مؤثرتر برای بهبود شکل پذیری، Nb است و در حقیقت آلیاژهای پایه‌ی Al با کاربردهای مهندسی، یعنی آلیاژهای α_2 و آبیر α_1 حاوی ۱۰ تا ۳۰ درصد اتمی Nb هستند^(۲). علی‌رغم پیشرفت وسیع و مطالعات فراوان درباره‌ی ریزساختار و خواص، سازوکاری که به وسیله‌ی آن Nb شکل پذیری این آلیاژهای پایه‌ی $Ti_{3}Al$ را بهبود می‌دهد، هنوز روشن نیست^(۳). مقادیر کم Nb که جایگزین Ti می‌شوند منجر به فعال سازی سیستم‌های لغزش بیشتری می‌گردند که البته فقط اثر کمی بر شکل پذیری دارند. مقادیر بیشتر Nb به تشکیل فازهای دیگر یعنی β - $Ti_{3}Al$ در حالت نامنظم باساختار A۲

1 - Rowe, 1990; Froes et al., 1991

2 - Rowe, 1990; Froes et al., 1991

3 - Froes et al., 1991

و / یا یا حالت منظم با ساختار $B2$ و / یا فاز لوزی القاعدہ O که قبل اگر ارش شد، منجر می‌شود که طول لغزش را محدود می‌کند و اثر مطلوب و قابل ملاحظه‌ای بر شکل پذیری دارد. ترکیب نابجایی‌ها در فاز O اخیراً مطالعه گردیده است^(۱).

آلیاژ‌های با آمیختگی مناسب استحکام و شکل پذیری، آلیاژ‌های بین فلزی چند فازه با ریز ساختارهای پیچیده هستند که ممکن است دانه‌های α ، اولیه، لاپه‌ها یا صفحات ویدمن اشتاتن^(۲)، دانه‌های ریز، دانه‌های β در ساختار نامنظم $A2$ یا حالت $B2$ منظم، دانه‌های فاز ω و شاید دانه‌های فاز O را شامل شوند^(۳). در هر صورت، رفتار مکانیکی به طور نسبتاً حساسی به پراکندگی‌های فازهای مختلف، یعنی به تعداد، اندازه، شکل، ترکیب، ساختار بلوری، ساختار فصل مشترک و نسبت‌های همسایگی دانه‌های مختلف بستگی دارد. پراکندگی فاز را می‌توان به صورت چشمگیری با انتخاب مناسب ترکیب آلیاژ و عملیات‌های ترمومکانیکی تغییر داد^(۴). بنابراین، برای بهینه‌سازی و قابلیت تولید مجدد آلیاژ‌های α -کنترل دقیق فراوری ضروری است. خصوصاً معلوم شده است که ریز ساختارهای بهینه‌ی آلیاژ برای ویژگی‌های مختلف مکانیکی مانند: استحکام کششی، شکل پذیری در کشش، مقاومت خرشی، مقاومت به شروع ترک خستگی و مقاومت به خستگی در چرخه‌ی زیاد، متفاوت هستند^(۵). ساز و کارهای چقرمگی مختلف اخیراً از حیث شروع و رشد ترک در $TiAl$ بررسی شده‌اند^(۶).

آلیاژ کردن با Nb بیش تر ویژگی‌های مکانیکی را بهبود می‌بخشد و تأثیر آن با اضافه کردن Nb افزایش می‌یابد. تنها استثنای قابل ملاحظه، مقاومت خرشی ماده است که ویژگی تعیین‌کننده در کاربردهای در دمای بالاست. معلوم شده است که نیوبیم عنوان کاوهنده مقاومت خرشی است، اگر چه که فاز O حاوی Nb احتمالاً از لحاظ مقاومت خرشی هم سودمند می‌باشد^(۷). بدیهی است مقاومت خرشی تابع بسیار حساسی از پراکندگی فاز نیز می‌باشد، تحقیقات جاری متوجه شفاف‌سازی شرایط

1- Douin et al., 1993

2 - Widmanstätten

3 - Koss et al., J. M. Larsen et al., 1990; Kim and Froes, 1990; J. M. Larsen et al., 1990; Froes et al., 1991

4 - Koss et al., 1990; Rowe, 1990; Kim and Froes 1990; J. M. Larsen et al., 1990; Froes et al., 1991, 1992

5 - Rowe, 1990

6 - Chan 1993a

7 - Rowe, 1990; Kim and Froes 1990; Froes et al., 1991; Nandy et al., 1993

لازم برای مقاومت خزشی بهینه است^(۱). سازوکارهای خزش نیز بررسی شده اند^(۲). خزش مشاهده شده از نسبت های شناخته شده برای آلیاژ های نامنظم معمول که برای دیگر بین فلزات هم یافت شده است، پیروی می کند. این نسبت ها در بخش ۴-۳-۴ به همراه آلیاژ های NiAl (به عنوان مثال) بحث خواهد شد. داده های نفوذ که برای تحلیل و بهینه سازی رفتار خزش لازم می شوند (به ویژه برای سیستم (Ti-Al-Nb موجود هستند^(۳)).

دیگر عناصر آلیاژ ساز برای بهبود استحکام Cr و Mo هستند. Mo برای مقاومت خزشی هم سودمند است^(۴). افزودنی های جزیی آلیاژ ساز C, Fe و Si تأثیر قابل توجهی بر رفتار خزشی دارند و آهن اثر زیانبار تری دارد^(۵). علاوه بر عناصر مذکور، V و Sn به منظور بهبود خواص به کار می روند. آلیاژ کردن با Zr، استحکام و شکل پذیری را توأمًا افزایش می دهد و کم آلیاژ کردن با Y و B برای کنترل اندازه هی دانه و بهبود نرمی و کارپذیری استفاده می شود^(۶). اندازه های دانه هی بسیار پایدار و ریز را می توان از طریق انجماد سریع آلیاژ ها به همراه پراکنش ذرات ریز اکسید های قلیایی خاکی نادر مانند Er₂O₃، تولید کرد^(۷). در چنین آلیاژ هایی، اندازه هی کوچک دانه شکل پذیری را بهبود می دهد در حالی که ذرات پراکنده، به قیمت کاهش شکل پذیری استحکام را افزایش می دهند.

اثرات مشابهی را می توان از طریق رسوب فاز های استحکام بخش به وجود آورد. مثال شاخص در این مورد ظهور موادی است که بر آلیاژ کردن Al با Ti_xSi_y به عنوان فاز ثانویه ای استحکام بخش متکی می باشد^(۸). Ti_xSi_y فازی بسیار ترد و سخت با ساختار پیچیده می منشوری^(۹) چگالی کم و دمای ذوب بالاتر از ۲۰۰°C است. آلیاژ کردن ییش تر این قبیل آلیاژ های دو فازی با Nb از لحاظ رفتار مکانیکی سودمند است^(۹).

آلیاژ های α , عمدۀ و رایج در کاربردهای مهندسی ، Ti-۲۴Al-۱۱Nb ،

1 - Hayes, 1991; Morris, 1991a; Huang and Kim, 1991; Es-Souni et al. 1991; Lupinc et al., 1991; Onodera et al., 1991; Thmpson and Pollock, 1991

2 - Yamaguchi and Urmakoshi, 1990; Koss et al., 1990

3 - Van Loo and Rieck, 1973; Dayananda, 1992

4 - Froes et al., 1991

5 - Rowe, 1990

6 - Froes et al., 1991

7 - Suryanarayana et al., 1991

8 - Wu et al., 1989; Es-Souni et al., 1991, 1992a

9 - Wagner et al., 1991; Es-Souni et al., 1991, 1992a

ویژگی‌های شاخص برای این آلیاژها در جدول ۲ آرائه شده است. در بررسی‌های اخیر، رفتار مکانیکی، یعنی استحکام، شکل پذیری، خستگی، شکست و خرزش به طور مفصل خصوصاً از حیث اثرات ریز ساختار، در بررسی‌های مختلف مطرح شده است^(۲). (هم‌چنین فصل یاماکوچی در جلد ۶ MST را ملاحظه کنید). توجه می‌شود که تغییر شکل آبر موismanی که حین آن رشد پویای دانه باکاهش نسبت حجمی $\text{Al}_{\text{p}}\text{Al}$ رخ می‌دهد، امکان پذیر می‌باشد^(۳).

۱-۳-۱- اثرات محیطی

قرار گرفتن $\text{Ti}_{\text{p}}\text{Al}$ یا آلیاژهای پایه‌ی $\text{Al}_{\text{p}}\text{Al}$ در معرض اکسیژن و در دماهای بالا، از یک سوبه اکسایش وازسوی دیگر به حل شدن اکسیژن در آلیاژ منجر می‌شود^(۴). اگر لایه‌ی محافظ Al_xO_y بتواند از طریق اکسایش انتخابی تشکیل شود، باید انتظار افزایش مقاومت به اکسایش را داشت. البته Al_xO_y نسبت به TiO_2 تنها اندکی پایدارتر است و فعالیت Ti بسیار بیشتر از فعالیت Al در $\text{Al}_{\text{p}}\text{Al}$ می‌باشد^(۵). بنابراین TiO_2 اکسید پایداری در تماس با $\text{Al}_{\text{p}}\text{Al}$ بوده و اکسایش بعدی منجر به تشکیل TiO_2 یعنی روتیل می‌شود. ترمودینامیک سیستم $\text{Ti}-\text{Al}-\text{O}$ و شرایط تعادل برای تشکیل فازهای اکسیدی مختلف به تفصیل مطالعه شده است^(۶).

طبق این شرایط ترمودینامیکی، رفتار اکسایش مشاهده شده پیچیده بوده و به ساختار اکسید لایه‌ای همراه با TiO_2 در برآورده، و اکسیدهای با درصدهای فلز بیشتر از جمله Al_xO_y در لایه‌های زیرین می‌انجامد^(۷). سینتیک این واکنش از قانون آهنگ اکسایش سهمی وار تبعیت می‌کند و ثابت‌های آهنگ اکسایش $\text{Ti}_{\text{p}}\text{Al}$ کوچک‌تر از ثابت‌های تشکیل دهنده‌های رایج TiO_2 ، یعنی آلیاژهای

1 - Froes et al., 1991

2 - Koss et al., 1990; Rowe, 1990; Kim and Froes, 1990; J.M. Larsen et al., 1990; Yamaguchi and Umakoshi, 1990; Froes et al., 1991; Kumpfert et al., 1992; Stoloff et al., 1993

3 - H. S. Yang et al., 1992, 1993

4 - Rowe, 1990; Kim and Froes, 1990; Froes et al., 1991

5 - Meier and Pettit, 1992

6 - Rahmel and Spencer, 1991; Pajunen and Kivilahti, 1992; Li et al., 1992; Zhang et al., 1992b; Saunders and Chandrasekaran, 1992

7 - Khobaib and Vahldiek, 1988; Shida and Anada, 1993

معمول Ti هستند^(۱). نیویم مقاومت به اکسایش را افزایش می دهد به طوری که ثابت های حاصله، حد واسط بین ثابت های آهنگ تشکیل دهنده های TiO , Al_2O_3 , TiO_2 , Al هستند^(۲). مقاومت اکسایشی آلیاژ های پایه $Ti-Al$ هم ممکن است از طریق آلیاژ کردن با Mo یا Ta بهبود یابد^(۳).

مقاومت های اکسایشی به دست آمده هنوز کافی نیستند و کاربرد آلیاژ های پایه $Ti-Al$ را در دماهای بالا (همان طور که در جدول ۲ دیده می شود) محدود می کنند. تا براین پوشش دهی این آلیاژ ها به صورت گسترده در دست بررسی است. خصوصاً روش های سمانه کردن درون جعبه ای برای تشکیل آلومیناید $Ti-Al$ سطحی و اجتناب از ترک خوردگی سطح بهینه سازی می شوند^(۴).

علاوه بر تشکیل پوسته در سطح، اکسیزن به صورت محلول در داخل $Ti-Al$ نفوذ می کند، زیرا $Ti-Al$ قابلیت جذب نسبتاً زیادی برای اکسیزن دارد. این مسئله منجر به ترد شدگی می شود؛ به عبارت دیگر استحکام افزایش و شکل پذیری کاهش می یابد و به تشکیل ترک در سطح می انجامد^(۵). آهنگ ترد شوندگی و تشکیل ترک از طریق فرایندهای نفوذ کترول می گردد که تنها با پوشش های محافظت از سرعت آن کاسته می شود. باید توجه کرد که علی رغم نفوذ اکسیزن به طرف داخل، اکسایش داخلی با تشکیل ذرات ریز اکسیدی پراکنده گزارش نشده است. این واقعیت که اکسایش داخلی کلاسیک رخ نمی دهد (حتی اگر لایه ای اکسید محافظت تشکیل نشده یا تشکیل و شکسته شده باشد)، عارضه معمول بسیاری از ترکیب های بین فلزی است و از شرایط سینتیکی و ترمودینامیکی خاص در سیستم های آلیاژ های مربوطه حاصل می شود^(۶).

دیگر عنصر محیطی مهم هیدروژن است^(۷)، که فاز β را در سیستم $Ti-Al$ پایدار می کند. به عبارت دیگر این عنصر بر ترمودینامیک سیستم، و در نتیجه بر تکامل ریز ساختار به طور محسوسی اثر می گذارد. در حقیقت هیدروژن به عنوان عنصر آلیاژ ساز موقت حین فروارش ترموشیمیابی آلیاژ های معمول تیتانیم α/β جهت پالایش ریز ساختار استفاده می شود. قابلیت حل شدن هیدروژن در $Ti-\beta$ پیش ترین مقدار، در $Ti-\alpha$ کم تر و در $Ti-Al$ باز هم کم تر است. با این وجود، $Ti-Al$ باز هم مقادیر قابل

1 - Choudhury et al., 1976; Perkins et al., 1989; Meier et al., 1989; Welsch and Kahveci, 1989

2 - Choudhury et al., 1976; Khobaib and Vahldiek, 1988; Wiedeman et al., 1989; Welsch and Kahveci, 1989; Rowe, 1990; Kim and Froes, 1990

3 - Froes et al., 1991; Schaeffer, 1993

4 - Kung, 1990; Smialek et al., 1990b

5 - Balsone, 1989; Rowe, 1990; Kim and Froes, 1990; McKee, 1993

6 - Meier and Pettit, 1992

7 - Chu and Thompson, 1991; Eliezer et al., 1991

ملاحظه‌ای هیدروژن را در دماهای بالا در خود حل می‌کند که به صورت هیدریدها در هنگام خنک‌کاری به دلیل کاهش حد حلالیت در دماهای پایین‌تر، رسوب می‌کند^(۱). رابطه‌های بین طرز استقرار، شکل و ساختار هیدریدها گزارش شده‌اند^(۲).

مانند سایر آلیاژها، آلیاژهای پایه‌ی $Ti_{\alpha}Al$ هم از طریق هیدروژن حل شده و هم از طریق هیدریدهای رسوبی که منجر به ترک هیدروژنی می‌گردند، ترد می‌شوند^(۳). البته با استفاده از شرایط ویژه در وارد کردن هیدروژن و عملیات حرارتی‌های خاص (یعنی عملیات‌های ترموشیمیایی) هم می‌توان استحکام، شکل پذیری و چفرمگی را بهبود بخشید^(۴). خصوصاً ریز ساختار با قابلیت تحمل هیدروژن برای درصد های هیدروژن نه چندان زیاد، ساخته شده‌اند^(۵). در این جا برای فهم سازوکارهای ریز ساختاری و کاربردی کردن فراورش ترموشیمیایی جهت بهینه‌سازی رفار مکانیکی کار بیشتری لازم است^(۶).

۴-۱-۳- گاربردها

آلیاژهای $\alpha_{\alpha}Al$ پایه‌ی $Ti_{\alpha}Al$ چنان‌به شکل موفقیت آمیزی توسعه یافته‌اند که آلیاژهای α_{α} چندین سال در نوک هرم استفاده‌ی تجاری بوده‌اند^(۷). آلیاژهای α_{α} به شکل شمشهای بزرگ‌تر از ۴۵۰۰ کیلوگرم تولید می‌شوند و به صورت پروفیل ریختگی یا شکل‌های کار شده شامل شمشال، میله، ورق نازک و صفحه در دسترس هستند^(۸). به علاوه، روش‌های متالورژی پودر هم که برای آلیاژهای رایج تیتانیم به کار می‌روند، به آسانی برای این آلیاژها تطبیق داده شده‌اند. علاوه بر این، دیگر روش‌های متالورژی پودر (خصوصاً فراورش و اکتشی) برای آلیاژهای پایه‌ی $Ti_{\alpha}Al$ به کار رفته‌اند^(۹). آلیاژهای α_{α} را می‌توان ماشین کاری کرد؛ ورق رامی‌توان به صورت آبروموسانی شکل داد و با پیوند دادن نفوذی

1 - Chu and Thompson, 1991; Eliezer et al., 1991

2 - Shih et al., 1989; Gao et al., 1990

3 - Eliezer et al., 1991; Gao et al., 1990; Chu and Thompson, 1991, 1992; Chu et al., 1992; Thompson, 1992, 1993

4 - Chu and Thompson, 1991

5 - Chan, 1992, 1993b

6- Eliezer et al., 1991; thompsn, 1992

7 - Lipsitt, 1985a, b, 1993; Fleischer et al., 1989a; Dimiduk et al., 1992; Froes et al., 1992

8 - Peacock, 1989; Wittenauer et al., 1989; Chesnutt, 1990; Bassi et al., 1991

9 - Froes et al., 1991

آنها را برای ساخت قطعات به شکل های پیچیده از ورق به کاربرد؛ فرایندهای مختلف تولید با استفاده از وسایل رایج قابل انجام است^(۱). مطالعات مربوط به اتصال نشان داده است که آلیاژ های α - Al را می توان به صورت موقتی آمیزی هم از طریق پیوند نفوذی و هم جوش کاری اصطکاکی خطی متصل کرد، در صورتی که با جوش کاری ذوبی، احتمالاً با مشکلات کنترل ساختار مواجه می شویم^(۲). قطعاتی برای استفاده در توربین های گازی هواپیما تولید شده و به عنوان قطعات ایستای سازه ای موتور مورد آزمایش قرار گرفته اند و در حال نزدیک شدن به شرایط مطلوب موتور هستند^(۳). قسمت های چرخنده ای مشعل، قسمت های پوشش کمپرسور، حلقه های نگهدارنده و واشر افشارنک پس سوز مثال هایی در این زمینه هستند.

على رغم این موقتی ها، قطعات از جنس آلیاژ α - Al هنوز برای هواپیما استفاده نمی شوند^(۴). به عبارت دیگر هنوز تکامل نیافته اند، زیرا انتظارات در خصوص استحکام و مقاومت به اکسایش بالا رفته است. دشواری های مربوط به احتراق در برخی کاربردها در کمپرسور، و تردی محیطی و بالاخره موافع اقتصادی وجود دارند^(۵). از این رو استفاده گسترده ای از آلیاژ های α - Al را تنها پس از پیشرفت بیش تر در زمینه پوشش دهی و آلیاژ سازی می توان انتظار داشت.

با این وجود، آلیاژ های α - Al برای بسیاری از کاربردهای هوا - فضای درآینده مورد توجه قرار می گیرند^(۶). گام های نخستین، برنامه هایی برای پیشرفت هواپیمای سرنشین دار با سرعت های مأوفق صوت است. هواپیمای فضانورد ملی (NASP)^(۷) آمریکا^(۸) و طرح سنگر^(۹) آلمان^(۱۰) مثال هایی ذر این مورد هستند. این جا استحکام ویژه، یعنی استحکام به ازای واحد چگالی (یا وزن مخصوص) نیاز اولیه است و آلیاژ های انتخابی باید با مواد با استحکام بالای فلزی و غیرفلزی رقابت کنند. برای براورده ساختن معیارهای طراحی، آلیاژ های α - Al به عنوان ماده زمینه ای مواد مرکب با زمینه ای بین فلزی مورد

1 - Lipsitt, 1985a ; Wittenauer et al., 1989; Bassi et al., 1991

2 - Threadgill and Baeslack, 1991; Baeslack et al., 1988; Cieslak et al., 1990

3 - Lipsitt, 1985a, b; Dimiduk et al., 1992

4 - Froes et al., 1991

5 - Dimiduk et al., 1992

6 - Roland, 1989; Dimiduk et al., 1991; Dauphin et al., 1991; Froes et al., 1991

7 - U.S. National Aero - Space Plane

8 - Ronald, 1989

9 - Sanger

10 - Kuczera et al., 1991; Bunk, 1992

توجه قرار گرفته‌اند و پیشرفت مواد مربوطه رو به گسترش است^(۱).

علاوه بر مشکلات سازگاری مکانیکی اجزای تشکیل دهندهٔ مادهٔ مرکب که هم اکنون در آلیاژهای چند فازه‌ی رایج دیده می‌شوند، مسأله‌ی پایداری شیمیایی وجود دارد که ممکن است از طریق واکنش‌های اجزای مادهٔ مرکب تحت تأثیر قرار گیرد^(۲). بنابراین پیشرفت‌های مواد مرکب متوجه بهینه‌سازی ترکیب و ریزساختار از حیث پایداری مادهٔ مرکب، خواص کششی، مقاومت به خستگی مکانیکی و حرارتی، مقاومت خزشی و خوردگی توسط مکی^(۳) و همکاران (۱۹۹۱) بررسی شده است. نهایتاً، موفقیت این پیشرفت‌ها به جنبه‌های اقتصادی، یعنی هزینه‌ی کل چرخهٔ عمر پستگی دارد.

TiAl - ۲-۳

۱-۲-۳- ویژگی‌های اساسی و نمودار فازی

آلومیناید تیتانیم TiAl (اغلب به نام فاز ۷ معروف است) که با ساختار مکعب مستطیلی L₁-۱ (نوع CuAu مطابق شکل ۱، مبتلور می‌گردد. ساختار L₁-۱ از منظم شدن شبکهٔ Al(A1) fcc حاصل می‌شود، یعنی اساساً ساختار مکعبی است که به دلیل چیدمان خاص صفحات اتمی به مکعب مستطیل تغییر شکل داده است (شکل ۱). نسبت ثابت‌های شبکهٔ c/a در ترکیب استوکیومتری $c/a = 1.5$ و چگالی آن ۳/۷۶ g/cm^۳ است^(۴)، در صورتی که برای آلیاژهای پایه‌ی Al گسترهٔ TiAl_{۱-x} ۳/۷-۳/۹ g/cm^۳ گزارش شده است (جدول ۲ را بینید). این چگالی از چگالی Ti_{۱-x}Al_x هم کم‌تر است و آلومیناید‌های تیتانیم را برای پیشرفت مواد جالب توجه تر می‌کند.

وابستگی دمایی ثابت‌های کش‌سانی کش‌سانی TiAl چند بلوره مطالعه شده است^(۵). ضریب یانگ ۱۷۶ GPa، ضریب برشی ۷۰ GPa و ضریب پواسان ۰/۲۳ برای TiAl با ترکیب استوکیومتری در دمای اناق به دست آمده است، یعنی ثابت‌های کش‌سانی، بزرگ‌تر و نسبت پواسان، کوچک‌تر از مقادیر

1 - Bassi et al., 1991; Ronald, 1989; Bowman and Noebe, 1989; Destefani, 1989; Stephens, 1990; J.M. Larsen et al., 1990; Mackay et al., 1991; Norman et al., 1990; Feng and Michel, 1991; Jha et al., 1991a, b; Kumar, 1991; Froes et al., 1991; Bryant et al., 1991; Marshall et al., 1992

2 - Norman et al., 1990

3- Mackey

4 - Kim and Dimiduk, 1991

5 - Schafrik, 1977

متناظرشان برای Ti_3Al است. ثابت های کشنانی و انرژی های عیب $TiAl$ به طور نظری از طریق بررسی های اصل نخستین انرژی کل، مطالعه شده و از حیث رفتار مکانیکی مورد بحث قرار گرفته اند^(۱). ضریب یانگ برای آلیاژ های پایه Al در گستره $160-180\text{ GPa}$ است که تنها $10-20\%$ در صد کمتر از مقدار آن در مورد ابرآلیاژ ها می باشد (جدول ۲). اخیراً، از طریق محاسبات اصل نخستین دریافت هاند که انحراف ها از ترکیب استوکیومتری ناشی از اتم های ضد ساختاری که در شبکه وارد شده است می باشد، به عبارت دیگر به خاطر بی نظمی ساختاری، نه جای خالی ها در زیر شبکه ها و هم چنین به دلیل چگالی نسبتاً پایین جای خالی های حرارتی به دلیل انرژی تشکیل بالایشان است^(۲). خود نفوذی Ti در $TiAl$ مطالعه شده است^(۳).

گستره $TiAl$ ترکیبی وسیعی دارد و همان گونه که در نمودار فازی $Ti-Al$ دیده می شود تانقطه ذوبش پایدار است (شکل ۱۰). تغییر در صد Al بین حدود حلالیت به بی نظمی ساختاری همراه با اتم های Ti یا Al اضافی به ترتیب در موقعیت های شبکه های Al یا Ti می انجامد (به عبارت دیگر، اتم های ضد ساختار در ضد محل های فاقد جای خالی ساختاری) و در نتیجه تغییر مشابهی در نسبت $\frac{c}{a}$ ایجاد می کند، یعنی مستطیلی شدن بین $1/0^3$ برای بیش ترین در صد Al و $1/0^1$ برای کم ترین در صد Al را در بی دارد^(۴). پایداری فازهای مختلف در سیستم $Ti-Al$ به صورت نظری از طریق محاسبات اصل نخستین مطالعه شده است^(۵). باید توجه داشت که نمودار فازی $Ti-Al$ چندین سال مورد بحث بوده است و در حال حاضر نسخه شکل ۱۰-الف، نموداری است که عموماً مورد استفاده قرار می گیرد، و براساس مطالعات اخیر می باشد^(۶). با این وجود، تعادل های فازی Al در دماهای بالا هنوز کاملاً روشن نیستند و مطالعه دقيق و جدید به یک نمودار تجدیدنظر شده انجامیده است (شکل ۱۰-ب)^(۷). همان گونه که پیشتر در مورد Ti_3Al اشاره شد، تعادل های فازی (یعنی ترکیب های تعادلی و دماهای گذار) به طور

1 - Yoo et al., 1991; Lee and Yoo, 1990; Fu and Yoo, 1990; Yoo, 1991; Woodward et al., 1993; Yoo and Fu, 1991, 1993

2 - Fu and Yoo, 1993

3 - Kroll et al., 1992

4 - Yamaguchi and Umakoshi, 1990; Kim and Dimiduk, 1991; Shirai and Yamaguchi, 1992

5 - Asta et al., 1993

6 - Y. A. Chang et al., 1991; Shull and Cline, 1990; Perepezko, 1991a, b; Huang and Siemers, 1989; Kim and Dimiduk, 1991; Rowe and Huang, 1988; Kattner et al., 1992; Jones and Kaufman, 1993; Anderson et al., 1993

7 - Hellwig et al., 1992; Kainuma et al., 1994

حساسی به درصد ناخالصی‌ها خصوصاً اکسیژن وابسته است^(۱). به منظور کنترل و بهینه‌سازی ویژگی‌های مکانیکی و رفتار خوردگی، TiAl با عناصر جانشین و بین‌نشین مختلف آلیاژ‌سازی شده است^(۲). همان‌گونه که به طور شماibi در شکل ۱۴ دیده می‌شود، عناصر آلیاژ‌کننده اثرات گوناگونی بر وسعت منطقه‌ی TiAl در نمودارهای فازی سه تایی مربوطه دارند. در این تقریب خام، ظاهرًا V، Mn و Cr به عنوان جایگزین‌های Al به تهایی یا به صورت جانشین توأم Ti و Al عمل می‌کنند، در صورتی که Nb، Zr، Ta و Mo و W به عنوان جانشین‌های Ti عمل می‌کنند^(۳). اخیراً ترجیح مکانی چنین افروزنده‌های آلیاژ‌ساز در شبکه‌ی TiAl و اثر آن‌ها بر مستطیلی شدن با محاسبات اصل نخستین مطالعه شده‌اند که نتایج آن‌ها سازگاری کمی با یافته‌های تجربی مذکور دارند^(۴). در صورت بررسی جزئیات، مشاهده می‌شود که اثرات پیچیده هستند و همان‌گونه که در نمودارهای فاز سه تایی موجود برای TiAl و Nb (شکل ۱۱) و Zr، Mn و V یا Ag آشکار می‌شود، به مقدار ماده‌ی آلیاژ‌ساز هم بستگی دارند^(۵). همان‌طور که پیش‌تر در مورد Al-Ti اشاره شد (بخش ۱-۱-۳)، تعادل‌های فازی در سیستم‌های پایه‌ی Al-Ti-Al هنوز کاملاً درک نشده است و خصوصیت فازهای اضافی موضوع تحقیقات فعلی است^(۶). فهم بهتری از این تعادل‌های فازی از طریق آزمایش‌های زوج نفوذی و تحلیل‌های مسیر نفوذ که می‌توان از آن داده‌های نفوذ را به دست آورد، حاصل شده است^(۷). اثرات آلیاژ‌کردن با Mo و V بر نسبت‌های فازی اخیراً مطالعه شده‌اند^(۸).

۲-۲-۳- ریزساختار و رفتار مکانیکی

تغییرات استحکام و شکل‌پذیری با دما مشابه تغییرات آن‌ها در مناطق پُر تیتانیم Ti_xAl در شکل ۱۲ است. شکل ۱۵ وابستگی دمایی استحکام و توانایی تغییر‌شکل موم سان TiAl چند بلوره‌ی

1 - Kahveci and Welsch, 1986; Huang and Siemers, 1989; Froes et al., 1991; Saunders and Chandrasekaran, 1992

2 - Hashimoto et al., 1986a, b, 1991; Kasahara et al., 1987; Tsujimoto and Hashimoto 1989; Froes et al., 1991; Kim and Dimiduk, 1991

3 - Kim and Dimiduk, 1991; X. F. Chen et al., 1992

4 - Erschbaumer et al., 1993

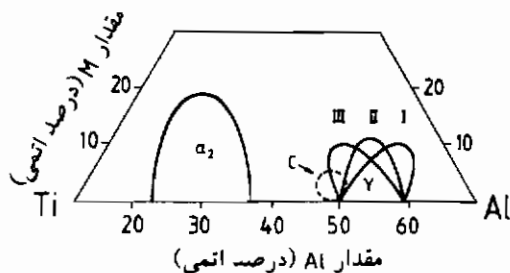
5 - Hashimoto et al., 1986a, b; Kasahara et al., 1987; Tsujimoto and Hashimoto, 1989; Kim, 1989; Ahmed and Flower, 1992

6 - Jackson and Lee, 1992; Jackson, 1993; Nakamura et al., 1993

7 - Ma et al., 1992

8 - Das et al., 1993b; Ma and Dayananda, 1993

تک فاز را طبق کار لیپسیت و همکارانش (۱۹۷۵)، نشان می‌دهد. می‌توان دید که این فاز عملاً بانداشتن توانایی تغییر شکل در دماهای تا 700°C ترد است و تنها بالاتر از این دما تغییر شکل مشاهده شده است. به همین ترتیب، استحکام شکست تقریباً 500 MPa را تا حدود 700°C حفظ می‌کند. بالاتر از آن دما، نرم شدن فعال شدهٔ حرارتی رخ می‌دهد که تغییر شکل مومسان را ممکن می‌سازد و تسلیم حاصله منجر به استحکام‌های تسلیم پایین‌تر از استحکام‌های شکست می‌شود.



شکل ۱۴-شمای مقطع هم‌دمای 900°C نمودار فاز سه‌تایی $\text{TiAl} \rightarrow \text{Ti}-\text{Al}-\text{M}$ با $\text{W}, \text{Ta}, \text{Nb} = \text{M}$ و نسبت $\text{Mn} = \text{M}$ برای $\text{Cr}, \text{V} = \text{M}$: مقطع گسترده‌ی ترکیب مورد توجه تجاری را مشخص می‌کند. (Kim and Dimiduk, 1991).

ریزسازوکارهای تغییر شکل، و خصوصاً واکنش‌های نابهجهایی به طور بسیار مفصل تحلیل شده و از نظر استحکام و شکل پذیری مورد بحث قرار گرفته‌اند^(۱) (فصل یاماکوچی در جلد ۶ MST رانیز ملاحظه کنید). تغییر شکل مومسان از طریق حرکت نابهجهایی‌های منفرد و این نابهجهایی‌ها به دست می‌آید که هر دوی آن‌ها مولفه‌های ساکن از خود نشان می‌دهند. به علاوه، دو قلوشدن یک سازوکار تغییر شکل مهم است. توانایی حرکت کم نابهجهایی علت اصلی رفتار شکست ترد در دماهای پایین است زیرا از تشکیل منطقه‌ی مومسان در نوک ترک که تنش‌های متعرکز را آزاد می‌کند، جلوگیری می‌نماید^(۲). یک تحقیق جدید اثر اندازه‌ی دانه بر رفتار مکانیکی را که نمی‌توان با رابطه‌ی هال-پچ^(۳) توصیف کرد،

1 - Shechtaman et al., 1974; Lipsitt et al., 1975; Yamaguchi and Umakoshi, 1990; Greenberg et al., 1991; Kim and Dimiduk, 1991; Yoo and Fu, 1991; Simmons et al., 1993; Denquin and Naka, 1993; Li and Whang, 1993; Whang and Hahn, 1993

2 - Yoo and Fu, 1991

3 - Hall-Petch

مورد توجه قرار داده است^(۱).

تش تشیم $TiAl$ تک بلور وابستگی دمایی مثبت نامتعارف از خود نشان می‌دهد، یعنی تنفس تسلیم با افزایش دما زیاد می‌شود تا این‌که به بیشترین مقدارش در دمای حدوداً $600^{\circ}C$ می‌رسد و تنها بالاتر از این دما است که وابستگی دمایی منفی معمول پدیدار می‌شود^(۲). این نتایج نامتعارف، از لغزش متقطع فعال شده‌ی حرارتی آبرنابه‌جایی‌های متحرک با توانایی حرکت نسبتاً بالا به سمت صفحه‌های لغزش حاصل می‌شود. این صفحه‌ها مکانی است که نه تنها انرژی آبرنابه‌جایی‌ها، بلکه حرکت آن‌ها هم به دلیل تش پیرلز^(۳) زیاد، پایین‌تر است^(۴). تفاوت انرژی بین آرایش‌های نابه‌جایی (یعنی نیروی محرکه برای لغزش متقطع) ناشی از وابستگی مرز ضد فاز (APB) به استقرار و گستاور نیروی بین بر هم کنشی نابه‌جایی‌های جزیی در اثر ناهمسانگردی کشندنی است. این پدیده‌ها، یعنی انرژی‌های APB ناهمسانگرد و زیاد، ناهمسانگردی شدیدکش‌سازی، و تش‌های بالای پیرلز مقابله کننده با حرکت نابه‌جایی، به پیوند جهت‌دار قوی بین اتم‌های Ti و Al مربوط می‌شوند^(۵).

همان‌طور که در شکل ۱۵ نشان داده شده است، این وابستگی دمایی نامتعارف تش تشیم تسلیم همیشه در آلیاژ‌های $TiAl$ چند بلوره دیده نمی‌شود. دلیل این امر، وجود پدیده‌های استحکام بخشی اضافی در دماهای پایین‌تر (خصوصاً سخت‌کنندگی مرزدانه) است که استحکام را افزایش می‌دهد، به طوری که محل استحکام بیشینه چندان مشخص نیست^(۶). یک تحقیق جدید تأثیرات اندازه‌ی دانه، درصد Al و درصد ناخالصی بر تشیم سیلان نامتعارف در $TiAl$ را مورد توجه قرار داده است^(۷). پدیده‌های نامتعارف مشابهی هم برای دیگر بین‌فلزها دیده شده است. مشناخته شده‌ترین مثال $Ni_{\beta}Al$ است که در بخش ۴-۱-۲ مطرح می‌گردد. سازوکارهایی که باعث وابستگی دمایی نامتعارف در $Ni_{\beta}Al$ و $TiAl$ می‌شوند، مشخصه‌های مشابهی دارند. البته جزئیات امر به دلیل تفاوت در ساختارهای بلوری و آرایش‌های مختلف نابه‌جایی، متفاوت است^(۸).

1 - Imayev et al., 1993a, b

2 - Kawabata et al., 1985; Huang and Hall, 1991 a; Y. G. Zhang et al., 1991; Veyssiére, 1991; Stucke et al., 1993

3 - Pierels

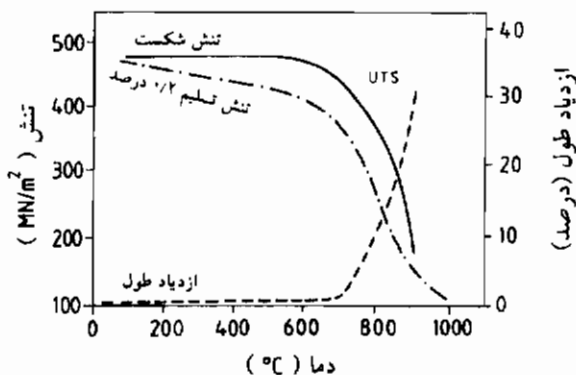
4 - Kawabata et al., 1991 a; Fu and Yoo, 1990; Yoo and Fu, 1991

5 - Fu and Yoo, 1990; Yoo and Fu, 1991

6 - Huang and Hall, 1991a

7 - Sriram et al., 1993

8 - Kawabata et al., 1991 a



شکل ۱۵- استحکام کششی یعنی تنش شکست، استحکام کششی نهایی (UTS)، تنش تسليم ۲/۰ درصد، قابلیت تغییر شکل موسمان پس از افزایش طول کششی به عنوان تابعی از دما برای چند بلورهای تک فاز TiAl با ۴۵ درصد اتمی Al (Lipsitt et al., 1975).

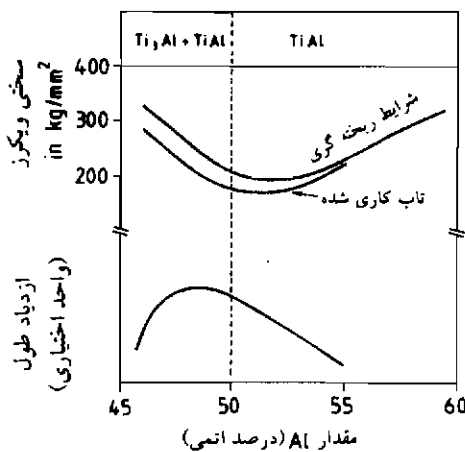
مسئله ای اصلی در استفاده از TiAl شکل پذیری کم آن در دمای اتاق است. شکل پذیری کم TiAl تک فاز (بایش تر از ۵۰ درصد اتمی Al) با افزایش عناصر آلیاژی مانند V, W, Cr, Nb, Mn یا بهبود نمی یابد. کاهش درصد Al شکل پذیری را بهبود می دهد^(۱). اگر به نظرور تشکیل TiAl به عنوان فاز ثانویه در کنار TiAl، مقدار آلومینیم تازیر ۵۰ درصد اتمی کاهش یابد، آلیاژهای بین فلزی دو فازی حاصل چند درصد شکل پذیری نشان می دهند که برای استفاده های معمول، قابل قبول هستند^(۲). این مسئله در شکل ۱۶ که سختی و شکل پذیری در دمای اتاق آلیاژهای تک فاز و دو فاز Al را نشان می دهد، روشن شده است. طبق این داده ها، ۴۸ درصد اتمی Al در آلیاژهای TiAl ترکیب بهینه برای بیشترین شکل پذیری در دمای اتاق است. سختی های مختلف سختی برای شرایط تاب کاری یا ریخته گری اثر شدید تغییرات ریز ساختار بر رفتار مکانیکی را نشان می دهد. هدف تولید مواد مختلف بر پایه ای TiAl بهبود توان استحکام و شکل پذیری، نخست با کنترل ریز ساختار و در درجه هی دوم با آلیاژ کردن با سایر عناصر است.

ریز ساختار (یعنی توزیع) را می توان در محدوده های وسیعی از طریق عملیات حرارتی و فراوری ترمومکانیکی مناسب تغییر داد^(۳). در هنگام فراورش، تبلور مجدد پویا رخ می دهد که به

1 - J. M. Larsen et al., 1990; Kim and Dimiduk, 1991

2 - Huang and Hall, 1991 b; Kim and Dimiduk, 1991; Froes et al., 1991; Nonaka et al., 1992

3 - Koeppen et al., 1992



شکل ۱۶- سختی و یکرزا و ابد طول کششی در دمای انتاق به صورت تابعی از درصد Al برای آلیاژهای TiAl تک فاز و دوفاز. (Kim, 1989)

صورت روشمند مطالعه شده است^(۱). بسته به نوع عملیات حرارتی، دانه‌های درشت و هم محور Al با رگه‌هایی از دانه‌های ریز Al که به وسیلهٔ ذرات Ti₃Al مهار شده‌اند، یا ریزساختار دولایه‌ای ریز شامل دانه‌های TiAl و دانه‌های ورقه‌ای یا ریزساختار تقریباً ورقه‌ای با دانه‌های ورقه‌ای درشت و مقدار جزیی دانه‌های ریز Al، یا ریزساختار کاملاً ورقه‌ای با دانه‌های ورقه‌ای درشت را می‌توان تولید کرد^(۲).

ریزساختارهای مختلف باعث ایجاد ویژگی‌های مکانیکی نسبتاً متفاوت می‌شوند و همان‌گونه که در شکل‌های ۱۷ و ۱۸ دیده می‌شود، امکان‌های مناسبی برای بهینه‌سازی ارائه می‌دهند^(۳). توجه می‌شود که اندازهٔ دانه‌ی کوچک آلیاژهای دولایه برای شکل پذیری و استحکام کوتاه مدت، سودمند اما برای مقاومت خزشی یعنی استحکام بلندمدت به دلیل لغزش مرزدانه‌ها، زیان آور است. چنین آلیاژهای ریز دانه شده که به روش‌های ترمومکانیکی فراوری شده‌اند را می‌توان به صورت آبرمومسان تغییر‌شکل داد^(۴).

ماهیت و جهت استقرار مرزهای بین فازها اهمیت ویژه‌ای در رفتار تغییر‌شکل که از طریق لغزش

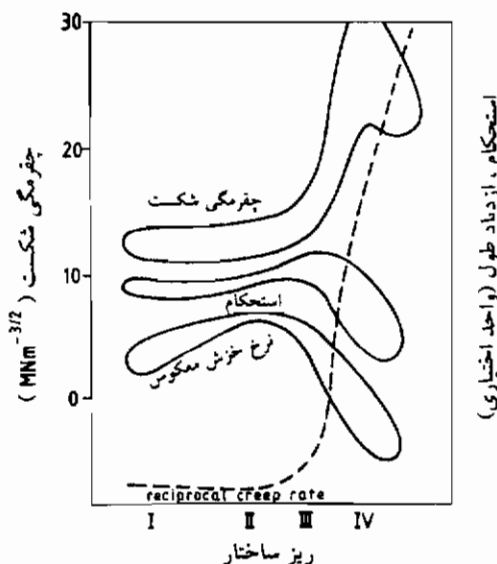
1 - Lee et al., 1993

2 - Kim and Dimiduk, 1991

3 - .Y-W. Kim, 1992

4 - Cheng et al., 1992

و دوقلو شدن کنترل می شود، دارد^(۱). رفتار خزشی آلیاژهای TiAl تک فاز و دوفاز (که شامل دوقلو شدن می باشد)، به صورت مفصل مطالعه شده است^(۲). تحلیل خزش مشاهده شده از لحاظ سهم فازهای تشکیل دهنده موضوع کار بارتولوموز^(۳) و همکارانش (۱۹۹۳) بوده است. تنها بخش کمی از تحقیقات متوجه رفتار خستگی آلیاژهای TiAl شده است^(۴). باید توجه کرد که برخی ریزساختارها (همان طور که از ویژگی های ریزساختاری لایه ای در شکل ۱۷ ثابت می شود) ممکن است اثرات متضادی بر شکل پذیری و چفرمگی داشته باشند. سازوکارهای مختلف چقرمه کردن اخیراً از جنبه‌ی آغاز و رشد ترک در TiAl مطالعه شده‌اند^(۵).



شکل ۱۷- چفرمگی شکست، استحکام کششی و از دیاد طول کششی در دماهای اتاق و عکس آهنگ خزش ثانویه که معياری از مقاومت خزشی است به عنوان تابعی از ریزساختار (شمایی) برای آلیاژهای دوفازی TiAl (Kim and Dimiduk, 1991).

1 - Wunderlich et al., 1993; Seeger and Mecking, 1993; Appel et al., 1993

2 - Feng et al., 1990b; Huang and Kim, 1991; Oikawa, 1992; Maruyama et al., 1992; Hayes and London, 1992; Jin and Bieler, 1993; Bartels et al., 1993

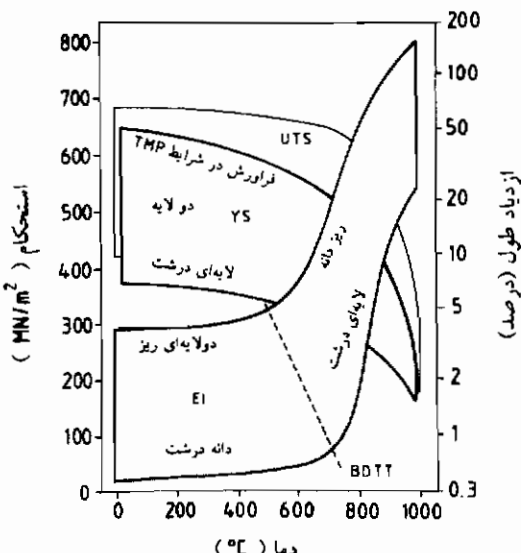
3 - Bartholomeusz

4 - Feng et al.; 1990a; Aswath and Suresh, 1991; Dowling et al., 1991; Froes et al., 1992; Rao et al., 1992; Soboyejo et al., 1993; Stoloff et al., 1993

5 - Chan, 1993a

آلیاژهای Ti-Al دوفازی با ریزساختار بسیار خاص و رفتار مکانیکی فوق العاده جالب با یک روش ویژه‌ی رشد بلور تولید می‌شوند^(۱). به عنوان مثال، آلیاژی با ۴۹/۳ درصد اتمی Al شامل دانه‌های یک یا دو لایه‌ای است که از لایه‌های تشکیل دهنده‌ی اصلی TiAl و فاز ثانویه‌ی Al_xTi_{1-x} و لایه‌های TiAl حاوی تعداد زیادی از دوقلوهای نازک تشکیل می‌شود. بنابراین آلیاژهایی با این ریزساختار، بلورهای دوقلو شده‌ی مصنوعی چندترکیبی (PST) نامیده می‌شوند. این ریزساختار ویژه باعث نوعی رفتار مکانیکی می‌شود که به جهت استقرار بلور نسبت به جهت بارگذاری حساس است. حالت دشوار تغییرشکل با برش از میان مرزهای لایه‌ها، و حالت ساده‌ی برش به موازات مرز لایه‌ها است. حالت دوم (برش موازی) از دیاد طول کششی تا ۲۰ درصد را در دمای اتاق به دست می‌دهد.

علاوه بر انواع عملیات حرارتی و فراورش ترمومکانیکی دقیقاً کنترل شده، از افزودن مقادیر کم عناصر آلیاژساز (معمولًاً ۱ تا ۳ درصد) برای بهینه‌سازی رفتار مکانیکی آلیاژهای TiAl دوفازی استفاده



شکل ۱۸- و استگی دمایی استحکام کششی نهایی (UTS)، استحکام تسلیم کششی (YS)، دمای تبدیل از رفتار تردبه شکل پذیر (BDTT) و از دیاد طول کششی (EI) برای آلیاژهای دوفازی Al_xTi_{1-x} با ریزساختارهای مختلف که تحت شرایط فراورش متفاوت (خصوصاً فراوری ترمومکانیکی) تولید شده‌اند (Kim and Dimiduk, 1991).

می شود^(۱). Cr, Hf, V و Mn به طور قابل ملاحظه ای شکل پذیری را افزایش می دهند و Cr با بیشترین اثر و Mn با حداقل تأثیر محلول جامد استحکام بخش تولید می کنند. Ta و Nb و W هم باعث استحکام بخشی محلول جامد می شوند، اما شکل پذیری را کاهش می دهند. عناصر بین نشین مانند C و N بسته به درصد Al و عملیات های قبلی بر شکل پذیری تأثیر می گذارند و خصوصاً مقاومت خزشی را بهبود می بخشدند^(۲). اثرات عناصر مختلف به تفاوت در توزیع الکترونی و خاصیت پیوند نسبت داده می شود، که منجر به تغییرات در ابعاد سلول واحد شبکه، مستطیلی شدن و اشغال محل های شبکه می گردد. البته، این عناصر نیز به دلیل اثراتشان بر ترمودینامیک سیستم Ti-Al^(۳) بر ریز ساختارها تأثیر آغاز ساز مختلف دشوار است. از این رو هنوز فهم روشی از قوانین ویژه عناصر آلیاژ ساز مختلف به دست نیامده است^(۴). ساز و کار نسبتاً ساده ای از رسوب سختی توسط نمودو^(۴) و همکارانش (۱۹۹۲) مطالعه شده است. پیدایش مواد مختلف به طیفی از آلیاژ های چند تایی منجر شده است که در درصد Al، عناصر آلیاژ ساز و فراوری متفاوت هستند^(۵). گسترهای ویژگی های حاصله در جدول ۲ نشان داده شده است.

یک پیشرفت خاص توسط چینی ها متکی بر آلیاژ سازی L1 با Nb به منظور کسب آلیاژ های محکم، سبک و مقاوم به اکسایش است^(۶). آلیاژ کردن با Nb به نظم دادن اتمی در ساختار L1، TiAl، L1 می انجامد به عبارت دیگر فاز جدیدی تولید می شود که ساختار بلوری آن هنوز کاملاً مشخص نیست. پیشتر در بخش قبلی تأکید شد که تعادل های فازی آلومیناید های تیتانیم به ناخالصی های بین نشین خصوصاً اکسیژن بسیار حساسند. اخیراً دیده شده است که آلیاژ TiAl تقریباً تک فاز با ۵ درصد اتمی Al را می توان از طریق استفاده از Ti و Al با خلوص بالا به دست آورد. در حالی که آلیاژ معمول با خلوص کم دوفازی بوده و مقدار زیادی Al₅Ti₃ هم چین L1 به همراه دارد^(۷).

1 - Kim , 1989; Tsujimoto and Hashimoto, 1989; Yamaguchi and Umakoshi, 1990; Hashimoto et al., 1991; Froes et al., 1991, 1992; Kawabata et al., 1991b, 1993; Kim and Dimiduk, 1991; Huang et al., 1991a; Strangwood et al., 1992; Tsujimoto et al., 1992; Huang, 1993; Hashimoto and Kimura, 1993

2 - Kawabata et al., 1991b; Kim and Dimiduk, 1991

3 - Kim and Dimiduk, 1991

4 - Nemoto

5 - Tsujimoto and Hashimoto, 1989; Hashimoto et al., 1991; Froes et al., 1991; Kawabata et al., 1991b; Kim and Dimiduk, 1991; Tsujimoto et al., 1992

6 - G. Chen et al., 1991, 1992, 1993; W. Zhang et al., 1993

7 - Murata et al., 1992, 1993

خلوص زیاد شکل پذیر است، (با کرنش شکست بیش تر از ۳ درصد) برخلاف $TiAl$ با خلوص کم که کرنش شکست آن تنها در حدود ۱ درصد است.

۲-۲-۳- اثرات محیطی

مقاومت به اکسایش $TiAl$ به دلیل درصد بالاتر Al بیش تر از Ti است، اما هنوز چند مرتبه‌ی اعشار کمتر از سازنده‌های معمول Al_2O_3 از قبیل $NiAl$ است^(۱). مقاومت به اکسایش $TiAl$ بر تشکیل Al_2O_3 محتفظ است که البته همان‌گونه که در مورد Al_2Ti در بخش ۳-۱-۳ بیان شد تنها کمی از TiO_2 پایدارتر است^(۲). به دلیل فعالیت زیاد Ti در آلیاژ‌های $TiAl$ پُر تیتانیم، O اکسید پایداری در مجاورت آلیاژ‌های Al با درصد‌های Al پایین تر از ۵۰ درصد اتمی می‌باشد که نمونه‌ای از آلیاژ‌های با بیش ترین شکل پذیری است^(۳). اکسایش بیش تر به تشکیل TiO_2 یعنی روتیل می‌انجامد که محافظت نیست. بنابراین، برای آلیاژ‌های $TiAl$ که از حیث رفتار مکانیکی بهینه‌سازی شده‌اند، اکسایش مسئله ساز است. شرایط تعادلی و ترمودینامیکی برای تشکیل فازهای اکسیدی مختلف مفصلًاً مطالعه شده است^(۴). رفتار اکسایشی این آلیاژ‌های $TiAl$ به طور قابل ملاحظه‌ای از طریق آلیاژ‌کردن با Al بهبود می‌یابد. این آلیاژسازی به تشکیل لایه‌ی Al_2O_3 محافظت با مقاومت بهبود یافته در مقابل پوسته‌ای شدن منجر می‌شود^(۵).

اکسایش آلیاژ‌های $TiAl$ با درصد‌های Al به اندازه‌ی کافی زیاد (یعنی آلیاژ‌های تک فاز با حداقل ۵۰ درصد Al) به تشکیل پوسته‌های Al_2O_3 با آهنگ اکسایش کم فقط در دمای پایین تر از حدود $1000^{\circ}C$ منجر می‌شود، در صورتی که در دماهای بالاتر، پوسته‌های با ترکیب پیچیده با لایه‌های روتیل بیرونی بر روی لایه‌ی مخلوطی از Al_2O_3 و روتیل با سرعت‌های اکسایش کاملاً افزایش یافته آشکار می‌شوند^(۶). اکسایش سطح ماده، درصد Al در $TiAl$ را آنقدر کاهش می‌دهد که لایه‌ای از $TiAl$ ترد (معمولًاً به همراه ترک‌ها) تشکیل می‌شود. در زیر این پوسته‌ها و لایه‌های سطحی، اکسایش درونی مشاهده می‌شود که به پراکندگی‌های اکسیدی در کل قطعه منجر می‌شود. گذر از اکسایش در دمای

1 - Choudhury et al., 1976

2 - Meier and Pettit, 1992

3 - Kim and Dimiduk, 1991

4 - Rahmel and Spencer, 1991; Zhang et al., 1992b

5 - Becker et al., 1993

6 - Meier and Pettit, 1992; Taniguchi et al., 1991a

پایین به اکسایش در دمای بالا درگستره‌ی دمایی بسیار باریکی رخ می‌دهد و دلایل این رفتار هنوز درک نشده است^(۱). اخیراً سیتیک و ریزسازوکارهای تشکیل پوسته مطالعه شده‌اند^(۲).

مقاومت به اکسایش آلیاژهای TiAl را می‌توان از طریق عملیات‌های پیش اکسایشی خاص بالا برد^(۳). از سوی دیگر می‌توان به وسیله‌ی آلیاژ کردن با Nb، Ta و W آن را بهبود داد که البته شکل پذیری را کاهش می‌دهد، در صورتی که Cr، V و Mn که برای افزایش شکل پذیری استفاده می‌شوند، مقاومت به اکسایش را کاهش می‌دهند^(۴). آلیاژهای پایه‌ی TiAl با درصد های بالای Nb اخیراً از لحاظ ترکیبی با شرایط لازم برای تشکیل پوسته محافظ مطالعه شده‌اند و در حقیقت اکسایش محافظ در ۱۴۰۰°C برای ۵۰ درصد اتمی Al به دست آمده است^(۵). با توجه به مشکلات اکسایش آلومیناید های تیتانیم، پوشش دهی به عنوان فراهم‌کننده محافظت اکسایشی کافی پیشنهاد شده است و روش‌های مختلف مورد مطالعه قرار گرفته‌اند^(۶).

علاوه بر تشکیل پوسته، اکسیزن (مانند دیگر ناخالصی‌های بین نشین یعنی C، N و B) آلیاژهای TiAl را ترد می‌کند^(۷). توجه می‌شود که قابلیت حل شدن اکسیزن در TiAl کم تراز قابلیت حل شدن آن در Al₃Ti است. البته، Ti₃Al در بیش تر آلیاژهای TiAl دیده می‌شود و بنابراین اکسیزن گیراست^(۸). تنش تسلیم در دماهای بالا و پایین، هم از طریق ذرات Al₂O₃ رسوبی و هم اکسیزن محلول افزایش می‌یابد^(۹). تردی محیطی در TiAl مانند بقیه‌ی بین فلزات دیده شده است^(۱۰). واضح است که این تردی از طریق وجود رطوبت در فضای آزمایش ایجاد می‌شود زیرا معلوم شده است که شکل پذیری یک آلیاژ پیشرفته‌ی TiAl (با افروندنی‌های Mn، Si و Cr) در هوای کم ترین، و در اکسیزن خالص بالاترین مقدار را دارد. این قابل پذیردهای تردی به طور محسوسی به دما، آهنگ‌کرنش، ریزساختار و توزیع فاز

1 - Meier and Pettit, 1992

2 - Becker et al., 1992; Shida and Anada, 1993

3 - Suzuki et al., 1991

4- Kim, 1989

5- Brady et al., 1993

6- Nishiyama et al., 1990; Taniguchi et al., 1991b; Yoshihara et al., 1991; Wu and Lin, 1993

7- Kim and Dimiduk, 1991

8- Yamaguchi and Umakoshi, 1990; Kim and Dimiduk, 1991

9- Kawabata et al., 1992

10- Liu and Kim, 1992

بستگی دارند^(۱). تردی محیطی آلیاژهای TiAl دوقلو شده‌ی چند ترکیبی مصنوعی (بخش قبل را بینید) از طریق آلیاژ کردن با Cr, Mn و Mo و آکاہش می‌یابد^(۲).

با این وجود، قابلیت حل شدن هیدروژن در Al برای تشکیل هیدرید در هنگام خنک‌کاری به قدر کافی زیاد است که در گزارش‌های پیشین آشکار نشده بود^(۳). هیچ اثر روشنی از تأثیر هیدروژن بر رفتار مکانیکی TiAl نک فاز پیدا نشده است در صورتی که آلیاژهای دوفاز همراه با Al_xTi_{1-x} از خود تردی ای که احتمالاً ناشی از اثر گازربایی Al_xTi_{1-x} است، نشان دادند. کاریش تر برای درک روشنی از سازوکارهای تردکنندگی لازم است^(۴).

۴-۲-۴-گاربردها

کاربر روی آلیاژ TiAl به دلیل دشواری‌های جدی‌تر مربوط به شکل‌پذیری، کم‌تر از آلیاژ α ، پایه‌ی Al_xTi_{1-x} است. البته آلیاژهای Al_xTi_{1-x} به دلیل چگالی کم‌تر و دماهای استفاده‌ی بالاتر اساساً به عنوان مواد امیدوارکننده‌تر مورد توجه قرار می‌گیرند و اکنون کوشش‌های فزاینده‌ای در کشورهای مختلف بر روی TiAl معطوف شده است. مثلاً در آمریکا^(۵)، ژاپن^(۶)، انگلستان^(۷)، روسیه^(۸) و آلمان^(۹) فراورش آن به خاطر دمای تبدیل رفتار ترد به شکل‌پذیر بالاتر و خصوصاً این که دماهای کارگرم بیرون از گستره‌ی تجهیزات رایج فراوری تیتانیم است، و اندازه‌ی شمش‌های تولیدی را تا حدود ۲۰۰ کیلوگرم محدود می‌کند، دشوارتر از آلیاژهای Al_xTi_{1-x} می‌باشد^(۱۰). تلاش‌های کوتني متوجه بهبود کیفیت آلیاژ از

1- Chan and Kim, 1993; Kim and Dimiduk, 1993

2- Oh et al., 1993a , b

3- Thompson, 1992

4- Eliezer et al., 1991; Thompson, 1992

5- Kim and Dimiduk, 1991; Froes et al., 1991, 1992; Dimiduk et al., 1991; Huang et al., 1991b

6- Nishiyama et al., 1990; Yamaguchi, 1992; Matsuo, 1991; Nakao et al., 1991; Mabuchi et al., 1991; Kusaka, 1991; Yoshihara et al., 1991; Ogishi et al., 1991; Kawabata et al., 1991b; Fujitsuna et al., 1991; Tokizane et al., 1991; Hashimoto et al., 1991; Tokizane et al., 1991; Hashimoto et al., 1991; Masahashi et al., 1991; Matsuo et al., 1991; Nakagawa et al., 1992; Tsujimoto et al., 1992

7- Peacock, 1989

8- Bondarev et al., 1991; Imayev et al., 1993 b

9- Sauthoff, 1990a; Dogan et al., 1991; Dahms et al., 1991; Kuczera et al., 1991; Frommeyer et al., 1992

10- Peacock, 1989; Chesnutt, 1990; Froes et al., 1991; Kusaka, 1991; Matsuo, 1991

طريق بهبود عمليات ذوب و انواع عمليات ترمومکانيکي است^(۱) مساله‌ی توانابي انواع عمليات حرارتی برای تولید شمشال‌های بزرگ بررسی شده است^(۲). علاوه بر ریخته‌گری و کارگرم، متالورژی پودر برای ساخت قطعه استفاده می‌گردد، اگرچه مسایلی در مورد کیفیت، امکان دسترسی و قیمت پودر وجود دارد^(۳).

آلیازهای TiAl ریختگی رامی‌توان به صورت هم‌دما آهن‌گری کرد^(۴)، می‌توان ماده‌ی متالورژی پودر ریزدانه را به صورت آبرمومسان شکل داد^(۵)، و هم‌چنین می‌توان آن را به صورت ریخته‌گری خاص و عمليات ترمومکانيکي شده ساخت^(۶)؛ ورقه‌ی باضمامت ۱ تا ۲ میلی‌متر رامی‌توان از طريق ریخته‌گری دوغلتکی تولید کرد؛ فرایند‌های خاصی برای نورد ظهور کرده‌اند و ماشین‌کاری و هم‌چنین اتصال دادن از طريق پیوند نفوذی و جوش‌کاری امکان‌پذیر است^(۷). فرایند پیوند نفوذی به طور مفصل و ویژه مطالعه شده است^(۸). برای کاربردهای موتور توربین، روش‌های ساخت قطعه برای پوسته‌های کمپرسور و بال هواییما تشریح شده است^(۹). البته کارب‌سیارگسترده‌تری برای غلبه بر مشکلات مربوط به شکل‌پذیری، چفرمگی، مقاومت به خوردگی، استحکام و هزینه‌ها لازم است.

با این وجود، آلیازهای Al-Ti برای استفاده‌های هواخضاوی آینده مورد توجه قرار می‌گیرند^(۱۰) خصوصاً در فضایی‌های ملی (شاتل) آمریکا^(۱۱) و طرح سنگر آلمان^(۱۲) که قبلاً در مبحث آلیازهای Al-Ti در بخش ۳-۴ به آن‌ها اشاره شد. در اینجا استحکام ویژه (یعنی استحکام بر واحد چگالی و وزن

1- Sakamoto et al., 1992; Lombard et al., 1992; Szaruga et al., 1992; Mouldckhues and Sahm, 1992; Guan et al., 1994; Austin and Kelly, 1993; London et al., 1993; T. P. Johnson et al., 1993; Takeyama et al., 1993

2- Semiatin et al., 1993

3- Froes et al., 1991; Chesnutt, 1990; Dahms et al., 1991, 1993; Tokizane et al., 1991; Fuchs, 1993; Oehring et al., 1993

4- Fujitsuna et al., 1991; Clemens et al., 1993 b

5- Tokizane et al., 1991; Matsuo, 1991

6- Tsujimoto et al., 1992

7- Matsuo, 1991; Kim and Dimiduk, 1991; Fujitsuna et al., 1991; Tokizane et al., 1991; Wurzwallner et al., 1993

8- Yan and Wallach, 1993

9- Lipsitt, 1985a; Chesnutt, 1990; Yamaguchi and Umakoshi, 1990; Kim and Dimiduk, 1991; Bondarev et al., 1991

10- Dimiduk et al., 1991; Kim and Dimiduk, 1991; Matsuo, 1991

11- Ronald, 1989

12- Kuczera et al., 1991; Bunk, 1992

مخصوص) از خواسته‌های اولیه هستند و آلیاژ‌های انتخابی باید با مواد فلزی و غیرفلزی با استحکام بالا رقابت کنند. برای برآورده ساختن معیارهای طراحی، آلیاژ‌های TiAl به عنوان مواد نگهدارنده در مواد مرکب زمینه‌ی فلزی مورد توجه قرار گرفته‌اند و ظهور مواد مربوط رو به گسترش است^(۱) در اینجا مشکلات اضافی مربوط به سازگاری مکانیکی و شیمیایی (همان‌طور که قبلًا در مورد آلیاژ‌های Ti_xAl TiAl/SiC در بخش ۳-۱ اشاره شد) باید برطرف شوند. اخیراً کاهش استحکام کششی ماده‌ی مرکب در اثر واکنش‌های فصل مشترک مورد مطالعه قرار گرفته است^(۲). سینتیک واکنش‌های فازی از طریق نفوذ متقابل تعیین می‌شود که در مورد TiAl-Mo_x بررسی گردیده است^(۳). نشان داده شده است که هم مقاومت خزشی و هم چفرمگی ماده‌ی مرکب با زمینه‌ی TiAl را می‌توان با استفاده از رشته‌های پوشش داده شده با فصل مشترک‌های رشته/زمینه‌ی ضعیف بهبود داد^(۴).

در هر حال، آخال‌های تقویت کننده‌ی شکل پذیری در مواد مرکب امکان ارزشمندی برای بهبودی چفرمگی شکست ماده‌ی مرکب را به ارمغان می‌آورند. اثر چفرمه سازی تقویت کننده‌های نرم در زمینه‌های ترد، هم به صورت نظری و هم تجربی در مورد سرامیک‌هایی از قبیل Al_xO_y تقویت شده با Al و فلزات^(۵) مطالعه شده است. این پذیده‌ی چفرمه کننده‌ی برای ماده‌ی مرکب الگو (TiAl/Nb) نیز مشخص شده است^(۶).

علاوه بر استفاده در صنعت هوا-فضا، توجه محققان به کاربردهایی در موتور خودرو مانند سوپاپ، روتورهای توربوشارژر معطوف شده است که در حال نزدیک تر شدن به واقعیت است^(۷). یک پیشرفت موقت آمیز به ساخت روتور توربوشارژر TiAl-Ribختگی با قطر ۴ سانتی متر منجر شده است که به خوبی، هم باروتور SiN سرامیکی و هم روتور اینکولن ۷۱۳C ابزار آلیاژی، از لحاظ کارآیی در شرایط کاری برابری می‌کند و برای استفاده در خودروهای مسافربری با بازده بالا آمده است^(۸).

1- Anton, 1988; Christodoulou et al., 1988; Feng et al., 1990b; Norman et al., 1990; Rösler et al., 1990; Westwood, 1990; Bryant et al., 1991; Froes et al., 1991, 1992; Kumar, 1991; Kumar and Whittenberger, 1991, 1992; Mabuchi et al., 1991; Soboyejo et al., 1993; Sadananda and Feng, 1993

2- Ochiai et al., 1994

3- Zhang et al., 1992a

4- Weber et al., 1993

5- Sigl et al., 1988; Flinn et al., 1989; Ashby et al., 1989

6- Cao et al., 1989

7- Kim and Dimiduk, 1991

8- Nishiyama et al., 1990

۳-۳-۲ دیگر فازهای Al_xTi

۳-۳-۳ ویژگی های اساسی نمودار فازی

تری آلومیناید تیتانیم Al_xTi با ساختار منشوری D_{cc} متبلور می شود (شکل ۱). این ساختار برای برخی دیگر از تری آلومیناید ها یعنی M_xV با $M = Al, Ti, Nb, Ta$ و V و بعضی از فازهای دیگر مانند Li_xV معمول است^(۱). ساختار D_{cc} از ساختار تنگ بسته $L1_1$ از طریق چیدمان مکعب های $L1_1$ به صورت یک درمیان با مرزهای ضد فاز حاصل می شود. بنابراین ساختار D_{cc} را می توان به عنوان ساختار مکعبی با نظم دوربرد به صورت واپیچیده به شکل مکعب مستطیل تلقی کرد^(۲).

ساختار D_{cc} نیز برای محاسبات اصل نخستین مکانیک کوانتومی به اندازه هی کافی ساده است و در حقیقت این محاسبات ابتدایی برای Al_xTi به منظور بررسی نوع پیوند و پایداری فاز و به دست آوردن مقادیر نظری ثابت های کش سانی، انرژی های عیب و انرژی های شکافت بلوری، انجام شده است^(۳). مقادیر سخت پایی کش سانی که به صورت تجربی تعیین می شوند، بزرگ تر از مقادیر نظری هستند و خصوصاً مقدار تجربی ۲۱۶ GPa که برای ثابت یانگ Al_xTi چند بلوره در دمای اتاق به دست آمده کاملاً بیش تر از مقدار ثابت یانگ برای دیگر آلومیناید های تیتانیم و هم مرتبه با آبرآلیاژ هاست^(۴). به خاطر درصد بالای Al در Al_xTi ، چگالی $3/2 g/cm^3$ آن هنوز هم کم تر از چگالی سایر آلومیناید های تیتانیم است^(۵). به علاوه، مقاومت به اکسایش آن بسیار بیش تر از $TiAl$ و Al می باشد^(۶) و بنابراین Al_xTi فاز منتخب برای کاربردهای سازه ای سبک است. هم چنین Al_xTi به عنوان ماده هی پوششی مورد توجه قرار گرفته و سیستمیک اکسایش آن به صورت مفصل مطالعه گردیده است^(۷). Al_xTi به طور غیر متجانس در حدود $1340^{\circ}C$ ذوب می شود و براساس نمودارهای فازی موجود یک ترکیب خطی با ترکیب ثابت است^(۸). باید توجه کرد که تعادل های در دمای بالا هنوز هم تحت

1- Bauer, 1939; Villars and Calvert, 1991

2- Bauer, 1939; Yamaguchi and Umakoshi, 1990

3- Carlsson 1991; Lin et al., 1991; Yoo and Fu, 1991

4- Nakamura, 1991; Nakamura and Kimura, 1991

5- Yamaguchi and Umakoshi, 1990

6- Umakoshi et al., 1989; Subrahmanyam and Annapurna, 1986

7- Smialek and Humphrey, 1992

8- Glazova, 1965; Murry 1988; Rowe and Huang, 1988; Huang and Siemers, 1989; Schuter and Ipser, 1990; Shull and Cline, 1990; Y.A. Chang et al., 1991; Perepezko, 1991a

بررسی هستند. $Al_{\beta}Ti$ می‌تواند با سایر تری آلومینایدهای D_{22}^0 برای تشکیل فازهای سه‌تایی D_{22}^0 آلیاژ شود که ترکیب‌های خطی بلندتری نیستند اما گستره‌ی همگنی بیش‌تری دارند. به عبارت دیگر ترکیب می‌تواند بین حدود حلالیت تغییر کند که در نمودارهای فاز سه‌تایی مربوطه دیده می‌شود^(۱).

۳-۲-۴- ریزساختار و رفتار مکانیکی



Riftar تغییر‌شکل $Al_{\beta}Ti$ به تفصیل تحلیل و بررسی شده است^(۲). شکل ۱۹ وابستگی دمایی تنش تسلیم برای ماده‌ی چندبلوره با اندازه‌ی دانه‌ی حدوداً ۱ میلی‌متر تولید شده به روش ذوب القایی در خلاء را نشان می‌دهد که حاوی نسبت کمی از ذرات فاز ثانویه (غالباً Al_2O_3) ناشی از خاصیت ترکیب خطی این فاز، می‌باشد. استحکام $Al_{\beta}Ti$ در دمای اتاق در مقایسه با استحکام دیگر آلومینایدهای تیتانیم در تقریباً $55^{\circ}C$ ، پایین‌تر است (جدول ۲ را ببینید). حالت عمدی تغییر شکل دوقلو شدن است که بر تقارن ساختار D_{22}^0 تأثیر نمی‌گذارد. طبق بررسی نظری Riftar تغییر‌شکل برای بلورهای D_{22}^0 ، دلیل غلبه‌ی سازوکار دوقلو شدن، تحرک کم نابه‌جایی‌ها است^(۳). علی‌رغم موسمانی میکروسکوپی مشاهده شده، تقریباً هیچ‌گونه شکل پذیری در دمای پایین‌تر از $620^{\circ}C$ وجود ندارد و ترک‌ها به آسانی در ناهمگنی‌های ساختار یعنی آخال‌ها، ذرات فاز ثانویه، تقاطع دوقلوها و مرز دانه‌ها، هسته‌گذاری می‌شوند.

شکل پذیری $Al_{\beta}Ti$ با کم آلیاژ کردن، یعنی افزودن مقادیر کم Zr و Hf هم‌چنین B و Li بهبود می‌باید و کرنش شکست با درصد کم فشردگی در دمای اتاق به دست می‌آید^(۴). گمان می‌رود اثر Hf و Zr ناشی از کاستن انرژی خطای چیدمان باشد زیرا فازهای $Al_{\beta}Zr$ و $Al_{\beta}Hf$ با ساختار D_{22}^0 متبلور می‌شوند که با ساختار D_{22}^0 متفاوت است زیرا تناوب چیدمان طولانی تری نسبت به مکعب‌های $L1_1$ دارند.

برای استفاده به عنوان پوشش مقاوم به اکسایش^(۵) ولايهی سطحی مقاوم به سایش روی $Al_{\beta}Ti$

1- Sridharan and Nowotny, 1983; Hashimoto et al., 1986b; Kumar, 1990; Hellwig, 1990; Paruchuri and Massalski 1991; Weaver et al., 1991; Perepeko, 1991a

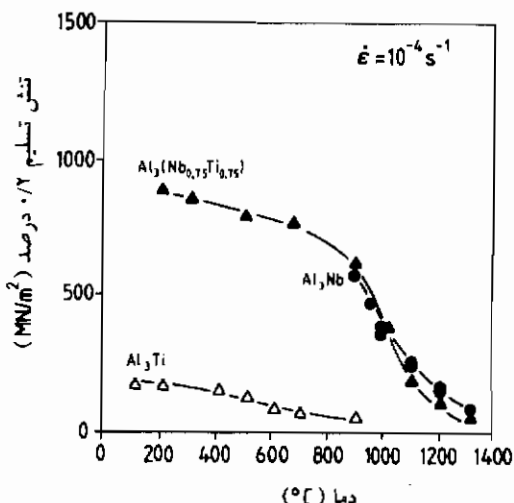
2- Yamaguchi et al., 1987, 1990; Wheeler et al., 1990; Morris and Lerf, 1991; Yamaguchi and Umakoshi, 1990; Shimokawa et al., 1991; and Chapter by Umakoshi in Volume 6 of MST

3- Khantha et al., 1992

4- Yamaguchi et al., 1988

5- Subrahmanyam and Annapurna, 1986; Umakoshi, et al., 1989; Smialek and Humphrey, 1992

آلیازهای Ti و آلومینیايدهای تیتانیم مورد توجه قرار گرفته است^(۱). باید توجه داشت که آلومینیايد تیتانیم پر Al دیگری نیز (Al_xTi) وجود دارد که با ساختن مشابه و روش فراورش یکسان، مقاومت به ترک خوردگی بالاتری نسبت به Ti-Al_xTi دارد^(۲). به تازگی Al_xTi به عنوان لایه‌ی نازک بین اتصالات در



شکل ۱۹- استحکام تسلیم T_{m} در خلاء و تنش تسلیم σ_{m} در صد Nb و $(\text{Nb}_{0.75}, \text{Ti}_{0.25})$ در هوا با ساختار D_0 در آزمون فشار با آهنگ کرنش s^{-1} (۱۰^{-۳}) به صورت تابعی از دما (آبیارهای چندیلوره‌ی درشت دانه شده Sauthoff, 1990b; Relp, 1991; Reip and Sauthoff, 1993)

ترک خوردگی بالاتری نسبت به Al_mTi دارد.^(۳) به تازگی Al_mTi به عنوان لایه‌ی نازک بین اتصالات در وسایل میکروالکترونیک (جایی که Al_mTi به عنوان مانع نفوذ عمل می‌کند) به کار رفته است.^(۴) در مقایسه با فلزینه کردن با Al , آلومیناید های بین فلزی به دلیل ضریب نفوذ های پایین تر، مقرن به صرفه تر هستند و بهترین و ثبات‌گر ها در لایه های نازک Al_mTi مشاهده شده است.

1- Uenishi et al., 1992

2- Benci et al., 1993

3- Benci et al., 1993

4- Colgan, 1990; Gupta et al., 1993

Al_xV

Al_xV نویدبعخش استفاده‌هایی در فناوری رآکتور هسته‌ای بوده و از لحاظ بهبود شکل پذیری مورد بررسی قرار گرفته است^(۱). با Al_xTi هم ساختار می‌باشد و هر دو، مجموعه‌های پیوسته‌ای از بلورهای مخلوط را می‌سازند. تنها دمای ذوب آن کمی بالاتر از Al_xTi است و بنابراین رفتار تغییرشکل مشابهی از آن انتظار می‌رود. در حقیقت سازوکارهای تغییر شکل آن با Al_xTi مشابه است. البته تنفس تسليم در حدود ۲ برابر Al_xTi است و هیچ گونه شکل پذیری فشاری (در خلاء) پایین تر از $400^{\circ}C$ وجود ندارد.

کم آلیاژ کردن با Al_xTi شکل پذیری فشاری را به قیمت کاهش تنفس تسليم بهبود می‌بخشد به طوری که ($0.5 Al_{0.95}Ti_{0.05}$)_x کرنش شکستی در حدود $7^{\circ}C$ درصد از خود نشان می‌دهد. آلیاژ کردن بیش تر با Al_xTi به بدتر شدن این ویژگی‌ها منجر می‌شود. به عبارت دیگر ($0.75 Al_{0.25}Ti_{0.75}$)_x به طور قابل ملاحظه‌ای محکم‌تر از Al_xV است، اما تنها می‌تواند در $700^{\circ}C$ و بالاتر تغییرشکل مومنان پیدا کند. براساس مطالعات نظری با محاسبات اصل نخستین معلوم شده است که فاز Al_xRu نیز ساختار D_{22}^0 دارد و بسیار مشابه Al_xV است^(۲). انتظار می‌رود رفتار تغییرشکل Al_xRu مشابه Al_xV ، اما با شکل پذیری بیش تر باشد.

Al_xNb

Al_xNb ترکیبی خطی است و از این رو معمولاً حاوی فازهای ثانویه، خصوصاً Al اضافی در مرز دانه‌ها است. با حرکت نابهجهای‌ها و دوقلو شدن تغییرشکل می‌دهد و در دمای اتفاق ترد می‌باشد^(۳). علی‌رغم تردی در دمای اتفاق، Al_xNb به عنوان فاز منتخب برای قطعه‌های سازه‌ای در دمای بالا مورد توجه قرار می‌گیرد^(۴). رفتار تغییرشکل، هم‌چنین ویژگی‌های فیزیکی Al_xNb و آلیاژ‌های پایه‌ی Al_xNb به صورت مفصل‌تر بررسی شده‌اند^(۵). نتایج مقدماتی در مقاله‌های ساوت‌ف (1990a, b) ارائه شده است. در ادامه، یافته‌های عمدۀ به اختصار عنوان می‌شوند.

علی‌رغم چگالی بالای Nb ، فاز Al_xNb با ساختار D_{22}^0 باز هم ماده‌ی سبکی با چگالی

1- Umakoshi, et al., 1988

2- Paxton and Pettifor, 1992

3- Shechtman and Jacobson, 1975

4- Rodriguez et al., 1991

5- Reip, 1991; Reip and Sauthoff, 1993

$4/54 \text{ gr/cm}^3$ است و متوسط ضریب انبساط حرارتی آن بین دمای اتاق و 1000°C در حدود $9/6 \times 10^{-6} \text{ K}^{-1}$ می‌باشد که کمتر از فولادها و ابرآلیاژهای Al_xNb است. Al_xTi و Al_xV به صورت متجانس ذوب می‌شود^(۱) که تهیه‌ی آن را آسان‌تر می‌سازد. دمای ذوب آن (1605°C) خیلی زیادتر از دیگر فازهای D_2 است و بنابراین استحکام بسیار بیشتری (خصوصاً در دماهای بالا) از آن انتظار می‌رود.

ضریب یانگ، در دمای اتاق 246 GN/m^2 ، در 600°C ، 224 GN/m^2 ، با استگی دمایی خطی بین دو دما است و مقدار آن بیشتر از سایر آلومینیايدهای تیتانیم و حتی بالاتر از ابرآلیاژهای Al_xTi است (جدول ۲). نسبت پواسان آن $1/17$ به دست آمده است و به همین ترتیب برای Al_xTi و سایر بین فلزات با ساختارهای بلوری پیچیده نیز مقادیر کمی حاصل شده است^(۲).

تش تسلیم، یا به عبارت دیگر تش $2/0$ درصد Al_xNb در شکل ۱۹ به صورت تابعی از دما در بالاتر از 850°C در هوا داده شده است. بین 600°C و 800°C ، به دلیل اکسایش مرزدانه‌ها به صورت ناگهانی می‌شکند که به عنوان پدیده‌ی سفیدک شناخته می‌شود. پایین‌تر از 500°C کرنش شکست در فشار، کوچک‌تر از $2/0$ درصد است در حالی که تغییر شکل مومسان در خمث فقط در بالاتر از 1050°C دیده شده است. همان‌گونه که پژوهشگران دیگر هم دریافتند، چقلمگی شکست کرنش صفحه‌ای در دمای اتاق تنها حدود $2/2 \text{ MN/m}^{3/2}$ است^(۳).

توجه می‌شود که این سفیدک برای Al_xNb در دمای بحرانی حدود 720°C و تحت فشارهای جزیی اکسیژن بین -10°C و -10°C بار مشخص‌تر است در حالی که هیچ سفیدکی در اکسیژن خالص مشاهده نمی‌شود^(۴). گمان می‌رود که تجزیه‌ی شبه سفیدک Al_xNb احتمالاً ناشی از اکسایش انتخابی Al در مرزدانه‌ها باشد که به تهی‌سازی از Al و تشکیل Al_xNb می‌انجامد^(۵). دیگر ترکیب‌های بین فلزی نیز از سفیدک رنج می‌برند و سازوکار این پدیده به طور کامل درک نشده است^(۶). سیستم‌های لغزش نابهجهای مشاهده شده تفاوتی با دیگر فازهای D_2 ندارند و باز هم حالت عمده‌ی تغییر شکل در دماهای پایین و بالا، دوقلو شدن است که بر نظم تأثیری ندارد. تعداد حالت‌های

1- Massalski et al., 1990

2- Fleischer et al., 1989b; Nakamura, 1991

3- Schneibel et al., 1988

4- Steinhorst and Grabke, 1990; Grabke et al., 1991a

5- Tolpygo and Grabke, 1993

6- Westbrook and Wood, 1964; Aitken, 1967; Meier and Pettit, 1992

تغییر شکل مستقل کم‌تر از تعداد تعیین شده توسط معیار فن - میزس است که به تردی مشاهده شده کمک می‌کند (بخش ۲-۳ را بینید). شکل پذیری در دماهای بالا از حرکت نابهجهای فعال شده‌ی حرارتی یا به عبارت دیگر خرز حاصل می‌شود.

استحکام خرزی Al_βNb نسبتاً پایین است (تنش 10 MN/m^2 تنها ظرف ۵۰ ساعت ۱ درصد کرنش ایجاد می‌کند و ظرف ۲۳۰۰ ساعت موجب شکست می‌شود) در حالی که تنش تسلیم آن در حد مطلوبی با آرآلیاژها قابل قیاس است. این مطلب واقعیتی را روشن می‌سازد که تفاوت بین تنش تسلیم و استحکام خرزی برای ترکیب‌های بین فلزی بسیار مشخص تراز آلیاژهای رایج است. خرز Al_βNb از طریق صعود نابهجهای کنترل می‌گردد که با تشکیل دانه‌های فرعی همراست. رفتار خرز مشاهده شده مشابه آلیاژهای نامنظم رایج است و نرخ خرز از طریق شناخت معادله‌های ساختمندی تعیین می‌گردد. این مسأله به صورت مفصل تر در مورد NiAl مطرح خواهد شد (بخش ۴-۳). آهنگ خرز ثانویه از قانون نمایی یعنی معادله‌ی $\dot{\epsilon} = A \frac{DGb}{kT} \left(\frac{\sigma}{G} \right)^n$ ^(۱) برای خرز نابهجهای پیروی می‌کند:

$$\dot{\epsilon} = A \frac{DGb}{kT} \left(\frac{\sigma}{G} \right)^n \quad (2)$$

که در اینجا $\dot{\epsilon}$ آهنگ کرنش ثانویه، A ثابت بی‌بعد، D ضریب نفوذ مؤثر، G ضریب برشی، b بردار پرگرز، k ثابت بولتزمن، T دما، و σ تنش اعمالی است. نمای n بین ۳ و ۵ است. برای Al_βNb نمای $3/6$ و انرژی فعال سازی ظاهری 360 kJ/mol به دست آمد است که 35 kJ/mol آن ناشی از واستگی دمایی ضریب برشی و 325 kJ/mol باقیمانده بیانگر واستگی دمایی عوامل دیگر معادله‌ی $\dot{\epsilon}$ را در خود حل می‌کند یعنی می‌تواند با نیستند^(۲).

همانگونه که در بخش ۳-۳ اشاره شد، Al_βNb را در خود حل می‌کند یعنی می‌تواند با Al_βTi آلیاژ شود تا دسته‌های پیوسته‌ای از بلورهای مخلوط با ساختار D_0 را بازاند که ترکیب‌های خطی چندان بلندتری نیستند. شکل ۱۹، تنش $1/2$ درصد کرنش فاز سه‌تایی ($\text{Al}_\beta\text{Nb}_{0.75}\text{Ti}_{0.25}$) را به صورت تابعی از دما در هوانشان می‌دهد و می‌توان دید که برخلاف آلیاژ دوتایی Al_βNb ، کرنش شکست آن در فشار بیش تراز کرنش $1/2$ درصد Al_βNb در 200°C است و به علاوه هیچ نشانی از پدیده‌ی سفیدک وجود ندارد. البته در خمین، دمای تبدیل تردی به شکل پذیری آن تنها کمی کم‌تر از

$\text{Al}_\text{m}\text{Nb}$ است. همان‌گونه که قبلاً برای $\text{Al}_\text{m}\text{Nb}$ مشاهده شد (بخش ۳-۲ را ببینید)، افزودن مقدار کمی Hf و Li کاهش بیش تری از دمای تبدیل تردی به نرمی را به دست می‌دهد. باید توجه کرد که همانند حالت $\text{Al}_\text{p}\text{Ti}$ (بخش ۳-۴ را ببینید)، تلاش‌هایی برای آلیاژ کردن $\text{Al}_\text{m}\text{Nb}$ با یک عنصر سوم به منظور ایجاد ساختار $\text{L}1_2$ به جای ساختار D_0 انجام شده است، زیرا ساختار $\text{L}1_2$ به عنوان مزیتی برای توسعه‌ی بین فلزات شکل پذیر مورد توجه قرار می‌گیرد^(۱). البته، این کوشش‌ها موفقیت آمیز نبوده است. نمودارهای فازی سه‌تایی مربوطه به انضمام اطلاعات قدیمی از آلمان و شوروی (سابق)، توسط کومار^(۲) (۱۹۹۰) بررسی شده است.

بهبود چشم‌گیرتر در چفرمگی و دمای تبدیل تردی به شکل پذیری از طریق استفاده از Nb به عنوان جزء لازم در آلیاژ دوفازه یا چند فازه‌ی بین فلزی (یعنی با ترکیب $\text{Al}_\text{m}\text{Nb}$ با فاز دیگری که کم‌تر ترد است) به دست می‌آید. خصوصاً $\text{Al}_\text{p}\text{Nb}$ تعادل پایداری با فاز NbAl با ساختار $\text{B}2$ تشکیل می‌دهد. به عبارت دیگر، آلیاژهای بین فلزی $\text{NiAl}-\text{Al}_\text{m}\text{Nb}$ را می‌توان تولید کرد، که در بخش ۴-۳ مطرح می‌شوند. دیگر آلیاژهای پایه‌ی $\text{Al}_\text{m}\text{Nb}$ با ریز ساختار پیچیده از طریق استفاده از روش‌های فراوری بدیع از جمله انجماد سریع و روش‌های متالورژی پودر تولید می‌شوند^(۳). به عنوان مثال، آلیاژ چندفازی پایه‌ی $\text{Al}_\text{m}\text{Nb}-\text{TiB}$ که توسط^(۴) به صورت پراکنش ذره‌ای مستحکم شده است، از طریق چرخانش مذاب، خردایش و فشردن ایزواستاتیک گرم تولید می‌شود^(۴). در این جا کاربرد سیار زیادی برای تخمین قابلیت‌های بالقوه‌ی آلیاژهای پایه‌ی $\text{Al}_\text{m}\text{Nb}$ برای کاربردهایی به عنوان مواد سازه‌ای در دمای بالا، لازم است. جدا از رفتار مکانیکی، مقاومت به اکسایش کافی بیش نیاز هر استفاده‌ای در دمای بالا است. علی‌رغم این واقعیت که به عنوان پوشش مقاوم به اکسایش برای آلیاژهای پایه‌ی نیکل در نظر گرفته می‌شود^(۵)، مقاومت به اکسایش یک قطعه‌ی $\text{Al}_\text{m}\text{Nb}$ صرفاً از طریق تشکیل پوسته محدود می‌شود^(۶). مقاومت اکسایشی با Al اضافی و افزایش‌های کم Hf بهبود می‌یابد^(۷). هم‌چنین $\text{Al}_\text{p}\text{Nb}$ که با

1- Li et al., 1992; Subramanian and Simmons, 1991

2 - Kumar

3- Bowman and Noebe, 1989; Bowden, 1989; Lu et al., 1990; Alman and Stoloff, 1991; Rodriguez et al., 1991; Ayer and Ray, 1991; Ho and Sekhar, 1991

4- Ray and Ayer, 1992

5- Bowden, 1989

6- Perkins et al., 1988; Hebsur et al., 1989; Korinko and Duquette, 1990; Steinhorst, 1989; Steinhorst and Grabke, 1989; Grabke et al., 1990, 1991b

7- Steinhorst , 1989; Grabke et al., 1990, 1991b

Cr و Y کم آلیاژسازی می‌شود، مقاومت به اکسایش خوبی در دمای 1200°C نشان می‌دهد اما باز هم از پدیده‌ی شدید سفیدک حین تشکیل در دماهای متوسط آسیب می‌بیند^(۱). این آلیاژها نیز از حیث استحکام و چقرمگی شکست در دماهای پایین و بالا مطالعه شده‌اند. جذا از این بهبودهای حاصل از آلیاژکردن تک فازی، مقاومت به اکسایش Al_μNb به طور قابل ملاحظه‌ای با آلیاژکردن با NiAl به منظور تشکیل آلیاژهای چندفازه‌ی بین فلزی افزایش می‌یابد^(۲)، یعنی آلیاژهای چندفازه‌ی $\text{Al}_\mu\text{Nb-NiAl}$ هم از لحاظ رفتار تغییر شکل و هم مقاومت به اکسایش‌شان مفرون به صرفه هستند و پدیده‌ی سفیدک را نشان نمی‌دهند.

Al_μTa

ساختار D_{22} در Al_μTa دقیقاً مشابه با $\text{Al}-\text{Ta}-\text{Ti}$ است^(۳). اخیراً نمودارهای فازی $\text{Al}-\text{Ta}-\text{Ti}$ و $\text{Al}-\text{Ta}-\text{Nb}$ بررسی شده‌اند^(۴). دمای ذوب بالاتری (1627°C) نسبت به Al_μNb دارد و به نظر می‌رسد رفتار تغییر شکل مشابهی داشته باشد^(۵). تولید این فاز به دلیل نقاط ذوب بسیار متفاوت عناصر تشکیل‌دهنده، دشوار است. با این وجود، این آلیاژ برای پیشرفت مواد مرکب مورد توجه قرار می‌گیرد^(۶).

Ni_μV

تری آلومیناید‌های D_{22} که در بالا به آن‌ها اشاره شد، ترکیب‌های خطی هستند و ساختار بلوری منظم آن‌ها نقطه‌ی ذوب پایدار است که احتمالاً به عنوان شاخصی از تمایل شدید به نظم تلقی می‌گردد. برخلاف این فازهای فاز V با ساختار D_{22} ، گستره‌ای از همگنی را نشان می‌دهد و ساختار بلوری منظم آن تنها در دماهای پایین تر پایدار است. به عبارت دیگر Ni_μV در 1045°C نامنظم می‌شود و محلول جامد Ni-V با ساختار fcc تشکیل می‌دهد^(۷). این محلول تمایل ضعیفی به نظم‌دهی از خود نشان

1- Raj et al., 1992a

2- Steinhorst , 1989; Grabke et al., 1990, 1991b

3- Bauer , 1939

4- Subramanian et al., 1990b; Sridharan and Nowotny, 1983

5- Pak et al., 1990

6- Alman and Stoloff, 1991; Anton, 1988; Shah et al., 1990; Kumar, 1991

7- Massalski et al., 1990

می دهد. سازوکارهای تغییر شکل به تفصیل بحث و بررسی شده اند^(۱). همانند تری آلومیناید ها، V_{Ni} از طریق دولوشن تغییر شکل می دهد که بر نظم ساختارش اثر ندارد. تنش تسليم آن نسبتاً بالاست، مثلاً برای V_{Ni} چند بلوره با دامنه نظم طولانی، 720 MN/m^2 و برای V_{Ni} با دامنه نظم کوتاه، 1320 MN/m^2 است. برخلاف تری آلومیناید ها، V_{Ni} شکل پذیری فشاری قابل توجهی در دمای اتفاق نشان می دهد. البته شکل پذیری کشی بازهم کوچک است. به عبارت دیگر، V_{Ni} نیز ترد تلقی می شود^(۲).

آلیاژ کردن V_{Ni} با Co و Fe به فازهای $\text{V}_{(\text{Fe}, \text{Co}, \text{Ni})}$ و $\text{V}_{(\text{Fe}, \text{Ni})}$ با ساختار L_1 می انجامد. این فازهای چهارتایی و سه تایی، بسیار شکل پذیر بازدیداد طول کششی ۴ درصد یا بیش تر در دمای اتفاق هستند و اساس پیشرفت موفقیت آمیز این مواد بوده اند که در بخش ۲-۴ به همراه سایر فازهای L_1 مرتبط با Al_{Ni} تشریح می شوند^(۳). تبدیل ساختار D_0 به ساختار L_1 از طریق آلیاژ کردن، این واقعیت را روشن می کند که چنین ساختارهای بلوری کاملاً مشابه (بخش ۲-۳-۱ را بینید) به همان گونه که به صورت نظری با محاسبات ابتدایی نشان داده می شود از لحاظ انرژی و پایداری فقط کمی متفاوت هستند^(۴).

در این زمینه باید به Nb_{Ni} با ساختار D_0 اشاره کرد که از مواد مهم کاربردی برای برخی از آن آلیاژ های پایه نیکل است. این آلیاژ ها به وسیله ذرات Nb_{Ni} نیمه بایدار رسوبی استحکام بخشی می شوند و قابلیت جوش کاری خوبی از حود نشان می دهند^(۵).

۳-۴-۳-تری آلومیناید های با ساختار L_1

۳-۴-۳-۱-ویژگی های پایه و نمودارهای فاز

ساختار L_1 مکعبی متقارن تراز D_0 منشوری است (شکل را بینید). طبق معیار فن-میزس به تعداد کافی سیستم لغزش وجود دارد و از این رو باید توانایی تغییر شکل بیش تری هم داشته باشد^(۶).

1- Moreen et al., 1971; Vanderschaeve et al., 1979; Faress and Vanderschaeve 1987; Yamaguchi and Umakoshi, 990; Khantha et al., 1992

2- Liu and Inouye, 1979

3- Liu, 1984

4- Stocks et al., 1987; Carlsson, 1991; Freeman et al., 1991

5- Oblak et al., 1974

6- George et al., 1991b

خصوصاً پس از نرم‌کنندگی موفقیت آمیز Ni_3Al و Ni V (بخش ۴-۲ و ۴-۱ را ملاحظه کنید)، ساختار $\text{L}1_1$ به عنوان مفیدتر و امیدوارکننده‌ترین ساختار برای ظهور ترکیب‌های بین فلزی سازه‌ای مورد توجه قرار می‌گیرد.

از مدت‌ها پیش وجود ترکیب‌های بین فلزی سه تایی پرآلومینیم با ساختار fcc منظم $\text{L}1_1$ ، مشخص بوده است^(۱). در بخش‌های قبلی (بخش ۳-۲ و ۳-۳) اشاره شد که ساختارهای بلوری D_{22} و $\text{L}1_1$ کاملاً مشابه هستند و تفاوت انرژی‌شان اندک است. سومین ساختار کاملاً مشابه، ساختار D_{23} است که ساختار مکعبی دیگری با نظام طولانی بر پایه‌ی ساختار $\text{L}1_1$ است^(۲). اخیراً تری‌آلومیناید‌های دو تایی و فازهای سه تایی پرآلومینیم با ساختارهای بلوری بسیار نزدیک از نقطه نظر عملی و تئوری در رابطه با پایدارسازی ساختار $\text{L}1_1$ از طریق آلیاژ‌کردن و جنبه‌های توسعه‌ی مواد بر اساس این قبیل فازهای $\text{L}1_1$ بررسی شده‌اند^(۳). نتایج اصلی در زیر خلاصه می‌شوند:

Sc ، (عنصر گروه IIIA) مانند برخی آکتینید‌ها و عناصر خاکی نادر، تری‌آلومیناید دو تایی پایدار با ساختار $\text{L}1_1$ می‌سازد در حالی که عناصر گروه IVA و VA تری‌آلومیناید‌های با ساختار D_{22} ، یعنی Al_3Hf و Al_3Ti در دمای بالا و Al_3Nb و Al_3V در دمای پایین، یا Al_3Zr با ساختار D_{23} در دمای پایین می‌سازند. فازهای $\text{L}1_1$ سه تایی از طریق آلیاژ‌کردن Al_3Ti با Cr و Fe ، Mn با Al_3Nb و V با Al_3Zr به دست می‌آیند در حالی که ساختار $\text{L}1_1$ با Nb ، V با Zn ، Au ، Ag ، Cu ، Pd ، Pt ، Rh ، Ni ، Co به دست نیامده است^(۴). هم‌چنین، ساختار $\text{L}1_1$ از طریق آلیاژ‌کردن با Al_3Zr با Cu ، Ni ، Fe ، Mn ، Al_3Cr و Al_3Sc و Al_3V و Al_3Ta به فازهای $\text{L}1_1$ نمی‌انجامد. رفتارهای آلیاژ‌سازی مختلف، تفاوت پایداری ساختارهای رقیب را منعکس می‌کند و می‌توان با توجه به توزیع چگالی الکترون‌ها (همان‌گونه که بر اساس محاسبات ابتدایی مکانیک کواترومی به دست آمده است) این مسئله را درک کرد. این مطلب خصوصاً برای $\text{Al}_3\text{Nb-Ni}$ که به دلیل ترکیب سودمند دمای ذوب بالا و چگالی کم جلب توجه می‌کند، نشان داده شده است^(۵). توجه می‌شود که تری‌آلومیناید‌های دو تایی نیمه پایدار یعنی پودرهای Al_3Ti و Al_3Hf و Al_3Zr با ساختار $\text{L}1_1$ را می‌توان با آلیاژ‌کردن مکانیکی (یا به عبارت دیگر فراورش در دمای

1- Raman and Schubert, 1965

2- Bauer, 1939

3- Kumar, 1990, 1993; Freeman et al., 1991; George et al., 1991b

4- Kumar, 1990; Freeman et al., 1991; George et al., 1991b; Nakayama and Mabuchi, 1993

5- Inoue et al., 1991b

پایین) به دست آورد^(۱). در این زمینه می توان از فاز Pd_{Mn} نام برد که پایین تر از 530°C برای تشکیل ساختار D_{0} در غیاب هیدروژن، و ساختار L_1 در حضور هیدروژن با فشار جزیی کافی، نظم می گیرد^(۲).

ترکیب فازهای سه تایی L_1 پر آلومینیم می تواند در گستره‌ی کوچکی از همگنی تغییر کند و بسته به عنصر آلیاژ کننده با فرمول‌های تقریبی مختلف، $\text{Al}_{\text{Ti}}\text{M}$, $\text{Al}_{\text{Ti}}\text{M}_2$, $\text{Al}_{\text{Ti}}\text{M}_3$, $\text{Al}_{\text{Ti}}\text{M}_5$ در شرایطی که $\text{Al}=\text{M}$ شدن اتم‌ها در شبکه‌ی L_1 ، روشن نیست. چون این ترکیب‌ها نزدیک به ترکیب تری آلومیناید های Cr , Mn , $\text{Fe}=M$ (با فرمول مشابه برای جایگزین‌های Zr) مشخص می‌شوند. چگونگی پراکنده شدن اتم‌ها در شبکه‌ی L_1 ، روش نیست. در نمودار فاز سه تایی مربوطه هستند. این فازهای سه تایی L_1 معمولاً به صورت دوتایی در شبکه‌ی L_1 ، روش نیست. چون این ترکیب‌ها نزدیک به ترکیب تری آلومیناید های $\text{Al}_{\text{Ti}}\text{M}_5$ (تعريف می‌شوند، اگرچه استدلال‌های در مقابل این نظر نیز وجود دارد^(۳). نمودارهای فازی مربوطه مورد بررسی قرار گرفته‌اند^(۴). با توجه به گستره‌ی معمول ترکیب تری آلومیناید های مختلف با ساختار L_1 ، معیاری ثابت برای وجود ساختار L_1 استنتاج شده است که اگر اثر اندرکنش اتمی بر پراکنندگی الکترونی طبق نظریه‌ی انگل-بروور^(۵) لحاظ گردد، از طریق عدد ویژه‌ی الکترون‌های ظرفیت آلیاژ به دست می‌آید^(۶).

۳-۴-۲- ریزساختار و رفتار مکانیکی

بیشتر مطالعات به ترکیب $\text{Al}_{\text{Ti}}\text{M}_5$ معطوف شده و رفتار مکانیکی آن به طور مفصل توسط جورج^(۷) و همکارانش (1991b) تحلیل گردیده است. توجه کنید که فراوری این آلیاژ‌ها بسیار دشوار است. زیرا آلیاژ‌های ریختگی معمولاً حاوی حفره‌های باقیمانده و ذرات ثانویه هستند. از بین بردن این عیوب با انواع عملیات پس از انجماد یعنی عملیات حرارتی، کارگرم، حدیده کاری گرم یا آهن‌گری دشوار است و فقط به تازگی آلیاژ‌های با کیفیت مناسب به دست آمده‌اند. علاوه بر متالورژی شمش،

1- Schwarz et al., 1992

2- Sowers et al., 1992

3- Durlu et al., 1991; Durlu and Inal, 1992a

4- Kumar, 1990; Mazdiyasni et al., 1989; Mikkola et al., 1991; Nic et al., 1991

5 - Engel - Brewer

6- Durlu and Inal, 1992b

7 - George

متالورژی پودر و انجاماد سریع هم به کار رفته‌اند.

ضریب‌های کشسانی این مواد اندازه‌گیری شده‌اند و ضریب یانگ برای آلیاژ $\text{Al}_{67}\text{Ti}_{25}\text{Ni}_8$ مقدار 200GN/m^2 و برای آلیاژ $\text{Al}_{67}\text{Ti}_{25}\text{Fe}_8$ 192GN/m^2 به دست آمده است^(۱). به عبارت دیگر این مقادیر از یک سوین ارقام مربوط به Al_xNb و Al_xTi و TiAl و Al_xCr مقادیر Al_xNb و هم مرتبه با آن آلیاژ‌هاست (جدول ۲ و بخش‌های ۱-۳-۳ و ۲-۳-۳ را ببینید).

استحکام تسلیم فشاری $\text{M}_1\text{Ti}_{25}\text{M}_2$ با $\text{Fe}, \text{Cr}, \text{Mn} = \text{M}$ یا مخلوطی از این فلزات واسطه بین دمای اتاق و حدود 80°C تقریباً 300 MN/m^2 است. به عبارت دیگر، وابستگی دمای نسبتاً مشتمل با یک منطقه‌ی با وضعیت ثابت استحکام وجود دارد^(۲). در پایین تراز دمای اتاق، افزایش شدید تنفس تسلیم در اثر کاهش دما دیده می‌شود و بالاتر از 80°C ماده به طور معمولی نرم می‌گردد. مقادیر بسیار بیشتر تنفس تسلیم را می‌توان با تغییرات در ترکیب و ریزساختار^(۳) و خصوصاً با وارد کردن ذرات پراکنده به منظور تولید مواد مركب ذره‌ای به دست آورد^(۴). رفتار مکانیکی به صورت تابعی از درجه‌ی نظم دوربرد تحلیل شده است^(۵). وابستگی تنفس تسلیم به اندازه‌ی دانه از قانون هال - پچ پیروی می‌کند^(۶). عموماً استحکام تسلیم در کشش برابر با استحکام تسلیم در فشار می‌باشد، البته پیچیدگی‌هایی وجود دارد که هنوز به خوبی درک نشده است^(۷).

از دیاد طول خمشی یا کششی در دمای اتاق فقط کسری از درصد است و به آرامی همراه با بالا رفتن دما افزایش می‌یابد تا به یک نقطه‌ی حداقل شکل پذیری دیگر در حدود 50°C برسد^(۸). شکل پذیری تک بلورهایی که تا به امروز آزمایش شده‌اند بالاتر از چند بلورهای نبوده و تغییرات گوناگون ترکیب و ریزساختار صرفاً سبب بهبودهای جزئی در شکل پذیری شده است^(۹). سیستم‌های لغزش، تحرک و اندرکنش نابهجهایی‌ها، حالات شکست، شکل پذیری خمشی و استحکام خوشی به تفصیل

1- George et al., 1991b

2- Yamaguchi and Umakoshi, 1990; Kumar et al., 1991b; Kumar and Brown, 1992b; Wu et al., 1993; Brown et al., 1993

3- George et al., 1991b

4- Kumar et al., 1991c; Kumar, 1991; Otsuki and Stoloff, 1992

5- Winnicka and Varin, 1993

6- Pu et al., 1992

7- Kumar et al., 1991a, b; George et al., 1991b

8- Z. L. Wu et al., 1990a, b, 1991; Kumar and Brown, 1992a, c, 1993

9- George et al., 1991b; Brown et al., 1993

بررسی شده اند^(۱). باید چنین نتیجه گرفت که تری آلومیناید های $L_1 Al_{25}Mn_{75}Ti_6$ ترد هستند و انتظارات اولیه از حیث شکل پذیری را برآورده نمی سازند.

با این وجود، تری آلومیناید های L_1 به دلیل چگالی پایین، امیدوار کننده بوده و احتمال بالقوه ای برای کاربردهای هوافضا دارند اگر چه این احتمال بالقوه تا به امروز بالفعل نشده است^(۲). برای این قبیل کاربردها، مقاومت به اکسایش کافی ضروری می باشد و در حقیقت مقاومت به اکسایش چرخه ای که از کم برای $Al_{25}Mn_{75}Ti_6$ تا عالی برای $Al_{25}Cr_7Ti_6$ تغییر می کند، مشخص شده است^(۳). هدف کار حاضر، متوجه بهینه سازی ترکیب و ریز ساختار آلیاژ های $Mn_{25}Ti_7Al_6$ از طریق فراورش دقیق از لحاظ استحکام، شکل پذیری، چرمگی و مقاومت به اکسایش است.

علاوه بر این مطالعات که بر روی تری آلومیناید های با پایه $Al-Ti$ صورت گرفته، کار مشابهی بر روی آلیاژ های تری آلومیناید L_1 آغاز شده است^(۴). این آلیاژ های با ساختار L_1 بر اساس $Al-Zr$ با ساختار $D_{1\over 2}$ پایه گذاری می شوند و باز هم حاوی Cu ، Mn و یا Cr هستند. بر طبق نتایج ابتدا ای به نظر می رسد رفتار مکانیکی مشابه رفتار آلیاژ های پایه $Al-Ti$ باشد و وابستگی دمایی مثبت شدیدی برای تنش تسلیم وجود داشته باشد.

1- Yamaguchi and Uinakoshi, 1990; George et al., 1991b; Schneibel et al., 1992a; Morris et al., 1993b, c;

Sizik and Gray, 1993; Miura and Watanabel et al., 1993; Wu and Pope, 1993

2- Dimiduk et al., 1991

3- Parfitt et al., 1991

4- Virk and Varin, 1992; Schwarz et al., 1992; Varin et al., 1993

فصل ۲

آلومیناید های نیکل و فاز های مربوطه

Ni_xAl - ۱-۴

۱-۱-۴ - خواص عمده و نمودار فازی

آلومیناید شده ترین ترکیب بین فلزی است و بیشترین مطالعه بر روی آن انجام شده است زیرا مدت زیادی به عنوان فاز استحکام بخش در آبرآلیاژها مورد استفاده بوده و به خاطر نرم بودنش، می تواند بر مشکلات مربوط به شکل پذیری غلبه کند، یعنی می تواند از طریق کم آلیاژ کردن با این نرم گردد^(۱). این بدان معنی است که این آلیاژ را می توان بدون دشواری های عمده‌ی آزمایشگاهی، آزمایش و تولید کرد. از این روابط که در گذشته این ماده برای مطالعه بر روی رفتار بین فلزات انتخاب می شد (بخش ۱-۲ را بینید). شناخت به دست آمده بر اساس متالورژی مکانیکی و فیزیکی Al-Ni_xAl و آلیاژ های آن به طور جامع توسط استولوف^(۲) (۱۹۸۹) بررسی شده است.

آلومیناید نیکل Ni_xAl معروف به فاز γ' با ساختار مکعبی L1₂ (نوع Cu_xAu) متبلور می شود که از نظم یافتن ساختار fcc حاصل می گردد (شکل ۱). انحراف از ترکیب استویکیومتری در درجه ای اول از طریق عیوب ضد مکان در ساختار سازگار می شود^(۳). چگالی Al-Ni_xAl^(۴) و بنابراین تنها کمی پایین تر از چگالی آبرآلیاژ هاست (جدول ۲) که البته با این وجود هم مورد توجه قرار می گیرد.

1- Aoki and Izumi, 1979; Liu and Koch, 1983; Aoki, 1990

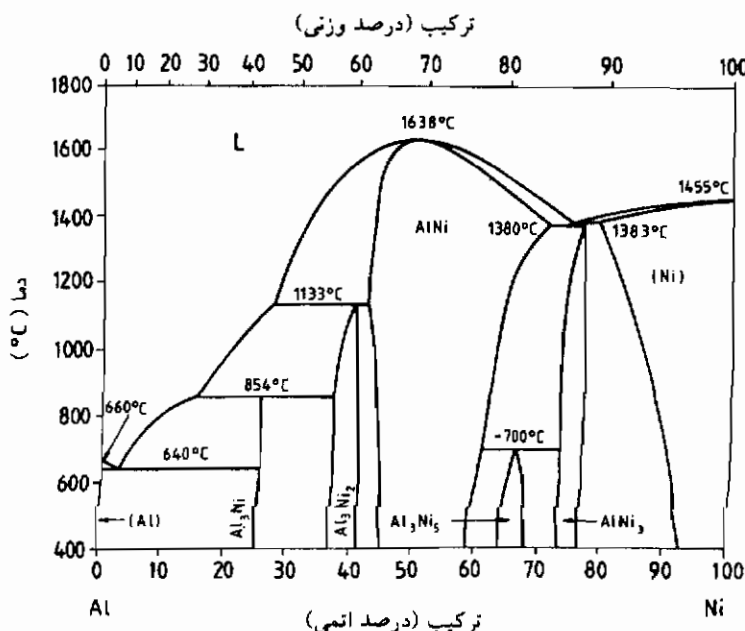
2 - Stoloff

3- Lin and Sun, 1993

4- Liu et al., 1990

ثابت‌های کشسانی به طور تجربی و نظری توسط محققان مختلف بررسی شده‌اند^(۱). ضریب یانگ Ni_{Al} چندبلوره‌ی ریختگی در دمای اتفاق حدوداً همان مقدار ضریب یانگ Ni خالص ولی با ابستگی دمایی کمتر است^(۲)، به عبارت دیگر کمی کوچک‌تر از ضریب یانگ آبرآلیاژهاست (جدول ۲). داده‌های مربوط به انبساط حرارتی، هدايت حرارتی، اثر سیبیک^(۳) و مقاومت الکتریکی ارائه شده‌اند^(۴). نفوذ حرارتی Ni_{Al} اخیراً مطالعه شده است^(۵).

شکل ۲۰ نمودار فازی دوتایی $\text{Ni}-\text{Al}$ را نشان می‌دهد که برخی نتایج جدید در آن لحاظ شده است. Al_{Ni} به طور نامتجانس در دمای حدوداً 1383°C ذوب می‌شود و تولید $\text{Ni}-\text{Al}$ مایع و



شکل ۲۰- نمودار فاز دوتایی $\text{Ni}-\text{Al}$ براساس کار ماسالسکی (۱۹۹۰) و همکاران که نتایج جدید همیلتون و همکارانش (۱۹۸۷) و ورهون و همکارانش (۱۹۹۱) را زیست تعادل‌های $\text{Ni}-\text{Al}$ مورد توجه قرار داده است.

1- Davies and Stoloff, 1965; Dickson et al., 1969; Kayser and Stassis, 1969; Foiles and Daw, 1987; Wallow et al., 1987; Yoo and Fu, 1991, 1993; Yasuda et al., 1991a, 1992

2- Stoloff, 1989

3 - Seebach

4- Stoloff, 1989

5- Archambault and Hazotte, 1993

Ni-Al با ساختار fcc جامد نامنظم پریتکنیکی می کند^(۱)، که مخالف نمودار فازی مورد توافق تر ماسالسکی^(۲) و همکارانش (۱۹۹۰) است. به علاوه، تعادل یوتکنیکی در ۱۳۸۰°C با فاز NiAl (ساختار B2) وجود دارد. Al-Ni_x طبق نظر بیشتر محققان تانقطه‌ی ذوبش پایدار است^(۳) که البته احتمالاً این امر تنها تا نزدیک به ترکیب استویکیومتری صحیح می‌باشد، زیرا نشانه‌هایی وجود دارد که دمای بحرانی نظم دهنی برای Al-Ni_x با Ni اضافی، کمی پایین‌تر از دمای ذوب آن است^(۴).

NiAl می‌تواند عنصر بیشتری، خصوصاً فلزات واسطه‌ی دیگر را در خود حل کند. نمودارهای فازی سه‌تایی پایه‌ی Al-Ni_x-Ni توسط محققان مختلف مطالعه شده‌اند^(۵). جهت‌گیری منحنی‌های Ni_xAl در برش‌های هم‌دما در نمودار فازی سه‌تایی نشان می‌دهد که چه مکان‌هایی توسط افزودنی‌های آلیاژی اشغال شده است. طبق این نمودار و نتایج مطالعات ویژه بر روی اشغال فضا، مکان‌های Ni توسط Al یا Sc و مکان‌های Co یا Pb، Pt، Cu یا Sn، Ge، Si، In، Ga، Zn، W، Hf، V، Nb یا Mn، Cr یا Mo، Ta، Ti، Zr، Hf، V، Nb یا Fe هر دو مکان را (با کمی ترجیح برای محل‌های Al بسته به ترکیب) اشغال کنند^(۶). موردنی Hf دشواری‌های تعیین محل را نشان می‌دهد، زیرا شواهد تجربی محکم بیشتری برای اشغال محل‌های Ni به جای مکان‌های Al توسط Hf وجود دارد^(۷). فعالیت شیمیایی Hf در Al-Ni_xAl اخیراً تعیین شده است که البته بر طبق آن، Hf جایگزین Al در Al-Ni_xAl می‌شود^(۸). مطابق با الگوسازی رایانه‌ای، اشغال مکان به ترکیب بستگی دارد، به عبارت دیگر انحراف‌های مختلف از استویکیومتری، ممکن است اشغال فضا توسط عنصر سوم را تغییر دهند^(۹).

انحراف‌ها از استویکیومتری که در هر دو طرف ترکیب استویکیومتری امکان‌پذیر است، منجر

1- Hilpert et al., 1987; Verhoeven et al., 1991

2 - Massalski

3- Stoloff, 1989

4- Bremer et al., 1988; Yavari et al., 1991; Ramesh et al., 1992

5- Guard and Westbrook, 1959; Kornilov, 1960; DasGupta et al., 1984; Chakravorty and West, 1985, 1986; Chakravorty et al., 1985; Nash and Liang, 1985; Vincent et al., 1988; Hong et al., 1989; Enomoto et al., 1991; Lee and Nash, 1991a

6- Ochiai et al., 1984; Miller and Horton, 1987; Shindo et al., 1988; Enomoto and Harada, 1989; Chiba et al., 1991; Hono et al., 1992

7- Bohn et al., 1987a, b

8- Albers et al., 1992

9- Hosoda et al., 1991

به بروز عیوب ساختاری ای می‌شوند که برای رفتار مکانیکی هم در دمای پایین و هم در دما بالا مهم هستند، زیرا در دماهای کم این عیوب احتمالاً به عنوان موانع نابه جایی عمل می‌کنند و در دماهای بالا ممکن است نفوذ راگسترش دهنند (این مسأله از حیث رفتار تغییر شکل فازهای $B2$ به طور مفصل تر در بخش ۳-۴ بحث خواهد شد).

نفوذ در $Ni_{\text{m}}\text{Al}$ توسط معدودی از محققان (خصوصاً چو و چو^(۱) (۱۹۸۵) و هوشینو^(۲) و همکارانش (۱۹۸۸) مطالعه، و از لحاظ سازوکارها و عیوب بحث و بررسی شده است^(۳). عیوب ساختاری، اتم‌های ضد ساختار در هر دو طرف ترکیب استویکیومتری وجود دارند یعنی Al در محل‌های Ni و Ni در مکان‌های Al ، قرار می‌گیرند و غلظت جای خالی‌های ساختاری یعنی غیرحرارتی بسیار کم است. مقدار جای خالی در دمای ذوب 2×10^{-6} و انتالپی تشکیل $1/6 \text{ eV}$ ، برابر با مقدار مربوطه برای Ni است. به عبارت دیگر، رفتار جای خالی در $Ni_{\text{m}}\text{Al}$ مشابه فلزات خالص می‌باشد^(۴). نفوذ Ni در $\text{Al}_{\text{m}}\text{Ni}$ با نفوذ در Ni خالص چندان تفاوتی ندارد و در دماهای بالا به انحراف از استویکیومتری حساسیت نشان نمی‌دهد. نفوذ Al در $Ni_{\text{m}}\text{Al}$ کمتر مطالعه شده است زیرا ماده‌ی ردیاب مناسب به راحتی در دسترس نیست. احتمالاً، عیوب با عناصر حل شده‌ی سوم که بر نفوذ تأثیر می‌گذارند اثر متقابل داشته باشند. خصوصاً جاهای خالی با B که برای نرم‌کنندگی لازم است، اثر متقابل دارند و این مسأله به وابستگی پیچیده‌ی ثابت نفوذ Ni به مقدار Al و B در $Ni_{\text{m}}\text{Al}$ می‌انجامد^(۵). داده‌های نفوذ عناصر سوم، وابستگی پیچیده‌ی ثابت نفوذ Ni در دسترس هستند^(۶).

۴-۱-۲- ریزساختار و رفتار مکانیکی

Riftar مکانیکی $\text{Ni}_{\text{m}}\text{Al}$ و آلیاژهای پایه‌ی Al از جمله خزش، خستگی و شکست، و خصوصاً اثرات ریزساختار و آلیاژ کردن با عناصر دیگر، به صورت جامع بررسی شده است^(۷). در اینجا فقط ویژگی‌های مهم‌تر که مطالعات جدیدتر را نیز مورد توجه قرار داده‌اند، یعنی تأثیر بُرن بر وابستگی

1 - Chou and Chou

2 - Hoshino

3- Bakker, 1984; Wever et al., 1989; Stoloff, 1989

4- Schaefer et al., 1992

5- Hoshino et al., 1988

6- Minamino et al., 1992

7- Stoloff, 1989

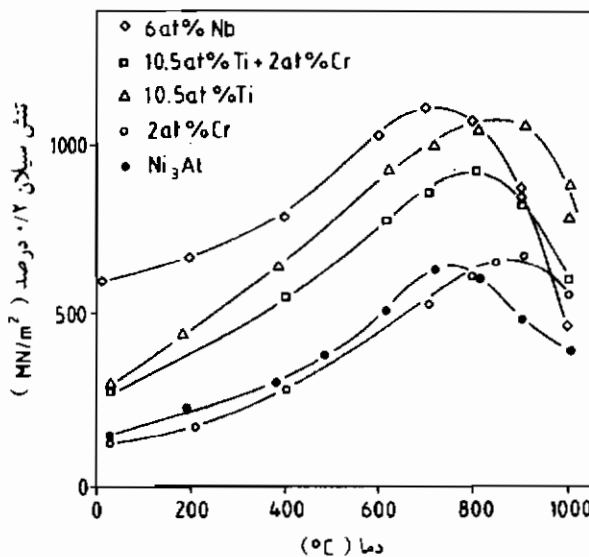
نامتعارف تنش سیلان به دما و هم‌چنین افزایش شکل پذیری مطرح می‌شوند. سایر مطالعات جدید به خرزش (از جمله خرزش معکوس پس از نخستین مرحله خرزش معمول اولیه)^(۱)، آبرکش سانی^(۲)، خستگی^(۳) و شکست^(۴) مربوط می‌شود. رفتار تبلور مجدد تنها به تازگی به صورت مفصل‌تر مورد مطالعه قرار گرفته است^(۵).

وابستگی نامتعارف تنش سیلان به دما

سیلان موم سان Al_3Ni با جزئیات بیشتر توسط پژوهشگران متعددی بررسی شده است. نتایج با تعمق زیادی مورد بحث و بررسی قرار گرفته‌اند و هم‌اکنون سازوکارهای بنیادی کامل‌درک شده‌اند^(۶). ویژگی مشخص این مواد، وابستگی نامتعارف تنش سیلانشان به دما است (شکل ۲۱). بین دمای اتاق و حدود 700°C تنش سیلان با بالارفتن دما افزایش می‌یابد تا به بیشترین مقدارش برسد و تنها در دماهای بالاتر نرم شوندگی معمول رخ می‌دهد.

همان‌گونه که پیش‌تر مطرح شد^(۷)، این پدیده‌ی نامتعارف از ناهمسانگردی انرژی و تحرک نابهجهایی‌های آبرشبکه حاصل می‌شود که تغییر شکل موم سان Al_3Ni را تعیین می‌کنند. نابهجهایی‌های پیچی می‌توانند روی صفحات {۱۱۱} و {۱۰۰} تجزیه شوند. تجزیه روی صفحه‌ی {۱۰۰} از لحظه انرژی ترجیح دارد زیرا انرژی مرزهای ضدفاز بین نابهجهایی‌های جزیی بر روی {۱۰۰} کم‌تر است. البته آبرنابهجهایی روی {۱۰۰} ساکن است زیرا هسته‌های نابهجهایی‌های جزیی تا بیرون صفحه‌ی مرز ضدفاز گسترش می‌یابند. از سوی دیگر آبرنابهجهایی با انرژی بالاتر روی {۱۱۱} متحرک است زیرا هسته‌ی بیش‌رونده در صفحه‌ی لغزش محدود می‌شود.

- 1- Hazzledine and Schneibel. 1989; Hayashi et al., 1991a, b; Hemker et al., 1991; Miura et al., 1991; Schneibel and Hazzledine, 1992; Wolfenstine et al., 1992; Hemker and Nix, 1993; Zhang and Lin, 1993
- 2- Valiev et al., 1991; Ochiai et al., 1991; Yang et al., 1992; and Chapter by Mukherjee in Volume 6 of MST
- 3- Matuszyk et al., 1990; Glatzel and Feller-Kniepmeier, 1991; Gordon and Unni, 1991; Gieseke and Sikka, 1992
- 4- Kawabata and Takasugi, 1991; Takasugi, 1991a; Yoo and Fu, 1991
- 5- Gottstein et al., 1989, 1991; Inoue and Inakazu, 1991; Ball and Gottstein, 1993; Zhou et al., 1993; Jena et al., 1993
- 6- Stoloff and Davies, 1966; Paidar et al., 1981; Liu and Stiegler, 1984; Pope and Ezz, 1984; Stoloff, 1984; Liu and White , 1985; Izumi, 1989; Suzuki et al., 1989; Liu et al., 1990; Yamaguchi and Umakoshi, 1990; Liu, 1993b; Saada and Veyssiére, 1993b; and Chapter by Umakoshi in Volume 6 of MST
- 7- Sauthoff, 1986



شکل ۲۱- واپستگی تنش سیلان به دمای برای $Al-Ni$ چندبلوره‌ی ریختگی بالغودنی‌های آلیاژ‌ساز مختلف

(Thornton et al., 1970)

این حالت متحرک نیمه پایدار است چون نابهجهای‌های جزیی باید قبل از این که برگشت لغزش متقطع به $\{111\}$ رخ دهد، به صورت تک نابهجهایی ادغام شوند. بنابراین، نابهجهای‌ها اساساً روی صفحات تحت بار $\{111\}$ تولید می‌شوند و در دماهای کم لغزش به $\{111\}$ محدود می‌شود. با افزایش دما، لغزش متقطع از طریق فعال‌سازی حرارتی نسبت به $\{010\}$ امکان‌پذیر می‌شود که به وسیله‌ی آن نابهجهای‌ها از حرکت باز می‌ایستند (ساز و کار کیار-ویلسدرف)^(۱). نابهجهای‌های ساکن به عنوان موانع عمل می‌کنند و باعث استحکام بخشی سریع همراه با تنش سیلان اضافی می‌گردند. از این رو واضح است که واپستگی دمایی غیر متعارف تنش سیلان تنها با کرنش کافی مشاهده می‌شود. در حقیقت معلوم شده است که حداقل کرنش لازم برای مشاهده‌ی این تنش سیلان غیر متعارف باید حدود 10^{-5} باشد^(۲). در دماهای بالاتر از حد اکثر تنش سیلان، نابهجهای‌های متوقف شده مجدداً از طریق فعال‌سازی حرارتی افزایش یافته و متحرک می‌شوند که به نرم‌کنندگی معمول می‌انجامد. جزئیات این ساز و کارها و واکنش‌ها موضوع مطالعات ویژه بوده و هستند و توصیف نظری آن روز به روز کامل تر می‌شود^(۳).

1 - Kear - Wilsdorf

2- Thornton et al., 1970

3- Yoo et al., 1988; Suzuki et al., 1989; Pope, 1991; Yoo and fu, 1991; Webb et al., 1993a; Schoeck, 1993;

از این بحث روشن می شود که تنش سیلان غیر متعارف Ni_3Al تابعی از نیروهای پیوند بین اتم هاست. در حقیقت، این پدیده نامتعارف در فازهای $L1_1$ مختلف برای حوزه های گوناگون به درجات متفاوت مشاهده می شود و تفاوت ها دقیقاً با اختلاف ها در پایداری بین ساختار $L1_1$ و دیگر ساختارهای ممکن خصوصاً ساختارهای $D0_1$ و $D0_2$ مرتبط می شوند^(۱). در Ni_3Ge و Ni_3Si تنش سیلان نامتعارف حتی بیشتر از Ni_3Al مشخص می شود، در حالی که در Fe_3Ga , Zr_3Al , Co_3Ti و Fe_3Au ضعیف تر است و وقتی از Ni_3Ge به سمت Fe_3Ge حرکت می کنیم، انتقال پیوسته ای از واپستگی دمایی مثبت به واپستگی منفی آشنا در فاز سه تایی $L1_2$, Ge_3Ni , Fe_3Ni مشاهده می شود. همچنین، همانگونه که در شکل ۲۱ مشخص شده است، حداکثر تنش سیلان حداکثر Al_3Ni را ز حیث دما، می توان با افروندنی های آلیاژ ساز سه تایی تغییر و افزایش داد^(۲). باید توجه کرد که این تنش سیلان نامتعارف در دیگر فازها با ساختارهای مختلف بلوری از قبیل $Fe-Co2V$ (با ساختار $B2$), $CuZn$ (با ساختار $B2$), $TiAl$ (با ساختار $L1_1$), Fe_3Al (با ساختار $D0_1$), Mg_3Cd (با ساختار $D0_2$), Ni_3V (با ساختار $C16$), Fe_3B (با ساختار $D0_2$) مشاهده می شود و سازوکارهای گوناگونی برای این فازها پیشنهاد شده است^(۳).

واپستگی مثبت تنش سیلانی به دما در مورد Ni_3Al می تواند تحت الشعاع سایر پدیده های غیر معمول استحکام بخشی قرار گیرد. به عنوان مثال، تنش سیلان در دمای کم می تواند به وسیله ای اندازه ای دانه تا مقدار بیشتر از حداکثر تنش سیلان در دمای بالا، افزایش یابد. به عبارت دیگر تنش سیلان چندان قابل تشخیص نیست^(۴). هنگامی که کربن برای افزایش تدریجی تنش سیلان کم دما در Ni_3Al حل می شود، اثر مشابهی ایجاد می گردد^(۵).

نرم کنندگی (افزایش شکل پذیری)

به خوبی مشخص شده است که تنها Al_3Ni چندبلوره ترد است و از طریق شکست بین دانه ای

(ادامه پاورقی از صفحه ای قبل) \Rightarrow Dimiduk et al., 1993; Hirsch, 1993; Molenat et al., 1993; Saada and Veyssiere, 1993a, b; Khantha et al., 1993a, b

1- Mishima et al., 1985; Suzuki et al., 1989

2- Lall et al., 1979

3- Stoloff and Davies, 1964; Westbrook, 1965; Paufler, 1976; Haasen 1983; Stoloff, 1984; Kawabata et al., 1985

4- Schulson, 1985

5- Jung and Sauthoff, 1989b; Wunnicke-Sanders, 1993; Wunnicke-Sanders and Sauthoff, 1994

می‌شکند، در صورتی که تک بلورهای Ni_3Al بسیار شکل پذیرند. از این رو تردی چندبلوره‌ها به ضعف مرزدانه نسبت داده می‌شود^(۱). به همین ترتیب مشخص گردیده است که Al_3Ni که به صورت یک جهتی با دانه‌های ستونی منجمد شده است، شکل پذیر می‌باشد^(۲). تردی چند بلوره‌ها را می‌توان با کم آلیاز کردن با Cr، Co یا Pt که تمايل نظم دهی Al_3Ni را تقلیل می‌دهند، کاهش داد^(۳). هم‌چنین تردی Al_3Ni کردن با Ni چندبلوره را می‌توان با کم آلیاز کردن Ni_3Al کم آلومینیم، بازین از بین برد^(۴). از دیاد طول کشی Al_3Ni چندبلوره با ۲۴ درصد اتمی Al که به مدت ۳۰ دقیقه در ۱۰۰۰°C تبلور مجدد یافته است، با افزایش درصد B از صفر درصد برای آلیازهای حاوی صفر درصد B، تا حدود ۴۴ درصد برای آلیازی با ۵٪ افزودن وزنی B زیاد می‌شود^(۵). افزودن ۱٪ درصد وزنی B از دیاد طول کشی حداکثری در حدود ۵٪ درصد را ایجاد می‌کند، و بعد از آن شکل پذیری تدریجاً با افزایش درصد B کاهش می‌یابد.

این پذیده‌ی نرم‌کنندگی بُزن به طور حساسی به درصد Al وابسته می‌باشد^(۶). ۲۴٪ درصد اتمی Al معادل حد حلایت Al در Ni_3Al است و نمی‌تواند از این مقدار کمتر شود، زیرا کاهش بیشتر، صرفاً فاز Ni_3Al - γ نامنظم تولید می‌کند (شکل ۲۰). با درصدهای Al بیشتر، پذیده‌ی نرم‌کنندگی کمتر می‌شود و بعد از ترکیب استویکیومتری با ۲۵٪ درصد اتمی Al، Al_3Ni چندبلوره حاوی B به اندازه‌ی آلیاز بدون ترد است. این تأثیر استویکیومتری را می‌توان به طور قابل ملاحظه‌ای از طریق آلیاز کردن با عنصر سوم تعییر داد^(۷). باید توجه کرد که افزایش شکل پذیری با افزایش قابل ملاحظه‌ای در استحکام کشش نهایی همراه است که از سخت شدن کرنیشی سریع در حین تغییر شکل موم سان نتیجه می‌شود^(۸).

این تأثیر شگرف نرم‌کنندگی بُزن، موضوع آزمایش‌ها و مطالعات نظری زیادی بوده و هست که البته هنوز به توافقی در مورد دلایل فیزیکی برای اثر بُزن منجر نشده است. به عبارت دیگر، فهم مکانیکی این پذیده‌ی نرم‌کنندگی هنوز مبهم است. اخیراً این مسئله، موضوع دسته‌ای از مقالات بوده است و وضعیت دانش فعلی و موضوعات متناقض و بحث‌انگیز آن، بررسی شده‌اند^(۹). عوامل مهم مختصراً در

1- Liu and Stiegler, 1984

2- Hirano and Mawari, 1993

3- Chiba et al., 1992

4- Aoki and Izumi 1979, Aoki, 1990

5- Liu et al., 1985

6- Liu et al., 1985; Aoki, 1990

7- Aoki et al., 1993

8- Liu et al., 1985

9- Liu, 1991 b

ادامه‌ی این قسمت بیان می‌شوند.

معلوم شده است که B (و هم‌چنین Al) در Ni_3Al کم آلمینیم در تعادل در مرزدانه‌ها جداش می‌باشد که بر ماهیت واستحکام پیوند در فصل مشترک تأثیر می‌گذارد. جداش هر دو عنصر به درصد کلی Al بستگی دارد. بُرْن به طرف سطوح آزاد جداش نمی‌باشد. چنین اظهار شده است که این جداش B، استحکام چسبندگی در مرزدانه را افزایش می‌دهد و نتیجتاً از ترک خوردنگی در طول مرزدانه جلوگیری می‌کند. محاسبات نظری اصل نخستین، در حقیقت اثر سودمند B بر استحکام چسبندگی را تأیید می‌کند. مطالعه‌های اخیر بر روی رفتار تغییر شکل میکروسکوپی نشان داده است که در حین تغییر شکل، مرزدانه‌های حاوی بُرْن، نابه جایی‌ها را جهت آزادسازی تمرکز تنش پخش می‌کنند، در صورتی که در مرزدانه‌های بدون بُرْن، این تمرکزهای تنش از طریق جوانه‌زنی و پیشرفت ترک‌ها در طول مرزدانه‌ها آزاد می‌شوند^(۱).

دیگران پیشنهاد کردند که این جداش B موجب بی‌نظمی در مرزدانه‌ها می‌شود، از این‌رو عبور لغزش از میان آن‌ها را آسان می‌سازد. این دیدگاه با تحلیل نوع هال-پیج در مورد داده‌های تنش سیلان به صورت تابعی از اندازه‌ی دانه تأیید می‌شود. مشاهداتی بر روی لایه‌های مرزدانه‌ی بی‌نظم انجام شده است که تشکیل فاز Ni_3Al - γ در مرزدانه‌ها را نشان نمی‌دهند. این مسأله غیرمحتمل نیست زیرا در صد Al در Ni_3Al کم آلمینیم تزدیک به حد حلایت می‌باشد و در مورد فاز $\text{Cu}_{11}\text{Al}_3$ با ساختار $\text{L}1_1$ دریافت‌هاند^(۲) که تحول نظم - بی‌نظمی از طریق تشکیل لایه‌های نامنظم در فصل مشترک به پیش رانده می‌شود. البته لایه‌های بی‌نظم در Ni_3Al بدون B نیز یافت شده‌اند ولی در بسیاری از آبیاثهای نرم Al-Ni₃Al₂ حاوی B دیده نشده‌اند^(۳).

بررسی دقیق استحاله‌ی نظم - بی‌نظمی در Ni_3Al نشان داده است که دمای نظم - بی‌نظمی کمی پایین‌تر از دمای خط انجمام Ni_3Al با کمتر از ۲۳ درصد اتمی Al می‌باشد^(۴). این مسأله موجب فرایند نظم دهنی پیچیده‌تر با تشکیل منطقه‌ای می‌شود که ممکن است برای نظم دهنی مفید باشد در حالی که در مورد Al-Ni₃Al استویکیومتریک با دمای تحول نظم - بی‌نظمی بالاتر از دمای خط مایع، نظم دهنی مستقیماً بدون تشکیل منطقه‌ی خاص رخ می‌دهد. این جداش B بر تفکیک ناخالصی‌هایی مانند P, O, S که

1- T. C. Lee et al., 1992

2- Tichelaar et al., 1992

3- Lin et al., 1993; Sun and Lin, 1993

4- Cahn et al., 1987

آلیاژهای معمول را ترد می‌کنند، اثر می‌گذارد. البته به نظر می‌سد، این ناخالصی‌ها اهمیت کمی در داشته باشد، زیرا Ni_3Al و دیگر ترکیب‌های بین‌فلزی با خلوص بالا و مرزدانه‌های عاری از ناخالصی باز هم ترد هستند.

گواه تجربی برای فرضیه‌های مختلف قاطع نبوده و حتی در بعضی موارد متضادند^(۱). باید این گونه استنباط کرد که تردی ترکیب‌های بین‌فلزی تابع نسبتاً پیچیدگی از ساختارهای بلوری، ترکیب و ریزساختارشان می‌باشد. این پیچیدگی که به نظر می‌رسد برای آلیاژهای رایج بیشتر باشد، مانع تفسیر ساده و تک‌علتی می‌شود. در هر صورت، نرم‌کنندگی از تغییرات در خاصیت و استحکام پیوند اتم‌های درگیر نشأت می‌گیرد که احتمالاً با محاسبات مکانیک کوانتومی مناسب و کافی تعیین می‌گردد و به طور تقریبی از طریق متغیرهای اتمی مختلف مانند ظرفیت، الکترونگانگیوتیویته و اندازه‌ی اتمی مشخص می‌شود.

علاوه بر این، همان‌طور که در بخش ۳-۱-۴ مطرح شد، اثرات محیط‌های خورنده باید لحاظ گردد. به تازگی نتایج تجربی‌ای ارائه شده‌اند که تردی محیطی را به عنوان علت اصلی تردی دمای پایین Ni_3Al چندبلوره معرفی می‌کنند که در اثر کم آلیاژ‌سازی با B متوقف می‌شود^(۲). البته این تردی محیطی باید از طریق کاهش دما تقلیل یابد، اما این مسئله مشاهده نشده است. به عبارت دیگر این جنبه از پدیده‌ی نرم‌کنندگی هنوز هم روشن نیست^(۳).

۳-۱-۴- نتایران محیطی

رفتار اکسایشی Ni_3Al بارها مورد بررسی قرار گرفته است. درصد Al در Ni_3Al برای تشکیل پوسته‌ی محافظه و پایدار Al_2O_3 تنها در دماهای بالاتر از $1200^{\circ}C$ کافی است^(۴). در دماهای پایین‌تر نفوذ Al به سطح Ni_3Al آهسته‌تر از آن صورت می‌گیرد که از کاهش Al در سطح جلوگیری کند. بنابراین آغازین اکسایش Ni_3Al به تفصیل مطالعه شده است^(۵). واکنش اکسایش همراه با تولید جای خالی به تشکیل حفره‌هایی در زیر پوسته و سرانجام خرد کردن پوسته می‌انجامد. چسبندگی پوسته با افزایش

1- Horton and Liu, 1990 Liu, 1991b

2- George et al., 1992, 1993a, b; Zhu et al., 1993

3- Lee and White, 1993

4- Pettit, 1967; Meier, 1989

5- Bobeth et al., 1992

^(۱) و عناصر شناخته شده ای فعال در قبال اکسیژن (خصوصاً Hf, Zr, Ti و خاکی های نادر) بهبود می باید^(۲). معلوم شده است که مقاومت به اکسایش این آلیاژ های پایه ای Ni-Al باید بالاتر از آلیاژ های دمای بالای رایج H_{۶۱۷} و ۸۰۰ باشد^(۳). رفتار خوردگی سودمند و مشابهی در محیط های کربور کننده و کلرور کننده نیز دیده شده است در حالی که رفتار آن در محیط های گوگرد کننده کمتر مفید می باشد^(۴). جدا از واکنش های خوردگی در سطح، قرار گرفتن در معرض هوا یا اکسیژن بر رفتار مکانیکی Ni-Al تأثیر می گذارد و پدیده های مختلف تردی محیطی مشاهده شده اند. در دماهای بالاتر از ۸۰۰°C شکل پذیری Ni-Al نرم شده، حداقل مقدار رانشان می دهد و در هوا از خلاه مشخص تر است و با افزایش Cr به طور قابل ملاحظه ای کم می شود^(۵). این تردی را توجهی تأثیر اکسیژن گازی بر رشد ترک دانسته اند، در حالی که نتایج جدیدتر نشان می دهد که ذرات رسوبی که از طریق اکسایش داخلی تشکیل می شوند به تردکننده ای ارتباط بیشتری دارند^(۶). اثر مفید Cr به تغییر و تبدیل در خواص مکانیکی پوسته نسبت داده می شود^(۷)، اگرچه فهم کامل سازوکارهای کنترل کننده نرمی هنوز به دست نیامده است^(۸).

هم چنین تردی محیطی در دمای اتاق (خصوصاً در هوای مرطوب) بسته به ترکیب Al-Ni و درصد ناخالصی ها مشاهده، و نتیجه گیری شده است که این تردی از طریق تشکیل هیدروژن ایجاد می شود^(۹). به همین دلیل ترک خوردگی تنشی در محیط های آبی مشاهده گردیده است که علت این ترک خوردگی هم هیدروژن است^(۱۰). اثر تردکننده ای هیدروژن مستقیماً مورد مطالعه قرار گرفته و به کاهش استحکام چسبندگی مرزدانه ها نسبت داده شده است^(۱۱). با وجود این، فهم فیزیکی پدیده هی تردی هیدروژنی، مبهم است^(۱۲).

1- Pan et al., 1991

2- Catheart, 1985; Taniguchi and Shibata, 1989; Krasovec et al., 1992

3- Brill and Klöwer , 1991

4- Natesan , 1988; Brill and Klöwer, 1991

5- Liu and McKamey, 1990; Liu et al., 1990; Matuszyk et al., 1990; Khan et al., 1990

6- DeVan and Hippsley, 1989; Chuang and Pan, 1992

7- Taniguchi and Shibata, 1987; Hippsley et al., 1990

8- Liu and McKamey, 1990; Takeyama and Liu, 1992; Chuang and Pan, 1992

9- Masahashi et al., 1988; Liu, 1991a; Wan et al., 1992a; George et al., 1993b, e

10- Stoloff, 1989; Ricker et al., 1990

11- Bond et al., 1989; Takasugi, 1991b; Wan et al., 1992b

12- Izumi, 1989; Takasugi, 1991a; Liu, 1991a; Li and Chaki, 1993a

۴-۱-۴- کاربردها

آشکار شدن پدیده‌ی نرم‌کنندگی بُرُن در $\text{Al}_{\text{m}}\text{Ni}$ نطقه‌ی آغاز نوآوری‌های موقیت آمیز مواد بر پایه‌ی $\text{Ni}_\text{m}\text{Al}$ بود و به دسته‌ای از آلیاژهای کاملاً نزدیک به $\text{Ni}_\text{m}\text{Al}$ برای کاربردهای دمای بالا منجر شد^(۱). این آلیاژها که به نام آلمونیایدهای نیکل یا آلمونیایدهای پیشرفته معروفند، عموماً حاوی B با مقادیر پایین تر از ۵۰۰ ppm و Al به مقدار کم تر از ترکیب استویکیومتری به منظور حصول نرمی در دمای اتفاق، به علاوه‌ی Ta, Zr, Hf و Mo تا ۵ درصد اتمی برای بهبود استحکام در دماهای بالا، و Cr تا ۱۵ درصد اتمی برای افزایش نرمی در دماهای میانه بین 400°C و 900°C هستند^(۲). ممکن است این، آلیاژها، حاوی فازهای ثانویه باشند، به ویژه در آلیاژهای Cr دارکه حاوی ۵ تا ۱۵ درصد فاز نامنظم و پُرنیکل (بسته به درصد Al) هستند^(۳).

آلیاژهای $\text{Al}_{\text{m}}\text{Ni}$ با بسیاری از اَبَرآلیاژها از حیث رفتار مکانیکی کوتاه‌مدت یعنی استحکام تسليم برابری می‌کنند یا از آن‌ها بهترند. این استحکام تسليم، بالاتر از استحکام تسليم IN713C در دماهای بالا می‌باشد و شکل پذیری آن تا 700°C در هوای عموماً ۲۵ تا ۴۰ درصد و تا 1000°C ۱۵ تا ۳۰ درصد است^(۴). مقاومت به خستگی آلیاژهای $\text{Al}_{\text{m}}\text{Ni}$ در دماهای پایین تر از دمای حداقل شکل پذیری یعنی زیر 500°C پیش تر از اَبَرآلیاژهای پایه‌ی نیکل است^(۵). مقاومت به خوش $\text{Ni}_{\text{m}}\text{Al}$ با بسیاری از اَبَرآلیاژها برابری می‌کند اما به اندازه‌ی برحی از اَبَرآلیاژهای پایه‌ی نیکل تک بلور پیشرفته‌ای که در تیغه‌های توربین موتور جت استفاده می‌شود، نیست^(۶).

بادر نظرگرفتن این ویژگی احتمالاً می‌توان گفت که آلیاژهای $\text{Al}_{\text{m}}\text{Ni}$ شبیه اَبَرآلیاژهای بسیار نزدیک به آن‌ها هستند و طیف اَبَرآلیاژ را توسعه می‌دهند. البته، آن‌ها نمی‌توانند با اَبَرآلیاژهای هوا-فضای پیشرفته که در موتورهای هوایپما استفاده می‌شوند، برابری کنند و بنابراین جایگزینی آلیاژهای $\text{Al}_{\text{m}}\text{Ni}$ به جای اَبَرآلیاژها در این کاربردها بعيد به نظر می‌رسد^(۷). با این وجود، آلیاژهای $\text{Al}_{\text{m}}\text{Ni}$ برای کاربردهای با حساسیت کم تر مانند توربین‌های بخاری، آبی و گازی، قطعات خودرو،

1- Liu et al., 1990

2- Liu et al., 1990; Sikka, 1990; Alexander and Sikka, 1992

3- Liu et al., 1990; Khan et al., 1990; Liu and Kumar, 1993

4- Liu et al., 1990

5- Stoloff, 1989; Liu et al., 1990; Matuszyk et al., 1990; Gordon and Unni, 1991

6- Liu et al., 1990; Khan et al., 1990

7- Liu et al., 1990; Kirmiduk et al., 1992

بستهای هوایی، ابزار و قالب‌های دائمی (جاهایی که ترکیب‌های مناسبی از استحکام و مقاومت به خستگی، سایش شامل فرسایش و حفره‌زایی و اکسایش لازم می‌شوند) امیدوارکننده‌اند^(۱). روش‌های ساخت و فراورش پیشرفته‌اند، بدین معنی که آلیاژهای Al_Ni را می‌توان با ذوب القایی در هوا با کیفیت قابل قبول، واژ طریق ذوب القایی در خلاء، ذوب مجدد با قوس در خلاء و ذوب مجدد برقی با سرباره برای کیفیت‌های بهتر ذوب کرد. شمش‌های بالاتر از ۱۵۰ kg و قطعات با تخلخل کم یا بدون تخلخل بسته به شرایط مرزی، ریخته گری شده‌اند. کارگرم از طریق آهن گرم، آهن گرم هم دما و حدیده کاری گرم معمولی امکان‌پذیر است. آلیاژها را می‌توان با کار سرد شکل داد و اطلاعات راجع به خواص آن‌ها در دسترس هستند^(۲). بیشتر آلیاژها را می‌توان با کیفیت خوبی جوش کاری کرد (اگر با دقت این کار انجام شود)^(۳) و برش با چرخ‌های ساینده با سرعت بالا انجام می‌شود^(۴). علاوه بر متالورژی شمش، روش‌های متالورژی پودر به طور موفقیت‌آمیزی برای تولید آلیاژهای Al_Ni به کار رفته‌اند^(۵).

در مثال‌های اخیر، فنون پیشرفته برای تولید ایمان‌های حرارتی، قطعات تحت سایش، کاربردهای موتور دیزل و چفت و بستهای هوایی شرکت‌های صنعتی مختلف منتقل شده‌است. به عبارت دیگر آلیاژهای Al_Ni در مسیر تجاری شدن قرار گرفته‌اند^(۶). گسترش فزاينده‌ی استفاده از روتور توربو شارژ برای موتورهای دیزل در کارهای سنگین مثالی از این مورد است و انتظار می‌رود که در آینده با بهبود هر چه بیشتر خواص قطعات سیلندر را بازده بالا برای جدیدترین موتورهای دیزل یعنی سوپاپ‌ها، نشیمن‌گاه‌های سوپاپ و سرپیستون، رینگ پیستون‌ها و بوش سیلندرها، انتخاب‌های بعدی باشند. تنها استفاده‌ی آلیاژهای Al_Ni که تاکنون عملی شده است، کاربرد آن‌ها در قالب‌ها به جای آلیاژهای مغناطیسی دائم پرس گرم که قبل از در بازار وجود داشتند، می‌باشد^(۷). واضح است که فرایند گذر از آزمایشگاه به تولید در مقیاس بزرگ به دلیل تغییر شکل محدود در دماهای بالا که کارگرم را دشوار می‌سازد، به تعویق افتاده است.

1- Liu et al., 1990

2- Sikka, 1988, 1989, 1990; Sanders et al., 1991; Alexander and Sikka, 1992; Haubold et al., 1992

3- Bittencourt, 1987; Chen and Chen 1988; Stoloff, 1989; Liu et al., 1990; Santella, 1993; Li and Chaki, 1993b

4- Sikka, 1990

5- Stoloff 1989; Sampath et al., 1991; Liang and Lavernia, 1991; Withers et al., 1991

6- Sikka, 1990; Liu and Kumar, 1993; Liu, 1993a

7- Baker and George, 1992

علاوه بر این پیشرفت‌ها که متوجه کاربردهای خاص هستند، آلیاژ‌های Ni_3Al برای توسعه‌ی مواد مرکب با زمینه‌ی ترکیب‌های بین‌فلزی که حاوی ذرات تقویت‌کننده یا راشته‌های بوراید، کاربید، اکسیدها یا کربن هستند، استفاده می‌شوند^(۱). گذشته از ویژگی‌های مکانیکی و مقاومت به خوردگی ضروری، سازگاری شیمیایی فازهای استفاده شده از مهم‌ترین پیش‌نیازهای پایداری بلندمدت است. معلوم شده است که TiB_2 , B_4C , SiC به شدت با آلیاژ‌های Ni_3Al واکنش می‌دهند، در حالی که واکنش Ni_3Al بسیار کمی با TiC یا Al_2O_3 در Ni_3Al مشاهده شده است^(۲). هم‌چنین باید توجه کرد که آلیاژ‌های Al نه تنها برای ماده‌ی نگهدارنده، بلکه به عنوان فاز تقویت‌کننده در مثلاً آلیاژ Al برای تشکیل ماده‌ی مرکب زمینه‌ی فلزی استفاده می‌شوند^(۳).

۴-۲-۱-۱- سایر فازهای $L1_1$

۴-۲-۱-۱- توضیعات عمومی

به جز Ni_3Al , Ni_3Ni , فازهای بین‌فلزی دیگری با ساختار $L1_1$ و ترکیب Ni_3X می‌سازد. X یکی از عناصر نزدیک به Al در جدول تناوبی (مثلاً Ni_3Si , Ni_3Ge , Ni_3Ga , Ni_3Mn یا Ni_3Fe) یا سایر فلزات واسطه‌ی نزدیک (Mn و Fe) است. هم‌چنین مثال‌های ساده‌ای برای فلزات واسطه‌ی دیگر (مانند Ni_3Ti یا Ni_3Mn) یا Ni_3Fe وجود دارند^(۴). فازهای $L1_1$ در زمرة‌ی اولین و بهترین ترکیب‌های بین‌فلزی مطالعه شده هستند زیرا برخی از آن‌ها مانند Ni_3Mn , Ni_3Fe , Ni_3Ti هم‌چنین مثال کلاسیک Al_3Cu در دماهای زیر دمای ذوب که اجازه‌ی تأثیر نظم اتمی برخواص فیزیکی و رفتار مکانیکی برای مطالعه را می‌دهد، به محلول‌های جامد نامنظم استحالة می‌یابند^(۵). چنین فازهایی با دمای بحرانی نظم دهنده‌ی پایین‌تر از دمای ذوب به نام فازهای کور ناکف شناخته می‌شوند.

اخیراً، نرم‌کنندگی موقیت آمیز Ni_3Al و توسعه‌ی بعدی مواد، علاقه‌ی زیادی در مورد فازهای $L1_1$ را برانگیخته است. این فازها به خاطر فهم سازوکارهای فیزیکی که رفتار موسمانی را کنترل می‌کنند،

1- Fuchs, 1989; Lee et al., 1990; Tortorelli et al., 1990; Alman and Stoloff, 1991; Kumar, 1991; McKamey and Carmichael, 1991; Mukherjee and Khanra, 1991; Brennan et al., 1992

2- Fuchs, 1989; Lee et al., 1990; Brennan et al., 1992

3- Metelnick and Varin 1991

4- Villars and Calvert, 1991

5- Sachs and Weerts, 1931; Dahl, 1936; Vidoz et al., 1963

به تعداد بیشتر و مفصل تر مطالعه شده اند^(۱). خصوصاً $Ni_{\beta}Fe$, $Cu_{\beta}Au$ و $Ni_{\beta}Al$ که کار آزمایشگاهی با آنها آسان است به عنوان فاز های الگو برای تحقیقات مفصل ویژگی های ریز ساختاری تغییر شکل استفاده می شوند^(۲). جریان جرکی^(۳) در فاز های $L1_1$, $L1_2$, $Zr_{\beta}Al$, $Ni_{\beta}Mn$ و Al همچنین در فاز های $Ni_{\beta}Fe$, $Cu_{\beta}Au$ و $Ni_{\beta}Al$ دیده شده است^(۴). $Ni_{\beta}Ge$ به عنوان فاز الگو برای مطالعه اثرات تغییر شکل چرخه ای در مقایسه با تغییر شکل یک نواخت در فاز های $L1_1$ به کار رفته است^(۵).

فاز های $L1_1$ در مقایسه با Al به منظور روشن ساختن اثرات تغییرات بر رفتار مکانیکی به صورت روش مند مطالعه شده اند. از مدت ها پیش معلوم بوده است که $Ni_{\beta}Fe$, $Cu_{\beta}Au$ و $Ni_{\beta}Al$ چند بلوره در دمای اتفاق نرم هستند^(۶)، در حالی که (همان گونه که در بخش قبل مطرح شد) $Ni_{\beta}Al$ چند بلوره ترد می باشد. این تفاوت در شکل پذیری می تواند به تفاوت در انرژی نظم دهی نسبت داده شود زیرا $Ni_{\beta}Fe$, $Cu_{\beta}Au$ و $Ni_{\beta}Al$ به عنوان فاز های کورناکف پایین تراز دمای ذوب بی نظم و $Ni_{\beta}Al$ تاقطه ذوب منظم هستند. البته فاز های $L1_1$ دیگری هم هستند که تاقطه ذوب منظم بوده و ترد نیستند و می توان نشان داد که شکل پذیری فاز های $L1_1$ چند بلوره شدیداً به تفاوت مطلق ظرفیت عناصر تشکیل دهنده که از طریق موقعیت مربوطه و فاصله هایشان در جدول تناوی منعکس می شود، وابسته است. $Ni_{\beta}Ga$, $Ni_{\beta}Si$, $Ni_{\beta}Pd$, $Cu_{\beta}Ti$, $Ni_{\beta}Mn$ و $Ni_{\beta}Fe$, $Ni_{\beta}Ge$ ترد هستند در حالی که $Ni_{\beta}Al$ و $Cu_{\beta}Au$ ضعیف تر است و شکل پذیر می باشند^(۷).

علاوه بر شکل پذیری، وابستگی تنش سیلان به دما ممکن است به طور قابل ملاحظه ای با تغییرات ترکیب تغییر کند. خصوصاً، برخی فاز های $L1_1$ مانند $Ni_{\beta}Al$ وابستگی دمایی ثابت و نامتعارف در مورد تنش سیلان از خود نشان می دهند، در حالی که دیگر فاز های $L1_1$ وابستگی دمایی منفی معمول (که قبلاً در بخش ۲-۱-۴ اشاره شد) را نمایان می سازند. در $Ni_{\beta}Ge$, $Ni_{\beta}Si$ و $Ni_{\beta}Pd$ این پدیده نامتعارف، حتی مشخص تر از $Ni_{\beta}Al$ است، در حالی که در $Ni_{\beta}Fe$, $Ni_{\beta}Ti$, $Zr_{\beta}Al$ و $Cu_{\beta}Au$ ضعیف تر است و هنگامی که از $Ni_{\beta}Ge$ به سمت $Fe_{\beta}Ge$ می رویم و گذر مداومی از یک وابستگی دمایی ثابت به

1- Veysiere, 1992

2- Korner, 1991; Tichelaar and Schapink, 1991

3 - Jerki

4- Schulson, 1984

5- Pak et al., 1986; Inoue et al., 1991a

6- Dahl, 1936; Vidoz et al., 1963

7- Takasugi and Izumi, 1985d

وابستگی منفی آشنا در فاز سه‌تایی L_1 , Fe , Ni , Ge وجود دارد. این تغییر در وابستگی دمایی تشییع موضع مطالعات روشن‌نمد بر روی ترکیب‌های بین فلزی بوده است و می‌توان نشان داد که تفاوت‌ها دقیقاً با اختلاف‌ها در پایداری بین ساختار L_1 و دیگر ساختارهای ممکن خصوصاً ساختارهای D_{22}^0 و D_{19}^0 مرتبط است^(۱). به علاوه، ارتباطی بین وابستگی دمایی نامتعارف تشییع سیلان و ناهمسان‌گردی کش‌سانی وجود دارد که با مطالعه‌ی روشن‌نمد ضربه‌های کش‌سانی فازهای L_1 مختلف آشکار می‌شود^(۲) و الگوی نظری رفتار تشییع سیلان را تقویت می‌کند^(۳).

جدا از این تمایل علمی ویژه در مورد فازهای L_1 , ساختار L_1 به دلیل نرم‌کنندگی موفق $Ni_{\beta}Al$ برای پیدایش مواد بین فلزی نرم امیدوارکننده‌تر است. از این رو فازهای L_1 موضوع بسیاری از مطالعات بوده‌اند. در حقیقت برخی فازهای L_1 جزء مواد مورد علاقه برای استفاده به عنوان مواد سازه‌ای هستند. چند مثال مختصرآ در ادامه مطرح خواهد شد. به علاوه، دیگر فازهایی که ساختار L_1 ندارند به منظور تولید ساختار L_1 آلیاژ می‌شوند. مثال این مسأله، با به اصطلاح تری آلمینیايدهای با ساختار L_1 که از آلیاژ‌کردن فاز $TiAl$ دوتایی با ساختار D_{22}^0 با عنصر واسطه‌ی Ni , Fe , Mn , Cr و Cu (که در بخش ۳-۴ بحث مدد) حاصل می‌شوند، ارائه می‌گردد. البته باید توجه کرد که نرم‌کنندگی مورد انتظار این تری آلمینیايدهای هنوز حاصل نشده است. مثال دیگر حصول ساختار L_1 با آلیاژ‌سازی مناسب، فاز چندتایی V , Ni , Co , Fe , Al است که نوآوری‌های موقیت‌آمیز مواد بر آن باشد است و در بخش بعدی هم مطرح خواهد شد.

۴-۲-۴- فازهای مورد علاقه‌ی خاص با ساختار L_1



همان‌گونه که در بخش قبل اشاره شد، $Ni_{\beta}Fe$ یکی از فازهای شکل‌پذیر با ساختار L_1 است. $Ni_{\beta}Fe$ تحول نظم - بی‌نظمی را در دماهای میانه از خود نشان می‌دهد که از لحاظ سینتیک و کار مایه‌شناسی مفصل‌اً مطالعه گردیده است^(۴). رفتار مکانیکی آن کاملاً شناخته شده است و مشخصه‌ها از لحاظ استحکام، رفتار نابهجهای‌ها و شکست مورد بحث قرار گرفته‌اند^(۵). ثابت‌های کش‌سانی

1- Mishima et al., 1985; Suzuki et al., 1989

2- Yasuda et al., 1991 a, b, 1992

3- Yoo et al., 1988; Yoo and Fu, 1991

4- Marty et al., 1990; Cahn, 1992; Chapter by Inden and Pitsch in volume 5 of MST

5- Vidoz et al., 1963; Davies, 1963b; Takasugi and Izumi, 1985d, 1992; Izumi, 1989; Korner, 1991; D.G.

اندازه گیری شده اند^(۱). Ni_3Fe نیز مانند فازهای L1₂ دیگر در دمای اتاق در معرض تردی هیدروژنی قرار می گیرد^(۲).

اهمیت Ni_3Fe از رفتار فیزیکی سودمندش نشأت می گیرد. به عبارت دیگر ماده ای فرومغناطیسی با قابلیت نفوذ پذیری مغناطیسی بالا است^(۳). از این رو Ni_3Fe موجب ظهور آلیاژهای مغناطیسی نرم پر نیکل شده است که با نام پرمالوی ها شناخته می شوند. آلیاژ کردن با سایر عناظر، رفتار مغناطیسی را بهبود می بخشد و مولی - پرمالوی ها که نوعاً حاوی ۸۰ درصد Ni، ۴ تا ۵ درصد Mo و بقیه Fe هستند و مو-متال ها که عموماً حاوی ۴۷ درصد Ni، ۵ درصد Cu و ۲ درصد Cr و بقیه Fe هستند، گواه این مسئله است^(۴).

Co_3Ti

یکی از فازهای امید بخش با ساختار L1₂ Co_3Ti است که در گستره دمایی وسیعی (از جمله دمای اتاق) شکل پذیری دارد و از استحکام زیادی در دماهای بالا برخوردار می باشد^(۵). البته، نشانه هایی از تردی محیطی در هوا و دمای محیط در نتیجه پذیری ترد شوندگی محلولی وجود دارند^(۶). رفتار تغییر شکل Co_3Ti به طور مفصل از لحاظ شکل پذیری و استحکام مطالعه گردیده است. و به ویژه همانند Al_3Ni وابستگی دمایی نامتعارف تنش سیلان آن پذیره ای شناخته شده است^(۷). با توجه به تغییر شکل در دمای بالا، ثابت نفوذ Co در Co_3Ti اندازه گیری شده است و عیوب ساختاری که از انحرافات از استوکیومتری حاصل می شوند مورد مطالعه قرار گرفته اند^(۸). Co_3Ti را می توان با یک عنصر سوم آلیاژ سازی کرد، و در این رابطه اشغال فضای عناظر مختلف مورد بررسی قرار گرفته اند^(۹). چنین افزودنی های آلیاژی را می توان برای تغییر خواص مکانیکی یعنی استحکام، شکل پذیری، تنش

(۱) ادامه‌ی پاورقی از صفحه‌ی قبل \Rightarrow Morris, 1992; Veyssiére, 1992

1- Yasuda et al., 1992

2- Liu and Stoloff, 1993

3- Kouvel , 1967; Dietrich, 1990

4- Dietrich, 1990

5- Takasugi and Izumi, 1985c; Takasugi et al., 1990b

6- Takasugi and Izumi, 1986; Liu et al., 1989b; Takasugi et al., 1990b; Liu, 1991a

7- Takasugi and Izumi, 1985b; Takasugi et al., 1987

8- Takasugi and Izumi, 1985a; Nakajima et al., 1988, 1991

9- Liu et al., 1986; Takasugi et al., 1990a

سیلان نامتعارف و حساسیت در مقابل تردی هیدروژنی به کار برد^(۱).



$Ni_{\beta}Si$ یکی دیگر از فازهای امیدوارکننده با ساختار $L1_1$ است که رفتار تغییرشکل آن، از جمله وابستگی نامتعارف تنش سیلانش به دما، مشابه $Al_{\beta}Ni$ می‌باشد. $Ni_{\beta}Si$ را می‌توان برای تشکیل فاز $L1_1$ سه‌تایی (Ti , Ni)_β(Si , Ti) باز، آلیاژسازی کرد. این فاز به عنوان فاز منتخب برای کاربردهایی که احتیاج به ماده‌ی سازه‌ای با خاصیت کار در دمای بالا، یا ماده‌ی مقاوم به خوردگی دارند، موردن توجه قرار می‌گیرد، زیرا استحکامش در مقایسه با سایر فازهای $L1_1$ بسیار زیاد است. شکل پذیری آن در گستره‌ی وسیعی از دما، بالا می‌ماند (خصوصاً در دماهای پایین تر وقتی با B آلیاژ می‌شود) و مقاومت به خوردگی عالی در اسید‌سولفوریک گرم دارد. هم‌چنین از مقاومت به اکسایش بسیار خوبی در هوادر دماهای بالا برخوردار است. $Ni_{\beta}Si$ را می‌توان با خواص مناسب از طریق روش‌های فراورش مختلف تولید کرد^(۲).

مطالعات مختلف به رفتار آلیاژکننگی و تأثیرات آن بر خواص مکانیکی از جمله شکست معطوف شده است^(۳). ضریب‌های کشسانی آن مشخص گردیده‌اند^(۴) و رفتار نابه جایی‌ها در دماهای پایین و بالا مفصل‌اً مطالعه شده است^(۵). تنش تسیلم نامتعارف که پیشتر در سال ۱۹۵۲ گزارش شده بود^(۶) اخیراً بر اساس محاسبات ابتدايی ثابت‌های کشسانی و انرژی‌های عیب‌برشی شناخته شده است^(۷). آلیاژهای $Ni_{\beta}(Si,Ti)$ را می‌توان به صورت آبرمومسانی تغییرشکل داد^(۸) و تردی محیطی نیز مشاهده گردیده است^(۹). به تازگی، $Ni_{\beta}Si$ برای ساخت آلیاژهای بین فلزی دوفازی با مقاومت خرسنی بهتر، با $Co_{\beta}Ti$ آلیاژسازی شده است^(۱۰). وبالاخره، شایان توجه است که در دماهای بسیار بالا، فاز ترد، میانی و Ni مونوکلینیک $Ni_{\beta}Si$ ، پایدار می‌باشد که احتمالاً زمینه‌ای از آلیاژهای $Ni-Si$ مربوطه با محلول جامد پر Ni

1- Liu et al., 1989a; Takasugi et al., 1990b; Hasegawa et al., 1993a

2- Takasugi and Yoshida, 1991b; Baker et al., 1993; Ulvensoen et al., 1993

3- Takasugi et al., 1991b; Takasugi and Yoshida, 1991a; Takasugi, 1991a; Takasugi and Izumi, 1992; Khantha et al., 1991; T. Zhang et al., 1991

4- Yasuda et al., 1992

5- Yoshida and Takasugi, 1991a, 1992; Takasugi and Yoshida, 1992, 1993

6- Lowrie, 1952

7- Fu et al., 1993b

8- Nieh and Oliver, 1989; Takasugi et al., 1991a, c; Stoner et al., 1992

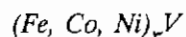
9- Liu and Oliver, 1991; Takasugi et al., 1991d; Takasugi, 1991c

10- Hasegawa et al., 1993b

نرم رسویی و $Ni_{\beta}Si$ با ساختار $L1_1$ به عنوان فازهای ثانویه چقرمه کننده را به وجود می آورد^(۱).



فاز $Zr_{\beta}Al$ با ساختار $L1_1$ که از واکنش پریتکنیکی Zr و $Zr_{\beta}Al$ ساخته می شود، به طور گسترده‌ای، با هدف استفاده به عنوان ماده‌ی پوششی در رآکتورهای هسته‌ای با خنک‌کنندگی آب موردنی مطالعه قرار گرفته است زیرا سطح مقطع کمی برای جذب نوترون‌های حرارتی دارد^(۲). خصوصاً رفتار مکانیکی این آلیاژ موضوع مطالعات مفصلی بوده است^(۳) که طبق آن استحکام بالا به همراه وابستگی fcc نامتعارف تنش سیلان به دما مشاهده شده است. آهنگ کار سختی آن بیشتر از همه‌ی آلیاژهای منظم یا نامنظم است. شکل پذیری $Zr_{\beta}Al$ با سطح پرداخت شده، در حدود ۳۰ درصد در دمای اتاق است که البته با حساسیت شیاری بالایی همراه است. پرتودهی نوترون پر شتاب در مقادیر کم، حساسیت شیاری را متوقف می کند، در صورتی که پرتودهی در مقادیر زیاد استحاله‌ای ترد شوندگی از حالت بلورین به سمت فاز بی‌شکل را ایجاد می کند که با تورم قابل ملاحظه‌ای همراه می شود. این پدیده‌های پرتودهی موجب ممنوعیت استفاده از $Zr_{\beta}Al$ در رآکتورهای هسته‌ای شده است^(۴). کار مکانیکی روی $Zr_{\beta}Al$ به کاهش مساحت در حدود ۳۰ درصد محدود می شود و بهترین شرایط انجام کارگرم در بالای دمای پریتکنیک است (به صورت $(Zr-Zr_{\beta}Al)$ دوفازی) که در ادامه با عملیات تاب کاری در زیر دمای پریتکنیک برای تولید فاز $Zr_{\beta}Al$ دنبال می شود. این ماده مقاومت به اکسایش خوبی دارد و می توان آن را به صورت لوله، میله و تسمه تولید کرد.



فازهای ترد $Ni_{\beta}V$ با ساختار $D0_2$ مکعب مسطیلی و $Co_{\beta}V$ با ساختار منشوری پیچیده می توانند با Fe طوری آلیاژ شوند که فازهای سه تابی $V_{\beta}(Ni, Fe)$ و $V_{\beta}(Co, Fe)$ و فاز چهار تابی $(Fe, Co, Ni)_\beta V$ توپید کنند. این فازها، ساختار $L1_1$ مکعبی داشته و شکل پذیرند. شکل پذیری کششی آنها ۴۰ درصد یا بیش تراست^(۵). برای این آلیاژهای میکریو پایداری ساختار $L1_1$ کمتر از ۷/۸۹ الکترون ظرفیت در هر اتم

1- Baker et al., 1993; Li and Schulson, 1993

2- Schulson, 1984; Liu et al., 1990; Parameswaran et al., 1990

3- Schulson, 1984

4- Parameswaran et al., 1990

5- Liu and Inouye, 1979; Liu, 1984; Liu et al., 1990

است زیرا مقادیر الکترون ظرفیت بالاتر (بین $8/6$ و $8/89$) مشخصه‌ی V و Co , Ni) با ساختارهای منشوری است، در حالی که Ni - V مکعب مستطیلی با $8/75$ الکترون ظرفیت در هر اتم مشخص می‌شود. پایداری این آلیاژهای $L1_1$ از طریق محاسبات اصل نخستین مکانیک کوانتموی مطالعه شده است^(۱).

آلیاژهای با ساختار $L1_1$ شامل V , $(Co, Fe)_V$, $(Ni, Fe)_V$ و $(Co, Ni)_V$ در یک دمای بحرانی بین $600^{\circ}C$ و $1000^{\circ}C$ (بسته در صد Fe) برای تشکیل آلیاژهای نامرتب fcc ، نامنظم می‌شوند. تبلور مجدد در حالت منظم در پایین تر از دمای بحرانی آهسته‌تر از حالت نامنظم است^(۲)، این در حالی است که به نظر نمی‌رسد نفوذ از طریق تحول نظم - بی‌نظمی چندان تحت تأثیر قرار گیرد^(۳). این آلیاژهای $L1_1$ را به دلیل شکل پذیری زیادشان می‌توان به آسانی شکل داد. این آلیاژها مانند Ni_3Al وابستگی نامتعارف مثبت تنفس سیلان به دمای از خود نشان می‌دهند. استحکام به سرعت در بالاتر از دمای بحرانی نظم دهی کاهش می‌یابد. این آلیاژها مقاومت به خزش و خستگی بسیار خوبی دارند^(۴) و می‌توان آن‌ها را جوش‌کاری کرد^(۵) اما به دلیل عدم حضور Al در بالاتر از $600^{\circ}C$ مقاومت به اکسایش کافی ندارند^(۶) و در معرض تردی محیطی قرار می‌گیرند^(۷). این مواد با توجه به رفتار مکانیکی سودمندشان به عنوان موادی نویدبخش استفاده‌هایی به صورت ماده‌ی سازه‌ای در نیروگاههای برق سنتی (خصوصاً توربین‌های بخار) پیدا کرده‌اند. هم‌چنین برای نیروگاههای برق هسته‌ای مورد توجه قرار می‌گیرند، زیرا پرتودهی تورم نسبتاً کمی (و البته همراه با قدری کاهش در نرمی) ایجاد می‌کند^(۸).

NiAl - ۳-۴

۱-۳-۴- خواص عمده

$NiAl$ شناخته شده‌ترین مثال برای ترکیب‌های بین‌فلزی با ساختار $B2$ مکعبی (شکل ۱) است.

1- Freeman et al., 1992

2- Chan, 1991

3- Mantl et al., 1984

4- Ashok et al., 1983

5- Bittencourt, 1987

6- Liu, 1984

7- Liu, 1991a; Nishimura and Liu, 1991, 1992a, b; Liu, 1992; Miura and Liu, 1992

8- Liu, 1984; Liu et al., 1990

این ترکیب‌ها یکی از بزرگ‌ترین گروه‌های ترکیب‌های بین فلزی را تشکیل می‌دهند^(۱). ویژگی‌های مکانیکی و فیزیکی NiAl اخیراً به طور مفصل مورد بررسی قرار گرفته است^(۲). همان‌گونه که با توجه به نمودار فازی در شکل ۲۰ روشن می‌شود، گستره‌ی همگنی فاز NiAl وسیع است و در تقریباً 1640°C در ترکیب استویکیومتری 5° درصد اتمی Al به طور نامتجانس ذوب می‌شود. این نقطه‌ی ذوب، بالاتر از نقطه‌ی ذوب عناصر سازنده‌اش است که نشان‌گر پیوندی قوی بین Ni و Al و پایداری فازی زیاد همراه با تمایل شدید برای نظم اتمی می‌باشد. این تفسیر از طریق محاسبات ابتدایی مکانیک کوانتمی به دست می‌آید و بر طبق آن پیوند قوی Ni-Al از نوع مخلوط است. به عبارت دیگر پیوند فلزی همراه با سهمی از پیوند اشتراکی و یونی است که اتم‌های Al را کمی الکتروپوزیتو می‌کند^(۳).

در حقیقت طبق این گونه محاسبات ابتدایی، NiAl با ترکیب استویکیومتری تانقطه‌ی ذوب به مقدار زیادی منظم می‌ماند^(۴). انحرافات از ترکیب استویکیومتری به بی‌نظمی ساختاری منجر می‌شود^(۵). به عبارت دیگر عیوب نقطه‌ای عمدت‌ای تولید می‌شوند که اتم‌های ضدساختار هستند. یعنی، همان‌گونه که به صورت تجربی و نظری مشاهده شده است، اتم‌های Ni اضافی در محل‌های Al در طرف پُر Ni ترکیب استویکیومتری و جای خالی در زیر شبکه‌ی Ni در طرف پُر Al قرار می‌گیرند^(۶). به این ترتیب تعداد الکترون‌های ظرفیت در هر اتم آلیاژ از مقدار بحرانی لازم برای انحراف از استویکیومتری (در سازگاری با قوانین هیوم-راتری برای ترکیب‌های الکترونی) تجاوز نمی‌کند^(۷). این عیوب نقطه‌ای در تقابل با یکدیگر هستند که در نتیجه نظم دهنده منطقه‌ای حاصل می‌شود^(۸). علاوه بر عیوب نقطه‌ای ساختاری، عیوب نقطه‌ای حرارتی نیز وجود دارند که باز هم جاهای خالی در زیر شبکه‌ی Ni و اتم‌های ضدساختار Ni در زیر شبکه‌ی Al هستند زیرا جاهای خالی را تنها می‌توان در زیر شبکه‌ی Ni به وجود آورد و هر کدام از این دو جای خالی، برای یک ترکیب ثابت NiAl باید از طریق یک اتم ضدساختار Ni

1- Baker and Munroe, 1990

2- Miracle, 1993

3- Fu and Yoo, 1992b; Liu et al., 1992

4- Stocks et al., 1992

5- Stocks et al., 1992

6- Jacobi and Engell, 1971a, b; Nakamura and Takamura, 1982; Koch and Koenig, 1986; Fu and Yoo, 1992a; Kogachi et al., 1992; S. M. Kim, 1992

7- Rusovic and Henig, 1980

8- Georgopoulos and Cohen 1981

جبران شود^(۱). آرایش‌های تعادلی جاهای خالی حرارتی به صورت نظری مورد مطالعه قرار گرفته‌اند^(۲).

چگالی Al در ترکیب استویکیومتری در مقایسه با آلیاژ‌های معمول پایه‌ی نیکل، کم است و با کاهش درصد Al افزایش می‌یابد^(۳). توجه شود که به دلیل تفاوت در ساختار عیب، تغییر چگالی به ازای واحد درصد افزایش Al برای NiAl پُر آلمینیم بزرگ‌تر از Ni در آلیاژ NiAl پُر نیکل است.

رفتار کشسان NiAl مکرراً مطالعه شده است و ضریب‌های کشسانی به طور تجربی برای نک بلورها و چندبلورها به صورت تابعی از ترکیب و دما تعیین شده‌اند^(۴). رفتار کشسان به طور نظری با استفاده از محاسبات ابتدایی مکانیک کوانتومی مطالعه گردیده است و ضریب‌های کشسانی حاصله با مقادیر تجربی سازگارند^(۵).

ضریب یانگ NiAl چند بلوره با ترکیب استویکیومتری در دمای اتاق حدوداً ۲۳۵GPa است^(۶). ضریب‌های کشسانی توابعی از ترکیب هستند و همان‌گونه که انتظار می‌رفت ضریب یانگ نه در ترکیب استویکیومتری بلکه در ۴۸ درصد اتمی Al به حد اکثر کمی بیش تر از ۲۳۵GPa می‌رسد که احتمالاً به تفاوت در خصوصیت عیب در دو طرف ترکیب استویکیومتری مربوط می‌شود. تأثیر جای خالی اضافی (که به وسیله‌ی سردکردن سریع از دماهای بالا ایجاد می‌شوند) بر رفتار کشسان توسط رسوب‌یوج و هنیگ^(۷) (۱۹۸۰) مطالعه شده است. ناهمسان‌گردی کشسانی NiAl بیش تر از فلزات نامنظم مشابه با ساختار A2 مانند Fe با ساختار bcc و معادل با Ni و Cu با ساختار fcc (ساختار A1) است^(۸). در نتیجه‌ی این ناهمسان‌گردی، ثابت‌های کشسانی NiAl چندبلوره به طور حساسی به بافت بستگی دارند. NiAl پُر Ni پدیده‌های نامتعارف در رفتار کشسانی خود نشان می‌دهد و خصوصاً وابستگی دمایی نامتعارفی وجود دارد که نشان‌گر نرم‌سازی شبکه بوده و به استحاله‌ی مارتزیتی مربوط می‌شود^(۹).

1- Rusovic and Henig, 1980; Fu and Yoo, 1992a

2- Kozubski, 1993

3- Rusovic and Warlimont 1977; Harmouche and Wolfenden, 1987

4- Wasilewski, 1966; Rusovic and Warlimont, 1977, 1979; Harmouche and Wolfenden, 1985, 1987

5- Yoo et al., 1990; Fu and Yoo, 1992b; Freeman et al., 1992; Yoo and Fu 1993

6- Harmouche and Wolfenden, 1987

7 - Rusovic and Henig

8- Wasilewski, 1966

9- Rusovic and Warlimont, 1975, 1977

استحاله‌ی مارتنزیتی NiAl در بخش بعدی مطرح خواهد شد.

نفوذ در AlNi مکرراً مطالعه شده است و بر آن اساس پایگاه معتبری از داده‌ها حاصل گردیده است^(۱). انتظار می‌رود که ضریب نفوذ در ترکیب استویکیومتری به کمترین مقدارش برسد، زیرا به ازای هر میزان انحراف از استویکیومتری درجه‌ی نظم اتمی را از طریق وارد کردن عیوب نقطه‌ای ساختاری (که نفوذ را افزایش می‌دهند) پایین می‌رود. در حقیقت ضریب نفوذ Ni در NiAl در تقریباً ۴۹ درصد اتمی Al به یک مقدار حداقل می‌رسد^(۲) که کمی پایین‌تر از ترکیب استویکیومتری است و به تأثیرات عیوب نقطه‌ای یعنی جاهای خالی و اتم‌های ضد مکان بر روی نفوذ، مربوط می‌شود^(۳). ضریب نفوذ Al در NiAl به روش ردگیری رانمی توان مستقیماً اندازه‌گیری کرد زیرا ایزوتوپ آلومینیم لازم وجود ندارد. به دلیل پراکندگی اتمی منظم، فرایندهای مهاجرت اتمی در NiAl از آلیاژهای bcc نامنظم پیچیده‌تر هستند و علی‌رغم تحلیل‌های جز به جزء فرایندهای جهش اتمی، هنوز فهم درست و الگوسازی مناسب نفوذ در NiAl حاصل نشده است^(۴). تنها اخیراً، الگویی که بر اختلاط دوساز و کار استوار است برای توصیف وابستگی نفوذ به ترکیب در فازهای B2 پیشنهاد شده است^(۵). باید توجه کرد که فهم فرایندهای بنیادی نفوذ برای سایر ترکیب‌های بین فلزی کم‌تراز NiAl و دیگر فازهای B2 است^(۶). مطالعات در مورد نفوذ سیستم‌های چند جزیی اندک هستند و برای آلیاژهای پایه‌ی NiAl تنها داده‌های مربوط به فاز سه تایی Al-Ni (Fe-Al) از یک تحقیق روشنمند سیستم Ni-Al-Fe در دسترس می‌باشد^(۷). به تازگی تأثیر Cr بر نفوذ در NiAl مطالعه شده است^(۸).

۴-۳-۲- نمودار فازی و استحاله‌ی مارتنزیتی

تعادل‌های NiAl با آلومیناید های نیکل مجاور در دماهای بالا و پایین به وسیله‌ی نمودار فازی در شکل ۲۰ نشان داده شده است. تنها AlNi در دماهای بالاتر با Ni₃Al در تعادل است، در

1- Hagel, 1967; Hancock and McDonnell, 1971; Shankar and Seigle, 1978; Hao et al., 1985; Wever, 1992

2- Hancock and McDonnell, 1971; Shankar and Seigle, 1978

3- Wang and Akbar, 1993

4- Bakker, 1984; Wever et al., 1989; Koiwa, 1992; Bakker et al., 1992

5- Kao and Chang, 1993

6- Wever, 1992

7- Cheng and Dayananda, 1979; Dayananda, 1992

8- Hopfe et al., 1993

صورتی که در دماهای پایین تر با فاز α Ni₃Al در تعادل می‌باشد که به تازگی مشخص شده است^(۱). ساختار بلوریش مشابه با ساختار B2 در NiAl است و جاهای خالی منظم شده دارد. Ni پُر NiAl تنها در دماهای بالا با Al₃Ni در تعادل است و پایداری‌های دو طرفه در نمودار فازی دیده می‌شوند^(۲). در دماهای پایین NiAl تعادلی با α Ni₃Al در تعادل می‌باشد که به طور مفصل مورد مطالعه قرار گرفته است^(۳). به علاوه، در NiAl پُر Ni بعد از سرد کردن سریع و تاب کاری بعدی در دماهای میانه درات رسوبی فاز نیمه پایدار Al₃Ni با یکی از دو ساختار تری‌گونال یا مونوکلینیک دیده شده است^(۴).

اگرتوان از طریق تاب کاری در دماهای بالا سرد کردن سریع به سمت دماهای پایین، از تجزیه و رسوب Al₃Ni و/یا α Ni₃Al جلوگیری کرد، آنگاه NiAl فوق اشباع پُر Ni، یعنی NiAl با بیش از ۶۰ درصد Ni می‌تواند به صورت مارتزیتی استحالة یابد. دمای تشکیل مارتزیت (M_1) به طور خطی با افزایش Ni فوق اشباع از حدود ۲۴۰°C - برای ۶۰ درصد Ni، تا حدود ۱۰۰۰°C برای ۷۰ درصد Ni افزایش می‌یابد^(۵). استحالة مارتزیتی، ساختار مکعب مستطیلی وجود مرکز دار منظم با نسبت مستطیلی $c/a = 0.86$ ^(۶) ایجاد می‌کند و یک زیرساختار با واپیچش داخلی به وجود می‌آید^(۷). در برخی موارد، مارتزیت منشوری با ترتیب انباشت H (ساختار دو لایه) هم دیده شده است^(۸). به علاوه، بسته به درصد Al یک ساختار مونوکلینیک با ترتیب انباشت VR (ساختار هفت لایه) یافت می‌شود^(۹). ساختار VR در هنگام استحالة مارتزیتی ساختار میان مرحله‌ای حاصل می‌شود و از تشکیل عیوب چیدمان متناوب در ساختار L1₁ به وجود می‌آید. به طور نظری می‌توان نشان داد که موانع ارزی برای استحالة مارتزیتی از ساختار مکعبی B2 به ساختار مکعب مستطیلی L1₁ از طریق تشکیل فاز میانی VR کمتر می‌شوند^(۹). ضربه‌های کشسانی مارتزیت تشکیل شده، تعیین شده‌اند^(۱۰).

استحالة مارتزیتی NiAl پُر Ni می‌تواند با تنش‌های خارجی ایجاد شود که در آن آبرمومسانی

1- Mukherjee et al., 1979; Ellner et al., 1989

2- Nishimura and Liu, 1992b; Bremer et al., 1988; Fang and Schulson, 1992

3- Robertson and Wayman, 1984; Khadikar and Vedula, 1987; Khadikar et al., 1993

4- Murthy and Goo, 1993; Muto et al., 1993a, b

5- Au and Wayman, 1972; Smialek and Hehemann, 1973; Ochiai and Ueno, 1988

6- Chakravorty and Wayman, 1976a, b

7- Litvinov et al., 1974; Martynov et al., 1983; Tanner et al., 1990

8- Martynov et al., 1983; Tanner et al., 1990; Khachaturyan et al., 1992; Shimizu and Tadaki, 1992

9- Yegorushkin et al., 1985; Stocks et al., 1992; Khachaturyan et al., 1992; Sluiter et al., 1992

10- Robertson, 1990

و گرما کش سانی مشاهده شده است. استحاله‌ی مارتزیتی از طریق دوقلو شدن و دوقلو زدایی تغییر شکل می‌دهد^(۱). بنابراین همه‌ی پیش‌نیازهای پدیده‌ی حافظه‌ی شکل براورده می‌شوند. در حقیقت پدیده‌ی حافظه‌ی شکل در NiAl مستقل از روش آماده‌سازی آلیاژ (متالورژی شمش یا متالورژی پودر) ایجاد شده است. به عبارت دیگر می‌توان نشان داد که مشخصه‌های استحاله به خط سیر فراورش بستگی ندارند^(۲). طبق یک شبیه‌سازی رایانه‌ای، استحاله‌ی مارتزیتی تنش دار شده نیز برای NiAl که هنوز با Ni فوق اشباع نشده، بلکه در معرض تمرکزهای تنش بالا مثلاً در نوک ترک‌ها قرار دارد، مورد انتظار است^(۳).

به منظور تشکیل فازهای سه‌تایی با ساختار B2 (که در آن صورت به عنوان ساختار L2 معرفی می‌شوند) یا به دست آوردن فازهای اضافی در تعادل با NiAl می‌توان NiAl را با بیشتر عناصر آلیاژ‌سازی کرد. همان‌طور که با توجه به فازهای FeAl, CoAl انتظار می‌رود، Fe و همچنین Co را می‌توان به جای Ni در NiAl به طور کامل و بدون تأثیر بر ساختار B2 جایگزین نمود. به این ترتیب بنا نمودار فاز سه‌تایی Ni-Fe-Al که نسبت به آلیاژهای دما بالای معمول اهمیت بیشتری دارد، گستره‌ی وسیع‌تر حوزه‌ی فاز B2 و تعادل‌های مربوطه با Al-Ni_x و فازهای پر لامپ از یک سو، با Fe با ساختار fcc و با ساختار bcc نامنظم از سوی دیگر را نشان می‌دهد^(۴). سیستم Ni-Al-Co_x عملکرد مشابهی دارد^(۵). سیستم‌های سه‌تایی دیگر نیز بررسی شده‌اند^(۶). سیستم آلیاژی مهم دیگر سیستم Ni-Al-Ti است که علاوه بر NiAl محتوی سایر ترکیب‌های بین فلزی سه‌تایی می‌باشد؛ خصوصاً فاز نوع هیوسler^(۷) با ساختار Ni_xAlTi_y از ساختار B2 حاصل می‌شود (بخش ۵-۴ را بینید) و فاز لاوهی منشوری با ساختار Ni_xTi_yNi_zAl_w^(۸). وضعیت‌های مشابهی در نمودارهای فازی برای Ni-Al-Nb^(۹) و

1- Au and Wayman, 1972; Chakravorty and Wayman, 1976b; Enami et al., 1981; Murakami et al., 1992; Kim and Wayman, 1992

2- Ochiai et al., 1987; Kim and Wayman, 1990

3- D. Kim et al., 1991

4- Bradley and Taylor, 1938; Dannöhl, 1942; Bradley, 1951; Hao et al., 1984

5- Hao et al., 1984; Ishida et al., 1991a, 1993

6- Raman and Schubert, 1965; Kumar, 1990

7 - Heusler

8- Raman and Schubert, 1965; Nash and Liang, 1985; Lee and Nash, 1991b; Yang et al., 1992b

9- Benjamin et al., 1966; Reip, 1991; Ochiai et al., 1991

Ni-Al-Ta^(۱) یافت می‌شود.

آلیاژ کردن سه تایی از لحاظ استحاله‌ی مارتنزیتی NiAl اهمیت ویژه‌ای دارد زیرا امکان کنترل دمای تشکیل مارتنزیت (M_1) در کنار سایر مشخصه‌های استحاله را فراهم می‌سازد. دمای استحاله و ناهمسان‌گردی کرنش استحاله را کاهش، و تحرک فصل مشترک را افزایش می‌دهد^(۲). توجه می‌شود که منحنی‌های M_1 ثابت در نمودار سه تایی Ni-Al-Co در منطقه دوفازی باقی می‌مانند. به عبارت بهتر تنها (Ni,Co) فوق اشباع می‌تواند به صورت مارتنزیتی تغییر یابد. به تازگی تأثیر سایر عناصر یعنی، Cu, Al, Mn, Fe, Ti, V, Nb, Ta, Cr, Mo, Si^(۳) و B^(۴) بر مطالعه گردیده است. چنین نتیجه گیری می‌شود که آلیاژ کردن با Fe منجر به وضعیتی مشابه با مورد Ni-Al-Co می‌گردد، در صورتی که آلیاژ کردن با Mn^(۵) در نمودار فاز سه تایی Ni-Al-Mn را آن قدر گسترش می‌دهد که منحنی‌های M_1 ثابت به طرف حوزه B2 جلو می‌روند. یعنی، انتظار می‌رود که فوق اشباع کردن برای استحاله مارتنزیتی Al(Mn, Ni) ضروری نباشد^(۵).

۴-۳-۳- ریزساختار و فوار مکانیکی

منحنی‌های شکل ۲۲ تغییرات تنفس سیلان NiAl چندبلوره با دما و ترکیب را نشان می‌دهند. این منحنی‌ها، وابستگی دمایی عادی همراه با استحکام بالا در دماهای پایین، کاهش استحکام نسبتاً شبیه دار در دماهای میانه در حوالی نصف دمای ذوب (حدود ۶۸۰°C برای NiAl) و استحکام کم با شکل پذیری بیشتر در دماهای بالا را نشان می‌دهند. می‌توان فهمید که تغییرات در ترکیب منجر به تغییرات در استحکام می‌شود و این تأثیرات ممکن است در دماهای پایین و بالا متفاوت و با گستره‌ی گذار حول نصف دمای ذوب باشد^(۶).

نمودار شوندگی در دماهای بالا به فرایندهای خوش فعال شده‌ی حرارتی مربوط می‌شود که موضوع بخش بعدی هستند. انحرافات از استوپکیومتری عیوب ساختاری تولید می‌کند که نفوذ را افزایش می‌دهند و به نرم شدن در دماهای بالا می‌انجامند، در صورتی که در دماهای پایین این عیوب

1- Pak et al., 1988

2- Russell et al., 1989

3- Kainuma et al., 1992a

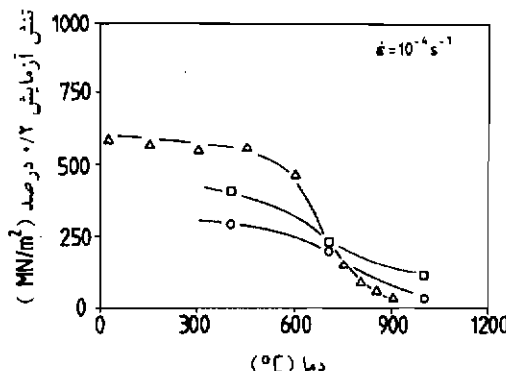
4- Xie et al., 1993

5- Kainuma et al., 1992b,c

6- Sauthoff, 1990b

بی تحرک هستند و به عنوان تقویت کننده‌ی مواد تغییر شکل عمل می‌کنند. این اثرات مختلف انحراف از استویکیومتری در دماهای بالا و پایین مفصل‌آ برای NiAl دوتایی بررسی شده‌اند^(۱).

آلیاژ کردن Al با یک عنصر سوم (مثل آهن Fe)، به تقویت محلول جامد در کل گستره‌ی دمایی شکل ۲۲ منجر می‌شود. همان‌گونه که توسط رودی و ساوتف^(۲) (۱۹۸۵) و رودی (۱۹۸۶) نشان داده شد، این تأثیرات هم به دما و هم به آهنگ کرنش وابسته است. اثرات سایر حل شونده‌های مختلف بر استحکام در دمای بالا مطالعه شده است^(۳). علاوه بر ترکیب، فراورش هم به عنوان عامل کنترل کننده‌ی استحکام شناخته شده است که نقش مهم ریزساختار در استحکام بخشی را مورد تأکید قرار می‌دهد. بیشترین استحکام‌ها با آلیاژ‌های حاوی ماده‌ی محلول اضافی به شکل فاز ثانویه مشاهده شده است. آلیاژ‌های NiAl با فاز ثانویه در بخش ۴-۳ و ۴-۶ مطرح می‌شوند.



شکل ۲۲-تنش سیلان (تنش آزمایش ۲/۰ درصد رفشار و در آهنگ کرنش $\dot{\epsilon} = 10^{-4} \text{ s}^{-1}$) به عنوان تابعی از دما برای فازهای سه تایی و دوتایی NiAl یعنی استویکیومتری (دایره‌ها)، (Ni, Fe, Al)₂₀ استویکیومتری (مربع‌ها) و (Ni, Fe, Al)₁₀ و (Ni, Fe, Al)₄₀ غیر استویکیومتری (مثلث‌ها) (Rudy and Sauthoff, 1986; Rudy, 1986).

تغییر شکل موم سان NiAl ترجیحاً از طریق حرکت نابهنجایی‌های کامل در جهت لغزش $<100^{\circ}$ که کوتاه‌ترین بردار انتقال شبکه در ساختار B2 است، رخ می‌دهد و صفحات لغزش ترجیحی خانواده‌ی صفحات $\{110\}$ هستند، در صورتی که لغزش بر روی $\{001\}$ هم امکان‌پذیر است^(۴). جزئیات لغزش

1- Vandervoort et al., 1966

2 - Rudy & Sauthoff

3- Vedula et al., 1985; Nathal, 1992; Cotton et al., 1993 b

4- Ball and Smallman, 1966; Strutt and Dodd, 1970; Baker and Munroe, 1990; Darolia et al., 1992b; Y. Zhang et al., 1993

در تک بلورها اخیراً به صورت تابعی از جهت استقرار بلور، حالت تغییرشکل و دما مطالعه شده است^(۱). با توجه به انرژی نظم دهنده بالای NiAl (بخش ۱-۳-۴ را بینید) انتظار می‌رود که ایجاد و حرکت نابهجهای مشکل باشد، یعنی استحکام بالا و شکل پذیری کم مورد انتظار هستند. در یک مفهوم اساسی‌تر، انتظار می‌رود که استحکام بالا و شکل پذیری کم به خاطر استحکام و ماهیت پیوند اتمی ایجاد شود. البته به نظر می‌رسد که برای NiAl هیچ همبستگی ساده‌ای بین میزان یونی شدگی یا جهتی بودن پیوند و رفتار مکانیکی وجود ندارد و کار بسیار بیشتری لازم است^(۲).

در نتیجه‌ی سیستم‌های لغزش موجود، استحکام و شکل پذیری با جهت سخت $<100>$ و جهت‌های نرم $<111>$ و $<110>$ بسیار ناهمسانگرد هستند^(۳). با جهت سخت، علی‌رغم نشانه‌هایی از تغییرشکل موم‌سان موضعی^(۴) عملیاً هیچ گونه شکل پذیری در پایین‌تر از دمای تبدیل از تردی به شکل پذیری (که بسته به آهنگ تغییر شکل تقریباً 350°C معادل با $T_m = 0/33T_m = \text{دمای ذوب}$ است) از خود نشان نمی‌دهد، در حالی که NiAl با جهت استقرار نرم تا $2/5$ درصد شکل پذیری را در پایین‌تر از دمای تبدیل تردی به شکل پذیری (تقریباً 200°C ، معادل $0/25T_m = 0$) از خود نشان می‌دهد^(۵). گمان می‌رود که شکل پذیری کم NiAl در دماهای پایین از تحرک کم نابهجهای‌ها به دلیل هسته‌های نابهجهای توسعه یافته، نتیجه می‌شود^(۶). یک تحقیق جدید، اهمیت چگالی کافی نابهجهای‌های متحرک را نشان داده است، زیرا چقرومگی شکست افزایش یافته از طریق پرهیز از هر گونه عملیات تابکاری، به دست آمده است^(۷). در دمای تبدیل، شکل پذیری به صورت نسبتاً تندی با افزایش دمای ناشی از فعال‌سازی حرارتی افزایش می‌یابد که البته هنوز به طور کامل درک نشده است^(۸).

چقرومگی شکست همانند شکل پذیری و استحکام تابع حساسی از جهت استقرار و دما است و اخیراً این مسئله به طور مفصل بررسی گردیده است^(۹). چقرومگی شکست NiAl مشابه شکل پذیری در دماهای کم‌تر، پایین است. البته، حتی در جهت نرم $<110>$ کم‌تر از جهت سخت $<100>$ می‌باشد که

1- Takasugi et al., 1993b, c

2- Schultz and Davenport 1992

3- Darolia et al., 1992b; Glatzel et al., 1993b; Takasugi et al., 1993a

4- Vehoff, 1992

5- Lahrman et al., 1991

6- Farkas et al., 1991; Mills et al., 1993; Kitano and Pllock, 1993

7- Hack et al., 1992

8- Darolia et al., 1992b

9- Reuss and Vehoff, 1990, 1992; Vehoff, 1992; K.M.Chang et al., 1991, 1992; Darolia et al., 1993

نتیجه‌ای از رخ برگی ترجیحی بر روی صفحات {۱۱۰} محسوب می‌گردد. البته، جزئیات فرایندهای شکست پیچیده‌ترند و طبق مشاهدات اخیر، هنوز به طور کامل در کش نشده‌اند^(۱). چقرمگی شکست، مستقل از جهت استقرار بلور تا بالاتر از ۲۰۰°C، به طور قابل ملاحظه‌ای افزایش می‌یابد که در تعارض با دمای تبدیل از رفتار ترد به شکل پذیر آن است. حوزه‌های تغییر شکل و تنش نوک ترک در تک بلورهای NiAl مفصلاً تحلیل شده‌اند^(۲).

NiAl چندبلوره معمولاً ترد و عملماً ماده‌ای بدون شکل پذیری تلقی می‌شود^(۳). پیشرفت ترک به صورت مرحله‌ای رخ می‌دهد و مقاومت به شکست به آهنگ بارگذاری حساس نیست^(۴). تنها با خلوص بالای NiAl به دقت فراوری شده با ترکیب استویکیومتری دقیق می‌توان افزایش طول ۲/۵ درصد در کشش را در دمای اتاق به دست آورد، در صورتی که NiAl غیراستویکیومتری که به طور مشابه فراوری شده است، ترد می‌باشد^(۵). عیوب ساختاری در NiAl غیراستویکیومتری به طور آشکار شکل پذیری را کاهش می‌دهند. در هر صورت، دمای تبدیل تردی به شکل پذیری رامی توان از طریق کاهش اندازه‌ی دانه به طور قابل ملاحظه‌ای کم کرد^(۶). حد کاهش اندازه‌ی دانه، NiAl ناتوبلوری است که به طور موقت آمیزی با اندازه‌ی دانه تقریباً ۱۰ nm تهیه می‌شود^(۷). رفتار بلور مجدد NiAl توسط هاف و چیلسون^(۸) (۱۹۸۲) مطالعه شده است. جدا از تأثیر اندازه‌ی دانه، تردی رامی توان از طریق وارد کردن منابع نابه‌جایی اضافی کاهش داد. این تأثیر در مورد NiAl با لایه‌های اکسید روی سطح یا ذرات درون آلیاژ (مکان‌هایی که نابه‌جایی‌ها از مرزهای فاز مربوطه منتشر می‌شوند) دیده شده است^(۹). مانند سایر موارد، چقرمگی و نرمی بالاتر با اعمال پیش از حد فشار هیدرواستاتیک مشاهده می‌شود^(۱۰). بکی از دلایل تردی NiAl چندبلوره، تعداد ناکافی سیستم‌های لغزش آن است زیرا تنها سیستم لغزش مستقل با بردار لغزش <۱۰۰> وجود دارد، در صورتی که بنابر معیار فن-میزس، پنج سیستم لغزش

1- Schneibel et al., 1993a

2- Saeedvafa and Rice, 1992

3- Barker and Munroe, 1990; Reuss and Vehoff, 1992

4- Schneibel et al., 1993b

5- Hahn and Vedula, 1989; Baker et al., 1991

6- Schulson, 1985; Nagpal and Baker, 1990b; Chan, 1990; Cheng, 1992

7- Hanbold et al., 1992

8 - Haff & Schulson

9- Prakash and Pool, 1981; J. T. Kim et al., 1991; Gibala et al., 1993

10- Margevicius et al., 1993a, b; Pawelski et al., 1994

مستقل برای تغییرشکل همگن کلی ضروری است^(۱). علاوه بر $<100>$ سایر بردارهای لغزش یعنی $<110>$ و $<111>$ تحت شرایط خاص مشاهده شده‌اند^(۲). نابه‌جایی $<111>$ که معادل با جهت لغزش رایج در آلیاژهای bcc است، یک نابه‌جایی ابرشبکه در ساختار B2 می‌باشد که دو نابه‌جایی ابرجزیبی با مرز ضدفاز در میان آن‌ها را در بر می‌گیرد. انواع مختلف نابه‌جایی (خصوصاً هسته‌های نابه‌جایی) اخیراً به طور مفصل از طریق مشاهدات مستقیم و شیوه‌سازی‌های رایانه‌ای مطالعه شده‌اند و نتایج تحرک نابه‌جایی‌ها مورد بحث قرار گرفته است^(۳). با این سیستم‌های لغزش اضافی می‌توان شرایط معیار فن-میزس را براورد کرده و شکل پذیری بیشتر را انتظار داشت.

تجربه نشان داده است که آلیاژ کردن NiAl با Cr که موجب کاهش انرژی مرز ضد فاز می‌گردد، در حقیقت احتمالاً تمايل به لغزش $<111>$ را افزایش می‌دهد^(۴) و پدیده‌ی استحکام بخشی شدید محلول جامد را ایجاد می‌کند^(۵)، اگر چه شرایط و سازوکارهای آن هنوز مورد بحث هستند^(۶). شکل پذیری بهبود یافته برای NiAl-Cr تنها در شرایط فشاری یافت شده است^(۷)، در حالی که در عمل شکل پذیری کششی کاهش پیدا کرد و دمای تبدیل تردی به نرمی افزایش یافته است^(۸). روشن است که معیار فن میزس معیاری کافی نبوده و ماده به صورت ترد می‌شکند، زیرا استحکام شکست آن کمتر از استحکام تسلیم است. عناصر دیگری که برای ترغیب لغزش $<111>$ گزارش شده‌اند عبارتند از: Mn، V و Ti^(۹)، Zr و Fe^(۱۰). با جایگزینی Fe به جای Ni انتقال پیوسته‌ای در لغزش $<100>$ به لغزش $<111>$ به وجود می‌آید^(۱۱). محاسبات ابتدایی مکانیک کوانتموی نشان داده است که در حقیقت انرژی مرز ضد فاز از طریق افزودن Mn، Cr یا V به NiAl می‌باشد^(۱۲).

دلیل دیگر تردی NiAl چند بلوره احتمالاً ضعف مرزدانه باشد. معلوم شده است که آلیاژ کردن

1- Von Mises, 1928; Baker and Munroe, 1990; Darolia et al., 1992b

2- Field et al., 1991a; Kim and Gibala, 1991; Miracle, 1991; Veysiere and Noebe, 1992; Dellar et al., 1992

3- Mills and Miracle, 1993; Parthasarathy et al., 1993; Mei and Cooper, 1993

4- Field et al., 1991b

5- Cotton et al., 1993a

6- Cotton et al., 1993a, c

7- Kowalski and Frommeyer, 1992

8- Field et al., 1991b; Cotton et al., 1993a

9- George et al., 1991a; Field et al., 1991b

10- Patrick et al., 1991

11- Hong and Freeman, 1989

با مقدار کم B که در مورد $\text{Al}_x\text{Ni}_{1-x}$ سودمند است و در Al-NiAl در مرز جداش می‌باید، حالت شکست را ازین دانه‌ای به درون دانه‌ای تغییر می‌دهد^(۱). البته، شکل پذیری و چقمرمگی شکست بهبود نمی‌بایند و مقدار بیشتر B حتی شکل پذیری را کاهش می‌دهد که احتمالاً به افزایش در تنفس تسليم تا سطحی بالاتر از استحکام شکست و رسوب بورایدها مربوط می‌شود^(۲). اثر تقویت‌کنندگی افزایش B در Al-NiAl پُر نیکل دور از استویکیومتری مشاهده شده است و از تغییر در قابلیت حل شدن B ناشی می‌شود^(۳). کربن و بریلیم در مرز دانه‌ها جداش نمی‌بایند و حالت شکست را تغییر نمی‌دهند. با این وجود، شکل پذیری Al-NiAl را کمی افزایش می‌دهد که دلایل این رفتار روش نیست.

مشخص شده است که آلیاژ کردن با مثلاً Fe ، شکل پذیری Al-NiAl را بهبود می‌دهد^(۴). در حقیقت افزایش زیاد در شکل پذیری کششی در دمای اتفاق برای NiAl تک بلوره با جهت‌گیری نرم از طریق آلیاژ کردن با مقادیر کم عناصر (یعنی حدوداً ۱٪ درصد) Mo و Ga یا Fe کسب شده است^(۵). افزودن ۱٪ درصد اتمی Fe ، ۶٪ درصد نرمی (در مقابل ۱٪ درصد شکل پذیری برای ماده‌ی بدون Fe) تولید می‌کند، درحالی که ۰.۵٪ درصد و بیشتر Fe تنها ۲٪ درصد شکل پذیری ایجاد می‌کند. دلایل فیزیکی برای این پدیده‌ی نرم‌کنندگی هنوز روش نشده‌اند^(۶).

۴-۳-۴- خروش

تغییر شکل در دمای بالا برای مواد فلزی و سایر مواد از طریق سازوکارهای تغییر شکل مختلف بسته به دما و آهنگ تغییر شکل (همان‌گونه که به اصطلاح نقشه‌های تغییر شکل برای مواد مربوطه نشان می‌دهد) کنترل می‌شود^(۷). مقایسه‌ی چنین نقشه‌هایی در مورد مواد مختلف با ساختارهای بلوری متفاوت و انواع پیوند اتمی نشان می‌دهد که رفتار تغییر شکل در دمای‌های بالاتر از یک سوم دمای ذوب به وسیله‌ی فرایندهای خوش کنترل می‌شوند. این کنترل نه تنها در آهنگ‌های کم تغییر شکل (-10°C و کمتر) که در حین آزمایش‌های معمولی خوش استفاده می‌شوند، بلکه در آهنگ‌های بالاتر (مثلثاً

1- George et al., 1991a; Xie et al., 1993

2- Wu and Sass, 1993a, b; Jayaram and Miller, 1993; Schneibel et al., 1993b

3- Tan et al., 1993

4- Baker and Munroe, 1990

5- Darolia et al., 1992a

6- Noebe and Behbehani, 1992

7- Frost and Ashby, 1982

^{۱۰-۳۵}) هم که در حین آزمون‌های کوتاه مدت برای برآوردهای تنش سیلان به کار می‌روند، روی می‌دهند و این احتمالاً می‌تواند ویژه‌ی فازهای بین‌فلزی باشد^(۱). از این‌رو هرگونه بحث راجع به رفتار تغییرشکل در دمای بالا به سازوکارهای خزشی باکتریل استحکام معطوف می‌شود.

رفتار خزشی Al-NiAl در گذشته به صورت مفصل بحث و بررسی شده است^(۲). به علاوه، رفتار خزشی NiAl و آلیاژهای با پایه‌ی NiAl به صورت روشنمند بررسی شده و یافته‌ها موضوع گزارش‌های مختصر مختلف بوده‌اند^(۳). مطالعات بیش‌تر راجع به خزش بر روی تک بلورهای Al-NiAl صورت گرفته است^(۴). در بخش‌های بعدی مشخصه‌های اصلی رفتار خزشی NiAl بررسی می‌شوند؛ اثرات ساختار و تغییرات ترکیب مطرح می‌شوند؛ هم مواد تک فازی و هم آلیاژهایی که فازهای بین‌فلزی دیگری به غیر از B2 را شامل می‌شوند، بررسی می‌گردند. رفتار خزشی NiAl در این‌جا با تفصیل بیش‌تر مورد بحث قرار می‌گیرد، زیرا فهم حاصل از سازوکارهای کنترل سرعت برای سایر ترکیب‌های بین‌فلزی هم معتبر است و بنابراین NiAl می‌تواند به عنوان مثال مشخصه‌ای برای سیستم‌های آلیاژی بین‌فلزی به خدمت گرفته شود.

مقاومت به خزش آلیاژهای تک فاز B2

رفتار خزشی فاز سه‌تایی Al-(Ni, Fe)Al با ساختار B2 به صورت تابعی از دما، تنش، ترکیب و اندازه‌ی دانه، به طور مفصل مطالعه شده است^(۵). در دمای‌های بالا (مثلاً حدود ۶۰ درصد دمای ذوب و یا بیش‌تر) خزش ثانویه در آهنگ بین حدود -15°C و -10°C رفتار قانون نمایی از خود نشان می‌دهد، یعنی آهنگ‌های خزش ثانویه مشاهده شده از طریق معادله‌ی آشنای دُرن برای خزش نابه‌جایی توصیف می‌شوند (معادله‌ی ۲)^(۶).

خزش نابه‌جایی در آلیاژهای نامنظم معمولی از طریق نابه‌جایی صعودکننده و شرخورنده تولید می‌شود. اگر صعود، مرحله‌ی آهسته‌تر باشد (همان‌گونه که در فلزات خالص هست)، آهنگ خزش از

1- Sauthoff, 1990b

2- Stoloff and Davies, 1966; Vandervoort et al., 1966; Strutt and Dodd, 1970; Strutt and Kear, 1985; yaney and Nix, 1988

3- Jung et al., 1987; Sauthoff, 1990b, 1991a, b, 1992

4- Forbes et al., 1993; Glatzel et al., 1993b; Forbes and Nix, 1993

5- Rudy and Sauthoff, 1985; Rudy, 1986; Jung et al., 1987

6- Mukherjee et al., 1969

طریق صعود نابه جایی کترل می شود که سبب به وجود آمدن ساختار ریزدانه ای کاملاً مشخصی می گردد و نمای تنش ۴ یا ۵ است. این حالت مشخصه ای از آلیاژ های نوع II است. در غیر این صورت، سرخوردن گران روی نابه جایی کترل کننده سرعت است که به در هم پیچیدن نابه جایی ها بدون تشکیل دانه فرعی و نمای تنش ۳ همراه با مشخصه های رفتاری آلیاژ های نوع I می انجامد^(۱).

رفtar خوش ثانویه ای Al(Ni, Fe)Al مشخصه های نامتعارف از خود نشان می دهد. در فازهای پر Ni و در آلیاژ دوتایی FeAl بعد از خوش ساختار کاملاً مشخصی به دست می آید. اندازه دانه فرعی حدوداً $10\mu\text{m}$ است و چگالی نابه جایی در درون دانه های فرعی در حدود 10^{-2} m^{-11} می باشد. در تأیید این مطلب، نماهای تنش بین ۴ و ۵/۴، برای فازهای پر Ni به دست آمده است. به عبارت دیگر، این فازها شبیه آلیاژ های نوع II با صعود نابه جایی که کترل کننده خوش است رفتار می کنند.

البته در فازهای پر Fe و در FeAl هیچ گونه تشکیل دانه فرعی، حتی پس از زمان های خوش طولانی مشاهده نشده است. چگالی نابه جایی، بالا و تقریباً در حدود 10^{-2} m^{-11} باقی می ماند و نمای تنش بین ۳ و ۶/۳ تغییر می کند. این حالت، رفتار نوع I را نشان می دهد. به عبارت دیگر در اینجا خوش به وسیله لغزش گران روی نابه جایی ها کترل می شود. در هر دو حالت تنها نابه جایی های تجزیه نشده $>100\text{ }\mu\text{m}$ مشاهده شده اند. واضح است که نیروی محرك و قابلیت تحرک اتم ها که برای تشکیل دانه های فرعی ضروری هستند، فقط در فازهای پر Ni به اندازه کافی می باشند. انرژی های خطی، کشنش های خطی و مشتقات نابه جایی ها به طور نظری برای NiAl محاسبه شده اند و توافق خوبی با آرایش های مشاهده شده نابه جایی ها پس از خوش به دست آمده است^(۲).

این یافته ها نشان می دهد که خوش نابه جایی در این قبیل آلیاژ های بین فلزی و آلیاژ های نامرتب رایج پایه ای Ni یا پایه ای Fe با سازوکارهای متشابه کترل می شود. حتی چگالی های نابه جایی مشاهده شده، مشابه آلیاژ های نامنظم معمول است^(۳). این شباهت تزدیک شکفت آور است زیرا فرایندهای مقدماتی نفوذ اتمی، انواع و تعداد سیستم های لغزش نابه جایی به خاطر تفاوت در تقارن های بلوری، کاملاً با هم فرق می کند.

علاوه بر خوش نابه جایی، سرخوردن مرزدانه در Al(Ni, Fe)Al مشاهده شده است. البته این فرایند، سازوکار تغییر شکل مستقل نیست زیرا حرکت های دانه ای حاصل از این تغییر شکل به

1- Sherby and Burke, 1967; Nix and Ilsschner, 1979

2- Glatzel et al., 1993a

3- Rudy, 1986; Sauthoff, 1991a

تمرکزهای تنش در تقاطع مرز دانه منجر می‌شود و باید با فرایندهای تغییرشکل در دانه یعنی از طریق خرز نابه جایی دانه‌ها در گستره‌ی دما-تنش مربوطه اصلاح شود. برای چنین فرایندهای جفت شده‌ی تغییر شکل، آهنگ کلی خرز با فرایند آهسته ترکتrol می‌شود. در مورد اندازه دانه‌های نه چندان کوچک، فرایند کنتrol کننده، خرز نابه جایی است. همان‌گونه که برای آلیاژهای نامنظم کاملاً شناخته شده است، با کاهش اندازه دانه، سهم سرخوردن مرز دانه افزایش می‌یابد که در نتیجه‌ی آن کاهش مقاومت کلی خرزشی است^(۱). این مسئله برای Al(Ni, Fe) نیز مشاهده شده است^(۲). سرخوردن مرز دانه در خرز در NiAl دو تایی اخیراً به طور مفصل تر بررسی شده است^(۳).

در تنش‌های کم‌تر که آهنگ‌های خرز ثانویه‌ی پایین‌تر از 10^{-5} ایجاد می‌شود، نسبت آهنگ تنش-کرنش مشاهده شده از رفتار قانون‌نمایی منحرف می‌شود، یعنی نمای تنش ظاهری کوچک‌تر از ۳ می‌گردد و با کاهش تنش، پایین‌تر می‌آید. این انحراف، سهم خرز نفوذی را نشان می‌دهد که تابعی خطی از تنش است:

$$\frac{\Omega D}{k T d^2} \sigma = A_{\text{نفوذ}} \cdot \varepsilon^{\bullet} \quad (3)$$

که در اینجا $A_{\text{نفوذ}}$ ضریب بی‌بعد (معمولًا $A_{\text{نفوذ}} = 14$)، حجم اتمی، D ثابت نفوذ مؤثر که هم نفوذ در داخل دانه (خرز نابارو-هرینگ^(۴)) و هم در طول مرز دانه‌ها (خرز کوبیل^(۵)) رالاحظ می‌کند و d طول نفوذ مؤثر است که معمولاً از طریق اندازه‌ی دانه تخمین زده می‌شود^(۶). خرز نابه جایی و خرز نفوذی، فرایندهای خرزشی مستقلی هستند که به طور موازی در دانه‌ها عمل می‌کنند و آهنگ خرز کل از جمع آهنگ‌های جزیی به دست می‌آید. به خاطر وابستگی شدیدتر خرز نابه جایی به تنش (معادله‌ی ۲)، سهم خرز نفوذی با کاهش تنش، غالب‌تر می‌شود.

با توجه به رفتار خرزشی مشاهده شده در Al(Ni, Fe) و سایر فازها^(۷) چنین استنبط می‌شود که

1- Frost and Ashby, 1982

2- Rudy, 1986; Sauthoff, 1990b

3- Raj and Farmer, 1993

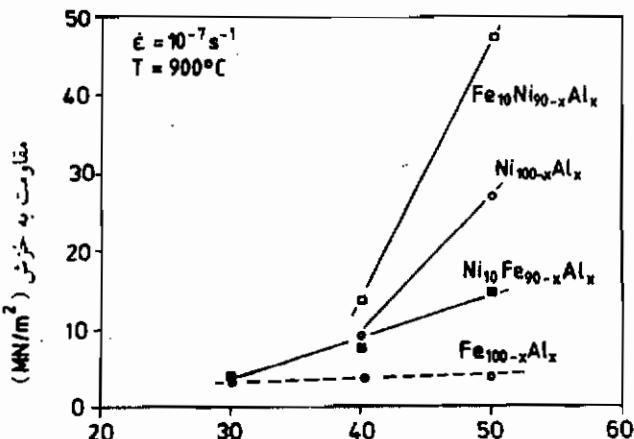
4 - Nabarro - Herring

5 - Coble

6- Frost and Ashby, 1982

7- Polvani et al., 1976; Nicholls and Rawlings, 1977; Ashby et al., 1978; Hirsch, 1985; Schneibel et al., 1986; Kampe et al., 1991; Hayes, 1991; Hayashi et al., 1991a; Miura et al., 1991; Rowe et al., 1991; Takahashi and Oikawa, 1991; Nathal, 1992; Nabarro and de Villiers-Filmer, 1993

خرش فازهای بین فلزی به وسیلهٔ سازوکارهای خرزش یکسان کنترل و از طریق معادله‌های ساختمندی یکسان با معادله‌های آشنای خرزش آلیاژهای نامنظم توصیف می‌شود، اگرچه ساختارهای بلوری ترکیب‌های بین فلزی تقارن بسیار کم‌تری نسبت به ساختارهای ساده‌ی آلیاژهای منظم دارند. تقارن بلوری کم‌تر به تعداد کاهش یافته‌ی سیستم‌های لغزشی و انواع خاص نابه‌جایی و انرژی‌های بالاتر نابه‌جایی از جمله نابه‌جایی‌های آبرشبکه‌ی ویژه می‌انجامد. البته، خرزش نابه‌جایی از طریق حرکت‌های ناپایستار نابه‌جایی کنترل می‌شود، یعنی حرکت‌های نابه‌جایی با جریان‌های نفوذ موضعی جفت می‌شوند که دومی کنترل کننده‌ی سرعت است. بنابراین سازوکارهای خاص، جزء موارد مهم و اصلی برای آهنگ کلی خرزش ماکروسکوپی که رفتار مشابه آلیاژهای بین فلزی و فلزی را توضیع می‌دهد، نمی‌باشد.



شکل ۲۳- مقاومت خرزشی آلومیناید های دوتایی و سه تایی در ۹۰۰°C (در فشار باریخ کرنش $\dot{\epsilon} = 10^{-7} \text{ s}^{-1}$) به صورت تابعی از

درصد Al

.(Rudy, 1986; Rudy and Sauthoff, 1986)

شکل ۲۴ اثر تغییرات ترکیب یعنی اثر انحرافات از استویکیومتری و تغییرات در نسبت Ni:Fe بر روی مقاومت خرزشی Al(Ni, Fe) را نشان می‌دهد. می‌توان دید که مقاومت خرزشی با کاهش مقدار Al یعنی انحراف روبه افزایش از استویکیومتری، کم می‌شود. همان‌گونه که پیشتر در بخش قبلی اشاره شد، انحرافات از استویکیومتری بی‌نظمی ساختاری یعنی عیوب نقطه‌ای را که ثابت نفوذ و در نتیجه آهنگ خرزش را افزایش می‌دهند، وارد می‌کند. البته در دماهای کم‌تر، این عیوب نقطه‌ای غیر متحرک می‌شوند

و به صورت موانعی برای حرکت نابهجهای‌ها عمل می‌کنند؛ به عبارت دیگر، استحکام در دمای کم را افزایش می‌دهند. در دماهای میانه، دو اثر هم دیگر را متعادل می‌کنند و همان‌طور که برای NiAl به دست آمد، انحراف از استوکیومتری بر مقاومت خزشی تأثیری نمی‌گذارد^(۱). در شکل ۲۳ فازهای پُر Ni اثر استوکیومتری شدیدی باکاهش درصد Al از خود نشان می‌دهند، در صورتی که این اثر برای فازهای پُر Fe به مقدار قابل ملاحظه‌ای کوچک‌تر است؛ به عبارت دیگر، دمای آزمون 900°C منجر به رفتار در دمای بالاتوسط فازهای پُر Ni و رفتار در دمای میانه توسط فازهای پُر Fe می‌شود. این رفتار شگفت‌آور است زیرا معمولاً گمان می‌رود که چنین پدیده‌های فعال شده‌ی حرارتی با مقیاس دمای ذوب سنجیده می‌شوند که این دما برای NiAl بالاتر از FeAl است. دلایل رفتار مشاهده شده از $(\text{Ni}, \text{Fe})\text{Al}$ در دماهای میانه هنوز روشن نشده‌اند.

شکل ۲۳، جدا از تأثیر انحرافات از استوکیومتری، وابستگی مشخص مقاومت خزشی به نسبت Ni : Fe در فازهای سه‌تایی $(\text{Ni}, \text{Fe})\text{Al}$ با ساختار B2 را نشان می‌دهد. در مورد $\text{Al}(\text{Ni}, \text{Fe})$ می‌توان نشان داد که این وابستگی به ترکیب، از وابستگی به ترکیب ثابت نفوذ نشأت می‌گیرد و می‌توان آن را از طریق داده‌های مورد استفاده از مطالعات چنگ و دایاناندا^(۲) (۱۹۷۹) و مویر و دایاناندا^(۳) (۱۹۷۶) تعیین کرد^(۴). حداکثر مقاومت خزشی $(\text{Ni}, \text{Fe})\text{Al}$ مستقیماً به حداقل ثابت نفوذ نسبت داده می‌شود. باید توجه کرد که تحلیل داده‌های خزش با توجه به ثابت‌های نفوذ مشکلاتی را به دنبال دارد زیرا جدا از کمبود داده‌ها، ثابت‌های نفوذ در معادله‌های ۲ و ۳، از جمله عوامل موثر وابسته به فرایند خاص خزش هستند که این فرایند جفت‌شدگی جریان‌های نفوذی جزیی را تعیین می‌کند. به عبارت دیگر ثابت‌های نفوذ مؤثر مورد نیاز آن‌هایی نیستند که در آزمایش‌های نفوذ اندازه‌گیری می‌شوند. برای محلول‌های دوتایی، تعریف‌هایی در مورد ثابت‌های نفوذ مؤثر برای سازوکارهای خزش مختلف در دسترس هستند^(۵)، در صورتی که برای فازهای چندتایی تعریف ثابت نفوذ مؤثر فقط برای حالت خزش از نوع نفوذی شناخته می‌شود^(۶). کار نظری و آزمایشگاهی بیشتر در این قسمت ضروری است.

شکل ۲۴ همبستگی بین مقاومت خزشی فازهای B2 سه‌تایی و دوتایی و ثابت‌های نفوذ مربوطه

1- Vandervoort et al., 1966

2 - Cheng & Diananda

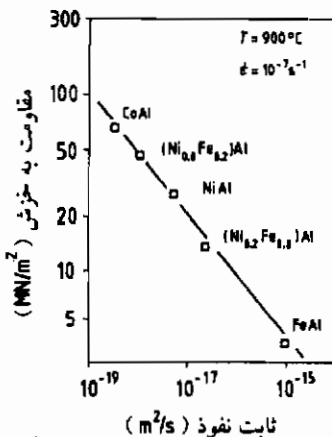
3 - Moyer & Diananda

4- Rudy, 1986; Rudy and Sauthoff, 1986

5- Chin et al., 1977; Fuentes-Sainaniego and Nix, 1981; Dominguez-Rodriguez and Castaing, 1993

6- Herring, 1950

- را بر اساس داده های مکتوب یا تخمین زده شده بر مبنای این داده ها، نشان می دهد^(۱). مشاهده می شود که این همبستگی به طور شگفت آوری خوب است و علی رغم مشکلات تعیین دقیق ثابت های نفوذ مؤثر، به خوبی با معادله (۲) مطابقت می کند.



شکل ۲۴- مقاومت خزشی آلومیناید های B₂ استوکبومتری دوتایی و سه تایی در دمای ۹۰۰°C (در فشار بآهنگ کرنش 10^{-7} s⁻¹)
به عنوان تابعی از ثابت نفوذ که از نوشه ها به دست آمده یا از داده های موجود برآورده است)

(Rudy, 1986; Jung et al., 1987; Sauthoff, 1991a; Shankar and Selgle, 1978; Akuezue and Whittle, 1983;
Cheng and Dayananda, 1979; Moyer and Dayananda, 1976)

حال این سؤال مطرح است که چرا ثابت نفوذ به این صورت به ترکیب فازهای B₂ وابسته است. مانند دیگر ویژگی ها، ثابت نفوذ به خواص بلور بستگی دارد. به عبارت دیگر به استحکام و خصوصیت پیوند اتمی وابسته است و در حقیقت انرژی فعال سازی نفوذ با افزایش انتالپی کل تشکیل فاز زیاد می شود (شکل ۷). سؤال این است که آیا چنین همبستگی ای را می توان برای دسته ای از فازهای کاملاً مشابه برقرار کرد به طوری که بتواند برای پیش بینی اثرات افزودنی های آلیاژ ساز بر روی ثابت های نفوذ استفاده شود. برای جواب دادن به این سؤال باید همبستگی ثابت های نفوذ با ماهیت و استحکام پیوند اتمی به طور مفصل بررسی شود. مجدداً در اینجا کار نظری و تجربی بسیار بیشتری ضروری است. با توجه به وابستگی به ترکیب مطرح شده در مورد مقاومت خزشی، نتیجه می شود که ثابت نفوذ

۱- Rudy, 1986; Rudy and Sauthoff, 1986; Sauthoff, 1991a

مؤثر از عوامل مهم و اصلی برای کنترل مقاومت خزشی است^(۱). البته این بدان معنی نیست که سایر متغیرها در معادله‌ی ۲ قابل چشم‌پوشی هستند. این مسأله همان‌طور که قبل‌اً طرح شد، از طریق وابستگی دمایی خزش Al(Ni, Fe) با ساختار ۲ به اثبات می‌رسد^(۲). با توجه به معادله‌های ۲ و ۳ انتظار می‌رود که انرژی فعال‌سازی ظاهری لازم برای خزش، معادل با انرژی نفوذ باشد زیرا سایر متغیرها کم تر به دما حساسند. در حقیقت این مطلب بارها در مورد آلیاژهای نامنظم معمول تأیید شده است. البته در مورد Al(Ni, Fe)^(۳)، انرژی فعال‌سازی ظاهری لازم برای خزش صرفاً معادل با انرژی نفوذ در دماهای بالا $T_{\text{c}} = 900^{\circ}\text{C}$ است در حالی که در دماهای بالاتر، انرژی فعال‌سازی ظاهری خزش بسیار بیش‌تر است. انرژی‌های فعال‌سازی برای خزش بالاتر از مقادیر لازم برای نفوذ در موارد دیگر هم گزارش شده است^(۴). این بدان معنی است که برخلاف آلیاژهای نامنظم معمول، متغیر وابسته به ریزساختار (A) در معادله‌ی ۲ نیز احتمالاً وابستگی دمایی شدیدی از خود نشان دهد زیرا هنوز ضریب برشی (G) صرفاً به صورت ضعیفی به دما وابسته است^(۴).

متغیر با اهمیت بعدی ماده برای خزش، ضریب برشی در معادله‌ی ۲ است. ضریب‌های کش‌سانی را می‌توان با محاسبات ابتدایی مکانیک کوانتموی محاسبه نمود^(۵) و بنابراین درک فیزیکی از ارتباط بین ماهیت استحکام پیوند، و رفتارکش‌سانی وجود دارد. البته داده‌های نظری و یا تجربی کم‌باب هستند و شناخت اندکی از اثرات تغییرات در ترکیب و ساختار بر روی ضریب‌های کش‌سانی موجود است. شکل ۶ برخی از داده‌های مربوط به ضریب کش‌سانی را نشان می‌دهد و به عنوان مثال بعضی از فازهای B₂ را با رابرخی فازهای لاوهی C₁₅ که در بخش ۸ مورد بحث قرار می‌گیرند، مقایسه می‌کند. به وضوح دیده می‌شود که همبستگی بین ضریب یانگ و انتالپی کل تنها برای فازهای لاوه وجود دارد. این همبستگی برای فازهای B₂ کم‌تر مشهود است که احتمالاً از خطاهای آزمایشگاهی و پیچیدگی‌های رفتارکش‌سانی فازهای B₂ ناشی می‌شود. مجدداً سؤال این است که آیا این گونه همبستگی را می‌توان (حداقل برای دسته‌ای از فازهای کاملاً مشابه) برقرار کرد و آیا سپس این همبستگی‌ها را می‌توان برای پیش‌بینی اثرات افزودنی‌های آلیاژ‌ساز بر رفتارکش‌سانی به کار گرفت.

به طور خلاصه، چنین استنباط می‌شود که رفتار خزشی فازهای بین فلزی را می‌توان مانند

1- Sauthoff, 1993b

2- Sauthoff, 1991a

3- Vandervoort et al., 1966; Stoloff, 1984; Whittenberger, 1986

4- Harmouche and Wolfenden, 1987

5- Fu and Yoo, 1992a

آلیاژهای نامنظم معمول که به وسیله‌ی معادلات ساختمندی پدیده‌شناسی به دست می‌آید، تشریح کرد. در حقیقت نقشه‌های تغییرشکل به صورت تابعی از داده‌های موجود محاسبه شده‌اند^(۱). البته سازوکارهای فیزیکی که رفتار خزش راکتربل می‌کنند، فقط به طور جزئی درک شده‌اند و کار بسیار بیش تری لازم است.

برای استفاده به صورت مواد سازه‌ای در دماهای بالا، مقاومت خزشی فازهای منتخب باید تا حد ممکن برای افزایش هر چه بیش تر دمای کاری، بالا باشد. با توجه به معادله‌های ۲ و ۳ متغیرهای تعیین کننده‌ی مواد برای افزایش مقاومت خزشی عبارتند از: ثابت نفوذ (D) و ضریب برشی (G). هر دو متغیر از طریق انرژی پیوند اتمی که به انتالپی ماکروسکوپی تشکیل فاز مربوط می‌شود، تعیین می‌گردد^(۲). ضریب برشی به دمای ذوب مربوط می‌شود و قطعاً همبستگی بین متغیرهای D و G و دمای ذوب وجود دارد^(۳)، این بدان معنی است که اصولاً آلیاژهای با دمای ذوب بالا باید برای کسب استحکام در دمای بالاتر استفاده شوند. البته برای این قانون نمی‌توان اعتبار مطلق انتظار داشت زیرا همبستگی‌های اشاره شده پیچیده بوده و به متغیرهای متعددی وابسته هستند. فازهای Al_xCoAl, NiAl_x همونهایی هستند که ساختار بلوری یکسان و دمای ذوب تقریباً مشابه دارند، اما مقاومت خزشی آن‌ها متفاوت است (شکل ۲۴).

نفوذ به طور حساسی به ساختار بلوری وابسته است^(۴) و براساس تجربه‌گمان می‌رود که ثابت‌های نفوذ کم تر و در نتیجه مقاومت خزشی بالاتر را می‌توان با کاهش نظم بلوری به دست آورد. نظم اتمی در شبکه‌ی B2 به ساختار L2 با چهار زیر شبکه منجر می‌شود که نمونه‌ای از فازهای نوع هیوسler Co_xTiAl, Ni_xTiAl است. در حقیقت بنابر داده‌های ساوت佛 (SAUTER, ۱۹۸۹) Co_xTiAl تنش سیلان بسیار بالاتری نسبت به Al_xFe_{1-x} (Co_xFe_{1-x}) نشان می‌دهد و Ni_xTiAl مقاومت خزشی بیش تری نسبت به NiAl دارد^(۵). علاوه بر تقارن بلوری، تراکم اتمی هم باید مورد توجه قرار بگیرد. به خوبی معلوم شده است که مثلاً ثابت خود نفوذ Fe در شبکه‌ی مترکم fcc، دو مرتبه اعشار کم تر از ساختار بازتر bcc است^(۶). ساختار B2 از نظم دهنده شبکه bcc ناشی می‌شود، در حالی که نظم دهنده شبکه fcc به مثلاً ساختار

1- Jung et al., 1987

2- Engell et al., 1991

3- Frost and Ashby, 1982

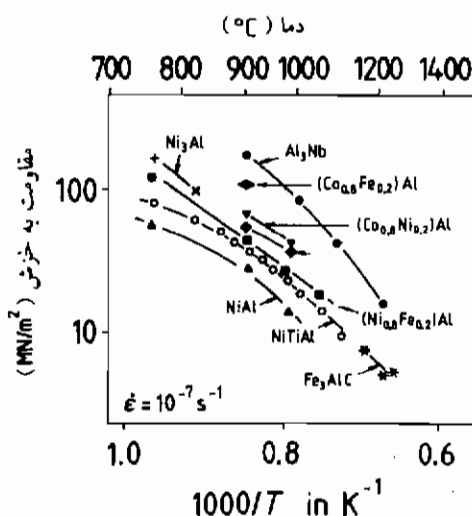
4- Wever et al., 1989

5- Strutt and Polvani, 1973

6- Fridberg et al., 1969

در L_1' یا باکربن به ساختار L_1' در Fe_3AlC می‌انجامد^(۱) و به علاوه، نظم دهی در شبکه L_1 به ساختار D_{0}^{0} در Al_xNb منجر می‌شود (شکل ۱).

داده‌های مربوط به خرشهای همه‌ی این فازها در شکل ۲۵ آمده است و مشاهده می‌شود که در حقیقت تفاوت‌ها در ساختار بلوری از لحاظ تقارن و تراکم اتمی منجر به اختلاف‌های قابل توجه و مشابهی در مقاومت خرشی می‌گردند. البته می‌توان دید که اثر تغییر در مقاومت خرشی در اثر تغییر دادن اشغال زیر شبکه در ساختار B_2 ، به بزرگی اثر تغییر مقاومت خرشی به خاطر تغییر ساختار شبکه است. به عبارت دیگر هر دو پدیده برای افزایش استحکام در دمای بالا باید مورد موردنظر قرار بگیرند.



شکل ۲۵-وابستگی دمایی مقاومت خرشی در فشار آهنگ کرنش ثانویه $\sigma = 10^{-7} s^{-1}$ برای آلیاژهای بین‌فلزی تک‌فازی مختلف: $CoAl$ و $NiAl$ و آلیاژهای مربوط به ساختار B_2 (Fe_3AlC) (Jung et al., 1987; Sauthoff, 1989) (Ni_xTiAl) (Jung et al., 1987; Sauthoff, 1989) (Ni_xAl) (Strutt and Polvani, 1973) (Schniebel et al., 1986)، و دو گونه Al_xNb با ساختارهای L_1 (یعنی آلومیناید پیشرفت) (+) (Reip, 1991) و L_1' (Nicholls and Rawlings, 1977) (Al_xNb) (Jung and Sauthoff, 1989b) ($Co_0.8Fe_0.2Al$) (Jung and Sauthoff, 1989b) ($Co_0.8Ni_0.2Al$) (Jung et al., 1987) و D_{0}^{0} با ساختار Al_xNb (Jung and Sauthoff, 1989b).

مقاومت خرشی آلیاژهای بین‌فلزی پایه‌ی $NiAl$ چند فازه

معمولاً در آلیاژهای رایج برای افزایش مقاومت خرشی از ذرات رسوب داده شده استفاده می‌گردد. اثر تقویت‌کنندگی ذرات رسوبی در آلیاژهای $NiAl$ -Fe با زمینه‌ی Al (B_2) ($NiAl$) و ذرات α -Fe

مطالعه گردیده است^(۱). معلوم شده است که اثر ذرات α -Fe کاملاً مشابه با اثر ذرات NiAl (B2) در آلیازهای با زمینه Fe-NiAl با زمینه α -Fe است که توسط یانگ و ساوتف^(۲) (۱۹۸۷) و یانگ^(۳) (۱۹۸۶) گزارش شده‌اند. در هر دو مورد ذره‌ها به دلیل اندرکنش نابه‌جایی-ذره، به عنوان موائع نابه‌جایی عمل می‌کنند و در حقیقت گیرکردن نابه‌جایی‌ها در ذرات، پیش از گسختگی در مورد NiAl-Fe مشاهده شده است. این موائع از طریق صعود پشت سرگذاشته می‌شوند که باعث ایجاد یک تنفس آستانه‌ی σ_{th} می‌شود و مقاومت خوشی را طبق معادله‌ی زیر افزایش می‌دهد:

$$\dot{\varepsilon} = A \frac{DGb}{kT} \left[\frac{\sigma - \sigma_{th}}{G} \right]^n \quad (4)$$

این تنفس آستانه، همان‌گونه که به صورت نظری برای فرایندهای مختلف صعود نشان داده شد، مناسب با تنفس اوروان^(۳) است^(۴) و بنابراین در هم خوانی با آزمایش‌های تجربی با عکس فاصله‌ی ذره مناسب است^(۵). خوش ثانویه‌ی مشاهده شده برای نابه‌جایی را می‌توان با معادله‌ی ۴ توصیف کرد و نقشه‌های تغییرشکل را بر اساس داده‌های تجربی محاسبه نمود^(۶).

در آلیازهای ذره‌ای، یکی از فازها، یعنی فاز زمینه به صورت پیوسته توزیع می‌شود، در حالی که فاز دوم به طور ناپیوسته پخش می‌گردد. در مواد مرکب آلیازی غیرذره‌ای مانند مواد مرکب رشته‌ای یا لایه‌ای، همه‌ی فازها به صورت پیوسته پخش می‌شوند. اثر پراکندگی فاز بر رفتار خوشی آلیازهای NiAl-Fe با ریزساختارهای لایه‌ای مفصل‌اً مطالعه شده است^(۷). برای این کار، آلیاز Ni-40-Al در صد اتمی ۱۸-Fe انتخاب شد که برای بدست آوردن ریزساختار لایه‌ای از فازهای NiAl (B2) و FeNi با ساختار fcc نامنظم و جزء حجمی مساوی، از روش انجاماد جهت دار استفاده گردید. معلوم شد تا هنگامی که فاصله‌ی لایه‌ها بیشتر از فاصله‌ی بحرانی (که هم مرتبه با مسیر آزاد نابه‌جایی است) باشد، مقاومت خوشی این قبیل آلیازهای لایه‌ای طبق قانون اختلاط به مقاومت خوشی فازهای تشکیل دهنده‌شان مربوط می‌شود. اگر فاصله‌ی لایه‌ها کمتر از این مقدار بحرانی باشند، نتیجتاً فصل مشترک

1- Jung and Sauthoff, 1989a

2 - Jung & Sauthoff

3 - Orowan

4- Arzt and Rösler, 1988

5- Jung and Sauthoff, 1987, 1989a

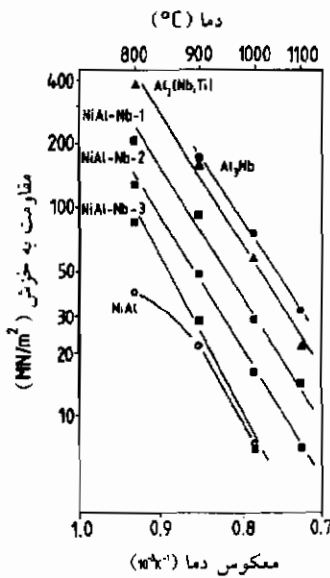
6- Jung and Sauthoff, 1989a

7- Klöwer, 1989; Klöwer and Sauthoff, 1991, 1992

لایه‌ها باعث استحکام بخشی اضافی می‌گردند. این پدیده‌ی تقویت‌کنندگی را طبق معادله‌ی ۴ می‌توان به وسیله‌ی تنش آستانه که آن هم متناسب با معکوس فاصله‌ی لایه‌ای است توصیف کرد.

پدیده‌های مشابهی در سایر آلیاژهای بین‌فلزی پایه‌ی NiAl با توزیع نامنظم‌تر فازهای لاوهی C14 منشوری مشاهده شده‌اند^(۱) و توسط ساوت (۱۹۹۱) مورد بحث قرار گرفته‌اند. در این آلیاژهای با پراکندگی فاز درشت، آهنگ خرز ثانویه، با تقریب خام از قانون اختلاط پیروی می‌کند، و پدیده‌های تقویت‌کنندگی اضافی تنها در آلیاژهای با پراکندگی ریز‌فازی دیده می‌شوند. از این مسأله نتیجه می‌شود که خرز مواد مرکب آلیاژی بین‌فلزی ذره‌ای و غیرذره‌ای به طرق مشابه انجام می‌شود و می‌توان آن را با معادلات ساختمندی همانند آلیاژهای چند‌فازه‌ی رایج توصیف نمود.

البته بحث بالا تنها به خزش ثانويه مربوط می شود. وضعیت برای مرحله‌ی خزش اولیه‌ی گذرا وضوح کم تری دارد. همان‌گونه که پیشتر بحث گردید^(۲)، کرنش خزش اولیه حداقل در مرود آلیازهای



شکل ۲-۶- مقاومت خزشی (در فشار بارگذاری) متفاوت از دمابرای آلیاژهای مختلف NiAl-Al_xNb_y با نسبت تابعی s^{-1} (۱۰) به صورت نشانه شده است. نتایج نشان می‌کنند که مقاومت خزشی در نسبت تابعی ۰-۲ و ۰-۳ برابر باشد، در نسبت تابعی ۰-۴ و ۰-۵ نسبت خزشی کمتر است و در نسبت تابعی ۰-۶ برابر باشد. نتایج نشان می‌کنند که مقاومت خزشی در نسبت تابعی ۰-۷ برابر باشد.

1: Machon, 1992; Sauthoff, 1993a

2- Sauthoff, 1991b

پایه‌ی NiAl به طور قابل ملاحظه‌ای با حضور فازهای دوم کاهش می‌باید و با افزایش تنش و کاهش فاصله‌ی فصل مشترک‌ها زیاد می‌شود^(۱). این رفتار در آلیاژهای رایج هم شناخته شده است، اما آلیاژهای دیگری وجود دارند که رفتار متضادی از خود نشان می‌دهند به عبارت دیگر، افزایش کرنش اولیه در اثر افزایش تنش^(۲). این پدیده‌ها حتی برای آلیاژهای نامنظم هم تاکنون درک نشده‌اند. بیشتر تأکید می‌گردد که نه تنها خرزش اولیه‌ی معمول با شتابِ روبه‌کاهش آهنگ خرزش مشاهده می‌گردد، بلکه خرزش اولیه‌ی معکوسی با آهنگ خرزش شتاب دار مثلاً در مورد فازهای لاوهی سه‌تایی دیده می‌شود^(۳) این گونه خرزش اولیه‌ی معکوس برای Al_xNi_{1-x} هم گزارش شده است که از فعال‌سازی سیستم‌های لغزش مختلف نشأت می‌گیرد^(۴). خرزش معکوس از تعداد ناکافی نابه‌جاوی‌های متحرک حاصل می‌شود و مثال کلاسیک برای این رفتار تغییر‌شکل، سیلیسیم است که رفتار تغییر‌شکل آن به طور مفصل تحلیل شده است^(۵).

در هر صورت، مقاومت خرزشی NiAl را می‌توان به میزان چشم‌گیری از طریق آلیاژ‌کردن با سایر بین‌فلزات قوی تری که آلیاژهای بین‌فلزی چندفازه (که می‌توان آن‌ها را مواد مرکب بین‌فلزی در محل نامید) تشکیل می‌دهد، افزایش داد. مثال مشخص این موضوع در شکل ۲۶ با داده‌های مقاومت خرزشی برای آلیاژهای مختلف Ni-Al-Nb که حاوی فاز NiAl با ساختار D₀₂ مکعب مستطیلی و NbNiAl فاز لاوهی منشوری با ساختار C14، هم‌چنین Al_xNb_{1-x} است را در بر می‌گیرند، آمدۀ است. می‌توان دید که مقاومت خرزشی این آلیاژهای بین‌فلزی به طور مداوم با افزایش جزء حجمی فازهای قوی‌تر از NiAl نسبتاً نرم تا فازهای سخت (Nb, Al_xNb_{1-x} و (Nb, Ti, Al_x)₂ که در بخش ۲-۳-۳ مطرح شده‌اند، افزوده می‌شود. [داده‌های مربوط به (Nb, Ti, Al_x)₂ در این شکل وارد شده‌اند زیرا تنها این تری آلومیناید سه‌تایی را می‌توان در دمایهای پایین‌تر نیز مورد آزمایش قرار داد].

مثال دیگری در شکل ۲۷ ارائه شده است که استحکام بخشی NiAl را به وسیله‌ی فازهای لاوهی C14 سه‌تایی نشان می‌دهد. به نظر می‌رسد که داده‌های مربوط به TaNiAl-NiAl از یک قانون اختلاط پیروی می‌کند، اما داده‌ها برای NbNiAl-NiAl به وضوح انحراف قابل ملاحظه‌ای را از روی هم‌گذاری خطی برای مقاومت‌های خرزشی نشان می‌دهند. به علاوه، مقاومت خرزشی بروん‌یابی شده برای ۵ درصد

1- Reip, 1991; Klöwer, 1989

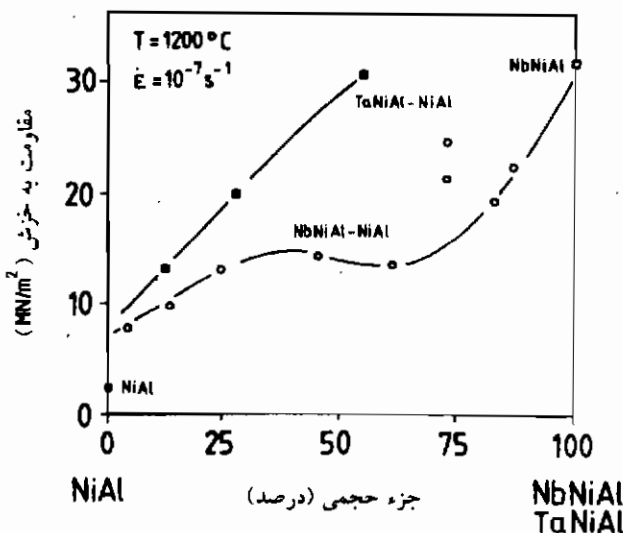
2- Sauthoff, 1991b

3 - Sauth off, 1990a, 1991a; Machon, 1992

4- Hazzledine and Schneibel, 1989; Schneibel and Hazzledine, 1992

5- Alexander and Haasen, 1968; Alexander, 1986

فاز تقویت‌کننده، در این مورد به طور محسوسی بالاتر از مقدار اندازه گیری شده برای NiAl دو تایی است. این پدیده‌ی تقویت‌کننده‌ی اضافی به ذرات ریز رسوی فاز نوع هیولر $Nb_{x}NiAl$ با ساختار L2 باساختار $Nb_{x}NiAl$ مربوط می‌شود که سبب به وجود آمدن تشنج آستانه می‌گردند^(۱). مثال‌های بیشتر توسط ناتال^(۲) ارائه شده‌اند که در آن‌جا فراوانی داده‌های حاصل از سیستم‌های مختلف آلیاژی که بر فازهای B2 پایه گذاری شده‌اند، تحلیل می‌شوند.



شکل ۲۷- مقاومت خزشی (تش فشاری برای آهنگ کرنش ثانویه 10^{-7} s^{-1} در 1200°C) به صورت تابعی از جزء حجمی فاز ثانویه برای آلیاژهای بین‌فلزی پایه Al-NiAl-TaNiAl-NiAl-NiAl:TaNiAl:NbNiAl:NbNiAl^(۱) (Sauthoff, 1990a; Machon, 1992).

(Sauthoff, 1990a; Machon, 1992)

۴-۳-۵- تأثیرات محیطی

برخلاف بیشتر آلومیناید‌های دیگر که به منظور استفاده در کاربردهای دمای بالا مورد توجه قرار می‌گیرند، NiAl با ساختار B2، مقاومت به اکسایش عالی از خود نشان می‌دهد زیرا یک لایه‌ی

1- Sauthoff, 1991b; Machon, 1992

2 - Nathal

Al_3O_3 محافظت بلا فاصله در هنگام اکسایش تشکیل می شود^(۱). بنابر اطلاعات موجود، به نظر می رسد، جدا از سیلیسایدها، NiAl تنها ترکیب بین فلزی واقعاً مقاوم به اکسایش باشد^(۲). دلیل فیزیکی برای این مقاومت به اکسایش بالا آن است که در صد Al به حد کافی زیاد است و نفوذ Al در همهٔ دمایها برای تشکیل پوسته های پایدار Al_3O_3 در سطح و جلوگیری از اکسایش داخلی در جسم، به حد کافی سریع است^(۳). جزئیات مربوط به رشد پوسته، توسط دوی چاک^(۴) و همکارانش (۱۹۸۹) تشریح شده است.

در حین اکسایش، حفره ها به دلیل جریان های نامتوافق نفوذی، طبق پدیدهٔ کرکندال^(۵)، نزدیک فصل مشترک $\text{NiAl}/\text{Al}_3\text{O}_3$ تشکیل می شوند^(۶). این تشکیل حفره، که برای دیگر آلیازهای پُر Al هم مشاهده شده است، به پوسته شدن لایهٔ Al_3O_3 منجر می شود و بر مقاومت به اکسایش آن تأثیر می گذارد. شکل گیری حفره از طریق انباشت گوگرد در سطح خالی از NiAl روی حفره ها، افزایش می یابد و در نتیجه باعث ایجاد پدیده اثر گوگرد می شود^(۷). همان‌گونه که برای مادهٔ مرکب NiAl-TiB_2 نشان داده شده است^(۸)، چسبندگی پوسته نیز با حضور پراشیده های TiB تحت تأثیر قرار می گیرد.

مانند بسیاری از دیگر مواد، چسبندگی پوسته و مقاومت به اکسایش از طریق کم آلیاز کردن با عنصر اکسیژن فعال مانند Y , Ce , Hf , Zr یا La بهبود می یابد^(۹). خصوصاً از Zr برای افزایش مقاومت NiAl نسبت به اکسایش چرخه ای استفاده شده است^(۱۰). درک فیزیکی تأثیر مفید این قبیل عنصر اکسیژن فعال، (همانند آلیازهای نامنظم رایج) هنوز هم ناکافی است. اثر آلیاز کردن با Cr و Si که برای ایجاد مقاومت به خوش در سایر آلیازها استفاده می شوند، بررسی شده است^(۱۱). توجه می شود که

1- Doychak et al., 1989; Nesbitt and Lowell, 1993

2- Meier et al., 1993

3- Pettit, 1967

4 - Doychak

5 - Kirkendall

6- Cathcart, 1985; Meier et al., 1993

7- Grabke et al., 1990, 1991b

8- Pregger et al., 1992

9- Mrowec and Jedlinski, 1989; Grabke et al., 199b

10- Doychak et al., 1989; Nesbitt et al., 1992

11- Meier, 1989

مقاومت به سولفید شدن NiAl به وسیله‌ی Cr کاهش می‌یابد^(۱). جدا از اکسایش با تشکیل پوسته‌ی خارجی، NiAl همانند ترکیب‌های بین‌فلزی مختلف دیگر در معرض پدیده‌ی اکسایش خاصی به نام سفیدک قرار می‌گیرد^(۲). سفیدک در یک گستره‌ی دمایی بحرانی (معمولًاً در حدود ۸۰۰°C) رخ می‌دهد و ممکن است به تخرب کامل ماده منجر شود. در مقایسه با سایر بین‌فلزات آسیب‌پذیری کم‌تری به سفیدک دارد و این پدیده را تنها در فشارهای اکسیژن بسیار کم در زمانی که اکسیژن در سطح نازک پوسته وارد می‌شود و در داخل مرز دانه‌ها نفوذ می‌کند، از خود نشان می‌دهد^(۳). تردی محیطی که رفتار مکانیکی سایر بین‌فلزات (مثلًاً دیگر آلومیناید‌های B2) را تحت تأثیر قرار می‌دهد، در مورد NiAl یافت نشده است^(۴).

۶-۳-۴- پیشرفت‌ها و کاربردهای آلیاژها

آلیاژهای مغناطیسی

ویژگی‌های مغناطیسی مفید آلیاژهای Fe-Ni-Al با ترکیب مناسب، اولین بار توسط میشی ما^(۵) در سال ۱۹۳۱ کشف شد. در آن سال ظهور آلیاژهای آلینیکو برای کاربردهایی به عنوان مواد مغناطیسی دائم آغاز گردید^(۶). آلیاژ پایه حاوی تقریباً ۵۰ درصد Fe، ۲۵ درصد Ni و ۲۵ درصد Al است که علاوه بر آن عناصر مختلف دیگری (Co یا Cu به عنوان عناصر پرآلیاژکننده و Ti, Nb جهت بهینه‌سازی خواص) اضافه می‌شوند^(۷). این آلیاژها در دماهای بالاترک فاز هستند و پس از سرد کردن در یک گستره‌ی بحرانی به منظور تشکیل ریزساختار دوفازی همراه با پراکندگی در هم پیچیده‌ی فاز، به صورت دوکوار تجزیه می‌شوند. فازهای سازنده‌ی این آلیاژها طبق نمودار فازی Ni-Al-Fe عبارتند از: فاز پایه‌ی NiAl با ساختار B2 و فاز پر Fe با ساختار bcc نامنظم^(۸).

فاز B2 در آلیاژهای آلینیکو خاصیت آهن‌ربایی ضعیفی دارد، در صورتی که فاز پر Fe شدیداً

1- Mrowec et al., 1989

2- Aitken, 1967; Meier and Pettit, 1992

3- Grabke et al., 1991a, b; Meier et al., 1993

4- Liu, 1992; Lahrman et al., 1993b .

5 - Mishima

6- Jellinghaus, 1936, 1943; DeVos, 1969

7- McCurrie, 1986

8- Bradley and Taylor, 1938; Dannöhl, 1942; Bradley, 1951; Hao et al., 1984

آهن ریاست. بنابراین توزیع فاز های در هم پیچیده و ناهمسان گردی شکلی شدید فاز پر Fe منجر به مغناطیسی زدایی فراوان می شود^(۱).

رفتار مغناطیسی تابع حساسی از عملیات پیشین، نه تنها از حیث پراکندگی فازها، بلکه نسبت به پراکندگی و تمرکز عیوب مثلاً جای خالی و اتم های ضد ساختار می باشد^(۲). اثر عناصر آلیاژ گر اضافی (Mn, Co) و Ti یا Cu که ترجیحاً در فاز نامنظم پر Fe حل می شوند) بر فرایند تجزیه ای آلیاژ های آلنیکو توسط هاو^(۳) و همکارانش (۱۹۸۵) بررسی گردیده است.

آلیاژ های آلنیکو ترد و سخت هستند و تنها به وسیله ای سنگ زنی، سایش جرقه ای (ماشین کاری با تخلیه ای الکتریکی) و ماشین کاری الکتروشیمیابی می توان آن ها را ماشین کاری کرد. آلیاژ های آلنیکو مقاومت اتمسفری خوبی تا ۵۰۰°C دارند^(۴). رفتار مکانیکی، خصوصاً خوش، در آلیاژ های نوع آلنیکو NiAl مفصل امطالعه شده است و هم آلیاژ های پر Fe با ذرات NiAl رسوبی و هم آلیاژ های پر Al با ذرات Fe رسوبی مورد توجه قرار گرفته اند^(۵). ویژگی های مغناطیسی این آلیاژ ها فهرست شده اند و توسط فیپکه^(۶) (۱۹۹۰) و مک کوری^(۷) (۱۹۸۶) با دیگر آلیاژ های جایگزین مقایسه گردیده اند. آلیاژ های آلنیکو در مقاومت به اثرات دما بر روی خواص مغناطیسی بهتر از دیگر مواد مغناطیسی دائمی هستند.

توجه می شود که هم اکنون NiAl نیز به عنوان فاز جذاب منتخب برای دیگر کاربردهای علمی مانند اتصالات در تجهیزات لایه ای نازک الکترونیکی یا الکترود های با ولتاژ بالا در وسایل نوری الکترونی در نظر گرفته می شود^(۸).

آلیاژ های حافظه ای شکل

به خوبی معلوم شده است که استحاله ای مارتزیتی NiAl کم Al (بخش ۲-۳-۴ را بینید) گرم اکشسان است و پدیده ای حافظه ای شکل ایجاد می کند. نتیجتاً ظهور موادی آغاز شده است که

1- De Vos, 1969; McCurrie, 1986

2- Kilner and Harris, 1981

3 - Hao

4- Fiepke, 1990

5- Jung and Sauthoff, 1987, 1989a

6 - Fiepke

7 - McCurrie

8- Miracle, 1993

کاربردهایی به صورت آلیاژهای حافظه‌ی شکل را هدف قرار داده‌اند^(۱). دمای استحاله‌ی مارتنتیتی می‌تواند در گستره‌ی دمایی وسیعی تا 900°C تغییر کند و بنابراین پدیده‌ی حافظه‌ی شکل را در دماهای بالا می‌توان به وجود آورد. این کار امکان پیشرفت آلیاژهای حافظه‌ی شکل با دمای کار بالا را فراهم می‌کند. مشکل مربوط به نرمی در دمای اتاق NiAl از طریق آلیاژ کردن با یک عنصر سوم (خصوصاً Fe) با هدف تولید فاز ثانویه‌ی نرم با ساختار fcc حل شده است.

آلیاژهای پوشش‌دهنده

بسیاری از قطعات آلیاژی با دمای کاری بالا که مقاومت کافی به خوردگی در گازهای گرم مثلاً در توربین‌های گاز ندارند، به منظور فراهم کردن محافظت لازم از یک خوردگی مشخص بالایی سطحی مقاوم به خوردگی پوشش داده می‌شوند^(۲). با توجه به مقاومت به اکسایش استثنایی و زیاد فاز ($\text{B}2\text{-NiAl}$) (بخش ۳-۵ را ملاحظه کنید)، مدت‌های مديدة از این ماده به عنوان ماده‌ی پوشش‌دهنده استفاده شده است. در حقیقت یکنی از قدیمی‌ترین فرایندها برای ایجاد پوشش، پوشش کاری در جعبه‌ی آلومینیم (آلومینیم کاری جعبه‌ای) بوده است که از طریق آن Al از جعبه‌ی پر Al به آلیاژی که باید پوشش داده شود نفوذ کرده و لایه‌ی سطحی آلومیناید تشکیل می‌دهد (که در مورد آلیاژهای پایه‌ی Ni ، محتوی Al است)^(۳). چنین پوشش دهی‌های نفوذی هنوز هم به طور وسیع برای محافظت تیغه‌های توربین تحت شرایط مختلف کاری توربین استفاده می‌شوند. کارآیی پوشش با افزایش افروزنی‌های آلیاژ کننده یعنی Cr , Si , Ta و خاکی‌های نادر یا فلزات قیمتی بهبود می‌یابد که از طریق اصلاح فرایند آلومینیم کاری جعبه‌ای حاصل می‌شود^(۴).

گذشته از پوشش دهی‌های نفوذی، از پوشش‌های اندوودی نیز استفاده می‌شود. این پوشش‌ها از طریق رسوب‌دادن یک آلیاژ مقاوم به خوردگی که به طور اختصاصی طراحی شده است بر روی سطح قطعه ایجاد می‌شوند^(۵). این آلیاژهای پوشش‌دهنده که توسط رابطه‌ی عمومی ترکیب MCrAlY با Co و یا Ni توصیف می‌شوند، باز هم بر حضور فازهای MAl با ساختار $\text{B}2$ تکیه دارند^(۶).

1- Furukawa et al., 1988; Kainuma et al., 1992b, e

2- Grünling et al., 1983; Pettit and Goward, 1983; Nicholls and Stephenson, 1991

3- Patnaik, 1989

4- Nicholls and Stephenson, 1991

5- Nicholls and Stephenson, 1991

6- Gudmundsson and Jacobson, 1988

مزیت این پوشش دهی اندرکنش شیمیایی بسیار ناچیز بین پوشش و زیر لایه در حین رسوب دادن، امکان انتخاب ترکیب آلیاژی مقاوم به خوردگی و توانایی رسوب پوشش های ضخیم تر برای عمرهای کاری بیشتر است. توجه می شود که حین کار، نفوذ متقابل بین پوشش و زیر لایه رخ می دهد که ممکن است در آن تهی سازی پوشش از Al حاصل شود. کم Al ممکن است به دلیل چرخه های خنک کاری به صورت مارتزی استحاله یابد که پوسته پوسته شدن را به پیش می برد، به عبارت دیگر در تخریب تدریجی پوشش مشارکت می کند^(۱).

آلیاژهای سازه‌ای

مدت های مدبیدی NiAl به عنوان پایه ای برای پیشرفت مواد سازه ای با کاربردهای در دمای بالا مورد توجه بوده است^(۲). NiAl به دلیل چگالی کم، هدایت حرارتی خوب، نقطه‌ی ذوب بالا و مقاومت به اکسایش عالی، مفید است، در حالی که تغییر شکل پذیری کم در دمای اتاق، استحکام کم آن و مقاومت خزشی پایین در دماهای بالاتر از ۱۰۰۰°C در مقایسه با آبرآلیاژها همیشه عیب محسوب می شده است^(۳). استحکام پایین در دماهای بالا به مقاومت به اکسایش عالی آن مربوط می شود زیرا هر دو پدیده از نفوذ آسان در دماهای بالا ناشی از ساختار باز B2 در NiAl، حاصل می گردند (بخش ۴-۳-۴ و ۴-۳-۵). با توجه به کاربردهایی به صورت ماده‌ی تیغه‌ی توربین فشار بالا، NiAl به عنوان ماده‌ی بسیار امیدوارکننده برای ظهور آآلیاژهایی که با آبرآلیاژها رقابت می کنند مورد توجه قرار می گیرد، زیرا کمی استحکام از طریق مزیت های مربوط به چگالی و هدایت حرارتی جبران می شود و پیدایش مواد مربوط رو به گسترش است^(۴). افزودنی های آلیاژ کننده Mo، Ta، Zr، Hf و C، Fe، Nb، B و چنین روش های فراورش خاص (مثلآ حدیده کاری گرم بعد از ذوب و ریخته گری) به کار گرفته می شوند و همیشه هدف بهبود شکل پذیری در دمای اتاق و افزایش استحکام در دمای بالا است^(۵). با توجه به این که تا به امروز تنها یک کار بر روی خستگی NiAl انجام شده است، رفتار مکانیکی NiAl تحت

1- Smialek and Hehemann, 1973

2- Fitzer and Gerasimoff, 1959; Imai and Kumazawa, 1959; Grala, 1960; Jellinghaus, 1961, 1967

3- Vedula and Stephens, 1987a; Darolia, 1991

4- Darolia et al., 1992b; Liu and Kumar, 1993; Walston and Darolia, 1993; Locci et al., 1993; Field et al., 1993; Goldman, 1993; Igarashi and Senba, 1993; Oti and Yu, 1993; Darolia , 1993

5- Walston et al., 1993; Field et al., 1993; Lahraman et al., 1993a; Locci et al., 1993; Hack et al., 1993

شرایط پیچیده هنوز به صورت روشنمند مطالعه نشده است^(۱).

همانند آلیاژهای نامنظم رایج، NiAl رامی توان با فازهای ثانویه به طور محسوسی تقویت نمود. جدا از اثرات بر روی استحکام، فازهای ثانویه می‌توانند برای شکل‌پذیری و چرمنگی (همان‌گونه که در مورد آلیاژهای بین‌فلزی با پایه‌ی Al مطرح شده است) نیز سودمند باشند^(۲). در هر صورت، تأثیرات فازهای ثانویه به ویژگی‌های فازهای مربوطه و پراکندگی آن‌ها بستگی دارد. این مسأله در بخش‌های بعدی با بررسی سیستم‌های مختلف آلیاژی NiAl که با تفصیل بیشتر مطالعه شده‌اند، نشان داده می‌شوند. رفتار خرزشی آلیاژهای NiAl همراه با تقویت‌کنندگی فازهای ثانویه در بخش ۴-۳-۴ عنوان می‌شود.

NiAl-Fe آلیاژهای

نمودار فازی سه تایی Ni-Fe-Al در شکل ۲۸ نمایش‌گر حوزه‌های دوفازی و سه‌فازی در مجاورت منطقه‌ی (Ni,Fe)Al است. به عبارت دیگر، امکان‌های مختلفی برای تولید آلیاژهای NiAl با فازهای ثانویه وجود دارد. به عنوان نمونه، ذرات زیر پر Fe با ساختار bcc می‌توانند با تنظیم دقیق درصدهای Fe و Al و عملیات حرارتی مناسب از زمینه‌ی NiAl-Fe رسوب داده شوند^(۳). اثر تقویت کنندگی این ذرات نامنظم در زمینه‌ی بین‌فلزی مرتب‌کاملاً مشابه اثر ذرات رسوبی NiAl نامنظم در آلیاژ منظم با پایه‌ی Fe است^(۴)، و بنابراین معادل با استحکام بخشی ذرهای در آلیاژهای رایج می‌باشد. از تعادل دوفازی بین Al و NiAl-Fe-Ni با ساختار fcc نامنظم برای تولید آلیاژهای دوفازی لایه‌ای (یعنی مواد مركب در محل) از طریق انجام داد جهت دار استفاده شده است^(۵). استحکام مادامی که فاصله‌ی لایه‌ای زیاد است (یعنی برای ریزساختارهای درشت) با قانون اختلاط توصیف می‌شود، در حالی که استحکام بیشتر در ریزساختارهای ریز با فاصله‌های لایه‌ای کوچک به دست می‌آید (بخش ۴-۳-۴).

همان‌گونه که در بالا در مورد فازهای نامنظم اشاره شد، علاوه بر استحکام بخشی، فازهای ثانویه احتمالاً برای بهبود شکل‌پذیری و چرمنگی (خصوصاً اگر نرم باشند) مفید هستند^(۶). حتی از تعادل

1- Noebe and Lerch, 1992, 1993; Smith et al., 1992; Stoloff, 1992; Cullers et al., 1993; Edwards and Gibala, 1993

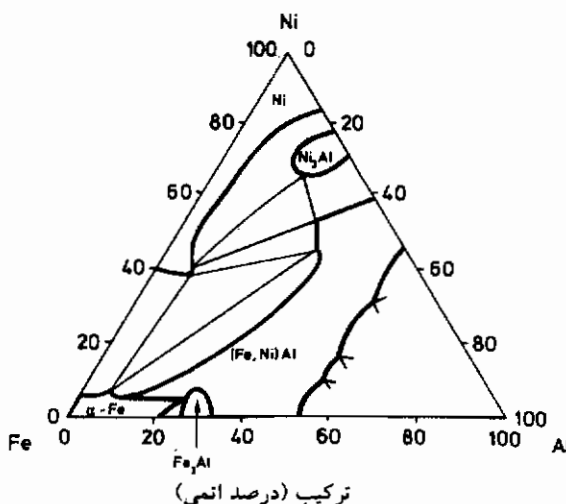
2- Noebe et al., 1991; Clemens and Bildstein, 1992

3- Jung and Sauthoff, 1989a

4- Jung and Sauthoff, 1987

5- Klöwer and Sautboff, 1991

6- Noebe et al., 1991



شکل ۴-۲۸- مقطع هم دمای نمودار فازی $\text{Ni}-\text{Fe}-\text{Al}$ در 400°C همراه با محلول جامد $\alpha\text{-Fe-Al}$ با ساختار (A1)، محلول جامد NiAl با ساختار (A2) و فازهای بین فازی Ni_3Al ، $(\text{Ni},\text{Fe})\text{Al}$ ، $(\text{L}1_2,\text{L}2_1)$ ، $(\text{Ni}_3\text{Fe})\text{Al}$ و (Fe_3Al) (B2) bcc نمودار شما بین از ساونتف (۱۹۸۶) براساس کار برادلی و تایلور (۱۹۳۸)، دانول (۱۹۵۱)، برادلی (۱۹۴۲)، و گواوه همکاران (۱۹۸۴).

دوفازی بین NiAl و آلمیناید نیکل دیگر (Ni_3Al) می‌تواند برای تولید آلیاژ دوفازی $\text{NiAl-Ni}_3\text{Al}$ با استحکام و چقرمگی بهبود یافته استفاده شود^(۱). نتیجتاً، گستره‌ی ترکیب سیستم $\text{Ni}-\text{Fe}-\text{Al}$ که تعادل‌های فازی بین Al و NiAl و Ni_3Al را شامل می‌شود، به منظور تعیین آلیاژهای پایه‌ی Al با ترکیب مناسب شکل پذیری و استحکام به طور گستره‌ای مطالعه و پیشرفت امیدوار کننده‌ی NiAl مواد آغاز شده است^(۲). خصوصاً، آلیاژهای با ۲۰ درصد اتمی Al و ۳۰ درصد اتمی Fe ، هم‌چنین با ۳۰ درصد اتمی Al و ۲۰ درصد اتمی Fe نمونه‌هایی از پیشرفت این مواد هستند. رفتار خستگی توسط استولوف (۱۹۹۲) بررسی شده است. باید تأکید کرد که هم ترکیب و هم فراورش باید به دقت کنترل شوند زیرا توازن استحکام و شکل پذیری به طرز حساسی به پراکندگی فازها وابسته است. توجه می‌شود که آلیاژهای مشابهی از Ni-Co-Al تهیه شده‌اند که امکان‌های خوبی برای بهینه‌سازی استحکام و شکل

1- Baker and Munroe, 1990

2- Guha et al., 1989, 1992; Baker and George, 1992; M. Larsen et al., 1990; Noebe et al., 1991; Raj et al., 1991, 1992b; Raj, 1992; J. H. Lee et al., 1992; Tsau et al., 1992; Golberg and Shevakin, 1991; Misra et al., 1993; Kostrubanic et al., 1993

پذیری هم عرضه می‌کنند^(۱).

فاز NiAl در آلیاژهای ثانویه‌ی پر Fe و/یا پر Ni غیراستویکیومتری در اثر کمبود Al به وجود می‌آید. بنابراین، همان‌طور که در بخش ۲-۳-۴ بحث شده است، NiAl در این آلیاژها احتمالاً به صورت مارتزیتی استحاله می‌یابد که امکان بیش تری برای بهبود استحکام و شکل پذیری را به ارمغان می‌آورد. در حقیقت این آلیاژها با قابلیت استحاله‌ی مارتزیتی NiAl شکل پذیری کششی کمی در دمای اتاق نشان می‌دهند^(۲). توجه می‌شود که این آلیاژها پدیده‌ی حافظه‌ی شکل را از خود نشان می‌دهند و جزء مواد مورد علاقه از حیث کاربردهای مربوط به آن‌ها هستند.

NiAl-Cr آلیاژهای

همان‌گونه که قبلاً مطرح شده است^(۳) NiAl با فلزات دیرگداز، Cr، Mo و W یوتکنیک‌هایی می‌سازد که ممکن است در تولید مواد مرکب از طریق انجماد جهت دار استفاده شوند^(۴) و در حقیقت ماده‌ی مرکب NiAl-Cr استحکام دمای بالای امیدوار کننده‌ای از خود نشان می‌دهد^(۵). چنین آلیاژهایی (به ویژه NiAl-Mo و NiAl-Cr) به منظور تولید مواد با استحکام زیاد برای کار در دمای بالا به تفصیل بررسی شده‌اند^(۶). برای تولید این آلیاژها از روش‌های متالورژی پودر و متالورژی شمش (خصوصاً انجماد جهت دار) استفاده می‌شوند.

استحکام کششی و فشاری و چقرمگی مطالعه شده‌اند و داده‌های مقدماتی در مقاله‌ی ساوت‌ف (۱۹۹۰) ارائه شده است. استحکام به طور چشم‌گیری با افزایش درصد Cr (یعنی افزایش جزء حجمی فاز α -Cr) نامنظم در این آلیاژهای دوفازی زیاد می‌شود. به علاوه، استحکام (خصوصاً در دماهای بالا) با زیاد شدن اندازه‌ی دانه افزایش می‌یابد، در حالی که شکل پذیری کاهش پیدا می‌کند. در هر صورت، شکل پذیری و چقرمگی تابع‌های حساسی از ریزساختار هستند و می‌توان آن‌ها را با فراورش ترمومکانیکی مناسب بهبود داد. این امر از یک سو بدان معنی است که فراورش چنین آلیاژهایی باید به

1- Kimura et al., 1993

2- Khadikar et al., 1987; Furukawa et al., 1988; Ishida et al., 1991a; Kainuma et al., 1992b

3- Sauthoff, 1990a

4- Cline et al., 1971

5- Walter and Cline, 1970

6- Kowalski and Frommeyer, 1992; Subramanian et al., 1990a; d.R. Johnson et al., 1992, 1993; Bowman, 1992; Chang, 1992; Heredia and Valencia, 1992; Goldman, 1993

- منظور دست یابی به کیفیت خوب و قابلیت بازساخت کنترل شود، و از سوی دیگر موقعیت خوبی برای افزایش کم چقرمگی از طریق بهینه سازی آلیاژ از لحاظ ترکیب، پراکندگی فاز و ریزساختار وجود دارد.
- مقاومت به شکست آلیاژ های NiAl-Mo و NiAl-Cr که به صورت جهت دار منجمد شده اند، اخیراً مطالعه شده اند^(۱). معلوم شده است که چقرمگی آغاز ترک به طور محسوسی نسبت به NiAl بالاتر می باشد که به وسیله ای الگوهای موجود توجیه شده است.
- مقاومت به اکسایش عالی NiAl خالص با افزایش درصد Cr کاهش و با زیاد شدن دما افزایش می یابد^(۲). در هر صورت مقاومت به اکسایش آلیاژ های NiAl-Cr هنوز برای جزء های حجمی نه چندان بالای فاز α -Cr قابل قبول است.

NiAl-Ti

آلیاژ کردن Al با Ti نیکل NiAl با فاز ترد و سخت نوع هیوسلر Ni_xAlTi_y با ساختار L2 را تولید می کند^(۳). این فاز بسیار پایدار و دارای پیوندی قوی است به طوری که تغییر شکل رامشکل می سازد و استحکام آن با انحراف از ترکیب استوکیومتری افزایش می یابد^(۴). Ni_xAlTi_y تعادل دوفازی پایداری با NiAl می سازد^(۵) و بنابراین آلیاژ های دوفازی آن را می توان با ذرات رسوبی NiAl در زمینه ای Ni_xAlTi_y یا ذرات رسوبی // در زمینه ای NiAl تولید کرد. چنین آلیاژ هایی از لحاظ خرزش به طور گسترده مطالعه شده اند^(۶). خصوصاً معلوم شده است که مقاومت خرزشی آلیاژ های با زمینه ای Ni_xAlTi_y و ذرات کوچک NiAl به ابرآلیاژ های پایه ای نیکل (MARM-۲۰۰) می رسد.

ریزساختار آلیاژ های Al-Ni_xAlTi_y-NiAl کاملاً شبیه ریزساختار ابرآلیاژ های با مرزهای فاز نیمه همدوس و شکل های ذره و طرز استقرار مشابه می باشد. این نیمه همدوسی و طرز استقرار از این حقیقت ناشی می شود که ساختار B2 و L2 کاملاً مشابه هم هستند (شکل ۱) و عدم انطباق شبکه ای بین دوفاز کوچک است^(۷). البته، عدم انطباق شبکه قابل چشم پوشی نیست زیرا سبب ایجاد انرژی کشنیدگی می شود.

1- Heredia et al., 1993

2- Brumm and Grabke, 1992; Grabke et al., 1992

3- Villars and Calvert, 1991

4- Umakoshi et al., 1985

5- Raman and Schubert, 1965; Nash and Liang, 1985; Mazdiyasni et al., 1989; Kumar, 1990; Lee and Nash, 1991b

6- Strutt and Polvani, 1973; Polvani et al., 1976

7- Takeyama et al., 1991

می‌شود که تکامل ریزساختار را کنترل می‌کند^(۱). نرخ اکسایش Ni_3AlTi از همان مرتبه‌ی اعشار آلیاژ‌های رقیق Ni-Al- γ می‌باشد^(۲). هم اکنون، پیشرفت مواد بر اساس NiAl با استحکام بخش Ni_3AlTi در جریان است و کاربردهایی از قبیل پره‌های توربین در موتورهای هوایپما را هدف قرار داده است^{(۳) (بخش ۴-۳-۶)}.

تردی، مشکل چین آلیاژ‌هایی است. اخیراً فهمیده شده است که تردی را می‌توان با استفاده از تعادل سه‌فازی بین Ni_3Al ، $NiAl$ و Al_3Ni از بین Ni_3Al برداشت^(۴). آلیاژ‌های سه‌فازی حاصل قابلیت تغییر شکل مومسان در فشار و در دمای اتاق را دارند و به طور قابل قبولی از لحظه استحکام با ابزار آلیاژ‌ها برابری می‌کنند. انتقال لغزش از فاز $NiAl$ به فاز Al_3Ni در چین آلیاژ‌هایی به طور مفصل بررسی شده است^(۵). با توجه به این ویژگی‌ها و چگالی نسبتاً کم آن‌ها در گستره‌ی $7-6/9\text{ g/cm}^3$ ، آلیاژ‌های سه‌فازی $NiAl-Ni_3AlTi-Ni_3Al$ می‌گیرند^(۶).

آلیاژ‌های $NiAl-Ta$ و $NiAl-Nb$

با توجه به نمودار فاز سه‌تایی Ni-Al-Nb (شکل ۲۹) راههای مختلفی برای تشکیل آلیاژ‌های دوفازی یا سه‌فازی بر پایه‌ی NiAl با آلیاژ‌کردن با Nb وجود دارد. برای تقویت Al از جنبه‌ی مقاومت به اکسایش و چگالی، فازهای ثانویه با درصدهای نه خیلی کم Al، ترجیح داده می‌شوند. با Al_3Nb ساختار مکعب مستطیلی D_{22}^0 (که در بخش ۲-۳-۳ مطرح گردید) و فاز لاوهی $NbNiAl$ با ساختار منشوری $C1\bar{4}$ (که در بخش ۸ مورد بحث قرار خواهد گرفت) از جمله‌ی این فازها هستند و هر دوی آن‌ها به طور قابل توجهی تردتر و محکم‌تر از NiAl می‌باشند.

شکل (۳-الف)، داده‌های تنش سیلان رابه صورت تابعی از دما برای این فازها و برای سه آلیاژ سه‌فازی که ترکیبی از $NiAl$ و Al_3Nb و $NbNiAl$ بوده و این آلیاژها یا پر $NiAl$ و یا پر Al_3Nb هستند، نشان می‌دهد. می‌توان دید که در حقیقت $NiAl$ به طور چشم‌گیری از طریق فازهای سخت Al_3Nb و

1- Bendersky et al., 1988

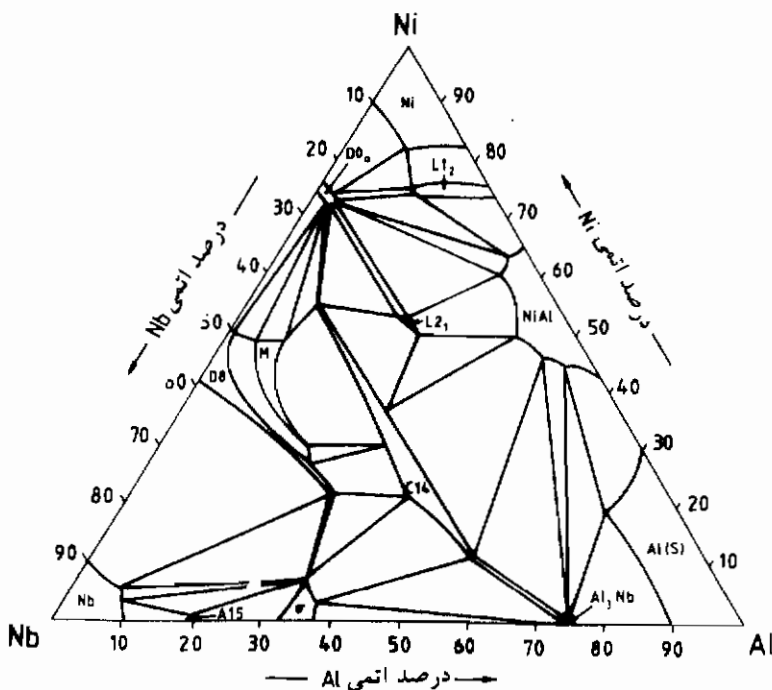
2- Lee and Shen, 1989

3- Darolia, 1991, 1993

4- Yang et al., 1992a , b

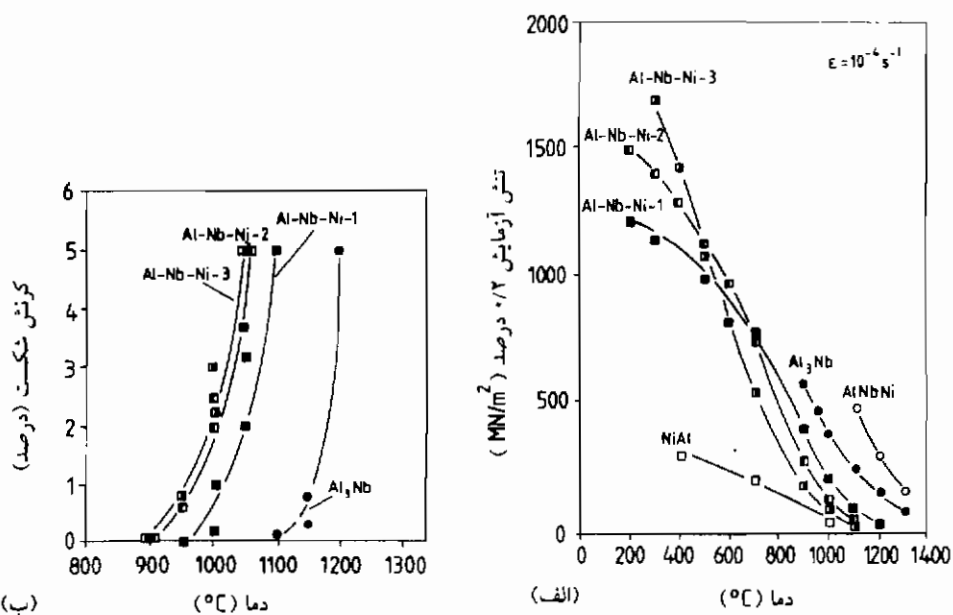
5- R. Yang et al., 1993

6- Yang et al., 1992a



شکل ۲۹-قطعه هم دمای نمودار فاز $\text{Ni}-\text{Al}-\text{Nb}$ در 1140°C . (Benjamin et al., 1966)

NbNiAl تقویت می شود. در دماهای بالا، تنش سیلان همراه با افزایش جزء حجمی فازهای سخت (با تقریب خام بر اساس قانون اختلاط) زیاد می شود. در دماهای کم عکس این رفتار مشاهده می شود. این مسئله احتمالاً به این واقعیت مربوط می شود که این فازها (خصوصاً NiAl) که دو به دو در تعادل هستند، ترکیب های غیراستوکیومتری دارند و عیوب ساختاری حاصله که در دماهای کم، غیرمتحرک هستند باعث استحکام بخشی اضافی می گردند. توجه می شود که منحنی تنش سیلان برای Al_mNb و Al_mNbNiAl تا دماهای پایین امتداد نمی یابند زیرا در دماهای کم، کرنش شکست کوچک تر از کرنش آزمایش 50% درصد است. آلیاژ های سه فازی را می توان در دماهای بسیار پایین تر مورد آزمایش قرار داد زیرا ریز ترک هادر فازهای سخت در مرزهای فاز NiAl در دماهای متوسط متوقف می شوند. همان گونه که شکل (۳-ب) نشان می دهد، در حقیقت دمای تبدیل از تردی به شکل پذیری ظاهری این آلیاژ ها بین دمای شکل پذیری NiAl در دمای تقریباً 400°C و دمای شکل پذیری Al_mNb و NbNiAl در دمای تقریباً 1100°C است. مقاومت به اکسایش این آلیاژ ها همراه با Al_mNb نیز به صورت نسبتاً مفصل مطالعه، و



شکل ۳۰-(الف) تنش آزمایش / دمای پیش / درصد (در فشار با آهنگ کرنش ثانویه $\dot{\epsilon} = 10^{-4} \text{ s}^{-1}$) و (ب) کرنش شکست (در خمیش با آهنگ کرنش $\dot{\epsilon} = 10^{-4} \text{ s}^{-1}$ (همیشه به لبه آزمونه مربوط نمی‌شود)) به صورت تابعی از دمای برای آلیاژهای مختلف Nb-Al-Ni یعنی NiAl-Al₃Nb (B₂) یعنی آلیاژهای سه‌ظاری ۳-۲-۱-۰-۲-۴۶-۲۲-۷۸ در صد حجمی Al₃Nb(NiAl) (۱۴) و با قیمانده (B₂) ۱۵-۱۵ در صد حجمی Al₃Nb (D₀) که با تک فازهای Al₃Nb, NiAl و NbNiAl مقایسه شده‌اند (Rudy and Sauthoff, 1985; Rudy, 1986; Sauthoff, 1990a, b; Reip, 1991; Machon, 1992; Reip and Sauthoff, 1993)

علوم شده است که با تنظیم مناسب اجزای حجمی فازهای مربوطه می‌توان تقریباً به مقاومت به اکسایش خوب Al₃Nb دوتایی رسید^(۱).

علی‌رغم افزایش‌های استحکام به دست آمده با Al₃Nb_x, استحکام آلیاژهای Al₃Nb با NiAl (مخصوصاً مقاومت خزشی) هنوز به قدر کافی وارد گستره‌ی دمایی بالاتر ابرآلیاژها نشده است. بنابراین باید به فاز لاوهی NbNiAl که می‌توان از Al₃Nb_x رسوب داد، برای به دست آوردن آلیاژهای NiAl تقویت شده با ذرات متکی بود^(۲). NbNiAl به طور چشم‌گیری محکم‌تر، اما باز هم تردتر از Al₃Nb است و آزمونه‌های عاری از ترک Al₃Nb_x را تنها با روش متالورژی پودر می‌توان تولید کرد. البته فاز لاوه

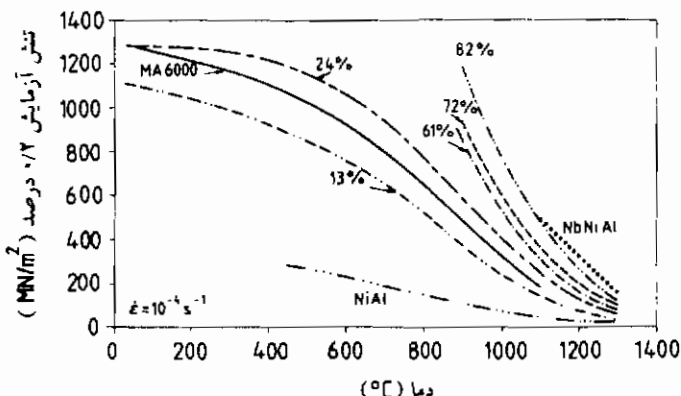
1- Steinhorst, 1989; Steinhorst and Grabke, 1989; Grabke et al., 1990, 1991b, 1992

2- Sherman and Vedula, 1986; Vedula and Stephens, 1987

تعادل پایداری با فاز Al_NiAl با ساختار B2 تشکیل می دهد (شکل ۲۹) و آلیاژ های NbNiAl-NiAl حاصل را که تا اندازه ای مطالعه شده اند^(۱) می توان بدون عیب، از طریق ذوب القابی در خلاء تولید کرد. تردی این آلیاژ های دوفازی را می توان تا آن جا کاهش داد که بتوان آنها را با چکش در دمای اتاق و بدون ترک خوردگی ضربه زد، به عبارت دیگر می توان با آنها با اطمینان خاطر کار کرد.

شکل (۳۱) داده های مربوط به استحکام تسلیم آلیاژ های دوفازی NbNiAl-NiAl را به صورت تابعی از دما برای جزء های حجمی رو به افزایش فاز لاوهی تقویت کننده نشان می دهد. توجه می شود که فاز لاوه بر روی مرزدانه را رسوب می کند و پیکرهای پیوسته ای در همه آلیاژ ها تشکیل می دهد به طوری که فاز لاوه نقش نگه دارنده را (حتی در آلیاژ های کم NbNiAl) ایفا می کند. باز هم استحکام فشاری با تقریب خام از قانون اختلاط پیروی می کند. استحکام خمشی با جزء حجمی زیادتر NbNiAl افزایش نمی باید. گمان می رود که این مسأله به خاطر عیوب آلیاژ یعنی حفره ها و ریز ترک ها باشد و بنابراین کار بیشتری باید به بهبود کیفیت مواد معطوف شود.

تابه امروز چقرمگی شکست برای این آلیاژ ها در دمای اتاق $2-4 \text{ MNm}^{-2}$ (داده های مربوط به ساوتف (الف) و (ب) (۱۹۹۰) را بینید) و دمای تبدیل تردی به شکل پذیری بسته به ترکیب و روش تهیه تقریباً بین 500°C و 700°C بوده است. تحلیل ریز ساختار آلیاژ های تغییر شکل داده نشان می دهد که در



شکل ۳۱-تنش آزمایش ۲/م درصد رفتار (آهنگ تغییر شکل 10^{-4} s^{-1}) به صورت تابعی از دما برای NbNiAl (B2)، فاز لاوهی ($\text{C}1\bar{4}$) و آلیاژ های دوفازی مختلف همراه این دوفاز (درصد های روی منحنی مقادیر مربوط به NbNiAl هستند) (Sauthoff, 1989, 1990a, 1991a; Machon, 1992) که با داده های مربوط به آبرآلیاژ (MA6000) (درکش) مقایسه شده اند (Inco, 1982).

گستره‌ی تبدیل تردی به شکل پذیری، ترک‌های موجود فاز لاؤه از طریق ایجاد منطقه‌ی مومسان در جلوی ترک فاز NiAl، در فصل مشترک NiAl و فاز لاؤه متوقف می‌شوند^(۱).

اخيراً، آلیاژ‌های مشابهی از طریق آلیاژ‌کردن مکانیکی تهیه شده‌اند^(۲). ماده‌ی مرکب در محل تمام چگال، کاملاً هم محور شده و لایه‌ای آلیاژ‌های NiAl-NbNiAl به صورت موفقیت‌آمیزی به وسیله‌ی انجماد جهت‌دار تولید شده‌اند^(۳). این زیرساختار خاص، منجر به افزایش بیشتر استحکام می‌شود، اما اثر مفیدی بر شکل پذیری در دمای پایین واستحکام شکست ندارد.

ساختمانی از سه تایی Al-NbFeAl و TaFeAl (بخش ۱-۸ را ببینید) که مخصوصاً آخری برای استحکام بخشی NiAl مورد توجه قرار گرفته است^(۴). این فازها از NbNiAl هم سخت‌تر و با آلومیناید‌های B2 مرتبط (NiAl, FeAl) در تعادل پایدارند و داده‌های اولیه برای آلیاژ‌های دوفازی و تک‌فازی مربوطه توسط ساوتاف (b و ۱۹۹۰a و ۱۹۹۳a) ارائه شده‌اند. شکل ۳۲ داده‌های مربوط به استحکام تسلیم را برای آلیاژ‌های دوفازی Al-TaNiAl نشان می‌دهد. می‌توان دید که تنش‌های سیلان حاصل به طور قابل ملاحظه‌ای بالاتر از تنش سیلان آلیاژ‌های NiAl-NbNiAl هستند و بنابراین با استفاده از این آلیاژ‌ها باید امکان ورود به گستره‌ی دمای استحکام بالاتر از آنرا داشته باشد. نمودار آرنیوس این داده‌ها نشان می‌دهد که قانون اختلاط را احتمالاً نه تنها برای تسلیم بلکه برای انرژی فعال‌سازی ظاهری هم می‌توان پیشنهاد کرد. البته، باید توجه کرد که، این آلیاژها از لحاظ رفتار بلندمدت یعنی استحکام خرسنی که در بخش ۴-۳-۴ مطرح شده است، به خوبی آنرا نیستند.

به دلیل این‌که عناصر فلزی واسطه در این فازهای لاؤه سه‌تایی را می‌توان آزادانه باهم جایگزین کرد، و چون توزیع فاز لاؤه می‌تواند از طریق عملیات ترمومکانیکی کنترل شود، امکان‌هایی برای بهینه‌سازی این قیل آلیاژ‌های NiAl همراه با فازهای لاؤه از لحاظ مقاومت خرسنی و دمای تبدیل تردی به شکل پذیری از طریق کنترل ترکیب و پراکندگی فاز وجود دارد. این مسئله هم اکنون در حال مطالعه است^(۵). تغییرات دمای تبدیل با تغییر ترکیب آلیاژ در شکل ۳۳ دیده می‌شود.

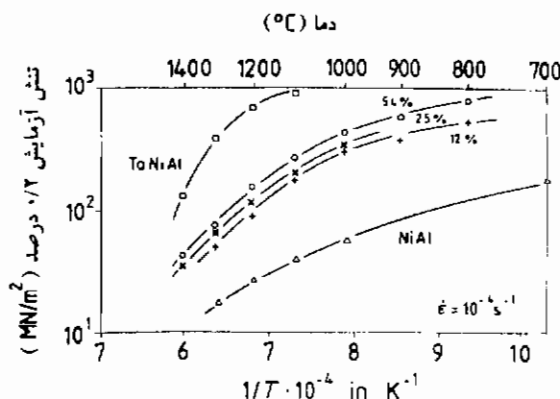
1- Machon, 1992; Wunderlich et al., 1992

2- Arzt et al., 1993; Clemens et al., 1993a

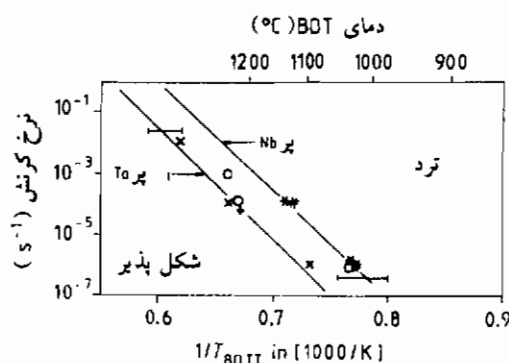
3- Reviere et al., 1992; Whittenberger et al., 1992a

4- Pathare et al., 1987; Vedula and Stephens, 1987b

5- Zeumer et al., 1991; Sauthoff, 1993a



شکل ۳۲-تنش آزمایش ۲/۰ درصد رفتار (آهنگ تغییر شکل $\dot{\epsilon} = 10^{-5} \text{ s}^{-1}$) به صورت تابعی از دما برای (B2) NiAl، فاز لاوهی (C14) TaNiAl و آلیاژهای دوفازی مختلف همراه این دوفاز (در صدهای منحنی ها، مقادیر مربوط به TaNiAl هستند) (Sauthoff, 1989, 1990a, 1991a; Macho, 1992)



شکل ۳۳- دمای تبدیل تردی به شکل پذیری (BDTT) به صورت تابعی از آهنگ کرنش در خمش (مربوط به لبه آزمونه) برای آلیاژهای دوفازی مختلف (Ta,Nb)NiAl-(Ta,Nb)NiAl / ۵/۰ NiAl-۱۰Nb / ۴۵Al / ۴۵ (x) Ta ۱۰Ni ۴۵Al ۴۵ (Sauthoff, 1991a; Zeumer et al., 1991; Zeumer and Sauthoff, 1992) .

سرانجام، باید توجه کرد که علاوه بر فازهای لاوه، فازهای نوع هیوسler Ni_xAlNb و Ni_xAlTa با L2 ساختار، ممکن است به ترتیب در سیستم های سه تایی Ni-Al-Nb، Ni-Al-Ta و Ni-Al-Ti (همان طور که نمودارهای فاز مربوطه نشان می دهد) با شباهت نزدیک با سیستم Ni-Al-Ti تشکیل شوند^(۱). در

حقیقت آلیاژ‌های دوفازی NiAl با این رسوبات تقویت‌کننده از لحاظ رفتار مکانیکی مورد مطالعه قرار گرفته‌اند^(۱) و به همراه آلیاژ‌های NiAl سه فازی با پراکندگی ذرات درشت فاز لاوهی NbNiAl و توزیع ذرات ریز Ni_3AlNb به عنوان ماده‌ی نویدبخش در پیشرفت‌های مواد مورد توجه قرار می‌گیرند^(۲). به طور خلاصه، نتیجه می‌شود که جنبه‌های خوبی برای ظهور مواد بر پایه‌ی NiAl با تقویت‌کننده‌گی فازهای لاوه و یا فازهای نوع هیوسلر که استحکام خزشی کافی در دماهای بالاتر از دمای کاربرد آبرآلیاژها و تردی مجاز دارند، وجود دارد.

آلیاژها و مواد مرکب $NiAl$ نوع ODS

با توجه به ویژگی‌های سودمند NiAl برای کاربردهای در دمای بالا یعنی مقاومت به اکسایش عالی، چگالی متوسط، پایداری بالا و هدایت حرارتی خوب و نقطه‌ی ضعف مربوط به استحکام کم آن در دماهای بالا، NiAl به عنوان ماده‌ی زمینه برای مواد مرکب با زمینه‌ی ترکیب بین‌فلزی مورد توجه قرار گرفته است و توسعه‌ی مواد مربوطه در جریان است^(۳). این قبیل مواد مرکب در ابتدا طی روش‌های متالورژی پودر تولید و فازهای مختلف جهت استحکام بخشی زمینه‌ی NiAl استفاده شده‌اند که عبارتند از: Al_2O_3 و دیگر اکسیدها^(۴)، نیتریدهای AlN و SiN ^(۵)، SiC ، B_4C و سایر کاربیدها^(۶)، بوراید^(۷) $TiBe_{12}$ ^(۸) و بریلاید^(۹).

در دمای کار، ممکن است واکنش‌های شیمیایی بین فازهای سازنده‌ی ماده‌ی مرکب روی دهد و

- 1- Pak et al., 1988; Yasuda et al., 1992
- 2- Macho, 1992; Machon and Sauthoff, 1994
- 3- Bowman and Noebe, 1989; Rigney et al., 1989; Kumar, 1991; Vedula, 1991; Kumar and Whittenberger, 1992; Kumar et al., 1992b; Shah and Anton, 1993
- 4- Jellinghaus, 1961; Noebe et al., 1990; Alman and Stoloff, 1991; Dimiduk et al., 1991; Kostrubanic et al., 1991; Kumar, 1991; Nourbakhsh et al., 1991; Baker and George, 1992; Anton and Shah, 1992b; Arzt et al., 1993; Hebsur et al., 1993; Dymek et al., 1993; Bieler et al., 1993
- 5- Shah et al., 1990; Whittenberger et al., 1990b, 1992a; Moser et al., 1990; Kumar, 1991; Bieler et al., 1992; Arzt et al., 1993; Hebsur et al., 1993
- 6- Whittenberger et al., 1990a; Moser et al., 1990; Nardone et al., 1990; Shah et al., 1990; Chou and Nieh, 1991; Dimiduk et al., 1991; Dunmead et al., 1991; Kumar, 1991
- 7- Rigney et al., 1989; Sagib et al., 1990; Moser et al., 1990; Whittenberger et al., 1990b; Alman et al., 1991; Cheng and Cantor, 1992; Kumar et al., 1992a, b; Pregger et al., 1992; Viswanadham et al., 1988; Korinko et al., 1992
- 8- Carbone et al., 1988

بنابراین سازگاری شیمیایی فازهایی که باید ترکیب شوند از اهمیت درجه‌ی یک برخوردار است. تنها ۱۱ گر فازهای سازنده با هم در تعادل پایدار باشند پایداری دراز مدت ریز ساختار تضمین می‌شود. حتی در این صورت نیز فازهای پراکنده از طریق فرایندهای پرسازی به آرامی درشت می‌شوند، به عبارت دیگر رسیده شدن اوستوالد^(۱) روی می‌دهد که هر چه انرژی‌های فصل مشترک، ضریب‌های نفوذ و حلایت‌های متقابل کوچک‌تر باشند، آهسته‌تر است^(۲). مطالعه‌ی سازگاری فازهای تقویت‌کننده‌ی مختلف با NiAl نشان داده است که TiB₆ و Al₂O₃^(۳) به اندازه‌ی کافی در NiAl پایدار هستند^(۴). جدا از سازگاری شیمیایی، ممکن است ذرات پراکنده بر رفتار محیطی مثلًا مقاومت به اکسایش (همان‌گونه که اخیراً در مورد ماده‌ی مرکب NiAl/AlN نشان داده شده است) تأثیر بگذارند^(۵).

علاوه بر روش‌های متالورژی پودر، از انجام جهت‌دار آلیاژهای یوتکتیک NiAl برای تولید مواد مرکب در محل استفاده می‌شود^(۶). NiAl-Re^(۷) و NiAl-W^(۸) و NiAl-Mo^(۹) و NiAl-Cr^(۱۰) مثال‌هایی در این زمینه هستند. در این مواد مرکب فاز پیوسته دوم نامنظم می‌شود که در نتیجه بهبود شکل پذیری در NiAl انتظار می‌رود. البته، شکل پذیری به دست آمده از این مواد مرکب هنوز کم است. از سایر فازهای بین فلزی هم برای تقویت ماده‌ی مرکب با زمینه‌ی NiAl استفاده می‌شود و مثال آن NiAl حاوی فاز نوع هیوسلر Ni₃AlTi است^(۱۱) (بخش ۶-۳-۴ راهم بینید). نوع ویژه‌ای از ماده‌ی مرکب در حال پیشرفت است^(۱۲) که یک فاز نرم پیوسته و یک فاز ترد و سخت ذره‌ای همراه با NiAl را باهم ترکیب می‌کند. در این قبیل آلیاژهای ترک‌خوردگی در زمینه‌ی NiAl حین تغییر‌شکل در کرنش حدود ۲۰ درصد رخ می‌دهد در حالی که کرنش شکست نهایی ماده‌ی مرکب، ۳۵-۴۰ درصد است.

مواد مرکب مختلف با زمینه‌ی Al معمولاً در مقایسه با NiAl تک فازی، استحکام تردی

1 - Ostwald ripening

2- Pitsch and Sauthoff, 1992

3- Sagib et al., 1990; Moser et al., 1990; Shah et al., 1990; Chou and Nieh, 1991; Trumble and Ruhle, 1990; Wang and Arsenault, 1991; Korinko and Duquette, 1994

4- Lowell et al., 1990

5- Walter and Cline, 1970; Kowalski and Frommeyer, 1992

6- Sauthoff, 1990a; Subramanian et al., 1990a

7- Sauthoff, 1990a; Saigal and Kupperman, 1991

8- Mason et al., 1990

9- Whittenberger et al., 1989; Kumar and Whittenberger, 1992

10- Nardone et al., 1990; Nardone and Strife, 1991; Nardone, 1992

بیش تری نشان می‌دهند. البته، استثنایی از این قانون وجود دارد، یعنی استحکام در دمای کم تری برای ماده‌ی مرکب $\text{NiAl-Ni}_x\text{AlTi}$ مشاهده شده است و به علاوه چقرمگی بیش تری برای ماده‌ی مرکب $\text{NiAl-Al}_x\text{O}_y$ به دست آمده است^(۱). این قبیل چقرمه کردن از طریق ذرات پراکنده، فرایند کاملاً اثبات شده‌ای برای بهبود چقرمگی فلزات و سرامیک‌ها است^(۲). سازوکار چقرمه کننده‌ی دیگری در سرامیک‌ها ممکن است که با استحاله ذرات اکسید زیرکونیم (زیرکونیا) پراکنده شده است. این ذرات در حین تغییرشکل استحاله می‌یابند^(۳). این استحاله چقرمه کننده بازیزکونیم نه تنها برای سرامیک‌ها، بلکه برای فلزات مخصوصاً NiAl بین فلزی هم استفاده شده است. به عبارت دیگر، چقرمگی شکست NiAl تف جوشی شده به وسیله افزودن 20 ZrO_2 درصد حجمی^(۴) که $2\text{ Y}_2\text{O}_3$ دارد، از حدود 14 MN/m^2 به 22 MN/m^2 افزایش یافته است^(۴). تلاش‌های کنونی در مورد پیشرفت‌های مختلف NiAl متوجه بهبود فراورش برای بهینه‌سازی رفتار مکانیکی است. درک فیزیکی تغییرشکل تنها به سازوکارهای کنترل کننده محدود می‌شود و کار بسیار بیش تری را می‌طلبد.

۴-۴- سایر فازهای B2

گروه‌های بزرگی از ترکیب‌های بین فلزی را فازهای بین فلزی با ساختار B2 تشکیل می‌دهند. بازه‌ی وسیعی از تغییرات در ویژگی‌های مکانیکی، فیزیکی و شیمیایی در این گروه وجود دارد^(۵). دیگر آلمیناید‌های دارای ساختار B2، CoAl و FeAl می‌باشند. این فازها کاملاً مشابه با Al هستند زیرا در ساختار B2 عناصر Fe و Co می‌توانند به طور کامل جایگزین یکدیگر شوند. این مسئله برای بهبود مقاومت خزشی و استحکام در دمای بالا به کار گرفته شده است^(۶). هم‌چنین این فازها برای استفاده در دماهای بالا مورد توجه قرار گرفته‌اند^(۷). علاوه بر این آلمیناید‌ها، ساختار B2 در ترکیب‌های فلزات گروه VIII و IVA از قبیل NiTi ، CoTi و FeCo نیز ایجاد می‌شود. این فازهای B2 که اغلب از لحاظ کاربرد مورد توجه هستند، در بعضی‌های بعدی مختصرأ بررسی می‌شوند. البته به استثنای FeAl که

1- Kumar, 1991

2- Wiederhorn, 1984; Sigl et al., 1988; Ashby et al., 1989

3- Wiederhorn, 1984; Evans and Cannon, 1986; Ruhle and Evans, 1989

4- Barinov et al., 1992; Barinov and Evdokimov, 1993

5- Dwight, 1967

6- Jung et al., 1987; Sauthoff, 1991a

7- Vedula and Stephens, 1987a; Liu et al., 1990; Kumar and Whittenberger, 1992

موضوع بخش ۵-۳ است، CuZn (برنج بتا) نیز که یک فاز B2 کلاسیک محسوب می شود در بخش ۶ مطرح می گردد.

به تازگی، ترکیب های بین فلزی و فلزات گران قیمت از جنبه های استحکام، شکل بذیری و مقاومت به اکسایش مطالعه شده اند^(۱). ویژگی های برجسته ای برای فازهای AlRu و RuSc با ساختار B2 و با نقطه ذوب به ترتیب 2060°C و 2200°C یافت شده است. AlRu، استحکام بسیار بالا همراه با کار سختی و نرم شوندگی فشاری زیادی در دمای اتاق از خود نشان می دهد. اثرات عیوب ساختاری و محلول های سه تابی بر روی رفتار سخت گردانی AlRu به صورت مفصل مطالعه شده اند^(۲). رفتار شکست AlRu به صورت نظری از طریق شبیه سازی دینامیکی ملکولی مورد بررسی قرار گرفته است^(۳). مقاومت به اکسایش AlRu استفاده از AlRu بدون پوشش را تا دمای حدود 1250°C مجاز می سازد. البته، قیمت های بالای این قبیل ترکیب های بین فلزی اجازه ای استفاده از این فازها را به عنوان مواد سازه ای در آینده ای نزدیک نمی دهد^(۴). بدلیل رنگ طلایی آن در خور توجه است. این ویژگی، نوید بخش استفاده از آن در پر کننده های دندانی و جواهرات است^(۵). PdIn، از حیث رفتار تغییر شکل^(۶) و نفوذ^(۷) مطالعه شده است.

CoAl - ۱-۴-۴

CoAl، آلومیناید با ساختار B2، از لحاظ چگالی، رفتار انبساط حرارتی، دمای ذوب و نمودار فازی شاهت زیادی با NiAl دارد^(۸). ویژگی های ترمودینامیکی و عیوب نقطه ای آن به طور نظری و تجربی بررسی شده اند^(۹). ضریب یانگ CoAl، بیش تراز ضریب یانگ NiAl است و به صورت تابعی از دما برای CoAl چند بلوره با ترکیب استوکیومتری و همچنین انحراف های مختلف از استوکیومتری

1- Fleischer, 1992b; Fleischer and McKee, 1993

2- Fleischer, 1993a, b, d, f

3- Becquart et al., 1993

4- Fleischer, 1992b

5- Baker and George, 1992

6- Munroe et al., 1991

7- Koiwa, 1992; Wever, 1992

8- Westbrook, 1956; Whittenberger, 1985; Stephens, 1985; Massalski et al., 1990; Harmouche and Wolfenden, 1987

9- Bakker and Ommen, 1978; Chen and Dodd, 1986; Koch and Koenig, 1986; Chapter by Inden and Pitsch in Volume 5 of MST

تعیین شده است^(۱). نفوذ در CoAl آهسته‌تر و با انرژی فعال سازی بالاتر نسبت به NiAl است، و همانند مورد NiAl، انحراف از استویکیومتری نفوذ را افزایش می‌دهد^(۲).

سختی CoAl بیشتر از سختی Al و همراه با یک نقطه‌ی حداقل برای ترکیب استویکیومتری در دماهای کم‌تر از ۸۰۰°C است^(۳). به عبارت دیگر، در دماهای پایین‌تر انحراف از استویکیومتری، عیوب ساختار با تحرک پذیری محدود تولید می‌کند که همانند Al، NiAl، CoAl را تقویت می‌کنند. مشخصه‌های لغزش آن مشابه NiAl است^(۴). سخت‌گردانی CoAl از طریق عیوب ساختاری و حل شونده‌های سه تایی یعنی Mn، Re، Ti به صورت مفصل بررسی گردیده است^(۵).

در دماهای بالاتر از ۱۰۰۰°C، تنش سیلان و مقاومت خزشی بازهم بیشتر از NiAl است و در ترکیب استویکیومتری به حداکثر مقدار خود می‌رسند^(۶) زیرا، همانند حالت Ni، عیوب ساختاری که از طریق انحراف از استویکیومتری ایجاد می‌شوند، در دماهای بالاترک پذیرند و نفوذ، و در نتیجه خزش را افزایش می‌دهند. مقاومت خزشی بیشتر CoAl به تأثیرات اصطکاک شبکه که محدود کننده‌ی تحرک نابه جایی‌ها در CoAl می‌باشد، نسبت داده می‌شود^(۷). مقاومت خزشی CoAl با جایگزینی جزئی Co با Ni به طور قابل ملاحظه‌ای افزایش می‌یابد و آهن حتی بیشتر از Ni مقاومت خزشی را بالا می‌برد^(۸). استحکام بخشی بیشتر از طریق تقویت CoAl با ذرات TiB_x حاصل می‌شود^(۹).

استحکام بالای CoAl با شکل پذیری و چقرمگی کم آن مرتبط است. در حقیقت چقرمگی شکست Al از چقرمگی کم NiAl نیز پایین‌تر است^(۱۰). البته، مشخصه‌های شکست آن کاملاً شیوه NiAl است، به عبارت دیگر صفحه‌ی ترجیحی رخ برگی {۱۱۰} می‌باشد و چقرمگی شکست در جهت‌های درون صفحه‌ی رخ برگی کم‌ترین مقدار است. تفاوت‌های استحکام و تردی بین Al و NiAl راهنوز نمی‌توان با تفاوت‌های در استحکام و مشخصه‌ی پیوند، که از طریق محاسبات اصل نخستین

1- Harmouche and Wolfenden, 1985, 1986

2- Hagel, 1967

3- Westbrook, 1956

4- Bakker and Munroe, 1990

5- Fleischer, 1993c, d, e

6- Hocking et al., 1971; Whittenberger, 1985; Yaney and Nix, 1988

7- Yaney and Nix, 1988

8- Jung et al., 1987; Whittenberger, 1987; Sauthoff, 1991a

9- Mannan et al., 1990

10- K.-M. Chang et al., 1992

مکانیک کوانتمی مطالعه شده‌اند، مرتبط دانست^(۱).

به دلیل تردی زیاد CoAl و هم‌چنین این واقعیت که Co یک ماده‌ی استراتژیک است، درگذشته علی‌رغم استحکام غالب توجه CoAl در دمای بالا برای پیش‌برد مواد انتخاب نشده است^(۲). کار جدید بر روی مواد مرکب CoAl-TiB₂ به این استنباط انجامید که مواد مرکب بازیمه‌ی NiAl که تحمل آسیب بیش‌تری دارد، گزینه‌های بهتری برای کاربردهای خوشی هستند^(۳).

NiTi - ۴-۴-۴

فاز NiTi با ساختار B2 به مدت سی سال به صورت آلیاژ حافظه‌دار در اتصال دهنده‌ها، چفت و بست‌ها و راه اندازها در صنایع هوا-فضا و خودرو، الکترونیک، مهندسی مکانیک و کاربردهای پزشکی مورد استفاده قرار گرفته است^(۴). NiTi در ۱۳۱۰°C به طور متجانس ذوب می‌شود و از گستره‌ی همگنی وسیعی برخوردار است^(۵).

NiTi به صورت مارتزیتی از فاز مادر با ساختار B2 به فاز مارتزیتی مونوکلینیک همراه با یک فاز میانی لوزی القاعده (اورتورومیک) (R) استحاله می‌یابد و در نتیجه پدیده‌ی حافظه‌ی شکل برگشت‌پذیر (با بهترین رفتار حافظه‌ی شکل در بین همه‌ی آلیاژهای حافظه‌دار) و کشناسانی مجازی حاصل می‌گردد^(۶). مشخصه‌های این قبیل آلیاژهای حافظه‌دار به طور مفصل از جنبه‌های کریستالوگرافی ریز ساختار، ترمودینامیک، سینتیک و رفتار مکانیکی ماکروسکوپی مورد بحث قرار گرفته و کاربردهای آن‌ها تشریح شده‌اند^(۷). کریستالوگرافی استحاله‌ی مارتزیتی به تفصیل تحلیل گردیده است^(۸).

رفتار حافظه‌ی شکل NiTi با عملیات ترمومکانیکی قبلی بهبود می‌یابد و بافت‌ها و ریز

1- Schultz and Davenport, 1992

2- Vedula and Stephens, 1987a

3- Mannan et al., 1990

4- Schmidt-Mende and Block, 1989; Stöckel, 1989; Thier, 1989; Hodgson, 1990; Stoeckel, 1990

5- Massalski et al., 1990

6- Hwang et al., 1983; Hwang and Wayman, 1983; Nishida and Honma, 1984; Van Humbeek and Delaey, 1989

7- Delaey et al., 1974; Krishnan et al., 1974; Warlimont et al., 1974; Ahlers, 1986; Van Humbeek and Delaey, 1989; Hornbogen, 1991

8- Shimizu and Tadaki, 1992

ساختارهای سودمندی ایجاد می‌کند^(۱). دمای استحاله برای ترکیب استویکیومتری NiTi حدوداً ۱۱۰°C است که با افزایش Ni کاهش می‌یابد^(۲). هم‌چنین، دمای استحاله با آلیاژ کردن با Fe و Cr کم‌تر می‌شود در حالی که Cu، پس‌ماند دمای استحاله را کاهش می‌دهد. به تازگی پس‌ماند دمای استحاله‌ی گسترده‌ای برای آلیاژهای NiTi-Nb پیدا شده است که از جنبه‌ی استفاده در اتصالات و درزیندی جالب توجه است^(۳). دمای استحاله با جانشینی جزئی Ni با Pd تا ۵۰°C افزایش می‌یابد، که البته شکل پذیری را تحت تأثیر قرار می‌دهد^(۴).

تغییر شکل کش‌سان و موسمان از جمله دو قلوشدن مکانیکی آلیاژهای NiTi عمیقاً مطالعه شده است^(۵). مسئله‌ی درخور توجه، شکل پذیری بالای NiTi است که تا ۷۰ درصد تغییر شکل را ممکن می‌سازد^(۶). به علاوه، استحکام تسلیم NiTi به طور نامتعارف به دما وابسته است. به عبارت بهتر، استحکام تسلیم با بالارفتن دما تا یک مقدار حداکثر، افزایش می‌یابد و تنها بالاتر از این قله است که نرم شوندگی معمول رخ می‌دهد^(۷). این تأثیر نامتعارف استحکام، در دیگر فازهای کاملاً مشابه B2 یعنی CoHf، CoZr، CoTi و FeAl این‌گونه نیستند. به عبارت دیگر، بدیهی است که تبدیل از رفتار معمولی به رفتار نامتعارف با تعداد بحرانی الکترون ظرفیت بر اتم مرتبط است^(۸). مشخصه‌های عمومی رفتار مکانیکی این قبیل آلیاژهای حافظه دار و واکنش متقابل تغییر شکل و استحاله‌ی فازی به طور مفصل مورد بحث قرار گرفته‌اند و ترمودینامیک و سینتیک فرایندهای درگیر مطرح شده‌اند^(۹).

فراورش آلیاژهای NiTi دشوار بوده و باید با دقت انجام گیرد تا خواص مفید حاصل گردد^(۱۰). ذوب، به خاطر واکنش پذیری Ti باید در خلاء یا محیط خنثی صورت پذیرد. از این رو ذوب القابی در خلاء، ذوب قوس پلاسما و ذوب با پرتوالکترونی همه به صورت تجاری مورد استفاده قرار می‌گیرند.

1- Van Humbeek and Delaey, 1989; Lin and Wu, 1992; Mulder et al., 1993

2- Hodgson, 1990

3- Piao et al., 1992a, b

4- Yang and Mikkola, 1993

5- Saburi et al., 1984; Matsumoto and Ishiguro, 1989; Goo et al., 1985

6- Van Humbeek and Delaey, 1989

7- Takasugi et al., 1991a

8- Takasugi et al., 1991b

9- Delaey et al., 1974; Krishnan et al., 1974; Warlimont et al., 1974; Hornbogen 1991

10- Van Humbeek and Delaey, 1989; Hodgson, 1990

کارگرم بدون هیچ مشکلی امکان پذیر است. به دلیل کار سختی زیاد، فراورش در دماهای کم دشوار است، از این رو عملیات تاب کاری میانی برای نورد سرد، ماشین کاری وغیره لازم می شود. مشکل شکل پذیری آلیاژهای $(\text{Ni}, \text{Pd})\text{Ti}$ که دمای استحاله‌ی آنها بالاست، از طریق آلیاژ کردن با B تخفیف می‌یابد^(۱). اتصال از طریق جوش کاری، زرد جوش کاری یا لحیم کاری، عموماً دشوار است. رفتار حافظه‌ی شکل عالی آن با مقاومت به خوردگی عالی (قابل قیاس با فولادهای زنگ نزن) توأم می‌گردد که باعث می‌شود تا این آلیاژها تنها آلیاژهای حافظه دار مناسب برای قرار گرفتن در بدن باشند^(۲). اخیراً، NiTi به عنوان فاز استحکام بخش در مواد مرکب با زمینه‌ی آلومینیم استفاده شده است که در نتیجه‌ی آن، اثر تقویت کنندگی افزون بر پدیده‌ی حافظه‌ی شکل رخ می‌دهد^(۳).

CoHf , CoZr , CoTi , FeTi - ۴-۴

با ساختار $\text{B}2$ ، یکی از امید بخش ترین فازهای بین فلزی در استفاده به صورت ماده‌ی نگهدارنده‌ی هیدروژن و کاربردهای مربوطه محسوب می‌شود^(۴). هیدروژن محلول، با تشکیل زیر ساختاری که در آن ساختار $\text{B}2$ به لوزی تبدیل می‌شود، منظم می‌گردد. به عبارت بهتر هیدرید پایداری به صورت برگشت پذیر تشکیل می‌شود^(۵). با Ti اضافی آسان‌تر از FeTi استوکیومتری هیدروژن می‌شود. زیرا، Ti جذب و دفع سطحی هیدروژن را به صورت کاتالیزوری فعال می‌کند^(۶). فازهای ثانویه، از جمله اکسیژن زمان تأثیر لازم برای هیدروژن شدن را کم می‌کنند^(۷)، این در حالی است که در دمای اتاق اکسیژن ممکن است سطح FeTi را می‌نماید^(۸). ساختار الکترونی به صورت نظری مطالعه گردیده است. CoTi نیز از فازهای مورد علاقه برای استفاده به عنوان ماده‌ی نگهدارنده‌ی هیدروژن^(۹) محسوب می‌شود. هم‌چنین فازهای سه تایی $(\text{Fe}, \text{Co})\text{Ti}$ ^(۱۰) و $(\text{Fe}, \text{Ni})\text{Ti}$ ^(۱۱) که ویژگی

1- Yang and Mikkola, 1993

2- Van Humbeek and Delaey, 1989

3- Furuya et al., 1993; Yamada et al., 1993

4- Reilly, 1979; Nathrath, 1986; Lynch, 1991

5- Somenkov and Shilstein, 1979; Reilly, 1979

6- Sicking and Jungblut, 1983; Amano et al., 1984

7- Nagai et al., 1987; Amano et al., 1983

8- Schlapbach et al., 1979

9- Izumi, 1989

10- Boulghallat and Gerard, 1991

11- Bershadsky et al., 1991

نگهدارندگی سودمندتری نسبت به دوتایی‌های نشان می‌دهند، از جمله‌ی این مواد هستند. رفتار تغییر شکل موم سان CoTi به طور مفصل مطالعه شده است زیرا فازهای CoTi , CoZr و CoHf با ساختارهای $\text{B}2$ پدیده‌ی وابستگی نامتعارف تنفس تسلیم به دما را از خود نشان می‌دهند که در NiTi (اما نه در FeTi و نه در آلمونیایدهای NiAl) نیز مشاهده می‌شود^(۱). لغزش همانند NiAl در دماهای پایین و میانه از طریق نابه‌جایی‌های $<100>$ رخ می‌دهد، در حالی که در دماهای بالاتر از دمای بیشترین استحکام، فعالیت نابه‌جایی‌های $<111>$ نیز مشاهده شده است^(۲). ضربه‌های کشسانی اندازه‌گیری شده‌اند^(۳). تبدیل از وابستگی نامتعارف استحکام تسلیم به دما در CoTi , CoZr , NiTi و ZrHf به وابستگی متعارف استحکام تسلیم به دما در FeTi و آلمونیایدهای NiAl , CoAl و Ti به تغییر در عدد الکترون‌های ظرفیت برآتم و به عبارت بهتر به تغییرات در پیوند اتمی مربوط می‌شود، اما تا کنون فهم کامل و روشنی از موضوع به دست نیامده است^(۴). توجه می‌شود که آلیاژ کردن CoSi با CoTi به تشکیل ترکیب نوع هیوسنر Co_2TiSi با ساختار $\text{L}2_1$ که شدیداً فرومغناطیسی و با دمای کوری^(۵) بسیار بالاتر از دمای اتناق است، می‌انجامد؛ اگرچه هم CoSi و هم CoTi غیرمغناطیسی هستند (بخش ۴-۵ را نیز ملاحظه کنید).

FeCo - ۴-۴-۴

FeCo (خصوصاً با ۲ درصد وانادیوم اضافی) به صورت ماده‌ی مغناطیس نرم با القای اشباعی زیاد مثلاً به صورت نوک قطب الکترومغناطیس استفاده‌ی گسترده‌ای پیدا کرده است. آلیاژهای وابسته به آن با نام آلیاژهای پرمندور^(۶) شناخته می‌شوند^(۷). این آلیاژها نیز ضربه‌کشسانی مغناطیسی (مغناطوتنگش) بالا و مثبت از خود نشان می‌دهند که این خاصیت، آن‌ها را برای استفاده در مبدل‌های ردیاب صوتی (ترانسدوسر) و تجهیزات تنظیم مکان بسیار دقیق، مفید ساخته است.

فاز FeCo با ساختار $\text{B}2$ تنها در دماهای زیر 730°C پایدار است و در گستره‌ی وسیعی همگن

1- Nakamura and Sakka, 1988; Takasugi and Izumi, 1988; Takasugi et al., 1990c, 1991a, e; Yoo et al., 1990; Yoshida and Takasugi, 1991b

2- Takasugi et al., 1992b

3- Yasuda et al., 1991b

4- Yoo et al., 1990; Takasugi et al., 1991e, 1992b

5- Curie

6 - Permendur

7- Chen, 1961; Kouvel, 1967; Dietrich, 1990

است^(۱). در 730°C یک استحاله‌ی نظم - بی نظمی با تغییر $1/2$ درصد در حجم از $\text{B}2$ به $\text{A}2$ (bcc) وجود دارد. تغییر مجدد ساختار از $\text{A}2$ به $\text{A}1$ (fcc) در دمای حدود 985°C رخ می‌دهد^(۲). واکنش منظم شدن، بسته به دما به صورت همگن یا غیر همگن آغاز می‌شود^(۳). فرایند منظم شدن به تفصیل مطالعه Fe-Co-Al گردیده است و ترمودینامیک نمودار فازی دوتایی Fe-Co ، وهم چنین نمودار فازی سه تایی Al - Fe - Co از طریق محاسبات شبیه سازی، تحلیل شده است^(۴). سیستیک منظم شدن از طریق افزودنی‌های آلیاژساز تحت تأثیر قرار می‌گیرد و به ویژه آلیاژ کردن با 2% درصد اتمی وانادیم سرعت منظم شدن را به طور قابل ملاحظه‌ای کاهش می‌دهد که امکان نگهداشتن ساختار نامنظم دمای بالا را از طریق سرد کردن سریع تا دماهای پایین فراهم می‌سازد. باید توجه داشت که افزایش بیشتر از 2% درصد V (همان‌گونه که نمودار فازی Fe-Co-V نشان می‌دهد) منجر به تجزیه‌ی آلیاژ می‌گردد^(۵). تأثیر باز هم بیشتر بر سیستیک منظم شدن از طریق آلیاژ کردن با Cr ، ایجاد می‌شود^(۶). زیر دمای بحرانی منظم شدن، درجه‌ی نظم دوربرد در تعادل به طور پیوسته از صفر در 730°C تا 50°C و تاریخی به ۱ (معادل نظم کامل) به صورت مجانبی در دماهای پایین افزایش می‌یابد^(۷).

رفتار مکانیکی FeCo به طور گسترده مطالعه شده است زیرا استحاله‌ی نظم - بی نظمی اجزا هی مطالعه‌ی مستقیم تأثیرات منظم شدن را بر روی ویژگی‌های مکانیکی از جمله خرش، خستگی و شکست فراهم می‌کند^(۸). در دمای اتاق و در حالت نامنظم یعنی پس از سرد کردن سریع از بالاتر از دمای منظم شدن، شکل پذیر است (با 15% درصد از دیاباد طول یکنواخت و سپس تشکیل گردن). در حالی که در حالت منظم، یعنی پس از تابکاری در پایین تر از دمای منظم شدن، فقط مقدار کمی شکل پذیری (5% درصد از دیاباد طول و بدون تشکیل گردن) از خود نشان می‌دهد^(۹). بنابراین نورد سرد در

1- Massalski et al., 1990

2- Buckley, 1975

3- Cahn, 1993

4- Rajkovic and Buckley, 1981; MST در کتاب Inden and Pitsch

5- Mahajan et al., 1974; Raynor and Rivlin, 1983

6- Alekseyev et al., 1977

7- Stoloff and Davies, 1964

8- Stoloff and Davies, 1964; Boettner et al., 1966; Jordan and Stoloff, 1969; Marcinkowski, 1974b; Pitt and Rawlings, 1983; Kawahara, 1983a, c; Delobelle and Oytana, 1983; Müller 1986; Stoloff et al., 1992; Zhao et al., 1993

9- Stoloff and Davies, 1964

حال منظم دشوار است^(۱). به علاوه FeCo در دمای اتاق در معرض تردی هیدروژنی قرار دارد^(۲). تغییر شکل موم سان در دمای اتاق از طریق حرکت نابه جایی‌های آبرشبکه‌ی <۱۱۱> که زوج نابه جایی‌های آبرجذبی هستند، رخ می‌دهد^(۳). تش سیلان، با کاهش درجه‌ی نظم افزایش می‌یابد. به عبارت دیگر، با بالا رفتن دما در تقریباً ۷۰۰°C به بیش ترین مقدار خود می‌رسد که دقیقاً زیر دمای منظم شدن (جایی که FeCo فقط به طور جزبی منظم می‌شود) واقع است^(۴). این رفتار از جدا شدن آبر جزبی‌های نابه جایی‌های آبرشبکه ناشی می‌شود. زیرا نیروی جفت‌کنندگی با افزایش بی‌نظمی کاسته می‌شود. بالاتر از حد اکثر دمای تش سیلان، نرم شوندگی معمول مشاهده می‌شود که ناشی از فعال شدن حرارتی است. به عبارت دیگر، FeCo، همانند دیگر بین فلزات، وابستگی نامتعارف و مثبت تش سیلان به دما رانشان می‌دهد که البته به مانند Al-Ni به سازوکارهای ویژه‌ی نابه جایی مربوط نمی‌شود، اما با نظم اتمی ناقص یا به عبارت بهتر، ساختار مرتبط است.

FeCo-۲V^(۵) منظم، در همه‌ی دمایها تغییر شکل همگن‌تر و آهنگ سخت شدن کرنشی بالاتری نسبت به FeCo-۲V^(۶) نامنظم از خودنشان می‌دهد^(۵). وابستگی تش تسلیم و تش شکست به اندازه‌ی دانه از طریق رابطه‌ی معمول هال-پچ توصیف می‌شود. مقاومت خزشی از طریق منظم شدن و با تنها تأثیر اندکی از محیط بهبود می‌یابد^(۶). شکل پذیری کم با افزودن Ni (به عنوان عنصر چهارم) که زیر ساختار را تغییر می‌دهد افزایش می‌یابد و بالابردن باز هم بیش تر نرمی از طریق عملیات حرارتی شیمیایی حاصل می‌گردد که منجر به وابستگی شکل پذیری از نوع هال-پچ به اندازه‌ی دانه یا اندازه‌ی دانه‌ی فرعی می‌شود^(۷). حتی نورد سرد نیز می‌تواند تردی را کاهش دهد^(۸). دمای تبدیل تردی به شکل پذیری را در حالت منظم می‌توان به میزان قابل توجهی با انحراف از استویکیومتری که دمای بحرانی منظم شدن را کم، و بی‌نظمی شکل ایجاد می‌کنند، کاهش داد^(۹). اثرات مثبتی بر روی کارپذیری سرد (علاوه بر آلیاژ کردن با V با Cr که هر دو سیستمیک‌های نظم دادن را آهسته می‌کنند) از طریق آلیاژ کردن با

1- Müller, 1986

2- Liu and Stoloff, 1993

3- Baker and Munroe, 1990; Yamaguchi and Umakoshi, 1990

4- Stoloff and Davies, 1964

5- Jordan and Stoloff, 1969

6- Boettner et al., 1966; Stoloff et al., 1992

7- Pinnel et al., 1976; Pitt and Rawlings, 1983

8- Kawahara, 1983c

9- Konoplev and Sarrak, 1982

Si و Al، B، Au، Ag، Cu، Mn، Zr، Ti، Be و C ایجاد شده‌اند، در صورتی که W، Mo، Ta، Nb بی تأثیرند^(۱). فهم فیزیکی چنین پدیده‌هایی هنوز باید روشن تر شود. سرانجام، باید توجه کرد که آلیاژ کردن Fe و Co با فلزات گران‌بها به فازهای FePt و CoPt باساختار L1₂ که یک ساختار منظم با واپیچش مکعب مستطیلی است، می‌انجامد (شکل ۱). این فازها جزء مواد مهم برای استفاده به عنوان مواد مغناطیس دائمی بوده‌اند و خصوصاً CoPt که تنها در حالت با نظم جزئی استفاده می‌شود، به دلیل همسان‌گردی، شکل پذیری و قابلیت ماشین کاری آسان و مقاومت به خوردگی و مقاومت در دماهای بالا برقیه برتری دارد^(۲). البته، در حال حاضر مغناطیس‌های آلیاژی CoPt به ندرت استفاده می‌شوند زیرا مغناطیس‌های خاکی نادر با ویژگی‌های مغناطیسی بهتر با جایگزین این آلیاژ‌ها شده‌اند.

۴-۵- فازهای نوع هیوسلر

آلیاژ‌های کلاسیک نوع هیوسلر، Cu₃SnMn و Cu₃AlMn هستند^(۳) که در بخش ۶ مطرح خواهد شد. شاخصه‌ی منحصر به فرد آن‌ها، فرومغناطیس بودن‌شان است، زیرا عناصر تشکیل دهنده‌ی آن‌ها فرومغناطیس نیستند. این فازها با ساختار L2₁ متلبور می‌شوند که از ساختار B2 مشتق شده است (شکل ۱) و در مجموعه‌ی دیگری از فازهای سه تایی نیز وجود دارد^(۴).

نمونه‌های بارز این نوع فازها عبارتند از: Ni₃AlX و Co₃X که X یکی از عناصر Ti، Zr، Hf، Ta یا Nb است. این عناصر از فازهای مورد علاقه برای کاربرد در دماهای بالا هستند. برخی از آن‌ها از هیچ تغییر شکل در دمای بالا مورد مطالعه قرار گرفته‌اند^(۵). به طور خاص Ni₃AlTi برای تقویت NiAl به کار رفته است (بخش ۴-۳-۶ تحت عنوان آلیاژ‌های سازه‌ای را ملاحظه کنید). ماده‌ی دو فازی Ni₃AlTi-NiAl مقاومت خزشی بیشتر از تک فاز NiAl و حتی Ni₃AlTi از خود نشان می‌دهد و مقاومت خزشی آن به ابزار آلیاژ‌های پایه‌ی نیکل با استحکام بالا می‌رسد^(۶). استحکام زیاد با تردی همراه

1- Kawahara, 1983a, b

2- Jellinghaus, 1936; Kouvel, 1967; Chin and Wernick, 1986; Fiepke, 1990; Leroux et al., 1991; Watabe, 1991

3- Dwight, 1967; Kouvel, 1967

4- Dwight, 1967

5- Strutt et al., 1976; Umakoshi et al., 1985, 1986; Sauthoff, 1989; Takeyama et al., 1991

6- Polvani et al., 1976

است که در نتیجه توسعه‌ی این دسته مواد را تا امروز به تعویق انداخته است. تنها اخیراً $\text{Ni}_x\text{AlTa-NiAl}$ به دلیل شکل پذیری بهبود یافته‌اش به عنوان یک سیستم نوید بخش معرفی شده است^(۱).

۴- فازهای مولیبدن - نیکل

فازهای بین‌فلزی مختلفی در سیستم دوتایی Ni-Mo تشکیل می‌شوند^(۲). پرنیکل ترین فاز یعنی Ni_xMo ، ساختار بلوری مکعب مستطیلی مرکز پر، $D1_2$ دارد و فقط تا 880°C که به صورت پریتکنیکی تجزیه می‌شود، پایدار است. توزیع منظم اتمی به طرق مختلف در این ساختار امکان پذیر است که باعث وجود آمدن ساختار منطقه‌ای با انواع گوناگون سطح مشترک‌های منطقه‌ای می‌شود. لوزی Ni_xMo القاعده است و تا 410°C پایدار می‌باشد. البته، این فاز را می‌توان با ساختار مکعب مستطیلی نیمه پایدار D_{22} ساخت که برای تری آلمیناید Al_xTi و فازهای مربوطه، ساختار رابع محسوب می‌شود (بخش ۳-۳ را ملاحظه کنید). فاز لوزی القاعده دیگری است و در 1362°C به صورت پریتکنیکی تجزیه می‌شود. سرانجام، فاز لوزی القاعده نیمه پایدار Ni_xMo وجود دارد که به صورت یک فاز میانی در حین نظم‌دهی تشکیل می‌شود.

این فازها به لحاظ آلیاژ‌سازی جهت تولید آلیاژ‌های پایه‌ی نیکل مورد علاقه‌ی عمومی هستند زیرا Mo عنصر آلیاژ‌کننده‌ی مهمی برای ابزاری‌آلیاژ‌ها است. نمودارهای فاز چندتایی مشابه به طور تجربی و نظری^(۳)، به ویژه از جنبه‌ی تعادل با آلمیناید Al_xNi که پایه‌ای از آلمیناید‌های پیشرفته را تشکیل می‌دهد (بخش ۱-۴)، مطالعه گردیده‌اند.

علاقه‌ی خاصی متوجه زیرا آلیاژ‌های Ni-Mo است زیرا آلیاژ‌های Ni-Mo با تقریباً همین ترکیب (20% درصد اتمی Mo) و به اضافه‌ی عناصر دیگر (به ویژه Fe و Cr و C) از آغاز دهه‌ی ۱۹۳۰ میلادی به دلیل مقاومت به خوردگی عالی‌شان در محیط‌های غیر اکسید کننده و استحکام زیاد در ماهای بالا (مثلاً فازهای هاستلوی B ^(۴)) از اهمیت صنعتی برخوردار بوده‌اند^(۵). در این آلیاژ‌ها Ni_xMo ی منظم ممکن است با سردکردن آهسته از دماهای بالاتر از 900°C که در آن‌ها محلول جامد fcc پایدار است و یا با پیرسازی در $850^\circ\text{C}-500^\circ\text{C}$ ساخته شود.

1- Pak et al., 1988

2- Brooks et al., 1984

3- Brooks et al., 1984; Chkravorty and West, 1986; Kodentzov et al., 1988; Enomoto et al., 1991

4 - Hastelloy B

5- Brooks et al., 1984

تشکیل Ni_xMo در آلیاژ های Ni-Mo، هم به ترد شدن و هم به سخت شدن (در کشش) همراه با شکست در طول مزدانه ها می انجامد. این قبیل آلیاژ های ترد شده را در فشار نیز می توان به طور مومسان تغییر شکل داد و به علاوه، Mo منظم شده تک بلوری، حتی در کشش شکل پذیری قابل توجهی از خود نشان می دهد^(۱). ویژگی های فیزیکی Ni_xMo منظم شده مشخص شده اند و رفتار تغییر شکل آن به طور مفصل مطالعه گردیده است^(۲). خواص مکانیکی تابع حساسی از ساختار هستند. تشکیل دیز ساختار از طریق سینتیک های تجزیه شدن و واکنش های منظم شدن در حین سرد شدن و پیرسازی این آلیاژ های Ni-Mo کنترل می شود^(۳). شکل پذیری کمتر Ni_xMo ای منظم هیبو استویکیومتری را می توان با کم آلیاژ کردن با بُرُن، بهبود داد، این در حالی است که بُرُن صرفاً اثر کمی بر روی ترکیب استویکیومتری دارد^(۴).

1- Brooks et al., 1984; Kao et al., 1989

2- Brooks et al., 1984

3- Brooks and Cao, 1992; Cahn, 1992

4- Tawaney, 1991

فصل ۵

آلومیناید های آهن و فاز های مربوطه

در این فصل چشم اندازی از فاز های Fe-Al با استفاده از نمودار فاز دوتایی Fe-Al نشان داده می شود^(۱). فاز های پر Al بانقطاط ذوب در حدود ۱۱۵۰°C از فاز های موردنظر علاقه در آلیاژ های Al مستند که در اینجا مطرح نمی شوند. فاز های باقی مانده FeAl و Fe₃Al و فاز های مرتبط، به دلیل ویژگی های شیمیابی، مکانیکی و فیزیکی جالب توجه شان برای توسعه‌ی بیشتر انتخاب شده‌اند. این فازها موضوع بخش های بعدی هستند.

Fe₃Al - ۱-۵

در هنگام خنک کاری و از طریق واکنش های نظم دهی در حالت جامد که ساختار bcc به محلول جامد نامنظم استحاله می‌پاید، تشکیل می‌شود و تا بالاتر از ۸۰۰°C پایدار است. سپس به فاز FeAl با ساختار B2 که بین ۸۰۰°C و ۵۵۰°C پایدار است (وموضع بخش ۳-۵ می‌باشد) و از آن پس به Fe₃Al با ساختار D₀ تبدیل می‌شود (شکل ۱). دمای بحرانی نظم دهی بسیار کم تر از دمای ذوب است^(۲) که نشان گر پیوند ضعیف‌تر بین اتم های نامتشابه در مقایسه با مثلاً آلومیناید های نیکل است. فرایند نظم دادن و سیستیک هایش هم به صورت تجربی و هم نظری به منظور تعیین حوزه‌ی حضور و تعادل های Fe₃Al در نمودار فاز Fe-Al به طور مفصل مورد مطالعه قرار گرفته‌اند^(۳). اخیراً، فاز ناپایدار

1- Masalski et al., 1990

2- Massalski et al., 1990

3- Köster and Godecke, 1980; Gödecke and Köster, 1985; Wachtel and Bahle, 1987; Inden and Pepperhoff, 1990; Vennegues et al., 1990; Maziasz et al., 1993; Chapter by Inden and Pitsch in Volume 5 of MST

B32 در حین نظم دادن مشاهده شده است^(۱). در طرف پر Fe، تعادل دو فازی بین Fe_xAl و محلول جامد با ساختار bcc وجود دارد که نظم کوتاه برد از خود نشان می‌دهد. در طرف پر Al یک استحاله‌ی نظم ثانویه از Fe_xAl با ساختار D₀ به FeAl با ساختار B2 بدون تعادل دو فازی وجود دارد. به تازگی نمودار فازی با استحاله‌ی B2/ D_0 که عموماً مورد پذیرش است، براساس نتایج پراکنش نوترونی زیر سؤال قرار گرفته است^(۲) که البته چندان هم بی‌ابهام نیست^(۳). دمای بحرانی نظم دادن را که در حالت دوتایی تقریباً ۵۵۰°C است^(۴)، می‌توان با آلبازکردن با یک عنصر سوم، خصوصاً Cr، Mn، Mo یا Ti یا Si تا ۲۵۰°C بالاتر برد^(۵).

جای خالی‌های حرارتی به دلیل انتالپی تشکیل کم به راحتی ایجاد می‌شوند. انتالپی تشکیل آن‌ها حتی از انتالپی مهاجرت نیز کمتر است و نتیجتاً چگالی بالایی از جای خالی تعادلی، در مقایسه با Al_xNi و فلزات خالص وجود دارد^(۶). انرژی فعال سازی حاصل از نفوذ که از طریق مطالعه‌ی سینیک‌های نظم دهنی تعیین شده است، شدیداً با درصد Al تغییر می‌کند^(۷). به تازگی ضربه‌های نفوذ برای B، Ni، V و در Al_xFe با ساختار B2 یا D_0 تعیین گردیده‌اند^(۸).

قابلیت نفوذ پذیری مغناطیسی فوق العاده بالایی از خود نشان می‌دهد که آن را برای استفاده به عنوان ماده‌ی مغناطیسی سودمند می‌کند^(۹). رفتار مغناطیسی رامی‌توان با جایگزینی جزئی Al با Si که ساختار بلوری را تغییر می‌دهد، باز هم بهبود بخشد. این مسئله موجب ظهور آلیاژ‌های سنداست گردید که بر مبنای (Al_xSi)Fe_y پایه‌گذاری شده‌اند و کاربرد گسترده‌ای به عنوان ماده‌ی هد مغناطیسی در ضبط صوت‌ها پیدا کرده‌اند^(۱۰).

علاوه بر این استفاده به صورت ماده‌ی کاربردی، هم اکنون Fe_xAl برای کاربردهای سازه‌ای

1- Gao and Fultz, 1993

2- Hilfrich et al., 1991

3- Inden, 1993

4- Massalski et al., 1990.

5- Mendiratta and Lipsitt, 1985; Fortnum and Mikkola, 1987; Longworth and Mikkola, 1987; Prakash et al., 1993

6- Schefer et al., 1990, 1992

7- Vennegues et al., 1990

8- Hasaka et al., 1993a, b

9- Nachman and Buchler, 1954

10- Yamamoto and Utsushikawa, 1977; Yamamoto, 1980; Watanabe et al., 1984; Brock, 1986

مورد توجه قرار گرفته است زیرا نه تنها استحکام بالاتری نسبت به آلیاژهای آهنی مشابه از خود نشان می‌دهد، بلکه مقاومت به خوردگی بالایی در محیط‌های سولفیدکننده و اکسیدکننده دارد^(۱). مشکلات مربوط به استفاده از این مواد، شکل پذیری کم در دمای محیط و افت استحکام در دمای بالاتر از دمای نظم دهنده است.

رفتار تغییر شکل، از جمله دوقلوشدن $Fe_{\beta}Al$ و تأثیر نظم اتمی بر استحکام و شکل پذیری به تفصیل مطالعه شده‌اند^(۲). شکل پذیری به طور حساسی به فراورش قبلی بستگی دارد^(۳) و ممکن است تغییر شکل مومسان، درجه‌ی نظم دور برد را کاهش دهد^(۴). یک ساختار ویژه، وابستگی نامتعارف نتش تسلیم به دماست که به دلیل بی نظمی جزئی در زیر دمای نظم دادن به آهستگی به یک مقدار بیشینه می‌رسد. گمان می‌رود که این رفتار (همانند $FeCo$ که در بخش ۴-۴ مطرح شده است) ناشی از کاهش یافتن نظم باشد. البته نتایج جدید نشان داده‌اند که نتش تسلیم نامتعارف نتیجه‌ای از وابستگی پیچیده‌ی تحرک نابهنجایی‌ها به دما است^(۵). انرژی‌های خطی نابهنجایی و کشنش‌های خطی هم‌چین ضریب‌های کشسانی، هم برای $Fe_{\beta}Al$ و هم $Fe_{\beta}(Al, Si)$ تعیین شده‌اند^(۶). تغییر شکل مومسان $Fe_{\beta}Al$ تحت شرایط خاص موجب به وجود آمدن پدیده‌ی حافظه‌ی شکل و کشسانی مجازی شده است^(۷). $Fe_{\beta}Al$ به منظور بهبود شکل پذیری، به صورت موقت آمیزی با Cr و Ni آلیاژ‌سازی شده است^(۸). ترکیب‌های مناسبی از استحکام و شکل پذیری از طریق عملیات حرارتی - مکانیکی که منجر به تشکیل مقدار زیادی فاز $B2$ شده، به دست آمده است^(۹). اگر افزودنی‌های آلیاژ‌ساز از حدود حلالیت بیشتر باشند، رسوب فازهای ثانویه (مثلًا فاز نوع هیوسلر با ساختار مکعبی $L2$ یا فاز لاهه با ساختار $C14$ منشوری) رخ می‌دهد که می‌تواند برای بهبود استحکام $Fe_{\beta}Al$ به کار روند^(۱۰). آلیاژهای

1- McKamey et al., 1991

2- Marcinkowski and Brown, 1961; Stoloff and Davies, 1964, 1966; Morgand et al., 1968; Leamy and Kayser, 1969; Marcinkowski, 1974a; Hanada et al., 1981a, b; Park et al., 1991; Ehlers and Mendiratta, 1984; Schröer et al., 1991; Shindo et al., 1991

3- McKamey and Pierce, 1993

4- Dadras and Morris, 1993

5- Schröer et al., 1993

6- Kötter et al., 1989

7- Kubin et al., 1982; Nosova et al., 1986

8- Horton et al., 1984; Morris et al., 1993a

9- Sun et al., 1993

10- Dimiduk et al., 1988; Ranganath et al., 1991; Maziasz and McKamey, 1992

Fe-Al-Ni مربوطه دقیقاً مشابه آلیاژهای Ni-Fe-Al با پایه‌ی NiAl (که در بخش ۳-۶ تحت عنوان آلیاژهای سازه‌ای مطرح شده‌اند) هستند و موجب ظهور مواد مشابه گردیده‌اند.

با توجه به کاربردهای سازه‌ای، Fe_xAl به همراه آلیاژهای با پایه‌ی Fe_xAl و مواد مرکب^(۱)، از حیث خوش^(۲)، خستگی^(۳)، شکست^(۴) و مقاومت به خوردگی مورد مطالعه قرار گرفته است. شکل پذیری Fe_xAl تابع بسیار حساسی از محیط است. به عبارت بهتر، Fe_xAl در معرض تردی محیطی که از حضور رطوبت در محیط اطراف ناشی می‌شود، قرار می‌گیرد^(۵). حتی فشارهای جزیی بسیار کم بخار آب برای ایجاد تردی کافی هستند^(۶). این پدیده‌های ترد کننده تنها در آلیاژهای با درصدهای کم آلومینیم که هیچ‌گونه نظم دهی دوربرد ساختار D در آن‌ها رخ نمی‌دهد، حضور ندارند^(۷). علی‌رغم نقص‌های اشاره شده در مورد Fe_xAl، این آلومیناید آهن جزء پرطرفدارترین فازهای صنعتی است و ظهور آلیاژهای مختلف که بر بهینه سازی ترکیب و عملیات‌های حرارتی - مکانیکی برای بهبود رفتار مکانیکی تکیه دارند، آغاز گردیده است^(۸). اخیراً یک ماده‌ی مرکب با زمینه‌ی Fe_xAl و تقویت کننده‌ی ذرات پراکنده‌ی Al_xO₃ با استحکام و مقاومت به اکسایش خوب و شکل پذیری کافی تولید شده است^(۹).

در زمینه‌ی فراورش، هم متالورژی پودر و هم متالورژی شمش (از جمله، ذوب قوسی، ذوب مجدد قوس در خلاء، ذوب القایی در هوای خلاء و ذوب مجدد سرباره) مورد مطالعه قرار گرفته‌اند^(۱۰). این پیشرفت‌ها، استفاده در دستگاه‌های اگرزوخودرو و المنت‌های گرماده مقاومتی را هدف قرار داده‌اند و در مرز تجاری شدن هستند. کاربردهای بالقوه‌ی دیگر عبارتند از: صفحه‌های توربین بخار و

1- Cathcart, 1985; DeVan, 1989; Tortorelli and DeVan, 1992; Nourbakhsh et al., 1993.

2- Lawley et al., 1960; Davies, 1963a; Prakash et al., 1991b

3- Fuchs and Stoloff, 1988; Prakash et al., 1991b; Castagna and Stoloff, 1992; Stoloff et al., 1993

4- Sainsford et al., 1963; Horton et al., 1984; Mendiratta et al., 1987a; Shan and Lin, 1992

5- McKamey and Liu, 1990; Kasul and Heldt, 1991; McKamey et al., 1991; Kasul and Heldt, 1991; McKamey et al., 1991; Sanders et al., 1991; Liu, 1992; Hippesley and Strangwood, 1992; Shan and Lin, 1992; Vyas et al., 1992; Shan and Lin, 1992; Vyas et al., 1992; Lin et al., 1992; Castagna et al., 1993; Stoloff and Duquette, 1993

6- McKamey and Lee, 1993

7- Sikka et al., 1993b

8- Liu et al., 1990; Esslinger and Smarsly, 1991; Baker and George, 1992; Liu and Kumar, 1993; Viswanathan et al., 1993; Sikka et al., 1993a

9- Suganuma, 1993

10- Sanders et al., 1991; Sikka et al., 1991, 1993a; Skka, 1991; Gieseke et al., 1993

لوله های فوق گرمایش در نیروگاه ها، فیلتر های گاز گرم در تأسیسات تبدیل زغال سنگ به گاز و تجهیزات فراورش شیمیابی به تازگی تولید احتراقی Fe_xAl که برای پیوند زدن مواد مرکب SiC استفاده شده است، به دلیل مقاومت به سایش و خوردگی Fe_xAl ، برای پوشش دهی فولادهای سازه ای پیشنهاد گردیده است^(۱).

۲-۵ و فازهای مربوط Fe_xAlC_x

حل شدن کربن در Fe_xAl در اصطلاح فاز K تولید می کند که معمولاً برای سادگی به صورت Fe_xAlC_x با $x \approx 66\%$ فرض می شود^(۲). البته این فاز گستره‌ی وسیعی از همگنی از خود نشان می دهد که متراوف با $\text{C}_{x+y}\text{Fe}_{y-x}\text{Al}$ به ازای $y/x = 0.2$ و $x/y = 42/71$ می باشد^(۳). ساختار بلوری آن (L') با ساختار L1₂ در Ni_3Al مرتبط است زیرا اتم های Al و Fe مکان های ابر شبکه ای L1₂ را در این فاز اشغال می کنند، در صورتی که اتم های C مرکز سلول های واحد L1₂ را اشغال می کنند (شکل ۱). بنابراین ممکن است این فاز به عنوان فاز L1₂ بین فلزی در نظر گرفته شود که به وسیله ای بین نشینی کربن پایدار می شود. به عبارت دیگر، یک ترکیب بین نشینی است و معمولاً به عنوان کاربید پیچیده با ساختار بلوری مطابق با ساختار نوع پرسکیت^(۴) (E2) (با $x=1$) در نظر گرفته می شود. Fe_xAlC_x سخت و ترد است و گستره‌ی محسوسی از همگنی دارد. استحالة ها ناشناخته هستند و برخلاف نظر مورال^(۵) (۱۹۳۴)، هیتر^(۶) و استadelmaier^(۷) (۱۹۵۸)، این فاز فرومغناطیسی نیست^(۸).

به تازگی، گوشی پر Fe در نمودار فاز Fe-Al-C به منظور مشخص کردن تعادل های فاز Fe_xAlC_x با محلول جامد Fe از یک طرف، و با گرافیت از سوی دیگر مورد مطالعه قرار گرفته است^(۹). معلوم شده است که Fe_xAlC_x بسته به ترکیش در تقریباً 1400°C ذوب می شود و حوزه‌ی حضور آن در نمودار فاز سه تایی با کاهش دما به سمت درصد های بالاتر C حرکت می کند که تهیه ای Fe_xAlC_x تک فاز

1- Wright et al., 1993

2- Huetter and Stadelmaier, 1958; Goldschmidt, 1967a, 1969; Nowotny, 1972b

3- Andryushchenko et al., 1985; Palm, 1990

4 - Perovskite

5 - Morral

6 - Huetter

7 - Stadelmaier

8- Löhlberg and Schmidt, 1983; Parker et al., 1988

9- Palm, 1990

را دشوار می نماید.

در یک کار تازه‌ی دیگر رفتار مکانیکی Fe_xAlC_x مورد توجه قرار گرفته است^(۱). می‌توان نشان داد که رفتار تغییر شکل Fe_xAlC_x مشابه Ni_xAl همراه با کرین محلول است که به دلیل شباهت ساختارشان، این همانندی انتظار می‌رود. تغییر در صد C در Fe_xAlC_x منجر به رسوب $\alpha\text{-Fe}$ و یا گرافیت (که هر دوی آن‌ها بر رفتار تغییر شکل یعنی تنش سیلان تأثیر می‌گذارند) و موجب افزایش مقاومت به خروش می‌شود و دمای تبدیل تردی به شکل پذیری را به ترتیب در Fe_xAlC_x , $\text{Fe}_x\text{AlC}_x + \alpha\text{-Fe}$ و $\text{Fe}_x\text{AlC}_x + \text{Fe}_x\text{AlC}_x$, بیشتر افزایش می‌دهد. بنابراین، چشم اندازهایی برای پیشرفت این آلیاژ از طریق گرافیت Fe_xAlC_x بهینه سازی ترکیب و پراکنش فاز وجود دارد. چهره‌مگی شکست با افزایش آهنگ تغییر شکل زیاد مم شود که نشانگر وجود تردی محظوظ است^(۲).

سرانجام، باید توجه کرد که این قبیل فازهای پرسکیت در سایر سیستم‌های آلیاژی، از طریق آلیاژ کردن با کربن و هم‌چنین اکسیژن ساخته می‌شوند و این قبیل فازها برای استحکام بخشی آلیاژهای بین فلزی مورد توجه واقع می‌شوند.^(۳) اخیراً آلیاژهای چند فازه‌ی Co_xAlC با ترکیب‌های مناسبی از استحکام و شکل پذیری تهیه شده‌اند.^(۴)

FeAl-T-δ

FeAl دقیقاً مشابه با NiAl (بخش ۴-۳) است زیرا هر دو فاز ساختار B2 دارند و اختلاط متقابل کامل از خود نشان می‌دهند^(۵). البته، FeAl برخلاف NiAl به طور نامتجانس ذوب می‌شود و دمای ذوب پایین‌تری دارد که نتیجتاً پایداری واستحکام پیوند اتمی کم‌تری خواهد داشت. نمودار فاز دوتایی Fe-Al و تعادل فازی با Fe_xAl_y پیشتر در بخش ۱-۵ مطرح گردید. باید توجه شود که یکی از زیربخش‌های حوزه‌ی حضور فاز B2 در نمودار فاز دوتایی Fe-Al مطابق با تغییرات مشاهده شده در خواص فیزیکی فرض گردیده است^(۶). البته، این تغییرات به تغییرات در تقارن بلوری یا نظم اتمی مربوط نمی‌شود و بنابراین فهم این زیربخش حوزه‌ی فاز B2 هنوز مبهم است. Al به طور مفصل از

1- Jung and Sauthoff, 1989b; Wunnicke-Sanders, 1993

2- Vehoff, 1993

3- Goldschmidt, 1967a; Nowotny, 1972b; Kassem and Koch, 1991; Ellner et al., 1992; Nemoto et al., 1992

4- Hosoda et al., 1993

S. Bradley and Taylor, 1938; Bradley, 1951; Baker and Munroe, 1990

6. Köster and Gödecke, 1980; Gödecke and Köster, 1985, 1986

نظر چگالی^(۱)، رفتار کش سانی (هم به طور تجربی و هم نظری از طریق محاسبات اصل نحسین مکانیک کوانتومی^(۲))، عیوب نقطه ای^(۳) و نفوذ^(۴) مورد مطالعه قرار گرفته است. بیشتر کار بر روی FeAl متوجه رفتار مکانیکی و به ویژه استحکام و شکل پذیری^(۵) بوده است و توجه ویژه ای به تحلیل رفتار نابه جایی معطوف گردیده است^(۶). خصوصاً، لغزش <۱۰۰><۱۱۱> که شاخصه ای برای AlNi محسوب می شود، فقط در دمای بالا گزارش شده است، در حالی که لغزش <۱۱۱><۱۱۱> در دماهای پایین تر همراه با دمای تبدیلی که با کاهش درصد Al افزایش می یابد، گزارش شده است^(۷). نابه جایی های <۱۰۰><۱۱۱> تک نابه جایی های کامل هستند، در حالی که نابه جایی های <۱۱۱>، نابه جایی های آبرشبکه شامل دو نابه جایی جزیی با یک مرز ضد فاز در بین شان می باشند. طبق محاسبات اصل نحسین، مکانیک کوانتومی، انرژی مرزهای ضد فاز که در انرژی نابه جایی آبرشبکه سهیم است، با کاهش درصد Al کاسته می شود^(۸). در FeAl دور از استوکیومتری، تبدیل از لغزش <۱۱۱><۱۰۰> به <۱۰۰><۱۱۱> به بالاترین استحکام تسیلیم و کاهش شکل پذیری در تقریباً ۴۵۰°C مرتبط می شود^(۹).

توجه می شود که استحکام و سختی در دماهای پایین در ترکیب استوکیومتری به حداقل نمی رسد که بر خلاف رفتار فازهای هم شکل AlNi و CoAl بوده (بخش ۳-۴ را ملاحظه کنید) و علت آن هنوز درک نشده است^(۱۰). اخیراً معلوم شده است که سختی در دمای اتاق با افزایش چگالی جای خالی زیاد می شود و سپس با اضافه شدن درصد Al به سمت ترکیب استوکیومتری افزایش

- 1- Baker and George, 1992
- 2- Marcinkowski, 1974a; Harmouche and Wolfenden, 1985, 1986; Godecke and Koster, 1986; Fu and Yoo, 1991, 1992a; Yoo and Fu, 1991
- 3- Paris et al., 1975; Ho and Dodd, 1978; Koch and Koenig, 1986
- 4- Hagel, 1967; Cheng and Dayananda, 1979; Akuezue and Whittle, 1983; Bakker, 1984; Vogl and Sepiol, 1994
- 5- Sainfort et al., 1963; Morgand et al., 1968; Marcinkowski, 1974a; Crimp et al., 1987; Baker and Munroe, 1990; Baker et al., 1991; Lefort et al., 1991; Nagpal and Baker, 1991; Prakash et al., 1991b; Tassa et al., 1991; Baker and Nagpal, 1993
- 6- Strutt and Dodd, 1970; Marcinkowski, 1974a; Umakoshi and Yamaguchi, 1980; Mendiratta et al., 1984; Rudy and Sauthoff, 1986; Mendiratta and Law, 1987; Feng and Sadananda, 1990; Munroe and Baker, 1991; Takahashi and Umakoshi, 1991
- 7- Yamagata and Yoshida, 1973; Umakoshi and Yamaguchi, 1980, 1981; Mendiratta et al., 1984
- 8- Freeman et al., 1991
- 9- Xiao and Baker, 1993; Guo et al., 1993; Yoshimi and Hanada, 1993
- 10- Westbrook, 1956; Crimp and Vedula, 1991

می‌باید^(۱). انرژی تشکیل جای خالی کم است و طبق محاسبات اصل نخستین تمايل شدیدی برای خوش‌های شدن جای خالی وجود دارد^(۲).

نک بلور FeAl در فشار شکل پذیری انگشتی در دماهای پایین نشان می‌دهد، در حالی که شکل پذیری کششی آن معلوم نیست^(۳). شکل پذیری کششی در دماهای کم، هم‌چنین شکل پذیری فشاری FeAl چند بلوره در ترکیب استویکیومتری عامل‌صفر است (که باز هم بر خلاف AlNi است) و با کاهش در صد Al (یعنی انحراف بیش تراز ترکیب استویکیومتری) افزایش می‌باید^(۴). باید تأکید کرد که شکل پذیری‌های گزارش شده در مورد FeAl دور از ترکیب استویکیومتری صرفاً با نمونه‌های کاملاً تاب‌کاری شده (یعنی اگر تغییر شکل در دمای پایین از طریق تاب‌کاری با سرعت‌های خنک کاری بسیار کم دنبال شود) به دست می‌آید. گمان می‌رود این رفتار از جاهای خالی اضافی باقی مانده که سختی و استحکام را افزایش و شکل پذیری را کاهش می‌دهند، نشأت می‌گیرد. این جاهای خالی بعد از تاب‌کاری در دمای بالا با سرعت‌های سرکردن معمولی به تعادل نمی‌رسند^(۵). به نظر می‌رسد به تعادل رسیدن جاهای خالی، فرایندی بسیار کند باشد و از این رو تاب‌کاری‌های چندین صد ساعتی در تقریباً ۴۰۰°C برای ایجاد شکل پذیری در FeAl دور از استویکیومتری پیشنهاد می‌شوند^(۶).

با توجه به شباهت‌ها و تفاوت‌های FeAl با NiAl، این سؤال دوباره مطرح می‌شود که استحکام و نوع پیوند اتمی چگونه با ترکیب تغییر می‌کنند و چگونه این تغییرات با تغییرات مشاهده شده در خواص مکانیکی مرتبط می‌شوند. البته علی‌رغم فهم و شناخت بهتر پراکنده‌گی الکترونی در آلمینیايدهای B2، همبستگی‌های ساده بین استحکام و نوع پیوند و رفتار مکانیکی مشهود نیست^(۷)، که این بدان معنا است که احتمالاً چنین همبستگی‌های ساده‌ای وجود ندارند. FeAl به منظور بهبود رفتار مکانیکی با عنصر مختلف آلیاژ‌سازی شده است^(۸). آلیاژ‌سازی با Ni پیشرفت‌های امیدوار کننده‌ای را آغاز کرده است که در بخش ۴-۳-۶ مطرح شده‌اند. توجه می‌شود که تبدیل از لغزش <۱۱۱> به لغزش <۱۰۰> در

1- Chang et al., 1993

2- Fu et al., 1993a

3- Yamagata and Yoshida, 1973; Baker and Munroe, 1990

4- Baker and Gaydosh, 1987; Mendiratta et al., 1987b; Schmidt et al., 1989

5- Schmidt et al., 1989; Nagpal and Baker, 1990a; Crimp and Vedula, 1991; Kong and Munroe, 1993; Baker and Nagpal, 1993

6- Nagpal and Baker, 1990a

7- Schultz and Davenport, 1992

8- Munroe and Baker, 1990; Lefort et al., 1991; Prakash et al., 1991a, b; D. Li et al., 1993

دهماهای بالاکه به آن اشاره شد نیز از آلیاژ کردن با Ni متأثر می شود^(۱). کم آلیاژ کردن با بُرُن، استحکام و چرمه مگنی FeAl را به طور قابل ملاحظه ای افزایش می دهد، در حالی که دمای تبدیل تردی به شکل پذیری فقط کمی کاهش می یابد^(۲).

در معرض تردی محیطی واقع می شود. به عبارت بهتر، شکل پذیری به طور حساسی به محیط آزمون وابسته است^(۳). این پدیده ای ترد شوندگی از حل شدن هیدروژن در FeAl در نوک ترک ناشی می شود و با افزایش آهنگ تغییر شکل، به قدر کافی کاهش می یابد^(۴). ذرات پراکنده برای تقویت FeAl به طور موافقیت آمیزی استفاده شده اند و پیشرفت های مرتبط با مواد مرکب ذره ای آغاز گردیده است^(۵). علاوه بر استحکام و شکل پذیری، FeAl از حیث خوش (همراه با NiAl) که در بخش ۴-۳-۴ عنوان شده است) شکست (هم به صورت تجربی و هم نظری از طریق محاسبات اصل نخستین مکانیک کوانتومی)^(۶) خستگی^(۷) و خوردگی (که در اغلب موارد به صورت اکسایش می باشد)^(۸)، مورد مطالعه قرار گرفته است. با توجه به خواص سودمند گزارش شده و چگالی نسبتاً کم، FeAl به عنوان ماده ای سازه ای بالقوه برای استفاده در دمای بالا لحاظ می گردد. پیشرفت های مربوط به فراورش، هم متالورژی پودر و هم متالورژی شمشالی را به کار گرفته اند^(۹): نتایج منتشر شده کاملاً امیدوار کننده اند و ترکیب های آلیاژی FeAl، مثلاً برای قابلیت جوش کاری مناسب^(۱۰)، و برای مقاومت به خوردگی و سایش زیاد در محیط های خورنده ای گازی^(۱۱) مشخص شده اند.

1- Patrick et al., 1991

2- Crimp and Vedula, 1986; Webb et al., 1993b; Schneibel et al., 1993b; Baker, 1993

3- Liu and George, 1991; Liu et al., 1991; Lynch et al., 1991; Shea et al., 1991; Klein and Baker, 1992; Schneibel and Jenkins, 1993; Nagpal and Baker, 1991; Klein et al., 1993

4- Nagpal and Baker, 1991; Liu and George, 1991; Liu et al., 1991; Lynch et al., 1991; Shea et al., 1991; Klein and Baker, 1992; Schneibel and Jenkins, 1993; Schneibel et al., 1993b

5- Mendiratta et al., 1987b; Moser et al., 1990; Decamps et al., 1991; Kumar, 1991; Prakash et al., 1991b; Baker and George, 1992; Schneibel et al., 1992b; Xu et al., 1993

6- Baker and Gaydosh, 1987; Baker et al., 1991; K. M. Chang et al., 1992; Prakash et al., 1992; Yoo and Fu, 1992; Schneibel and Jenkins, 1993

7- Prakash et al., 1991b; Stoloff, 1992

8- Cathcart, 1985; Schmidt et al., 1989; Smialek et al., 1989, 1990a; Nesbitt and Lowell, 1993

9- Stephens, 1985; Vedula et al., 1985; Vedula and Stephens, 1987a, b; Vedula, 1989, 1991; Liu and Kumar, 1993

10- Maziasz et al., 1992

11- Magnee et al., 1991

فصل ۶

فازهای با پایه مس

فازهای مختلف بین فلزی با مبنای مس جزو اصلی بسیاری از آلیاژهای با پایه مس بوده و هستند، خصوصاً برنزها یعنی آلیاژهای Cu-Sn و برنجها یعنی آلیاژهای Cu-Zn که از ابتدای تاریخ متالورژی مورد استفاده بوده‌اند^(۱) و نمونه‌های آن در جدول ۱ ارائه شده است. ویژگی‌های اساسی فازهای مختلف Cu-Zn و Cu-Sn مورد بررسی قرار گرفته‌اند^(۲). آلیاژ سازی با عنصر سوم منجر به تشکیل گروه بزرگ‌تری از فازها می‌شود. یک نمونه‌ی بارز آن فازهای نوع هیوسلر Cu_xMnAl با ساختار L2 (شکل ۱) است، که اگرچه فلزهای تشکیل دهنده‌ی آن هافرومغناطیس نیستند ولی این فازها فرومغناطیس محسوب می‌شوند^(۳). توجه می‌گردد که آلیاژهای با پایه Mns با ابتدای قرن بیستم به صورت کارد میوه مورد استفاده قرار گرفتند^(۴) (جدول ۱). دیگر فاز مسی مشابه، Ni_xCuSn با ساختار D₀ است که در کاربردهای سازه‌ای مورد توجه واقع می‌شود^(۵).

برخی از این فازهای دوتایی و سه تایی به دلیل ویژگی‌های مکانیکی و/یا فیزیکی خاص خود به صورت گسترده‌تری مورد مطالعه قرار گرفته‌اند. از جمله فازهای خاص مورد علاقه، فازهای مسی Cu-Zn-Al_x, CuZn_x-Al_{1-x}, Zn_{1-x}Al_x, Cu_x(Cu, Ni)_{1-x} و Al_xAl_{1-x} هستند که بر آلیاژهای حافظه‌ی شکل Cu-AI-Ni، Cu-AI-Ni پایه گذاری می‌شوند و موضوع بخش‌های بعدی می‌باشد. به علاوه، فازهای Cu-Au و Cu_xAu_{1-x} و فازهای Cu-Sn_x و Cu_xSn_{1-x} (عنوان خواهند شد که اجزای مهم آلیاژهای CuAu)

1- Gmelin-Institut, 1955; Westbrook, 1977; Flinn, 1986

2- Schubert, 1967; Dwight, 1967; Guillet and Le Roux, 1967; Hagel, 1967

3- Dwight, 1967; Kouvel, 1967

4- Heusler, 1989

5- Kratochvil, 1990; Kratochvil et al., 1992

Cu-Au محسوب می‌شوند و ملقمه‌هایی برای استفاده در پرکردگی‌های دندانی هستند.

CuZn-۱-۶

جزء اصلی یا منحصر به فرد برنج زرد، برنج β است که فاز بین فلزی CuZn محسوب می‌شود. CuZn در دمای بالا، ساختار A2 و در دماهای پایین، ساختار B2 از خود نشان می‌دهد به عبارت بهتر یک استحاله‌ی نظم - بی نظمی در تقریباً 46°C صورت می‌گیرد^(۱). گستره‌ی همگنی آن (بین تقریباً ۴۰ و ۵۰ درصد اتمی Zn در دماهای بالا) به طور حساسی به دما وابسته است و ترکیب استویکیومتری ۵۰ درصد اتمی را در دماهای متوسط شامل نمی‌شود. این استحاله‌ی نظم - بی نظمی برای مطالعه‌ی اثر نظم دهنی مثلاً بر رفتار کش‌سان^(۲)، نفوذ^(۳)، تبلور مجدد^(۴)، و سختی^(۵) مورد استفاده قرار گرفته است. رفتار تغییر شکل CuZn با ساختار B2 به طور مفصل از لحاظ ساز و کار عملکرد لغزش^(۶) تحلیل گردیده است و انرژی جابه‌جایی و انرژی مرز ضد فاز که مشخصه‌های لغزش را کنترل می‌کنند، مشخص شده‌اند^(۷). شاخصه‌ی ویژه‌ی تغییر شکل، وابستگی نامتعارف مثبت تنش تسیلم به دما است که برای سایر بین فلزات نیز شناخته شده است. باید توجه کرد CuZn اولین موردی بود که این پدیده در آن مشاهده و تحلیل گردید که این مسأله منجر به درک تغییر تنش تسیلم با درجه‌ی نظم دور برد شد^(۸). با افزایش دما، درجه‌ی نظم به طور پیوسته کاهش می‌یابد تا این‌که پس از رسیدن به دمای بی نظم شدن، استحاله‌ی دوم نظم از ساختار منظم B2 به ساختار نا منظم A2 رخ می‌دهد. متناظرآ، تنش تسیلم در زیر دمای بحرانی بی نظم شدن به یک مقدار بیشینه می‌رسد. جدا از پدیده‌ی تسیلم، خرزش^(۹)، هم‌چنین فراوری تغییر شکل در حالت گرم^(۱۰) و تغییر شکل چرخه‌ای^(۱۱) مورد مطالعه قرار گرفته‌اند.

1- Flinn, 1986; Massalski et al., 1990

2- Westbrook, 1960a; Guillet and Le Roux, 1967

3- Girifalco, 1964; Hagel, 1967; Wever et al., 1989; Wever, 1992

4- Cahn, 1991

5- Westbrook, 1960a

6- Rachinger and Cottrell, 1956; Fleischer, 1988; Baker and Munroe, 1990

7- Marcinkowski, 1974a; Beauchamp et al., 1992; Beauchamp and Dirras, 1993

8- Brown, 1959; Saka et al., 1985; Dirras et al., 1992; Matsumoto and Saka, 1993

9- Westbrook, 1960a; Stoloff and Davies, 1966; Strutt and Dodd, 1970; Delobelle and Oytana, 1983; Hong and Weertman, 1986

10- Padmavardhani and Prasad, 1991

11- Kawazoe et al., 1989

علاوه بر استحاله‌ی نظم-بی نظمی، CuZn₂B می‌تواند پس از سرد کردن با سرعت به اندازه‌ی کافی بالا، به صورت مارتنزیتی استحاله‌ی یابد^(۱). انواع مختلف مارتنزیت را که در ترتیب چیدمان صفحه‌های شبکه‌ی فشرده با یکدیگر تفاوت دارند، می‌توان بسته به ترکیب یعنی غلظت الکترونی، تولید کرد. توجه می‌شود که این استحاله‌ی مارتنزیتی به مقدار فوق العاده کم ضریب برشی کشسان که مضافاً وابستگی مثبت و نامتعارف به دما را از خود نشان می‌دهد، مربوط می‌شود^(۲). استحاله‌ی مارتنزیتی CuZn با ساختار منظم B2 را می‌توان به وسیله‌ی تنش کشسان اضافی اعمال نمود که موجب پدیده‌ی حافظه‌ی شکل برای اندازه‌ی دانه‌های نه چندان کوچک می‌شود^(۳). مشخصه‌های این آلیاژهای حافظه دار از جنبه‌های بلورشناسی، ریز ساختار، ترمودینامیک، سیتیک و رفتار مکانیکی ماکروسکوپی مورد بحث قرار گرفته و کاربردهای بیشان توصیف شده‌اند^(۴).

۶-۲- آلیاژهای حافظه‌ی شکل Al-Zn-Cu

آلیاژهای حافظه دار از فاز Cu-Zn-Al با ساختار B2 به وسیله‌ی آلیاژ کردن با Al به دست می‌آیند و ترکیب فازهای سه تایی حاصل به طور تقریبی با $\text{Cu}_{1+2x}\text{Al}_{1+3x}\text{Zn}_{1-2y}$ توصیف می‌گردد^(۵). نمودار فاز سه تایی کامل Cu-Zn-Al در مقاله‌ی گرتلر^(۶) و همکارانش (۱۹۶۹) ارائه شده است. ساختار بلوری این فاز Cu-Zn-Al در دمای ای بالا ساختار نا منظم A2 است که در هنگام خنک کاری از طریق نظم یافتن نزدیک ترین همسایه به ساختار B2 و به وسیله‌ی نظم یابی نزدیک ترین همسایه‌های بعدی در هنگام خنک کاری بیش تر به ساختار L2 تبدیل می‌شود^(۷). باید تأکید کرد که این ساختارها تنها در دمای ای بالا پایدار هستند در حالی که در دمای اتفاق صرفاً نیمه پایدارند و به عبارت بهتر اگر در دمای ای بسیار پایین تاب کاری شوند، تجزیه می‌گردد.

فاز L2 می‌تواند به منظور تشکیل انواع مختلف مارتنزیت به صورت مارتنزیتی استحاله‌ی یابد که

1- Ahlers, 1986

2- Verlinden and Delaey, 1988a

3- Schroeder et al., 1976

4- Delacy et al., 1974; Krishnan et al., 1974; Warlimont et al., 1974; Ahlers, 1986; Van Humbeek and Delaey, 1989; Hornbogen, 1991

5- Van Humbeek and Delaey, 1989; Hodgson, 1990

6 - Guertler

7- Ahlers, 1986; Wu and Wayman, 1991

نوع آن با ترتیب چیدمان صفحه‌های بلورشناسی متراکم تغییر می‌کند^(۱). پایداری بلورشناسی و ترمودینامیکی متغیرهای مارتزیت به تفصیل تحلیل شده است^(۲). پایداری مارتزیت با پدیده‌های نامعارف کشسانی مرتبط می‌شود^(۳) (هماند CuZn). می‌توان نشان داد که انواع مختلف مارتزیت می‌توانند به طور هم‌زمان در یک ترکیب مشخص وجود داشته باشند^(۴). در هر صورت، دمای تشکیل مارتزیت تابع بسیار حساسی از ترکیب است^(۵) و می‌تواند با سابقه‌ی چرخه‌ی حرارتی تغییر کند^(۶). خصوصاً، آلیازکردن با Mn برای کاهش دمای تشکیل مارتزیت به کار می‌رود.

همان‌گونه که پیش‌تر در مورد CuZn اشاره شد، مشخصه‌های این قبیل آلیازهای حافظه دار به طور مفصل از جنبه‌های بلورشناسی، ریز ساختاری، ترمودینامیکی، سیستیکی و رفتار مکانیکی، ماکروسکوپی مورد بحث قرار گرفته‌اند^(۷). یک پدیده‌ی خاص در آلیازهای Cu-Zn-Al اصطلاحاً پدیده‌ی حافظه دو طرفه است. که در هنگام سردکردن، تغییر شکل برگشت پذیر ایجاد می‌کند^(۸). این پدیده از استحاله مارتزیتی واستحاله‌ی مجدد پس از عملیات‌های حرارتی - مکانیکی خاص که به نام آموزش شناخته می‌شوند، حاصل می‌گردد.

弗اورش آلیازهای Cu-Zn-Al مشکلات چندی به دنبال دارد^(۹). این آلیازها معمولاً از طریق ذوب در خلاء تولید می‌شوند. ناخالصی‌های افزودنی مختلفی برای ریز دانه کردن استفاده می‌شوند تا شکل پذیری را بهبود دهند^(۱۰). گذشته از این، از فرایند متالورژی پودر برای به دست آوردن مواد ریز دانه استفاده می‌شود. این آلیازها به آسانی در هوا کار گرم می‌شوند و کار سرد پذیری شان با افزایش درصد Al کاهش می‌یابد. کاربردهای این آلیازها در چند مقاله تشریح گردیده‌اند^(۱۱).

-
- 1- Ahlers, 1986
 - 2- Bidaux and Ahlers, 1992; Ahlers and Pelegrina, 1992; Pelegrina and Ahlers, 1992a, b; Saule et al., 1992
 - 3- Verlinden and Delaey, 1988b
 - 4- Segui et al., 1991
 - 5- Van Humbeek and Delaey, 1989; Hodgson, 1990
 - 6- Tadaki et al., 1987
 - 7- Delaey et al., 1974; Krishnan et al., 1974; Warlimont et al., 1974; Ahlers, 1986; Van Humbeek and Delaey, 1989; Hornbogen, 1991
 - 8- Stalmans et al., 1992a, b, c
 - 9- Hodgson, 1990
 - 10- Lee and Wayman, 1986
 - 11- Hodgson, 1990; Hornbogen, 1991

۶-۳- آلیاژهای Cu-Zn-Al حافظه دار

آلیاژهای Cu-Zn-Al حافظه دار بر فاز بین فلزی $Cu_{\beta}Al$ با ساختار نامنظم A2 پایه گذاری می‌شوند که معمولاً این فاز با نام فاز β شناخته می‌شود و تنها در دمای بالا بین $567^{\circ}C$ و $1049^{\circ}C$ با ترکیب بین ۷۱ و ۸۲ درصد اتمی مس پایدار است^(۱). در $567^{\circ}C$ این فاز از طریق واکنش بوتکنکی با سرعت آهسته‌ای که بتواند همراه با ساختار نیمه پایدار بعدی A2 از راه خنک کردن در پایین تراز این دما وجود داشته باشد، تعجزیه می‌گردد. در تقریباً $500^{\circ}C$ ، فاز β واکنش نظم دادن راتیو می‌کند تا فاز نیمه پایدار β با ساختار $D_{0.5}$ را تشکیل دهد. هر دو فاز را می‌توان از طریق سرد کردن سریع برای ساخت انواع مختلف مارتزیت (بسته به درصد Al و سرعت سرد کردن) تبدیل مارتزیتی کرد^(۲).

رامی توان با Ni بدون تغییر مشخصه‌های فازیش، آلیاژ سازی نمود^(۳). هر دو فاز دوتایی $Cu_{\beta}Al$ و سه تایی $Al_{\beta}Al$ (Cu,Ni)_{Al} پدیده‌ی حافظه داری را که ناشی از تشکیل مارتزیت کشسان حرارتی است، از خود بروز می‌دهند^(۴). این فاز سه تایی باعث گسترش آلیاژهای حافظه دار $Cu-Al-Ni$ با تقریباً ۱۱-۱۵ درصد وزنی Al و ۵-۳ درصد اتمی Ni شده است^(۵). اخیراً بلورشناسی تشکیل مارتزیت به طور مفصل برای آلیاژهای $Cu-Al-Ni$ مورد بحث قرار گرفته است^(۶) و ترمودینامیک و سیتیک آن‌ها نیز مطالعه شده است^(۷). شیوه‌ی تغییر شکل مارتزیت در برگیرنده‌ی حالات مختلف دو قلوشدن و استحاله‌های تحت تنش است^(۸). پدیده‌ی حافظه‌ی شکل، پدیده‌ای دو طرفه، یعنی کاملاً برگشت‌پذیر است^(۹). دمای شروع مارتزیت، یک حد بالایی در تقریباً $180^{\circ}C$ دارد و می‌تواند تا اندازه‌ی زیادی با افزایش درصد Al و به میزان کمتر با افزایش درصد Ni کاهش یابد^(۱۰).

آلیاژهای $Cu-Al-Ni$ در مقایسه با آلیاژهای Cu-Zn-Al به دلیل پایداری بیشترشان در دمای‌های بالاتر، سودمند هستند. البته رسوب فاز دوم را نمی‌توان متوقف کرد و نتیجتاً آلیاژهای Cu-Al-Ni ترد

1- Murray, 1985

2- Murray, 1985

3- Guertler et al., 1969 for the ternary Cu-Al-Ni Phase diagram

4- Otsuka and Shimizu, 1970; Nagasawa and Kawachi, 1971; Delaey et al., 1974

5- Van Humbeek and Delaey, 1989; Hodgson, 1990

6- Shimizu and Tadaki, 1992

7- Warlimont et al., 1974; Zhou and Hsu, 1991; Ortín et al., 1992

8- Ichinose et al., 1991

9- Sakamoto et al., 1991

10- Van Humbeek and Delaey, 1989; Hodgson, 1990

می‌شوند که از انجام کار سرد روی آن‌ها جلوگیری می‌کند. به عبارت دیگر، این قبیل آلیاژها را تنها می‌توان تحت کار گرم قرار داد^(۱). برای بهبود رفتار مکانیکی از عملیات‌های مکانیکی - حرارتی و افزودنی‌های کم آلیاژ (به خصوص Mn، Ti و Zr) استفاده می‌شوند. یک اثر مهم آن‌ها ریزدانه کردن است که طبق رابطه‌ی هال-پچ هم استحکام شکست و هم کرنش شکست را افزایش می‌دهد^(۲). در واقع مشخص شده است که ذرات رسوبی، انداهی دانه در شرایط ریخته‌گری و تأثیر در رشد بعدی دانه در هنگام تاب کاری را کاهش می‌دهند^(۳). افزودنی‌های آلیاژساز بر استحاله و رفتار تجزیه که باید برای برقراری بهترین شرایط جهت القای پدیده‌ی دو طرفه مورد توجه قرار بگیرد، تأثیر می‌گذارند^(۴). اخیراً، اثر نرم کنندگی افزایش کم بُرن مشخص و به طور مفصل از جنبه‌ی رفتار تغییر شکل و ریزساختار مورد مطالعه قرار گرفته است^(۵). سرانجام توجه می‌شود که آلیاژهای پایه‌ی مس مشابه دیگری وجود دارند که پدیده‌ی حافظه‌ی شکل را از خود نشان می‌دهند^(۶). نمونه‌ی کاملاً مطالعه شده‌ی آن آلیاژهای حافظه دار Cu-Al-Mn است که از طریق واکنش دو مرحله‌ای در خنک کاری سریع منظم می‌شوند. به عبارت بهتر، ساختار نا منظم و ابتدایی A2 نخست به ساختار میانی B2 و سپس به ساختار نهایی L2 تبدیل می‌گردد^(۷).

Cu-Au فازهای -۴-

سیستم Cu-Au نمونه‌ی کتابی کلاسیک برای بحث در مورد واکنش‌های نظم دهنده در محلول‌های جامد و اثرات نظم اتمی بر خواص محسوب می‌شود^(۸). در دماهای بالاتر از ۴۱۰°C، آلیاژهای Cu-Au، ساختار نا منظم A1 با حلایت متفاصل کامل در حالت جامد Cu و Au را می‌سازند، در حالی که در دماهای پایین تر واکنش‌های نظم دهنده رخ می‌دهند که فازهای بین فلزی مختلف بسته به ترکیب و دما با گستره‌ی وسیعی از همگنی تولید می‌کنند^(۹). در طرف پر مس، فاز کاملاً شناخته شده‌ی

1- Van Humbeek and Delaey, 1989; Hodgson, 1990

2- Roh et al., 1991

3- Ratchev et al., 1993

4- Eucken et al., 1991; Hornbogen and Kobus, 1992

5- M. A. Morris, 1991b, 1992

6- Delaey et al., 1974

7- Gulemany and Peregrin, 1992; Prado et al., 1993

8- Schulze, 1967; Honeycombe, 1968

9- Okamoto et al., 1987

Cu_3Au با ساختار $L1_1$ وجود دارد که فاز نمونهوار برای این ساختار بلور محسوب می‌شود و با نام Cu_3AuI معرفی می‌گردد. فاز Cu_3AuII در دماهای میانه با ترکیب‌های غیر استویکیومتری تشکیل می‌شود و به صورت مکعب مستطیلی و یا لوزی القاعده توصیف می‌گردد. در هر صورت، ساختار Cu_3AuII از ساختار $L1_2$ و از طریق وارد کردن مرزهای ضد فاز با فاصله‌ی مساوی حاصل می‌شود. چنین ساختارهایی معمولاً به عنوان آبرشبکه‌ی بانظم دور برد شناخته می‌شوند. در ترکیب یکسان اتمی، فاز CuAuI مربعی $L1_0$ شکل می‌گیرد و در دماهای میانه مجدداً ساختار لوزی القاعده‌ی آبرشبکه‌ی دور برد مشاهده می‌گردد که بانام CuAuII شناخته می‌شود. فاز پر $\text{Cu}_{1-x}\text{Au}_x\text{Al}$ همانند ساختار $L1_2$ دارد. همه‌ی این فازها با تعادل‌های دوفازی از هم جدا می‌شوند.

رفتارکش سان^(۱) هم چنین رفتار نفوذ^(۲) و تشکیل جای خالی^(۳) مشخص شده است. رفتار تغییر شکل Cu_3Au به منظور روشن کردن اثرات نظم اتمی به طور مفصل مطالعه گردیده و خصوصاً فهمیده شده است که نظم، تنش تسلیم را کاهش و سرعت کار سختی را در حالی که هنوز شکل پذیری بالاست، افزایش می‌دهد^(۴). بر عکس، همان طور که برای فازهای مختلف دارای واکنش‌های منظم شدن مشاهده شده، تغییر شکل سرد شدید نظم را زیین می‌برد^(۵). واکنش نظم دهنده منطقه‌های ضد فازی ایجاد می‌کند که باعث پذیردهی استحکام بخشی اضافی در این فاز و فازهای مشابه، همراه با افزایش استحکام با کاهش بعد منطقه می‌شود^(۶). بعد منطقه را می‌توان با فراورش قبلی تغییر داد و بعد منطقه در هنگام پیرسازی، مشابه با رسیده شدن استوالد افزایش می‌باید^(۷).

پذیردهی پورت وین - ل' شاتلیه^(۸) با تسلیم دندانه‌ای برای هر دو حالت منظم و نامنظم مشاهده گردیده است^(۹). بازیابی و تبلور مجدد به طور مفصل تحلیل شده است^(۱۰). مطالعه‌های تجربی و نظری،

1- Guillet and Le Roux, 1967

2- Wever et al., 1989; Wever , 1992

3- Schaefer et al., 1992

4- Sachs and Weerts, 1931; Vidoz et al., 1963; Stoloff and Davies, 1966

5- Dahl, 1936

6- Marcinkowski, 1974a

7- Sauthoff, 1973a, b

8 - Portevin - Le Chatelier

9- Mohamed et al., 1974

10- Vidoz et al., 1963; Cahn, 1990, 1991

مرزهای ضد فاز و نابهایی‌ها^(۱)، مرزهای دانه^(۲) و ساختار الکترونی^(۳) را هدف قرار داده‌اند. توجه می‌شود که لایه‌های نامنظم در Cu_mAl_n بر روی مرزهای ضد فاز و مرزهای دوقلو دقیقاً زیر دمای استحاله‌ی نظم - بی نظمی تشکیل می‌شوند^(۴). این مسأله ممکن است در دیگر فازها هم مورد انتظار باشد و همان‌طور که در مورد Al_nNi_m عنوان شد، شکل پذیری فازهای باشکل پذیری کم‌تر را بهبود بخشد (بخش ۲-۱-۴).

آلیاژهای $\text{Au}-\text{Cu}-\text{Ag}$ که بر فازهای بین فلزی Cu_{Au} و $\text{Cu}_{\text{Au}}\text{Cu}$ بنانهاده شده‌اند به دلیل مقاومت به خوردگی بسیار زیاد، خواص مکانیکی سودمند از قبیل استحکام و شکل پذیری زیاد و رنگ طلایی تزیینی شان کاربردهایی پیدا کرده‌اند^(۵). این آلیاژها در نتیجه‌ی نظم دادن پیچیده و واکنش‌های تجزیه پیرسخت می‌شوند که از این طریق فازهای Cu_{AuI} و Cu_{AuII} و Cu_{AuIII} و فاز پرنقره‌ی α_{Au} (بسته به ترکیب) تشکیل می‌گردند.

۶-۵- ملقمه‌های مسی

ملقمه‌های دندانی متجاوز از صد سال است که مورد استفاده هستند^(۶). علی‌رغم مشکلات خوردگی همراه با خروج جبوه، ملقمه‌ها هنوز هم طبقه‌ی مهمی از مواد پرکردنگی دندانی هستند زیرا ملقمه‌ها ترکیب سودمندی از ویژگی‌های مرتبط با تولید و کاربرد را از خود نشان می‌دهند^(۷). این ملقمه‌ها از طریق آلیاژسازی آلیاژهای $\text{Ag}-\text{Sn}-\text{Cu}$ (بر اساس فازهای Ag_mSn و Cu_mSn) با جبوه ساخته می‌شوند. واکنش ملقمه سازی منجر به تشکیل ساختار آلیاژ چند فازی پیچیده‌ای می‌گردد که بسته به ترکیب حاوی فازهای Ag_mHg , Ag_mSn , Sn_mHg و Cu_mSn می‌باشد.

فراورش همراه با مخلوط کردن و فشردن پودرهای نسبتاً آسان و مشابه با آلیاژسازی مکانیکی است. ملقمه‌ها باید استحکام فشاری و مقاومت خوشی خوبی نشان دهند زیرا دمای محیط دهان تنها تقریباً ۱۰ درصد پایین‌تر از دمای ذوب آن‌ها است. ملقمه‌های دندانی بسیار ترد هستند که این امر منجر به

1- Tiehelaar and Sehapink, 1991; D.G. Morris, 1992; Veyssiere, 1992

2- Yan et al., 1992

3- Bose et al., 1991

4- Tiehelaar et al., 1992

5- Yasuda, 1991

6- Waterstrat, 1990

7- Watts, 1992; Waterstrat and Okabe, 1994

از کارافتادگی در تنش‌های کششی و خمشی در مناطق بدون تکیه گاه می‌شود. فرایندهای شکست با فرایندهای خوردگی مرتبط هستند. این فرایندهای خوردگی ابتدا فازهای Cu_3Sn ، Hg و SnO را مورد حمله قرار می‌دهند و به ترتیب منجر به خروج جیوه و SnO می‌شوند. کوشش‌ها برای یافتن جایگزین جیوه در این ملقمه‌ها تاکنون بی‌نتیجه بوده است.

۷ فصل

A15 فازهای

۱-۱- خواص عمده

ساختار بلوری A15، ساختار مکعبی پیچیده‌ای است که از شبکه bcc (A2) با هشت اتم در هر واحد شبکه مشتق شده است^(۱). این ساختار نمونه‌ی رایجی از ساختارهای فشرده‌ی توپولوژیکی (tcp) هستند و از چیدمان چند وجهی اشکال مختلف به منظور جدادن اتم‌ها با اندازه‌های مختلف حاصل می‌شوند^(۲). ساختارهای tcp نسبت به ساختارهای هندسی فشرده‌ی fcc (A1) و hcp (A3)، تراکم بیشتری از اتم‌ها با اندازه‌های مختلف را مجاز می‌سازند. ساختار A15 می‌تواند به عنوان پایه‌ای برای خانواده‌ی ساختاری tcp فرض شود زیرا دیگر ساختارهای شناخته شده‌ی tcp (به ویژه ساختارهای فاز لاوهی C14، C15 و C36 (بخش ۸)) را می‌توان از طریق عملیات مختلف بلورشناختی از ساختار A15 به دست آورد^(۳). فازهای بین فلزی با ساختارهای tcp با نام فازهای فرانک-کاسپار^(۴) شناخته می‌شوند. فازهای با ساختار A15 گروه نسبتاً یک‌نواخت و بزرگی از فازهای بین فلزی را تشکیل می‌دهند^(۵) که موضوع مطالعات پایه‌ای مثلاً از جنبه‌های ساختار الکترونی و پایداری فاز^(۶) یا ریز سازوکارهای نفوذ^(۷)، دوقلوشدن^(۸) و تغییر شکل موسمان^(۹) بوده‌اند. فازهای A15 جزء فازهای مهم از

1- Pearson, 1958

2- Sinha, 1973; Watson and Bennet, 1984; Gladyshevskii and Bodak, 1994

3- Ye et al., 1985

4 - Frank-Kaspar

5- Nevitt, 1967

6- Turchi and Finel, 1991

7- Bakker and Westerveld, 1988; Bakker et al., 1985, 1992; Wever et al., 1989; Koiwa, 1992; Wever, 1992

8- Khantha et al., 1989

نظر کاربرد عملی گستردۀ هستند زیرا بسیاری از آن‌ها آبرسانانا محسوب می‌شوند^(۱۰). دمای بحرانی برخی از آن‌ها یعنی $Nb_{\beta}Ge$, $Nb_{\beta}Ga$, $Nb_{\beta}Al$, $V_{\beta}Si$, $Nb_{\beta}Sn$ و $Nb_{\beta}Al$, بین ۱۵ و ۲۳ درجه‌ی کلوین است که در مرتبه‌ی دوم پس از آبرساناناها سرامیکی با پایه‌ی اکسیدهای نوع پرسکیت قراردارند^(۱۱). البته دسته‌ی آخر از لحاظ چگالی بحرانی جریان پایین‌تر هستند. به عبارت دیگر، بهترین ترکیب در دماهای بحرانی، چگالی بحرانی جریان و شدت بحرانی میدان مغناطیسی در آبرساناناها A15 در مقایسه با دیگر مواد آبرسانانا یافت می‌شود.

اخیراً فازهای A15 (به ویژه $Cr_{\beta}Si$ و $Nb_{\beta}Al$) نیز به منظور استفاده به صورت مواد سازه‌ای در دماهای زیاد مورد توجه واقع شده‌اند^(۱۲). استفاده از فازهای A15 به عنوان مواد کاربردی یا سازه‌ای به دلیل تردی فازهای A15 که فراورش آن‌ها را دشوار می‌سازد به تعویق می‌افتد. در ادامه، مرور مختصراً بر این فازهای A15 که تاکنون به کارگرفته شده‌اند یا برای استفاده مورد توجه بوده و تا حدودی به تفصیل مطالعه گردیده‌اند، ارائه خواهد شد.

$V_{\beta}Si - ۲-۷$

$V_{\beta}Si$ نخستین فاز A15 آبرسانانایی است که کشف گردیده و دمای بحرانی آن ۱۷ درجه‌ی کلوین است^(۱۳). $V_{\beta}Si$ با ترکیب استویکیومتری در دمای ۱۹۲۵°C به طور متجانس ذوب می‌شود و در دماهای بالا و پایین پایدار است^(۱۴). انحراف از ترکیب استویکیومتری در طرف کم سیلیسیم امکان پذیر است که البته دمای بحرانی را به دلیل بی‌نظمی ساختار حاصله، کاهش می‌دهد. دمای بحرانی از طریق هیدروژن حل شده نیز کاهش می‌یابد^(۱۵). همچنین از چگالی بحرانی جریان و شدت بحرانی میدان به وسیله‌ی کرنش فشاری یا کششی کاسته می‌شود^(۱۶). کمی بالاتر از دمای بحرانی، $V_{\beta}Si$ به صورت مارتنتیتی به ساختار کاملاً مکعب مستطیلی که هنوز فاز آبرسانانا با لایه‌های دوقطبی مرتبط محسوب می‌شود،

9- Chapter by umakoshi in Volume 6 of MST

10- B.W. Roberts, 1967; Geballe and Hulm, 1975; Furuto, 1984; Dew-Hughes, 1986; Muller 1986; Stekly and Gregory, 1994

11- Bednorz and Muller, 1988; Dew-Hughes, 1988; Sharp, 1991

12- Shah et al., 1990; Shah and Anton, 1992a; Kamata et al., 1992a, 1993; Suyama et al., 1993

13- Smathers, 1990

14- Massalski et al., 1990

15- Stepanov and Skirpov, 1982

16- Smathers, 1990

استحاله می‌یابد. این پدیده از نرم کردن شبکه باز بین رفتار ضربی برشی نشأت می‌گیرد^(۱). تغییر شکل موسمان قبلی با کرنش‌های بزرگ در دمای زیاد، مارتزیت مکعب مستطیلی راحتی در دماهای بالاتراز دمای تشکیل مارتزیت پایدار می‌کند^(۲). استحاله مارتزیتی موجب ایجاد پدیده‌ی حافظه‌ی شکل و آبرکش سانی می‌شود^(۳).

همانند همه فازهای A15 V_mSi ترد و سخت است که در نتیجه فراورش آن را دشوار می‌سازد^(۴). دلیل این امر ساختار الکترونی V_mSi است که منجر به پیوند اشتراکی قوی بین نزدیک‌ترین اتم‌های وانادیم همسایه می‌شود^(۵). ضربی یانگ ۲۱۳ حیگاپاسکال^(۶) و دمای تبدیل تردی به شکل پذیری ظاهری در حدود $1200^{\circ}C$ دارد^(۷). رفتار تغییر شکل موسمان در بالاتراز دمای تبدیل به طور مفصل مطالعه شده است و سیستم‌های لغزش نابه‌جایی مورد تجزیه و تحلیل قرار گرفته‌اند^(۸). رفتار خرزشی با تشکیل دانه‌های فرعی، صعود نابه‌جایی که کترول کننده‌ی سرعت خرزش است و انرژی فعال سازی نسبتاً زیاد در گستره‌ی ۲ تا ۱۱ الکترون ولت بر اتم (بسته به تنش و ترکیب) مشخص می‌شود^(۹). خرزش می‌تواند با روی هم گذاری جریان‌های الکتریکی شدت یابد. به عبارت دیگر، به اصطلاح پدیده الکتروموسمانی و شبیه‌های حرارتی که گفته شده است از اثر مطلوب انتقال الکترون و گرمای عیوب نقطه‌ای بر تحرک نابه‌جایی‌ها ناشی می‌شود، وجود دارد^(۱۰).

تبدیل از آبرسانایی به رسانایی معمولی در آبرساناهای A15 از طریق نفوذ شبه شارهای کوچک یعنی چرخش‌های شار مغناطیسی کمی شده که مشخصه‌ای برای نوع II آبرساناهای با میدان وسیع است، رخ می‌دهد^(۱۱). این شبه شارها را می‌توان به وسیله‌ی ناهمگنی‌های ریزساختار (به

- 1- Batterman and Barrett, 1964, 1966; Kondratyev and Pushin, 1985; Mendelson, 1986; Onozuka et al., 1988
- 2- Ullrich et al., 1978
- 3- Zakrevskiy et al., 1986
- 4- Fleischer, 1989; Fleischer and Zabala, 1990e
- 5- Medvedev et al., 1984; Muller, 1986
- 6- Fleischer et al., 1989b
- 7- Mahajan et al., 1978; Nghiep et al., 1980
- 8- Levinstein et al., 1966; Bertram and Paufler, 1983; Kramer, 1983; Wright and Bok, 1988; Smith et al., 1993
- 9- Nghiep et al., 1980
- 10- San Martin et al., 1980, 1983
- 11- Geballe and Hulm, 1986

خصوص مرزهای دانه و ذرات رسوبی) در یک جانگه داشت که از لحاظ چگالی جریان بحرانی و شدت میدان سودمند است^(۱). تیجتاً، تغییرات ریز ساختاری از طریق کرنش‌های موسمان قبلی با و یا بدون تبلور مجدد، (بسته به شرایط تغییر شکل و ترکیب) بر آبرسانایی تأثیر می‌گذارند^(۲). لایه‌های نازک که از طریق استحاله‌ی مارتزیتی مذکور ایجاد می‌شوند، از لحاظ نگه داشتن شار نسبت به مرزها کم تر موثرند. به عبارت بهتر، تأثیر آن‌ها بر ویژگی‌های آبرسانایی تنها در تک بلورها مطلوب است^(۳).

V_mSi به دلیل خواص آبرسانایی مطلوب و پایداری زیادش، جزء فازهای مورد علاقه برای استفاده است^(۴). علی‌رغم تردی، Al_mSi رامی توان علاوه بر حدیده کاری گرم و از طریق روی هم گذاری فشار هیدرواستاتیک زیاد در دمای اتاق به صورت موسمان تغییر شکل داد که تولید رشته‌های چندتاری آبرسانایی را برای استفاده در مغناطیسی‌های سلتونیتی عملی می‌سازد^(۵). V_mSi ورقه‌ای رامی توان از طریق واکنش‌های لایه‌ی نازک در حالت جامد بین وانادیوم و SiO_2 بر روی بسترها Si تهیه نمود^(۶). البته Nb_mSn از لحاظ خواص آبرسانایی، رفتار مکانیکی و فراورش، مطلوب‌تر تشخیص داده شده است که تیجتاً کاربرد V_mSi به عنوان ماده‌ی مغناطیسی را در درجه بعد قرار داده است^(۷).

اخیراً Si_mV از نظر استفاده‌های سازه‌ای در دمای بالا مورد توجه قرار گرفته است^(۸). ترکیب با فاز نرم (مثلًاً با محلول جامد پر وانادیوم) غلبه بر مشکل تردی را ممکن می‌سازد. آلیاژ یوتکتیکی V_mSi-V به طور موقتی آمیزی تهیه شده است^(۹). معلوم شده است که چقرمگی شکست مواد مرکب V_mSi-V رشته‌های ناپیوسته Si_mV به طور یک‌نواخت با افزایش محتوای وانادیوم و کاهش درصد ناخالصی بالا می‌رود^(۱۰).

1- Muller, 1986; Smathers, 1990

2- Quyen et al., 1979

3- Brand and Webb, 1969

4- Smathers, 1990

5- Wright, 1977

6- Hayashi et al., 1991

7- Smathers, 1990

8- Shah and Anton, 1992a

9- Goldmann, 1993

10- Strum and Henshall, 1993

V_mGa - ۳-۷

V_mGa با ساختار A15 فقط تا ۱۳۰۰°C پایدار است و در این دما به صورت متجانس به محلول جامد V-Ga استحاله می‌یابد^(۱). نشانه‌هایی از تشکیل مارتزیت در دماهای بسیار پایین و در تشابه نزدیک با V_mSi وجود دارد، اگرچه که هنوز شرایط لازم برای تشکیل مارتزیت در V_mGa روشن نیست^(۲). V_mGa از گسترده‌ی وسیعی از همگنی حول ترکیب استویکیومتری برخوردار است. به عبارت دیگر از حیث انحراف از استویکیومتری بسیار پایدار است. به دلیل این پایداری که مزیتی برای ساخت محسوب می‌شود و دمای بحرانی بالاتر (قریباً ۱۶۰K)، V_mGa برای استفاده مورد توجه قرار گرفته است^(۳).

ویژگی‌های آبرسانایی و رفتار تغییر شکل V_mGa مشابه با V_mSi است. استحاله‌ی آبرسانای شوندگی می‌تواند به وسیله‌ی تغییر شکل مومسان قبلی تحت تأثیر قرار گیرد^(۴). V_mGa بالاتر از ۱۰۰۰°C در فشار شکل پذیر است و رفتار خزشی آن مفصل‌آ مطالعه شده است^(۵). همانند V_mSi، می‌توان V_mGa را از طریق حدیده کاری و در دمای اتاق با روی هم گذاری فشار هیدرواستاتیک زیاد تحت تغییر شکل مومسان قرارداد که امکان تولید رشته‌های آبرسانایی چندتایی را برای استفاده در مغناطیس‌های سلونوئیدی فراهم می‌کند^(۶). مغناطیس‌های ترکیبی (دورگه) با میدان بزرگ با سیم پیچ‌های نواری V_mGa به صورت موقت آمیز تولید شده‌اند^(۷). البته Nb_mSn از جنبه‌ی خواص آبرسانایی، رفتار مکانیکی و فرآورش مورد علاقه‌تر است که همین مسأله، تجاری شدن V_mGa را تابه حال به تعویق اندخته است^(۸).

Nb_mSn - ۴-۷

Nb_mSn با ساختار A15 در دمای ۲۱۳۰°C از محلول مایع و جامد Nb به صورت پریتکتیکی

1- Massalski et al., 1990

2- Nembach et al., 1970; Snead, Jr. and Bussiere, 1985

3- Smathers, 1990

4- Wright and Ho, 1986

5- Soscia and Wright, 1986; Shah and Anton, 1992a

6- Wright, 1977

7- Noto et al., 1986

8- Smathers, 1990

تشکیل می‌شود و تنها در بالاتر از 775°C پایدار است و در درجه آن دما به شکل یوتکنیکی تجزیه می‌شود^(۱). واکنش تجزیه را می‌توان از طریق سرد کردن نه چندان آهسته متوقف کرد. به عبارت دیگر، Nb_mSn با ساختار A15 در دماهای کمتر در شرایط نیمه پایدار نگه داشته می‌شود. Nb_mSn در 430K به مارتزیت مکعب مستطیلی دو قلویی استحاله می‌یابد^(۲) و تبدیل به آبرسانا در تقریباً 180K رخ می‌دهد^(۳). این دمای بحرانی با انحراف از ترکیب استویکیومتری (که نظم اتمی را تحت تأثیر قرار می‌دهد) و با کرنش‌های کش‌سان کاهش می‌یابد. افزایش‌های کوچک در دمای بحرانی با استفاده از افروزندهای آلیاژی سه تایی امکان‌پذیر است. دمای استحاله به تغییر شکل موم‌سان قبلی چندان وابسته نیست^(۴).

همانند سایر فازهای با ساختار A15، می‌توان Nb_mSn را به سهولت در دماهای بالا (مثلاً از طریق حدیده کاری گرم) تغییر شکل داد، در حالی که در دماهای کم صرفاً با روی هم گذاری فشار هیدرواستاتیک زیاد تغییر شکل امکان‌پذیر است^(۵). تغییر شکل در دمای بالا و رفتار خوشی به طور مفصل مطالعه شده است و اثر مفید کاهش اندازه‌ی دانه بر روی دمای تبدیل تردی به شکل پذیری مشخص گردیده است^(۶).

آبرساناها می‌توانند Nb_mSn با هندسه‌ی چند رشتہ‌ای که برای کاربردهای الکترومغناطیسی لازم است، از طریق به اصطلاح فرایند بُرُنْز ساخته می‌شوند که منجر به استفاده‌ی تجاری گسترده از Nb_mSn گردیده است^(۷). در فرایند بُرُنْز، میله‌های Nb در میله یا لوله‌ی جداره نازک بُرُنْزی وارد می‌شوند و پس از آن برای به دست آوردن رشتہ‌ی چندتاری فراورش می‌شوند. در پایان تولید رشتہ لایه‌های Nb_mSn در اطراف هسته‌های Nb از طریق واکنش‌های عملیات حرارتی تشکیل می‌شوند. آبرسانای مرکب چندتاری نهایی، شامل رشتہ‌های Nb_mSn با هسته‌های Nb که در زمینه‌ی بُرُنْزی محصور می‌شوند، می‌باشد. سپس با پوشش از Nb که به عنوان مانع نفوذ به کار می‌رود و لوله‌ی مسی بیرونی که به عنوان پایدارکننده عمل کرده (و در صورت تبدیل به رسانش عادی، جریان را منتقل می‌کند) احاطه می‌شود.

1- Massalski et al., 1990

2- Mailfert et al., 1969; Mendelson, 1986

3- Muller, 1986; Smathers, 1990

4- Wright and Ho, 1986

5- Wright, 1977; Eisenstatt and Wright, 1980; Clark and Wright, 1983

6- Clark et al., 1983; Shah and Anton, 1992a

7- Smathers, 1990

مسیرهای تولید ویژه‌ی متنوعی، از جمله روش‌های متالورژی پودر برای تولید آبرسانای بهینه شده توسعه یافته‌اند و سیم پیچ‌های آبرسانای ترکیبی به صورت تجاری در دسترس هستند^(۱).

ویژگی‌های آبرسانا شوندگی ماده‌ی مرکب آبرسانا، هم‌چنین خواص مکانیکی به ریزساختار خاص هر ماده بستگی دارند که تابعی از مراحل مختلف فراورش قبلی است. اغلب کارهای جدید متوجه جزئیات فرایندهای مختلف مثلاً تأثیر افزودنی‌های آلیاژ ساز^(۲)، نفوذ Sn در حین تشکیل Nb_xSn^(۳) وابستگی اندازه‌ی دانه به نیروی گیرانداز شار واستحکام کششی و شکست در دمای اتاق^(۴)، یا تأثیرات سخت فازهای سازنده بر کارپذیری ماده‌ی مرکب^(۵) بوده است. پیشرفت‌های تازه کنونی بر اثرات سودمند افزودن Ta و Hf^(۶) یا Ge روی خواص آبرسانایی تکیه دارند^(۷).

Nb_xAl - ۸-۷

Nb_xAl با ساختار A15 به صورت پریتکتیکی در ۲۰۶۰°C تشکیل می‌شود و ذر پایین تر از این دما در سراسوگستره‌ی دمایی، صرفاً با ترکیب‌های غیر استویکیومتری کم آلومینیم پایدار است^(۸). ترکیب استویکیومتری آن متراffد با بیش ترین حلایت Al در Nb_xAl است و تنها در ۱۹۴۰°C در تعادل یوتکتیکی با مایع Nb-Al و فاز سیگما (σ) به این ترکیب می‌رسد. پایداری فاز تابعی از ساختار پیوند الکترونی است که به صورت تابعی از دما مورد مطالعه قرار گرفته است^(۹). انتالپی تشکیل Al-Nb_xAl به طور چشم‌گیری کوچک‌تر از فاز پرآلومینیم Al-Nb_xAl (بخش ۳-۳) است^(۱۰). تبدیل به آبرسانا در ۱۹۰K رخ می‌دهد و در آن جا هیچ استحاله‌ی مارتزیتی وجود ندارد^(۱۱). دمای تبدیل Al-Nb_xAl با انحراف از استویکیومتری و نظم کامل (همانند سایر فازهای A15) تحت تأثیر قرار می‌گیرد، اما با حساسیت کم‌تر. توجه می‌شود که فاز A15 با بالاترین دمای استحاله، Nb_xGe است که می‌تواند با Al-Nb_xGe برای تشکیل فاز

1- Hillman et al., 1980; McDonald, 1984; Gregory, 1984; Noto et al., 1986; Hecker et al., 1988; Smathers, 1990

2- Zwicker et al., 1979

3- Glowacki and Everts, 1988; Cheng and Verhoeven, 1988

4- Ochiai et al., 1986a, b, 1988; Watari et al., 1986

5- Dew-Hughes et al., 1987

6- Koho et al., 1992; Kamata et al., 1992b; Tachikawa et al., 1992; Murase et al., 1992; Noto et al., 1992

7- Jorda et al., 1980; Massalski et al., 1990

8- Kuzmichev et al., 1983

9- Meschel and Kleppa, 1993

10- Smathers, 1990

سه تایی ($Nb_{0.7}Al_{0.7}Ge_0.6$)^(۱) با ساختار A15 و پیش‌ترین استحکام میدان بحرانی آلیاژ شود.^(۱) $Nb_{0.7}Al$ به دلیل خواص آبرسانایی سودمندش مدت‌هاست برای کاربردهای الکترومغناطیسی مورد توجه قرار گرفته است.^(۲) البته فراورش $Nb_{0.7}Al$ به علت تردی آن دشوار است. روش‌های متالورژی پودر به طور موفقیت آمیزی برای تهیه $Nb_{0.7}Al$ از طریق تولید و ترکیب واکنشی (مثلاً ماده مرکب آبرسانای Ag-Nb-Al-Ag)^(۳) به کار رفته است.^(۴) نوارهای $Nb_{0.7}Al$ به وسیله انجام‌داد سریع تولید شده‌اند.^(۴) یک فرایند نوظهور همراه با چند لاماهای نازک Nb-Al به عنوان ماده‌ی اولیه، شرایط تولید رشته‌های آبرسانای $Nb_{0.7}Al$ با کارپذیری خوب را فراهم ساخته است.^(۵) به علاوه فرایندهای متفاوت دیگری برای تولید رشته‌های $Nb_{0.7}Al$ به طور موفقیت آمیز استفاده شده‌اند.^(۶)

جدیداً $Nb_{0.7}Al$ نیز، علی‌رغم تردی در دمای پایین، به دلیل پایداری و استحکام زیاد در دماهای زیاد برای کاربردهای سازه‌ای دمای بالا مورد توجه قرار می‌گیرد و پیشرفت‌های مختلفی در این زمینه آغاز شده است.^(۷) ویژگی‌های مکانیکی در دمای کم و زیاد تعیین شده‌اند و تبدیل رفتار از تردی به شکل پذیری در تقریباً ۱۰۰۰°C مشاهده گردیده است.^(۸) طبق محاسبات نظری ابتدایی در دماهای پایین تر، $Nb_{0.7}Al$ ذاتاً ترد است.^(۹) آرایش‌های تابه‌جایی‌ها و سیستم‌های لغزش تحلیل شده‌اند.^(۱۰) تنش تسلیم می‌تواند با تغییر در صد Al و آلیاژ کردن با عنصر سوم تغییر کند.^(۱۱) حلالیت پذیری عناصر سوم در $Nb_{0.7}Al$ بسته به نوع فلز، به میزان فوق العاده زیادی تغییر می‌کند که نشانگر امکان‌های زیاد آلیاژ‌سازی است.^(۱۲) رفتار نفوذ مطالعه گردیده است^(۱۳) و مقاومت به اکسایش به دلیل تشکیل پوسته‌ی غیر

1- Muller, 1986

2- Smathers, 1990

3- Bowden, 1989; Tsuchida et al., 1989; Schulze et al., 1990

4- Togano et al., 1992

5- Saito et al., 1990, 1993; Ikeda et al., 1992

6- Noto et al., 1992

7- Dimiduk et al., 1991; Anton and Shah, 1991a; Yamaguchi, 1992; Bunk, 1992; Kamata et al., 1993; Suyama et al., 1993

8- Barth et al., 1992; Shah and Anton, 1992a

9- Kim et al., 1993

10- Aindow et al., 1991; Murayama et al., 1993a-c

11- Fujiwara et al., 1991; Kamata et al., 1992a

12- Shah and Anton, 1992a

13- Slama and Vignes, 1972

محافظ، اندک می باشد^(۱).

کاهش درصد Al در زیر حد حلالیت منجر به آلیاژهای دوفازی Nb_{β} -Al-Nb می شود که امکان کاهش ترددی Al-Nb را به ارمغان می آورند^(۲). دمای تبدیل تردی به شکل پذیری با افزایش کسر حجمی فاز پرینویسیم کاهش می باید و برای آلیاژ $Nb-16Al$ تبدیل از ترددی به شکل پذیری در دمای اتفاق به دست آمده است^(۳). فاز Nb، از طریق پل زدن ترک، کش آمدن موسمان و پیوند فصل مشترک، آلیاژ را چقرمه می کند^(۴). البته جزئیات ریز ساختاری کنترل کننده چقرمه‌گی شکست هنوز روش نشده‌اند^(۵). توجه می شود که فاز پرینویسیم که معمولاً با ساختار bcc از نوع A2 متبلور می شود، ممکن است به دلیل حضور ناخالصی‌های بین نشین با ساختار B2 منظم شود^(۶). استحاله و واکنش‌های رسوب به طور مفصل مطالعه گردیده‌اند^(۷).

روش‌های متالورژی پودر و فتون نفوذ دادن مذاب همراه با ترکیب واکنشی به دلیل واکنش‌های ناکامل، منجر به آلیاژهای دوفازی باحتی درصد Al بیشتر می شوند^(۸). آلیاژهای Al-Nb باحتی درصدهای Al بالاتر در گستره‌ی ۲۵-۳۳ درصد اتمی حاوی فاز σ هستند که در نتیجه به عنوان ماده‌ی Nb_{β} -Al-Nb مورد علاقه جهت کاربردهای دمای بالا نیز مورد توجه واقع می شوند^(۹). علاوه بر آلیاژهای Nb_{β} -Al-Nb که در بالا اشاره شد (و ممکن است در مواد مرکب در محل به عنوان فاز تقویت کننده ناپیوسته مورد توجه قرار گیرند) Nb_{β} -Al برای استفاده در مواد مرکب با زمینه‌ی بین فلزی تقویت شده با رشته‌های سرامیکی، مورد توجه قرار گرفته است^(۱۰). مواد مرکب لایه‌ای از طریق اتم پاشی با سرعت بالا، در محل تهیه شده‌اند^(۱۱). آلیاژ کردن Nb_{β} -Al با Ti منجر به تشکیل فاز سه تایی با ساختار B2 می گردد^(۱۲) که با آلیاژهای آبیر α با پایه‌ی Ti-Al در بخش ۲-۱-۳ مرتبط می شود.

1- Shah and Anton, 1992a; Tomizuka, 1992; Fujiwara et al., 1993

2- Anton and Shah, 1990; Marieb et al., 1991; Kumagai et al., 1991; Davidson and Anton, 1993

3- Suyama and Hashimoto, 1992

4- Murugesh et al., 1992

5- Davidson and Anton, 1993

6- Marieb et al., 1991

7- Yang and Vasudevan, 1993

8- Kumagai et al., 1991; Murayama et al., 1991

9- Bhattacharya et al., 1992

10- Anton, 1988; Shah et al., 1990

11- Rowe and Skelly, 1992

12- Shyue et al., 1993

Nb_xSi-۹-۷

Nb_xSi ترکیب خطی دمای بالایی است که با ساختار بلوری مکعب مستطیلی از طریق واکنش پریتکتیک در ۱۹۸۰°C شکل می‌گیرد و فقط در بالاتر از ۱۷۷۰°C پایدار است^(۱). انجماد سریع مایع، Nb_xSi بی‌شکل تولید می‌کند^(۲). ساختار A15 ناپایدار بوده و صرفاً با فنون خاص انجماد سریع و بلور Nb_xSi بی‌شکل به دست می‌آید. Nb_xSi با ساختار A15 از مواد مورد علاقه محسوب می‌شود زیرا دمای استحاله‌ی بالایی برای این آبرسانا انتظار می‌رود، در حقیقت دمای استحاله‌ی ۱۹°C برای فاز A15 نزدیک به استوکیومتری Nb_xSi گزارش گردیده است. این فاز از بلور Nb_xSi بی‌شکل به دست آمده است^(۳). ساختارهای بلوری دیگری نیز برای Nb_xSi که با خالصی‌ها بهسازی شده است، به دست می‌آید. به عنوان نمونه می‌توان از ساختار L1₁ بهسازی شده با اکسیژن و ساختار منشوری باکرین نام برد^(۴). گرایش کنونی متوجه آلیاژهای مواد مرکب در محل Nb-Si است که حاوی فاز Nb_xSi هستند و برای کاربردهای در دمای بالا مورد توجه واقع می‌شوند^(۵).

Cr_xSi-۷-۷

Cr_xSi به طور متجانس با ساختار A15 از مذاب متبلور می‌شود و تا دمای بسیار کم با گستره‌ی همگنی که ترکیب استوکیومتری را نیز در بر می‌گیرد، پایدار است^(۶). Cr_xSi خاصیت آبرسانایی از خود نشان نمی‌دهد^(۷). البته Cr_xSi مدت‌ها به دلیل استحکام خزشی و مقاومت به اکسایش زیاد به عنوان ماده‌ی نوید بخش استفاده در دماهای بالا مورد توجه بوده است^(۸). ضربه‌های کشنایی و همچنین وابستگی منحنی به دما مشخص شده‌اند^(۹). شکل پذیری فشاری تنها در بالاتر از ۱۲۰۰°C دیده شده است و به دلیل تعداد ناکافی سیستم‌های لغزش، انتظار می‌رود که کشن آن محدود باشد^(۱۰). داده‌های

1- Massalski et al., 1990

2- Bertero et al., 1991a

3- Wang et al., 1988

4- Kassem and Koch, 1991

5- Bertero et al., 1991a, b; Cockeram et al., 1991, 1992a, b; Bewlay et al., 1992; Goldman, 1993

6- Massalski et al., 1990

7- Smathers, 1990

8- Arbiter, 1953a, b; Silverman, 1956; Anton and Shah, 1991b; Dimiduk et al., 1991

9- Fleischer et al., 1989b, 1991; Fleischer and Zabala 1990c

10- Chang and Pope, 1991

مربوط به خزش در دسترس هستند^(۱). $\text{Cr}_\text{m}\text{Si}$ در دماهای کم، ترد همراه با چقرمگی شکست پایین است^(۲). مقاومت به اکسایش کافی تنها در زیر 1200°C یعنی دمای تبدیل تردی به شکل پذیری مشاهده گردیده است^(۳). چقرمگی شکست بهتر ممکن است با آلیاژهای دوفازی $\text{Cr}_\text{m}\text{Si}-\text{Cr}$ ، یعنی ترکیب فاز ترد Si با محلول جامد پر کرم به دست آید^(۴). هم‌چنین، رفتار مکانیکی بهتری برای مواد مرکب با زمینه‌ی بین فلزی پایه‌ی $\text{Cr}_\text{m}\text{Si}$ مانند $\text{Cr}_\text{m}\text{Si}-\text{Y}_\text{z}\text{O}_\text{y}$ یا $\text{Cr}_\text{m}\text{Si}-\text{TiB}_\text{x}$ ، $\text{Cr}_\text{m}\text{Si}-\text{TiC}$ که در آن‌ها سازگاری مناسب شیمیابی و پیوندی زمینه و فاز تقویت‌کننده مشخص شده است^(۵)، انتظار می‌رود.

1- Shah and Anton, 1991

2- Fleischer, 1990; Fleischer et al., 1991

3- McKee and fleischer, 1991

4- Mazdiyasni and Miracle, 1990; Newkirk and Sago, 1990; Bewlay et al., 1992

5- Yang et al., 1990

فصل ۸

فازهای لاوه

۱-۱- خواص عمده

فازهای لاوه (گاهی به نام فازهای فرایاف - لاوه^(۱) شناخته می‌شوند) با ترکیب AB_2 در حالت دوتایی، گروه وسیعی از بین فلزات را تشکیل می‌دهند که با ساختار منشوری $\text{C}14$ ، ساختار مکعبی $\text{C}15$ یا ساختار دوازده وجهی $\text{C}36$ متبلور می‌شوند^(۲). این ساختارها، از خانواده‌ی فشرده‌ی توپولوژیکی (tcp) هستند^(۳). به عبارت بهتر، فازهای لاوه متعلق به خانواده‌ی فازهای فرانک-کاسپار هستند که پیشتر در بخش هفتم تحت عنوان فازهای $\text{A}15$ عنوان شده‌اند.

پایداری سه ساختار بلوری $\text{C}14$, $\text{C}15$ و $\text{C}36$ هم از طریق نسبت اندازه‌ی اتم‌های A و B وهم غلظت الکترون ظرفیت فاز لاوه کنترل می‌شود^(۴). انحراف از ترکیب استویکیومتری ابتدائاً از طریق نشستن اتم‌های اضافی بر محل‌های جانشینی دیگر اصلاح می‌گردد. به عبارت دیگر اتم‌های A و B جایگزین هم می‌شوند^(۵). این قبیل تغییرات، ترکیب چگالی الکترون ظرفیت را تحت تأثیر قرار می‌دهند و همان‌گونه که در مورد TiCo_6 مشاهده شده است (ساختار $\text{C}15$ را برای ترکیب استویکیومتری و ساختار $\text{C}36$ را برای ترکیب دور از استویکیومتری پرکالت از خود نشان می‌دهد) ممکن است تغییری در ساختار بلوری وارد کند^(۶).

1 - Friauf - Laves

2- Laves, 1967; Wernick, 1967; Livingston, 1992

3- Wernick, 1967; Schulze et al., 1973; Watson and Bennet, 1984

4- Wernick, 1967; Leitner, 1971a, b; Leitner and Schulze, 1971; Ohta and Pettifor, 1990

5- Brückner, 1969; Schulze, 1972

6- Aoki et al., 1966; Schulze, 1972

قابل توجه است که تعادل‌های فازی مربوطه هنوز مورد بحث هستند^(۱). وضعیت مشابهی برای $TaCo_6$ با ساختار اضافی C14 برای ترکیب دور از استویکیومتری کم کمالت و $NbCo_6$ گزارش شده است^(۲). در سایر فازهای لاوه، ساختارهای بلوری متفاوت در دماهای مختلف دیده شده‌اند (به عنوان نمونه: $NbCo_6$ و کرومایدی‌های MCr_6 با $M = Ti, Zr, Nb$)^(۳). Ta که فقط تفاوت انرژی کوچکی بین این سه ساختار مشاهده می‌شود^(۴). در حقیقت ساختارهای بلوری C14 و C15 و C16 صرفاً در چیدمان خاص واحدهای مشابه ساختاری دو لایه‌ای با هم تفاوت دارند که نتیجتاً تبدیل ساختار بین این سه ساختار و دو قلویی را از طریق برش متقارن، مجاز می‌کند^(۵). متأثرآ، خطاهای ترتیب چیدمان ممکن است به آسانی در فازهای فشرده بروز کنند که به تفصیل مطالعه قرار گرفته‌اند^(۶). همان طور که در $ZrFe_6$ با استحاله‌ی C15 دیده شده است، ممکن است استحاله‌های ساختاری از طریق تنفس مکانیکی اعمال شود^(۷).

خواص عمدۀ از قبیل ضریب‌های کش‌سازی^(۸) (شکل ۶ را ملاحظه کنید)، ویژگی‌های انبساط حرارتی^(۹) و خواص نفوذ^(۱۰) فقط برای تعداد کمی از فازهای لاوهی منتخب تعیین گردیده‌اند. ناهمسان‌گردی کش‌سازی تنها مقدار کمی است که نشانگر نبودن پیوند جهت دار قوی می‌باشد^(۱۱). HfV_6 پدیده‌ی وابستگی مثبت ضریب کش‌سازی به دما را از خود نشان می‌دهد که با استحاله‌ی مارتنزیتی در دماهای پایین مرتبط می‌شود^(۱۲). رفتار تغییر شکل موم‌سان در دماهای پایین و بالا یعنی سیستم‌های لغزش نابه‌جایی و قابلیت حرکت آن‌ها، برای فازهای لاوهی کلاسیک $MgZn_6$ با ساختار C14 و $MgCu_6$

- 1- Massalski et al., 1990
- 2- Massalski et al., 1990
- 3- Massalski et al., 1990
- 4- Allen et al., 1972; Allen and Liao, 1982; Allen, 1985; Hazzledine et al., 1993; Hazzledine and Pirouz, 1993; Liu et al., 1993; Pope and Chu, 1993
- 5- Khantha et al., 1990
- 6- Liu et al., 1993
- 7- Shannette and Smith, 1969; Schulze and Paufler, 1972; Schiltz and Smith, 1974; Balankin, 1984; Halstead and Rawlings, 1985; Fleischer et al., 1988; Fleischer and Zabala, 1990b, c; Fleischer, 1992b
- 8- Giegengack et al., 1966
- 9- Van der Straten et al., 1976; Wein et al., 1978; Wever, 1992; Sprengel et al., 1994
- 10- Schulze and Paufler, 1972
- 11- Livingston and Hall, 1990

با ساختار C15 به طور مقدماتی مطالعه گردیده است^(۱). مطالعات جدید بر χ_{HfV} با ساختار C15^(۲)،
 χ_{TiCr} با ساختار C15^(۳)، χ_{MgNi} با ساختار C36^(۴) و سه تایی های $\chi_{\text{Mg(Cu,Zn)}}$ با ساختار C36^(۵) و
 $\chi_{\text{Nb(Ni,Al)}}$ با ساختار C14^(۶) معطوف شده اند. فازهای لاو، ترد و محکم و بادمای تبدیل تردی به
شکل پذیری ظاهری در حدود دو سوم نقطه‌ی ذوب هستند^(۷). این تردی در تک بلورها نیز دیده
می‌شود. به عبارت بهتر، تردی از حضور مرزدانه‌های ضعیف و تعداد ناکافی سیستم لغزش ناشی
نمی‌شود. این تردی، ذاتی است و از پیچیدگی فرایند سرخوردن نابه جایی همراه با تنش‌های پیرلز زیاد و
متناظر از چگالی و تحرک کم نابه جایی ها نشأت می‌گیرد.

استحکام زیاد فازهای لاو را می‌توان با استحکام بخشی محلولی در نتیجه‌ی آلیاژ کردن با یک عنصر سوم باز هم افزایش داد^(۸). همان‌گونه که از گسترش حوزه‌ی AB در مقاطع هم‌دمای نمودارهای فازی مربوطه دیده می‌شود، عناصر آلیاژی را می‌توان هم به جای اتم A و هم اتم B در فاز دوتایی χ_{AB} جایگزین نمود^(۹). آلیاژ کردن با Al و Si به خاطر اثر سودمندشان بر مقاومت به اکسایشن موردن توجه ویژه قرار دارد^(۱۰). آلیاژ کردن با هر دو عنصر که جایگزین عنصر B در χ_{AB} می‌شوند، می‌تواند چگالی الکترون ظرفیت را آن قدر تغییر دهد که باعث تغییر در ساختار بلور گردد. به عبارت بهتر هر کدام از سه ساختار مشابه C15، C14 و C36 را می‌توان باکترل مناسب درصد های Si و Al پایدار کرد^(۱۱). وضعیت مشابهی برای $\chi_{Nb(Cr,Fe)}$ مشخص گردیده است که در آن ساختار C14، C15 یا C36 (بسته به دما و درصد Fe) شکل می‌گیرند^(۱۲).

هم در مورد اثر ترکیب و هم اثر پایداری ساختار، فاز سه تایی $\chi_{(Nb,Al,Co)}$ به عنوان نمونه

1- Moran, 1965; Paufler and Schulze, 1967; Krämer and Schulze, 1968; Paufler, 1972; Hall and Livingston, 1989; Livingston et al., 1989; Ohba and Sakuma, 1989

2- Hall and Livingston, 1989; Livingston and Hall, 1990; Pope and Chu, 1993

3- K. C. Chen et al., 1993

4- Livingston and Hall, 1991

5- Livingston and Hall, 1991

6- Sauthoff, 1990b, 1991a; Machon, 1992

7- Wetzing and Witting, 1972; Schulze and Paufler, 1972; Livingston, 1992

8- Sauthoff, 1989; Livingston, 1992; Fleisher, 1992b, 1993d

9- Anton and Shah, 1991b

10- Meier and Pettit, 1992

11- Bardos et al., 1963; Wernick, 1967; Wallace and Craig, 1967

12- Grujicic et al., 1993

مطرح می‌شود. این فاز در دماهای بالا ساختار C14 و در دماهای پایین ساختار C15 از خود نشان می‌دهد. دمای استحاله با افزایش درصد Al از تقریباً 130°C به ازای $x=0$ ، تا دمای انتقال برای تقریباً $x=0.12$ کاهش می‌یابد^(۱). رفتار مشابهی برای $\text{Nb}(\text{Co}_{1-x}\text{Si}_x)$ مشاهده گردیده است. البته $\text{Nb}(\text{Fe}_{1-x}\text{Al}_x)$ ، $\text{Nb}(\text{Fe}_{1-x}\text{Si}_x)$ و $\text{Ti}(\text{Fe}_{1-x}\text{Al}_x)$ فقط ساختار C14 را از خود نشان می‌دهند^(۲). باید تأکید کرد که برخی دیگر از فازهای سه تایی لاوهی مشابه از قبیل $\text{Nb}(\text{Ni}_{1-x}\text{Al}_x)$ ، $\text{Ta}(\text{Ni}_{1-x}\text{Si}_x)$ و $\text{Mo}(\text{Co}_{1-x}\text{Si}_x)$ همگی با ساختارهای C14 به صورت فازهای دوتایی وجود ندارند. به عبارت دیگر حالت‌های $x=0$ را شامل نمی‌شوند. این فازهای سه تایی لاوه به ترتیب به نام‌های NbNiAl ، TaNiAl و MoCoSi شناخته می‌شوند^(۳). سرانجام، باید توجه کرد که TiCr_{1-x} دوتایی که پیشتر اشاره گردید، Fe را در خود حل می‌کند تا فاز سه تایی $\text{Ti}(\text{Fe}_{1-x}\text{Cr}_x)$ با ساختار C14 را به ازای $0.9 \leq x \leq 1$ تشکیل دهد، اگر چه که ساختار این فاز سه تایی، به ازای $1 \leq x \leq 0.95$ (بسته به دما و ترکیب) یکی از ساختارهای C14، C15 یا C36 می‌باشد^(۴).

۲-۱-۲-۸-گاربردها

فازهای لاوهی مختلف هم برای استفاده‌های سازه‌ای و هم عملکردی به صورت امیدوار کننده‌ای مورد توجه قرار گرفته‌اند^(۵). نمونه‌هایی از آن‌ها در بخش‌های بعدی ارائه می‌شوند.

۱-۲-۸-مواد آبرسانا

تبديل به آبرسانا در دمای پایین در تعداد زیادی از فازهای لاوه با ساختار C14 یا ساختار C15 مشاهده شده است^(۶). $\text{V}(\text{Hf},\text{Zr})_{1-x}$ با ساختار C15 به دلیل خواص آبرسانایی سودمندش مورد توجه خاص است، زیرا ترکیب مناسبی از دمای بحرانی زیاد، چگالی جریان بحرانی بالا و استحکام میدان مغناطیسی را به همراه دارد^(۷). به علت فقدان قابلیت تغییر شکل، فراورش آن دشوار است. آلیاژ کردن بیش‌تر (به ویژه با Nb) رفتار مکانیکی را بهبود می‌بخشد به طوری که می‌توان آبرساناهای چندرشته‌ای

1- Von Keitz and Sauthoff, 1992

2- Raghavan, 1987

3- Bardos et al., 1961; Benjamin et al., 1966; Skolozdra et al., 1966b; Billars and Calvert, 1991

4- Raghavan, 1987

5- Livingston, 1992

6- B. W. Roberts, 1967

7- Noto et al., 1986; Olzi et al., 1988

تولید کرد. این آبرسانانها برای استفاده در مغناطیس راکتور هم جوشی هسته مورد توجه واقع می‌شوند زیرا ویژگی‌های آبرسانایی به کرنش مکانیکی و تشعشع نوترون نسبتاً غیر حساس هستند^(۱). تغیر شکل در دمای اتاق برای آلیاژهای با پایه‌ی HfV مقدمتاً با دوقلو شدن رخ می‌دهد^(۲). نمودار فازی Hf-V-Nb اخیراً مطالعه گردیده است^(۳).

۴-۲-۴-۸- مواد مغناطیسی

فازهای لاوی مختلف با فلزات واسطه مانند $T\text{Fe}$, Nb , Hf , Zr , $\text{Ti}=\text{T}$ و همچنین NbCo , و فازهای لاوی فلزات خاکی نادر که کاملاً به هم شبیه‌اند، به دلیل ساختارهای الکترونی خاص شان ویژگی‌های مغناطیسی جالب توجهی از خود نشان می‌دهند^(۴). فازهای خاکی نادر TbFe , SmFe , (هر دو با ساختار C15) قابلیت کش‌سانی مغناطیسی زیادی در دمای اتاق بروز می‌دهند^(۵). به علاوه، واکنش کش‌سانی مغناطیسی نیز وجود دارد و به عبارت بهتر تغیرات نامتعارف در ضربه‌های کش‌سانی تحت یک میدان مغناطیسی مشاهده می‌شود. فاز سه تایی $\text{Fe}_{x-\text{Dy}}\text{Fe}_{x+\text{Tb}}$ (با ساختار C15، نیروی بالقوه‌ی زیادی برای استفاده به صورت مبدل‌های پرقدرت دارد زیرا خاصیت کش‌سانی مغناطیسی بالا همراه با ناهمسانگردی مغناطیسی محو شونده (با $x=0.7$) را دارد^(۶). این ماده همانند سایر فازهای لاوه ترد است و دمای تبدیل تردی به شکل پذیری آن در حدود 875°C است^(۷). به تازگی (هر دو با ساختار C15) از جبهه‌ی اثر عیوب ریز ساختاری بر رفتار مغناطیسی شان مطالعه گردیده‌اند^(۸).

فازهای لاوی مختلف حاوی عناصر خاکی نادر (R) (خصوصاً RFe) می‌توانند مقدار زیادی هیدروژن جذب کنند (بخش بعد را ملاحظه کنید) که ممکن است بر ساختار آن‌ها اثر بگذارد. به عبارت دیگر می‌توانند در هنگام هیدروژنه شدن متحمل استحاله‌های ساختاری از جمله بی‌شکلی شوند که

1- Noto et al., 1986

2- Hall and Livingstone, 1989; Livingston and Hall, 1990; Pope and Chu, 1993

3- Chu and Pope, 1992, 1993

4- Brückner, 1969; Buschow, 1980; Armitage et al., 1986; Yamada and Shimizu, 1986; Sirnova and Meshkov, 1986; Asano and Ishida, 1988

5- Clark, 1980

6- Clark, 1980

7- Saka et al., 1991

8- Bi and Abell, 1993

ممکن است با واکنش‌های تجزیه همراه باشد^(۱). این قبیل واکنش‌های هیدروژنه شدن و هیدروژن زدایی در تولید پودرهای ریزدانه جهت تولید آلیاژهای به اصطلاح باقابیت کش سانی مغناطیسی بسیار زیاد مانند RFe به روش متالورژی پودر استفاده شده‌اند^(۲).

۳-۴-۸- مواد نگهدارنده هیدروژن

فازهای لاهه‌ی مختلف می‌توانند مقادیر زیادی هیدروژن را جذب کنند، از این رو برای استفاده به عنوان ماده‌ی نگهدارنده هیدروژن مورد توجه قرار می‌گیرند^(۳). این قبیل فازهای AB_2 حاوی جزء سازنده‌ی هیدرید قوی به صورت عنصر A هستند و با ساختار $\text{C}1\bar{4}$ یا $\text{C}1\bar{5}$ متبلور می‌شوند. فازهای لاهه با بیشترین ظرفیت جذب، ZrCr_2 , $\text{H/M}=1/8$ ($\text{C}1\bar{5}$) با نسبت هیدروژن به فلز $=1/8$ (ZrV_2 , $\text{H/M}=1/3$ ($\text{C}1\bar{4}$) همچنین $\text{C}1\bar{5}$ (TiCr_2 , $\text{H/M}=1/2$ ($\text{C}1\bar{4}$) با $\text{H/M}=1/2$ هستند. طبق یافته‌های جدید، LaNi_3 که به عنوان فاز دارای ساختار $\text{C}1\bar{5}$ شناخته می‌شود^(۴) با $\text{H/M}=1/5$ ^(۵) فاز شبی لاهه مکعب مستطیلی است که صرفاً با حضور ناخالصی‌ها پایدار می‌شود^(۶).

هیدریدهای تشکیل شده در این فازهای لاهه برای واجذبی آسان هیدروژن که پیش نیاز نگهداری هیدروژن است، بسیار پایدار هستند^(۷). در شرایط عملی نگهداری هیدروژن، می‌توان پایداری هیدرید را از طریق انحراف از استویکیومتری، مقدمتاً با جایگزینی عنصر B با Co , Fe , Ni ، Cu یا Mn یا جایگزینی عنصر A با Ti یا هر ترکیبی از این امکان‌های آلیاژ‌سازی کاهش داد و تنظیم کرد.

نمونه‌ای از این اثر استویکیومتری ZrMn_2 است که با افزایش درصد Mn ، افزایش فشار بخار هیدروژن را نشان می‌دهد و با ساختار $\text{C}1\bar{4}$ $\text{ZrMn}_{2/\bar{4}}$ پایدار است^(۸). نمونه‌ی دیگر TiMn_2 (با ساختار $\text{C}1\bar{4}$) است که در ترکیب دور از استویکیومتری $\text{TiMn}_{1/5}$ به حداقل قابل حلایت هیدروژن خود

1- Aoki and Masumoto, 1988; Pontonnier et al., 1991; Suzuki and Lin, 1993; Christodoulou and Takeshita, 1993b; Kim and Lee, 1993a, b; Aoki and Masumoto, 1993

2- Jones et al., 1991

3- Somenkov and Shilstein, 1979; Reilly, 1979; Ivey and Northwood, 1986b

4- Wernick, 1967

5- Ivey and Northwood, 1986b

6- Gschneidner, 1993

7- Ivey and Northwood, 1986b

8- Ivey and Northwood, 1986b

می‌رسد، در حالی که در ترکیب استویکیومتری اصلًا هیدروژن جذب نمی‌کند^(۱). اثرات جانشینی بر ساختار الکترونی، پایداری آلیاژ، پایداری هیدرید و ظرفیت نگهداری هیدروژن در سیستم‌های مختلف مطالعه گردیده است، به عنوان نمونه $Zr(Mn_{1-x}Fe_x)_{2-y}Zr_2Ti_2(Co_x)_{3-y}$ ^(۲) و $Zr(Cr_{1-x}V_x)_2$ ^(۴) چند هم V و هم Co با سایر فلزات واسطه جایگزین شده‌اند^(۳) و $Zr(Cr_{1-x}V_x)_2$ ^(۵). گونگی ساختار از خود نشان می‌دهند. به عبارت بهتر گونه‌های مختلف هر کدام از ساختارهای منشوری یا مکعبی C15 تشکیل می‌شوند که تنها در چیدمان واحدهای ساختار بلوری تفاوت دارند^(۶).

فازهای لاؤهی مختلف با عناصر خاکی نادر (R) در هنگام هیدروژنه شدن متتحمل بی‌شكلی می‌شوند^(۷). RNi با ساختار C15 به آسانی به صورت RNi_3 بی‌شکل استحاله می‌یابد که بسیار پایدار است و برای استفاده به صورت الکترودهای با طول عمر زیاد در باتری‌های الکتروشیمیایی هیدروژن - نیکل مورد توجه قرار می‌گیرد^(۸).

ترمودینامیک هیدروژنه شدن مطالعه گردیده است و انتالپی تشکیل هیدریدها تعیین شده است^(۹). بهینه سازی ویژگی‌ها به ایجاد فازهای لاؤهی چندتایی مانند آلیاژهای Zr-Mn-Co-V^(۱۰)، آلیاژهای Zr-Mn-Ni-V-Cr^(۱۱)، آلیاژهای Zr-Ti-V-Fe^(۱۲) و Zr-Ti-Mn-Fe^(۱۳) انجامیده است که از لحاظ کاربرد به عنوان مواد نگهدارنده‌ی هیدروژن و الکترودها در باتری‌های الکتروشیمیایی هیدروژن - نیکل، به طور مفصل بررسی شده‌اند.

-
- 1- Sicking et al., 1981
 - 2- Moriwaki et al., 1991a
 - 3- Triantafyllidis et al., 1991
 - 4- Peretz et al., 1979
 - 5- Ivey and Northwood, 1986a
 - 6- Meng and Northwood, 1986; Burany and Northwood, 1991
 - 7- Aoki and Masumoto, 1988, 1993; Pontonnier et al., 1991; Suzuki and Lin, 1993; Christodoulou and Takeshita, 1993b; Kim and Lee, 1993a, b
 - 8- Miyamura et al., 1991
 - 9- Lynch et al., 1979; sicking et al., 1981; Ivey and Northwood, 1986b; Uchida et al., 1986; Perevesenzew et al., 1988; Drasner and Balzina, 1991; Zeng et al., 1993; Lück and Wang, 1993; Park et al., 1993
 - 10- Yonezu et al., 1991
 - 11- Wakao et al., 1991
 - 12- Moriwaki et al., 1991b
 - 13- Park and Lee, 1992

۴-۲-۸-آلیاژهای سازه‌ای

فاز لاؤهی سه تابی MoCoSi , یا به عبارت دیگر $\text{Mo}(\text{Co},\text{Si})$, با ساختار منشوری C14 موجب توسعه‌ی آلیاژهای مقاوم به سایش $\text{Co}-\text{Mo}-\text{Cr}-\text{Si}$ گردیده است که حاوی جزء‌های حجمی بزرگ از فاز لاؤه در یک توزیع درشت دانه همراه با یک فاز پر Co هستند و به نام تربیالوی‌ها^(۱) شناخته می‌شوند^(۲). این آلیاژها، علاوه بر استحکام و سختی زیاد، از چقرمگی شکست مناسبی (تقریباً $20 \text{ MN/m}^{1/5}$) برخوردارند. این خواص مکانیکی مفید، به مقاومت به سایش عالی منجر می‌شود که (در ترکیب با مقاومت به خوردگی عالی در محیط‌های مختلف) تربیالوی‌ها را برای استفاده در گستره‌ی وسیعی از دماها و محیط‌های مختلف جذاب می‌کند.

فازهای لاؤهی دوتایی محکم NbFe ، TaFe ، NbFe_2 برای تولید آلیاژهای پایه‌ی آهنی فریتی مستحکم شده با فاز لاؤه به منظور استفاده در دماهای بالا مورد توجه قرار گرفته‌اند^(۳). فازهای لاؤهی مستحکم شده با فاز لاؤه به منظور استفاده در دماهای بالا مورد توجه قرار گرفته‌اند^(۴). این فازهای لاؤهی مستحکم شده با فاز لاؤه به منظور استفاده در دماهای بالا مورد توجه قرار گرفته‌اند^(۵). البته، تردی مسلم این قبیل فازها فراورش شان را بسیار دشوار می‌سازد و مانع هرگونه کاربرد فازهای لاؤهی تک لایه‌ای جلوگیری می‌شود.

همانند سایر سیستم‌های آلیاژی، ترکیب این قبیل فازهای لاؤه با فازهای نرم می‌تواند تردی را تا حد مجاز تقلیل دهد و در واقع آلیاژهای دوفازی $\text{Ti}-\text{TiCr}$ ، $\text{Ti}-\text{Nb}-\text{(Ti,Nb)}\text{Cr}$ ، همچنین آلیاژهای $\text{Cr}-\text{Nb}-\text{Ti}$ چشم انداز خوبی برای کسب استحکام‌های بالا توانم با چقرمگی قابل قبول در دمای اتانق نشان داده‌اند^(۶). فاز لاؤه در این آلیاژها به صورت ذرات استحکام بخش وجود دارد که در حین تغییر شکل ترک بر می‌دارند و ترک‌ها در مرز فازها متوقف می‌شوند. سیستم‌های آلیاژی مشابه دارای فازهای لاؤه به طور گسترده از لحظ استحکام، دمای تبدیل تردی به شکل پذیری و مقاومت به اکسایش طبقه‌بندی شده‌اند^(۶). سیستم $\text{Nb}-\text{Cr}$ به عنوان سیستم منتخب برای کاربردهای دمای بالا مورد توجه قرار می‌گیرد زیرا فاز ماده لاؤهی NbCr از نقطه‌ی ذوب متجانس بالا (1770°C) استحکام و مقاومت به خروش زیاد،

1- Tribaloys

2- Schmidt and Ferris, 1975; Halstead and Rawlings, 1984, 1985

3- Bhandarkar et al., 1976; Wert et al., 1979

4- Arbiter, 1953a, b; Silverman, 1956; Grinthal, 1956, 1958

5- Fleischer and Zabala, 1990b; K.C. Chen et al., 1993

6- Anton and Shah, 1992a, 1993; Shah and Anton, 1992b

چگالی نسبتاً کم، مقاومت به اکسایش بالقوه و گستره‌ی وسیع حلالیت که امکان‌های متعدد آلیاژ‌کردن را به ارمغان می‌آورد، برخوردار است^(۱). چقرمگی نه تنها با احاطه‌ی NbCr، به صورت ذره در زمینه‌ی Cr بهبود می‌یابد، بلکه از طریق ذرات Nb در زمینه‌ی NbCr، نیز اصلاح می‌شود^(۲). پدیده‌های چقرمه کننده‌ی مشابهی برای Cr-ZrCr، و Cr-HfCr، مشاهده شده‌اند^(۳). علاوه بر این آلیاژ‌های دوفازی بین فلزی / فلزی که ممکن است در مواد مرکب در محل مورد توجه واقع شوند، چنین فازهای لاؤهای به عنوان زمینه در مواد مرکب با زمینه‌ی بین فلزی همراه با ذرات پراکنده‌ی استحکام بخش و رشته‌ها نیز مورد توجه قرار می‌گیرند^(۴).

فازهای لاؤهی حاوی Cr ممکن است در دماهای بسیار بالاتر از ۱۰۰۰°C به دلیل فراریت اکسیدهای Cr سودمندی کم‌تری از نظر مقاومت به اکسایش داشته باشد^(۵). برای استفاده در چنین دماهای بالایی (همان‌گونه که پیش‌تر در بخش ۳-۲ بیان شد) فازهای حاوی Al ترجیح داده می‌شوند. بنابراین فازهای لاؤهی سه تایی حاوی Al (خصوصاً Ta(Ni,Al)، Nb(Ni,Al) یا Nb یا Ta(Ni,Al) و Ta(Fe,Al) که در بخش ۱-۸ به آن‌ها اشاره شده‌است) به دلیل دمای ذوب بالا، مقاومت به اکسایش بالقوه و استحکام زیاد برای استفاده در دماهای بالا مورد توجه واقع گردیده‌اند^(۶). از سوی دیگر فازهای لاؤهی تک لایه‌ای برای استفاده‌های سازه‌ای بسیار ترد هستند. البته این فازها، تعادل‌های دوفازی پایداری به ترتیب با آلومیناید‌های با ساختار B2، NiAl و FeAl می‌سازند که امکان تهیه آلیاژ‌های دوفازی بین فلزی را همراه با کاهش تردی به ارمغان می‌آورند. همان‌گونه که قبلاً در بخش ۶-۳-۴ در مبحث تحت عنوان "آلیاژ‌های مساواهی" مطرح گردید، آلیاژ‌های NiAl-TaNiAl، NiAl-NbNiAl، FeAl-TaFeAl و NiAl-(Nb,Ta)NiAl جنبه‌های استحکام، چقرمگی، دمای تبدیل تردی به شکل پذیری، مقاومت خزشی و مقاومت به اکسایش مطالعه گردیده‌اند.

1- Svedbert, 1976; Thoma and Perepezko, 1990; Anton and Shah, 1991b; Vignoul et al., 1991; Takeyama and Liu, 1991

2- Anton and Shah, 1990; Takeyama and Liu, 1991

3- Mazdiyasni and Miracle, 1990

4- Shah et al., 1990; Yang et al., 1990

5- Hindam and Whittle, 1982

6- Sauthoff, 1989, 1991a, 1992; Machon, 1992; Zeumer and Sauthoff, 1992; Von Keitz and Sauthoff, 1992

فصل ۹

بریلایدها

بریلایدهای فلز واسطه (خصوصاً فازهای پر Be با Ta, Nb, Hf, Zr, Ti) به خاطر چگالی‌های کم (بین ۲ و ۵ g/cm³)، دمای ذوب بالا، استحکام و سخت پایی زیاد و مقاومت به اکسایش بالا، مدت‌ها جهت استفاده به صورت مواد سازه‌ای در دماهای بالا مورد علاقه‌ی فراوان بوده‌اند^(۱). ترکیب‌های شاخص این فازهای پر بریلیم عبارتند از: MBe₁₂ به عنوان نمونه به ازای M₁₂ Ta=Hf₁₂ یا Zr=M₁₂ Ta=Nb₁₂, Mo=M₁₂ Be₁₂, Ti₁₂ و M₁₂ Be₁₂, Ta=Mo=M₁₂ Hf₁₂, Nb₁₂, Ti₁₂ یا Zr₁₂. این قبیل فازها و سایر فازهای پر بریلیم با ترکیب‌های مشابه، بایش‌تر فلزات دیگر تشکیل می‌شوند. اکثر فازهای بین فلزی حاوی بریلیم مشابه با فازهای بین فلزی حاوی عناصر خاکی نادر (که در بخش بعد عنوان می‌شوند) هستند. هیچ بریلایدی در سیستم‌های Al-Si و Al-Be₁₂ دیده نشده است^(۲). این فازهای پر بریلیم ساختار بلوری منشوری، مکعب مستطیلی یا مکعبی پیچیده دارند و باید توجه کرد که در برخی موارد اطلاعات کریستالوگرافی موجود در مراجع استاندارد بحث‌انگیزند^(۳). بریلایدهای با بریلیم کم‌تر، ساختارهای مشابهی دارند. به عنوان نمونه، فازهای لاؤهی₁₂ با Cr₁₂ Mo₁₂, Fe=M₁₂ MBe₁₂ یا با ساختار C14 و C15 با Ti₁₂ Nb₁₂ یا Ti₁₂ Be₁₂ با ساختار A15 (بخش ۱-۸)، فازهای NiBe₁₂ و TiBe₁₂ با ساختار B2 (بخش ۴-۴) یا فاز A15 با ساختار C15 (بخش ۱-۷) هستند. اطلاعات اساسی رامی‌توان از مراجع قدیمی تر به دست آورد^(۴). فازهای پر بریلیم با Zr₁₂ Nb₁₂ یا فلزات واسطه‌ی مشابه با روش‌های متالورژی پودر تهیه شده‌اند^(۵).

1- Stonehouse et al., 1960; ryba, 1967; Hove and Riley, 1967; Marder and Stonehouse, 1988; Tien et al., 1992; Kumar and Liu, 1993

2- Massalski et al., 1990

3- Massalski et al., 1990; Villars and Calvert, 1991

4- Shaffer, 1964; Samsonov and Vinitskii, 1980

5- Marder and Stonehouse, 1988; Henager et al., 1992b

اگرچه از روش‌های متالورژی شمش نیز استفاده شده است^(۱). به دلیل فراریت و سمی بودن بریلیم، فراورش باید با دقت انجام گردد^(۲). مقاومت به اکسایش آن به علت تشکیل پوسته‌های محافظ BeO عموماً عالی است^(۳)، هرچند که اکسایش شبه سفیدک با تجزیه‌ی آزمونه در گستره‌ی دمایی متوسط در حدود ۸۰°C برای بریلاید‌های Zr و Nb مشاهده می‌شود^(۴). توجه می‌شود که بریلایدها جهت استفاده به صورت پوشش‌های محافظ، به عنوان نمونه بر روی Ta پیشنهاد شده‌اند^(۵).

رفتار مکانیکی این فازهای پربریلیم و تغییر آن با دما، از طریق آزمون سختی، آزمون پارگی خمی، آزمون‌های کشش و فشار مطالعه گردیده‌اند^(۶). دماهای تبدیل تردی به شکل پذیری مشاهده شده در حدود ۱۰۰۰°C است. اگرچه نشانه‌هایی از مومسانی موضعی در فرورفتگی‌ها وجود دارد^(۷)، ولی چرمگی شکست (K_{Ic}) در دمای پایین بین $2\text{ Mn/m}^{1/2}$ و $4\text{ Mn/m}^{1/2}$ بدون نرمی در مقیاس کلان است^(۸). استحکام‌های پارگی خمی در بالاتر از ۱۰۰۰°C حداً کثر مقدارشان را نشان می‌دهند^(۹) که ممکن است ناشی از اکسایش شبه سفیدک و شکست ترد زودرس در زیر ۱۰۰۰°C باشد. ثابت‌های کشسانی^(۱۰)، همچنین ضریب‌های انبساط حرارتی و هدایت حرارتی و گرمای ویژه^(۱۱) مشخص شده‌اند.

تحقیق تازه‌ای بر روی NbBe_{12} با ساختار مکعب مستطیلی D2 معطوف شده است و رفتار تغییر شکل آن به تفصیل مطالعه گردیده است^(۱۲). واکنش‌های نابهجهای در دماهای بالا تجزیه و تحلیل گردیده و سیستم‌های لغزش مشخص شده‌اند^(۱۳). ساختار هسته‌های نابهجهای از طریق الگوسازی اتمی

1- Nieh et al., 1990

2- Stonehouse and Marder, 1990

3- Marder and Stonehouse, 1988; Grensing, 1989

4- Westbrook and Wood, 1964; Ryba, 1967; Aitken, 1967; Chou et al., 1992

5- Lawthers and Sama, 1993

6- Ryba, 1967; Marder and Stonehouse, 1988; Fleischer and Zabala, 1990c; Nieh and Wadsworth, 1990; Bruemmer et al., 1993

7- Ryba, 1967

8- Bruemmer et al., 1993

9- Marder and Stonehouse, 1988; Henager et al., 1992b; Bruemmer et al., 1993

10- Fleischer et al., 1989b

11- Marder and Stonehouse, 1988

12- henager et al., 1992b

13- Bruemmer et al., 1992b

مطالعه^(۱) و رفتار دوقلو شدن تحلیل شده است^(۲). رفتار مکانیکی $NbBe_{12}$ ممکن است از طریق ترکیب $NbBe_{12}$ با سایر فازهای فلزی یا بین فلزی، مثلاً $Nb_{1-x}Be_x$ یا $Nb_{1-x}Be_x$ در سیستم دوتایی $Nb-Be$ بهبود یابد^(۳). همانند $NbBe_{12}$ ، فازهای $TiBe_{12}$, $ZrBe_{12}$, $TiBe_{13}$, $Nb_{1-x}Be_x$ یا $Ta_{1-x}Be_x$ نیز به صورت فاز تقویت کننده در مواد مركب با زمینه‌ی بین فلزی و بر پایه‌ی فاز (FeAl) (B2) پیشنهاد شده‌اند^(۴). در این سیستم‌ها و سایر سیستم‌های مواد مركب، سازگاری شیمیایی می‌تواند مسأله ساز باشد، زیرا (همان‌گونه که از طریق ترکیب $NbBe_{12}$ با سایر مواد^(۵) یا $TiBe_{12}$ با $NiAl$ ^(۶) نشان داده شده است) واکنش‌های شیمیایی بر پایداری ماده‌ی مركب تأثیر می‌گذارند.

علاوه بر این فازهای پر بریلیم، $NiBe$ با ساختار B2 از لحاظ خواص مکانیکی و مقاومت به اکسایش عالی آن تا $1100^{\circ}C$ سودمند است^(۷). خصوصاً این فاز اکسایش شبه سفیدک در دماهای میانه را از خود نشان نمی‌دهد^(۸) و گستره‌ی وسیعی از همگنی دارد^(۹) که امکان‌های مختلفی برای آلیاژسازی فراهم می‌آورد. ساختار ساده‌ی B2 این انتظار را می‌پروراند که تغیر شکل موم‌سان $NiBe$ آسان‌تر از فازهای پر بریلیم است. استحکام در دمای اتاق $NiBe$ یک حداقل مقدار در ترکیب استویکیومتری از خود نشان می‌دهد که همانند $NiAl$ (بخش ۳-۳-۴) نه تنها از اثر استحکام بخشی عیوب نقطه‌ای ساختاری برای ترکیب‌های دور از استویکیومتری ناشی می‌شود بلکه از اثر استحکام دهی اکسیژن که به صورت بین نشین حل شده است (با حداقل حلalیت اکسیژن در $NiBe$ در ترکیب استویکیومتری) نشأت می‌گیرد^(۱۰). مطروف رامی توان در $1100^{\circ}C$ تحت آهن‌گری گرم و حدیده کاری قرار داد^(۱۱). با توجه به خواص جالب توجه $NiBe$ و فازهای پر بریلیم، کار بسیار بیشتر برای بهینه سازی رفتار مکانیکی، یعنی بهبود چفرمگی در دمای کم و غلبه بر مشکلات فراورش مرتبط با آن ضروری است.

1- Shondi et al., 1992

2- Charlot et al., 1991; Sondhi et al., 1993

3- Bruemmer et al., 1990, 1992a

4- Tien et al., 1992

5- Brimhall and Bruemmer, 1992

6- Carbone et al., 1988

7- Lee and Nieh, 1989; Nieh et al., 1990; Pharr et al., 1991

8- Chou et al., 1992

9- Massalski et al., 1990

10- Nieh and Wadsworth, 1989; Nieh et al., 1989, 1990

11- Nieh et al., 1990

فصل ۱۰

ترکیب‌های خاکی نادر

گروه بزرگی از فازهای خاکی نادر بین فلزی وجود دارد، زیرا فلزات خاکی نادر، اندازه‌های اتمی بسیار بزرگ‌تر و الکترونگاتیویته‌های کم‌تر از اغلب فلزات دیگر دارند که این خاصیت، امکان‌های متعددی برای پرکردن فضا فراهم می‌کند^(۱). ساختارهای بلوری پیچیده‌ی این فازها از تعدادی از ساختارهای مکعبی، (مثلًا ساختار مکعبی D2) یا ساختار منشوری D2 باز طریق چیدمان واحدهای ساختاری به طرق مختلف مشتق می‌شوند که نیزجتاً از آن‌ها ترکیب‌های استوکیومتری مختلف حاصل می‌گردد^(۲). داده‌های مربوط به بلورشناسی (کریستالوگرافی) اغلب فازهای دوتایی، سه‌تایی و چهارتایی خاکی نادر گردآوری شده‌اند^(۳). ترکیب‌های بین فلزی خاکی نادر غالباً خطی هستند و تنها گسترده‌های ترکیبی بسیار باریکی دارند. تهیه‌ی این فازها به دلیل میل ترکیبی زیاد با اکسیژن دشوار است که منجر به انواع واکنش با مواد بوتهای معمولی می‌شود. فرایندهای مختلفی برای تولید فازهای بین فلزی خاکی نادر گسترش یافته‌اند^(۴).

۱۰-۱- مواد مغناطیسی

ترکیب‌های بین فلزی خاکی نادر، به دلیل خواص مغناطیسی جالب توجه، (بسته به ترکیب و ساختار بلوری‌شان) جزء با اهمیت‌ترین مواد کاربردی هستند^(۵). Sm₁₇Co₅ موجب پیشرفت مغناطیس‌های دائمی خاکی نادر (REPMs) شده‌اند. این مواد به خاطر حاصل اثری زیاد $[B.H]_{max}$ B) (B.H)

1- Buschow, 1980

2- Herget and domazer, 1975, Buschow, 1980

3- Gladyshevskii and Bodak, 1982

4- Herget and Domazer, 1975

5- Buschow, 1980, 1991

القای مغناطیسی و H استحکام میدان مغناطیسی) و پسماند زدایی بالا متمایز شده‌اند^(۱). طیف خواص بهینه سازی شده با آلیاژ کردن (یا به عبارت بهتر جایگزینی سایر فلزات خاکی نادر به جای Sm و Fe و دیگر فلزات واسطه و مس به جای کبالت) و فراورش مناسب به دست آمده است^(۲). مواد چندتایی حاصل از ساختارهای چند فازی پیچیده برخوردارند و تأثیرات ترکیب‌های مختلف ساختار بر ویژگی‌های مغناطیسی هنوز به طور کامل درک نشده است^(۳).

آلیاژ کردن با بین نشین‌های B, C و N به فازهای خاکی نادر سه تایی با خواص مغناطیسی بسیار جذاب منجر شده است و نمونه‌های جالب توجه آن عبارتند از $C_xFe_{1-x}Sm_2Fe_7N_x$, $C_xSm_2Fe_7$, $Nd_xFe_{1-x}Sm_2Fe_7$ و $Nd_xFe_{1-x}B$ ^(۴). $Nd_xFe_{1-x}B$ مبتنی برای به وجود آمدن مغناطیسی‌های دائمی B-Nd-Fe بوده است. این مغناطیسی‌ها در دمای اتاق، حاصل اثری $[B.H_{max}]$ حتی بیشتر از مواد نوع H SmCo₅ و نوع Sm₂Co₁₇ به ازای قیمت‌های کمتری دارند، در حالی که خواص شان در دمای بالاتر کمتر رضایت بخش است^(۵). مواد مختلف REPM, نوع H Sm₂Co₁₇, نوع H Sm₂Co₁₇ Nd, Fe, B و نوع H Sm₂Co₁₇ در درجه‌ی اول باروش‌های متالورژی پودر تولید می‌شوند، اگر چه متالورژی شمش و انجام دسریع نیز به کار رفته‌اند^(۶). این مواد ترد هستند که در نتیجه به دشواری ماشین کاری شان می‌شوند. مقاومت به خوردگی آن‌ها کمتر است و استفاده از پوشش محافظت را در محیط‌های مخرب ضروری می‌سازد. $SmCo_5$ دچار تخریب محضی از نوع پسماند زدایی می‌شود که از جذب هیدروژن نشأت می‌گیرد^(۷). هیدروژن کردن آلیاژ‌های Nd-Fe-B به استحاله‌ی ساختار واکنش‌های تجزیه‌ای منجر می‌شود و برای تولید پودرهای ریز دائمی Nd-Fe-B استفاده می‌گردد^(۸). به دلیل ارائه‌ی سودمندترین ترکیب خواص، مغناطیسی‌های خاکی نادر بازار بزرگ و زمینه کاربردی وسیعی پیدا کرده‌اند^(۹).

1- Livingston, 1990; Buschow, 1991; Stadelmaier et al., 1991

2- Strnat, 1990

3- Stadelmaier et al., 1988

4- Buschow, 1986, 1991

5- Strnat, 1990; Buschow, 1991

6- Herget and Domazec, 1975; Ormerod, 1988; Croker, 1990; Strnat, 1990; Buschow, 1991; Steinhorst, 1992

7- Willems and Buschow, 1987

8- Harris and McGuiness, 1991

9- Strnat, 1990; Buschow, 1991

۲-۱۰- مواد نگهدارنده‌ی هیدروژن

فازهای خاکی نادر مختلف علاوه بر استفاده به عنوان مواد مغناطیسی، می‌توانند مقدار زیادی هیدروژن جذب کنند. مثال شاخص این مواد RFe_5Co_5 ^(۱) و یا فازهای لاؤهی خاکی نادر (بخش ۳-۲-۸) هستند که مقبولیت زیادی برای استفاده به صورت مواد نگهدارنده‌ی هیدروژن دارند. برجسته‌ترین نمونه‌ها فازهای $LaNi_5$ (خصوصاً $LaNi_5H_x$) هستند که به عنوان نمونه‌ی ماده‌ی نگهدارنده‌ی هیدروژن مورد توجه هستند و به صورت الکترودهای قابل شارژ در باتری‌های الکتروشیمیایی نیکل - هیدروژن به کار می‌روند^(۲). ساختار بلورین هیدریدهای سه تایی $LaNi_5H_x$ و RCo_5H_x مشابه با آن، پیچیده است و الگوهای مختلفی برای توزیع اتم‌های هیدروژن پیشنهاد شده‌اند که هنوز مورد بحث هستند^(۳). پایداری $LaNi_5$ از چرخه‌ی جذب - واجذبی تأثیر می‌پذیرد که از فرایندهای تخریب سطحی ناشی می‌شود^(۴). طیف خواص، از طریق آلیاژکردن با عنصر دیگر بهینه سازی می‌شود. نمونه‌ای از این بهینه سازی، به وجود آمدن ماده‌ی $MmNi_{1-x}Co_{x/2}Al_{x/2}Si_{1/2}Nd_{1/2}Ni_{1/2}Co_{1/2}$ ^(۵) یا $La_{1-x}Nd_xNi_{1/2}Co_{1/2}Al_{1/2}Si_{1/2}$ است که Mm به جای میش مtal^(۶) (که مخلوطی از فلزات خاکی نادر است) می‌نشیند^(۷). فاز مغناطیس دائم $SmCo_5$ می‌تواند مقادیر زیادی از هیدروژن را نیز جذب کند که البته نیروی پسماندزدا را کاهش می‌دهد^(۸). توجه می‌شود که $CaNi_5$ هم ساختار با $LaNi_5$ است، رفتار مشابهی نشان می‌دهد و به عنوان فاز ارزان قیمت منتخب برای نگهداری هیدروژن مورد توجه قرار می‌گیرد^(۹).

1- Christodoulou and Takeshita, 1993a

2- Reilly, 1979; Willems and Buschow, 1987

3- Somenkov and Shilstein, 1979; Willems and Buschow, 1987

4- Uehida et al., 1991 Josephy et al., 1991

5- Willems and Buschow, 1987

6- Mischmetal

7- Sakai et al., 1991

8- Buschow, 1991

9- Yagisawa and Yoshikawa, 1979

فصل ۱۱

سیلیسایدها

سیلیسایدهای فلزات واسطه، شباهت‌هایی نزدیکی به بین فلزات نشان می‌دهند و از این روش غالباً با ترکیب‌های بین فلزی در یک طبقه قرار می‌گیرند، اگرچه سیلیسیم چندان فلز محسوب نمی‌شود بلکه یک نیمه هادی است. سیلیسایدها عموماً سخت و ترد با درخشندگی فلزی، هدایت حرارتی و الکتریکی زیاد، ثابت دمایی مثبت، مقاومت ویژه و خاصیت شبه مغناطیسی هستند^(۱). نوع پیوند و هدایت الکتریکی دقیقاً به نسبت فلز به سیلیسیم و نوع فلز (M) بستگی دارد. پیش ترین خاصیت فلزی توسط سیلیسایدهای پر فلز M_xSi و M_xSi_y که در آن‌ها اتم‌های Si از هم جدا می‌افتد، آشکار می‌گردد. هرچه نسبت M/S کم تر باشد، ویژگی‌های فلزی نیز پایین تر است و شبکه‌ها یا زنجیره‌های پیوسته‌ی سیلیسیم در ساختار بلوری بسیار ساده‌تر تشکیل می‌شوند^(۲). اما باید تأکید شود که وضعیت تا اندازه‌ای پیچیده‌تر از این است. به عنوان نمونه، دی‌سیلیساید CrSi_x با ساختار منشوری C40 در واقع یک نیمه رسانا است در حالی که NbSi_x با همان ساختار بلوری و MoSi_x با ساختار C40 در دمای‌های بالا و ساختار دقیقاً مشابه با ساختار مکعب مستطیلی C11 در دمای‌های کمتر^(۳) فلزی هستند^(۴). هم‌چنین FeSi و CoSi (هردو با ساختار مکعبی B20) مجموعه‌ی پیوسته‌ای از محلول‌های جامد از حالت نیمه رسانا برای فازهای پر آهن، به شرایط فلزی برای فازهای پرکبات^(۵) را تشکیل می‌دهند که این تبدیل حالت بر ویژگی‌های

1- Westbrook, 1960b; Nowotny, 1963; Wehrmann, 1967; Goldschmidt, 1967b

2- Goldschmidt, 1967b

3- Massalski et al., 1990

4- Nowotny, 1963, 1972a; Goldschmidt, 1967b

5- Romasheva et al., 1980

مغناطیسی و رفتارکش‌سانی این مواد تأثیر می‌گذارد^(۱).

سیلیساید‌ها به دلیل استحکام و مقاومت به اکسایش زیاد در دمای بالا، در چهل سال گذشته برای استفاده در دماهای بالا مورد توجه واقع شدند^(۲). این توجه باعث آغاز فعالیت‌های تحقیقاتی گستردۀ توأم با تفکیک ویژگی‌های مکانیکی و فیزیکی بوده است و نتایج حاصله، دست مایه‌ی تألیفات و بررسی‌های مفصل بوده‌اند^(۳). نمودارهای فازی سیستم‌های سه تایی مورد علاقه^(۴)، هم‌چنین ساختارهای بلوری و شیمی بلور سیلیساید‌های مختلف تجزیه و تحلیل شده‌اند^(۵).

از تلاش‌های پیشین تنها یک پیشرفت موفقیت آمیز پدیدار گردید که منجر به استفاده از MoSi_2 به عنوان المتن‌های گرماده در کوره‌های دمای بالا شد^(۶). بعدها، پوشش‌های محافظ بر روی آلیاز‌های فلزی به دلیل مقاومت به اکسایش سودمند سیلیساید‌های مختلف کاربرد یافت^(۷). ویژگی‌های الکتریکی مفید سیلیساید‌های مختلف به کاربرد عمده‌ی آن‌ها به صورت لایه‌های نازک در تجهیزات الکترونیکی منجر شده است^(۸). با توجه به این قبیل کاربردها، مقاومت الکتریکی ویژه، ویژگی‌های ترمودینامیکی، سیستمیک تشکیل لایه‌ی نازک و نفوذ سیلیساید‌های فلزات واسطه بررسی شدند^(۹). در حال حاضر، نیاز به مواد سازه‌ای جدید برای کار در دماهای بالاتر، توجه به سیلیساید‌ها را به عنوان مواد سازه‌ای مجدد رونق داده است و پیشرفت‌هایی در این زمینه در جریان است^(۱۰). در بخش‌های بعدی، مرور مختصراً خواهیم داشت بر ترکیب‌های مهم این سیلیساید‌ها که قبلاً مورد توجه بوده و یا در حال حاضر مورد استفاده قرار می‌گیرند.

1- Zinov'eva et al., 1984

2- Lowrie, 1952; Fitzer, 1952; Schwarzkopf and Kieffer, 1953; Arbitter, 1953b; Wehrmann, 1956

3- Westbrook, 1960b; Shaffer, 1964; Hove and Riley, 1967; Wehrmann, 1967; Goldschmidt, 1967b; Samsonov and Vinitskii, 1980

4- Kudielka and Nowotny, 1956; Brukl et al., 1961; Schob et al., 1962; Bardos et al., 1966; Gladyshevskii and Borusevich, 1966; Skolozdra et al., 1966a, b

5- Vevitt, 1963, 1967; Nowotny, 1963, 1972a; Nowotny and Benesovsky, 1967; Jeitschko et al., 1969 Jeitschko, 1977

6- Fitzer and Rubisch, 1958; Tamura, 1961; Schrewelius and Magusson, 1966; Schlichting, 1986

7- Hildebrandt et al., 1978; Fitzer et al., 1978; Caillet et al., 1978; Fitzer and Schlichting, 1983; Meier, 1987; Packer, 1989

8- Nicolet and Lau, 1983; Murarka, 1983a, 1984

9- Murarka, 1983b

10- Kumar and Liu, 1993

M_xSi- فازهای ۱-۱۱

که فاز منتخب برای کاربردهای دمای بالا است و V_xSi که در دماهای پایین آبرساناست و دمای استحاله‌ی نسبتاً بالایی دارد، هر دو با ساختار فشرده‌ی A15 متبولر می‌شوند و به ترتیب در بخش‌های ۷-۷ و ۲-۷ مطرح شده‌اند.

یک سیلیساید پرفلز با ساختار بسیار ساده، Ni_xSi با ساختار fcc منظم L1₁ است. Ni_xSi به دلیل خواص مکانیکی سودمند و مقاومت به خوردگی عالیش توانایی بالقوه‌ی بسیار زیادی برای کاربردهای سازه‌ای دارد. رفتار تغییر شکل آن شیوه سایر فازهای L1₁ خصوصاً Al_xNi است و این رو Ni_xSi در بخش ۲-۴ همراه با دیگر فازهای L1₁ مطرح شده است.

ساختار bcc منظم D₀ Fe_xSi را اختیار می‌کند که شباهت‌های نزدیکی به Al_xFe (بخش ۱-۵) نشان می‌دهد. طبق نمودار فازی‌ای که عموماً مورد پذیرش است^(۱)، ساختار D₀ در Fe_xSi تا $800^{\circ}C$ (برای ترکیب استویکیومتری) پایدار می‌باشد که در این دما به ساختار B2 تبدیل می‌گردد و در تقریباً $1000^{\circ}C$ با تشکیل محلول جامد bcc، نا منظم می‌شود. وجود ساختار B2 بر اساس نتایج پراکنش نوترونی مورد سؤال قرار گرفته است^(۲) که البته بی ابهام هم نیست^(۳). به منظور مطالعه‌ی اثرات نظم اتمی بر ویژگی‌های مکانیکی، رفتار تغییر شکل Fe_xSi به طور مفصل تجزیه و تحلیل گردیده است^(۴). ضربه‌ای کشسانی و انرژی خطی نابه جایی^(۵) هم چنین انرژی تشکیل جای خالی^(۶) و سازوکارهای نفوذ^(۷) تعیین شده‌اند. توزیع الکترونی Fe_xSi از حیث تأثیرات منظم شدن بر رفتار مغناطیسی مطالعه شده است^(۸). فاز سه تابی $Fe_x(Si, Al)$ نفوذ پذیری مغناطیسی زیادی از خود نشان می‌دهد. از این رو کاربرد گسترده‌ای به صورت ماده‌ی هد ضبط پیدا کرده است که به نام آلیاز سنداست شناخته می‌شود^(۹).

1- Schlatter and Pitsch, 1976; Kubaschewski, 1982

2- Hilfrich et al., 1990

3- Inden, 1993

4- Saburi et al., 1968; Lakso and Marcinkowski, 1974; Marcinkowski, 1974a; Ehlers and Mendiratta, 1984; Oertel et al., 1986

5- Kötter et al., 1989

6- Schaefer et al., 1992

7- Sepiol and Vogl, 1993

8- Himsel et al., 1980; Blau et al., 1980

9- Yamamoto, 1980; Brock, 1986

ویژگی‌های مغناطیسی را می‌توان با آلیاز سازی مناسب، بهینه سازی نمود^(۱) و بر مشکلات فراورش ناشی از تردی غلبه کرد^(۲). Fe_xSi نیز به دلیل مقاومت به خوردگی عالی به عنوان ماده‌ای سازه‌ای کاربرد یافته است^(۳).

۲-۱۱- فازهای M_xSi

فازهای M_xSi می‌توانند در پوشش‌های محافظ وجود داشته باشد^(۴). انتظار می‌رود که فاز سبک وزن Mg_xSi برای استفاده‌های سازه‌ای در دماهای بالا به کار رود. استفاده از Mg_xSi برای پیستون در موتور اتومبیل بسیار امیدوار کننده است^(۵). با ساختار fcc با ۱۲ اتم در هر سلول واحد متبلور می‌شود. چگالی آن تنها 1.88 g/cm^3 است. سازوکارهای لغزش، دوقلویی شدن و رخ برگی مورد بحث قرار گرفته‌اند^(۶). استحکام نسبتاً زیاد و ضریب انبساط حرارتی پایینی دارد. البته تردی به همراه دمای تبدیل از تردی به شکل پذیری 450°C از استفاده‌ی تک فازی Mg_xSi جلوگیری می‌کند. روش‌های ذوب القابی به طور مفصل برای آلیازهای مختلف Mg_xSi بررسی شده‌اند^(۷). سیستم سه تایی Mg-Si-Al^(۸) امکان‌های مختلفی از آلیاز سازی به منظور ترکیب Si با یک فاز ثانویه‌ی نرم که بتواند تردی را از بین ببرد، به ارمغان می‌آورد. در حقیقت آلیاز کردن با Al، آلیازهای Al-Mg_xSi با ذرات ترد Mg_xSi در زمینه‌ی نرم Al را تولید می‌کند که باعث پیشرفت موقتی آمیز این آلیاز شده است^(۹). اثر توزیع ذرات بر رفتار تغییر شکل در آلیازهای الگوی Al-Mg_xSi مطالعه گردیده است^(۱۰).

یک نیمه هادی با توان برقی - حرارتی بالا است و هدایت حرارتی کمی دارد که برای تولید نیروی برقی - حرارتی سودمند است^(۱۱). هدایت حرارتی را می‌توان با آلیاز کردن با Ge به شکل

1- Yamamoto and Utsushikawa, 1977; Miyazaki et al., 1992

2- Watanabe et al., 1984; Shao et al., 1991

3- Liu et al., 1990; Lou et al., 1991; Kumar and Liu, 1993

4- Hildebrandt et al., 1978; Meier, 1987

5- Schmid et al., 1990; von Oldenburg et al., 1990

6- Paufler and Schulze, 1978

7- G.H. Li et al., 1993

8- Lüdecke, 1986

9- Schmid et al., 1990; von Oldenburg et al., 1990

10- Liu, 1989

11- Noda et al., 1992a, b

فاز سه تایی $(Mg_xSi_yGe_z)$ به حداقل رساند. بهسازی با Ag و Sb به ترتیب نیمه رساناهای نوع II و نوع p فاز $(Mg_xSi_yGe_z)$ را تولید می کنند و ترکیب هر دوی این عناصر منجر به تشکیل ترمومکوپلی با کارائی زیاد در تبدیل انرژی برقی - حرارتی می شود. اندرکنش بین عنصر بهساز باعیوب نقطه ای و ریز ساختار به طور مفصل مطالعه شده اند^(۱).

فازهای فلز مانند M_xSi_y هم چنین سیلیساید های فلز واسطه از مهم ترین مواد مورد استفاده در مواد لایه ای نازک در تجهیزات الکترونیکی (مثل آتصالات و دروازه های کم مقاومت، کلید های اهمی و موانع شاتکی در مدارهای مجتمع بسیار بزرگ (VLSI)) هستند^(۲). بر جسته ترین نمونه Pd_xSi_y است که برای اتصال های سطحی با گسترده گی و ضخامت کنترل شده بسیار کم به کار می رود^(۳). ستیک تشکیل و رشد لایه ای نازک از طریق نفوذ کنترل می گردد و می تواند با آلیاژ کردن با عناصر دیگر بهینه سازی شود^(۴). فرایند تشکیل لایه بر توزیع ماده بی بهساز در زیر لایه Si تأثیر می گذارد^(۵). سازوکارهای کنترل سرعت فرایند تشکیل لایه و رشد و جوانه زنی آن به طور مفصل مطالعه شده اند^(۶). سایر فازهای M_xSi_y نیز از حیث تشکیل لایه نازک مطالعه گردیده اند و نمونه هایی از آن عبارتند از: Ni_xSi_y ^(۷)، Co_xSi_y ^(۸) یا Mg_xSi_y ^(۹). نفوذ در لایه های نازک مورد تحلیل قرار گرفته و با نفوذ حجمی مقایسه شده است^(۱۰). لایه های نازک اکسیدی ممکن است از طریق تماس با هوا در دمای اتفاق بر روی لایه های سیلیساید تشکیل گردد که می تواند مشکلی برای کلید های اهمی بوده و یا الزام برای به کار گیری یک وسیله ای تونل زنی باشد^(۱۱).

جانشینی جزئی عنصر واسطه M در M_xSi_y با فلز واسطه M' منجر به تولید

- 1- Andreyeva et al., 1988
- 2- Nicolet and Lau, 1983; murarka, 1983a, 1984
- 3- Chapman et al., 1979; Kritzinger and Tu, 1981
- 4- Mayer et al., 1979; Olowolafe et al., 1979; Tu et al., 1980; Eizenberg et al., 1981; Eizenberg and Tu, 1982
- 5- Wittmer and Seidel, 1978; Kikuchi, 1983; Wittmer et al., 1983
- 6- d'Heurle and Gas, 1986; d'Heurle, 1993a, b
- 7- d'Heurle et al., 1984; Aly and Stark, 1984
- 8- Hattori et al., 1988; Chen and Chang, 1993
- 9- Lim and Stark, 1984
- 10- Tu et al., 1983
- 11- Cros, 1983

سیلیساید‌های سه تابی با ترکیب تقریبی $MM'_{\text{Fe}}Si$, مترادف با $(M, M')_{\text{Fe}}Si$ می‌گردد. این قبیل فازهای سه تابی در درجه‌ی اول فازهای سیلیسیم‌دار E و V^(۱) و فازهای لاوهی سه تابی حاوی سیلیسیم^(۲) (که در بخش ۸ مطرح شدند) همچنین بسیاری از فازهای دیگر که همگی در ترکیب و ساختار بلوری با هم تفاوت دارند^(۳)، هستند. سیستم Fe-Nb-Si با سیلیساید‌های سه تابی E, V, τ_1 , τ_2 , τ_3 و فاز لاوهی Nb(Fe,Si), ψ Co-Nb-Si^(۴) یا سیستم با سیلیساید‌های سه تابی E, V, τ_1 , τ_2 , τ_3 نمونه‌هایی از این فازها هستند. سرانجام، باید توجه شود که سایر فازها (خصوصاً فازهای τ_1 و فازهای τ_2) با پایه‌ی منگنز مقادیر زیادی از Si را در خود حل می‌کنند که به وسیله‌ی آن، این فازها پایدار می‌شوند^(۵).

M₅Σ_{۱,۲}-فازهای فلز

فازهای $M_{\text{Fe}}Si_{\text{Fe}}$ گروه متنوعی از ساختارهای بلوری پیچیده را در بر می‌گیرند^(۶). فازهای فلز واسطه‌ی $M_{\text{Fe}}Si_{\text{Fe}}$ در درجه‌ی اول با ساختار مکعب مستطیلی $D\Delta_m$ (به عنوان نمونه به ازای Mo, W=M_{Fe}Si_{Fe} یا V, یا ساختار منشوری $D\Delta_1$ (برای Ti=Mn یا Cr=Mn) متبلور می‌شوند^(۷). بیشتر این فازها ترکیب‌های خطی بسیار پایداری هستند که به طور متجانس در دمای بالاتر از ۲۰۰۰°C ذوب می‌شوند. البته Fe₅Si_{Fe} با ساختار $D\Delta_1$ ، تنها در محدوده‌ی دمایی ۸۲۵ تا ۱۰۶۰°C پایدار است و Cr₅Si_{Fe} با ساختار $D\Delta_m$ متتحمل استحاله‌ی چند ریختی در بالاتر از ۱۵۰۰°C می‌شود^(۸). Ta₅Si_{Fe} و Nb₅Si_{Fe} در دمای کم ساختار $D\Delta_m$ ، و در دماهای بالا ساختار $D\Delta_1$ نشان می‌دهد^(۹). فلزهای مکعب مستطیلی مختلف مثلاً به ازای W, Mo, Cr, Ta و Nb₅Si_{Fe} Hf₅Si_{Fe} حاوی مقادیر کمی ناخالصی‌های بین‌نشین (خصوصاً کربن)، با ساختار $D\Delta_1$ متبلور می‌شوند^(۱۰). چنین پدیده‌ی پایدار

1- Jeitschko et al., 1969; Jeitschko, 1970

2- Bardos et al., 1961

3- Nowotny, 1972a

4- Raghavan, 1987

5- Argent, 1984

6- Gupta et al., 1960; Bardos et al., 1966

7- Franceschi and Ricaldone, 1984

8- Franceschi and Ricaldone, 1984; Massalski et al., 1990

9- Massalski et al., 1990

10- Parthè et al., 1955; Massalski et al., 1990

11- Parthè et al., 1955; Goldschmidt, 1967b; Franceschi and Ricaldone, 1984

سازی ای توسط ناخالصی های بین نشین در سایر بین فلزات نیز دیده شده است^(۱).
 جالب توجه ترین فاز از نوع $Ti_{\beta}Si_6$ جهت استفاده در دماهای بالا، $Ti_{\beta}Si_6$ با ساختار منشوری DA_۲ است زیرا از پایداری زیاد با دمای ذوب $213^{\circ}C$ ، استحکام و سختی بالا و چگالی کم برخوردار می باشد^(۲). چگالی بین 4 و $4/5 g/cm^3$ ^(۳) هم چنین ضریب یانگ تقریباً $150 GPa$ ^(۴) و ضریب انبساط حرارتی در حدود $K^{-1} / 10 \times 10^{-6}$ ^(۵) گزارش شده اند. استحکام جالب توجه $Ti_{\beta}Si_6$ به چفرمگی شکست بسیار کم و دمای تبدیل تردی به شکل پذیری بالاتر از $1000^{\circ}C$ مرتبط می شود^(۶). مقاومت به اکسایش $Ti_{\beta}Si_6$ به اندازه $NiAl$ زیاد نیست، اما بالاتر از $TiAl$ می باشد^(۷).

همانند سایر ترکیب های بین فلزی، انتظار می رود که تردی $Ti_{\beta}Si_6$ را بتوان با ترکیب کردن با دیگر فازهای نرم تر، کاهش داد. در واقع تمايل به ترک خوردن را می توان با کاهش درصد Si و آلیاژ کردن با Zr و Cr (به منظور ایجاد آلیاژ های سه فازی با پایه $Ti_{\beta}Si_6$) کاهش داد^(۸). آلیاژ های یوتکنیکی $Ti-Ti_{\beta}Si_6$ که به صورت تک جهتی منجمد شده اند، ترکیب سودمندی از استحکام، مقاومت خزشی و چفرمگی شکست از خود نشان می دهند^(۹). پیشرفت امیدوار کننده ای بر پایه $TiAl$ و $Ti_{\beta}Al$ و $Ti_{\beta}Si_6$ بنیان گذاری شده است^(۱۰). این قبیل آلیاژ های $Ti_{\beta}Al - Ti_{\beta}Si_6$ که بیشتر با Nb آلیاژ سازی می شوند و آلیاژ های مشابه، از جنبه تعادل های فازی^(۱۱)، تناسب های ریز ساختار - خواص^(۱۲)، خزش^(۱۳) و چفرمگی شکست^(۱۴) مطالعه شده اند. علاوه بر متالورژی شمش، روش های متالورژی پودر با افشارش

1- Gschneidner, 1993

2- Liu et al., 1988; Beaven et al., 1989; Rosenkranz et al., 1992; Kumar and Liu, 1993

3- Shaffer, 1964; Beaven et al., 1989; Fleischer and Zabala, 1990a; Frommeyer et al., 1990

4- Beaven et al., 1989; Frommeyer et al., 1990

5- Frommeyer et al., 1990 Nakashima and Umakoshi, 1992

6- Liu et al., 1988 Frommeyer et al., 1990; Vehoff, 1992; Vehoff et al., 1993

7- Liu et al., 1988; Murata et al., 1991; Thom et al., 1993

8- Liu et al., 1988

9- Crossman and Yue, 1971; Frommeyer et al., 1990

10- Wu et al., 1989

11- J. S. Wu et al., 1991

12- Wagner et al., 1991

13- Es-Souni et al., 1992a, c

14- Vehoff, 1992, 1993

گازی^(۱)، همچنین آلیاژسازی مکانیکی^(۲) استفاده گردیده‌اند و تولید احتراقی نیز مورد توجه قرار گرفته است^(۳). Ti_6Si_5 به عنوان فاز سازنده‌ی مواد مرکب^(۴) (یعنی به صورت فاز زمینه با تقویت کننده‌های سرامیکی^(۵) یا فاز تقویت کننده در زمینه $MoSi_6$ ^(۶)) پیشنهاد شده است.

فاز منتخب دیگر جهت استفاده در دماهای بالا Nb_6Si_5 با دمای ذوب $2484^{\circ}C$ است^(۷) که باز هم پایدارتر از Ti_6Si_5 است و پدیده‌ی چند ریختی راکه در بالا اشاره شد از خود نشان می‌دهد. در اینجا نیز تردی مانع کاربرد Ni_6Si_5 به صورت تک فاز می‌شود. البته، کاهش درصد Si به آلیاژهای دوفازی Nb_6Si_5-Nb با ذرات پر Nb در زمینه‌ی ترد Nb_6Si_5 می‌انجامد^(۸). این آلیاژها به دلیل پل زنی ترک چقرومگی بهتری نشان می‌دهند^(۹). تناسب‌های فازی در این آلیاژها و اثرات انجماد سریع مطالعه شده‌اند^(۱۰). Nb_6Si_5 در معرض اکسایش شبه سفیدک قرار می‌گیرد^(۱۱) و آلیاژهای Nb_6Si_5-Nb در مجاورت اکسیژن و هیدروژن ترد می‌شوند^(۱۲).

سایر فازهای M_6Si_5 جذایت کم‌تری برای استفاده دارند و از این رو کم‌تر مورد مطالعه قرار گرفته‌اند. فازهای M_6Si_5 را می‌توان با آلیاژکردن مکانیکی با هم مخلوط نمود که در مورد $Ta_6Si_5-Ta_6Nb$ به بی‌شکلی بلوری منجر می‌شود^(۱۳). $Y_6Si_5-(Si,Ge)$ و سه تایی Y_6Si_5 جزء فازهای مورد علاقه جهت استفاده به صورت مواد نگهدارنده‌ی هیدروژن محسوب می‌شوند^(۱۴).

1- Es-Souni et al., 1992b , c

2- Calka et al., 1991

3- Bhaduri, 1992

4- Kumar, 1991; shah and Anton, 1992b

5- Meschter and Schwartz, 1989; Bhattacharya, 1991

6- Wiedemeier and Singh, 1992; Schwartz et al., 1993

7- Massalski et al., 1990

8- Lewandowski et al., 1988

9- Rigney et al., 1991; Mendiratta et al., 1991; Mendiratta and Dimiduk, 1993

10- Cockeram et al., 1991; Berero et al., 1991b

11- Westbrook and Wood, 1964

12- Rigney et al., 1992

13- Kumar and Mannan, 1989

14- McColm and Ward, 1992

MSi-۴-۱۱ فازهای

سیلیساید های فلزات واسطه، یعنی CoSi ، FeSi ، MnSi ، CrSi با ساختار مکعبی $B20$ متبولر می شوند، در صورتی که ساختار بلورین NiSi و سیلیساید های فلزات قیمتی PtSi ، IrSi و PdSi لوزی القاعده‌ی $B31$ است^(۱). فازهای MSi (خصوصاً PtSi و نیز NiSi) مواد لایه نازک مهمی برای کاربرد در تجهیزات الکترونیکی هستند^(۲). این فازها به موازات با کاربر روی PdSi (که در بخش ۱۱-۲ عنوان شد) مطالعه گردیده‌اند و معمولاً تألیفات در این رابطه متوجه اثر کلی سیلیساید های لایه نازک پرکاربرد می باشد. علاوه بر کاربردهای الکترونیکی، NiSi جزء فازهای مورد علاقه به عنوان فاز سازنده‌ی پوشش‌های مقاوم به اکسایش^(۳) و ماده‌ی ذخیره کننده‌ی گرمای با هدایت حرارتی زیاد^(۴) محسوب می شود. در لایه‌های MoSi/Ir تشکیل می شود. این لایه‌ها برای پوشش مواد مرکب کربن-کربن IrSi مورد توجه قرار می گیرند^(۵). MnSi و CoSi توان برقی-حرارتی زیادی از خود نشان می دهند^(۶) و از این روحجه تولید نیروی برقی-حرارتی امیدوار کننده هستند^(۷). خصوصاً دستگاه مولد گرمای از جنس CoSi-CrSi_x پیشنهاد شده است^(۸).

۵-۱۱-۵- دی سیلیسایدها

فازهای فلز واسطه‌ی MSi_x با ساختار مکعب مستطیلی^(۹)، $C11$ ، منشوری $C40$ یا ساختارهای لوزی القاعده $C49$ و $C54$ متبولر می شوند و حلالت پذیری متقابل زیادی در حالت جامد نشان می دهند^(۱۰). این ساختارهای بلوری کاملاً مشابه هستند و تنها در چیدمان عناصر ساختاری یکسان با یکدیگر تفاوت دارند^(۱۱). MoSi_x با ساختار $C11$ ، به دلیل خواص الکتریکی سودمند و مقاومت به اکسایش عالی اش

1- Massalski et al., 1990

2- Eizenberg et al., 1981; Cohen et al., 1982; Murarka, 1984; Tu et al., 1983; Appelbaum et al., 1984

3- Meier , 1987

4- Wilson and Cavin, 1992

5- Chou, 1990; Chou and Nieh, 1990

6- Samsonov and Vinitskii, 1980

7- Sakata and Nishida, 1976

8- Sakata and Tokushima, 1963

9- Kudielka and Nowotny, 1956

10- Nowotny, 1963

استفاده‌ی گستره‌ای به صورت المنت‌های حرارتی در کوره‌های دمای بالا (تا دمای 1700°C) پیدا کرده است^(۱). این مقاومت به اکسایش زیاد که در سایر سیلیساید‌های پر Mo دیده نمی‌شود، ناشی از تشکیل لایه‌ی محافظت، شیشه‌ای و بسیار چسبنده‌ی SiO_2 همراه با تبخیر ابتدایی اکسید فرار مولیبدن است^(۲). البته MoSi_2 از طریق اکسایش شبه سفیدک در دماهای میانه (بین 300°C و 600°C) در معرض تجزیه‌ی اکسایشی قرار می‌گیرد^(۳) که در مرز دانه‌ها و عیوب ریز ساختار^(۴) رخ می‌دهد و از این رومی توان با جلوگیری از ایجاد مرزدانه و عیوب ساختاری یا با آلیازکردن با مقادیر کم Fe و Re^(۵) آن را به حداقل رساند. این مقاومت به اکسایش زیاد، MoSi_2 را برای استفاده در پوشش‌های محافظت جالب توجه می‌کند^(۶). علاوه بر این کاربردها در دمای بالا، MoSi_2 برای استفاده در تجهیزات الکترونیکی (یا به صورت زیرلایه‌ی لایه‌های Si^(۷) و یا اتصالات لایه نازک در مدارهای VLSI^(۸)) سودمند است.

سینتیک تشکیل سیلیساید در لایه‌های نازک به طور مفصل تحلیل گردیده است^(۹).

در حال حاضر، MoSi_2 جهت کاربردهای سازه‌ای و در دماهای بالا مورد توجه و ایجاد مواد مختلف مرتبط با آن روبرو گسترش است^(۱۰). ثابت‌های کشندنی شناخته شده‌اند^(۱۱) و رفتار تغییر شکل موم سان از جنبه‌ی ترکیب نابه‌جایی‌ها و سیستم‌های لغزش^(۱۲) دوقلوشدن^(۱۳) و خوش^(۱۴) مورد تحلیل قرار گرفته است. تبدیل تردی به شکل پذیری (بسته به ریز ساختار و درصد ناخالصی) در تقریباً 1000°C یا دماهای بالاتر رخ می‌دهد^(۱۵). شکل پذیری و چفرمگی MoSi_2 را می‌توان با استفاده از

- 1- Fitzer and Rubisch, 1958; Tamura, 1961; Schrewelius and Magnusson, 1966; Schlichting, 1986
- 2- Fitzer, 1955; Kieffer and Benesovsky, 1956; Lee et al., 1991; Meier and Pettit, 1992
- 3- Fitzer, 1955; Westbrook and Wood, 1964; Chou and Nieh, 1993a
- 4- Chou and Nieh, 1993b
- 5- Ban and Ogilvie, 1966
- 6- Fitzer, 1952; Motojima et al., 1982; Packer, 1989; Chou, 1990; Petrovic, 1993
- 7- Campisi et al., 1981
- 8- Chow et al., 1980; Murarka, 1984; Urwank et al., 1985
- 9- d'Heurle, 1993b
- 10- Lugscheider et al., 1991; Kumar and Liu, 1993; Petrovic, 1993; Hardwick et al., 1993
- 11- Nakamura et al., 1990; Nakamura, 1991; Srinivasan and Schwarz, 1992
- 12- Umakoshi et al., 1990a, b; Maloy et al., 1992; Evans et al., 1993; Rao et al., 1993
- 13- Mitchell et al., 1992
- 14- Tamura, 1961; Kimura et al., 1990; Sadananda and Feng, 1993
- 15- Umakoshi et al., 1991; Aikin, 1992; Srinivasan et al., 1993; Petrovic, 1993

روش‌های خاص فراورش^(۱)، کم آلیاژکردن باکرین به منظور اجتناب از تشکیل لایه‌های SiO_x در مرز دانه‌ها^(۲)، استفاده از لایه‌های نرم سطح زاینده‌ی نابه جایی^(۳) یا وارد کردن فاز ثانویه‌ی نرم که معمولاً فاز پر Nb است^(۴)، بهبود داد. هم‌چنین چقرمگی را می‌توان با جاسازی کردن فازهای ثانویه‌ی سخت به منظور توقف رشد ترک، خصوصاً سرامیک‌ها، در زمینه‌ی MoSi_x افزایش داد^(۵).

با توجه به اثرات سودمند فازهای ثانویه، ترکیب MoSi_x با سایر فازها، با هدف پیشرفت مواد مرکب جدید با پایه‌ی MoSi_x در حال مطالعه است^(۶). بیشترین کاربر روی سیستم MoSi_x-SiC^(۷) و معطوف شده است^(۸). سایر سیستم‌های مورد توجه ویژه عبارتند از: MoSi_x-TiC^(۸) و MoSi_x-Al₂O₃^(۹)، هم‌چنین یوتکتیک‌های MoSi_x-Mo₅Si₃^(۱۰) و MoSi_x-Er₂Mo₅Si₃^(۱۱) و فاز نرم چقرمه شده‌ی MoSi_x-Nb/Ta^(۱۲) و سیستم‌های MoSi_x-Mo^(۱۳). به علاوه، MoSi_x به صورت فاز استحکام بخش در سایر سیستم‌های ماده‌ی مرکب (به عنوان نمونه در زمینه SiC^(۱۴)) یا در زمینه‌ی بریلاید^(۱۵)، مورد توجه قرار گرفته است.

WSi_x با ساختار مکعب مستطیلی^(۱۶)، سیلیساید دیگری با مقاومت به اکسایش زیاد است که همانند MoSi_x، بر تشکیل پوسته‌ی چسبنده، چگال و شیشه‌ای SiO_x در دماهای بالا متکی است^(۱۷) و در

- 1- Tiwari et al., 1991; Castro et al., 1992; Patankar and Lewandowski, 1993
- 2- Maloy et al., 1991; Jayashankar and Kaufman, 1992
- 3- Czarnik et al., 1993
- 4- Lu et al., 1991; Xiao and Abbaschian, 1992; Venkkateswara Rao et al., 1992; Alman and Stoloff, 1992
- 5- Bhattacharya and Petrovic, 1991; H. Chang et al., 1992
- 6- Meschter and Schwartz, 1989; Shah et al., 1990; Yang et al., 1990; Boettinger et al., 1992; Petrovic and Vasudevan, 1992 Wiedemeier and Singh, 1992; Petrovic, 1993; Sadananda and Feng, 1993
- 7- Bhattacharya and Petrovic, 1991; Henager et al., 1992a; Jayashankar and Kaufman, 1992; Suzuki et al., 1992; Alman and Stoloff, 1993; Feng and Michel, 1993; Jeng et al., 1993; Ting, 1993
- 8- Yang and Jeng, 1990; Chang and Gibala, 1993
- 9- Alamm et al., 1991; Y.S. Kim et al., 1991; Meschter, 1991
- 10- Mason and Van Aken, 1993
- 11- Patrick and Van Aken, 1993
- 12- Carter and Martin, 1990; Lu et al., 1991; Alman and Stoloff, 1992; Venkkateswara Rao et al., 1992
- 13- Dève et al., 1992
- 14- Lim et al., 1989
- 15- Bruemmer et al., 1993
- 16- Kieffer and Benesovsky, 1956

دماهای میانه، اکسایش شبه سفیدک در آن رخ می‌دهد^(۱). ثابت‌های کش‌سانی، WSi_6 ^(۲) و تغییر شکل موسمان آن را در دماهای بالا^(۳) مطالعه نموده‌اند. جدا از کاربردهای ممکن در دماهای بالا^(۴)، WSi_6 جزء فازهای مورد علاقه برای استفاده به صورت لایه‌ی نازک در تجهیزات الکترونیکی محسوب می‌شود^(۵).

TiSi_6 با ساختار لوزی القاعدۀ C54، از طریق پوسته‌ی چسبنده و شیشه‌ای، $\text{TiO}_2\text{-SiO}_2$ در مقابل TiSi_6 اکسایش محافظت می‌گردد^(۶). TiSi_6 با توجه به مقاومت به اکسایش زیاد و چگالی کم، جهت کاربردهای سازه‌ای در دماهای بالا مورد توجه قرار گرفته است^(۷). TiSi_6 را می‌توان با آلیاژ کردن مکانیکی^(۸) ترکیب کرد. تک بلورهای آن نیز تولید شده‌اند^(۹) و ریز ساختار آن مورد تجزیه و تحلیل قرار گرفته است^(۱۰). اطلاعات مربوط به انبساط حرارتی، ضربه‌های کش‌سانی، سختی، استحکام تسلیم، مقاومت خزشی و چفرمگی این مواد به دست آمده‌اند^(۱۱). ورای کاربردهای احتمالی در دماهای بالا^(۱۲)، TiSi_6 به منظور استفاده به صورت لایه‌ی نازک در تجهیزات الکترونیکی مورد توجه قرار گرفته است^(۱۳).

ZrSi_6 ، خواص فیزیکی و شیمیایی جالبی از لحاظ استفاده در دماهای بالا نشان می‌دهد^(۱۴). همانند دیگر دی سیلیسایدها، ZrSi_6 نیز دمای تبدیل تردی به شکل پذیری تقریباً 900°C ^(۱۵) دارد. پوشش ZrSi_6 بر روی Zr مقاومت به اکسایش خوبی فراهم می‌نماید^(۱۶)، اگرچه توده‌ی ZrSi_6

- 1- Westbrook and Wood, 1964
- 2- Nakamura, 1991
- 3- Kimura et al., 1990
- 4- Kumar and Liu, 1993
- 5- Olowolafe et al., 1979; Murarka. 1984
- 6- Kieffer and Benesovsky, 1956, 1956; Rahmel and Spencer, 1991
- 7- Lugscheider et al., 1991; Rosenkranz et al., 1992; Kumar and Liu, 1993
- 8- Calka et al., 1991; matteazzi et al., 1992
- 9- Thomas et al., 1987; Peshev et al., 1989
- 10- Jia et al., 1989
- 11- Lugscheider et al., 1991; Rosenkranz and Frommeyer, 1992; Vehoff, 1993
- 12- Kumar and Liu, 1993
- 13- Murarka, 1984
- 14- Rosenkranz and Frommeyer, 1992
- 15- Vehoff, 1993
- 16- Caillet et al., 1978

پوسته‌های چسبنده و چگال در حین اکسایش ایجاد نمی‌کند^(۱). دی‌سیلیسایدهای VSi_β , NbSi_β و TaSi_β با ساختار منشوری $\text{C}40$ متبلور می‌شوند^(۲), ثابت‌های کش‌سانی^(۳), هم‌چنین سختی و دمای تبدیل تردی به شکل پذیری ظاهری^(۴) تعیین شده‌اند. VSi_β از جمله فازهای جالب توجه برای استفاده در تجهیزات الکترونیکی است. اندرکش‌های تشکیل لایه‌ی نازک مطالعه گردیده‌اند^(۵). TaSi_β در تولید ریز پردازنده‌ها و دیگر وسایل الکترونیکی به طور موقتی آمیز به کار رفته است^(۶). ساز و کارهای تشکیل لایه‌ی نازک TaSi_β به طور مفصل مطالعه شده‌اند^(۷).

با وجود این که در 1200°C پوسته‌های محافظ، چگال و چسبنده تشکیل نمی‌شوند^(۸), اما CrSi_β با ساختار $\text{C}40$ برای کاربردهای در دمای بالا مورد توجه واقع می‌شود^(۹). تک بلور این ماده تولید شده^(۱۰) و خواص کش‌سانی^(۱۱) و رفتار تغییر شکل موم سان آن مورد مطالعه قرار گرفته است^(۱۲). CrSi_β از فازهای مورد علاقه برای استفاده به عنوان اتصالات لایه نازک در وسایل الکترونیکی است^(۱۳). CrSi_β توان برقی - حرارتی زیادی از خود نشان می‌دهد^(۱۴) و برای استفاده به صورت ماده‌ی برقی - حرارتی مثلاً در مولدگرمای CrSi_β - CoSi_β به منظور تولید برقی حرارتی پیشنهاد شده است^(۱۵). از دیگر دی‌سیلیساید با توان برقی - حرارتی زیاد، FeSi_β است و جهت استفاده در مولد برق حرارت پیشنهاد شده است^(۱۶). ساختار بلوری لوزی القاعده دارد و فقط در دمای‌های کم پایدار

- 1- Kieffer and Benesovsky, 1956
- 2- Kudielka and Nowotny, 1956
- 3- Fleischer et al., 1989b; Nakamura, 1991
- 4- Fleischer et al., 1990
- 5- Lim and Stark, 1984
- 6- Murarka, 1984
- 7- Maa et al., 1985; Natan, 1985; Nava et al., 1985
- 8- Kieffer and Benesovsky, 1956; Grabke and Brumm, 1989
- 9- Kieffer and Benesovsky, 1956; Grabke and Brumm, 1989
- 10- Peshev et al., 1989
- 11- Nakamura, 1991
- 12- Umakoshi et al., 1991
- 13- Tu et al., 1980; Appelbaum et al., 1984
- 14- Samsonov and Vinitskii, 1980; Nishida, 1978
- 15- Sakata and Tokushima, 1963; Ohkoshi et al., 1988
- 16- Hesse, 1969b

است، در حالی که در دماهای بالاتر، با تشکیل آلیاژ دوفازی $\text{FeSi}_x\text{Fe}_{1-x}\text{Si}$ تجزیه می‌شود^(۱). علاوه بر آن، در معرض اکسایش شبه سفیدک قرار می‌گیرد^(۲). بهسازی با Al، باعث تولید رسانای FeSi_xSi_y نواع P و بهسازی شده با Co^(۳) نوع n تولید می‌کند و ترکیب هر دو ماده ترمومکوپلی به وجود می‌آورد که می‌توان آن را به عنوان مولد نیروی برق حرارتی مورد استفاده قرار داد^(۴).

CoSi_x که با ساختار مکعبی نسبتاً ساده‌ی C1 مبلور می‌شود، در تجهیزات الکترونیکی مدار مجتمع در مقیاس بزرگ به کار می‌رود. در نتیجه، شرایط لازم برای تشکیل لایه‌ی نازک مطالعه شده است^(۵). با توجه با ساختار بلوری ساده‌ی CoSi_x انتظار می‌رود که قابلیت تغییر شکل پذیری موم سان از خود نشان دهد و در کاربردهای سازه‌ای مورد توجه واقع شود^(۶). نمودار فازی Co-Si تحلیل^(۷) و توزیع الکترونی از طریق محاسبات ابتدایی مطالعه شده است^(۸). انتالپی تشکیل جای خالی‌ها از طریق انها می‌پوزیترون تعیین گردیده است^(۹). مقاومت به اکسایش عالی برای آن معلوم شده است^(۱۰) و رفتار تغییر شکل موم سان از جنبه‌ی ترکیب‌های نابه‌جایی و سیستم‌های لغزش مورد تجزیه و تحلیل قرار گرفته است^(۱۱).

مطلوب‌ترین کاربرد NiSi_x استفاده در تجهیزات لایه‌ی نازک الکترونیکی است^(۱۲). با توجه به این کاربردها، شرایط لازم برای تشکیل لایه‌ی نازک^(۱۳) و همچنین تشکیل لایه‌های اکسیدی نازک بر روی NiSi_x به طور مفصل مطالعه شده‌اند^(۱۴). ورای این استفاده‌ها، رفتار انسباط حرارتی NiSi_x از لحاظ کاربرد به صورت ماده‌ی ذخیره‌کننده‌ی گرما مطالعه شده است^(۱۵). سرانجام، باید توجه شود که آلیاژ

1- Nishida, 1973; Kojima et al., 1990

2- Westbrook and Wood, 1964

3- Hesse, 1969a

4- Pretorius et al., 1985; Catana et al., 1992; Mantl, 1993; Kumar, 1994

5- Yamaguchi et al., 1993

6- Ishida et al., 1991b; Choi, 1992

7- Sen Gupta and Chatterjee, 1986

8- Iro et al., 1993

9- Anton and Shah, 1989

10- Takeuehi et al., 1991, 1992; Ito et al., 1992; Suzuki and Takeuchi, 1993; Yamaguchi et al., 1993; Anongba and Steinemann, 1993

11- Kumar, 1994

12- Tu et al., 1983; d'Heurle et al., 1984; Singh and Khokle, 1987

13- Cros, 1983

14- Wilson and Cavin, 1992

کردن، AlNiSi با AlNi تولید فازهای بارنگ‌های ویژه‌ای (آبی کم رنگ، زرد، سفید و ترکیبی از آن‌ها) می‌کند که ممکن است برای استفاده در جواهرات چالب توجه باشند^(۱).

فصل ۱۷

چشم اندازها

همانگونه که در مقدمه‌ی کتاب بیان شد، در اینجا صرفاً می‌توان تعداد محدودی از بین فلزات را مورد ارزیابی قرار گیرد. دسته‌ی بزرگی از فازهای بین فلزی شناخته شده‌اند^(۱) و فازهای زیادی وجود دارند که در بخش‌های پیشین اشاره‌ای به آن‌ها نگردید، اما مورد توجه هستند. به عنوان نمونه می‌توان از فازهای تردکننده یا استحکام بخش در آلیاژهای فلزی تجاری نام برده که با فازهای فشرده‌ی ۳، ۵، ۶ و فازهای مرتبه با آن‌ها بیان می‌شوند^(۲) و به دلیل اثرات تردی، مشکلاتی در بسیاری از سیستم‌های آلیاژهای فلزی وارد می‌کنند که با این وجود اگر به طور مناسب توزیع شوند ممکن است به عنوان فازهای تقویت کننده نیز مورد استفاده قرار گیرند^(۳). بیش تر فازهای کمتر شناخته شده به اندازه‌ی کافی برای ایجاد یک بانک اطلاعاتی (که برآورده خواص آن‌ها را به منظور استفاده ممکن می‌سازد) مطالعه نشده‌اند. از این رو نیاز مبرمی به تعیین ویژگی‌های اساسی بین فلزات کمتر شناخته شده (خصوصاً ساختمان اتمی، نمودارهای فاز، چگالی‌ها، ثابت‌های کشسانی و ضربه‌ای نفوذشان) وجود دارد. در خصوص فازهای بهتر شناخته شده که برای پیشرفت مواد انتخاب شده‌اند یا به عنوان فازهای منتخب برای پیشرفت‌های جدید مورد توجه هستند، فهم فیزیکی خواص و رفتار آن‌ها در حین فراورش و کار هنوز ناکافی است که در نتیجه آهنگ پیشرفت‌های حاضر را کند می‌کند. پیشرفت آلیاژهای سازه‌ای معمولاً به آلیاژهای بین فلزی چندفازی پیچیده منجر می‌شود که به منظور رسیدن به استحکام و مقاومت به خوردگی زیاد همراه با شکل پذیری کافی از حیث توزیع فاز و ترکیب فاز بهینه سازی می‌شوند. البته،

1- Villars and Calvert, 1991

2- Nevitt, 1963; Bards et al., 1966; Benjamin et al., 1966; Hall and Algie, 1966; Sinha, 1973

3- Pickering, 1976; Bhandarkar et al., 1976; Gaspard et al., 1977; Sauthoff and Speller, 1982; Schumacher and Sauthoff, 1987; Sha et al., 1993

اثرات عناصر آلیاژی بر خواص اساسی فازهای مربوط در این آلیاژهای بین‌فلزی هنوز به قدر کافی فهمیده نشده است. درک این نکته ضروری است که چگونه تغییر ترکیب در یک فاز خاص باعث تغییر خواص (مثلاً در ضریب‌های کش‌سانی) می‌شود. امید آن می‌رود که کارهای آزمایشی بیشتری برای کسب اطلاعات مجهول سیستم‌های آلیاژی مورد علاقه انجام شود و کارهای نظری بیشتری از جمله، محاسبات ابتدایی مکانیک کوانتومی برای فهم چگونگی تغییر خواص با افزایش عناصر آلیاژی خاص با روش‌های ویژه انجام گردد. این کمبود شناخت، صرفاً مشکل ترکیب‌های بین‌فلزی نیست. اما مشکلات شناخت بین‌فلزات مشخص‌تر است زیرا خواص آن‌ها (مثلاً نوع پیوند) نسبت به آنچه که در خانواده‌ی سیستم‌های آلیاژی فلزی شناخته می‌شود با تغییر ترکیب به مقدار بیشتری تغییر می‌کند.

در خصوصیات کاربردها، آلیاژهای بین‌فلزی مختلف (به عنوان نمونه آلیاژهای مغناطیسی FeCo یا مواد ابرسانایی A15) کاملاً ثبیت شده و به طور موفقیت‌آمیزی استفاده می‌شوند. تغییر شکل پذیری محدود یا عدم آن، مشکلاتی را برای تولید این مواد اعمال می‌کند که پیوسته موضوع تحقیق و بررسی است. پیشرفت‌های زیادی با به کارگیری فنون پیشرفته‌ای که برای دیگر گروه‌های مواد به وجود آمده‌اند، حاصل شده است. خصوصاً، اکنون تجربیاتی در رابطه با فراورش بین‌فلزات سازه‌ای ترد به دست آمده است و در این جا سرامیک‌های تردتر پیشرفت‌هی نیز می‌توانند سودمند باشند.

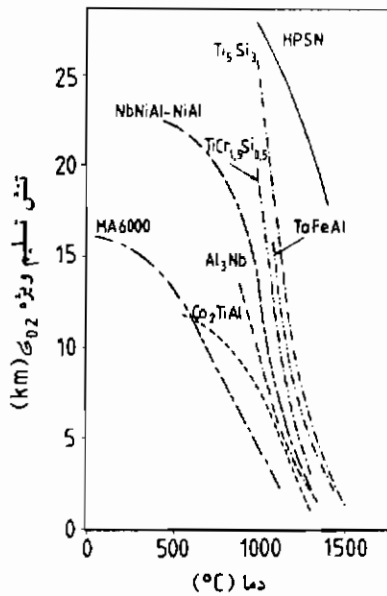
در حال حاضر، آلیاژهای بین‌فلزی سازه‌ای جدید در کانون توجه به بین‌فلزات در کاربردهای دمای بالا هستند و این توجه رو به گسترش است. برخی از پیشرفت‌هایی که بر فازهای کلاسیک TiAl ، Ti_3Al و Ni_3Al بنا شده‌اند و به نام آلومیناید‌های نیکل و تیتانیم شناخته می‌شوند، در آستانه‌ی تجاری شدن هستند. اما، حتی این پیشرفت‌ها در مقایسه با سایر پیشرفت‌های مواد پیشرفته (مثلاً موتورهای سرامیکی نوین) هنوز در مراحل اولیه است. کار تجربی و نظری بسیار زیادی برای حل مشکلات فراورش و تنظیم طیف خواص برای کاربردهای خاص ضروری است.

همان‌گونه که قبلًا عنوان شد، آلومیناید‌های نیکل و آلومیناید‌های تیتانیم بسیار پیشرفته را به دلیل استحکام یا مقاومت به اکسایش محدود (یا هر دو) در دماهای بالا، تنها می‌توان $T_{\text{c}} = 1000^{\circ}\text{C}$ مورد استفاده قرار داد^(۱). به منظور کاربرد در دماهای بسیار بیشتر از 1000°C باید از سایر فازهایی که کمتر رایج هستند و دمای ذوب بالاتری دارند، استفاده نمود. این قبیل فازها در دسترس هستند و نمونه‌هایی از آن‌ها در شکل ۳۴ نشان داده شده است^(۲). در مقایسه با آلومیناید‌های تیتانیم و نیکل، فازهای کمتر معمول،

1- Sauthoff, 1994

2- Sauthoff, 1992

محکم‌تر و تردتر نند، ساختارهای بلوری آن‌ها پیچیده و کار با آن‌ها دشوار است و از این رو به عنوان فازهای نامتعارف در نظر گرفته می‌شوند. البته همان‌طور که از شکل ۳۴ روشن است، این فازهای نامتعارف احتمالاً فاصله‌ی بین آلیاژهای فلزی دمای بالا و سرامیک‌ها را پر می‌کنند. تردی فازهای نامتعارف را می‌توان با ترکیب با فازهای نرم تر به منظور ایجاد آلیاژهای چند فازه با ساختارهای مناسب، تخفیف داد. حتی فازهای سخت استحکام بخش ممکن است چقرومگی را از طریق کند کردن رشد ترک بهبود دهند. رفتار مکانیکی را می‌توان با اصلاح ریز ساختار بهینه کرد، که به کنترل دقیق فراورش احتیاج دارد.



شکل ۳۴- تنش تسلیم و وزن (۲/۰ درصد تنش آزمایش درشارپ واحد چگالی وزن در آهنگ کرنش 10^{-4} s $^{-1}$) به صورت تابعی از دمای ای فاز D_{22} (Reip, 1991; Reip and Sauthoff, 1993) (Sauthoff, 1990b) Co₂TiAl، فازهای لاوهی (Sauthoff, 1990b; Machon, 1992)، آلیاژ دو فازی Al₃Nb (Frommeyere et al., 1992) (DA₁)، Ti₅Si₁₃ (Sauthoff, 1990b; Machon, 1992) و HPSN (Inco, 1982) (درکشش) (Porz and Grathwohl, 1984) در فاز لاوهی NiAl (در قیاس با آبرآلیاژ MA6000) (درکشش) (Sauthoff, 1990b) و فاز منشوری α -NbNiAl (خمنی).

البته، باید تأکید کرد که نمی‌توان انتظار داشت مواد بین فلزی‌ای را با خواص مشابه با آلیاژهای فلزی معمول موجود به دست آورد. نرم شوندگی که در موارد اندکی (خصوصاً در Al-Ni_x-V_y(Fe,Co,Ni)) به دست آمده است بر ساز و کارهای نسبتاً خاص بنای شده است و برای فازهای بین فلزی دیگر مورد انتظار نیست. از این رو، مواد بین فلزی باید به عنوان طبقه‌ی موادی از نوع خودشان باطیف خواصی که به طور قابل ملاحظه‌ای با خواص مواد دیگر متفاوت است و می‌تواند در گستره‌ی وسیعی همانند فلزات در یک سو و غیر فلزات در سوی دیگر تغییر کند، لحاظ گرددند. این طبقه بندی امکان‌های زیادی را برای پیشرفت‌های گوناگون که هم از جنبه‌ی کاربردهای عملی و هم علم مواد تحریک می‌شوند، به ارمنغان می‌آورد.

سرانجام، توجه می‌شود که بیشترین توجه به پیشرفت آلیاژهای بین فلزی جهت استفاده به عنوان تیغه‌های توربین گازی هواپیما معطوف می‌شود. این کاربرد بیشترین استفاده‌ی مورد در خواست است و روش نیست که آیا همه‌ی مشکلات همراه با استحکام، نرمی، چفرمگی و مقاومت به خوردگی را با هزینه‌های معقول می‌توان حل نمود یانه. کاربردهای با تکنولوژی کم تر پیشرفت‌هه می‌توانند برای معرفی مواد بین فلزی جدید در حال حاضر سودمندتر باشند. نمونه‌ای از این کاربردها می‌تواند موتور اatomیل باشد که در آن قطعات سبک و محکم با مقاومت به خوردگی کافی مورد نیازند. در اینجا تردی مشکلی محسوب نمی‌شود زیرا طراحان نحوه‌ی استفاده از مواد سرامیکی را (به عنوان نمونه در سوپاپ‌ها) آموخته‌اند. البته، مواد جدید باید از لحاظ خواص فیزیکی، خصوصاً انبساط حرارتی و هدایت حرارتی قابل رقابت با موتور فلزی باشند. این احتیاج مترادف با مشخصه‌های مواد بین فلزی است، آن‌ها ترد و سخت با پیوند اتمی اساساً فلزی هستند، به عبارت بهتر خواص فیزیکی فلزی دارند. از این رو انتظار می‌رود مواد بین فلزی جدید نقش مهمی در ساخت موتورهای اatomیل و کاربردهای مشابه ایفا نمایند.

قدرتانی

تحقیقات نویسنده بر روی بین فلزات توسط Forschungsgemeinshaft(DFG) و Bundesminister für Forschung und Tecnologie (BMFT) در طول یک دهه مورد حمایت قرار گرفته است که جای سپاس فراوان دارد. نگارنده مرهون یاری همکاران زیادی است که از تحقیقات آنها در بخش مأخذ سپاس‌گزاری می‌شود، خصوصاً از همکاران او در Max-Planck-Institut für Eisenforschung برای بحث‌های جالب و بسیار پر ارزش آنها قدردانی می‌کند. نویسنده از خانم اریکا بارچ (Bartsch) به خاطر کار زیاد با میکروسکوپ الکترونی و آقای گرهارد بیالکوفسکی (Bialkowski) به خاطر آزمون‌های مکانیکی بی‌شمار بر روی مواد تسبتاً ترد تشکر می‌کند.

مراجع

- Ahlers, M. (1986), *Prog. Mater. Sci.* 30, 135–186.
- Ahlers, M., Pelegrina, J. L. (1992), *Acta Metall. Mater.* 40, 3213–3220.
- Ahmed, T., Flower, H. M. (1992), *Mater. Sci. Eng. A* 152, 31–36.
- Aikin, R. M., Jr. (1992), *Scr. Metall. Mater.* 26, 1025–1030.
- Aindow, M., Shyue, J., Gaspar, T. A., Fraser, H. L. (1991), *Phil. Mag. A* 64, 59–65.
- Aitken, E. A. (1967), in: *Intermetallic Compounds*: Westbrook, J. H. (Ed.), New York: Wiley, pp. 491–516.
- Akuezue, H. C., Whittle, D. P. (1983), *Met. Sci.* 17, 27–33.
- Albers, M., Sai Baba, M., Kath, D., Miller, M., Hilpert, K. (1992), *Ber. Bunsenges. Phys. Chem.* 96, 1663–1668.
- Alekseyev, L. A., Dzhavadov, D. M., Tyapkin, Y. D., Levi, R. B. (1977), *Fiz. Metal. Metalloved.* 43 (No. 6), 1235–1241.
- Alexander, D. J., Sikka, V. K. (1992), *Mater. Sci. Eng. A* 152, 114–119.
- Alexander, H. (1986), in: *Dislocations in Solids*: Nabarro, F. R. N. (Ed.), Amsterdam: North-Holland, pp. 113–234.
- Alexander, H., Haasen, P. (1968), in: *Solid State Physics*, Vol. 22: Seitz, F., Turnbull, D., Ehrenreich, H. (Eds.), New York: Academic, pp. 27–158.
- Allen, C. W. (1985), in: *High-Temperature Ordered Intermetallic Alloys*: Koch, C. C., Liu, C. T., Stoloff, N. S. (Eds.), Pittsburgh, PA: MRS, pp. 141–146.
- Allen, C. W., Liao, K. C. (1982), *Phys. Status Solidi (a)* 74, 673–681.
- Allen, C. W., Delavignette, P., Amelinckx, S. (1972), *Phys. Status Solidi (a)* 9, 237–246.
- Alman, D. E., Stoloff, N. S. (1991), in: *High Temperature Ordered Intermetallic Alloys IV*: Johnson, L. A., Pope, D. P., Stiegler, J. O. (Eds.), Pittsburgh, PA: MRS, pp. 989–1000.
- Alman, D. E., Stoloff, N. S. (1992), *Mater. Res. Soc. Symp. Proc.* 273, 247–252.
- Alman, D. E., Stoloff, N. S. (1993), *Scr. Metall. Mater.* 28, 1525–1530.
- Alman, D. E., Stoloff, N. S., Otsuki, M. (1991), in: *Proc. Int. Symp. on Intermetallic Compounds – Structure and Mechanical Properties (JIMIS-6)*: Izumi, O. (Ed.), Sendai: The Japan Institute of Metals, pp. 891–899.
- Aly, E.-S. M., Stark, J. P. (1984), *Acta Metall.* 32, 907–914.
- Amano, M., Sasaki, Y., Watanabe, R., Shibata, M. (1983), *J. Less-Common Met.* 89, 513–518.
- Amano, M., Hirata, T., Kimura, T., Sasaki, Y. (1984), *Trans. JIM* 25, 657–661.
- Anderson, C. D., Hofmeister, W. H., Bayuzick, R. J. (1993), *Metall. Trans.* 24A, 61–66.
- Andreyeva, A. V., Belyanin, A. F., Bulyonkov, N. A. (1988), *Acta Metall.* 36, 2377–2385.
- Andryushchenko, V. A., Gavrilyuk, V. G., Nadutov, V. M. (1985), *Phys. Met. Metall.* 60 (4), 50–55.
- Anongba, P. N. B., Steinemann, S. G. (1993), *Phys. Status Solidi (a)* 140, 391–409.
- Anton, D. L. (1988), in: *High Temperature/High Performance Composites*: Lemkey, F. D., Fishman, S. G., Evans, A. G., Strife, J. R. (Eds.), Pittsburgh, PA: MRS, pp. 57–64.
- Anton, D. L., Shah, D. M. (1989), in: *High-Temperature Ordered Intermetallic Alloys III*: Liu, C. T., Taub, A. I., Stoloff, N. S., Koch, C. C. (Eds.), Pittsburgh, PA: Mater. Res. Soc., pp. 361–371.
- Anton, D. L., Shah, D. M. (1990), in: *Intermetallic Matrix Composites*: Anton, D. L., Martin, P. L., Miracle, D. B., McMeeking, R. (Eds.), Pittsburgh, PA: MRS, pp. 45–52.
- Anton, D. L., Shah, D. M. (1991a), in: *Proc. Int. Symp. on Intermetallic Compounds – Structure and Mechanical Properties (JIMIS-6)*: Izumi, O. (Ed.), Sendai: The Japan Institute of Metals, pp. 379–386.
- Anton, D. L., Shah, D. M. (1991b), in: *High Temperature Ordered Intermetallic Alloys IV*: Johnson, L. A., Pope, D. P., Stiegler, J. O. (Eds.), Pittsburgh, PA: MRS, pp. 63–68.
- Anton, D. L., Shah, D. M. (1992a), *Mater. Sci. Eng. A* 153, 410–415.
- Anton, D. L., Shah, D. M. (1992b), *Mater. Res. Soc. Symp. Proc.* 273, 157–164.
- Anton, D. L., Shah, D. M. (1993), *Mater. Res. Soc. Symp. Proc.* 288, 141–150.
- Aoki, K. (1990), *Mater. Trans. Jpn. Inst. Met.* 31, 443–448.
- Aoki, K., Izumi, O. (1979), *J. Jpn. Inst. Met.* 43, 1190–1196.
- Aoki, K., Masumoto, T. (1988), *Sci. Rep. Tohoku Univ. A* 34, 79–92.
- Aoki, K., Masumoto, T. (1993), *J. Alloys Compounds* 194, 251–261.
- Aoki, K., Ishikawa, K., Masumoto, T. (1993), *Scr. Metall. Mater.* 29, 651–656.
- Aoki, Y., Nakamichi, T., Yamamoto, M. (1966), *J. Phys. Soc. Jpn.* 21, 565–570.
- Appel, F., Beaven, P. A., Wagner, R. (1993), *Acta Metall. Mater.* 41, 1721–1732.
- Appelbaum, A., Eizenberg, M., Bronner, R. (1984), *J. Appl. Phys.* 55, 914–917.
- Arbiter, W. (1953a), WADC Technical Report 53-190, part I, 1–85.
- Arbiter, W. (1953b), WADC Technical Report 53-190, part II, 1–47.
- Archambault, P., Hazotte, A. (1993), *Scr. Metall. Mater.* 28, 423–428.
- Argent, B. B. (1984), in: *Niobium*: Stuart, H. (Ed.), Warrendale, PA: The Metallurgical Society of AIME, pp. 325–415.

- Armitage, J. G. M., Dumelow, T., Mitchell, R. H., Riedi, P. C., Abell, J. S., Mohn, P., Schwarz, K. (1986), *J. Phys. F16*, L141–L144.
- Arzt, E., Rösler, J. (1988), *Acta Metall.* 36, 1053–1060.
- Arzt, E., Göhring, E., Grahle, P. (1993), *Mater. Res. Soc. Symp. Proc.* 288, 861–866.
- Asano, S., Ishida, S. (1988), *J. Phys. F18*, 501–515.
- Ashby, M. F., Edward, G. H., Davenport, I., Verrall, R. A. (1978), *Acta Metall.* 26, 1379–1388.
- Ashby, M. F., Blunt, F. J., Bannister, M. (1989), *Acta Metall.* 37, 1847–1857.
- Ashok, S., Kain, K., Tartaglia, J. M., Stoloff, N. S. (1983), *Metall. Trans.* 14A, 1997–2003.
- Asta, M., van Schilfgaarde, M., De Fontaine, D. (1993), *Mater. Res. Soc. Symp. Proc.* 288, 153–158.
- Aswath, P. B., Suresh, S. (1991), *Metall. Trans.* 22A, 817–828.
- Au, Y. K., Wayman, C. M. (1972), *Scr. Metall.* 6, 1209–1214.
- Austin, C. M., Kelly, T. J. (1993), in: *Structural Intermetallics*: Darolia, R., Lewandowski, J. J., Liu, C. T., Martin, P. L., Miracle, D. B., Nathal, M. V. (Eds.), Warrendale, PA: TMS, pp. 143–150.
- Ayer, R., Ray, R. (1991), *Metall. Trans.* 22A, 1901–1910.
- Baeslack, W. A., III, Cieslak, M. J., Headley, T. J. (1988), *Scr. Metall.* 22, 1155–1160.
- Baker, I. (1993), *Scr. Metall. Mater.* 29, 835–836.
- Baker, I., Gaydosh, D. I. (1987), *Mater. Sci. Eng.* 96, 147–158.
- Baker, I., George, E. P. (1992), *Met. Mater.* 8, 318–323.
- Baker, I., Munroe, P. R. (1990), in: *High-Temperature Aluminides and Intermetallics*: Whang, S. H., Liu, C. T., Pope, D. P., Stiegler, J. O. (Eds.), Warrendale, PA: TMS, pp. 425–452.
- Baker, I., Nagpal, P. (1993), in: *Structural Intermetallics*: Darolia, R., Lewandowski, J. J., Liu, C. T., Martin, P. L., Miracle, D. B., Nathal, M. V. (Eds.), Warrendale, PA: TMS, pp. 463–473.
- Baker, I., Liu, F., Nagpal, P., Munroc, P. R. (1991), in: *High Temperature Ordered Intermetallic Alloys IV*: Johnson, L. A., Pope, D. P., Stiegler, J. O. (Eds.), Pittsburgh, PA: MRS, pp. 533–538.
- Baker, I., Yuan, J., Schulson, E. M. (1993), *Metall. Trans.* 24A, 283–292.
- Bakker, H. (1984), in: *Diffusion in Crystalline Solids*: Murch, G. E., Nowick, A. S. (Eds.), Orlando, FL: Academic, pp. 189–256.
- Bakker, H., Ommeren, A. (1978), *Acta Metall.* 26, 1047–1053.
- Bakker, H., Westerveld, J. P. A. (1988), *Phys. Status Solidi (b)* 143, 409–417.
- Bakker, H., Van Winkel, A., Waegemakers, A. A. H. J., Van Ommeren, A. H., Stolwijk, N. A., Hatcher, R. D. (1985), in: *Diffusion in Solids: Recent Developments*: Dayananda, M. A., Murch, G. E. (Eds.), Warrendale, PA: TMS, pp. 39–63.
- Bakker, H., Lo Cuscio, D. M. R., Di, L. M. (1992), in: *Ordered Intermetallics – Physical Metallurgy and Mechanical Properties*: Liu, C. T., Cahn, R. W., Sauthoff, G. (Eds.), Dordrecht: Kluwer, 433–448.
- Balakin, A. S. (1984), *Sov. Phys. Solid State* 26, 1912–1913.
- Ball, A., Smallman, R. E. (1966), *Acta Metall.* 14, 1349–1355.
- Ball, J., Gottstein, G. (1993), *Intermetallics* 1, 191–208.
- Balsone, S. J. (1989), in: *Oxidation of High-Temperature Intermetallics*: Grobstein, T., Doychak, J. (Eds.), Warrendale, PA: TMS, pp. 219–234.
- Ban, Z., Ogilvie, E. (1966), *Trans. AIME* 236, 1738–1742.
- Bardos, A. M., Bardos, D. I., Beck, P. A. (1963), *Trans. AIME* 227, 991–993.
- Bardos, D. I., Gupta, K. P., Beck, P. A. (1961), *Trans. AIME* 221, 1087–1088.
- Bardos, D. I., Malik, R. K., Spiegel, F. X., Beck, P. A. (1966), *Trans. AIME* 236, 40–48.
- Barinov, S. M., Evdokimov, V. Y. (1993), *Acta Metall. Mater.* 41, 801–804.
- Barinov, S. M., Evdokimov, V. Y., Shevchenko, V. Y. (1992), *J. Mater. Sci. Lett.* 11, 1347–1348.
- Bartels, A., Seeger, J., Mecking, H. (1993), *Mater. Res. Soc. Symp. Proc.* 288, 1179–1184.
- Barth, E. P., Tien, J. K., Uejio, S., Kambara, S. (1992), *Mater. Sci. Eng. A* 153, 398–401.
- Bartholomeusz, M. F., Yang, Q., Wert, J. A. (1993), *Scr. Metall. Mater.* 29, 389–394.
- Bassi, C., Peters, J. A., Blank-Bewersdorff, M. (1991), *Technische Rundschau Sulzer* 1, 5–9.
- Batterman, B. W., Barrett, C. S. (1964), *Phys. Rev. Lett.* 13, 390–392.
- Batterman, B. W., Barrett, C. S. (1966), *Phys. Rev.* 145, 296–301.
- Bauer, G. (1939), *Z. Anorg. Allg. Chem.* 242, 1–22.
- Beauchamp, P., Dirras, G. (1993), *Phil. Mag. A* 67, 813–826.
- Beauchamp, P., Dirras, G., Veyssiére, P. (1992), *Phil. Mag. A* 65, 477–496.
- Beaven, P. A., Wu, J. S., Dogan, B., Hartig, C., Seeger, J., Wagner, R. (1989), GKSS-Jahresbericht, pp. 49–61.
- Becker, J. D., Sanchez, J. M., Tien, J. K. (1991), in: *High Temperature Ordered Intermetallic Alloys IV*: Johnson, L. A., Pope, D. P., Stiegler, J. O. (Eds.), Pittsburgh, PA: MRS, pp. 113–118.
- Becker, S., Rahmel, A., Schorr, M., Schütze, M. (1992), *Oxid. Met.* 38, 425–464.
- Becker, S., Schütze, M., Rahmel, A. (1993), *Oxid. Met.* 39, 93–106.
- Bequaert, C. S., Clapp, P. C., Riskin, J. A. (1993), *Mater. Res. Soc. Symp. Proc.* 228, 519–524.
- Bednorz, J. G., Müller, K. A. (1988), *Angew. Chem.* 100, 757–770.
- Benci, J. E., Ma, J. C., Feist, T. P. (1993), *Mater. Res. Soc. Symp. Proc.* 288, 397–402.

- Bendersky, L. A., Voorhees, P. W., Boettger, W. J., Johnson, W. C. (1988), *Scr. Metall.* 22, 1029–1034.
- Bendersky, L. A., Boettger, W. J., Biancaniello, F. S. (1992), *Mater. Sci. Eng. A* 152, 41–47.
- Benjamin, J. S., Giessen, B. C., Grant, N. J. (1966), *Trans. AIME* 236, 224–226.
- Bershadsky, E., Josephy, Y., Ron, M. (1991), *J. Less-Common Met.* 172–174, 1036–1043.
- Bertero, G. A., Hofmeister, W. H., Robinson, M. B., Bayuzick, R. J. (1991 a), *Metall. Trans.* 22A, 2713–2721.
- Bertero, G. A., Hofmeister, W. H., Robinson, M. B., Bayuzick, R. J. (1991 b), *Metall. Trans.* 22A, 2723–2732.
- Bertram, M., Paufler, P. (1983), *Cryst. Res. Technol.* 18, 5–11.
- Bewlay, B. P., Chang, K.-M., Sutliff, J. A., Jackson, M. R. (1992), *Mater. Res. Soc. Symp. Proc.* 273, 417–424.
- Bhaduri, S. B. (1992), *Scr. Metall. Mater.* 27, 1277–1281.
- Bhandarkar, M. D., Bhat, M. S., Parker, E. R., Zackay, V. F. (1976), *Metall. Trans.* 7A, 753–760.
- Bhattacharya, A. K. (1991), *J. Am. Ceram. Soc.* 74, 2707–2710.
- Bhattacharya, A. K., Petrovic, J. J. (1991), *J. Am. Ceram. Soc.* 74, 2700–2703.
- Bhattacharya, A. K., Ho, C. T., Sekhar, J. A. (1992), *J. Mater. Sci. Lett.* 11, 475–476.
- Bi, Y. J., Abell, J. S. (1993), *Scr. Metall. Mater.* 29, 543–546.
- Bidaux, J.-E., Ahlers, M. (1992), *Z. Metallkd.* 83, 310–313.
- Bieler, T. R., Noebe, R. D., Whittenberger, J. D., Luton, M. J. (1992), *Mater. Res. Soc. Symp. Proc.* 273, 165–170.
- Bieler, T. R., Whittenberger, J. D., Luton, M. J. (1993), *Mater. Res. Soc. Symp. Proc.* 288, 1149–1154.
- Bittencourt, J. C. (1987), *Adv. Mater. Processes* 12/87, 35–39.
- Blau, W., Himsel, A., Kleinstück, K. (1980), *Phys. Status Solidi (a)* 100, 541–549.
- Boebel, M., Pompe, W., Schumann, E., Rühle, M. (1992), *Acta Metall. Mater.* 40, 2669–2676.
- Boettger, W. J., Perepezko, J. H., Frankwicz, P. S. (1992), *Mater. Sci. Eng. A* 155, 33–41.
- Boettner, R. C., Stoloff, N. S., Davies, R. G. (1966), *Trans. AIME* 236, 131–133.
- Bohn, H. G., Schumacher, R., Vianden, R. J. (1987 a), in: *High-Temperature Ordered Intermetallic Alloys II*: Stoloff, N. S., Koch, C. C., Liu, C. T., Izumi, O. (Eds.). Pittsburgh, PA: MRS, pp. 123–126.
- Bohn, H. G., Williams, J. M., Barrett, J. H., Liu, C. T. (1987 b), in: *High-Temperature Ordered Intermetallic Alloys II*: Stoloff, N. S., Koch, C. C., Liu, C. T., Izumi, O. (Eds.). Pittsburgh, PA: MRS, pp. 127–133.
- Bond, G. M., Robertson, I. M., Birnbaum, H. K. (1989), *Acta Metall.* 37, 1407–1413.
- Bondarev, B., Anoshkin, N., Molotkov, A., Notkin, A., Elagin, D. (1991), in: *Proc. Int. Symp. on Intermetallic Compounds – Structure and Mechanical Properties (JIMIS-6)*: Izumi, O. (Ed.). Sendai: The Japan Institute of Metals, pp. 1009–1014.
- Bose, S. K., Kudrnovsky, J., Jepsen, O., Andersen, O. K. (1991), in: *High Temperature Ordered Intermetallic Alloys IV*: Johnson, L. A., Pope, D. P., Stiegler, J. O. (Eds.). Pittsburgh, PA: MRS, pp. 25–30.
- Boulghalat, M., Gerard, N. (1991), *J. Less-Common Met.* 172–174, 1052–1057.
- Bowden, D. M. (1989), *Mater. Manufact. Processes* 4, 85–101.
- Bowman, R. R. (1992), *Mater. Res. Soc. Symp. Proc.* 273, 145–156.
- Bowman, R. R., Noebe, R. D. (1989), *Adv. Mater. Processes* 8/89, 35–40.
- Bozorth, R. M. (1951), *Ferromagnetism*. Toronto: Van Nostrand, pp. 102–422.
- Bradley, A. J. (1951), *JISI* 168, 233–244.
- Bradley, A. J., Taylor, A. (1938), *Proc. R. Soc. A* 166, 353–375.
- Brady, M. P., Hanrahan, R. J., Jr., Elder Randall, S. P., Verink, E. D., Jr. (1993), *Scr. Metall. Mater.* 28, 115–120.
- Brand, R., Webb, W. W. (1969), *Solid State Commun.* 7, 19–25.
- Bremer, F. J., Beyss, M., Wenzl, H. (1988), *Phys. Status Solidi (a)* 110, 77–82.
- Brennan, P. C., Kao, W. H., Yang, J.-M. (1992), *Scr. Metall. Mater.* 26, 1399–1404.
- Brill, U., Klöwer, J. (1991), in: *High Temperature Ordered Intermetallic Alloys IV*: Johnson, L. A., Pope, D. P., Stiegler, J. O. (Eds.). Pittsburgh, PA: MRS, pp. 963–968.
- Brimhall, J. L., Bruemmer, S. M. (1992), *Scr. Metall. Mater.* 27, 1747–1752.
- Brock, G. W. (1986), in: *Encyclopedia of Materials Science and Engineering*: Bever, M. B. (Ed.). Oxford: Pergamon, pp. 2679–2682.
- Brooks, C. R., Cao, S. (1992), *Phil. Mag. A* 65, 327–353.
- Brooks, C. R., Spruiell, J. E., Stansbury, E. E. (1984), *Int. Met. Rev.* 29, 210–248.
- Brown, N. (1959), *Phil. Mag.* 4, 693–704.
- Brown, S. A., Pope, D. P., Kumar, K. S. (1993), *Mater. Res. Soc. Symp. Proc.* 288, 723–729.
- Brückner, W. (1969), Dr. rer. nat. Thesis, Technische Universität Dresden, pp. 1–126.
- Bruemmer, S. M., Brimhall, J. L., Henager, H., Jr. (1990), in: *Intermetallic Matrix Composites*: Anton, D. L., Martin, P. L., Miracle, D. B., McMeeking, R. (Eds.). Pittsburgh, PA: MRS, pp. 257–262.
- Bruemmer, S. M., Arty, B. W., Henager, C. H., Jr. (1992 a), *Mater. Res. Soc. Symp. Proc.* 273, 425–432.
- Bruemmer, S. M., Charlot, L. A., Brimhall, J. L., Henager, C. H., Jr. (1992 b), *Phil. Mag. A* 65, 1083–1094.

- Bruemmer, S. M., Brinshall, J. L., Henager, C. H., Jr., Hirth, J. P. (1993), *Mater. Res. Soc. Symp. Proc.* 288, 799–806.
- Bruk, C., Nowotny, H., Bencsovsky, F. (1961), *Monaish. Chem.* 92, 967–980.
- Brumm, M. W., Grabke, H. J. (1992), *Corros. Sci.* 33, 1677–1690.
- Bryant, J. D., Kampe, S. L., Sadler, P., Christodoulou, L. (1991), *Metall. Trans.* 22A, 2009–2020.
- Buckley, R. A. (1975), *Met. Sci.* 9, 243–247.
- Bunk, W. G. J. (1992), in: *Basic Technologies for Future Industries: The 3rd Symposium on High-Performance Materials for Severe Environments*: RIMCOF (Ed.). Tokyo: Japan Industrial Technology Association (JITA), pp. 1–15.
- Burany, X. M., Northwood, D. O. (1991), *J. Less-Common Met.* 170, 27–35.
- Buschow, K. H. J. (1980), in: *Ferromagnetic Materials*, Vol. 1: Wehlifarth, E. P. (Ed.). Amsterdam: North-Holland, pp. 297–414.
- Buschow, K. H. J. (1986), *Mater. Sci. Rep.* 1, 1–64.
- Buschow, K. H. J. (1991), *Rep. Prog. Phys.* 54, 1123–1213.
- Cadoff, I. (1967), in: *Intermetallic Compounds*: Westbrook, J. H. (Ed.). New York: Wiley, pp. 517–528.
- Cahn, R. W. (1989), *Met. Mater. Processes* 1, 1–19.
- Cahn, R. W. (1990), in: *High-Temperature Aluminides and Intermetallics*: Whang, S. H., Liu, C. T., Pope, D. P., Stiegler, J. O. (Eds.). Warrendale, PA: TMS, pp. 245–270.
- Cahn, R. W. (1991), in: *Proc. Int. Symp. on Intermetallic Compounds – Structure and Mechanical Properties* (JIMIS-6): Izumi, O. (Ed.). Sendai: The Japan Institute of Metals, pp. 771–778.
- Cahn, R. W. (1992), in: *Ordered Intermetallics – Physical Metallurgy and Mechanical Properties*: Liu, C. T., Cahn, R. W., Sauthoff, G. (Eds.). Dordrecht: Kluwer, pp. 511–524.
- Cahn, R. W. (1993), in: *Diffusion in Ordered Alloys and Intermetallic Compounds*: Fuliz, B., Cahn, R. W., Gupta, D. (Eds.). Warrendale, PA: TMS, pp. 125–136.
- Cahn, R. W., Siemers, P. A., Geiger, J. E., Bardhan, P. (1987), *Acta Metall.* 35, 2737–2751.
- Caillet, M., Ayedi, H. F., Galerie, A., Besson, J. (1978), in: *Materials and Coatings to Resist High Temperature Corrosion*: Holmes, D. R., Rahmel, A. (Eds.). London: Applied Science, pp. 387–398.
- Calka, A., Radlinski, A. P., Shanks, R. A., Pogany, A. P. (1991), *J. Mater. Sci. Lett.* 10, 734–737.
- Campisi, G. J., Bevolo, A. J., Shanks, H. R., Schmidt, F. A. (1981), *J. Appl. Phys.* 52, 5043–5047.
- Cao, H. C., Dalgleish, B. J., D'evé, H. E., Elliott, C., Evans, A. G., Mehrabian, R., Odette, G. R. (1989), *Acta Metall.* 37, 2969–2977.
- Carbone, A. J., Kopp, M. W., Tien, J. K., Lin, S. S., Marcus, H. L., Draper, S. L. (1988), *Scr. Metall.* 22, 1903–1906.
- Carlsson, A. E. (1991), in: *High Temperature Ordered Intermetallic Alloys IV*: Johnson, L. A., Pope, D. P., Stiegler, J. O. (Eds.). Pittsburgh, PA: MRS, pp. 19–23.
- Carter, D. H., Martin, P. L. (1990), in: *Intermetallic Matrix Composites*: Anton, D. L., Martin, P. L., Miracle, D. B., McMeeking, R. (Eds.). Pittsburgh, PA: MRS, pp. 131–138.
- Castagna, A., Stoloff, N. S. (1992), *Scr. Metall. Mater.* 26, 673–678.
- Castagna, A., Maziasz, P. J., Stoloff, N. S. (1993), *Mater. Res. Soc. Symp. Proc.* 288, 1043–1048.
- Castro, R. G., Smith, R. W., Rollett, A. D., Stanek, P. W. (1992), *Scr. Metall. Mater.* 26, 207–212.
- Catana, A., Schmid, P. E., Lu, P., Smith, D. J. (1992), *Phil. Mag. A* 66, 933–956.
- Cathcart, J. V. (1985), in: *High-Temperature Ordered Intermetallic Alloys*: Koch, C. C., Liu, C. T., Stoloff, N. S. (Eds.). Pittsburgh, PA: MRS, pp. 445–459.
- Chakravorty, S., Wayman, C. M. (1976a), *Metall. Trans.* 7A, 555–568.
- Chakravorty, S., Wayman, C. M. (1967b), *Metall. Trans.* 7A, 569–582.
- Chakravorty, S., West, D. R. F. (1985), *Mater. Sci. Technol.* 1, 978–985.
- Chakravorty, S., West, D. R. F. (1986), *Mater. Sci. Technol.* 2, 989–996.
- Chakravorty, S., Hashim, H., West, D. R. F. (1985), *J. Mater. Sci.* 20, 2313–2322.
- Chan, K. S. (1990), *Scr. Metall. Mater.* 24, 1725–1730.
- Chan, K. S. (1992), *Metall. Trans.* 23A, 497–507.
- Chan, K. S. (1993a), *Metall. Trans.* 24A, 569–583.
- Chan, K. S. (1993b), *Metall. Trans.* 24A, 1095–1105.
- Chan, K. S., Kim, Y.-W. (1993), *Metall. Trans.* 24A, 113–125.
- Chang, C. S., Pope, D. P. (1991), in: *High Temperature Ordered Intermetallic Alloys IV*: Johnson, L. A., Pope, D. P., Stiegler, J. O. (Eds.). Pittsburgh, PA: MRS, pp. 745–750.
- Chang, H., Gibala, R. (1993), *Mater. Res. Soc. Symp. Proc.* 288, 1143–1148.
- Chang, H., Kung, H., Gibala, R. (1992), *Mater. Res. Soc. Symp. Proc.* 273, 253–258.
- Chang, K.-M. (1992), *Mater. Res. Soc. Symp. Proc.* 273, 191–196.
- Chang, K.-M., Darolia, R., Lipsitt, H. A. (1991), in: *High Temperature Ordered Intermetallic Alloys IV*: Johnson, L. A., Pope, D. P., Stiegler, J. O. (Eds.). Pittsburgh, PA: MRS, pp. 597–602.
- Chang, K.-M., Darolia, R., Lipsitt, H. A. (1992), *Acta Metall. Mater.* 40, 2727–2737.
- Chang, Y. A., Neumann, J. P., Chen, S.-L. (1991), in: *Alloy Phase Stability and Design*: Stocks, G. M., Pope, D. P., Giamei, A. F. (Eds.). Pittsburgh, PA: MRS, pp. 131–140.
- Chang, Y. A., Pike, L. M., Liu, C. T., Bilbrey, A. R., Stone, D. S. (1993), *Intermetallics* 1, 107–115.
- Chapman, G. E., Lau, S. S., Matteson, S., Mayer, J. W. (1979), *J. Appl. Phys.* 50, 6321–6327.

- Charlot, L. A., Brimhall, J. L., Thomas, L. E., Bruemmer, S. M., Hirth, J. P. (1991), *Scr. Metall. Mater.* 25, 99–104.
- Chen, C., Chen, G. H. (1988), *Scr. Metall.* 22, 1857–1861.
- Chen, C.-P., Chang, Y. A. (1993), in: *Diffusion in Ordered Alloys and Intermetallic Compounds*: Fultz, B., Cahn, R. W., Gupta, D. (Eds.). Warrendale, PA: TMS, pp. 169–184.
- Chen, C. W. (1961), *J. Appl. Phys.* 32 Suppl., 348S–355S.
- Chen, G., Sun, Z., Xie, X. (1991), in: *Advanced Structural Materials (Proc. C-MRS International '90*, Beijing, Vol. 2): Kong, M., Huang, L. (Eds.). Amsterdam: Elsevier, pp. 830–835.
- Chen, G., Sun, Z., Zhou, X. (1992), *Mater. Sci. Eng. A* 153, 597–601.
- Chen, G., Zhang, W., Wang, Y., Wang, J., Sun, Z., Wu, Y., Zhou, L. (1993), in: *Structural Intermetallics*: Darolia, R., Lewandowski, J. J., Liu, C. T., Martin, P. L., Miracle, D. B., Nathal, M. V. (Eds.). Warrendale, PA: TMS, pp. 319–324.
- Chen, K. C., Allen, S. M., Livingston, J. D. (1993), *Mater. Res. Soc. Symp. Proc.* 288, 373–378.
- Chen, X. F., Reviere, R. D., Oliver, B. F., Brooks, C. R. (1992), *Scr. Metall. Mater.* 27, 45–49.
- Chen, Z. Y., Dodd, R. A. (1986), *Scr. Metall.* 20, 1709–1711.
- Cheng, C. C., Verhoeven, J. D. (1988), *J. Less-Common Met.* 139, 15–28.
- Cheng, G. H., Dayananda, M. A. (1979), *Metall. Trans. 10A*, 1415–1419.
- Cheng, S. C., Wolfenstein, J., Sherby, O. D. (1992), *Metall. Trans. 23A*, 1509–1513.
- Cheng, T. (1992), *Scr. Metall. Mater.* 27, 771–776.
- Cheng, T., Cantor, B. (1992), *Mater. Sci. Eng. A* 153, 696–699.
- Chesnutt, J. C. (1990), *Met. Mater.* 6, 509–511.
- Chiba, A., Shindo, D., Hanada, S. (1991), *Acta Metall. Mater.* 39, 13–18.
- Chiba, A., Hanada, S., Watanabe, S. (1992), *Mater. Sci. Eng. A* 152, 108–113.
- Chin, B. A., Pound, G. M., Nix, W. D. (1977), *Metall. Trans. 8A*, 1517–1522.
- Chin, G. Y., Wernick, J. H. (1986), in: *Encyclopedia of Materials Science and Engineering*, Vol. 4: Bever, M. B. (Ed.). Oxford: Pergamon, pp. 2654–2655.
- Choi, S.-D. (1992), *CALPHAD: Comput. Coupling Phase Diagrams Thermochem.* 16, 151–159.
- Chou, T. C. (1990), *Scr. Metall. Mater.* 24, 1131–1136.
- Chou, T. C., Nieh, T. G. (1990), *Scr. Metall. Mater.* 24, 1935–1940.
- Chou, T. C., Nieh, T. G. (1991), *Scr. Metall. Mater.* 25, 2059–2064.
- Chou, T. C., Nieh, T. G. (1993a), *J. Met.* 45(12), 14–21.
- Chou, T. C., Nieh, T. G. (1993b), *Mater. Res. Soc. Symp. Proc.* 288, 965–970.
- Chou, T. C., Nieh, T. G., Wadsworth, J. (1992), *Ser. Metall. Mater.* 27, 897–902.
- Chou, Y. C., Chou, Y. T. (1985), in: *High-Temperature Ordered Intermetallic Alloys*: Koch, C. C., Liu, C. T., Stoloff, N. S. (Eds.). Pittsburgh, PA: MRS, pp. 461–474.
- Choudhury, N. S., Graham, H. C., Hinze, J. W. (1976), in: *Properties of High Temperature Alloys*: Fotouli, Z. A., Pettit, F. S. (Eds.). Princeton: The Electrochemical Society, pp. 668–680.
- Chow, T. P., Brown, D. M., Steckl, A. J., Garfinkel, M. (1980), *J. Appl. Phys.* 51, 5981–5985.
- Christodoulou, C. N., Takeshita, T. (1993a), *J. Alloys Compounds* 191, 279–285.
- Christodoulou, C. N., Takeshita, T. (1993b), *J. Alloys Compounds* 194, 31–40.
- Christodoulou, L., Parrish, P. A., Crowe, C. R. (1988), in: *High Temperature/High Performance Composites*: Lemkey, F. D., Fishman, S. G., Evans, A. G., Strife, J. R. (Eds.). Pittsburgh, PA: MRS, pp. 29–34.
- Chu, F., Pope, D. P. (1992), *Scr. Metall. Mater.* 26, 399–404.
- Chu, F., Pope, D. P. (1993), *Scr. Metall. Mater.* 28, 331–336.
- Chu, W.-Y., Thompson, A. W. (1991), *Metall. Trans. 22A*, 71–81.
- Chu, W.-Y., Thompson, A. W. (1992), *Metall. Trans. 23A*, 1299–1312.
- Chu, W.-Y., Thompson, A. W., Williams, J. C. (1992), *Acta Metall. Mater.* 40, 455–462.
- Chuang, T. H., Pan, Y. C. (1992), *Metall. Trans. 23A*, 1187–1193.
- Cieslak, M. J., Headley, T. J., Baetzold III, W. A. (1990), *Metall. Trans. 21A*, 1273–1286.
- Clark, A. E. (1980), in: *Ferromagnetic Materials*, Vol. 1: Wohlfarth, E. P. (Ed.). Amsterdam: North-Holland, pp. 531–589.
- Clark, J. B., Wright, R. N. (1983), *Metall. Trans. 14A*, 2295–2301.
- Clark, J. B., Hopple, G. B., Wright, R. N. (1983), *Metall. Trans. 14A*, 889–895.
- Clemens, H., Bildstein, H. (1992), *Z. Metallkd.* 83, 429–435.
- Clemens, H., Rumberg, I., Schretter, P., Grahle, P., Lang, O., Wanner, A., Arzt, E. (1993a), *Mater. Res. Soc. Symp. Proc.* 288, 1087–1092.
- Clemens, H., Schretter, P., Wurzwallner, K., Bartels, A., Koeppe, C. (1993b), in: *Structural Intermetallics*: Darolia, R., Lewandowski, J. J., Liu, C. T., Martin, P. L., Miracle, D. B., Nathal, M. V. (Eds.). Warrendale, PA: TMS, pp. 205–214.
- Cline, H. E., Walter, J. L., Lifshin, E., Russel, R. R. (1971), *Metall. Trans. 2*, 189–194.
- Cockeram, B., Lipsitt, H. A., Srinivasan, R., Weiss, I. (1991), *Scr. Metall. Mater.* 25, 2109–2114.
- Cockeram, B., Saqib, M., Srinivasan, R., Weiss, I. (1992a), *Scr. Metall. Mater.* 26, 749–754.
- Cockeram, B., Srinivasan, R., Weiss, I. (1992b), *Scr. Metall. Mater.* 26, 755–760.

- Cohen, S. S., Piacente, P. A., Gildenblat, G., Brown, D. M. (1982), *J. Appl. Phys.* 53, 8856–8860.
- Colgan, E. G. (1990), *Mater. Sci. Rep.* 5, 1–44.
- Cortie, M. B., Wai, S., Jones, L. J., Cornish, L. A. (1991), in: *Proc. Int. Symp. on Intermetallic Compounds – Structure and Mechanical Properties* (JIMIS-6): Izumi, O. (Ed.), Sendai: The Japan Institute of Metals, pp. 865–869.
- Cotton, J. D., Noebe, R. D., Kaufman, M. J. (1993a), *Intermetallics* 1, 3–20.
- Cotton, J. D., Noebe, R. D., Kaufman, M. J. (1993b), in: *Structural Intermetallics*: Darolia, R., Lewandowski, J. J., Liu, C. T., Martin, P. L., Miracle, D. B., Nathal, M. V. (Eds.), Warrendale, PA: TMS, pp. 513–522.
- Cotton, J. D., Noebe, R., Kaufman, M. J. (1993c), *Intermetallics* 1, 117–126.
- Crimp, M. A., Vedula, K. (1986), *Mater. Sci. Eng.* 78, 193–200.
- Crimp, M. A., Vedula, K. (1991), *Phil. Mag. A* 63, 559–570.
- Crimp, M. A., Vedula, K. M., Gaydosh, D. J. (1987), in: *High Temperature Ordered Intermetallic Alloys II*: Izumi, O., Koch, C. C., Liu, C. T., Stoloff, N. S. (Eds.), Pittsburgh, PA: MRS, pp. 499–504.
- Croker, M. (1990), *Met. Mater.* 6, 623–629.
- Cros, A. (1983), in: *Passivity of Metals and Semiconductors*: Froment, M. (Ed.), Amsterdam: Elsevier, pp. 473–476.
- Crossman, F. W., Yue, A. S. (1971), *Metall. Trans.* 2, 1545–1551.
- Cullers, C. L., Antolovich, S. D., Noebe, R. D. (1993), *Mater. Res. Soc. Symp. Proc.* 288, 531–536.
- Czarnik, C. M., Gibala, R., Nastasi, M. A., Schwarz, R. B., Srinivasan, S. R., Petrovic, J. J. (1993), *Mater. Res. Soc. Symp. Proc.* 288, 597–602.
- Dadras, M. M., Morris, D. G. (1993), *Scr. Metall. Mater.* 28, 1245–1250.
- Dahl, O. (1936), *Z. Metallkd.* 28, 133–138.
- Dahms, M., Seeger, J., Smarsly, W., Wildhagen, B. (1991), *ISIJ Int.* 31, 1093–1099.
- Dahms, M., Leitner, G., Poeßnecker, W., Schultrich, S., Schmelzer, F. (1993), *Z. Metallkd.* 84, 351–357.
- Dannöhl, W. (1942), *Arch. Eisenhüttenwes.* 15, 321–330.
- Darolia, R. (1991), *J. Met.* 43 (3), 44–49.
- Darolia, R. (1993), in: *Structural Intermetallics*: Darolia, R., Lewandowski, J. J., Liu, C. T., Martin, P. L., Miracle, D. B., Nathal, M. V. (Eds.), Warrendale, PA: TMS, pp. 495–504.
- Darolia, R., Lahrmann, D., Field, R. (1992a), *Scr. Metall. Mater.* 26, 1007–1012.
- Darolia, R., Lahrmann, D. F., Field, R. D., Dobbs, J. R., Chang, K. M., Goldman, E. H., Konitzer, D. G. (1992b), in: *Ordered Intermetallics – Physical Metallurgy and Mechanical Behaviour*: Cahn, R. W., Liu, C. T., Sauthoff, G. (Eds.), Dordrecht: Kluwer, pp. 679–698.
- Darolia, R., Chang, K.-M., Hack, J. E. (1993), *Intermetallics* 1, 65–78.
- Das, S., Jewett, T. J., Perepezko, J. H. (1993a), in: *Structural Intermetallics*: Darolia, R., Lewandowski, J. J., Liu, C. T., Martin, P. L., Miracle, D. B., Nathal, M. V. (Eds.), Warrendale, PA: TMS, pp. 35–43.
- Das, S., Mishurda, J. C., Allen, W. P., Perepezko, J. H., Chumbley, L. S. (1993b), *Ser. Metall. Mater.* 28, 489–494.
- DasGupta, A., Horton, J. A., Liu, C. T. (1984), in: *High-Temperature Alloys: Theory and Design*: Stiegler, J. O. (Ed.), Warrendale, PA: TMS/AIME, pp. 115–124.
- Dauphin, J., Dunn, B. D., Judd, M. D., Levadou, F. (1991), *Met. Mater.* 7, 422–430.
- Davidson, D. L., Anton, D. L. (1993), *Mater. Res. Soc. Symp. Proc.* 288, 807–813.
- Davies, R. G. (1963a), *Trans. AIME* 227, 22–25.
- Davies, R. G. (1963b), *Trans. AIME* 227, 277–278.
- Davies, R. G., Stoloff, N. S. (1965), *Trans. AIME* 233, 714–719.
- Dayananda, M. A. (1992), in: *Ordered Intermetallics – Physical Metallurgy and Mechanical Properties*: Liu, C. T., Cahn, R. W., Sauthoff, G. (Eds.), Dordrecht: Kluwer, pp. 465–484.
- de Boer, F. R., Boom, R., Mattens, W. C. M., Miedema, A. R., Niessen, A. K. (1988), in: *Cohesion in Metals – Transition Metal Alloys*: de Boer, F. R., Pettifor, D. G. (Eds.), Amsterdam: North-Holland, pp. 1–758.
- De Fontaine, D. (1979), in: *Solid State Physics*, Vol. 34: Ehrenreich, H., Seitz, F., Turnbull, D. (Eds.), New York: Academic, pp. 73–274.
- De Fontaine, D., Asta, M., Wolverton, C., Dreyssé, H. (1991), in: *Proc. Int. Symp. Intermetallic Compounds – Structure and Mechanical Properties* (JIMIS-6): Izumi, O. (Ed.), Sendai: The Japan Institute of Metals, pp. 199–207.
- De Vos, K. J. (1969), in: *Magnetism and Metallurgy*, Vol. II: Berkowitz, A. E., Kneller, E. (Eds.), New York: Academic, pp. 473–511.
- Decamps, P., Gibson, M. A., Morton, A. J., Wollenben, A. (1991), in: *High Temperature Ordered Intermetallic Alloys IV*: Johnson, L. A., Pope, D. P., Stiegler, J. O. (Eds.), Pittsburgh, PA: MRS, pp. 685–690.
- Delaey, L., Krishnan, R. V., Tas, H., Warlimont, H. (1974), *J. Mater. Sci.* 9, 1521–1535.
- Dolbelle, P., Oytana, C. (1983), *Phys. Status Solidi (a)* 75, 625–634.
- Denbigh, K. (1971), *The Principles of Chemical Equilibrium*. Cambridge: Cambridge University Press, pp. 1–494.
- Denquin, A., Naka, S. (1993), *Phil. Mag. Lett.* 68, 13–20.
- Destefani, J. D. (1989), *Adv. Mater. Processes* 2/89, 37–41.
- DeVan, J. H. (1989), in: *Oxidation of High-Temperature Intermetallics*: Grobstein, T., Doychak, J. (Eds.), Warrendale, PA: TMS, pp. 107–116.

- DeVan, I. H., Hippesley, C. A. (1989), in: *Oxidation of High-Temperature Intermetallics*: Grobstein, T., Doychak, J. (Eds.). Warrendale, PA: TMS, pp. 31–40.
- Dew-Hughes, D. (1986), in: *Encyclopedia of Materials Science and Engineering*: Bever, M. B. (Ed.). Oxford: Pergamon, pp. 4771–4778.
- Dew-Hughes, D. (1988), *Met. Mater.* 4, 741–745.
- Dew-Hughes, D., Quincey, P. G., Upadhyay, P. L. (1987), *Mater. Sci. Technol.* 3, 936–943.
- Dève, H. E., Weber, C. H., Maloney, M. (1992), *Mater. Sci. Eng. A* 153, 668–675.
- d'Heurle, F. M. (1993 a), in: *Diffusion in Ordered Alloys and Intermetallic Compounds*: Fultz, B., Cahn, R. W., Gupta, D. (Eds.), Warrendale, PA: TMS, pp. 185–201.
- d'Heurle, F. M. (1993 b), *J. Mater. Res.* 3, 167–195.
- d'Heurle, F. M., Gas, P. (1986), *J. Mater. Res.* 1, 205–221.
- d'Heurle, F. M., Petersson, C. S., Baglin, J. E. E., La Placa, S. J., Wong, C. Y. (1984), *J. Appl. Phys.* 55, 4208–4212.
- Dickson, R. W., Wachtmann, J. B., Jr., Copley, S. M. (1969), *J. Appl. Phys.* 40, 2276–2279.
- Dietrich, D. W. (1990), in: *Metals Handbook*, Vol. 2, *Properties and Selection: Nonferrous Alloys and Special-Purpose Materials*. Materials Park, OH: ASM, pp. 761–777.
- Dimiduk, D. M., Mendiratta, M. G., Banerjee, D., Lipsitt, H. A. (1988), *Acta Metall.* 36, 2947–2958.
- Dimiduk, D. M., Miracle, D. B., Kim, Y.-W., Mendiratta, M. G. (1991), *ISIJ Int.* 31, 1223–1234.
- Dimiduk, D. M., Miracle, D. B., Ward, C. H. (1992), *Mater. Sci. Technol.* 8, 367–375.
- Dimiduk, D. M., Thompson, A. W., Williams, J. C. (1993), *Phil. Mag. A* 67, 675–698.
- Dirras, G., Beauchamp, P., Veyssiére, P. (1992), *Phil. Mag. A* 65, 815–828.
- Dogan, B., Wagner, R., Beaven, P. A. (1991), *Scr. Metall.* 25, 773–778.
- Dollar, M., Dymek, S., Hwang, S. J., Nash, P. (1992), *Scr. Metall. Mater.* 26, 29–34.
- Dominguez-Rodriguez, A., Castaing, J. (1993), *Scr. Metall. Mater.* 28, 1207–1211.
- Douin, J., Naka, S., Thomas, M. (1993), *Mater. Res. Soc. Symp. Proc.* 288, 317–322.
- Dowling, J., Donlon, W. T., Allison, J. E. (1991), in: *High Temperature Ordered Intermetallic Alloys IV*: Johnson, L. A., Pope, D. P., Stiegler, J. O. (Eds.). Pittsburgh, PA: MRS, pp. 561–567.
- Doychak, J., Siniak, J. L., Barrett, C. A. (1989), in: *Oxidation of High-Temperature Intermetallics*: Grobstein, T., Doychak, J. (Eds.). Warrendale, PA: TMS, pp. 41–56.
- Drasner, A., Blazina, Z. (1991), *J. Less-Common Met.* 168, 289–294.
- Dunmead, S. D., Munir, Z. A., Holt, J. B., Kingman, D. D. (1991), *J. Mater. Sci.* 26, 2410–2416.
- Durlu, N., Inal, O. T. (1992a), *J. Mater. Sci.* 27, 1175–1178.
- Durlu, N., Inal, O. T. (1992b), *J. Mater. Sci.* 27, 3225–3230.
- Durlu, N., Inal, O. T., Yost, F. G. (1991), *Scr. Metall. Mater.* 25, 2475–2479.
- Dwight, A. E. (1967), in: *Intermetallic Compounds*: Westbrook, J. H. (Ed.). New York: Wiley, pp. 166–179.
- Dymek, S., Dollar, M., Hwang, S. J., Nash, P. (1992), *Mater. Sci. Eng. A* 152, 160–165.
- Dymek, S., Dollar, M., Hwang, S. J., Nash, P. (1993), *Mater. Res. Soc. Symp. Proc.* 228, 1117–1122.
- Eckerlin, P., Kandler, H., Stegherr, A. (1971), in: *Landolt-Bornstein – Zahlenwerke und Funktionen aus Naturwissenschaften und Technik, Neue Serie, Gruppe III, Band 6: Strukturdaten der Elemente und intermetallischen Phasen*: Hellwege, K.-H., Hellwege, A. M. (Eds.). Berlin: Springer, p. 279.
- Edwards, K. M., Gibala, R. (1993), *Mater. Res. Soc. Symp. Proc.* 288, 665–670.
- Ehlers, S. K., Mendiratta, M. G. (1984), *J. Mater. Sci.* 19, 2203–2210.
- Eisenstatt, R. L., Wright, R. N. (1980), *Metall. Trans. 11A*, 1131–1138.
- Eisenberg, M., Tu, K. N. (1982), *J. Appl. Phys.* 53, 1577–1585.
- Eisenberg, M., Foell, H., Tu, K. N. (1981), *J. Appl. Phys.* 52, 861–864.
- Eliezer, D., Froes, F. H., Suryanarayana, C. (1991), *J. Met.* 43 (3), 59–62.
- Ellmer, M., Kek, S., Predel, B. (1989), *J. Less-Common Met.* 154, 207–215.
- Ellmer, M., Kek, S., Predel, B. (1992), *J. Alloys Compd.* 189, 245–248.
- Enami, K., Martynov, V. V., Tomie, T., Khandros, L. G., Nenno, S. (1981), *Trans. JIM* 22 (5), 357–366.
- Engell, H.-J., Von Keitz, A., Sauthoff, G. (1991), in: *Advanced Structural and Functional Materials*: Bunk, W. (Ed.). Berlin: Springer, pp. 91–132.
- Enomoto, M., Harada, H. (1989), *Metall. Trans. 20 A*, 649–664.
- Enomoto, M., Harada, H., Yamazaki, M. (1991), *CALPHAD: Comput. Coupling Phase Diagrams Thermochem.* 15, 143–158.
- Erschbaumer, R., Podlucky, R., Rogl, P., Temnitschka, G. (1993), *Intermetallics* 1, 99–106.
- Esslinger, P., Smarsly, W. (1991), *MTU Focus* 1, 36–41.
- Es-Souni, M., Chen, D., Dogan, B., Wagner, R., Beaven, P. A., Bartels, A. (1991), in: *Proc. Int. Symp. on Intermetallic Compounds – Structure and Mechanical Properties (JIMIS-6)*: Izumi, O. (Ed.). Sendai: The Japan Institute of Metals, pp. 525–529.
- Es-Souni, M., Wagner, R., Beaven, P. A., Bartels, A. (1992a), *Mater. Sci. Eng. A* 153, 444–450.
- Es-Souni, M., Wagner, R., Beaven, P. A., Schimansky, F.-P., Gerling, R. (1992b), *Scr. Metall. Mater.* 26, 727–732.
- Es-Souni, M., Wagner, R., Beaven, P. A., Schimansky, F.-P., Gerling, R. (1992c), *Scr. Metall. Mater.* 26, 1845–1850.

- Es-Souni, M., Wagner, R., Chen, D., Beaven, P. A., Bartels, A., Seeger, J. (1992d), in: *Advanced Structural Materials*, Vol. 2: Clyne, T. W., Withers, P. J. (Eds.). London: The Institute of Materials, pp. 349–354.
- Eucken, S., Kobus, E., Hornbogen, E. (1991), *Z. Metallkd.* 82, 640–645.
- Evans, A. G., Cannon, R. M. (1986), *Acta Metall.* 34, 761–800.
- Evans, D. J., Court, S. A., Hazzledine, P. M., Fraser, H. L. (1993), *Mater. Res. Soc. Symp. Proc.* 288, 567–572.
- Fang, J., Schulson, E. M. (1992), *Mater. Sci. Eng. A* 152, 138–145.
- Farese, A., Vanderschaeve, G. (1987), *Acta Metall.* 35, 691–699.
- Farkas, D., Pasianot, R., Savino, E. J., Miracle, D. B. (1991), in: *High Temperature Ordered Intermetallic Alloys IV*: Johnson, L. A., Pope, D. P., Stiglitz, J. O. (Eds.). Pittsburgh, PA: MRS, pp. 223–228.
- Feng, C. R., Michel, D. J. (1991), *Scr. Metall. Mater.* 25, 1793–1798.
- Feng, C. R., Michel, D. J. (1993), *Mater. Res. Soc. Symp. Proc.* 288, 1051–1056.
- Feng, C. R., Sadananda, K. (1990), *Scr. Metall. Mater.* 24, 2107–2112.
- Feng, C. R., Michel, D. J., Crowe, C. R. (1990a), *Scr. Metall. Mater.* 24, 1895–1900.
- Feng, C. R., Smith, H. H., Michel, D. J., Crowe, C. R. (1990b), in: *Intermetallic Matrix Composites*: Anton, D. L., Martin, P. L., Miracle, D. B., McMeeking, R. (Eds.). Pittsburgh, PA: MRS, pp. 219–224.
- Field, R. D., Lahrman, D. F., Darolia, R. (1991a), *Acta Metall. Mater.* 39, 2951–2959.
- Field, R. D., Lahrman, D. F., Darolia, R. (1991b), *Acta Metall. Mater.* 39, 2961–2969.
- Field, R. D., Lahrman, D. F., Darolia, R. (1993), *Mater. Res. Soc. Symp. Proc.* 288, 423–428.
- Fiepke, J. W. (1990), in: *Metals Handbook*, Vol. 2, *Properties and Selection: Nonferrous Alloys and Special-Purpose Materials*. Materials Park, OH: ASM, pp. 782–803.
- Fitzenreiter, E. (1952), in: *Pulvermetallurgie* (1. Plansee-Seminar): Benesovsky, F. (Ed.). Reutte, Tirol: Metallwerk Plansee, pp. 244–258.
- Fitzenreiter, E. (1955), in: 4. Plansee-Seminar: Benesovsky, F. (Ed.). Reutte, Tirol: Metallwerk Plansee, pp. 56–79.
- Fitzenreiter, E., Gerasimoff, P. (1959), *Z. Metallkd.* 50, 187–196.
- Fitzenreiter, E., Rubisch, O. (1958), *Interceram.* (7), 39–40.
- Fitzenreiter, E., Schlichting, J. (1983), in: *High Temperature Corrosion*: Rapp, R. A. (Ed.). Houston: National Association of Corrosion Engineers, pp. 604–614.
- Fitzenreiter, E., Nowak, W., Mäurer, H. J. (1978), in: *Materials and Coatings to Resist High Temperature Corrosion*: Holmes, D. R., Rahmel, A. (Eds.). London: Applied Science, pp. 313–331.
- Fleischer, R. L. (1985), *J. Met.* 37 (12), 16–20.
- Fleischer, R. L. (1988), *Scr. Metall.* 22, 743–744.
- Fleischer, R. L. (1989), in: *High-Temperature Ordered Intermetallic Alloys III*: Liu, C. T., Taub, A. I., Stoloff, N. S., Koch, C. C. (Eds.). Pittsburgh, PA: Mater. Res. Soc., pp. 305–310.
- Fleischer, R. L. (1990), in: *Intermetallic Matrix Composites*: Anton, D. L., Martin, P. L., Miracle, D. B., McMeeking, R. (Eds.). Pittsburgh, PA: MRS, pp. 249–256.
- Fleischer, R. L. (1992a), *Platinum Met. Rev.* 36, 138–145.
- Fleischer, R. L. (1992b), *Scr. Metall. Mater.* 27, 799–804.
- Fleischer, R. L. (1993a), *Acta Metall. Mater.* 41, 863–869.
- Fleischer, R. L. (1993b), *Acta Metall. Mater.* 41, 1197–1205.
- Fleischer, R. L. (1993c), *J. Mater. Res.* 8, 49–58.
- Fleischer, R. L. (1993d), *Mater. Res. Soc. Symp. Proc.* 288, 165–170.
- Fleischer, R. L. (1993e), *J. Mater. Res.* 8, 59–67.
- Fleischer, R. L. (1993f), *Metall. Trans.* 24A, 227–230.
- Fleischer, R. L., McKee, D. W. (1993), *Metall. Trans.* 24A, 759–763.
- Fleischer, R. L., Zahala, R. J. (1990a), *Metall. Trans.* 21A, 1851–1857.
- Fleischer, R. L., Zahala, R. J. (1990b), *Metall. Trans.* 21A, 2149–2154.
- Fleischer, R. L., Zahala, R. J. (1990c), *Metall. Trans.* 21A, 2709–2716.
- Fleischer, R. L., Gilmore, R. S., Zahala, R. J. (1988), *J. Appl. Phys.* 64, 2964–2967.
- Fleischer, R. L., Dimiduk, D. M., Lipsitt, H. A. (1989a), *Annu. Rev. Mater. Sci.* 19, 231–263.
- Fleischer, R. L., Gilmore, R. S., Zahala, R. J. (1989b), *Acta Metall.* 37, 2801–2803.
- Fleischer, R. L., Field, R. D., Denike, K. K., Zahala, R. J. (1990), *Metall. Trans.* 21A, 3063–3074.
- Fleischer, R. L., Bryant, C. L., Field, R. D. (1991), in: *High Temperature Ordered Intermetallic Alloys IV*: Johnson, L. A., Pope, D. P., Stiglitz, J. O. (Eds.). Pittsburgh, PA: MRS, pp. 463–474.
- Flinn, B. D., Rühle, M., Evans, A. G. (1989), *Acta Metall.* 37, 3001–3006.
- Flinn, R. A. (1986), in: *Encyclopedia of Materials Science and Engineering*, Vol. 1: Bever, M. B. (Ed.). Oxford: Pergamon, pp. 859–863.
- Foiles, S. M., Daw, M. S. (1987), *J. Mater. Res.* 2, 5–14.
- Forbes, K. R., Nix, W. D. (1993), *Mater. Res. Soc. Symp. Proc.* 288, 749–755.
- Forbes, K. R., Glatzel, U., Darolia, R., Nix, W. D. (1993), *Mater. Res. Soc. Symp. Proc.* 288, 45–57.
- Fortnum, R. T., Mikkola, D. E. (1987), *Mater. Sci. Eng.* 91, 223–231.
- Fox, A. G., Tabbernor, M. A. (1991), *Acta Metall. Mater.* 39, 669–678.

- Franceschi, E. A., Ricaldone, F. (1984), *Rev. Chim. Miner.* 21, 202–230.
- Freeman, A. J., Hong, T., Lin, W., Xu, J.-H. (1991), in: *High Temperature Ordered Intermetallic Alloys IV*: Johnson, L. A., Pope, D. P., Stiegler, J. O. (Eds.). Pittsburgh, PA: MRS, pp. 3–18.
- Freeman, A. J., Xu, J.-H., Hong, T., Win, W. (1992), in: *Ordered Intermetallics – Physical Metallurgy and Mechanical Behaviour*: Liu, C. T., Cahn, R. W., Sauthoff, G. (Eds.). Dordrecht: Kluwer, pp. 1–14.
- Fridberg, J., Törnahl, L.-E., Hillert, M. (1969), *Jernkontorets Ann.* 153, 263–276.
- Froes, F. H., Suryanarayana, C., Eliezer, D. (1991), *ISIJ Int.* 31, 1235–1248.
- Froes, F. H., Suryanarayana, C., Eliezer, D. (1992), *J. Mater. Sci.* 27, 5113–5140.
- Frommeyer, G., Rosenkranz, R., Lüdecke, C. (1990), *Z. Metallkd.* 81, 307–313.
- Frommeyer, G., Wunderlich, W., Kremser, T., Liu, Z. G. (1992), *Mater. Sci. Eng. A* 152, 166–172.
- Frost, H. J., Ashby, M. F. (1982), *Deformation Mechanism Maps*. Oxford: Pergamon, pp. 1–166.
- Fu, C. L. (1991), in: *Proc. Int. Symp. on Intermetallic Compounds – Structure and Mechanical Properties* (JIMIS-6): Izumi, O. (Ed.). Sendai: The Japan Institute of Metals, pp. 387–396.
- Fu, C. L., Yoo, M. H. (1990), *Phil. Mag. Lett.* 62, 159–165.
- Fu, C. L., Yoo, M. H. (1991), in: *High Temperature Ordered Intermetallic Alloys IV*: Johnson, L. A., Pope, D. P., Stiegler, J. O. (Eds.). Pittsburgh, PA: MRS, pp. 667–672.
- Fu, C. L., Yoo, M. H. (1992 a), in: *Ordered Intermetallics – Physical Metallurgy and Mechanical Behaviour*: Liu, C. T., Cahn, R. W., Sauthoff, G. (Eds.). Dordrecht: Kluwer, pp. 155–164.
- Fu, C. L., Yoo, M. H. (1992 b), *Acta Metall. Mater.* 40, 703–711.
- Fu, C. L., Yoo, M. H. (1993), *Intermetallics* 1, 59–63.
- Fu, C. L., Ye, Y.-Y., Yoo, M. H. (1993 a), *Mater. Res. Soc. Symp. Proc.* 288, 21–32.
- Fu, C. L., Ye, Y.-Y., Yoo, M. H. (1993 b), *Phil. Mag. Lett.* 67, 179–185.
- Fuchs, G. E. (1989), in: *High-Temperature Ordered Intermetallic Alloys III*: Liu, C. T., Taub, A. I., Stoloff, N. S., Koch, C. C. (Eds.). Pittsburgh, PA: MRS, pp. 615–620.
- Fuchs, G. E. (1993), *Mater. Res. Soc. Symp. Proc.* 288, 847–852.
- Fuchs, G. E., Stoloff, N. S. (1988), *Acta Metall.* 36, 1381–1387.
- Fuentes-Samaniego, R., Nix, W. D. (1981), *Scr. Metall.* 15, 15–20.
- Fujitsuna, N., Ohyama, H., Miyamoto, Y., Ashida, Y. (1991), *ISIJ Int.* 31, 1147–1153.
- Fujiwara, T., Yasuda, K., Kodama, H. (1991), in: *Proc. Int. Symp. on Intermetallic Compounds – Structure and Mechanical Properties* (JIMIS-6): Izumi, O. (Ed.). Sendai: The Japan Institute of Metals, pp. 633–637.
- Fujiwara, T., Yasuda, K., Kodama, H. (1993), *Mater. Res. Soc. Symp. Proc.* 288, 959–964.
- Furukawa, S., Inoue, A., Masumoto, T. (1988), *Mater. Sci. Eng.* 98, 515–518.
- Furuto, Y. (1984), in: *Niobium*: Stuart, H. (Ed.), Warrendale, PA: The Metallurgical Society of AIME, pp. 445–494.
- Furuya, Y., Sasaki, A., Taya, M. (1993), *Mater. Trans. Jpn. Inst. Met.* 34, 224–227.
- Gao, M., Boedey, J. B., Wei, R. P. (1990), *Scr. Metall. Mater.* 24, 2135–2138.
- Gao, Z. Q., Fultz, B. (1993), *Phil. Mag. B* 67, 787–800.
- Gaspard, C., Diderrick, E., Leroy, V., Huet, J. J., Habraken, L. (1977), *J. Nucl. Mater.* 68, 104–110.
- Geballe, T. H., Hulin, J. K. (1975), *IEEE Trans. Magn. Mag.* 11, 119–124.
- Geballe, T. H., Hulin, J. K. (1986), in: *Encyclopedia of Materials Science and Engineering*: Bever, M. B. (Ed.). Oxford: Pergamon, pp. 4737–4741.
- George, E. P., Liu, C. T., Liao, J. J. (1991 a), in: *Alloy Phase Stability and Design*: Stocks, G. M., Pope, D. P., Giamei, A. F. (Eds.). Pittsburgh, PA: MRS, pp. 375–380.
- George, E. P., Pope, D. P., Fu, C. L., Schneibel, J. H. (1991 b), *ISIJ Int.* 31, 1063–1075.
- George, E. P., Liu, C. T., Pope, D. P. (1992), *Scr. Metall. Mater.* 27, 365–370.
- George, E. P., Liu, C. T., Pope, D. P. (1993 a), in: *Structural Intermetallics*: Darolia, R., Lewandowski, J. J., Liu, C. T., Martin, P. L., Miracle, D. B., Nathal, M. V. (Eds.). Warrendale, PA: TMS, pp. 431–436.
- George, E. P., Liu, C. T., Pope, D. P. (1993 b), *Mater. Res. Soc. Symp. Proc.* 288, 941–945.
- George, E. P., Liu, C. T., Pope, D. P. (1993 c), *Scr. Metall. Mater.* 28, 857–862.
- Georgopoulos, P., Cohen, J. B. (1981), *Acta Metall.* 29, 1535–1551.
- Gibala, R., Chang, H., Czarnik, C. M., Edwards, K. M., Misra, A. (1993), in: *Structural Intermetallics*: Darolia, R., Lewandowski, J. J., Liu, C. T., Martin, P. L., Miracle, D. B., Nathal, M. V. (Eds.). Warrendale, PA: TMS, pp. 561–567.
- Giegenack, H., Schott, H., Schulze, G. E. R., Ulrich, H.-J. (1966), *Phys. Status Solidi* 14, K189–K193.
- Gieseke, B. G., Sikka, V. K. (1992), *Mater. Sci. Eng. A* 153, 520–524.
- Gieseke, B. G., Alexander, D. J., Sikka, V. K., Baldwin, R. H. (1993), *Scr. Metall. Mater.* 29, 129–134.
- Girgis, K. (1983), in: *Physical Metallurgy*: Cahn, R. W., Haasen, P. (Eds.). Amsterdam: North-Holland, pp. 219–269.
- Girifalco, L. A. (1964), *J. Phys. Chem. Solids* 25, 323–328.
- Gladyshevskii, E. I., Bodak, O. I. (1982), *Kristallografiya Intermetallicheskikh Soedineniy Redkozemelnykh Metallov*. L'vov, Ukraina: Vishcha Shkola, pp. 1–251.

- Gladyshevskii, E. I., Bodak, O. I. (1994), in: *Intermetallic Compounds: Principles and Practice*, Vol. 1: Westbrook, J. H., Fleischer, R. L. (Eds.). Chichester, UK: Wiley.
- Gladyshevskii, E. I., Borusevich, L. K. (1966), *Izv. Akad. Nauk SSSR, Metal.* (5), 159–164.
- Glatzel, U., Feller-Kniepmeier, M. (1991), *Scr. Metall. Mater.* 25, 1845–1850.
- Glatzel, U., Forbes, K. R., Nix, W. D. (1993a), *Phil. Mag. A* 67, 307–323.
- Glatzel, U., Forbes, K. R., Nix, W. D. (1993b), *Mater. Res. Soc. Symp. Proc.* 288, 385–390.
- Glazova, V. V. (1965), *Dokl. Akad. Nauk SSSR* 164, 569–570.
- Glowacki, B. A., Everts, J. E. (1988), *J. Mater. Sci.* 23, 1961–1966.
- Gmelin-Institut (1955), in: *Gmelins Handbuch der Anorganischen Chemie*, Vol. 60A, 1: *Kupfer*: Gmelin-Institut (Eds.). Weinheim: Verlag Chemie, pp. 5–6.
- Gödecke, T., Köster, W. (1985), *Z. Metallkd.* 76, 676–683.
- Gödecke, T., Köster, W. (1986), *Z. Metallkd.* 77, 408–411.
- Golberg, D., Shevakin, A. (1991), in: *Proc. Int. Symp. on Intermetallic Compounds – Structure und Mechanical Properties* (JIMIS-6): Izumi, O. (Ed.). Sendai: The Japan Institute of Metals, pp. 251–255.
- Goldman, E. H. (1993), *Mater. Res. Soc. Symp. Proc.* 288, 83–94.
- Goldschmidt, H. J. (1967a), *Interstitial Alloys*. London: Butterworths, pp. 187–195.
- Goldschmidt, H. J. (1967b), *Interstitial Alloys*. London: Butterworths, pp. 296–348.
- Goldschmidt, H. J. (1969), *J. Inst. Met.* 97, 173–179.
- Gonis, A., Sluiter, M., Turchi, P. E. A., Stocks, G. M., Nicholson, D. M. (1991), *J. Less-Common Met.* 168, 127–144.
- Goo, E., Duerig, T., Melton, K., Sinclair, R. (1985), *Acta Metall.* 33, 1725–1733.
- Gordon, D. E., Unni, C. K. (1991), *J. Mater. Sci.* 26, 6183–6189.
- Gottstein, G., Nagpal, P., Kim, W. (1989), *Mater. Sci. Eng. A* 108, 195–201.
- Gottstein, G., Chang, L., Yung, H. F. (1991), *Mater. Sci. Technol.* 7, 158–166.
- Grabke, H. J., Brumm, M. (1989), in: *Oxidation of High-Temperature Intermetallics*: Grobstein, T., Doychak, J. (Eds.). Warrendale, PA: TMS, pp. 245–256.
- Grabke, H. J., Steinhorst, M., Brumm, M., Wiemer, D. (1990), *Werkstoffe Korros.* 41, 689–691.
- Grabke, H. J., Brumm, M., Steinhorst, M. (1991a), *Fresenius Z. Anal. Chem.* 341, 378–382.
- Grabke, H. J., Steinhorst, M., Brumm, M., Wiemer, D. (1991b), *Oxid. Met.* 35, 199–222.
- Grabke, H. J., Brumm, M., Steinhorst, M. (1992), *Mater. Sci. Technol.* 8, 339–344.
- Grala, E. M. (1960), in: *Mechanical Properties of Intermetallic Compounds*: Westbrook, J. H. (Ed.). New York: Wiley, pp. 358–404.
- Greenberg, B. A., Indenbaum, V. N., Smirnov, L. V. (1991), *Acta Metall. Mater.* 39, 243–254.
- Gregory, E. (1984), in: *Niobium*: Stuart, H. (Ed.). Warrendale, PA: The Metallurgical Society of AIME, pp. 503–531.
- Grensing, F. (1989), in: *Oxidation of High-Temperature Intermetallics*: Grobstein, T., Doychak, J. (Eds.). Warrendale, PA: TMS, pp. 279–294.
- Grinthal, R. D. (1956), WADC Technical Report 53-190, 1–57.
- Grinthal, R. D. (1958), WADC Technical Report 53-190, 1–80.
- Grujicic, M., Tangrila, S., Cavin, O. B., Porter, W. D., Hubbard, C. R. (1993), *Mater. Sci. Eng. A* 160, 37–48.
- Grüning, H. W., Leistikow, S., Rahmel, A., Schubert, F. (1983), in: *Aufbau von Oxidschichten auf Hochtemperaturwerkstoffen und ihre technische Bedeutung*: Rahmel, A. (Ed.). Oberursel: DGM, pp. 7–32.
- Gschneidner, K. A., Jr. (1993), *J. Alloys Compd.* 193, 1–6.
- Guan, J., Dieckhues, G. W., Sahm, P. R. (1994), *Intermetallics* 2, 89–94.
- Guard, R. W., Westbrook, J. H. (1959), *Trans. AIME* 215, 807–814.
- Gudmundsson, B., Jacobson, B. E. (1988), *Mater. Sci. Eng.* 100, 207–217.
- Guerler, W., Guerler, M., Anastasiadis, E. (1969), *A Compendium of Constitutional Ternary Diagrams of Metallic Systems* (WADC Technical Report 58-615). Jerusalem: Israel Program for Scientific Translations, pp. 527–548.
- Guha, S., Munroe, P. R., Baker, I. (1989), in: *High-Temperature Ordered Intermetallic Alloys III*: Liu, C. T., Taub, A. I., Stoloff, N. S., Koch, C. C. (Eds.). Pittsburgh, PA: Mater. Res. Soc., pp. 633–638.
- Guha, S., Baker, I., Munroe, P. R., Michael, J. R. (1992), *Mater. Sci. Eng. A* 152, 258–263.
- Guilemany, J. M., Peregrin, F. (1992), *J. Mater. Sci.* 27, 863–868.
- Guillet, L., Le Roux, R. (1967), in: *Intermetallic Compounds*: Westbrook, J. H. (Ed.). New York: Wiley, pp. 453–463.
- Guo, J. T., Jin, O., Yin, W. M., Wang, T. M. (1993), *Scr. Metall. Mater.* 29, 783–785.
- Guo, X.-Q., Podloucky, R., Freeman, A. J. (1991), *J. Mater. Res.* 6, 324–329.
- Gupta, D., Vieregge, K., Rodbell, K. P., Tu, K. N. (1993), in: *Diffusion in Ordered Alloys and Intermetallic Compounds*: Fultz, B., Cahn, R. W., Gupta, D. (Eds.). Warrendale, PA: TMS, pp. 247–259.
- Gupta, K. P., Rajan, N. S., Beck, P. A. (1960), *Trans. AIME* 218, 617–624.
- Györffy, B. L., Barbieri, A., Johnson, D. D., Nicholson, D. M., Pinski, F. J., Shelton, W. A., Stocks, G. M. (1991), in: *Alloy Phase Stability and Design*: Stocks, G. M., Pope, D. P., Giamei, A. F. (Eds.). Pittsburgh, PA: MRS, pp. 3–20.

- Haasen, P. (1983), in: *Physical Metallurgy*: Cahn, R. W., Haasen, P. (Eds.). Amsterdam: North-Holland/Elsevier, pp. 1341–1409.
- Hack, J. E., Brzeski, J. M., Darolia, R. (1992), *Scr. Metall. Mater.* 27, 1259–1263.
- Hack, J. E., Brzeski, J. M., Darolia, R., Field, R. D. (1993), *Mater. Res. Soc. Symp. Proc.* 288, 1197–1202.
- Hackenbracht, D., Kübler, J. (1980), *J. Phys. F 10*, 427–440.
- Haff, G. R., Schulson, E. M. (1982), *Metall. Trans. A 13*, 1563–1569.
- Hafner, J. (1987), *From Hamiltonians to Phase Diagrams*. Heidelberg: Springer, pp. 207–240.
- Hafner, J. (1989), in: *The Structure of Binary Compounds*: de Boer, F. R., Pettifor, D. G. (Eds.). Amsterdam: North-Holland, pp. 147–286.
- Hagel, W. C. (1967), in: *Intermetallic Compounds*: Westbrook, J. H. (Ed.). New York: Wiley, pp. 377–404.
- Hahn, K. H., Vedula, K. (1989), *Scr. Metall.* 23, 7–12.
- Hall, E. L., Livingston, J. D. (1989), in: *Proc. of the 47th Annual Meeting of the Electron Microscopy Society of America*: Bailey, G. W. (Ed.). San Francisco: San Francisco Press, pp. 318–319.
- Hall, E. O., Algie, S. H. (1966), *Metall. Rev.* 11, 61–88.
- Halstead, A., Rawlings, R. D. (1984), *Met. Sci.* 18, 491–500.
- Halstead, A., Rawlings, R. D. (1985), *J. Mater. Sci.* 20, 1248–1256.
- Hanada, S., Watanabe, S., Sato, T., Izumi, O. (1981a), *Trans. JIM* 22, 873–881.
- Hanada, S., Watanabe, S., Sato, T., Izumi, O. (1981b), *Scr. Metall.* 15, 1345–1348.
- Hancock, G. F., McDonnell, B. R. (1971), *Phys. Status Solidi (a)* 4, 143–150.
- Hao, S. M., Takayama, T., Ishida, K., Nishizawa, T. (1984), *Metall. Trans.* 15A, 1819–1828.
- Hao, S. M., Ishida, K., Nishizawa, T. (1985), *Metall. Trans.* 16A, 179–185.
- Hardwick, D. A., Martin, P. L., Patankar, S. N., Lewandowski, J. J. (1993), in: *Structural Intermetallics*: Darolia, R., Lewandowski, J. J., Liu, C. T., Martin, P. L., Miracle, D. B., Nathal, M. V. (Eds.). Warrendale, PA: TMS, pp. 665–674.
- Harmouche, M. R., Wolfenden, A. (1985), *J. Test. Eval.* 13, 424–428.
- Harmouche, M. R., Wolfenden, A. (1986), *Mater. Sci. Eng.* 84, 35–42.
- Harmouche, M. R., Wolfenden, A. (1987), *J. Test. Eval.* 15, 101–104.
- Harris, I. R., McGuiness, P. J. (1991), *J. Less-Common Met.* 172–174, 1273–1284.
- Hasaka, M., Morimura, T., Hisatsune, K., Uchiyama, Y., Kondo, S., Nakashima, H., Furuse, T. (1993a), *Scr. Metall. Mater.* 29, 963–966.
- Hasaka, M., Morimura, T., Kondo, S., Uchiyama, Y., Hisatsune, K. (1993b), *Scr. Metall. Mater.* 29, 967–970.
- Hasegawa, S., Wada, S., Takasugi, T., Izumi, O. (1993a), *Mater. Sci. Technol.* 9, 61–66.
- Hasegawa, S., Wada, S., Takasugi, T., Izumi, O. (1993b), *Mater. Res. Soc. Symp. Proc.* 288, 659–663.
- Hashimoto, K., Kimura, M. (1993), in: *Structural Intermetallics*: Darolia, R., Lewandowski, J. J., Liu, C. T., Martin, P. L., Miracle, D. B., Nathal, M. V. (Eds.). Warrendale, PA: TMS, pp. 309–318.
- Hashimoto, K., Doi, H., Tsujimoto, T. (1986a), *Trans. JIM* 27, 94–101.
- Hashimoto, K., Doi, H., Tsujimoto, T. (1986b), *Trans. JIM* 27, 141–149.
- Hashimoto, K., Nobuki, M., Tsujimoto, T., Suzuki, T. (1991), *ISIJ Int.* 31, 1154–1160.
- Hattori, T., Iwadate, Y., Tatsumoto, H., Mochizuki, T. (1988), *J. Mater. Sci. Lett.* 7, 481–483.
- Haubold, T., Bohn, R., Birringer, R., Gleiter, H. (1992), *Mater. Sci. Eng. A 153*, 679–683.
- Hayashi, N., Mori, K., Nakayama, Y. (1991), *Mater. Trans. Jpn. Inst. Met.* 32, 285–291.
- Hayashi, T., Shinoda, T., Mishima, Y., Suzuki, T. (1991a), in: *High Temperature Ordered Intermetallic Alloys IV*: Johnson, L. A., Pope, D. P., Stiegler, J. O. (Eds.). Pittsburgh, PA: MRS, pp. 617–622.
- Hayashi, T., Takekawa, M., Miura, S., Mishima, Y., Suzuki, T. (1991b), in: *Proc. Int. Symp. on Intermetallic Compounds – Structure and Mechanical Properties (JIMIS-6)*: Izumi, O. (Ed.). Sendai: The Japan Institute of Metals, pp. 421–425.
- Hayes, R. W. (1991), *Acta Metall. Mater.* 39, 569–578.
- Hayes, R. W., London, B. (1992), *Acta Metall. Mater.* 40, 2167–2175.
- Hazzledine, P. M., Pirouz, P. (1993), *Scr. Metall. Mater.* 28, 1277–1282.
- Hazzledine, P. M., Schneibel, J. H. (1989), *Scr. Metall.* 23, 1887–1892.
- Hazzledine, P. M., Kumar, K. S., Miracle, D. B., Jackson, A. G. (1993), *Mater. Res. Soc. Symp. Proc.* 288, 591–596.
- Hebsur, M. G., Stephens, J. R., Smialek, J. L., Barrett, C. A., Fox, D. S. (1989), in: *Oxidation of High-Temperature Intermetallics*: Grobstein, T., Doychak, J. (Eds.). Warrendale, PA: TMS, pp. 171–184.
- Hebsur, M. G., Whittenberger, J. D., Dickerson, R. M., Aikin, B. J. M. (1993), *Mater. Res. Soc. Symp. Proc.* 288, 1111–1116.
- Hecker, A., Gregory, E., Wong, J. (1988), *J. Less-Common Met.* 139, 53–60.
- Hellwig, A. (1990), Dr. Ing. Thesis, Universität Dortmund, pp. 1–179.
- Hellwig, A., Inden, G., Palm, M. (1992), *Scr. Metall. Mater.* 27, 143–148.
- Hemker, K. J., Nix, W. D. (1993), *Metall. Trans.* 24A, 335–341.
- Hemker, K. J., Mills, M. J., Nix, W. D. (1991), *Acta Metall. Mater.* 39, 1901–1913.

- Henager, C. H., Jr., Brimhall, J. L., Vetrano, J. S., Hirsh, J. P. (1992a), *Mater. Res. Soc. Symp. Proc.* 273, 281–288.
- Henager, C. H., Jr., Jacobson, R. E., Bruemmer, S. M. (1992b), *Mater. Sci. Eng. A* 153, 416–421.
- Heredia, F. E., Valencia, J. J. (1992), *Mater. Res. Soc. Symp. Proc.* 273, 197–205.
- Heredia, F. E., He, M. Y., Lucas, G. E., Evans, A. G., Dève, H. E., Konitzer, D. (1993), *Acta Metall. Mater.* 41, 505–511.
- Herget, C., Domazet, H.-G. (1975), *Goldschmidt informiert* 35, 3–33.
- Herring, C. (1950), *J. Appl. Phys.* 21, 437–445.
- Hesse, J. (1969a), *Z. Angew. Phys.* 28, 133–137.
- Hesse, J. (1969b), *Z. Metallkd.* 60, 652–659.
- Heusler, O. (1989), *Z. Metallkd.* 80, 908.
- Hildebrandt, U. W., Wahl, G., Nicoll, A. R. (1978), in: *Materials and Coatings to Resist High Temperature Corrosion*: Holmes, D. R., Rahmel, A. (Eds.), London: Applied Science, pp. 213–231.
- Hilfrich, K., Köller, W., Petry, W., Schärf, O., Nembach, E. (1990), *Scr. Metall. Mater.* 24, 39–44.
- Hilfrich, K., Ebel, T., Petry, W., Schärf, O., Nembach, E. (1991), *Scr. Metall. Mater.* 25, 1857–1862.
- Hillman, H., Pfister, H., Springer, E., Wilhelm, M., Wohleben, K. (1980), in: *Filamentary A15 Superconductors*: Sucnaga, M., Clark, A. F. (Eds.), New York: Plenum, pp. 17–23.
- Hilpert, K., Kobertz, D., Venugopal, V., Miller, M., Gerads, H., Bremer, F. J., Nickel, H. (1987), *Z. Naturforsch.* 42a, 1327–1332.
- Himsel, A., Blau, W., Merz, G., Niederlag, G., Querin, U., Weisbach, J., Kleinstück, K. (1980), *Phys. Status Solidi (b)* 100, 179–185.
- Hindam, H., Whittle, D. P. (1982), *Oxid. Met.* 18, 245–284.
- Hippsey, C. A., Strangwood, M. (1992), *Mater. Sci. Technol.* 8, 350–358.
- Hippsey, C. A., Strangwood, M., DeVan, J. H. (1990), *Acta Metall. Mater.* 38, 2393–2410.
- Hirano, T., Mawari, T. (1993), *Acta Metall. Mater.* 41, 1783–1789.
- Hirsch, P. B. (1985), *Mater. Sci. Technol.* 1, 666–677.
- Hirsch, P. B. (1993), *Mater. Res. Soc. Symp. Proc.* 288, 33–43.
- Ho, C. T., Sekhar, J. A. (1991), in: *High Temperature Ordered Intermetallic Alloys IV*: Johnson, L. A., Pope, D. P., Stiegler, J. O. (Eds.), Pittsburgh, PA: MRS, pp. 1057–1062.
- Ho, K., Dodd, R. A. (1978), *Scr. Metall.* 12, 1055–1058.
- Hoch, M., Lin, R. Y. (1993), in: *Ternary Alloys*, Vol. 8: Petzow, G., Effenberg, G. (Eds.), Weinheim: VCH, pp. 79–88.
- Hocking, L. A., Strutt, P. R., Dodd, R. A. (1971), *J. Inst. Met.* 99, 98–101.
- Hodgson, D. E. (1990), in: *Metals Handbook*, Vol. 2, *Properties and Selection: Nonferrous Alloys and Special-Purpose Materials*. Materials Park, OH: ASM, pp. 897–902.
- Hondros, E. D. (1978), in: *Precipitation Processes in Solids*: Russell, K. C., Aaronson, H. I. (Eds.), Warrendale, PA: TMS, pp. 1–30.
- Honeycombe, R. W. K. (1968), *The Plastic Deformation of Metals*. New York: St. Martin's Press, pp. 1–467.
- Hong, S. H., Weertman, J. (1986), *Acta Metall.* 34, 743–751.
- Hong, T., Freeman, A. J. (1989), in: *High-Temperature Ordered Intermetallic Alloys III*: Liu, C. T., Taub, A. I., Stoloff, N. S., Koch, C. C. (Eds.), Pittsburgh, PA: MRS, pp. 75–80.
- Hong, Y. M., Nakajima, H., Mishima, Y., Suzuki, T. (1989), *ISIJ Int.* 29, 78–84.
- Hono, K., Chiba, A., Sakurai, T., Hanada, S. (1992), *Acta Metall. Mater.* 40, 419–425.
- Hopfe, W. D., Son, Y.-H., Morral, J. E., Romig, A. D. Jr. (1993), in: *Diffusion in Ordered Alloys and Intermetallic Compounds*: Fultz, B., Cahn, R. W., Gupta, D. (Eds.), Warrendale, PA: pp. 69–76.
- Hornbogen, E. (1991), in: *Advanced Structural and Functional Materials*: Bunk, W. G. J. (Ed.), Berlin: Springer, pp. 133–163.
- Hornbogen, E., Kobus, E. (1992), *Z. Metallkd.* 83, 105.
- Horton, J. A., Liu, C. T. (1990), *Scr. Metall. Mater.* 24, 1251–1256.
- Horton, J. A., Liu, C. T., Koch, C. C. (1984), in: *High-Temperature Alloys: Theory and Design*: Stiegler, J. O. (Ed.), Warrendale, PA: TMS/AIME, pp. 309–321.
- Hoshino, K., Rothmann, S. J., Averback, R. S. (1988), *Acta Metall.* 36, 1271–1279.
- Hosoda, H., Mishima, Y., Suzuki, T. (1991), in: *Proc. Int. Symp. on Intermetallic Compounds – Structure and Mechanical Properties (JIMIS-6)*: Izumi, O. (Ed.), Sendai: The Japan Institute of Metals, pp. 81–85.
- Hosoda, H., Takahashi, M., Suzuki, T., Mishima, Y. (1993), *Mater. Res. Soc. Symp. Proc.* 288, 793–798.
- Hove, J. E., Riley, W. C. (1967), in: *Modern Ceramics: Some Principles and Concepts*: Hove, J. E., Riley, W. C. (Eds.), New York: Wiley, pp. 327–399.
- Hsiung, L. M., Wadley, H. N. G. (1992), *Scr. Metall. Mater.* 27, 605–610.
- Huang, J. S., Kim, Y.-W. (1991), *Scr. Metall. Mater.* 25, 1901–1906.
- Huang, P., Ceder, G., Menon, E. S. K., De Fontaine, D. (1991), *Scr. Metall. Mater.* 25, 1495–1500.
- Huang, S.-C. (1993), in: *Structural Intermetallics*: Darolia, R., Lewandowski, J. J., Liu, C. T., Martin, P. L., Miracle, D. B., Nathal, M. V. (Eds.), Warrendale, PA: TMS, pp. 299–307.
- Huang, S. C., Hall, E. L. (1991a), *Scr. Metall. Mater.* 25, 1805–1809.
- Huang, S. C., Hall, E. L. (1991b), *Metall. Trans.* 22A, 427–439.
- Huang, S. C., Siemers, P. A. (1989), *Metall. Trans.* 20A, 1899–1906.

- Huang, S. C., Hall, E. L., Shih, D. S. (1991 a), *ISIJ Int.* 31, 1100–1106.
- Huang, S. C., McKee, D. W., Shih, D. S., Chesnutt, J. C. (1991 b), in: *Proc. Int. Symp. on Intermetallic Compounds – Structure and Mechanical Properties* (JIMIS-6); Izumi, O. (Ed.). Sendai: The Japan Institute of Metals, pp. 363–370.
- Huetter, L. J., Stadelmaier, H. H. (1958), *Acta Metall.* 6, 367–370.
- Hultgren, R. (1963), *Selected Values of Thermodynamic Properties of Metals and Alloys*. New York: Wiley, pp. 1–963.
- Hwang, C. M., Wayman, C. M. (1983), *Scr. Metall.* 17, 1345–1350.
- Hwang, C. M., Meichle, M., Salamon, M. B., Wayman, C. M. (1983), *Phil. Mag. A* 47, 31–62.
- Ichinose, S., Funatsu, Y., Otani, N., Ichikawa, T., Miyazaki, S., Otsuka, K. (1991), in: *Proc. Int. Symp. on Intermetallic Compounds – Structure and Mechanical Properties* (JIMIS-6); Izumi, O. (Ed.). Sendai: The Japan Institute of Metals, pp. 263–267.
- Igarashi, M., Senba, H. (1993), in: *Structural Intermetallics*: Darolia, R., Lewandowski, J. J., Liu, C. T., Martin, P. L., Miracle, D. B., Nathal, M. V. (Eds.), Warrendale, PA: TMS, pp. 533–542.
- Ikeda, K., Saito, S., Hanada, S. (1992), *Sci. Rep. Tohoku Univ.* 37 (1), 26–34.
- Imai, Y., Kumazawa, M. (1959), *Sci. Rep. Tohoku Univ.* 11, 312–316.
- Imayev, R., Imayev, V., Salishchev, G. (1993a), *Scr. Metall. Mater.* 29, 713–718.
- Imayev, R., Imayev, V., Salishchev, G. (1993b), *Scr. Metall. Mater.* 29, 719–724.
- Inco (1982), Inconel Alloy MA 6000, Inco Pamphlet.
- Inden, G. (1993), unpublished report, Max-Planck-Institut für Eisenforschung, Düsseldorf, FRG.
- Inden, G., Pepperhoff, W. (1990), *Z. Metallkd.* 81, 770–773.
- Inoue, H., Inakazu, N. (1991), in: *Proc. Int. Symp. on Intermetallic Compounds – Structure and Mechanical Properties* (JIMIS-6); Izumi, O. (Ed.). Sendai: The Japan Institute of Metals, pp. 785–789.
- Inoue, H. R. P., Hsiung, L.-M., Kato, M., Pope, D. P. (1991a), *Phys. Status Solidi (a)* 123, 399–414.
- Inoue, H. R. P., Kitamura, M., Wayman, C. M., Chen, H. (1991b), *Phil. Mag. A* 63, 345–353.
- Imui, H., Oh, M. H., Nakamura, A., Yamaguchi, M. (1992), *Acta Metall. Mater.* 40, 3095–3104.
- Inui, H., Toda, Y., Yamaguchi, M. (1993), *Phil. Mag. A* 67, 1315–1332.
- Ishida, K., Kainuma, R., Ueno, N., Nishizawa, T. (1991a), *Metall. Trans. 22A*, 441–446.
- Ishida, K., Nishizawa, T., Schlesinger, M. E. (1991b), *J. Phase Equilibria* 12, 578–586.
- Ishida, K., Kainuma, R., Nishizawa, T. (1993), *Bull. Jpn. Inst. Met.* 32, 143–150.
- Ito, K., Inui, H., Hirano, T., Yamaguchi, M. (1992), *Mater. Sci. Eng. A* 152, 153–159.
- Ito, Y., Shirai, Y., Yamada, Y., Yamaguchi, M. (1993), *Mater. Res. Soc. Symp. Proc.* 288, 275–280.
- Ivey, D. G., Northwood, D. O. (1986a), *J. Less-Common Met.* 115, 295–306.
- Ivey, D. G., Northwood, D. O. (1986b), *Z. Phys. Chem. N. F.* 147, 191–209.
- Izumi, O. (1989), *Mater. Trans. Jpn. Inst. Met.* 30, 627–638.
- Jackson, A. G. (1993), *Scr. Metall. Mater.* 28, 673–675.
- Jackson, A. G., Lee, D. S. (1992), *Scr. Metall. Mater.* 26, 1575–1579.
- Jacobi, H., Engell, H.-J. (1971a), *Z. Phys. Chem. N. F.* 74, 190–205.
- Jacobi, H., Engell, H.-J. (1971b), *Acta Metall.* 19, 701–711.
- Jayaram, R., Miller, M. K. (1993), *Mater. Res. Soc. Symp. Proc.* 288, 355–360.
- Jayashankar, S., Kaufman, M. J. (1992), *Scr. Metall. Mater.* 26, 1245–1250.
- Jeitschko, W. (1970), *Metall. Trans. I*, 2963–2965.
- Jeitschko, W. (1977), *Acta Crystallogr. B* 33, 2414–2417.
- Jeitschko, W., Jordan, A. G., Beck, P. A. (1969), *Trans. AIME* 245, 335–339.
- Jellinghaus, W. (1936), *Z. Techn. Phys.* 17, 33–36.
- Jellinghaus, W. (1943), *Arch. Eisenhüttenwes.* 16, 247–252.
- Jellinghaus, W. (1961), *Arch. Eisenhüttenwes.* 32, 187–197.
- Jellinghaus, W. (1967), *Arch. Eisenhüttenwes.* 38, 393–400.
- Jena, A. K., Sahay, S. S., Mathur, R. P. (1993), in: *Structural Intermetallics*: Darolia, R., Lewandowski, J. J., Liu, C. T., Martin, P. L., Miracle, D. B., Nathal, M. V. (Eds.), Warrendale, PA: TMS, pp. 425–430.
- Jeng, Y.-L., Lavernia, E. J., Wolfenstein, J., Bailey, D. E., Sickinger, A. (1993), *Scr. Metall. Mater.* 29, 107–111.
- Jha, S. C., Forster, J. A., Pandey, A. K., Delagi, R. G. (1991a), *ISIJ Int.* 31, 1267–1271.
- Jha, S. C., Forster, J. A., Pandey, A. K., Delagi, R. G. (1991b), *Adv. Mater. Processes* 4/91, 87–90.
- Jia, C. L., Jiang, J., Zong, X. F. (1989), *Phil. Mag. A* 59, 999–1012.
- Jin, Z., Bieker, T. R. (1993), *Mater. Res. Soc. Symp. Proc.* 288, 775–780.
- Johnson, D. R., Joslin, S. M., Oliver, B. F., Noebe, R. D., Whittenberger, J. D. (1992), *Mater. Res. Soc. Symp. Proc.* 273, 87–92.
- Johnson, D. R., Joslin, S. M., Reviere, R. D., Oliver, B. F., Noebe, R. D. (1993), in: *Processing and Fabrication of Advanced Materials for High Temperature Applications – II*; Ravi, V. A., Srivatsan, T. S. (Eds.), Warrendale, PA: TMS, pp. 77–90.
- Johnson, T. P., Young, J. M., Ward, R. M., Jacobs, M. H. (1993), in: *Structural Intermetallics*: Darolia, R., Lewandowski, J. J., Liu, C. T., Martin, P. L.,

- Miracle, D. B., Nathal, M. V. (Eds.). Warrendale, PA: TMS, pp. 159–165.
- Jones, D. G. R., Abell, J. S., Harris, I. R. (1991), *J. Less-Common Met.* 172–174, 1285–1296.
- Jones, S. A., Kaufman, M. J. (1993), *Acta Metall. Mater.* 41, 387–398.
- Jorda, J. L., Flükiger, R., Müller, J. (1980), *J. Less. Common Met.* 75, 227–230.
- Jordan, K. R., Stoloff, N. S. (1969), *Trans. AIME* 245, 2027–2034.
- Josephy, Y., Bershadsky, E., Ron, M. (1991), *J. Less-Common Met.* 172–174, 997–1008.
- Jung, I. (1986), Dr. rer. nat. Thesis, RWTH Aachen, pp. 1–120.
- Jung, I., Sauthoff, G. (1987), in: *Creep and Fracture of Engineering Materials and Structures*: Wilshire, B., Evans, R. W. (Eds.). London: Institute of Metals, pp. 257–270.
- Jung, I., Sauthoff, G. (1989a), *Z. Metallkd.* 80, 484–489.
- Jung, I., Sauthoff, G. (1989b), *Z. Metallkd.* 80, 490–496.
- Jung, I., Rudy, M., Sauthoff, G. (1987), in: *High-Temperature Ordered Intermetallic Alloys II*: Stoloff, N. S., Koch, C. C., Liu, C. T., Izumi, O. (Eds.). Pittsburgh, PA: Materials Research Society, pp. 263–274.
- Kahveci, A. I., Welsch, G. E. (1986), *Scr. Metall.* 20, 1287–1290.
- Kainuma, R., Ishida, K., Nishizawa, T. (1992a), private communication (unpublished report).
- Kainuma, R., Ishida, K., Nishizawa, T. (1992b), *Metall. Trans.* 23 A, 1147–1153.
- Kainuma, R., Nakano, H., Oikawa, K., Ishida, K., Nishizawa, T. (1992c), in: *Shape-Memory Materials and Phenomena – Fundamental Aspects and Applications*: Liu, C. T., Wuttig, M., Otsuka, K., Kuusmann, H. (Eds.). Pittsburgh, PA: MRS, pp. 403–408.
- Kainuma, R., Palm, M., Inden, G. (1994), *Intermetallics*, in press.
- Kamata, K., Degawa, T., Nagashima, Y. (1992a), in: *Basic Technologies for Future Industries: The 3rd Symposium on High-Performance Materials for Severe Environments*: RIMCOF (Ed.). Tokyo: Japan Industrial Technology Association (JITA), pp. 151–158.
- Kamata, K., Suzuki, Y., Moriai, H., Inoue, K., Itoh, K., Takeuchi, T., Tachikawa, K., Watanabe, K., Muto, Y., Katagiri, K., Noto, K., Okada, T. (1992b), *Sci. Rep. Tohoku Univ.* 37, 1, 99–107.
- Kamata, K., Degawa, T., Nagashima, Y. (1993), in: *Structural Intermetallics*: Darolia, R., Lewandowski, J. J., Liu, C. T., Martin, P. L., Miracle, D. B., Nathal, M. V. (Eds.). Warrendale, PA: TMS, pp. 675–680.
- Kampe, S. L., Bryant, J. D., Christodoulou, L. (1991), *Metall. Trans.* 22 A, 447–454.
- Kao, C. R., Chang, Y. A. (1993), *Intermetallics* 1, 237–250.
- Kao, H. P., Brooks, C. R., Sanganeria, M. (1989), in: *High-Temperature Ordered Intermetallic Alloys III*: Liu, C. T., Taub, A. I., Stoloff, N. S., Koch, C. C. (Eds.). Pittsburgh, PA: Mater. Res. Soc., pp. 749–754.
- Karsten, K. (1839), *Pogg. Annalen* 46, 160–166.
- Kasahara, K., Hashimoto, K., Doi, H., Tsujimoto, T. (1987), *J. Jpn. Inst. Met.* 51, 278–284.
- Kassem, M. A., Koch, C. C. (1991), in: *High Temperature Ordered Intermetallic Alloys IV*: Johnson, L. A., Pope, D. P., Stiegler, J. O. (Eds.). Pittsburgh, PA: MRS, pp. 801–806.
- Kasul, D. B., Heldt, L. A. (1991), *Scr. Metall. Mater.* 25, 1047–1052.
- Kattner, U. R., Boettinger, W. J. (1992), *Mater. Sci. Eng. A* 152, 9–17.
- Kattner, U. R., Lin, J.-C., Chang, Y. A. (1992), *Metall. Trans.* 23 A, 2081–2090.
- Kawabata, T., Takasugi, T. (1991), in: *Proc. Int. Symp. on Intermetallic Compounds – Structure and Mechanical Properties* (JIMIS-6): Izumi, O. (Ed.). Senai: The Japan Institute of Metals, pp. 679–683.
- Kawabata, T., Kanai, T., Izumi, O. (1985), *Acta Metall.* 33, 1355–1366.
- Kawabata, T., Kanai, T., Izumi, O. (1991a), *Phil. Mag.* A63, 1291–1298.
- Kawabata, T., Tadano, M., Izumi, O. (1991b), *ISIJ Int.* 31, 1161–1167.
- Kawabata, T., Abumiya, T., Izumi, O. (1992), *Acta Metall. Mater.* 40, 2557–2567.
- Kawabata, T., Tamura, T., Izumi, O. (1993), *Metall. Trans.* 24 A, 141–150.
- Kawahara, K. (1983a), *J. Mater. Sci.* 18, 1709–1718.
- Kawahara, K. (1983b), *J. Mater. Sci.* 18, 2047–2055.
- Kawahara, K. (1983c), *J. Mater. Sci.* 18, 3437–3448.
- Kawazoe, H., Takasugi, T., Izumi, O. (1989), *Acta Metal.* 37, 2895–2904.
- Kayser, F. X., Stassis, C. (1969), *Phys. Status Solidi (a)* 64, 335–342.
- Khachaturyan, A. G., Shapiro, S. M., Semenovskaya, S. (1992), *Mater. Trans. Jpn. Inst. Met.* 33, 278–281.
- Khadikar, P. S., Vedula, K. (1987), *J. Mater. Res.* 2, 163–167.
- Khadikar, P. S., Vedula, K., Shabel, B. S. (1987), in: *High Temperature Ordered Intermetallic Alloys II*: Izumi, O., Koch, C. C., Liu, C. T., Stoloff, N. S. (Eds.). Pittsburgh, PA: MRS, pp. 157–164.
- Khadikar, P. S., Locci, I. E., Vedula, K., Michal, G. M. (1993), *Metall. Trans.* 24 A, 83–94.
- Khan, T., Naka, S., Veyssiére, P., Costa, P. (1990), in: *High Temperature Materials for Power Engineering 1990*, II. Dordrecht: Kluwer, pp. 1533–1558.
- Khantha, M., Vitek, V., Popo, D. P. (1989), in: *High-Temperature Ordered Intermetallic Alloys III*: Liu, C. T., Taub, A. I., Stoloff, N. S., Koch, C. C. (Eds.). Pittsburgh, PA: MRS, pp. 99–104.
- Khantha, M., Popo, D. P., Vitek, V. (1990), *Phil. Mag. A62*, 329–346.

- Khantha, M., Vitek, V., Pope, D. P. (1991), in: *High Temperature Ordered Intermetallic Alloys IV*: Johnson, L. A., Pope, D. P., Stiegler, J. O. (Eds.). Pittsburgh, PA: MRS, pp. 229–234.
- Khantha, M., Vitek, V., Pope, D. P. (1992), *Mater. Sci. Eng. A* 152, 89–94.
- Khantha, M., Cseri, J., Vitek, V. (1993a), *Mater. Res. Soc. Symp. Proc.* 288, 417–422.
- Khantha, M., Cseri, J., Vitek, V. (1993b), in: *Structural Intermetallics*: Darolia, R., Lewandowski, J. J., Liu, C. T., Martin, P. L., Miracle, D. B., Nathal, M. V. (Eds.). Warrendale, PA: TMS, pp. 399–408.
- Khobab, M., Vahldiek, F. W. (1988), in: *2nd Int. SAMPE Metal and Metals Processing Conf.*, Vol. 2: *Space Age Metals Technology*: Froes, F. H., Cull, R. A. (Eds.). Covina, CA: SAMPE, pp. 262–270.
- Kieffer, R., Benesovsky, F. (1956), in: *Symp. on Powder Metallurgy 1954* (Special Report No. 58): London: The Iron and Steel Institute, pp. 292–301.
- Kikuchi, A. (1983), *J. Appl. Phys.* 54, 3998–4002.
- Kilner, J. A., Harris, I. R. (1981), *J. Mater. Sci.* 16, 3393–3404.
- Kim, D., Clapp, P. C., Rifkin, J. A. (1991), in: *High Temperature Ordered Intermetallic Alloys IV*: Johnson, L. A., Pope, D. P., Stiegler, J. O. (Eds.). Pittsburgh, PA: MRS, pp. 249–254.
- Kim, D., Clapp, P. C., Rifkin, J. A. (1993), *Mater. Res. Soc. Symp. Proc.* 288, 507–512.
- Kim, J. T., Gibala, R. (1991), in: *High Temperature Ordered Intermetallic Alloys IV*: Johnson, L. A., Pope, D. P., Stiegler, J. O. (Eds.). Pittsburgh, PA: MRS, pp. 261–266.
- Kim, J. T., Noebe, R. D., Gibala, R. (1991), in: *Proc. Int. Symp. on Intermetallic Compounds – Structure and Mechanical Properties* (JIMIS-6): Izumi, O. (Ed.). Sendai: The Japan Institute of Metals, pp. 591–595.
- Kim, S. M. (1992), *Acta Metall. Mater.* 40, 2793–2798.
- Kim, Y. D., Wayman, C. M. (1990), *Scr. Metall. Mater.* 24, 245–250.
- Kim, Y. D., Wayman, C. M. (1992), *Metall. Trans. 23A*, 2981–2986.
- Kim, Y.-G., Lee, J.-Y. (1993a), *Scr. Metall. Mater.* 29, 539–542.
- Kim, Y.-G., Lee, J.-Y. (1993b), *J. Alloys Compd.* 191, 243–249.
- Kim, Y. S., Johnson, M. R., Abbaschian, R., Kaufman, M. J. (1991), in: *High Temperature Ordered Intermetallic Alloys IV*: Johnson, L. A., Pope, D. P., Stiegler, J. O. (Eds.). Pittsburgh, PA: MRS, pp. 839–845.
- Kim, Y.-W. (1989), *J. Met.* 41 (7), 24–30.
- Kim, Y.-W. (1992), *Acta Metall. Mater.* 40, 1121–1134.
- Kim, Y.-W., Dimiduk, D. M. (1991), *J. Met.* 43 (8), 40–47.
- Kim, Y.-W., Dimiduk, D. M. (1993), *Mater. Res. Soc. Symp. Proc.* 288, 671–677.
- Kim, Y.-W., Froes, F. H. (1990), in: *High-Temperature Aluminides and Intermetallics*: Whang, S. H., Liu, C. T., Pope, D. P., Stiegler, J. O. (Eds.). Warrendale, PA: TMS, pp. 465–492.
- Kimura, K., Nakamura, M., Hirano, T. (1990), *J. Mater. Sci.* 25, 2487–2492.
- Kimura, Y., Suzuki, T., Mishima, Y. (1993), *Mater. Res. Soc. Symp. Proc.* 288, 697–702.
- Kitano, K., Pollock, T. M. (1993), in: *Structural Intermetallics*: Darolia, R., Lewandowski, J. J., Liu, C. T., Martin, P. L., Miracle, D. B., Nathal, M. V. (Eds.). Warrendale, PA: TMS, pp. 591–599.
- Klein, O., Baker, I. (1992), *Scr. Metall. Mater.* 27, 1823–1828.
- Klein, O., Nagpal, P., Baker, I. (1993), *Mater. Res. Soc. Symp. Proc.* 288, 935–940.
- Klöwer, J. (1989), Dr. Ing. Thesis, RWTH Aachen, pp. 1–112.
- Klöwer, J., Sauthoff, G. (1991), *Z. Metallkd.* 82, 510–518.
- Klöwer, J., Sauthoff, G. (1992), *Z. Metallkd.* 83, 699–704.
- Koch, J. M., Koenig, C. (1986), *Phil. Mag. B* 54, 177–197.
- Kocks, U. F. (1958), *Acta Metall.* 6, 85–94.
- Kocks, U. F. (1970), *Metall. Trans. 1*, 1121–1143.
- Kocks, U. F., Canova, G. R. (1981), in: *Deformation of Polycrystals: Mechanisms and Microstructures*: Hansen, N., Horstemwell, A., Leffers, T., Lilholt, H. (Eds.). Roskilde: Riso National Laboratory, pp. 35–44.
- Kodentzov, A. A., Dunaev, S. F., Slusarenko, E. M. (1988), *J. Less-Common Met.* 141, 225–234.
- Koeppen, C., Bartels, A., Seeger, J., Mecking, H. (1993), *Metall. Trans. A* 24, 1795–1806.
- Kogachi, M., Minamigawa, S., Nakabigashi, K. (1992), *Acta Metall. Mater.* 40, 1113–1120.
- Kohno, O., Saito, T., Sadakata, N., Sugimoto, M., Goto, K., Watanabe, K. (1992), *Sci. Rep. Tohoku Univ.* 37 (1), 84–91.
- Koiwa, M. (1992), in: *Ordered Intermetallics – Physical Metallurgy and Mechanical Properties*: Liu, C. T., Cahn, R. W., Sauthoff, G. (Eds.). Dordrecht: Kluwer, pp. 449–464.
- Kojima, T., Sakata, M., Nishida, I. (1990), *J. Less-Common Met.* 162, 39–49.
- Kondratyev, V. V., Pushin, V. G. (1985), *Phys. Met. Metall.* 60 (4), 1–21.
- Kong, C. H., Munroe, P. R. (1993), *Scr. Metall. Mater.* 28, 1241–1244.
- Konoplev, A. M., Sarrik, V. I. (1982), *Phys. Met. Metall.* 54 (3), 142–148.
- Korinko, P. S., Duquette, D. J. (1990), in: *Intermetallic Matrix Composites*: Anton, D. L., Martin, P. L., Miracle, D. B., McMeeking, R. (Eds.). Pittsburgh, PA: MRS, pp. 423–428.
- Korinko, P. S., Duquette, D. J. (1994), *Scr. Metall. Mater.* 30, 287–290.
- Korinko, P. S., Alman, D. E., Stoloff, N. S., Duquette, D. J. (1992), *Mater. Res. Soc. Symp. Proc.* 273, 183–190.

- Korner, A. (1991), *Phil. Mag. Lett.* **63**, 117–122.
- Korilo, I. I. (1960), in: *Mechanical Properties of Intermetallic Compounds*: Westbrook, J. H. (Ed.), New York: Wiley, pp. 344–357.
- Korilo, I. I. (1967), in: *Intermetallic Compounds*: Westbrook, J. H. (Ed.), New York: Wiley, pp. 349–374.
- Koss, D. A., Banerjee, D., Lukasak, D. A., Gogia, A. K. (1990), in: *High Temperature Aluminides and Intermetallics*: Whang, S. H., Liu, C. T., Pope, D. P., Stiegler, J. O. (Eds.). Warrendale, PA: TMS, pp. 175–196.
- Köster, W., Gödecke, T. (1980), *Z. Metallkd.* **71**, 765–769.
- Kostrubanic, J. M., Koss, D. A., Locci, I. E., Nathal, M. V. (1991), in: *High Temperature Ordered Intermetallic Alloys IV*: Johnson, L. A., Pope, D. P., Stiegler, J. O. (Eds.). Pittsburgh, PA: MRS, pp. 679–684.
- Kostrubanic, J. M., Breedis, J. B., Koss, D. A., Locci, I., Poole, J. M. (1993), in: *Structural Intermetallics*: Darolia, R., Lewandowski, J. J., Liu, C. T., Martin, P. L., Miracle, D. B., Nathal, M. V. (Eds.). Warrendale, PA: TMS, pp. 543–549.
- Kötter, G., Nembach, K., Wallow, F., Nembach, E. (1989), *Mater. Sci. Eng. A* **114**, 29–35.
- Kouvel, J. S. (1967), in: *Intermetallic Compounds*: Westbrook, J. H. (Ed.), New York: Wiley, pp. 529–568.
- Kowalski, W., Frommeyer, G. (1992), unpublished report, Max-Planck-Institut für Eisenforschung, Düsseldorf, FRG.
- Kozubski, R. (1993), *Acta Metall. Mater.* **41**, 2565–2575.
- Krämer, U. (1983), *Phil. Mag. A* **47**, 721–740.
- Krämer, U., Schulze, G. E. R. (1968), *Krist. Tech.* **3**, 417–430.
- Krasovec, M., Jedlinski, J., Borchardt, G. (1992), in: *Advanced Structural Materials*, Vol. 2: Clyne, T. W., Withers, P. J. (Eds.). London: The Institute of Materials, pp. 401–404.
- Kratochvíl, P. (1990), *Z. Metallkd.* **81**, 884–886.
- Kratochvíl, P., Bičgel, W., Sprusil, B., Chalupa, B. (1992), *Phys. Status Solidi (a)*, **131**, 321–332.
- Krishnan, R. V., Delaey, L., Tas, H., Warlimont, H. (1974), *J. Mater. Sci.* **9**, 1536–1544.
- Kritzinger, S., Tu, K. N. (1981), *J. Appl. Phys.* **52**, 305–310.
- Kroll, S., Mehrer, H., Stolwijk, N., Herzig, C., Rosenkranz, R., Frommeyer, G. (1992), *Z. Metallkd.* **83**, 591–595.
- Kubaschewski, O. (1982), *Iron – Binary Phase Diagrams*. Berlin: Springer, pp. 1–185.
- Kubin, L. P., Fourdeux, A., Guédon, J. Y., Rieu, J. (1982), *Phil. Mag. A* **46**, 357–378.
- Kuczera, H., Krammer, P., Sacher, P. (1991), Paper IAF-91-198 at the 42nd Cong. Int. Aeronautical Federation in Montreal.
- Kudielka, H., Nowotny, H. (1956), *Monatsh. Chem.* **87**, 471–482.
- Kumagai, T., Hanada, S., Saito, S. (1991), in: *Proc. Int. Symp. on Intermetallic Compounds – Structure and Mechanical Properties (JIMIS-6)*: Izumi, O. (Ed.). Sendai: The Japan Institute of Metals, pp. 1039–1044.
- Kumar, K. S. (1990), *Int. Mater. Rev.* **35**, 293–327.
- Kumar, K. S. (1991), *ISIJ Int.* **31**, 1249–1259.
- Kumar, K. S. (1993), in: *Structural Intermetallics*: Darolia, R., Lewandowski, J. J., Liu, C. T., Martin, P. L., Miracle, D. B., Nathal, M. V. (Eds.). Warrendale, PA: TMS, pp. 87–96.
- Kumar, K. S. (1994), in: *Intermetallic Compounds: Principles and Practice*, Vol. 2: Westbrook, J. H., Fleischer, R. L. (Eds.). Chichester, UK: Wiley, in press.
- Kumar, K. S., Brown, S. A. (1992a), *Acta Metall. Mater.* **40**, 1923–1932.
- Kumar, K. S., Brown, S. A. (1992b), *Scr. Metall. Mater.* **26**, 197–202.
- Kumar, K. S., Brown, S. A. (1992c), *Phil. Mag. A* **65**, 91–109.
- Kumar, K. S., Brown, S. A. (1993), *Mater. Res. Soc. Symp. Proc.* **288**, 781–786.
- Kumar, K. S., Liu, C. T. (1993), *J. Met.* **45** (6), 28–34.
- Kumar, K. S., Mannan, S. K. (1989), in: *High-Temperature Ordered Intermetallic Alloys III*: Liu, C. T., Taub, A. I., Stoloff, N. S., Koch, C. C. (Eds.). Pittsburgh, PA: Mater. Res. Soc., pp. 415–420.
- Kumar, K. S., Whittenberger, J. D. (1991), in: *Proc. Int. Symp. on Intermetallic Compounds – Structure and Mechanical Properties (JIMIS-6)*: Izumi, O. (Ed.). Sendai: The Japan Institute of Metals, pp. 927–934.
- Kumar, K. S., Whittenberger, J. D. (1992), *Mater. Sci. Technol.* **8**, 317–330.
- Kumar, K. S., Brown, S. A., Montoya, K., Whittenberger, J. D., DiPietro, M. S. (1991a), in: *Proc. Int. Symp. on Intermetallic Compounds – Structure and Mechanical Properties (JIMIS-6)*: Izumi, O. (Ed.). Sendai: The Japan Institute of Metals, pp. 667–671.
- Kumar, K. S., Brown, S. A., Whittenberger, J. D. (1991b), in: *High Temperature Ordered Intermetallic Alloys IV*: Johnson, L. A., Pope, D. P., Stiegler, J. O. (Eds.). Pittsburgh, PA: MRS, pp. 481–486.
- Kumar, K. S., DiPietro, M. S., Whittenberger, J. D. (1991c), in: *High Temperature Ordered Intermetallic Alloys IV*: Johnson, L. A., Pope, D. P., Stiegler, J. O. (Eds.). Pittsburgh, PA: MRS, pp. 1039–1044.
- Kumar, K. S., Darolia, R., Lehrman, D. F., Mannan, S. K. (1992a), *Scr. Metall. Mater.* **26**, 1001–1006.
- Kumar, K. S., Mannan, S. K., Viswanadham, R. K. (1992b), *Acta Metall. Mater.* **40**, 1201–1222.
- Kumpfert, J., Grundhoff, K.-J., Schurmann, H., Lee, Y. T., Ward, C. H., Peters, M. (1992), in: *Advanced Structural Materials*, Vol. 2: Clyne, T. W., Withers, P. J. (Eds.). London: The Institute of Materials, pp. 321–332.
- Kung, S.-C. (1990), *Oxid. Met.* **34**, 217–228.

- Kurnakov, N. S. (1900), *Z. Anorg. Chem.* 23, 439–462.
- Kurnakov, N. S. (1914), *Z. Anorg. Chem.* 88, 109–127.
- Kurnakov, N. S., Zhemchuzhny, S. (1908), *Ber. Petersburg Polytech. Inst.* 9, 1–9.
- Kusaka, K. (1991), *ISIJ Int.* 31, 1207–1211.
- Kuzminich, N. D., Levchenko, I. S., Motulevich, G. P. (1983), *Phys. Met. Metall.* 56 (2), 49–53.
- Lahrman, D. F., Field, R. D., Darolia, R. (1991), in: *High Temperature Ordered Intermetallic Alloys IV*: Johnson, L. A., Pope, D. P., Stiegler, J. O. (Eds.). Pittsburgh, PA: MRS, pp. 603–607.
- Lahrman, D. F., Field, R. D., Darolia, R. (1993a), *Mater. Res. Soc. Symp. Proc.* 288, 679–684.
- Lahrman, D. F., Field, R. D., Darolia, R. (1993b), *Scr. Metall. Mater.* 28, 709–714.
- Lakso, G. E., Marcinkowski, M. J. (1974), *Metall. Trans.* 5, 839–845.
- Lall, C., Chin, S., Pope, D. P. (1979), *Metall. Trans.* 10A, 1323–1332.
- Larsen, J. M., Williams, K. A., Balsonc, S. J., Stucke, M. A. (1990), in: *High-Temperature Aluminides and Intermetallics*: Whang, S. H., Liu, C. T., Pope, D. P., Stiegler, J. O. (Eds.). Warrendale, PA: TMS, pp. 521–556.
- Larsea, M., Misra, A., Hartfield-Wunsch, S., Noebe, R., Gibala, R. (1990), in: *Intermetallic Matrix Composites*: Anton, D. L., Martin, P. L., Miracle, D. B., McMeeking, R. (Eds.). Pittsburgh, PA: MRS, pp. 191–198.
- Laves, F. (1967), in: *Intermetallic Compounds*: Westbrook, J. H. (Ed.). New York: Wiley, pp. 129–143.
- Lawley, A., Coll, J. A., Cahn, R. W. (1960), *Trans. AIME* 218, 166–176.
- Lawthers, D. D., Sama, L. (1993), in: *High Temperature Materials II*: Ault, G. M., Barclay, W. F., Munger, P. H. (Eds.). New York: Interscience, pp. 819–832.
- Learn, H. J., Kayser, F. X. (1969), *Phys. Status Solidi* 34, 765–780.
- Lee, C. C., Grummon, D. S., Gottstein, G. (1990), in: *Intermetallic Matrix Composites*: Anton, D. L., Martin, P. L., Miracle, D. B., McMeeking, R. (Eds.). Pittsburgh, PA: MRS, pp. 301–306.
- Lee, C. C., Shen, P. (1989), *J. Mater. Sci.* 24, 3707–3711.
- Lee, D. S., Dimiduk, D. M., Krishnamurthy, S. (1993), *Mater. Res. Soc. Symp. Proc.* 288, 823–827.
- Lee, E. W., Cook, J., Khan, A., Mahapatra, R., Waldman, J. (1991), *J. Met.* 43 (3), 54–57.
- Lee, J. H., Choe, B. H., Kim, H. M. (1992), *Mater. Sci. Eng. A* 152, 253–257.
- Lee, J. K., Yoo, M. H. (1990), *Metall. Trans.* 21A, 2521–2530.
- Lee, J. S., Nich, T. G. (1989), in: *Oxidation of High-Temperature Intermetallics*: Grobstein, T., Doychak, J. (Eds.). Warrendale, PA: TMS, pp. 271–278.
- Lee, J. S., Wayman, C. M. (1986), *Metallography* 19, 401–419.
- Lee, K. H., White, C. L. (1993), *Scr. Metall. Mater.* 29, 547–552.
- Lee, K. J., Nash, P. (1991a), *J. Phase Equilibria* 12, 94–104.
- Lee, K. J., Nash, P. (1991b), *J. Phase Equilibria* 12, 551–562.
- Lee, T. C., Robertson, I. M., Birnbaum, H. K. (1992), *Acta Metall. Mater.* 40, 2569–2579.
- Lefort, A., Franzoni, U., Tassa, O., Lecoze, J., Cayla, O., Magnea, A. (1991), in: *Proc. Int. Symp. on Intermetallic Compounds – Structure and Mechanical Properties* (JIMIS-6): Izumi, O. (Ed.). Sendai: The Japan Institute of Metals, pp. 579–583.
- Leitner, G. (1971a), *Wiss. Z. Tech. Univ. Dresden* 20, 391–394.
- Leitner, G. (1971b), Dr. rer. nat. Thesis, Technische Universität Dresden, pp. 1–221.
- Leitner, G., Schulze, G. E. R. (1971), *Krist. Tech.* 6, 449–463.
- Leroux, C., Loiseau, A., Broddin, D., Van Tendeloo, G. (1991), *Phil. Mag. A* 64, 57–82.
- Levinstein, H. J., Greiner, E. S., Mason, H., Jr. (1966), *J. Appl. Phys.* 37, 164–166.
- Lewandowski, J. J., Dimiduk, D. M., Kerr, W., Mendiratta, M. G. (1988), in: *High Temperature/High Performance Composites*: Lemkey, F. D., Fishman, S. G., Evans, A. G., Strife, J. R. (Eds.). Pittsburgh, PA: MRS, pp. 103–110.
- Li, D., Li, P., Sun, D., Lin, D. (1993), *Mater. Res. Soc. Symp. Proc.* 288, 281–286.
- Li, G. H., Gill, H. S., Varin, R. A. (1993), *Metall. Trans. A* 24, 2383–2391.
- Li, H., Chaki, T. K. (1993a), *Acta Metall. Mater.* 41, 1979–1987.
- Li, H., Chaki, T. K. (1993b), *Mater. Res. Soc. Symp. Proc.* 288, 1167–1172.
- Li, X. L., Hillel, R., Teyssandier, F., Choi, S. K., van Loo, F. J. J. (1992), *Acta Metall. Mater.* 40, 3149–3157.
- Li, Z., Schulson, E. M. (1993), *Mater. Res. Soc. Symp. Proc.* 288, 1081–1086.
- Li, Z. C., Whang, S. H. (1993), *Phil. Mag. A* 68, 169–182.
- Liang, X., Lavernia, E. J. (1991), *Scr. Metall. Mater.* 25, 1199–1204.
- Lide, D. R. (1992), in: *CRC Handbook of Chemistry and Physics*: Lide, D. R. (Ed.). Cleveland: CRC Press.
- Lim, B. S., Stark, J. P. (1984), *Acta Metall.* 32, 915–918.
- Lin, C. B., Yano, T., Iseki, T. (1989), *J. Mater. Sci.* 24, 4144–4151.
- Lin, D., Sun, J. (1993), *Mater. Res. Soc. Symp. Proc.* 288, 251–256.
- Lin, D., Sun, J., Chen, D., Lu, M. (1993), *Mater. Res. Soc. Symp. Proc.* 288, 197–202.
- Lin, H. C., Wu, S. K. (1992), *Scr. Metall. Mater.* 26, 59–62.
- Lin, J. P., Chu, W. Y., Zhang, D. Z., Hsiao, C. M. (1992), *Scr. Metall. Mater.* 27, 1295–1299.

- Lin, W., Xu, J.-H., Freeman, A. J. (1991), in: *High Temperature Ordered Intermetallic Alloys IV*: Johnson, L. A., Pope, D. P., Stiegler, J. O. (Eds.). Pittsburgh, PA: MRS, pp. 131–136.
- Lipsitt, H. A. (1985a), in: *High-Temperature Ordered Intermetallic Alloys*: Koch, C. C., Liu, C. T., Stoloff, N. S. (Eds.). Pittsburgh, PA: MRS, pp. 351–364.
- Lipsitt, H. A. (1985b), in: *Advanced High-Temperature Alloys: Processing and Properties*: Allcn, S. M., Pellooux, R. M., Widmer, R. (Eds.). Materials Park, OH: ASM, pp. 157–164.
- Lipsitt, H. A. (1993), *Mater. Res. Soc. Symp. Proc.* 288, 119–130.
- Lipsitt, H. A., Shechtman, D., Schafnick, R. E. (1975), *Metall. Trans. 6A*, 1991–1996.
- Lipsitt, H. A., Shechtman, D., Schafnick, R. E. (1980), *Metall. Trans. 11A*, 1369–1375.
- Litvinov, V. S., Arkhangelskaya, A. A., Poleva, V. V. (1974), *Fiz. Met. Metalloved.* 38 (2), 383–388.
- Liu, C. T. (1984), *Int. Met. Rev.* 29, 168–194.
- Liu, C. T. (1991a), in: *Proc. Int. Symp. on Intermetallic Compounds – Structure and Mechanical Properties (JIMIS-6)*: Izumi, O. (Ed.). Sendai: The Japan Institute of Metals, pp. 703–712.
- Liu, C. T. (1991b), *Scr. Metall. Mater.* 25, 1231–1236.
- Liu, C. T. (1992), in: *Ordered Intermetallics – Physical Metallurgy and Mechanical Behaviour*: Liu, C. T., Cahn, R. W., Sauthoff, G. (Eds.). Dordrecht: Kluwer, pp. 321–334.
- Liu, C. T. (1993a), *Mater. Res. Soc. Symp. Proc.* 288, 3–19.
- Liu, C. T. (1993b), in: *Structural Intermetallics*: Darolia, R., Lewandowski, J. J., Liu, C. T., Martin, P. L., Miracle, D. B., Nathal, M. V. (Eds.). Warrendale, PA: TMS, pp. 365–377.
- Liu, C. T., George, E. P. (1991), in: *High Temperature Ordered Intermetallic Alloys IV*: Johnson, L. A., Pope, D. P., Stiegler, J. O. (Eds.). Pittsburgh, PA: MRS, pp. 527–532.
- Liu, C. T., Inouye, H. (1979), *Metall. Trans. 10A*, 1515–1525.
- Liu, C. T., Kim, Y.-W. (1992), *Scr. Metall. Mater.* 27, 599–603.
- Liu, C. T., Koch, C. C. (1983), in: *Technical Aspects of Critical Materials Use by the Steel Industry*. Vol. II B (NBSIR 83-2679-2). Washington: National Bureau of Standards, pp. P42-1–P42-19.
- Liu, C. T., Kumar, K. S. (1993), *J. Met.* 45 (5), 38–44.
- Liu, C. T., McKamey, C. G. (1990), in: *High-Temperature Aluminides and Intermetallics*: Whang, S. H., Liu, C. T., Pope, D. P., Stiegler, J. O. (Eds.). Warrendale, PA: TMS, pp. 133–151.
- Liu, C. T., Oliver, W. C. (1991), *Scr. Metall. Mater.* 25, 1933–1937.
- Liu, C. T., Stiegler, J. O. (1984), *Science* 226, 636–642.
- Liu, C. T., Stoloff, N. S. (1993), in: *Diffusion in Ordered Alloys and Intermetallic Compounds*: Fultz, B., Cahn, R. W., Gupta, D. (Eds.). Warrendale, PA: TMS, pp. 223–246.
- Liu, C. T., White, C. L. (1985), in: *High-Temperature Ordered Intermetallic Alloys*: Koch, C. C., Liu, C. T., Stoloff, N. S. (Eds.). Pittsburgh, PA: Materials Research Society, pp. 365–380.
- Liu, C. T., White, C. L., Horton, J. A. (1985), *Acta Metall.* 33, 213–229.
- Liu, C. T., Lee, E. H., Henson, T. J. (1988), *Initial Development of High-Temperature Titanium Silicide Alloys* (Report ORNL-6435). Oak Ridge: ORNL, pp. 1–31.
- Liu, C. T., Stiegler, J. O., Froes, F. H. (1990), in: *Metals Handbook*, Vol. 2: *Properties and Selection: Non-Ferrous Alloys and Special Purpose Materials*. Materials Park, OH: ASM, pp. 913–942.
- Liu, C. T., Fu, C. L., George, E. P., Painter, G. S. (1991), *ISIJ Int.* 31, 1192–1200.
- Liu, J. (1989), *Scr. Metall.* 23, 1811–1816.
- Liu, Y., Takasugi, T., Izumi, O. (1986), *Metall. Trans. 17A*, 1433–1438.
- Liu, Y., Takasugi, T., Izumi, O., Suenaga, H. (1989a), *J. Mater. Sci.* 24, 4458–4466.
- Liu, Y., Takasugi, T., Izumi, O., Yamada, T. (1989b), *Acta Metall.* 37, 507–517.
- Liu, Y., Allen, S. M., Livingston, J. D. (1993), *Mater. Res. Soc. Symp. Proc.* 288, 203–208.
- Livingston, J. D. (1990), *J. Met.* 42 (2), 30–34.
- Livingston, J. D. (1992), *Phys. Status Solidi (a)* 131, 415–423.
- Livingston, J. D., Hall, E. L. (1990), *J. Mater. Res.* 5, 5–8.
- Livingston, J. D., Hall, E. L. (1991), in: *High Temperature Ordered Intermetallic Alloys IV*: Johnson, L. A., Pope, D. P., Stiegler, J. O. (Eds.). Pittsburgh, PA: MRS, pp. 443–448.
- Livingston, J. D., Hall, E. L., Koch, E. F. (1989), in: *High-Temperature Ordered Intermetallic Alloys III*: Liu, C. T., Taub, A. I., Stoloff, N. S., Koch, C. C. (Eds.). Pittsburgh, PA: MRS, pp. 243–248.
- Loccio, I. E., Dickerson, R., Bowman, R. R., Whittenberger, J. D., Nathal, M. V., Darolia, R. (1993), *Mater. Res. Soc. Symp. Proc.* 288, 685–690.
- Löbberg, K., Schmidt, W. (1938), *Arch. Eisenhüttenwes.* 11, 607–614.
- Lombard, C. M., Nekkanti, R. M., Seetharaman, V. (1992), *Scr. Metall. Mater.* 26, 1559–1564.
- London, B., Larsen, D. E., Jr., Wheeler, D. A., Aimone, P. R. (1993), in: *Structural Intermetallics*: Darolia, R., Lewandowski, J. J., Liu, C. T., Martin, P. L., Miracle, D. B., Nathal, M. V. (Eds.). Warrendale, PA: TMS, pp. 151–157.
- Longworth, H. P., Mikkola, D. E. (1987), *Mater. Sci. Eng.* 96, 213–229.
- Lou, L., Zhang, T., Zhu, Y. (1991), in: *High Temperature Ordered Intermetallic Alloys IV*: Johnson, L. A., Pope, D. P., Stiegler, J. O. (Eds.). Pittsburgh, PA: MRS, pp. 833–838.
- Lowell, C. E., Barrett, C. A., Whittenberger, J. D. (1990), in: *Intermetallic Matrix Composites*: An-

- ton, D. L., Martin, P. L., Miracle, D. B., McMeeking, R. (Eds.). Pittsburgh, PA: MRS, pp. 355–360.
- Lowrie, R. (1952), *Trans. AIME* 194, 1093–1100.
- Lu, L., Kim, Y. S., Gokhale, A. B., Abbaschian, R. (1990), in: *Intermetallic Matrix Composites*: Anton, D. L., Martin, P. L., Miracle, D. B., McMeeking, R. (Eds.). Pittsburgh, PA: MRS, pp. 79–87.
- Lu, T. C., Evans, A. G., Hecht, R. J., Mehrabian, R. (1991), *Acta Metall. Mater.* 39, 1853–1862.
- Lu, Z. W., Wei, S. H., Zunger, A. (1992), *Acta Metall. Mater.* 40, 2155–2165.
- Lück, R., Wang, H. (1993), *J. Alloys Compd.* 191, L11–L12.
- Lüdecke, D. (1986), *Z. Metallkd.* 77, 278–283, 814 (Erratum).
- Lugscheider, E., Westermann, U., Wonka, J., Meinhardt, H., Neisius, H., Arnold, R. (1991), in: *Proc. Int. Symp. on Intermetallic Compounds – Structure and Mechanical Properties* (JIMIS-6): Izumi, O. (Ed.). Sendai: The Japan Institute of Metals, pp. 621–625.
- Lupinc, V., Onofrio, G., Bianchessi, A., Vimercati, G. (1991), in: *Proc. Int. Symp. on Intermetallic Compounds – Structure and Mechanical Properties* (JIMIS-6): Izumi, O. (Ed.). Sendai: The Japan Institute of Metals, pp. 549–553.
- Lynch, F. E. (1991), *J. Less-Common Met.* 172–174, 943–958.
- Lynch, J. F., Johnson, J. R., Reilly, J. J. (1979), *Z. Phys. Chem. N.F.* 117, 229–243.
- Lynch, R. J., Holdt, D. T., Milligan, W. W. (1991), *Scr. Metall. Mater.* 25, 2147–2152.
- Ma, Z., Dayananda, M. A. (1993), *Scr. Metall. Mater.* 28, 429–434.
- Ma, Z., Dayananda, M. A., Allen, L. H. (1992), *Mater. Res. Soc. Symp. Proc.* 273, 59–66.
- Maa, J. S., Smith, R. T., McGinn, J. T., Reed, L. H. (1985), *Mater. Lett.* 3, 314–318.
- Mabuchi, H., Harada, K., Tsuda, H., Nakayama, Y. (1991), *ISIJ Int.* 31, 1272–1278.
- Machon, L. (1992), Dr. rer. nat. Thesis, RWTH Aachen, pp. 1–127.
- Machon, L., Sauthoff, G. (1994), unpublished report, Max-Planck-Institut für Eisenforschung, Düsseldorf, FRG.
- Mackay, R. A., Brindley, P. K., Froes, F. H. (1991), *J. Met.* 43 (3), 23–29.
- Magnec, A., Lefort, A., Renaux, P., Franzoni, U., Tassa, O., Le Coze, J. (1991), in: *Proc. Int. Symp. on Intermetallic Compounds – Structure and Mechanical Properties* (JIMIS-6): Izumi, O. (Ed.). Sendai: The Japan Institute of Metals, pp. 725–729.
- Mahajan, S., Pinnel, M. R., Bennet, J. E. (1974), *Metall. Trans.* 5, 1263–1272.
- Mahajan, S., Wernick, J. H., Chin, G. Y., Nakahara, S., Geballe, T. H. (1978), *Appl. Phys. Lett.* 33, 972–974.
- Mailfert, R., Batterman, B. W., Hanak, J. J. (1969), *Phys. Status Solidi* 32, K67–K69.
- Majewski, J. A., Vogl, P. (1989), in: *The Structures of Binary Compounds*: de Boer, F. R., Pettifor, D. G. (Eds.). Amsterdam: North-Holland, pp. 287–362.
- Maloy, S. A., Heuer, A. H., Lewandowski, J. J., Petrovic, J. J. (1991), *J. Am. Ceram. Soc.* 74, 2704–2706.
- Maloy, S. A., Heuer, A. H., Lewandowski, J. J., Mitchell, T. E. (1992), *Acta Metall. Mater.* 40, 3159–3165.
- Mannan, S. K., Kumar, K. S., Whittenberger, J. D. (1990), *Metall. Trans.* 21A, 2179–2188.
- Mantl, S. (1993), *Phys. Bl.* 49, 303–305.
- Mantl, S., Rothman, S. J., Nowicki, L. J., Braski, D. (1984), *Phil. Mag.* 50, 591–602.
- Marcinkowski, M. J. (1974a), in: *Treatise on Materials Science and Technology*, Vol. 5: Herman, H. (Ed.). New York: Academic, pp. 181–287.
- Marcinkowski, M. J. (1974b), in: *Order-Disorder Transformations in Alloys*: Warlimont, H. (Ed.). Berlin: Springer, pp. 364–403.
- Marcinkowski, M. J., Brown, N. (1961), *Acta Metall.* 9, 764–786.
- Marder, J. M., Stonehouse, A. J. (1988), in: *2nd International SAMPE Metals and Metals Processing Conference*, Vol. 2: *Space Age Metals Technology*: Froes, F. H., Cull, R. A. (Eds.). Covina, CA: SAMPE, pp. 357–367.
- Margevicius, R. W., Lewandowski, J. J., Locci, I. E. (1993a), in: *Structural Intermetallics*: Darolia, R., Lewandowski, J. J., Liu, C. T., Martin, P. L., Miracle, D. B., Nathal, M. V. (Eds.). Warrendale, PA: TMS, pp. 577–584.
- Margevicius, R. W., Lewandowski, J. J., Locci, I. E., Michal, G. M. (1993b), *Mater. Res. Soc. Symp. Proc.* 288, 555–560.
- Marieb, T. N., Kaiser, A. D., Nutt, S. R., Anton, D. L., Shah, D. M. (1991), in: *High Temperature Ordered Intermetallic Alloys IV*: Johnson, L. A., Pope, D. P., Stiegler, J. O. (Eds.). Pittsburgh, PA: MRS, pp. 329–336.
- Marshall, D. B., Shaw, M. C., Morris, W. L. (1992), *Acta Metall. Mater.* 40, 443–454.
- Marty, A., Bessiere, M., Bley, F., Calvayrac, Y., Lefeuvre, S. (1990), *Acta Metall. Mater.* 38, 345–350.
- Martynov, V. V., Enami, K., Khandros, L. G., Nenno, S., Tkachenko, A. V. (1983), *Phys. Met. Metall.* 55 (5), 136–143.
- Maruyama, K., Takahashi, T., Oikawa, H. (1992), *Mater. Sci. Eng. A* 153, 433–437.
- Masahashi, N., Takasugi, T., Izumi, O. (1988), *Acta Metall.* 36, 1823–1836.
- Masahashi, N., Mizuhara, Y., Matsuo, M., Hanamura, T., Kimura, M., Hashimoto, K. (1991), *ISIJ Int.* 31, 728–737.
- Mason, D. P., Van Aken, D. C. (1993), *Scr. Metall. Mater.* 28, 185–189.
- Mason, D. P., Van Aken, D. C., Webber, J. G. (1990), in: *Intermetallic Matrix Composites*: Anton, D. L.,

- Martin, P. L., Miracle, D. B., McMeeking, R. (Eds.). Pittsburgh, PA: MRS, pp. 341–348.
- Massalski, T. B., Murray, J. L., Bennett, L. H., Baker, H. (1990), in: *Binary Alloy Phase Diagrams*: Massalski, T. B., Murray, J. L., Bennett, L. H., Baker, H. (Eds.). Materials Park, OH: ASM.
- Matsumoto, A., Saka, H. (1993), *Phil. Mag. A* 67, 217–229.
- Matsumoto, H., Ishiguro, H. (1989), *J. Less-Common Met. 153*, 57–63.
- Matsuo, M. (1991), *ISIJ Int. 31*, 1212–1222.
- Matsuo, M., Hanamura, T., Kimura, M., Masahashi, N., Mizoguchi, T., Miyazawa, K. (1991), *ISIJ Int. 31*, 289–297.
- Matteazzi, P., Miani, F., Le Caer, G., Bauer-Grosse, E. (1992), in: *Advanced Structural Materials*, Vol. 2: Clyne, T. W., Withers, P. J. (Eds.). London: The Institute of Materials, pp. 359–365.
- Matuszyk, W., Camus, G., Duquette, D. J., Stoloff, N. S. (1990), *Metall. Trans. 21A*, 2967–2976.
- Mayer, J. W., Lau, S. S., Tu, K. N. (1979), *J. Appl. Phys. 50*, 5855–5859.
- Mazdiyasi, S., Miracle, D. B. (1990), in: *Intermetallic Matrix Composites*: Anton, D. L., Martin, P. L., Miracle, D. B., McMeeking, R. (Eds.). Pittsburgh, PA: MRS, pp. 155–162.
- Mazdiyasi, S., Miracle, D. B., Dimiduk, D. M., Mendiratta, M. G., Subramanian, P. R. (1989), *Scr. Metall. 23*, 327–331.
- Maziasz, P. J., McKamey, C. G. (1992), *Mater. Sci. Eng. A 152*, 322–334.
- Maziasz, P. J., Goodwin, G. M., Liu, C. T., David, S. A. (1992), *Scr. Metall. Mater. 27*, 1835–1840.
- Maziasz, P. J., McKamey, C. G., Cavin, O. B., Hubbard, C. R., Zacharia, T. (1993), *Mater. Res. Soc. Symp. Proc. 288*, 209–215.
- McAndrew, J. B., Kessler, H. D. (1956), *J. Met. 8*, 1348–1353.
- McColm, I. J., Ward, J. M. (1992), *J. Alloys Compd. 178*, 91–100.
- McCurrie, R. A. (1986), in: *Encyclopedia of Materials Science and Engineering*, Vol. 4: Bever, M. B. (Ed.). Oxford: Pergamon, pp. 2645–2651.
- McDonald, W. K. (1984), in: *Niobium*: Stuari, H. (Ed.), Warrendale, PA: The Metallurgical Society of AIME, pp. 495–502.
- McKamey, C. G., Carmichael, C. A. (1991), in: *High Temperature Ordered Intermetallic Alloys IV*: Johnson, L. A., Pope, D. P., Stiegler, J. O. (Eds.). Pittsburgh, PA: MRS, pp. 1051–1056.
- McKamey, C. G., Lee, E. H. (1993), *Mater. Res. Soc. Symp. Proc. 288*, 983–988.
- McKamey, C. G., Liu, C. T. (1990), *Scr. Metall. Mater. 24*, 2119–2122.
- McKamey, C. G., Pierce, D. H. (1993), *Scr. Metall. Mater. 28*, 1173–1176.
- McKamey, C. G., De Van, J. H., Tortorelli, P. F., Sikka, V. K. (1991), *J. Mater. Res. 6 (8)*, 1779–1805.
- McKee, D. W. (1993), *Mater. Res. Soc. Symp. Proc. 288*, 953–958.
- McKee, D. W., Fleischer, R. L. (1991), in: *High Temperature Ordered Intermetallic Alloys IV*: Johnson, L. A., Pope, D. P., Stiegler, J. O. (Eds.). Pittsburgh, PA: MRS, pp. 969–974.
- Medvedev, A. I., Dolgikh, V. Y., Ivanovskiy, A. L., Kuznetsov, Y. V., Gubanov, V. A., Kurmayev, E. Z. (1984), *Phys. Met. Metall. 57 (2)*, 29–36.
- Mei, J., Cooper, B. R. (1993), in: *Structural Intermetallics*: Darolia, R., Lewandowski, J. J., Liu, C. T., Martin, P. L., Miracle, D. B., Nathal, M. V. (Eds.). Warrendale, PA: TMS, pp. 611–615.
- Meier, G. H. (1987), *Mater. Res. Soc. Symp. Proc. 81*, 443–458.
- Meier, G. H. (1989), in: *Oxidation of High-Temperature Intermetallics*: Grobstein, T., Doychak, J. (Eds.). Warrendale, PA: TMS, pp. 1–16.
- Meier, G. H., Pettit, F. S. (1992), *Mater. Sci. Eng. A 153*, 548–560.
- Meier, G. H., Appalonia, D., Perkins, R. A., Chiang, K. T. (1989), in: *Oxidation of High-Temperature Intermetallics*: Grobstein, T., Doychak, J. (Eds.). Warrendale, PA: TMS, pp. 185–194.
- Meier, G. H., Birks, N., Pettit, F. S., Perkins, R. A., Grabke, H. J. (1993), in: *Structural Intermetallics*: Darolia, R., Lewandowski, J. J., Liu, C. T., Martin, P. L., Miracle, D. B., Nathal, M. V. (Eds.). Warrendale, PA: TMS, pp. 861–877.
- Mendelson, S. (1986), *Phys. Status Solidi (a) 98*, 133–138.
- Mendiratta, M. G., Dimiduk, D. M. (1993), *Metall. Trans. 24 A*, 501–504.
- Mendiratta, M. G., Law, C. C. (1987), *J. Mater. Sci. 22*, 607–611.
- Mendiratta, M. G., Lipsitt, H. A. (1985), in: *High-Temperature Ordered Intermetallic Alloys*: Koch, C. C., Liu, C. T., Stoloff, N. S. (Eds.). Pittsburgh, PA: MRS, pp. 155–162.
- Mendiratta, M. G., Kim, H.-M., Lipsitt, H. A. (1984), *Metall. Trans. 15 A*, 395–398.
- Mendiratta, M. G., Ehlers, S. K., Chatterjee, D. K., Lipsitt, H. A. (1987a), *Metall. Trans. 18 A*, 283–291.
- Mendiratta, M. G., Ehlers, S. K., Dimiduk, D. M., Kerr, W. R., Lipsitt, H. A. (1987b), in: *High-Temperature Ordered Intermetallic Alloys II*: Stoloff, N. S., Koch, C. C., Liu, C. T., Izumi, O. (Eds.). Pittsburgh, PA: Mater. Res. Soc., pp. 393–404.
- Mendiratta, M. G., Lewandowski, J. J., Dimiduk, D. M. (1991), *Metall. Trans. 22 A*, 1573–1583.
- Meng, X. Y., Northwood, D. O. (1986), *J. Less-Common Met. 125*, 33–44.
- Meschel, S. V., Kleppa, O. J. (1993), *J. Alloys Compounds 191*, 111–116.
- Meschter, P. J. (1991), in: *High Temperature Ordered Intermetallic Alloys IV*: Johnson, L. A., Pope, D. P., Stiegler, J. O. (Eds.). Pittsburgh, PA: MRS, pp. 1027–1032.

- Meschter, P. J., Schwartz, D. S. (1989), *J. Met.* **41** (11), 52–55.
- Metelnick, M. P., Varin, R. A. (1991), *Z. Metallkd.* **82**, 346–353.
- Mikkola, D. E., Nic, J. P., Zhang, S., Milligan, W. W. (1991), *ISIJ Int.* **31**, 1076–1079.
- Müller, M. K., Horton, J. A. (1987), in: *High-Temperature Ordered Intermetallic Alloys II*: Stolooff, N. S., Koch, C. C., Liu, C. T., Izumi, O. (Eds.). Pittsburgh, PA: MRS, pp. 117–122.
- Mills, M. J., Miracle, D. B. (1993), *Acta Metall. Mater.* **41**, 85–95.
- Mills, M. J., Daw, M. S., Foiles, S. M., Miracle, D. B. (1993), *Mater. Res. Soc. Symp. Proc.* **288**, 257–262.
- Minamino, Y., Jung, S. B., Yamane, T., Hirao, K. (1992), *Metall. Trans. 23A*, 2781–2790.
- Minonishi, Y. (1991), *Phil. Mag. A63*, 1085–1093.
- Miracle, D. B. (1991), *Acta Metall. Mater.* **39**, 1457–1468.
- Miracle, D. B. (1993), *Acta Metall. Mater.* **41**, 649–684.
- Mishima, Y., Oya, Y., Suzuki, T. (1985), *Trans. ISIJ* **25**, 1171–1178.
- Misra, A., Noebe, R. D., Gibala, R. (1993), *Mater. Res. Soc. Symp. Proc.* **288**, 483–488.
- Mitchell, T. E., Castro, R. G., Chadwick, M. M. (1992), *Phil. Mag. A65*, 1339–1351.
- Miura, S., Liu, C. T. (1992), *Scr. Metall. Mater.* **26**, 1753–1758.
- Miura, Y., Watanabe, N. (1993), *Scr. Metall. Mater.* **29**, 139–144.
- Miura, S., Mishima, Y., Hayashi, T., Suzuki, T. (1991), in: *High Temperature Ordered Intermetallic Alloys IV*: Johnson, L. A., Pope, D. P., Stiegler, J. O. (Eds.). Pittsburgh, PA: MRS, pp. 623–628.
- Miyamura, H., Kuriyama, N., Sakai, T., Oguro, K., Kato, A., Ishikawa, H., Iwasaki, T. (1991), *J. Less-Common Met.* **172–174**, 1205–1210.
- Miyazaki, M., Terunuma, M., Terazono, K., Komatsu, T., Matusita, K. (1992), *J. Mater. Sci. Lett.* **11**, 659–661.
- Mohamed, F. A., Murty, K. L., Langdon, T. G. (1974), *Acta Metall.* **22**, 325–332.
- Molenat, G., Caillard, D., Courel, A., Paidar, V. (1993), *Mater. Res. Soc. Symp. Proc.* **288**, 287–292.
- Moran, J. B. (1965), *Trans. AIME* **233** 1473–1482.
- Moreen, H. A., Polonis, D. H., Taggart, R. (1971), *J. Appl. Phys.* **42**, 2151–2152.
- Morgand, P., Mourtat, P., Sainfort, G. (1968), *Acta Metall.* **16**, 867–875.
- Moriwaki, Y., Gamo, T., Iwaki, T. (1991a), *J. Less-Common Met.* **172–174**, 1028–1035.
- Moriwaki, Y., Gamo, T., Seri, H., Iwaki, T. (1991b), *J. Less-Common Met.* **172–174**, 1211–1218.
- Morrall, F. R. (1934), *JISI* **130**, 419–428.
- Morrall, F. R. (1980), in: *Metals Handbook Vol. 3: Properties and Selection: Stainless Steels, Tool Materials and Special-Purpose Metals*. Materials Park, OH: ASM, pp. 207–268.
- Morris, D. G. (1992), in: *Ordered Intermetallics – Physical Metallurgy and Mechanical Behaviour*: Liu, C. T., Cahn, R. W., Sauthoff, G. (Eds.). Dordrecht: Kluwer, pp. 123–142.
- Morris, D. G., Lerf, (1991), *Phil. Mag. A63*, 1195–1206.
- Morris, D. G., Dadras, M. M., Morris, M. A. (1993a), *Acta Metall. Mater.* **41**, 97–111.
- Morris, D. G., Gunther, S., Joye, J. C. (1993b), *Intermetallics* **1**, 49–58.
- Morris, D. G., Morris, M. A., Leboeuf, M. (1993c), *Acta Metall. Mater.* **41**, 2077–2090.
- Morris, M. A. (1991a), *Mater. Sci. Eng. A148*, 33–43.
- Morris, M. A. (1991b), *Scr. Metall. Mater.* **25**, 2541–2546.
- Morris, M. A. (1992), *Acta Metall. Mater.* **40**, 1573–1586.
- Moser, J. A., Aindow, M., Clark, W. A. T., Draper, S., Fraser, H. L. (1990), in: *Intermetallic Matrix Composites*: Anton, D. L., Martin, P. L., Miracle, D. B., McMeeking, R. (Eds.). Pittsburgh, PA: MRS, pp. 379–384.
- Motojima, S., Yoshida, H., Sugiyama, K. (1982), *J. Mater. Sci. Lett.* **1**, 23–24.
- Mouldckhues, G. W., Sahm, P. R. (1992), in: *Advanced Structural Materials Vol. 2*: Clyne, T. W., Withers, P. J. (Eds.). London: The Institute of Materials, pp. 353–358.
- Moyer, T. D., Dayananda, M. A. (1976), *Metall. Trans. 7A*, 1035–1040.
- Mrowec, S., Jedlinski, J. (1989), in: *Oxidation of High-Temperature Intermetallics*: Grobstein, T., Doychak, J. (Eds.). Warrendale, PA: TMS, pp. 57–66.
- Mrowec, S., Danielewski, M., Godlewski, E., Godlewski, K. (1989), in: *Oxidation of High-Temperature Intermetallics*: Grobstein, T., Doychak, J. (Eds.). Warrendale, PA: TMS, pp. 147–156.
- Mukherjee, D., Jones, I. P., Loretto, M. H., Smallman, R. E. (1979), in: *Phase Transformations* (Spring Residential Conf. Series 3, No. 11, Vol. 2). London: Chameleon Press, pp. II-13–II-14.
- Mukherjee, A. K., Bird, J. E., Dorn, J. E. (1969), *Trans. ASM* **62**, 155–179.
- Mukherjee, S. K., Khanra, G. P. (1991), *J. Mater. Sci. Lett.* **10**, 1222–1224.
- Mulder, J. H., Thoma, P. E., Beyer, J. (1993), *Z. Metallkd.* **84**, 501–508.
- Muller, J. (1986), in: *Encyclopedia of Materials Science and Engineering*, Vol. 1: Bever, M. B. (Ed.). Oxford: Pergamon, pp. 1–5.
- Müller, P. (1986), *Neue Hütte* **31**, 206–208.
- Munroe, P. R., Baker, I. (1988), *Met. Mater.* **4**, 435–438.
- Munroe, P. R., Baker, I. (1990), *Scr. Metall. Mater.* **24**, 2273–2278.
- Munroe, P. R., Baker, I. (1991), *Acta Metall. Mater.* **39**, 1011–1017.

- Munroe, P. R., Baker, I., Nagpal, P. (1991), *J. Mater. Sci.* 26, 4303–4306.
- Murakami, Y., Otsuka, K., Hanada, S., Watanabe, S. (1992), *Mater. Trans. Jpn. Inst. Met.* 33, 282–288.
- Muraleedharan, K., Gogia, A. K., Nandy, T. K., Banerjee, D., Lele, S. (1992a), *Metall. Trans.* 23A, 401–415.
- Muraleedharan, K., Nandy, T. K., Banerjee, D., Lele, S. (1992b), *Metall. Trans.* 23A, 417–431.
- Murarka, S. P. (1983a), *Silicides for VLSI Applications*. New York: Academic.
- Murarka, S. P. (1983b), *Annu. Rev. Mater. Sci.* 13, 117–137.
- Murarka, S. P. (1984), *J. Met.* 36 (7), 57–60.
- Murase, S., Nakayama, S., Aoki, N., Kobayashi, N. (1992), *Sci. Rep. Tohoku Univ.* 37 (1), 125–134.
- Murata, Y., Higuchi, T., Takeda, Y., Morinaga, M., Yukawa, N. (1991), in: *Proc. Int. Symp. on Intermetallic Compounds – Structure and Mechanical Properties* (JIMIS-6): Izumi, O. (Ed.), Sendai: The Japan Institute of Metals, pp. 627–631.
- Murata, Y., Morinaga, M., Takeda, Y. (1992), *Mater. Trans. Jpn. Inst. Met.* 33, 419–421.
- Murata, Y., Morinaga, M., Shimamura, Y., Takeda, Y., Miyazaki, S. (1993), in: *Structural Intermetallics: Darolia, R., Lewandowski, J. J., Liu, C. T., Martin, P. L., Miracle, D. B., Nathal, M. V. (Eds.)*. Warrendale, PA: TMS, pp. 247–256.
- Murayama, Y., Hanada, S., Ohara, K., Hiraga, K., Ishida, S. (1991), in: *Proc. Int. Symp. on Intermetallic Compounds – Structure and Mechanical Properties* (JIMIS-6): Izumi, O. (Ed.), Sendai: The Japan Institute of Metals, pp. 1033–1037.
- Murayama, Y., Hanada, S., Obara, K. (1993a), *Mater. Trans. Jpn. Inst. Met.* 34, 325–333.
- Murayama, Y., Hanada, S., Obara, K., Hiraga, K. (1993b), *Phil. Mag. A* 67, 251–260.
- Murayama, Y., Kumagai, T., Hanada, S. (1993c), *Mater. Res. Soc. Symp. Proc.* 288, 95–106.
- Murray, J. L. (1985), *Int. Met. Rev.* 30, 211–233.
- Murray, J. L. (1988), *Metall. Trans.* 19A, 243–247.
- Murthy, A. S., Goo, E. (1993), *Acta Metall. Mater.* 41, 2135–2142.
- Murugesh, L., Venkateswara Rao, K. T., DeJonghe, L. C., Ritchie, R. O. (1992), *Mater. Res. Soc. Symp. Proc.* 273, 433–438.
- Muto, S., Merk, N., Schryvers, D., Tanner, L. E. (1993a), *Phil. Mag. B* 67, 673–689.
- Muto, S., Schryvers, D., Merk, N., Tanner, L. E. (1993b), *Acta Metall. Mater.* 41, 2377–2383.
- Nabarro, F. R. N., de Villiers-Filmer, H. L. (1993), *The Physics of Creep–Creep and Creep-Resistant Alloys*. London: Taylor and Francis.
- Nachman, J. F., Buehler, W. J. (1954), *J. Appl. Phys.* 25, 307–313.
- Nagai, H., Kitagaki, K., Shoji, K. (1987), *J. Less. Common Met.* 134, 275–286.
- Nagasawa, A., Kawachi, K. (1971), *J. Phys. Soc. Jpn.* 30, 296.
- Nagpal, P., Baker, I. (1990a), *Metall. Trans.* 21A, 2281–2282.
- Nagpal, P., Baker, I. (1990b), *Scr. Metall. Mater.* 24, 2381–2384.
- Nagpal, P., Baker, I. (1991), *Scr. Metall. Mater.* 25, 2577–2580.
- Nakagawa, Y. G., Yokoshima, S., Mastuda, K. (1992), *Mater. Sci. Eng. A* 153, 722–725.
- Nakajima, H., Nakamura, Y., Koiwa, M., Takasugi, T., Izumi, O. (1988), *Scr. Metall.* 22, 507–510.
- Nakajima, H., Yusuda, H., Koiwa, M. (1991), in: *Proc. Int. Symp. on Intermetallic Compounds – Structure and Mechanical Properties* (JIMIS-6): Izumi, O. (Ed.). Sendai: The Japan Institute of Metals, pp. 57–61.
- Nakamura, F., Takamura, J. (1982), in: *Point Defects and Defect Interactions in Metals*: Takamura, J., Doyama, M., Kiritani, M. (Eds.). Tokyo: University of Tokyo Press, pp. 627–630.
- Nakamura, H., Takeyama, M., Yamabe, Y., Kikuchi, M. (1993), *Scr. Metall. Mater.* 28, 997–1002.
- Nakamura, M. (1991), in: *Proc. Int. Symp. on Intermetallic Compounds – Structure and Mechanical Properties* (JIMIS-6): Izumi, O. (Ed.). Sendai: The Japan Institute of Metals, pp. 655–659.
- Nakamura, M., Kimura, K. (1991), *J. Mater. Sci.* 26, 2208–2214.
- Nakamura, M., Sakka, Y. (1988), *J. Mater. Sci.* 23, 4041–4048.
- Nakamura, M., Matsumoto, S., Hirano, T. (1990), *J. Mater. Sci.* 25, 3309–3313.
- Nakano, T., Umakoshi, Y. (1993), *J. Alloys Compd.* 197, 17–20.
- Nakao, Y., Shinohara, K., Hamada, M. (1991), *ISIJ Int.* 31, 1260–1266.
- Nakashima, T., Umakoshi, Y. (1992), *Phil. Mag. Lett.* 66, 317–321.
- Nakayama, Y., Mabuchi, H. (1993), *Intermetallics* 1, 41–48.
- Nandy, T. K., Mishra, R. S., Banerjee, D. (1993), *Scr. Metall. Mater.* 28, 569–574.
- Nardone, V. C. (1992), *Metall. Trans.* 23A, 563–572.
- Nardone, V. C., Strife, J. R. (1991), *Metall. Trans.* 22A, 183–189.
- Nardone, V. C., Strife, J. R., Prewo, K. M. (1990), in: *Intermetallic Matrix Composites*: Anton, D. L., Martin, P. L., Miracle, D. B., McMeeking, R. (Eds.). Pittsburgh, PA: MRS, pp. 205–210.
- Nash, P., Liang, W. W. (1985), *Metall. Trans.* 16A, 319–322.
- Natan, M. (1985), *Mater. Lett.* 3, 319–324.
- Natesan, K. (1988), *Oxid. Met.* 30, 53–83.
- Nathal, M. V. (1992), in: *Ordered Intermetallics – Physical Metallurgy and Mechanical Behaviour*: Liu, C. T., Cahn, R. W., Sauthoff, G. (Eds.). Dordrecht: Kluwer, pp. 541–563.
- Nathrath, N. (1986), *Thyssen Techn. Ber.* 1/86, 110–118.
- Navia, F., Ottaviani, G., Riontino, G. (1985), *Mater. Lett.* 3, 311–313.

- Nembach, E., Tachikawa, K., Takano, S. (1970), *Phil. Mag.* 21, 869–872.
- Nemoto, M., Tian, W. H., Harada, K., Han, C. S., Sano, T. (1992), *Mater. Sci. Eng. A* 152, 247–252.
- Nesbitt, J. A., Lowell, C. E. (1993), *Mater. Res. Soc. Symp. Proc.* 288, 107–118.
- Nesbitt, J. A., Vinarcik, E. J., Barrett, C. A., Doychak, J. (1992), *Mater. Sci. Eng. A* 153, 561–566.
- Nevitt, M. V. (1963), in: *Electronic Structure and Alloy Chemistry of the Transition Elements*: Beck, P. A. (Ed.). New York: Interscience, pp. 101–178.
- Nevitt, M. V. (1967), in: *Intermetallic Compounds*: Westbrook, J. H. (Ed.). New York: Wiley, pp. 217–229.
- Newkirk, J. W., Sago, J. A. (1990), in: *Intermetallic Matrix Composites*: Anton, D. L., Martin, P. L., Miracle, D. B., McMeeking, R. (Eds.). Pittsburgh, PA: MRS, pp. 183–189.
- Nghiep, D. M., Pausler, P., Krämer, U., Kleinstück, K., Quyen, N. H. (1980), *J. Mater. Sci.* 15, 1140–1146.
- Nic, J. P., Zhang, S., Mikkola, D. E. (1991), in: *High Temperature Ordered Intermetallic Alloys IV*: Johnson, L. A., Pope, D. P., Stiegler, J. O. (Eds.). Pittsburgh, PA: MRS, pp. 697–702.
- Nicholls, J. R., Rawlings, R. D. (1977), *J. Mater. Sci.* 12, 2456–2464.
- Nicholls, J. R., Stephenson, D. J. (1991), *Met. Mater.* 7, 156–163.
- Nicolet, M.-A., Lau, S. S. (1983), in: *VLSI Electronics, Microstructure Science*, Vol. 6: Einspruch, N. G., Larrabee, G. B. (Eds.). New York: Academic, pp. 330–350.
- Nieh, T. G., Oliver, W. C. (1989), *Scr. Metall.* 23, 851–854.
- Nieh, T. G., Wadsworth, J. (1989), *Scr. Metall.* 23, 871–874.
- Nieh, T. G., Wadsworth, J. (1990), *Scr. Metall. Mater.* 24, 1489–1494.
- Nieh, T. G., Wadsworth, J., Liu, C. T. (1989), in: *High-Temperature Ordered Intermetallic Alloys III*: Liu, C. T., Taub, A. I., Stoloff, N. S., Koch, C. C. (Eds.). Pittsburgh, PA: Mater. Res. Soc. pp. 743–748.
- Nieh, T. G., Wadsworth, J., Liu, C. T. (1990), in: *High-Temperature Aluminides and Intermetallics*: Whang, S. H., Liu, C. T., Pope, D. P., Stiegler, J. O. (Eds.). Warrendale, PA: TMS, pp. 453–462.
- Nishida, I. (1973), *Phys. Rev. B* 7, 2710–2713.
- Nishida, I., Sakata, T. (1978), *J. Phys. Chem. Solids* 39, 499–505.
- Nishida, M., Honma, T. (1984), *Scr. Metall.* 18, 1293–1298.
- Nishimura, C., Liu, C. T. (1991), *Scr. Metall. Mater.* 25, 791–794.
- Nishimura, C., Liu, C. T. (1992a), *Acta Metall. Mater.* 40, 723–731.
- Nishimura, C., Liu, C. T. (1992b), *Mater. Sci. Eng. A* 152, 146–152.
- Nishiyama, Y., Miyashita, T., Isobe, S., Noda, T. (1990), in: *High-Temperature Aluminides and Intermetallics*: Whang, S. H., Liu, C. T., Pope, D. P., Stiegler, J. O. (Eds.). Warrendale, PA: TMS, pp. 557–584.
- Nix, W. D., Ilsehner, B. (1980), in: *Proc. Int. Conf. on the Strength of Metals and Alloys* (ICSMA 5), Vol. 3: Haasen, P., Gerold, V., Kostorz, G. (Eds.). Oxford: Pergamon, pp. 1503–1530.
- Noda, Y., Kon, H., Furukawa, Y., Otsuka, N., Nishida, I. A., Masumoto, K. (1992a), *Mater. Trans. Jpn. Inst. Met.* 33, 845–850.
- Noda, Y., Kon, H., Furukawa, Y., Nishida, I. A., Masumoto, K. (1992b), *Mater. Trans. Jpn. Inst. Met.* 33, 851–855.
- Noebe, R. D., Behbehani, M. K. (1992), *Scr. Metall. Mater.* 27, 1795–1800.
- Noebe, R. D., Lerch, B. A. (1992), *Scr. Metall. Mater.* 27, 1161–1166.
- Noebe, R. D., Lerch, B. A. (1993), *Mater. Res. Soc. Symp. Proc.* 288, 743–748.
- Noebe, R. D., Bowman, R. R., Eldridge, J. I. (1990), in: *Intermetallic Matrix Composites*: Anton, D. L., Martin, P. L., Miracle, D. B., McMeeking, R. (Eds.). Pittsburgh, PA: MRS, pp. 323–331.
- Noebe, R. D., Misra, A., Gibala, R. (1991), *ISIJ Int.* 31, 1172–1185.
- Nonaka, K., Tanosaki, K., Fujita, M., Chiba, A., Kawabata, T., Izumi, O. (1992), *Mater. Trans. Jpn. Inst. Met.* 33, 802–810.
- Norman, J. H., Reynolds, G. H., Brewer, L. (1990), in: *Intermetallic Matrix Composites*: Anton, D. L., Martin, P. L., Miracle, D. B., McMeeking, R. (Eds.). Pittsburgh, PA: MRS, pp. 369–377.
- Nosova, G. I., Polyakova, N. A., Novikova, Y. Y. (1986), *Phys. Met. Metall.* 61 (3), 151–164.
- Noto, K., Watanabe, K., Muto, Y. (1986), *Sci. Rep. RITU A* 33, 393–414.
- Noto, K., Matsukawa, M., Watanabe, K. (1992), *Sci. Rep. Tohoku Univ.* 37, 1, 7–17.
- Nourbakhsh, S., Sahin, O., Rhee, W. H., Margolin, H. (1991), *Metall. Trans. 22A*, 3059–3064.
- Nourbakhsh, S., Sahin, O., Rhee, W. H., Margolin, H. (1993), *Metall. Trans. 24A*, 435–443.
- Nowotny, H. (1963), in: *Electron Structure and Alloy Chemistry of the Transition Elements*: Beck, P. A. (Ed.). New York: Interscience, pp. 179–220.
- Nowotny, H. (1972a), in: *Solid State Chemistry*: Roberts, L. E. J. (Ed.). London: Butterworths, pp. 151–188.
- Nowotny, H. (1972b), *Angew. Chem.* 84, 973–982.
- Nowotny, H., Benesovsky, F. (1967), in: *Phase Stability in Metals and Alloys*: Rudman, P. S., Stringer, J., Jaffee, R. I. (Eds.). New York: McGraw-Hill, pp. 319–336.
- Oblak, J. M., Paulonis, D. F., Duvall, D. S. (1974), *Metall. Trans. 5*, 143–153.
- Ochiai, S., Ueno, M. (1988), *J. Jpn. Inst. Met.* 52, 157–162.

- Ochiai, S., Oya, Y., Suzuki, T. (1984), *Acta Metall.* **32**, 289–298.
- Ochiai, S., Uehara, T., Osamura, K. (1986a), *J. Mater. Sci.* **21**, 1020–1026.
- Ochiai, S., Osamura, K., Uehara, T. (1986b), *J. Mater. Sci.* **21**, 1027–1036.
- Ochiai, S., Ueno, M., Noguchi, O. (1987), *J. Jpn. Inst. Met.* **51**, 686–693.
- Ochiai, S., Osamura, K., Ryoji, M. (1988), *ISIJ Int.* **28**, 973–978.
- Ochiai, S., Shirokura, T., Doi, Y., Kojima, Y. (1991), *ISIJ Int.* **31**, 1106–1112.
- Ochiai, S., Yagihashi, M., Osamura, K. (1994), *Intermetallics* **2**, 1–7.
- Oehring, M., Klassen, T., Bormann, R. (1993), *Mater. Res. Soc. Symp. Proc.* **288**, 873–878.
- Oertel, C. G., Krämer, U., Kleinstück, K. (1986), *J. Mater. Sci.* **21**, 2585–2589.
- Ogishi, H., Makimura, M., Ono, H., Minakata, S. (1991), *ISIJ Int.* **31**, 1168–1171.
- Ogurtani, T. (1972), *Metall. Trans.* **3**, 421–425.
- Oh, M. H., Inui, H., Misaki, M., Kobayashi, M., Yamaguchi, M. (1993a), *Mater. Res. Soc. Symp. Proc.* **288**, 1001–1006.
- Oh, M. H., Inui, H., Misaki, M., Yamaguchi, M. (1993b), *Acta Metall. Mater.* **41**, 1939–1949.
- Ohba, Y., Sakuma, N. (1989), *Acta Metall.* **37**, 2377–2384.
- Ohkoshi, T., Isoda, Y., Kaibe, H., Ichida, S., Masumoto, K., Nishida, I. (1988), *Trans. JIM* **29**, 756–766.
- Ohta, Y., Pettifor, D. G. (1990), *J. Phys.: Condens. Matter* **2**, 8189–8194.
- Oikawa, H. (1992), *Mater. Sci. Eng. A* **153**, 427–432.
- Okamoto, H., Chakrabarti, D. J., Laughlin, D. E., Massalski, T. B. (1987), *Bull. Alloy Phase Diagrams* **8**, 454–474.
- Olowolafe, J. O., Tu, K. N., Angilello, J. (1979), *J. Appl. Phys.* **50**, 6316–6320.
- Olzi, E., Matacotta, F. C., Setina, P. (1988), *J. Less-Common Met.* **139**, 123–132.
- Onodera, H., Nakazawa, S., Ohno, K., Yamagata, T., Yamazaki, M. (1991), *ISIJ Int.* **31**, 875–881.
- Onozuka, T., Ohnishi, N., Hirabayashi, M. (1988), *Metall. Trans.* **19A**, 797–803.
- Ormerod, J. (1988), *Met. Mater.* **4**, 478–483.
- Ortin, J., Manosa, L., Friend, C. M., Planes, A., Yoshikawa, M. (1992), *Phil. Mag. A* **65**, 461–475.
- Oti, J. A., Yu, K. O. (1993), in: *Structural Intermetallics*: Darolia, R., Lewandowski, J. J., Liu, C. T., Martin, P. L., Miracle, D. B., Nathal, M. V. (Eds.). Warrendale, PA: TMS, pp. 505–512.
- Otsuka, K., Shimizu, K. (1970), *Scr. Metall.* **4**, 469–472.
- Otsuka, K., Shimizu, K. (1986), *Int. Met. Rev.* **31**, 93–114.
- Otsuki, M., Stoloff, N. S. (1992), *Scr. Metall. Mater.* **26**, 325–330.
- Packer, C. M. (1989), in: *Oxidation of High-Temperature Intermetallics*: Grobstein, T., Doychak, I. (Eds.). Warrendale, PA: TMS, pp. 235–244.
- Padmavardhani, D., Prasad, Y. V. R. K. (1991), *Metall. Trans.* **22A**, 2993–3001.
- Paidar, V., Pope, D. P., Yamaguchi, M. (1981), *Scr. Metall.* **15**, 1029–1031.
- Pajunen, M., Kivilahti, J. (1992), *Z. Metallkd.* **83**, 17–20.
- Pak, H.-R., Hsiung, L.-M., Kato, M. (1986), *Phil. Mag. A* **53**, 887–896.
- Pak, H.-R., Chen, C.-W., Inal, O. T., Okazaki, K., Suzuki, T. (1988), *Mater. Sci. Eng. A* **104**, 53–60.
- Pak, H. R., Pak, J. S. L., Rigsbee, J. M., Wayman, C. M. (1990), *Mater. Sci. Eng. A* **128**, 129–139.
- Palm, M. (1990), Dr. rer. nat. Thesis, Universität Dortmund, pp. 1–145.
- Pan, Y. C., Chuang, T. H., Yao, Y. D. (1991), *J. Mater. Sci.* **26**, 6097–6103.
- Parameswaran, V. R., Immarigeon, J.-P., Wallace, W. (1990), *Intermetallics – Canadian Perspective*. Ottawa: National Research Council Canada, pp. 1–43.
- Parfitt, L. J., Smialek, J. L., Nie, J. P., Mikkola, D. E. (1991), *Scr. Metall. Mater.* **25**, 727–731.
- Paris, D., Lesbats, P., Levy, J. (1975), *Scr. Metall.* **9**, 1373–1378.
- Park, J.-M., Lee, J.-Y. (1992), *J. Alloys Compd.* **182**, 43–54.
- Park, J.-M., Kim, Y.-G., Lee, J.-Y. (1993), *J. Alloys Compd.* **198**, L19–L23.
- Park, J. W., Moon, I. G., Yu, J. (1991), *J. Mater. Sci.* **26**, 3062–3066.
- Parker, S. F. H., Grundy, P. J., Jones, G. A., Briggs, I., Clegg, A. G. (1988), *J. Mater. Sci.* **23**, 217–222.
- Parthasarathy, T. A., Rao, S. I., Dimiduk, D. M. (1993), *Phil. Mag. A* **67**, 643–662.
- Parthé, E., Lux, B., Nowotny, H. (1955), *Monatsh. Chem.* **86**, 859–867.
- Paruchuri, M. R., Massalski, T. B. (1991), in: *High Temperature Ordered Intermetallic Alloys IV*: Johnson, L. A., Pope, D. P., Stiegler, J. O. (Eds.). Pittsburgh, PA: MRS, pp. 143–149.
- Patankar, S. N., Lewandowski, J. J. (1993), *Mater. Res. Soc. Symp. Proc.* **288**, 829–834.
- Pashare, V., Michal, G. M., Vedula, K., Nathal, M. V. (1987), *Scr. Metall.* **21**, 283–288.
- Patnaik, P. C. (1989), *Mater. Manuf. Processes* **4**, 133–152.
- Patrick, D. K., Van Aken, D. C. (1993), *Mater. Res. Soc. Symp. Proc.* **288**, 1135–1141.
- Patrick, D. K., Chang, K.-M., Miracle, D. B., Lipsitt, H. A. (1991), in: *High Temperature Ordered Intermetallic Alloys IV*: Johnson, L. A., Pope, D. P., Stiegler, J. O. (Eds.). Pittsburgh, PA: MRS, pp. 267–272.
- Patten, J. W. (1990), in: *High-Temperature Aluminides and Intermetallics*: Whang, S. H., Liu, C. T., Pope, D. P., Stiegler, J. O. (Eds.). Warrendale, PA: TMS, pp. 493–503.

- Paufler, P. (1972), *Phys. Status Solidi (b)* 52, K65-K67.
- Paufler, P. (1976), in: *Intermetallic Phasen: Autorenkollektiv*. (Ed.), Leipzig: VEB Deutscher Verlag f. Grundstoffindustrie, pp. 165-187.
- Paufler, P. (1985), *Z. Kristallographie* 170, 144.
- Paufler, P., Schulze, G. E. R. (1967), *Phys. Status Solidi* 24, 77-87.
- Paufler, P., Schulze, G. E. R. (1978), *Physikalische Grundlagen mechanischer Festkörpereigenschaften*. Braunschweig: Vieweg, pp. 1-135.
- Pawelski, O., Hagedorn, K. E., Hop, R. (1994), *Steel Res.*, in press.
- Paxton, A. T., Pettifor, D. G. (1992), *Scr. Metall. Mater.* 26, 529-533.
- Peacock, D. K. (1989), *Met. Mater.* 5, 474.
- Pearson, W. B. (1958), *A Handbook of Lattice Spacings and Structures of Metals and Alloys*. London: Pergamon.
- Pelegrina, J. L., Ahlers, M. (1992a), *Acta Metall. Mater.* 40, 3205-3211.
- Pelegrina, J. L., Ahlers, M. (1992b), *Acta Metall. Mater.* 40, 3221-3227.
- Perepezzo, J. H. (1991a), *ISIJ Int.* 31, 1080-1087.
- Perepezzo, J. H. (1991b), in: *Proc. Int. Symp. on Intermetallic Compounds - Structure and Mechanical Properties* (JIMIS-6); Izumi, O. (Ed.), Sendai: The Japan Institute of Metals, pp. 239-243.
- Peretz, M., Zamir, D., Shaltiel, D., Shinar, I. (1979), *Z. Phys. Chem. N. F.* 117, 221-228.
- Peresenzew, A., Lanzel, E., Eder, O. J., Tuscher, E., Weinierl, P. (1988), *J. Less-Common Met.* 143, 39-47.
- Perkins, R. A., Chiang, K. T., Meier, G. H. (1988), *Scr. Metall.* 22, 419-424.
- Perkins, R. A., Chiang, K. T., Meier, G. H., Miller, R. (1989), in: *Oxidation of High-Temperature Intermetallics*: Grobstein, T., Doychak, J. (Eds.). Warrendale, PA: TMS, pp. 157-170.
- Peshev, P., Christov, M., Gyurov, G. (1989), *J. Less-Common Met.* 153, 15-22.
- Petrasek, W. D., McDaniels, D. L., Westfall, L. J., Stephens, J. R. (1986), *Met. Prog.* 130 (8), 27-31.
- Petrovic, J. J. (1993), *MRS Bull.* 18 (7), 35-40.
- Petrovic, J. J., Vasudevan, A. K. (1992), *Mater. Res. Soc. Symp. Proc.* 273, 229-240.
- Pettifor, D. G. (1988), *Mater. Sci. Technol.* 4, 675-691.
- Pettifor, D. G., Aoki, M. (1991), *Phil. Trans. R. Soc. London A* 334, 439-449.
- Pettit, F. S. (1967), *Trans. AIME* 239, 1296-1305.
- Pettit, F. S., Goward, G. W. (1983), in: *Coatings for High Temperature Applications*: Lang, E. (Ed.). London: Applied Science, pp. 341-359.
- Pharr, G. M., Courington, S. V., Wadsworth, J., Nieh, T. G. (1991), *J. Mater. Res.* 6, 2653-2659.
- Piao, M., Miyazaki, S., Otsuka, K., Nishida, N. (1992a), *Mater. Trans. Jpn. Inst. Met.* 33, 337-345.
- Piao, M., Miyazaki, S., Otsuka, K. (1992b), *Mater. Trans. Jpn. Inst. Met.* 33, 346-353.
- Pickering, F. B. (1976), *Int. Met. Rev.* 21, 227-268.
- Pinnel, M. R., Mahajan, S., Bennet, J. E. (1976), *Acta Metall.* 24, 1095-1106.
- Pitsch, W., Sauthoff, G. (1992), in: *Steel*, Vol. 1: Verein Deutscher Eisenhüttenleute (Ed.). Berlin: Springer, pp. 1-166.
- Pitt, C. D., Rawlings, R. D. (1983), *Met. Sci.* 17, 261-266.
- Polvani, R. S., Tzeng, W.-S., Strutt, P. R. (1976), *Metall. Trans.* 7A, 33-40.
- Pontonnier, L., Fruchart, D., Soubeyroux, J. L., Triantafyllidis, G., Berthier, Y. (1991), *J. Less-Common Met.* 172-174, 191-197.
- Pope, D. P. (1991), in: *Proc. Int. Symp. on Intermetallic Compounds - Structure and Mechanical Properties* (JIMIS-6); Izumi, O. (Ed.), Sendai: The Japan Institute of Metals, pp. 301-309.
- Pope, D. P., Chu, F. (1993), in: *Structural Intermetallics*: Darolia, R., Lewandowski, J. J., Liu, C. T., Martin, P. L., Miracle, D. B., Nathal, M. V. (Eds.). Warrendale, PA: TMS, pp. 637-646.
- Pope, D. P., Ezz, S. S. (1984), *Int. Met. Rev.* 29, 136-167.
- Porz, F., Grathwohl, G. (1984), *KfK-Nachr.* 16, 94-108.
- Prado, M., Sado, M., Lovey, F. (1993), *Scr. Metall. Mater.* 28, 545-548.
- Prakash, A., Pool, M. J. (1981), *J. Mater. Sci.* 16, 2495-2500.
- Prakash, U., Buckley, R. A., Jones, H. (1991a), in: *High Temperature Ordered Intermetallic Alloys IV*: Johnson, L. A., Pope, D. P., Stiegler, J. O. (Eds.). Pittsburgh, PA: MRS, pp. 691-696.
- Prakash, U., Buckley, R. A., Jones, H., Sellars, C. M. (1991b), *ISIJ Int.* 31, 1113-1126.
- Prakash, U., Buckley, R. A., Jones, H., Greenwood, G. W. (1992), *Phil. Mag. Lett.* 65, 129-132.
- Prakash, U., Buckley, R. A., Jones, H. (1993), *Mater. Sci. Technol.* 9, 16-20.
- Pregger, B. A., Kircher, T., Khan, A. (1992), *Mater. Sci. Eng. A* 153, 567-572.
- Pretorius, R., Chen, M.-C., Ras, H. A. (1985), *Mater. Lett.* 3, 282-286.
- Pu, Z., Zhu, D., Zou, D., Zhong, Z. (1992), *Scr. Metall. Mater.* 26, 213-218.
- Quyen, N. H., Paufler, P., Berthel, K.-H., Betram, M., Krämer, U., Nghiep, D. M., San Martin, A., Gladun, A., Kleinstück, K. (1979), *Phys. Status Solidi (a)* 56, 231-236.
- Rachinger, W. A., Cottrell, A. H. (1956), *Acta Metall.* 4, 109-113.
- Raghavan, V. (1987), in: *Phase Diagrams of Ternary Iron Alloys*, Part 1: Raghavan, V. (Ed.). Materials Park, OH: ASM.
- Rahmel, A., Schwenk, W. (1977), *Korrosion und Korrosionsschutz von Stählen*. Weinheim: Verlag Chemie, pp. 193-238.
- Rahmel, A., Spencer, P. J. (1991), *Oxid. Met.* 35, 53-68.
- Raj, S. V. (1992), *Metall. Trans.* 23 A, 1691-1704.

- Raj, S. V., Farmer, S. C. (1993), *Mater. Res. Soc. Symp. Proc.* 288, 647–652.
- Raj, S. V., Noebe, R. D., Locci, I. E. (1991), in: *High Temperature Ordered Intermetallic Alloys IV*: Johnson, L. A., Pope, D. P., Stiegler, J. O. (Eds.). Pittsburgh, PA: MRS, pp. 673–678.
- Raj, S. V., Hebsur, M., Locci, I. E., Doychak, J. (1992a), *J. Mater. Res.* 7, 3219–3234.
- Raj, S. V., Locci, I. E., Noebe, R. D. (1992b), *Metall. Trans.* 23A, 1705–1718.
- Rajkovic, M., Buckley, R. A. (1981), *Mater. Sci.* 15, 21–29.
- Raman, A., Schubert, K. (1965), *Z. Metallkd.* 56, 99–104.
- Ramesh, R., Vasudevan, R., Pathiraj, B., Kolster, B. H. (1992), *J. Mater. Sci.* 27, 270–278.
- Ranganath, S., Dutta, A., Subrahmanyam, J. (1991), *Scr. Metall. Mater.* 25, 1593–1596.
- Rao, K. T. V., Odette, G. R., Ritchie, R. O. (1992), *Acta Metall. Mater.* 40, 353–361.
- Rao, S. I., Dimiduk, D. M., Mendiratta, M. G. (1993), *Phil. Mag. A* 68, 1233–1249.
- Ratchev, P., Van Humbeeck, J., Delaey, L. (1993), *Scr. Metall. Mater.* 28, 231–234.
- Ray, R., Ayer, R. (1992), *J. Mater. Sci.* 27, 1642–1650.
- Raynor, G. V., Rivlin, V. G. (1983), *Int. Met. Rev.* 28, 211–227.
- Reilly, J. J. (1979), *Z. Phys. Chem. N. F.* 117, 155–184.
- Reip, C.-P. (1991), Dr rer. nat. Thesis, RWTH Aachen, pp. 1–118.
- Reip, C.-P., Sauthoff, G. (1993), *Intermetallics* 1, 159–169.
- Reuss, S., Vehoff, H. (1990), *Scr. Metall. Mater.* 24, 1021–1026.
- Reuss, S., Vehoff, H. (1992), in: *Advanced Structural Materials*, Vol. 2: Clyne, T. W., Withers, P. J. (Eds.). London: The Institute of Materials, pp. 313–320.
- Reviere, R. D., Noebe, R. D., Oliver, B. F. (1992), *Mater. Lett.* 14, 149–155.
- Ricker, R. E., Hall, D. E., Fink, J. L. (1990), *Scr. Metall. Mater.* 24, 291–296.
- Riedel, H. (1982), *Met. Sci.* 16, 569–574.
- Rigney, J. D., Khadikar, P. S., Lewandowski, J. J., Vedula, K. (1989), in: *High-Temperature Ordered Intermetallic Alloys III*: Liu, C. T., Taub, A. I., Stoloff, N. S., Koch, C. C. (Eds.). Pittsburgh, PA: Mater. Res. Soc., pp. 603–608.
- Rigney, J. D., Lewandowski, J. J., Mason, L., Mendiratta, M. G., Dimiduk, D. M. (1991), in: *High Temperature Ordered Intermetallic Alloys IV*: Johnson, L. A., Pope, D. P., Stiegler, J. O. (Eds.). Pittsburgh, PA: MRS, pp. 1001–1006.
- Rigney, J. D., Singh, P. M., Lewandowski, J. J. (1992), *J. Met.* 44(8), 36–41.
- Roberts, B. W. (1967), in: *Intermetallic Compounds*: Westbrook, J. H. (Ed.). New York: Wiley, pp. 581–613.
- Roberts, C. S. (1967), in: *Intermetallic Compounds*: Westbrook, J. H. (Ed.). New York: Wiley, pp. 569–580.
- Robertson, I. M. (1990), *Scr. Metall. Mater.* 24, 1947–1952.
- Robertson, I. M., Wayman, C. M. (1984), *Metallography* 17, 43–55.
- Rodriguez, A. B., Barth, E. P., Tien, J. K. (1991), in: *High Temperature Ordered Intermetallic Alloys IV*: Johnson, L. A., Pope, D. P., Stiegler, J. O. (Eds.). Pittsburgh, PA: MRS, pp. 539–544.
- Roh, D. W., Kim, J. W., Cho, T. J., Kim, Y. G. (1991), *Mater. Sci. Eng. A* 136, 17–23.
- Romasheva, L. F., Krentsil, R. P., Gel'd, P. V. (1980), *Sov. Phys. – Solid State* 22, 365–366.
- Ronald, T. M. F. (1989), *Adv. Mater. Processes* 5/89, 29–37.
- Rosenkranz, R., Frommeyer, G. (1992), *Z. Metallkd.* 83, 685–689.
- Rosenkranz, R., Frommeyer, G., Smarsly, W. (1992), *Mater. Sci. Eng. A* 152, 288–294.
- Rösler, J., Valencia, J. J., Levi, C. G., Evans, A. G., Mehrabian, R. (1990), in: *Intermetallic Matrix Composites*: Anton, D. L., Martin, P. L., Miracle, D. B., McMeeking, R. (Eds.). Pittsburgh, PA: MRS, pp. 241–248.
- Rowe, R. G. (1990), in: *High Temperature Aluminides and Intermetallics*: Whang, S. H., Liu, C. T., Pope, D. P., Stiegler, J. O. (Eds.). Warrendale, PA: TMS, pp. 375–401.
- Rowe, R. G., Huang, S. C. (1988), *Isr. J. Technol.* 24, 255–259.
- Rowe, R. G., Skelly, D. W. (1992), *Mater. Res. Soc. Symp. Proc.* 273, 411–416.
- Rowe, R. G., Konitzer, D. G., Woodfield, A. P., Chesnutt, J. A. (1991), in: *High Temperature Ordered Intermetallic Alloys IV*: Johnson, L. A., Pope, D. P., Stiegler, J. O. (Eds.). Pittsburgh, PA: MRS, pp. 703–708.
- Rudy, M. (1986), Dr. Ing. Thesis, RWTH Aachen, pp. 1–122.
- Rudy, M., Sauthoff, G. (1985), in: *High-Temperature Ordered Intermetallic Alloys*: Koch, C. C., Liu, C. T., Stoloff, N. S. (Eds.). Pittsburgh, PA: MRS, pp. 327–333.
- Rudy, M., Sauthoff, G. (1986), *Mater. Sci. Eng.* 81, 525–530.
- Rühle, M., Evans, A. G. (1989), *Prog. Mater. Sci.* 33, 85–167.
- Russovic, N., Henig, E.-T. (1980), *Phys. Status Solidi (a)* 57, 529–540.
- Russovic, N., Warlimont, H. (1975), in: *Shape Memory Effects in Alloys*: Perkins, J. (Ed.). New York: Plenum, pp. 467–476.
- Russovic, N., Warlimont, H. (1977), *Phys. Status Solidi (a)* 44, 609–619.
- Russovic, N., Warlimont, H. (1979), *Phys. Status Solidi* 53, 283–288.
- Russell, S. M., Law, C. C., Blackburn, M. J. (1989), in: *High Temperature Ordered Intermetallic Alloys III*: Liu, C. T., Taub, A. I., Stoloff, N. S., Koch, C. C. (Eds.). Pittsburgh, PA: MRS, pp. 627–632.

- Ryba, E. (1967), in: *High-Temperature Materials and Technology*: Campbell, I. E., Sherwood, E. M. (Eds.). New York: Wiley, pp. 455–484.
- Saada, G., Veyssiére, P. (1993a), *Mater. Res. Soc. Symp. Proc.* 288, 411–416.
- Saada, G., Veyssiére, P. (1993b), in: *Structural Intermetallics*: Darolia, R., Lewandowski, J. L., Liu, C. T., Martin, P. L., Miracle, D. B., Nathal, M. V. (Eds.). Warrendale, PA: TMS, pp. 379–391.
- Saburi, T., Nenno, S., Yamamoto, M. (1968), *Trans. JIM 9 Supplement*, 278–283.
- Saburi, T., Yoshida, M., Nenno, S. (1984), *Scr. Metall.* 18, 363–366.
- Sachs, G., Weerts, J. (1931), *Z. Phys.* 67, 507–515.
- Sadananda, K., Feng, C. R. (1993), *J. Met.* 45 (5), 45–48.
- Saeedvafa, M., Rice, J. R. (1992), *Modell. Simul. Mater. Sci. Eng.* 1, 53–71.
- Sagib, M., Mehrotra, G. M., Weiss, I., Beck, H., Lipsitt, H. A. (1990), *Scr. Metall. Mater.* 24, 1889–1894.
- Saigal, A., Kupperman, D. S. (1991), *Scr. Metall. Mater.* 25, 2547–2552.
- Sainfort, G., Mouturat, P., Pepin, P., Petit, J., Cabane, G., Salesse, M. (1963), *Mem. Sci. Rev. Metall.* LX, 125–134.
- Saito, S., Ikeda, K., Ikeda, S., Nagata, A., Noto, K. (1990), *Mater. Trans. Jpn. Inst. Met.* 31, 415–420.
- Saito, S., Kodama, T., Hanada, S. (1993), *Mater. Trans. Jpn. Inst. Met.* 34, 261–269.
- Saka, H., Zhu, Y. M., Kawase, M., Nohara, A., Imura, T. (1985), *Phil. Mag. A51*, 365–371.
- Saka, H., Hayakawa, T., Maruyama, K., Nakamura, M., Mizutani, H., Nakamura, E. (1991), in: *Proc. Int. Symp. on Intermetallic Compounds – Structure and Mechanical Properties* (JIMIS-6): Izumi, O. (Ed.). Sendai: The Japan Institute of Metals, pp. 651–654.
- Sakai, T., Hazama, T., Miyamura, H., Kuriyama, N., Kato, A., Ishikawa, H. (1991), *J. Less-Common Met.* 172–174, 1175–1184.
- Sakamoto, H., Sugimoto, K., Nakamura, Y., Tanaka, A., Shimizu, K. (1991), *Mater. Trans. Jpn. Inst. Met.* 32, 128–134.
- Sakamoto, K., Yoshikawa, K., Kusamichi, T., Onoye, T. (1992), *ISIJ Int.* 32, 616–624.
- Sakata, T., Nishida, I. (1976), *Bull. Jpn. Inst. Met.* 15, 11–21.
- Sakata, T., Tokushima, T. (1963), *Trans. Natl. Res. Inst. Met. (Jpn.)* 5, 34–48.
- Sampath, S., Tiwari, R., Gudmundsson, B., Herman, H. (1991), *Scr. Metall. Mater.* 25, 1425–1430.
- Samonov, G. V., Vinitskii, I. M. (1980), *Handbook of Refractory Compounds*. New York: IFI/Plenum, pp. 1–155.
- San Martin, A., Nghiep, D. M., Paufler, P., Kleinstück, K., Krämer, U., Quyen, N. H. (1980), *Scr. Metall.* 14, 1041–1045.
- San Martin, A., Kleinstück, K., Quyen, N. H., Paufler, P. (1983), *Phys. Status Solidi (a)* 80, K171–K173.
- Saunders, P. G., Sikka, V. K., Howell, C. R., Baldwin, R. H. (1991), *Scr. Metall. Mater.* 25, 2365–2370.
- Santella, M. L. (1993), *Scr. Metall. Mater.* 28, 1305–1310.
- Saule, F., Ahlers, M., Kropf, F., Rivero, E. B. (1992), *Acta Metall. Mater.* 40, 3229–3238.
- Sanders, N., Chandrasekarun, L. (1992), *J. Phase Equilibria* 13, 612–619.
- Sauthoff, G. (1973a), *Scr. Metall.* 7, 1041–1042.
- Sauthoff, G. (1973b), *Acta Metall.* 21, 273–279.
- Sauthoff, G. (1986), *Z. Metallkd.* 77, 654–666.
- Sauthoff, G. (1989), *Z. Metallkd.* 80, 337–344.
- Sauthoff, G. (1990a), *Z. Metallkd.* 81, 855–861.
- Sauthoff, G. (1990b), in: *High-Temperature Aluminides and Intermetallics*: Whang, S. H., Liu, C. T., Pope, D. P., Stiegler, J. O. (Eds.). Warrendale, PA: TMS, pp. 329–352.
- Sauthoff, G. (1991a), in: *Proc. Inst. Symp. on Intermetallic Compounds – Structure and Mechanical Properties* (JIMIS-6): Izumi, O. (Ed.). Sendai: The Japan Institute of Metals, pp. 371–378.
- Sauthoff, G. (1991b), in: *Microstructure and Mechanical Properties of Materials*: Tenckhoff, E., Vöhringer, O. (Eds.). Oberursel: Deutsche Gesellschaft für Materialkunde, pp. 141–149.
- Sauthoff, G. (1992), in: *Ordered Intermetallics – Physical Metallurgy and Mechanical Behaviour*: Liu, C. T., Cahn, R. W., Sauthoff, G. (Eds.). Dordrecht: Kluwer, pp. 525–539.
- Sauthoff, G. (1993a), in: *Structural Intermetallics*: Darolia, R. (Ed.). Warrendale, PA: TMS, pp. 845–860.
- Sauthoff, G. (1993b), in: *Diffusion in Ordered Alloys and Intermetallic Compounds*: Fultz, B., Cahn, R. W., Gupta, D. (Eds.). Warrendale, PA: TMS, pp. 205–221.
- Sauthoff, G. (1994), in: *Intermetallic Compounds: Principles and Practice*: Westbrook, J. H., Fleischer, R. L. (Eds.). Chichester, UK: Wiley.
- Sauthoff, G., Speller, W. (1982), *Z. Metallkd.* 73, 35–42.
- Schaefer, H.-E., Sob, M., Zak, T., Yu, W. Z., Eckert, W., Banhart, F. (1990), *Phys. Rev. B* 41, 11869–11874.
- Schaefer, H.-E., Würschum, R., Bub, J. (1992), *Mater. Sci. Forum* 105–110, 439–450.
- Schaeffer, J. C. (1993), *Scr. Metall. Mater.* 28, 791–796.
- Schäfer, H., Eisenmann, B., Müller, W. (1987), *Angew. Chem.* 85, 871–875.
- Schafrik, R. (1977), *Metall. Trans. 8A*, 1003–1006.
- Schlitz, R. J., Jr., Smith, J. F. (1974), *J. Appl. Phys.* 45, 4681–4685.
- Schlappbach, L., Seiler, A., Stucki, F., Zürcher, P., Fischer, P., Schefer, J. (1979), *Z. Phys. Chem. N. F.* 117, 205–220.
- Schlatte, G., Pitsch, W. (1976), *Z. Metallkd.* 67, 462–466.
- Schlichting, J. (1986), in: *Encyclopedia of Materials Science and Engineering*, Vol. 6: Bever, M. B. (Ed.). Oxford: Pergamon, pp. 4401–4403.

- Schmid, E. E., von Oldenburg, K., Frommeyer, G. (1990), *Z. Metallkd.* 81, 809–815.
- Schmidt, B., Nagpal, P., Baker, I. (1989), in: *High-Temperature Ordered Intermetallic Alloys III*: Liu, C. T., Taub, A. I., Stoloff, N. S., Koch, C. C. (Eds.), Pittsburgh, PA: MRS, pp. 755–760.
- Schmidt, P. C. (1987), *Struct. Bonding* 65, 92–133.
- Schmidt, R. D., Ferris, D. P. (1975), *Wear* 32, 279–289.
- Schmidt-Mende, P., Block, G. (1989), in: *The Martensitic Transformation in Science and Technology*: Hornbogen, E., Jost, N. (Eds.). Oberursel: DGM, pp. 245–248.
- Schneibel, J. H., Hazzledine, P. M. (1992), in: *Ordered Intermetallics – Physical Metallurgy and Mechanical Behaviour*: Liu, C. T., Cahn, R. W., Sauthoff, G. (Eds.). Dordrecht: Kluwer, pp. 565–581.
- Schneibel, J. H., Jenkins, M. G. (1993), *Scr. Metall. Mater.* 28, 389–393.
- Schneibel, J. H., Petersen, G. F., Liu, C. T. (1986), *J. Mater. Res.* 1, 68–72.
- Schneibel, J. H., Becher, P. F., Horton, J. A. (1988), *J. Mater. Res.* 3, 1272–1276.
- Schneibel, J. H., Horton, J. A., Porter, W. D. (1992a), *Mater. Sci. Eng. A* 152, 126–131.
- Schneibel, J. H., Grahle, P., Rösler, J. (1992b), *Mater. Sci. Eng. A* 153, 684–690.
- Schneibel, J. H., Darolia, R., Lahrman, D. F., Schmauder, S. (1993a), *Metall. Trans.* 24A, 1363–1371.
- Schneibel, J. H., Jenkins, M. G., Maziasz, P. J. (1993b), *Mater. Res. Soc. Symp. Proc.* 288, 549–554.
- Schob, O., Nowotny, H., Benesovsky, F. (1962), *Planseeber. Pulvermetall.* 10, 65–71.
- Schock, G. (1993), *Phil. Mag. Lett.* 67, 193–201.
- Schrewelius, N., Magnusson, B. (1966), *Ind. Heat.* 33, 1050–1056.
- Schroeder, T. A., Cornelis, I., Wayman, C. M. (1976), *Metall. Trans.* 7A, 535–541.
- Schröer, W., Mecking, H., Hartig, C. (1991), in: *Proc. Int. Symp. on Intermetallic Compounds – Structure and Mechanical Properties* (JIMIS-6): Izumi, O. (Ed.). Sendai: The Japan Institute of Metals, pp. 567–571.
- Schröer, W., Hartig, C., Mecking, H. (1993), *Z. Metallkd.* 84, 294–300.
- Schubert, K. (1967), in: *Intermetallic Compounds*: Westbrook, J. H. (Ed.). New York: Wiley, pp. 100–120.
- Schlund, E. M. (1984), *Int. Metals Rev.* 29, 195–209.
- Schlund, E. M. (1985), in: *High-Temperature Ordered Intermetallic Alloys*: Koch, C. C., Liu, C. T., Stoloff, N. S. (Eds.). Pittsburgh, PA: Materials Research Society, pp. 193–204.
- Schultz, P. A., Davenport, J. W. (1992), *Scr. Metall. Mater.* 27, 629–634.
- Schultz, P. A., Davenport, J. W. (1993), *J. Alloys Compd.* 197, 229–242.
- Schulze, G. E. R. (1967), *Metallphysik*. Berlin: Akademie-Verlag, pp. 1–76.
- Schulze, G. E. R. (1972), in: *Reinststoffe in Wissenschaft und Technik*. Berlin: Akademie-Verlag, pp. 641–653.
- Schulze, G. E. R., Paufler, P. (1972), *Abh. Sächs. Akad. Wiss. Leipzig, Math.-Naturwiss. Kl.* 51 (5), 4–24.
- Schulze, G. E. R., Leitner, G., Paufler, P. (1973), in: *Redkozemelnye Metally, Splavy i Soedineniya*. Moscow: Nauka, pp. 137–142.
- Schulze, K., Müller, G., Petzow, G. (1990), *J. Less-Common Met.* 158, 71–79.
- Schuster, J. C., Ipser, H. (1990), *Z. Metallkd.* 81, 389–396.
- Schwartz, D. S., Lederich, R. J., Deuser, D. A. (1993), *Mater. Res. Soc. Symp. Proc.* 288, 1075–1080.
- Schwarz, R. B., Desch, P. B., Srinivasan, S., Nash, P. (1992), *Nanostruct. Mater.* 1, 37–42.
- Schwarzkopf, P., Kieffler, R. (1953), *Refractory Hard Metals*. New York: Macmillan, pp. 1–426.
- Seeger, J., Mecking, H. (1993), *Scr. Metall. Mater.* 29, 13–18.
- Segui, C., Cesari, E., Van Humbeek, J. (1991), *Mater. Trans. Jpn. Inst. Met.* 32, 898–904.
- Semiatin, S. L., Nekkanti, R., Alam, M. K., McQuay, P. A. (1993), *Metall. Trans.* 24A, 1295–1306.
- Sen Gupta, R., Chatterjee, S. (1986), *J. Phys. F* 16, 733–738.
- Sepiol, B., Vogl, G. (1993), *Phys. Rev. Lett.* 71, 731–734.
- Sha, W., Cerezo, A., Smith, G. D. W. (1993), *Metall. Trans.* 24A, 1251–1265.
- Shaffer, P. T. B. (1964), *Materials Index*. New York: Plenum, pp. 1–740.
- Shah, D. M., Anton, D. L. (1991), in: *High Temperature Ordered Intermetallic Alloys IV*: Johnson, L. A., Pope, D. P., Siegler, J. O. (Eds.). Pittsburgh, PA: MRS, pp. 733–738.
- Shah, D. M., Anton, D. L. (1992a), *Mater. Sci. Eng. A* 153, 402–409.
- Shah, D. M., Anton, D. L. (1992b), *Mater. Res. Soc. Symp. Proc.* 273, 385–398.
- Shah, D. M., Anton, D. L. (1993), in: *Structural Intermetallics*: Darolia, R., Lewandowski, J. J., Liu, C. T., Martin, P. L., Miracle, D. B., Nathal, M. V. (Eds.). Warrendale, PA: TMS, pp. 755–764.
- Shah, D. M., Anton, D. L., Musson, C. W. (1990), in: *Intermetallic Matrix Composites*: Anton, D. L., Martin, P. L., Miracle, D. B., McMeeking, R. (Eds.). Pittsburgh, PA: MRS, pp. 333–340.
- Shah, M., Pettifor, D. G. (1993), *J. Alloys Compd.* 197, 145–152.
- Shan, A., Lin, D. (1992), *Scr. Metall. Mater.* 27, 95–99.
- Shankar, S., Seigle, L. L. (1978), *Metall. Trans.* 9A, 1467–1476.
- Shannette, G. W., Smith, J. F. (1969), *J. Appl. Phys.* 40, 79–82.
- Shao, Y., Gu, S., Chen, N. (1991), in: *Proc. Int. Symp. on Intermetallic Compounds – Structure and*

- Mechanical Properties* (JIMIS-6): Izumi, O. (Ed.). Sendai: The Japan Institute of Metals, pp. 585–589.
- Sharp, J. H. (1991), *Met. Mater.* 7, 349–354.
- Shastikala, H. D., Suryanarayana, S. V., Murthy, K. S. N. (1989), *J. Less-Common Met.* 155, 23–29.
- Shea, M., Castagne, A., Stoloff, N. S. (1991), in: *High Temperature Ordered Intermetallic Alloys IV*: Johnson, L. A., Pope, D. P., Stiegler, J. O. (Eds.). Pittsburgh, PA: MRS, pp. 609–616.
- Shechtman, D., Jacobson, L. A. (1975), *Metall. Trans. 6 A*, 1325–1328.
- Shechtman, D., Blackburn, M. J., Lipsitt, H. A. (1974), *Metall. Trans. 5*, 1373–1381.
- Sherby, O. D., Burke, P. M. (1967), *Prog. Mater. Sci.* 13, 325–390.
- Sherman, M., Vedula, K. (1986), *J. Mater. Sci.* 21, 1974–1980.
- Shida, Y., Anada, H. (1993), *Mater. Trans. Jpn. Inst. Met.* 34, 236–242.
- Shih, D. S., Scarr, G. K., Wasielewski, G. E. (1989), *Scr. Metall.* 23, 973–978.
- Shimizu, K., Tadaki, T. (1992), *Mater. Trans. Jpn. Inst. Met.* 33, 165–177.
- Shimokawa, T., Hosomi, M., Inui, H., Yamaguchi, M. (1991), in: *Proc. Int. Symp. on Intermetallic Compounds – Structure and Mechanical Properties* (JIMIS-6): Izumi, O. (Ed.). Sendai: The Japan Institute of Metals, pp. 661–665.
- Shindo, D., Kikuchi, M., Hirabayashi, M., Hanada, S., Izumi, O. (1988), *Trans. JIM* 29, 956–961.
- Shindo, D., Yoo, M. H., Hanada, S., Hiraga, K. (1991), *Phil. Mag. A* 64, 1281–1290.
- Shirai, Y., Yamaguchi, M. (1992), *Mater. Sci. Eng. A* 152, 173–181.
- Shondi, S., Hoagland, R. G., Hirth, J. P. (1992), *Mater. Sci. Eng. A* 152, 103–107.
- Shull, R. D., Cline, J. P. (1990), *High Temp. Sci.* 26, 95–117.
- Shyue, J., Hou, D.-H., Johnson, S., Aindow, M., Fraser, H. (1993), *Mater. Res. Soc. Symp. Proc.* 288, 573–578.
- Sicking, G., Jungblut, B. (1983), *Surf. Sci.* 127, 255–270.
- Sicking, G., Magomedbekov, E., Hempelmann, R. (1981), *Ber. Bunsenges. Phys. Chem.* 85, 686–692.
- Sigl, L. S., Matagu, P. A., Daigleish, B. J., McMeeking, R. M., Evans, A. G. (1988), *Acta Metall.* 36, 945–953.
- Sikka, V. K. (1988), in: *2nd International SAMPE Metals and Metals Processing Conference*, Vol. 2 – *Space Age Metals Technology*: Froes, F. H., Cull, R. A. (Eds.). Covina, CA: SAMPE, pp. 62–75.
- Sikka, V. K. (1989), *Mater. Manufact. Processes* 4, 1–24.
- Sikka, V. K. (1990), in: *High-Temperature Aluminides and Intermetallics*: Whang, S. H., Liu, C. T., Pope, D. P., Stiegler, J. O. (Eds.). Warrendale, PA: TMS, pp. 505–520.
- Sikka, V. K. (1991), in: *High Temperature Ordered Intermetallic Alloys IV*: Johnson, L. A., Pope, D. P., Stiegler, J. O. (Eds.). Pittsburgh, PA: MRS, pp. 907–912.
- Sikka, V. K., Baldwin, R. H., Reinshagen, J. H., Knibloe, J., Wright, R. N. (1991), in: *High Temperature Ordered Intermetallic Alloys IV*: Johnson, L. A., Pope, D. P., Stiegler, J. O. (Eds.). Pittsburgh, PA: MRS, pp. 901–906.
- Sikka, V. K., Viswanathan, S., McKamey, C. G. (1993a), in: *Structural Intermetallics*: Darolia, R., Lewandowski, J. J., Liu, C. T., Martin, P. L., Miracle, D. B., Nathal, M. V. (Eds.). Warrendale, PA: TMS, pp. 483–491.
- Sikka, V. K., Viswanathan, S., Vyas, S. (1993b), *Mater. Res. Soc. Symp. Proc.* 288, 971–976.
- Silverman, R. (1956), WADC Technical Report 53–190, 1–41.
- Simmons, J. P., Rao, S. I., Dimiduk, D. M. (1993), *Mater. Res. Soc. Symp. Proc.* 288, 335–342.
- Singh, A., Khokle, W. S. (1987), *Phys. Status Solidi (a)* 100, K25–K29.
- Sinha, A. K. (1973), *Prog. Mater. Sci.* 15, 79–181.
- Sizek, II. W., Gray, G. T., III (1993), *Acta Metall. Mater.* 41, 1855–1860.
- Skolozdra, R. V., Gladyshevskii, E. I., Kripyakevich, P. I. (1966a), *Ukrain. Fiz. Zhur.* 11 (2), 206–208.
- Skolozdra, R. V., Gladyshevskii, E. I., Yarmolyuk, Y. P. (1966b), *Izv. Akad. Nauk SSSR, Metal.* (5), 148–151.
- Slama, G., Vignes, A. (1972), *J. Less-Common Met.* 24, 189–202.
- Sluiter, M., De Fontaine, D., Guo, X.-Q., Podloucky, R., Freeman, A. J. (1990), *Phys. Rev. B* 42, 10460–10476.
- Sluiter, M., Turchi, P. E. A., Pinski, F. J., Stocks, G. M. (1992), *Mater. Sci. Eng. A* 152, 1–8.
- Smathers, D. B. (1990), in: *Metals Handbook – Vol. 2: Properties and Selection: Nonferrous Alloys and Special-Purpose Materials*: Davis, J. R., Allen, P., Lampman, S. R., Zorc, T. B., Henry, S. D., Daquila, J. L., Ronke, A. W., Jakel, J., O'Keefe, K. L. (Eds.). Materials Park, OH ASM, pp. 1060–1076.
- Smialek, J. L., Hehemann, R. F. (1973), *Metall. Trans.* 4, 1571–1575.
- Smialek, J. L., Humphrey, D. L. (1992), *Scr. Metall. Mater.* 26, 1763–1768.
- Smialek, J. L., Doychak, J., Gaydosh, D. J. (1989), in: *Oxidation of High-Temperature Intermetallics*: Grobstein, T., Doychak, J. (Eds.). Warrendale, PA: TMS, pp. 83–96.
- Smialek, J. L., Doychak, J., Gaydosh, D. J. (1990a), *Oxid. Met.* 34, 259–275.
- Smialek, J. L., Gedwill, M. A., Brindley, P. K. (1990b), *Scr. Metall. Mater.* 24, 1291–1296.
- Smirnova, S. V., Meshkov, L. L. (1986), *Phys. Met. Metall.* 61 (5), 189–192.
- Smith, L. S., Aindow, M., Loretto, M. H. (1993), *Mater. Res. Soc. Symp. Proc.* 288, 477–482.

- Smith, T. R., Kallingal, C. G., Rajan, K., Stoloff, N. S. (1992), *Scr. Metall. Mater.* 27, 1389–1393.
- Snead, C. L., Jr., Bussière, J. F. (1985), *Phil. Mag. A* 52, 441–450.
- Soboyejo, W. O., Venkateswara Rao, K. T., Sastry, S. M. L., Ritchie, R. O. (1993), *Metall. Trans. 24A*, 385–500.
- Somenkov, V. A., Shilstein, S. S. (1979), *Z. Phys. Chem. N. F.* 117, 125–144.
- Sondhi, S., Hoagland, R. G., Hirth, J. P., Brimhall, J. L., Chariot, L. A., Bruemmer, S. M. (1993), *Mater. Res. Soc. Symp. Proc.* 288, 453–458.
- Soscia, G. B., Wright, R. N. (1986), *Metall. Trans. 17A*, 519–525.
- Sowers, S., Banko, A., Bennett, D., Nesbit, S., Craft, A. (1992), *Scr. Metall. Mater.* 26, 273–276.
- Sprengel, W., Denkinger, M., Mehrer, H. (1994), *Intermetallics* 2, 127–135, 137–146.
- Sridharan, S., Nowotny, H. (1983), *Z. Metallkd.* 74, 468–472.
- Srinivasan, S. R., Schwarz, R. B. (1992), *J. Mater. Res.* 7, 1610–1613.
- Srinivasan, S. R., Schwarz, R. B., Embury, J. D. (1993), *Mater. Res. Soc. Symp. Proc.* 288, 1099–1104.
- Sriram, S., Vasudevan, V. K., Dimiduk, D. M. (1993), *Mater. Res. Soc. Symp. Proc.* 288, 737–742.
- Stadelmaier, H. H., Henig, E.-T., Schneider, G., Petzow, B. (1988), *Z. Metallkd.* 79, 313–319.
- Stadelmaier, H. H., Henig, E.-T., Petzow, G. (1991), *Z. Metallkd.* 82, 163–168.
- Stalmans, R., Van Humbeeck, J., Delaey, L. (1992a), *Acta Metall. Mater.* 40, 501–511.
- Stalmans, R., Van Humbeeck, J., Delaey, L. (1992b), *Acta Metall. Mater.* 40, 2921–2931.
- Stalmans, R., Van Humbeeck, J., Delaey, L. (1992c), *Mater. Trans. Jpn. Inst. Met.* 33, 289–293.
- Steinhorst, M. (1989), Dr.-Ing. Thesis, Universität Dortmund.
- Steinhorst, M. (1992), *J. Alloys Compd.* 186, 177–185.
- Steinhorst, M., Grabke, H. J. (1989), *Mater. Sci. Eng. A* 120, 55–59.
- Steinhorst, M., Grabke, H. J. (1990), *Z. Metallkd.* 81, 732–738.
- Stekly, J., Gregory, E. (1994), in: *Intermetallic Compounds: Principles and Practice*, Vol. 2: Westbrook, J. H., Fleischer, R. L. (Eds.), Chichester, UK: Wiley, in press.
- Stepanov, A. P., Skripov, A. B. (1982), *Phys. Met. Metall.* 53(6), 166–168.
- Stephens, J. R. (1985), in: *High-Temperature Ordered Intermetallic Alloys*: Koch, C. C., Liu, C. T., Stoloff, N. S. (Eds.), Pittsburgh, PA: MRS, pp. 381–395.
- Stephens, J. R. (1990), *Adv. Mater. Processes* 4/90, 35–38.
- Stöckel, D. (1989), in: *The Martensitic Transformation in Science and Technology*: Hornbogen, E., Jost, N. (Eds.), Oberursel: DGM, pp. 223–230.
- Stocks, G. M., Nicholson, D. M., Pinski, F. J., Butler, W. H., Sterne, P., Temmerman, T. M., Györfy, B. L., Johnson, D. D., Gonis, A., Zhang, X.-G., Turchi, P. E. A. (1987), in: *High-Temperature Ordered Intermetallic Alloys II*: Stoloff, N. S., Koch, C. C., Liu, C. T., Izumi, O. (Eds.), Pittsburgh, PA: MRS, pp. 15–26.
- Stocks, G. M., Shelton, W. A., Nicholson, D. M., Pinski, F. J., Ginatempo, B., Barbieri, A., Györfy, B. L., Johnson, D. D., Staunton, J. B., Turchi, P. E. A., Sluiter, M. (1992), in: *Ordered Intermetallics – Physical Metallurgy and Mechanical Behaviour*: Liu, C. T., Cahn, R. W., Sauthoff, G. (Eds.), Dordrecht: Kluwer, pp. 15–36.
- Stoeckel, D. (1990), *Adv. Mater. Processes* 10/90, 33–42.
- Stoloff, N. S. (1984), *Int. Metals. Rev.* 29, 123–135.
- Stoloff, N. S. (1989), *Int. Mater. Rev.* 34, 153–183.
- Stoloff, N. S. (1992), in: *Ordered Intermetallics – Physical Metallurgy and Mechanical Behaviour*: Liu, C. T., Cahn, R. W., Sauthoff, G. (Eds.), Dordrecht: Kluwer, pp. 257–277.
- Stoloff, N. S., Davies, R. G. (1964), *Acta Metall.* 12, 473–485.
- Stoloff, N. S., Davies, R. G. (1966), *Prog. Mater. Sci.* 13, 3–84.
- Stoloff, N. S., Duquette, D. J. (1993), *J. Met.* 45 (12), 30–35.
- Stoloff, N. S., Choe, S. J., Rajan, K. (1992), *Scr. Metall. Mater.* 26, 331–336.
- Stoloff, N. S., Smith, T. R., Castagna, A. (1993), *Mater. Res. Soc. Symp. Proc.* 288, 59–70.
- Stonehouse, A. J., Marder, J. M. (1990), in: *Metals Handbook*, Vol. 2 – Properties and Selection: Non-ferrous Alloys and Special Purpose Materials: Davis, J. R., Allen, P., Lampman, S. R., Zore, T. B., Henry, S. D., Daquila, J. L., Ronke, A. W., Jakel, J., O'Keefe, K. L. (Eds.). Materials Park, OH: ASM, pp. 683–687.
- Stonehouse, A. J., Paine, R. M., Beaver, W. W. (1960), in: *Mechanical Properties of Intermetallic Compounds*: Westbrook, J. H. (Ed.). New York: Wiley, pp. 297–319.
- Stoner, S. L., Oliver, W. C., Mukherjee, A. K. (1992), *Mater. Sci. Eng. A* 153, 465–469.
- Strangwood, M., Bennett, M. J., Hippisley, C. A., Tweed, J. H. (1992), in: *Advanced Structural Materials*, Vol. 2: Clyne, T. W., Withers, P. J. (Eds.). London: The Institute of Materials, pp. 340–348.
- Srinai, K. J. (1990), *Proc. IEEE* 78, 923–946.
- Strum, M. J., Henshall, G. A. (1993), *Mater. Res. Soc. Symp. Proc.* 288, 1093–1098.
- Strutt, P. R., Dodd, R. A. (1970), in: *Ordered Alloys – Structural Applications and Physical Metallurgy*: Kear, B. H., Sims, C. T., Stoloff, N. S., Westbrook, J. H. (Eds.), Baton Rouge, LA: Claitor's Publ. Div., pp. 475–504.
- Strutt, P. R., Kear, B. H. (1985), in: *High-Temperature Ordered Intermetallic Alloys*: Koch, C. C., Liu, C. T., Stoloff, N. S. (Eds.), Pittsburgh, PA: MRS, pp. 279–292.

- Strutt, P. R., Polvani, R. S. (1973), *Scr. Metall.* 7, 1221–1226.
- Strutt, P. R., Polvani, R. S., Ingram, J. C. (1976), *Metall. Trans.* 7A, 23–31.
- Stucke, M. A., Dimiduk, D. M., Hazzledine, P. M. (1993), *Mater. Res. Soc. Symp. Proc.* 288, 471–476.
- Subrahmanyam, J., Annapurna, J. (1986), *Oxid. Met.* 26, 275–294.
- Subramanian, P. R., Simmons, J. P. (1991), *Scr. Metall. Mater.* 25, 231–236.
- Subramanian, P. R., Mendiratta, M. G., Miracle, D. B., Dimiduk, D. M. (1990a), in: *Intermetallic Matrix Composites*: Anton, D. L., Martin, P. L., Miracle, D. B., McMeeking, R. (Eds.). Pittsburgh, PA: MRS, pp. 147–154.
- Subramanian, P. R., Miracle, D. B., Mazdiyasni, S. (1990b), *Metall. Trans.* 21A, 539–545.
- Suganuma, K. (1993), *J. Alloys Compd.* 197, 29–34.
- Sun, J., Lin, D. (1993), *Mater. Res. Soc. Symp. Proc.* 288, 349–354.
- Sun, Z. Q., Huang, Y. D., Yang, W. Y., Chen, G. L. (1993), *Mater. Res. Soc. Symp. Proc.* 288, 885–890.
- Suryanarayana, C., Froes, F. H., Rowe, R. G. (1991), *Int. Mater. Rev.* 36, 85–123.
- Suyama, R., Hashimoto, K. (1992), in: *Basic Technologies for Future Industries: The 3rd Symposium on High-Performance Materials for Severe Environments*: RIMCOF (Ed.). Tokyo: Japan Industrial Technology Association (JITA), pp. 141–149.
- Suyama, R., Kimura, M., Hashimoto, K. (1993), in: *Structural Intermetallics*: Darolia, R., Lewandowski, J. J., Liu, C. T., Martin, P. L., Miracle, D. B., Nathal, M. V. (Eds.). Warrendale, PA: TMS, pp. 681–689.
- Suzuki, K., Lin, X. (1993), *J. Alloys Compd.* 193, 7–10.
- Suzuki, K., Takeuchi, S. (1993), *Intermetallics* 1, 21–27.
- Suzuki, M., Nutt, S. R., Aikin, R. M., Jr. (1992), *Mater. Res. Soc. Symp. Proc.* 273, 267–274.
- Suzuki, T., Mishima, Y., Miura, S. (1989), *ISIJ Int.* 29, 1–23.
- Suzuki, T., Goto, M., Yoshihara, M., Tanaka, R. (1991), *Mater. Trans. Jpn. Inst. Met.* 32, 1017–1023.
- Svedberg, R. C. (1976), in: *Properties of High Temperature Alloys*: Fotoullis, Z. A., Pettit, F. S. (Eds.). Princeton: The Electrochemical Society, pp. 331–362.
- Szaruga, A., Rothenflue, L., Srinivasan, R., Lipsitt, H. A. (1992), *Scr. Metall. Mater.* 26, 1565–1570.
- Tachikawa, K., Terada, M., Endo, M. (1992), *Sci. Rep. Tohoku Univ.* 37, 1, 108–115.
- Tadaki, T., Takamori, M., Shimizu, K. (1987), *Trans. JIM* 28, 120–128.
- Takahashi, S., Umakoshi, Y. (1991), in: *Proc. Int. Symp. on Intermetallic Compounds – Structure and Mechanical Properties* (JIMIS-6): Izumi, O. (Ed.). Sendai: The Japan Institute of Metals, pp. 93–97.
- Takahashi, T., Oikawa, H. (1991), in: *High Temperature Ordered Intermetallic Alloys IV*: Johnson, L. A., Pope, D. P., Stieglar, J. O. (Eds.). Pittsburgh, PA: MRS, pp. 721–726.
- Takasugi, T. (1991a), in: *High Temperature Ordered Intermetallic Alloys IV*: Johnson, L. A., Pope, D. P., Stieglar, J. O. (Eds.). Pittsburgh, PA: MRS, pp. 403–416.
- Takasugi, T. (1991b), *Acta Metall. Mater.* 39, 2157–2167.
- Takasugi, T. (1991c), in: *Proc. Int. Symp. on Intermetallic Compounds – Structure and Mechanical Properties* (JIMIS-6): Izumi, O. (Ed.). Sendai: The Japan Institute of Metals, pp. 713–718.
- Takasugi, T., Izumi, O. (1985a), *Acta Metall.* 33, 33–38.
- Takasugi, T., Izumi, O. (1985b), *Acta Metall.* 33, 39–48.
- Takasugi, T., Izumi, O. (1985c), *Acta Metall.* 33, 49–58.
- Takasugi, T., Izumi, O. (1985d), *Acta Metall.* 33, 1247–1258.
- Takasugi, T., Izumi, O. (1986), *Acta Metall.* 34, 607–618.
- Takasugi, T., Izumi, O. (1988), *J. Mater. Sci.* 23, 1265–1273.
- Takasugi, T., Izumi, O. (1992), in: *Ordered Intermetallics – Physical Metallurgy and Mechanical Behaviour*: Liu, C. T., Cahn, R. W., Sauthoff, G. (Eds.). Dordrecht: Kluwer, pp. 391–411.
- Takasugi, T., Yoshida, M. (1991a), *J. Mater. Sci.* 26, 3032–3040.
- Takasugi, T., Yoshida, M. (1991b), *J. Mater. Sci.* 26, 3517–3525.
- Takasugi, T., Yoshida, M. (1992), *Phil. Mag. A* 65, 613–624.
- Takasugi, T., Yoshida, M. (1993), *Phil. Mag. A* 67, 447–462.
- Takasugi, T., Hirakawa, S., Izumi, O., Ono, S., Watanabe, S. (1987), *Acta Metall.* 35, 2015–2026.
- Takasugi, T., Takazawa, M., Izumi, O. (1990a), *J. Mater. Sci.* 25, 4226–4230.
- Takasugi, T., Takazawa, M., Izumi, O. (1990b), *J. Mater. Sci.* 25, 4231–4238.
- Takasugi, T., Tsurasaki, K., Izumi, O., Ono, S. (1990c), *Phil. Mag. A* 61, 785–800.
- Takasugi, T., Izumi, O., Yoshida, M. (1991a), *J. Mater. Sci.* 26, 2941–2948.
- Takasugi, T., Izumi, O., Yoshida, M. (1991b), *J. Mater. Sci.* 26, 1173–1178.
- Takasugi, T., Rikukawa, S., Hanada, S. (1991c), *Scr. Metall. Mater.* 25, 889–894.
- Takasugi, T., Suegawa, H., Izumi, O. (1991d), *J. Mater. Sci.* 26, 1179–1186.
- Takasugi, T., Yoshida, M., Hanada, S. (1991e), in: *Proc. Int. Symp. on Intermetallic Compounds – Structure and Mechanical Properties* (JIMIS-6): Izumi, O. (Ed.). Sendai: The Japan Institute of Metals, pp. 615–620.

- Takasugi, T., Rikukawa, S., Hanada, S. (1992a), *Acta Metall. Mater.* 40, 1895–1906.
- Takasugi, T., Yoshida, M., Kawabata, T. (1992b), *Phil. Mag. A* 65, 29–40.
- Takasugi, T., Kishino, J., Hanada, S. (1993a), *Mater. Res. Soc. Symp. Proc.* 288, 459–464.
- Takasugi, T., Kishino, J., Hanada, S. (1993b), *Acta Metall. Mater.* 41, 1009–1020.
- Takasugi, T., Kisibino, J., Hanada, S. (1993c), *Acta Metall. Mater.* 41, 1021–1031.
- Takeuchi, S., Hashimoto, T., Shibuya, T. (1991), in: *Proc. Int. Symp. on Intermetallic Compounds – Structure and Mechanical Properties* (JIMIS-6): Izumi, O. (Ed.), Sendai: The Japan Institute of Metals, pp. 645–649.
- Takeuchi, S., Hashimoto, T., Shibuya, T. (1992), *J. Mater. Sci.* 27, 1380–1384.
- Takeyama, M., Liu, C. T. (1991), *Mater. Sci. Eng. A* 132, 61–66.
- Takeyama, M., Liu, C. T. (1992), *Mater. Sci. Eng. A* 153, 538–547.
- Takeyama, M., Liu, C. T., Sparks, C. J., Jr. (1991), in: *Proc. Int. Symp. on Intermetallic Compounds – Structure and Mechanical Properties* (JIMIS-6): Izumi, O. (Ed.), Sendai: The Japan Institute of Metals, pp. 871–875.
- Takeyama, M., Kumagai, T., Nakamura, M., Kikuchi, M. (1993), in: *Structural Intermetallics*: Darolia, R., Lewandowski, J. J., Liu, C. T., Martin, P. L., Miracle, D. B., Nathal, M. V. (Eds.). Warrendale, PA: TMS, pp. 167–176.
- Tammann, G. (1903), *Z. Anorg. Chem.* 37, 303–313.
- Tammann, G. (1906), *Z. Anorg. Chem.* 49, 113–121.
- Tammann, G. (1932), *Lehrbuch der Metallkunde*. Leipzig: Leopold Voss, pp. 1–536.
- Tammann, G., Dahl, K. (1923), *Z. Anorg. Chem.* 126, 104–112.
- Tamura, K. (1961), *J. Jpn. Soc. Powder Metall.* 8, 113–120.
- Tan, Y., Shinoda, T., Mishima, Y., Suzuki, T. (1993), *Mater. Res. Soc. Symp. Proc.* 288, 757–762.
- Taniguchi, S., Shibata, T. (1987), *Oxid. Met.* 28, 155–164.
- Taniguchi, S., Shibata, T. (1989), in: *Oxidation of High-Temperature Intermetallics*: Grobstein, T., Doychak, J. (Eds.). Warrendale, PA: TMS, pp. 17–30.
- Taniguchi, S., Shibata, T., Itoh, S. (1991a), *Mater. Trans. Jpn. Inst. Met.* 32, 151–156.
- Taniguchi, S., Shibata, T., Takeuchi, K. (1991b), *Mater. Trans. Jpn. Inst. Met.* 32, 299–301.
- Tanner, L. E., Pelton, A. R., VanTendeloo, G., Schryvers, D., Wall, M. E. (1990), *Scr. Metall. Mater.* 24, 1731–1736.
- Tassa, O., Testani, C., Lecoze, J., Lefort, A. (1991), in: *Proc. Int. Symp. on Intermetallic Compounds – Structure and Mechanical Properties* (JIMIS-6): Izumi, O. (Ed.), Sendai: The Japan Institute of Metals, pp. 573–577.
- Tawancy, H. M. (1991), *Metall. Trans.* 22A, 3067–3071.
- Thier, M. (1989), in: *The Martensitic Transformation in Science and Technology*: Hornbogen, E., Jost, N. (Eds.). Oberursel: DGM, pp. 353–360.
- Thom, A. J., Kim, Y., Akinc, M. (1993), *Mater. Res. Soc. Symp. Proc.* 288, 1037–1042.
- Thoma, D. J., Perezko, J. H. (1990), in: *Intermetallic Matrix Composites*: Anton, D. L., Martin, P. L., Miracle, D. B., McMeeking, R. (Eds.). Pittsburgh, PA: MRS, pp. 105–112.
- Thomas, O., Madar, R., Senateur, J. P., Laborde, O. (1987), *J. Less-Common Met.* 136, 175–182.
- Thompson, A. W. (1992), *Mater. Sci. Eng. A* 153, 578–583.
- Thompson, A. W. (1993), *Mater. Res. Soc. Symp. Proc.* 288, 947–952.
- Thompson, A. W., Pollock, T. M. (1991), *ISIJ Int.* 31, 1139–1146.
- Thornton, P. H., Davies, R. G., Johnston, T. L. (1970), *Metall. Trans. I*, 207–218.
- Threadgill, P. L., Baeslack III, W. A. (1991), in: *Proc. Int. Symp. on Intermetallic Compounds – Structure and Mechanical Properties* (JIMIS-6): Izumi, O. (Ed.), Sendai: The Japan Institute of Metals, pp. 1021–1025.
- Tichelaar, F. D., Schapink, F. W. (1991), *Phil. Mag. A* 63, 207–224.
- Tichelaar, F. D., Schapink, F. W., Li, X. (1992), *Phil. Mag. A* 63, 913–929.
- Tien, J. K., Vignoul, G. E., Barth, E. P., Kopp, M. W. (1992), in: *Structural and Phase Stability of Alloys*: Morán-López, J. L. (Ed.). New York: Plenum, pp. 1–17.
- Ting, J.-M. (1993), *Scr. Metall. Mater.* 29, 677–682.
- Tiwari, R., Herman, H., Sampath, S. (1991), in: *High Temperature Ordered Intermetallic Alloys IV*: Johnson, L. A., Pope, D. P., Stiegler, J. O. (Eds.). Pittsburgh, PA: MRS, pp. 807–813.
- Togano, K., Kumakura, H., Takeuchi, T., Tachikawa, K. (1992), *Sci. Rep. Tohoku Univ.* 37, 1, 18–25.
- Tokizane, M., Fukami, T., Inaba, T. (1991), *ISIJ Int.* 31, 1088–1092.
- Toplygo, V. K., Grabke, H. J. (1993), *Scr. Metall. Mater.* 28, 747–752.
- Tomizuka, I. (1992), in: *Basic Technologies for Future Industries: The 3rd Symposium on High-Performance Materials for Severe Environments*: RIMCOF (Ed.). Tokyo: Japan Industrial Technology Association (JITA), pp. 133–140.
- Tortorelli, P. F., DeVan, J. H. (1992), *Mater. Sci. Eng. A* 153, 573–577.
- Tortorelli, P. F., DeVan, J. H., McKamey, C. G., Howell, M. (1990), in: *Intermetallic Matrix Composites*: Anton, D. L., Martin, P. L., Miracle, D. B., McMeeking, R. (Eds.). Pittsburgh, PA: MRS, pp. 361–366.
- Triantafillidis, G., Pontonnier, L., Fruchart, D., Wolfers, P., SoubeYROUX, J. L. (1991), *J. Less-Common Met.* 172–174, 183–190.
- Trumble, K. P., Rühle, M. (1990), *Z. Metallkd.* 81, 749–755.

- Tsau, C. H., Jang, J. S. C., Yeh, J. W. (1992), *Mater. Sci. Eng. A 152*, 264–268.
- Tsuchida, K., Tsudo, H., Kato, A. (1989), *J. Mater. Sci. Lett.* 7, 1269–1270.
- Tsujimoto, T., Hashimoto, K. (1989), in: *High-Temperature Ordered Intermetallic Alloys III*: Liu, C. T., Taub, A. I., Stoloff, N. S., Koch, C. C. (Eds.). Pittsburgh, PA: MRS, pp. 391–396.
- Tsujimoto, T., Hashimoto, K., Nobuki, M. (1992), *Mater. Trans. Jpn. Inst. Met.* 33, 989–1003.
- Tu, K. N., Hammer, W. N., Olowolafe, J. O. (1980), *J. Appl. Phys.* 51, 1663–1668.
- Tu, K. N., Ottaviani, G., Gösele, U., Föll, H. (1983), *J. Appl. Phys.* 54, 758–763.
- Turchi, P. E. A., Finel, A. (1991), *J. Less-Common Met.* 168, 103–113.
- Turchi, P. E. A., Sluiter, M., Pinski, F. J., Johnson, D. D., Stocks, G. M. (1991), in: *Proc. Int. Symp. on Intermetallic Compounds – Structure and Mechanical Properties* (JIMIS-6): Izumi, O. (Ed.). Sendai: The Japan Institute of Metals, pp. 215–219.
- Uchida, H., Ohtani, Y., Ozawa, M., Kawahata, T., Suzuki, T. (1991), *J. Less-Common Met.* 172–174, 983–996.
- Uchida, M., Bjurström, H., Suda, S., Matsubara, Y. (1986), *J. Less-Common Met.* 119, 63–74.
- Uenishi, K., Sugimoto, A., Kobayashi, K. F. (1992), *Z. Metallkd.* 83, 241–245.
- Ullrich, H.-J., Reinbold, U., Däbritz, S., Pausler, P., Kleinstück, K., Pietrass, B. (1978), *Phys. Status Solidi (a)* 49, 323–330.
- Ulvensoen, J. H., Rorvik, G., Kyvik, T., Pettersen, K., L'Estrade, L. (1993), in: *Structural Intermetallics*: Darolia, R., Lewandowski, J. J., Liu, C. T., Martin, P. L., Miracle, D. B., Nathal, M. V. (Eds.). Warrendale, PA: TMS, pp. 707–713.
- Umakoshi, Y., Nakano, T. (1993), *Acta Metall. Mater.* 41, 1155–1161.
- Umakoshi, Y., Yamaguchi, M. (1980), *Phil. Mag.* 41, 573–588.
- Umakoshi, Y., Yamaguchi, M. (1981), *Phil. Mag.* A 44, 711–715.
- Umakoshi, Y., Yamaguchi, M., Yamane, T. (1985), *Phil. Mag.* A 52, 357–367.
- Umakoshi, Y., Yamaguchi, M., Yamane, T. (1986), *Phil. Mag.* A 53, 221–232.
- Umakoshi, Y., Yamaguchi, M., Yamane, T., Hirano, T. (1988), *Phil. Mag.* A 58, 651–666.
- Umakoshi, Y., Yamaguchi, M., Sakagami, T., Yamane, T. (1989), *J. Matr. Sci.* 24, 1599–1603.
- Umakoshi, Y., Hirano, T., Sakagami, T., Yamane, T. (1990a), in: *High-Temperature Aluminides and Intermetallics*: Whang, S. H., Liu, C. T., Pope, D. P., Stiegler, J. O. (Eds.). Warrendale, PA: TMS, pp. 111–129.
- Umakoshi, Y., Sakagami, T., Hirano, T., Yamane, T. (1990b), *Acta Metall. Mater.* 38, 909–915.
- Umakoshi, Y., Nakashima, T., Yamane, T., Senba, H. (1991), in: *Proc. Int. Symp. on Intermetallic Compounds – Structure and Mechanical Properties* (JIMIS-6): Izumi, O. (Ed.). Sendai: The Japan Institute of Metals, pp. 639–643.
- Umakoshi, Y., Nakano, T., Yamane, T. (1992), *Mater. Sci. Eng. A 152*, 81–88.
- Umakoshi, Y., Nakano, T., Sumimoto, K., Maeda, Y. (1993a), *Mater. Res. Soc. Symp. Proc.* 288, 441–446.
- Umakoshi, Y., Nakano, T., Takenaka, T., Sumimoto, K., Yamane, T. (1993b), *Acta Metall. Mater.* 41, 1149–1154.
- Urwank, P., Wieser, E., Hässner, A., Kaufmann, C., Lippmann, H., Melzer, J. (1985), *Phys. Status Solidi (a)* 90, 463–469.
- Valiev, R. Z., Gayanov, R. M., Yang, H. S., Mukherjee, A. K. (1991), *Scr. Metall. Mater.* 25, 1945–1950.
- van der Straten, J. M., Bastin, G. F., van Loo, F. J. J., Rieck, G. D. (1976), *Z. Metallkd.* 67, 152–157.
- Van Humbeek, J., Delaey, L. (1989), in: *The Martensitic Transformation in Science and Technology*: Hornbogen, E., Jost, N. (Eds.). Oberursel: DGM, pp. 15–25.
- van Loo, F. J. J., Rieck, G. D. (1973), *Acta Metall.* 21, 61–71.
- Vanderschaeve, G., Sarrazin, T., Escaig, B. (1979), *Acta Metall.* 27, 1251–1260.
- Vandervoort, R. R., Mukherjee, A. K., Dorn, J. E. (1966), *Trans. ASM* 59, 930–944.
- Varin, R. A., Winnicka, M. B., Virk, I. S. (1993), in: *Structural Intermetallics*: Darolia, R., Lewandowski, J. J., Liu, C. T., Martin, P. L., Miracle, D. B., Nathal, M. V. (Eds.). Warrendale, PA: TMS, pp. 117–124.
- Vedula, K. (1989), *Mater. Manuf. Processes* 4, 39–59.
- Vedula, K. (1991), in: *Proc. Int. Symp. on Intermetallic Compounds – Structure and Mechanical Properties* (JIMIS-6): Izumi, O. (Ed.). Sendai: The Japan Institute of Metals, pp. 901–926.
- Vedula, K., Stephens, J. R. (1987a), in: *High-Temperature Ordered Intermetallic Alloys II*: Stoloff, N. S., Koch, C. C., Liu, C. T., Izumi, O. (Eds.). Pittsburgh, PA: Mater. Res. Soc. pp. 381–391.
- Vedula, K., Stephens, J. R. (1987b), *Met. Powder Rep.* 42(2), 84–91.
- Vedula, K., Pathare, V., Aslanidis, I., Titran, R. H. (1985), in: *High-Temperature Ordered Intermetallic Alloys*: Koch, C. C., Liu, C. T., Stoloff, N. S. (Eds.). Pittsburgh, PA: Materials Research Society, pp. 411–421.
- Vehoff, H. (1992), in: *Ordered Intermetallics – Physical Metallurgy and Mechanical Behaviour*: Liu, C. T., Cahn, R. W., Sauthoff, G. (Eds.). Dordrecht: Kluwer, pp. 299–320.
- Vehoff, H. (1993), *Mater. Res. Soc. Symp. Proc.* 288, 71–82.
- Vehoff, H., Reuss, S., Vogt, W., Specht, P. (1993), in: *Structural Intermetallics*: Darolia, R., Lewandowski, J. J., Liu, C. T., Martin, P. L., Miracle, D. B., Nathal, M. V. (Eds.). Warrendale, PA: TMS, pp. 657–663.

- Venkateswara, Rao, K. T., Soboyejo, W. O., Ritchie, R. O. (1992), *Metall. Trans.* 23A, 2249–2257.
- Vennegues, P., Cadeville, M. C., Pierron-Bohnes, V., Afyouni, M. (1990), *Acta Metall. Mater.* 38, 2199–2213.
- Verhoeven, J. D., Lee, J. H., Laabs, F. C., Jones, L. L. (1991), *J. Phase Equilibria* 12, 15–23.
- Verlinden, B., Delaey, L. (1988a), *Acta Metall. Mater.* 36, 1771–1779.
- Verlinden, B., Delaey, L. (1988b), *Metall. Trans.* 19A, 207–216.
- Veyssiére, P. (1991), *ISIJ Int.* 31, 1028–1048.
- Veyssiére, P. (1992), in: *Ordered Intermetallics – Physical Metallurgy and Mechanical Behaviour*: Liu, C. T., Cahn, R. W., Sauthoff, G. (Eds.). Dordrecht: Kluwer, pp. 165–175.
- Veyssiére, P., Noebe, R. (1992), *Phil. Mag. A* 65, 1–13.
- Vidoz, A. E., Lazarevic, D. P., Cahn, R. W. (1963), *Acta Metall.* 11, 17–33.
- Vignoul, G. E., Sanchez, J. M., Tien, J. K. (1991), in: *High Temperature Ordered Intermetallic Alloys IV*: Johnson, L. A., Pope, D. P., Stiegler, J. O. (Eds.). Pittsburgh, PA: MRS, pp. 739–744.
- Villars, P., Calvert, L. D. (1991), *Pearson's Handbook of Crystallographic Data for Intermetallic Phases*. Materials Park, OH: ASM.
- Villars, P., Mathis, K., Hulliger, F. (1989), in: *The Structures of Binary Compounds*: de Boer, F. R., Pettifor, D. G. (Eds.). Amsterdam: North-Holland, pp. 1–104.
- Vincent, M., Wachtel, E., Predel, B. (1988), *Z. Metallkd.* 79, 330–335, 416.
- Virk, I. S., Varin, R. A. (1992), *Metall. Trans.* 23A, 617–625.
- Viswanadham, R. K., Whittenberger, J. D., Mannan, S. K., Sprissler, B. (1988), in: *High Temperature/High Performance Composites*: Lemkey, F. D., Fishman, S. G., Evans, A. G., Strife, J. R. (Eds.). Pittsburgh, PA: MRS, pp. 89–94.
- Viswanathan, S., Shelton, B. R., Wright, J. K., Sikka, V. K. (1993), *Scr. Metall. Mater.* 29, 589–594.
- Vogl, G., Sepiol, B. (1994), *Acta Metall. Mater.*, in press.
- Von Keitz, A., Sauthoff, G. (1991), poster at the 10th Int. Conf. on Solid Compounds of Transition Elements, Münster.
- Von Keitz, A., Sauthoff, G. (1992), presentation at the DGM Annual Meeting, Hamburg.
- von Mises, R. (1928), *Z. Angew. Math. Mech.* 8, 161–185.
- von Oldenburg, K., Frommeyer, G., Schmid, E., Henning, W. (1990), in: *Advanced Aluminum and Magnesium Alloys*: Khan, T., Effenberg, G. (Eds.). Materials Park, OH: ASM Int., pp. 477–484.
- Vyas, S., Viswanathan, S., Sikka, V. K. (1992), *Scr. Metall. Mater.* 27, 185–190.
- Wachtel, B., Bahle, J. (1987), *Z. Metallkd.* 78, 229–232.
- Wagner, R., Es-Souni, M., Chen, D., Dogan, B., Seeger, J., Beaven, P. A. (1991), in: *High Temperature Ordered Intermetallic Alloys IV*: Johnson, L. A., Pope, D. P., Stiegler, J. O. (Eds.). Pittsburgh, PA: MRS, pp. 1007–1012.
- Wakao, S., Sawa, H., Furukawa, J. (1991), *J. Less-Common Met.* 172–174, 1219–1226.
- Wallace, W. E., Craig, R. S. (1967), in: *Phase Stability in Metals and Alloys*: Rudman, P. S., Stringer, J., Jaffee, R. I. (Eds.). New York: McGraw-Hill, pp. 255–272.
- Walton, F., Neite, G., Schröer, W., Nemach, E. (1987), *Phys. Status Solidi (a)* 99, 483–490.
- Walston, W. S., Darolia, R. (1993), *Mater. Res. Soc. Symp. Proc.* 288, 237–242.
- Walston, W. S., Field, R. D., Dobbs, J. R., Lahrman, D. F., Darolia, R. (1993), in: *Structural Intermetallics*: Darolia, R., Lewandowski, J. J., Liu, C. T., Martin, P. L., Miracle, D. B., Nathal, M. V. (Eds.). Warrendale, PA: TMS, pp. 523–532.
- Walter, J. L., Cline, H. E. (1970), *Metall. Trans.* 1, 1221–1229.
- Wan, X. J., Zhu, J. H., Jing, K. L. (1992a), *Scr. Metall. Mater.* 26, 473–477.
- Wan, X. J., Zhu, J. H., Jing, K. L. (1992b), *Scr. Metall. Mater.* 26, 479–484.
- Wang, C. C., Akbar, S. A. (1993), in: *Diffusion in Ordered Alloys and Intermetallic Compounds*: Fultz, B., Cahn, R. W., Gupta, D. (Eds.). Warrendale, PA: TMS, pp. 3–20.
- Wang, L., Arsenault, R. J. (1991), *Metall. Trans.* 22A, 3013–3018.
- Wang, W. K., Wang, Y. J., He, S. A., Iwasaki, H. (1988), *Z. Phys. B* 69, 481–484.
- Warlimont, H., Delaey, L., Krishnan, R. V., Tas, H. (1974), *J. Mater. Sci.* 9, 1545–1555.
- Wasilewski, R. J. (1966), *Trans. AIME* 236, 455–457.
- Watanabe, K. (1991), *Mater. Trans. Jpn. Inst. Met.* 32, 292–298.
- Watanabe, S., Nakamura, Z., Hanada, S., Sato, T., Izumi, O. (1984), *Trans. JIM* 25, 477–486.
- Watari, T., Takasu, T., Shirouzu, K., Kato, A. (1986), *J. Mater. Sci. Lett.* 5, 179–180.
- Waterstrat, R. M. (1990), *J. Met.* 42(3), 8–14.
- Waterstrat, R. M., Okabe, T. (1994), in: *Intermetallic Compounds: Principles and Practice*, Vol. 2: Westbrook, J. H., Fleischer, R. L. (Eds.). Chichester, UK: Wiley, in press.
- Watson, R. E., Bennet, L. H. (1984), *Acta Metall.* 32, 477–489.
- Watson, R. E., Bennet, L. H. (1985), *Scr. Metall.* 19, 535–538.
- Watts, D. C. (1992), in: *Materials Science and Technology*, Vol. 14: *Medical and Dental Materials*: Williams, D. F. (Ed.). Weinheim: VCH, pp. 211–258.
- Weatherill, A. E., Gill, B. J. (1988), *Met. Mater.* 4, 551–555.
- Weaver, M. L., Guy, S. L., Stone, R. K., Kaufman, M. J. (1991), in: *High Temperature Ordered Inter-*

- metallic Alloys IV*: Johnson, L. A., Pope, D. P., Stiegler, J. O. (Eds.). Pittsburgh, PA: MRS, pp. 163–168.
- Webb, G., De Bussac, A., Antolovich, S. D. (1993a), *Metall. Trans. 24A*, 397–401.
- Webb, G., Juliet, P., Lefort, A. (1993b), *Scr. Metall. Mater.* 28, 769–772.
- Weber, C. H., Yang, J. Y., Löfvander, J. P. A., Levi, C. G., Evans, A. G. (1993), *Acta Metall. Mater.* 41, 2681–2690.
- Wehrmann, R. (1956), in: *High-Temperature Technology*: Campbell, I. E. (Ed.). New York: Wiley, pp. 151–170.
- Wehrmann, R. (1967), in: *High-Temperature Materials and Technologies*: Campbell, I. E., Sherwood, E. M. (Eds.). New York: Wiley, pp. 399–430.
- Wein, M., Levin, L., Nadiv, S. (1978), *Phil. Mag. A* 38, 81–96.
- Welsch, G., Kahveci, A. I. (1989), in: *Oxidation of High-Temperature Intermetallics*: Grobstein, T., Doychak, J. (Eds.). Warrendale, PA: TMS, pp. 207–218.
- Wernick, J. H. (1967), in: *Intermetallic Compounds*: Westbrook, J. H. (Ed.). New York: Wiley, pp. 197–216.
- Wert, J. A., Parker, E. R., Zackay, V. F. (1979), *Metall. Trans. 10A*, 1313–1322.
- Westbrook, J. H. (1956), *J. Electrochem. Soc.* 103, 54–63.
- Westbrook, J. H. (1960a), in: *Mechanical Properties of Intermetallic Compounds*: Westbrook, J. H. (Ed.). New York: Wiley, pp. 1–70.
- Westbrook, J. H. (1960b), in: *High Temperature Technology*. New York: McGraw-Hill, pp. 113–128.
- Westbrook, J. H. (1965), in: *High-Strength Materials*: Zackay, V. F. (Ed.). New York: Wiley, pp. 724–768.
- Westbrook, J. H. (1967), in: *Intermetallic Compounds*: Westbrook, J. H. (Ed.). New York: Wiley, pp. 3–14.
- Westbrook, J. H. (1970), in: *Ordered Alloys – Structural Applications and Physical Metallurgy*: Kear, B. H., Sims, C. T., Stoloff, N. S., Westbrook, J. H. (Eds.). Baton Rouge, LA: Claitor's Publ. Div., pp. 1–24.
- Westbrook, J. H. (1974), in: *Order-Disorder Transformations in Alloys*: Warlimont, H. (Ed.). Berlin: Springer, pp. 494–539.
- Westbrook, J. H. (1977), *Metall. Trans. 8A*, 1327–1360.
- Westbrook, J. H. (1993), in: *Structural Intermetallics*: Darolia, R., Lewandowski, J. J., Liu, C. T., Martin, P. L., Miracle, D. B., Nathal, M. V. (Eds.). Warrendale, PA: TMS, pp. 1–15.
- Westbrook, J. H., Wood, D. L. (1964), *J. Nucl. Mater.* 12, 208–215.
- Westwood, A. R. C. (1990), *Mater. Sci. Technol.* 6, 958–961.
- Wetzig, K., Wittig, H. (1972), *Phys. Status Solidi (a)* 9, K1–K3.
- Wever, H. (1992), *Defect Diffus. Forum* 83, 55–72.
- Wever, H., Hünecke, J., Frohberg, G. (1989), *Z. Metallkd.* 80, 389–397.
- Whang, S. H., Hahn, Y. D. (1993), *Phil. Mag. A* 68, 183–192.
- Wheeler, R., Vasudevan, V. K., Fraser, H. L. (1990), *Phil. Mag. Lett.* 62, 143–151.
- Whittenberger, J. D. (1985), *Mater. Sci. Eng.* 73, 87–96.
- Whittenberger, J. D. (1986), *Mater. Sci. Eng.* 77, 103–113.
- Whittenberger, J. D. (1987), *Mater. Sci. Eng.* 85, 91–99.
- Whittenberger, J. D., Viswanadham, R. K., Mannan, S. K., Kumar, K. S. (1989), *J. Mater. Res.* 4, 1164–1171.
- Whittenberger, J. D., Arzt, E., Luton, M. J. (1990a), in: *Intermetallic Matrix Composites*: Anton, D. L., Martin, P. L., Miracle, D. B., McMeeking, R. (Eds.). Pittsburgh, PA: MRS, pp. 211–218.
- Whittenberger, J. D., Gaydosh, D. J., Kumar, K. S. (1990b), *J. Mater. Sci.* 25, 2771–2776.
- Whittenberger, J. D., Reviere, R., Noebe, R. D., Oliver, B. F. (1992a), *Scr. Metall. Mater.* 26, 987–992.
- Whittenberger, J. D., Arzt, E., Luton, M. J. (1992b), *Scr. Metall. Mater.* 26, 1925–1930.
- Wiedeman, K. E., Sankaran, S. N., Clark, R. K., Wallace, T. A. (1989), in: *Oxidation of High-Temperature Intermetallics*: Grobstein, T., Doychak, J. (Eds.). Warrendale, PA: TMS, pp. 195–206.
- Wiedemeier, H., Singh, M. (1992), *J. Mater. Sci.* 27, 2974–2978.
- Wiederhorn, S. M. (1984), *Annu. Rev. Mater. Sci.* 14, 373–403.
- Willems, J. J. G., Buschow, K. H. J. (1987), *J. Less. Common Met.* 129, 13–30.
- Wilson, D. F., Cavin, O. B. (1992), *Scr. Metall. Mater.* 26, 85–88.
- Winnicka, M. B., Varin, R. A. (1993), *Metall. Trans. 24A*, 935–946.
- Withers, J. C., Shiao, H.-C., Loutfy, R. O., Wang, P. (1991), *J. Met.* 43 (8), 36–39.
- Wittenauer, J., Bassi, C., Walser, B. (1989), *Scr. Metall.* 23, 1381–1386.
- Wittmer, M., Seidel, T. E. (1978), *J. Appl. Phys.* 49, 5827–5830.
- Wittmer, M., Ting, C.-Y., Tu, K. N. (1983), *J. Appl. Phys.* 54, 699–704.
- Wolfenden, A., Griffin, R. B., Kharbat, E. T., Underhill, M. A., Goetz, F. R., Jr., Wickstrom, S. N. (1989), in: *Materials Architecture*: Bilde-Sorensen, J. B., Hansen, N., Jensen, D. J., Leffers, T., Lilholt, H., Pedersen, O. B. (Eds.). Roskilde: Risø National Laboratory, pp. 605–610.
- Wolfenstein, J., Kim, H. K., Earthman, J. C. (1992), *Scr. Metall. Mater.* 26, 1823–1828.
- Woodward, C., MacLaren, J. M., Dimiduk, D. M. (1993), *Mater. Res. Soc. Symp. Proc.* 288, 171–176.
- Wright, J. K., Wright, R. N., Moore, G. A. (1993), *Scr. Metall. Mater.* 28, 501–506.

- Wright, R. N. (1977), *Metall. Trans. 8A*, 2024–2025.
- Wright, R. N., Bok, K. A. (1988), *Metall. Trans. 19A*, 1125–1126.
- Wright, R. N., Ho, J. C. (1986), *Metall. Trans. 17A*, 401–405.
- Wu, J. S., Beaven, P. A., Wagner, R., Hartig, C., Seeger, J. (1989), in: *High-Temperature Ordered Intermetallic Alloys III*: Liu, C. T., Taub, A. I., Stoloff, N. S., Koch, C. C. (Eds.). Pittsburgh, PA: Mater. Res. Soc., pp. 761–766.
- Wu, J. S., Beaven, P. A., Wagner, R. (1991), *Scr. Metall. Mater.* 25, 207–212.
- Wu, M. H., Wayman, C. M. (1991), *Scr. Metall. Mater.* 25, 1635–1640.
- Wu, S.-K., Lin, R. Y. (1993), *Mater. Res. Soc. Symp. Proc.* 288, 1031–1036.
- Wu, T.-C., Sass, S. L. (1993a), *Mater. Res. Soc. Symp. Proc.* 288, 217–222.
- Wu, T.-C., Sass, S. L. (1993b), *Scr. Metall. Mater.* 28, 1287–1292.
- Wu, Z. L., Pope, D. P. (1993), in: *Structural Intermetallics*: Darolia, R., Lewandowski, J. J., Liu, C. T., Martin, P. L., Miracle, D. B., Nathal, M. V. (Eds.). Warrendale, PA: TMS, pp. 107–116.
- Wu, Z. L., Pope, D. P., Vitek, V. (1990a), *Scr. Metall. Mater.* 24, 2187–2190.
- Wu, Z. L., Pope, D. P., Vitek, V. (1990b), *Scr. Metall. Mater.* 24, 2191–2196.
- Wu, Z. L., Pope, D. P., Vitek, V. (1991), in: *High Temperature Ordered Intermetallic Alloys IV*: Johnson, L. A., Pope, D. P., Stiegler, J. O. (Eds.). Pittsburgh, PA: MRS, pp. 487–492.
- Wu, Z. L., Pope, D. P., Vitek, V. (1993), *Mater. Res. Soc. Symp. Proc.* 288, 447–452.
- Wunderlich, W., Machon, L., Sauthoff, G. (1992), *Z. Metallkd.* 83, 679–684.
- Wunderlich, W., Kremer, T., Frommeyer, G. (1993), *Acta Metall. Mater.* 41, 1791–1799.
- Wunniwe-Sanders, W. (1993), Dr. Ing. Thesis, RWTH Aachen, pp. 1–123.
- Wunniwe-Sanders, W., Sauthoff, G. (1994), unpublished report, Max-Planck-Institut für Eisenforschung, Düsseldorf, FRG.
- Wurzwallner, K., Clemens, H., Schretter, P., Bartels, A., Koeppe, C. (1993), *Mater. Res. Soc. Symp. Proc.* 288, 867–872.
- Xiao, H., Baker, I. (1993), *Scr. Metall. Mater.* 28, 1411–1416.
- Xiao, L., Abbaschian, R. (1992), *Metall. Trans. 23A*, 2863–2872.
- Xie, C. Y., Jiang, B. H., Hu, G. X. (1993), *Scr. Metall. Mater.* 28, 1101–1105.
- Xu, D., Wang, D., Zhou, W., Yang, H., Lin, D. (1993), *Mater. Res. Soc. Symp. Proc.* 288, 817–822.
- Yagisawa, K., Yoshikawa, A. (1979), *Z. Phys. Chem. N. F.* 117, 79–87.
- Yamada, H., Shimizu, M. (1986), *J. Phys. F* 16, 1039–1050.
- Yamada, Y., Taya, M., Watanabe, R. (1993), *Mater. Trans. Jpn. Inst. Met.* 34, 254–260.
- Yamagata, T., Yoshida, H. (1973), *Mater. Sci. Eng.* 12, 95–100.
- Yamaguchi, M. (1991), *ISIJ Int.* 31, 1127–1133.
- Yamaguchi, M. (1992), *Mater. Sci. Technol.* 8, 299–307.
- Yamaguchi, M., Inui, H. (1993), in: *Structural Intermetallics*: Darolia, R., Lewandowski, J. J., Liu, C. T., Martin, P. L., Miracle, D. B., Nathal, M. V. (Eds.). Warrendale, PA: TMS, pp. 127–142.
- Yamaguchi, M., Umakoshi, Y. (1990), *Prog. Mater. Sci.* 34, 1–148.
- Yamaguchi, M., Umakoshi, Y., Yamane, T. (1987), *Phil. Mag. A51*, 301–315.
- Yamaguchi, M., Shirai, Y., Umakoshi, Y. (1988), in: *Dispersion Strengthened Aluminium Alloys*: Kim, Y.-W., Griffith, W. M. (Eds.). Warrendale, PA: TMS, pp. 721–739.
- Yamaguchi, M., Nishitani, S. R., Shirai, Y. (1990), in: *High-Temperature Aluminides and Intermetallics*: Whang, S. H., Liu, C. T., Pope, D. P., Stiegler, J. O. (Eds.). Warrendale, PA: TMS, pp. 63–90.
- Yamaguchi, M., Shirai, Y., Inui, H. (1993), *Mater. Res. Soc. Symp. Proc.* 288, 131–139.
- Yamamoto, T. (1980), in: *The Development of Sendust and Other Ferrromagnetic Alloys*: Yamamoto, T. (Ed.), Chiba: Committee of Academic Achievements, pp. 1–6.
- Yamamoto, T., Utsushikawa, Y. (1977), *J. Coll. Ind. Technol., Nihon Univ.* 10, 17–30.
- Yan, M., Vitek, V., Ackland, G. J. (1992), in: *Ordered Intermetallics – Physical Metallurgy and Mechanical Behaviour*: Liu, C. T., Cahn, R. W., Sauthoff, G. (Eds.). Dordrecht: Kluwer, pp. 335–353.
- Yan, P., Wallach, E. R. (1993), *Intermetallics* 1, 83–97.
- Yaney, D. L., Nix, W. D. (1988), *J. Mater. Sci.* 23, 3088–3098.
- Yang, H. S., Jin, P., Mukherjee, A. K. (1992), *Mater. Trans. Jpn. Inst. Met.* 33, 38–44.
- Yang, H. S., Lee, W. B., Mukherjee, A. K. (1993), in: *Structural Intermetallics*: Darolia, R., Lewandowski, J. J., Liu, C. T., Martin, P. L., Miracle, D. B., Nathal, M. V. (Eds.). Warrendale, PA: TMS, pp. 69–76.
- Yang, J.-M., Jeng, S. M. (1990), in: *Intermetallic Matrix Composites*: Anton, D. L., Martin, P. L., Miracle, D. B., McMeeking, R. (Eds.). Pittsburgh, PA: MRS, pp. 139–146.
- Yang, J.-M., Jeng, S. M., Yang, C. J., Anton, D. L. (1990), in: *Intermetallic Matrix Composites*: Anton, D. L., Martin, P. L., Miracle, D. B., McMeeking, R. (Eds.). Pittsburgh, PA: MRS, pp. 385–392.
- Yang, R., Leake, J. A., Cahn, R. W. (1992a), *Mater. Sci. Eng. A* 152, 227–236.
- Yang, R., Saunders, N., Leake, J. A., Cahn, R. W. (1992b), *Acta Metall. Mater.* 40, 1553–1562.
- Yang, R., Leake, J. A., Cahn, R. W. (1993), *Mater. Res. Soc. Symp. Proc.* 288, 489–494.
- Yang, S. S., Vasudevan, V. K. (1993), *Mater. Res. Soc. Symp. Proc.* 288, 731–736.

- Yang, W. S., Mikkola, D. E. (1993), *Scr. Metall. Mater.* 28, 161–165.
- Yasuda, H., Takasugi, T., Koiwa, M. (1991 a), in: *Proc. Int. Symp. on Intermetallic Compounds – Structure and Mechanical Properties (JIMIS-6)*: Izumi, O. (Ed.). Sendai: The Japan Institute of Metals, pp. 33–37.
- Yasuda, H., Takasugi, T., Koiwa, M. (1991 b), *Mater. Trans. Jpn. Inst. Met.* 32, 48–51.
- Yasuda, H., Takasugi, T., Koiwa, M. (1992), *Acta Metall. Mater.* 40, 381–387.
- Yasuda, K. (1991), in: *Concise Encyclopedia of Medical and Dental Materials*: Williams, D., Cahn, R. W., Bever, M. B. (Eds.). Oxford: Pergamon, pp. 197–205.
- Yavari, A. R., Baro, M. D., Fillion, G., Surinach, S., Gialanella, S., Clavaguera-Mora, M. T., Desré, P., Cahn, R. W. (1991), in: *High Temperature Ordered Intermetallic Alloys IV*: Johnson, L. A., Pope, D. P., Stiegler, J. O. (Eds.). Pittsburgh, PA: MRS, pp. 81–86.
- Ye, H. Q., Li, D. X., Kuo, K. H. (1985), *Phil. Mag. A* 51, 829–837.
- Yegorushkin, V. Y., Kulmentyev, A. I., Rubin, P. E., (1985), *Phys. Met. Metall.* 60 (3), 1–7.
- Yonezu, I., Fujitani, S., Furukawa, A., Nasako, K., Yonesaki, T., Saito, T., Furukawa, N. (1991), *J. Less-Common Met.* 168, 201–209.
- Yoo, M. H. (1991), in: *Proc. Int. Symp. on Intermetallic Compounds – Structure and Mechanical Properties (JIMIS-6)*: Izumi, O. (Ed.). Sendai: The Japan Institute of Metals, pp. 11–20.
- Yoo, M. H., Fu, C. L. (1991), *ISIJ Int.* 31, 1049–1062.
- Yoo, M. H., Fu, C. L. (1992), *Mater. Sci. Eng. A* 153, 470–478.
- Yoo, M. H., Fu, C. L. (1993), in: *Structural Intermetallics*: Darolia, R., Lewandowski, J. J., Liu, C. T., Martin, P. L., Miracle, D. B., Nathal, M. V. (Eds.). Warrendale, PA: TMS, pp. 283–292.
- Yoo, M. H., Horton, J. A., Liu, C. T. (1988), *Acta Metall.* 36, 2935–2946.
- Yoo, M. H., Takasugi, T., Hanada, S., Izumi, O. (1990), *Mater. Trans. Jpn. Inst. Met.* 31, 435–442.
- Yoo, M. H., Fu, C. L., Lee, J. K. (1991), in: *High Temperature Ordered Intermetallic Alloys IV*: Johnson, L. A., Pope, D. P., Stiegler, J. O. (Eds.). Pittsburgh, PA: MRS, pp. 545–554.
- Yoshida, M., Takasugi, T. (1991 a), in: *Proc. Int. Symp. on Intermetallic Compounds – Structure and Mechanical Properties (JIMIS-6)*: Izumi, O. (Ed.). Sendai: The Japan Institute of Metals, pp. 403–407.
- Yoshida, M., Takasugi, T. (1991 b), in: *High Temperature Ordered Intermetallic Alloys IV*: Johnson, L. A., Pope, D. P., Stiegler, J. O. (Eds.). Pittsburgh, PA: MRS, pp. 273–278.
- Yoshida, M., Takasugi, T. (1992), *Phil. Mag. A* 65, 41–52.
- Yoshihara, M., Suzuki, T., Tanaka, R. (1991), *ISIJ Int.* 31, 1201–1206.
- Yoshimi, K., Hanada, S. (1993), in: *Structural Intermetallics*: Darolia, R., Lewandowski, J. J., Liu, C. T., Martin, P. L., Miracle, D. B., Nathal, M. V. (Eds.). Warrendale, PA: TMS, pp. 475–482.
- Zakrevskiy, I. G., Kokorin, V. V., Shevchenko, A. D. (1986), *Phys. Met. Metall.* 61 (2), 199–202.
- Zeng, K., Hämäläinen, M., Lilius, K. (1993), *CALPHAD* 17, 101–107.
- Zeumer, B., Sauthoff, G. (1992), paper at the DGM Annual Meeting in Hamburg.
- Zeumer, B., Von Keitz, A., Sauthoff, G. (1991), in: *2. Symposium Materialforschung des BMFT*: Jülich, KFA-PLR, pp. 2397–2399.
- Zhang, M.-X., Hsieh, K.-C., Chang, Y. A. (1992 a), *Mater. Res. Soc. Symp. Proc.* 273, 103–112.
- Zhang, M.-X., Hsieh, K.-C., DeKock, J., Chang, Y. A. (1992 b), *Scr. Metall. Mater.* 27, 1361–1366.
- Zhang, T., Li, Y., Zheng, Z., Zhu, Y. (1991), in: *High Temperature Ordered Intermetallic Alloys IV*: Johnson, L. A., Pope, D. P., Stiegler, J. O. (Eds.). Pittsburgh, PA: MRS, pp. 137–142.
- Zhang, W., Chen, G., Wang, Y., Sun, Z. (1993), *Scr. Metall. Mater.* 28, 1113–1118.
- Zhang, Y., Lin, D. (1993), *Mater. Res. Soc. Symp. Proc.* 288, 611–616.
- Zhang, Y., Tonn, S. C., Crimp, M. A. (1993), *Mater. Res. Soc. Symp. Proc.* 288, 379–384.
- Zhang, Y. G., Xu, Q., Chen, C. Q. (1991), in: *Proc. Int. Symp. on Intermetallic Compounds – Structure and Mechanical Properties (JIMIS-6)*: Izumi, O. (Ed.). Sendai: The Japan Institute of Metals, pp. 39–43.
- Zhao, L., Baker, I., George, E. P. (1993), *Mater. Res. Soc. Symp. Proc.* 288, 501–506.
- Zhou, B., Chou, Y. T., Liu, C. T. (1993), *Intermetallics* 1, 217–255.
- Zhou, X. W., Hsu, T. Y. (1991), *Acta Metall. Mater.* 39, 1041–1044.
- Zhu, J. H., Wan, X. J., Wu, Y. (1993), *Scr. Metall. Mater.* 29, 429–432.
- Zinov'eva, G. P., Romashova, L. F., Saperov, V. A., Gel'd, P. V. (1984), *Sov. Phys. – Solid State* 26, 2115–2117.
- Zwicker, U., Pack, D., Blausfelder, C. (1979), *Z. Metallkd.* 70, 514–521.

General Reading

- Baker, J., Darolia, R., Whittenberger, J. D., Yoo, M. H. (Eds.) (1993), *High-Temperature Ordered Intermetallic Alloys V*. Pittsburgh, PA: Materials Research Society.
- Darolia, R., Lewandowski, J. J., Liu, C. T., Martin, P. L., Miracle, D. B., Nathal, M. V. (Eds.) (1993), *Structural Intermetallics*. Warrendale, PA: TMS.
- Dimiduk, D. M., Miracle, D. B., Ward, C. H. (1992), *Mater. Sci. Technol.* 8, 367–375.

- Engell, H.-J., von Keitz, A., Sauthoff, G. (1991), in: *Advanced Structural and Functional Materials*: Bunk, W. (Ed.), Berlin: Springer-Verlag, pp. 91–132.
- Fleischer, R. L. (1991), in: *Proc. Int. Symp. Intermetallic Compounds – Structure and Mechanical Properties (JIMIS-6)*: Izumi, O. (Ed.), Sendai: The Japan Institute of Metals, pp. 157–164.
- Izumi, O. (1989), *Mater. Trans., JM* 30, 627–638.
- Liu, C. T., Stigler, J. O., Froes, F. H. (1990), in: *Metals Handbook, Vol. 2: Properties and Selection: Non-Ferrous Alloys and Special Purpose Materials*. Materials Park: ASM, pp. 913–942.
- Liu, C. T., Cahn, R. W., Sauthoff, G. (Eds.) (1992), *Ordered Intermetallics – Physical Metallurgy and Mechanical Behaviour*. Dordrecht: Kluwer.
- Materials Science and Technology: A Comprehensive Treatment*: Cahn, R. W., Haasen, P., Kramer, E. J. (Eds.). Weinheim: VCH. The series comprises 19 Volumes. Gerold, V. (Ed.) (1992), *Vol. 1. Structure of Solids*; Haasen, P. (Ed.) (1991) *Vol. 5. Phase Transformations in Materials*; Mughrabi, H. (Ed.) (1992); *Vol. 6. Plastic Deformation and Fracture of Materials*. This book is derived from K. H. Matucha (Ed.) (1995); *Vol. 8. Structure and Properties of Nonferrous Alloys*.
- Pauler, P. (1976), in: *Intermetallische Phasen*. Leipzig: VEB Deutscher Verlag für Grundstoffindustrie, pp. 165–187.
- Westbrook, J. H. (1993), in: *Structural Intermetallics*: Darolia, R., Lewandowski, J. J., Liu, C. T., Martin, P. L., Miracle, D. B., Nathal, M. V. (Eds.). Warrendale, PA: TMS, pp. 1–5.
- Yamaguchi, M., Umakoshi, Y. (1990), *Prog. Mater. Sci.* 34, 1–148.

وازهیاب

(۱۵۱)	Cu-Zn-Al آلیاژهای حافظه‌ی شکل	آلمینایدها
(۱۱۰)	Fe-Ni-Al آلیاژهای	- پیشرفت آلیاژها
(۱۲۶)	- فازهای B۲	- پیشرفت
	آلیاژهای مغناطیس، سیستم‌های	- کاربردها
(۱۱۰)	Fe-Ni-Al	آلومینایدها پیشرفت، آلمینایدها
(۵۹)	آلیاژهای Al _x Nb-NiAl چند فازه	نیکل
	آلیاژهای پایه‌ی NiAl چند فازه، مقاومت به	آلومینایدها آهن، فازهای مربوطه
(۱۰۶)	خرش	آلومینایدها تیتانیم، فازهای مربوطه
(۱۱۶)	NiAl-Cr آلیاژهای	- تری آلمینایدها تیتانیم، Al _x Ti
(۱۱۴)	NiAl-Fe آلیاژهای	آلومینایدها نیکل، فازهای مربوطه
(۱۱۸)	NiAl-Nb آلیاژهای	آلومینایدها تیتانیم
(۱۱۸)	NiAl-Ta آلیاژهای	- فازهای مربوطه
(۱۱۷)	NiAl-Ti آلیاژهای	- مطالعات بر روی تغییر شکل
(۱۲۴)	(ODS) NiAl آلیاژهای	Do _۳ , Al _x Ti -
(۱)	آلیاژهای منظم	آلومینایدها فلز واسطه، ویژگی‌های
	آلیاژهای Al سخت شده با پراکنش اکسیدی /	اساسی
(۱۲۴)	مواد مرکب	آلیاژهای مغناطیسی دائم پرس گرم؛
(۱۳۲)	آلیاژهای پرمندور	آلومینایدها نیکل
	آلیاژهای حافظه‌ی شکل	آلیاژهای Ti-Nb-(Ti,Nb)Cr _x
(۱۵۳)	Cu-Al-Ni -	آلیاژهای Co-Mo-Cr-Si، تربیالوها
(۴)	Cu-Zn-Al -	آلیاژهای پوشش دهنده، Al
(۱۱۱)	NiAl -	آلیاژهای حافظه‌ی شکل Cu-Al-Ni

		استحاله‌ی مارتزیتی	(۱۲۹)	NiTi -
(۱۵۱)	CuZn -	آلیاژ‌های B2 تک فاز، مقاومت به خوش (۹۶)		
(۱۱۱۸۹)	NiAl -	آلیاژ‌های سازه‌ای		
(۱۶۰)	V _۳ Zi -، ساختار A15	- فازهای لاؤهی سه تایی		
(۸۹)	NiAl - استحاله‌ی مارتزیت تنش دار، استحکام فشاری	NiAl -		
(۱۱۶)	NiAl-Cr - آلیاژ‌های	آلیاژ‌های Ti-TiCr _۴		
(۱۲۱)	NiAl-NbNiAl - آلیاژ‌های	آلیاژ‌های Co-Mo-Cr-Si		
(۶۴)	Al _۳ Ti _۵ M _۶ ، استحکام تسلیم فشاری،	عنصر آلیاژی، Ni _۳ V		
(۲۰)	استحکام شکست	NiAl -		
(۱۷۴)	استحکام میدان مغناطیسی، فازهای لاؤه	آینه، مصر قدیم		
	استحکام	ابرآلیاژ‌های پایه‌ی Ni		
(۵۶)	Al _۳ Nb -	ابرآلیاژها، آلومیناید‌های نیکل		
(۱۷۳)	- فازهای لاؤه	ابرآلیاژ‌های سخت شده با پراکنش		
(۱۱۶)	NiAl-Cr - استحکام کششی، آلیاژ‌های	اکسیدی		
	استحکام کششی، آلومیناید‌های تیتانیوم	ابررساناهای		
(۲۵)	استحکام تسلیم	- ترکیب‌های A15، کاربردها (۱۶۰، ۴)		
(۲۰۰)	- دی‌سیلیساید‌ها	A15 - ساختار		
(۱۲۲)	NiAl-NbNiAl - آلیاژ‌های	ابرنایه‌جایی‌ها، TiAl		
(۲۵)	- آلومیناید‌های تیتانیم	اتیرم، عنصر کم آلیاژ‌کننده		
(۶۵)	Ni _۳ Al -	اثر سیلیک Al اثرات دما، فازهای لاؤه		
(۹۵)	افزودن برن، اثر تقویت‌کنندگی، NiAl	از دیاد طول خمی، تری آلومیناید‌های		
(۲۳)	اکسیژن، ناخالصی‌ها	L1 _۲		
	الکترودهای قابل شارژ مجدد، ترکیب‌های خاکی نادر، کاربردها	از دیاد طول کششی		
(۱۸۶)	الکترونگانگتویته، ترکیب‌های خاکی نادر	- تری آلومیناید‌های		
(۱۲)	الگوی برآگ - ویلیامز	TiAl -		

(۴۵)	TiAl	(۲۰۰)	اتبساط حرارتی - دی سیلیسایدها
(۹۲)	پایداری فاز	(۶۶)	Ni _۳ Al -
(۱۷۳)	پایداری ساختار، فازهای لاده	(۱۴)	انتالپی، ویزگی‌های اساسی
(۲)	پایداری‌ها، فازها	(۱۴)	انتالپی تشكیل، سیستم Ni-Al
(۱۰۹)	پدیده‌ی کرکندا، آلومینایدها	(۱۹)	انتخاب فاز، کاربردهای سازه‌ای
(۱۵۵)	پدیده‌ی پورت وین - له شاتلیه CuAu		انجماد سریع
(۱۵۶)	پرکنده‌های دندانی، ملقمه	(۳۳)	- آلیاژهای تیتانیم
(۴)	پرمالوی، کاربردها	(۱۸۶)	- ترکیب‌های خاکی نادر
(۳)	پوشش برنزی، مصرف‌دیم	(۱۶۷)	A15, Nb _۳ Si -
(۱۱۲, ۴)	پوشش دهی جعبه‌ای با آلومیناید، کاربردها	(۱۴۵)	انرژی مرز ضدفاز
(۱۹۲)	M _۲ Si	(۱۴)	انرژی گیس، پایداری فاز
(۱۱۲)	MCrAlY	(۱۴)	انرژی بلوری داخلی، ویزگی‌های اساسی
(۱۱۲)	MCrAlY	(۱۸۷)	باتری‌های نیکل - هیدروژن، ترکیب‌های خاکی نادر، کاربردها
(۴)	پوشش‌های سطحی، کاربردها		بُرُن، عنصر آلیاژی
(۱۱۰, ۷۶)	پیشرفت آلیاژها، آلومینایدها	(۱۸۶)	- ترکیب‌های خاکی نادر
(۲)	پیوند اتمی	(۷۲)	- نرم‌کنندگی، Ni _۳ Al
	پیوند، ویزگی‌های اساسی (۱۴, ۹)	(۱۴۷)	FeAl -
(۱۱)	پیوند اشتراکی		برنج زرد
(۳۶)	Ti _۳ Al	(۴)	- کاربردها
(۱۰)	پیوند یونی	(۱۴۹)	CuZn -
(۱۰)	پیوند فلزی	(۳)	برنز پرفلع، کاربردها
	تانتالیم	(۱۴۹)	Cu: فازهای پایه‌ی
(۳۹, ۳۴)	- آلومینایدها تیتانیم	(۱۸۱)	بریلایدها
(۱۳۴)	- عنصر آلیاژی، FeCo	(۱۸۱)	بریلاید‌های فلز واسطه
	تأثیرات محیطی	(۱۳۴)	بریلیم، آلیاژکنده، FeCo

(۵)	تعادل‌ها، فازها	(۱۰۸)	- آلمیناید‌ها
(۵)	تعادل‌های فازی	(۴۷، ۳۴)	- آلمیناید‌های تیتانیم
(۱۳۰)	تغییر شکل کش‌سان، NiTi -	(۶۹)	Ni _x Al -
	تغییر شکل موم‌سان	(۴۳)	TiAl - تبلور مجدد پویا،
(۱۹۸)	- دی‌سیلیساید‌ها	(۲۱)	تحرک نابه جایی
(۹۰)	- ریز‌ساختار، NiAl چند‌بلوره		ترد شدگی
(۱۳۰)	NiTi -	(۱۴۷)	- محیطی، FeAl -
(۴۱)	TiAl -	(۴۸)	TiAl -
(۳)	"تندیس فلزی و نوس" Cu, Sb بفنش	(۲۱)	تردی
	تنش سیلان، ریز ساختار، Al چند	(۱۱۱)	- آلیاژ‌های الیکو
(۹۰)	بلوره	(۹۳)	چند‌بلوره NiAl -
	تنش ارووان، آلیاژ‌های پایه‌ی NiAl چند	(۴۹)	تردی در اثر اکسیژن، TiAl -
(۱۰۵)	فازه	(۱۷۳)	ترکیب، فازهای لاوه
(۴۱)	TiAl	(۶۱)	ترکیب‌های بین فلزی سه تایی پر Al
	تنش تسلیم		ترمودینامیک، هیدروژنه کردن، فازهای لاوه
(۵۶)	- تری آلمیناید‌های نیوبیم Al _x Nb -	(۱۷۷)	لاوه
(۲۱)	NiAl -	(۵۲)	تری آلمیناید‌های دوتایی
	تگستن	(۵۶)	تری آلمیناید نیوبیم Al _x Nb -
(۱۳۴)	- عنصر آلیاژی، FeCo -	(تیری)	تری آلمیناید تانتالیم Al _x Ta -
(۴۰)	TiAl -	(۶۱)	آلومیناید‌ها، ساختار L ₁ -
	توربی‌های بخار، کاربردهای آلمیناید‌های	(تیری آلومینایدواندیم Al _x V -)	تری آلمینایدواندیم Al _x V تربالوی‌ها،
(۷۶)	نیکل	(۱۷۸)	آلیاژ‌های Co-Mo-Cr-Si
(۱۹۳)	توزیع بهسازها، فازهای M _x Si -	(۳)	تشکیل ترکیب
(۴)	تولید نیروی برق حرارتی، کاربرد		تشکیل جای خالی
	تیتانیم، عنصر آلیاژی	(۱۵۵)	- فازهای Cu-Au -
(۱۱۰)	- کم آلیاژ‌کننده، NiAl -	(۱۴۰)	Fe _x Al -
(۱۳۴)	FeCo -	(۸۵)	NiAl -

(۱۰۷)	فازه	(۱۶۷)	A15، Nb _x Al -
(۶۹)	خستگی، Ni _x Al -	(۶۶)	ثبت‌های کش‌سازی، Ni _x Al
(۵)	خواص الکتروشیمیایی	(۳۶)	جوش‌کاری اصطکاکی، خطی، Ti _x Al
(۴۴)	دانه‌های TiAl		چقرمگی شکست
	دمای تبدیل تردی به شکل پذیری	(۱۲۰)	- آلیاژهای NiAl-NbNiAl
(۱۲۰)	-آلومینایدها	(۴۴، ۲۶)	-آلومینایدهای تیتانیم
(۱۸۲)	-بریلایدها	(۹۲)	NiAl -
(۱۷۳)	-فازهای لاؤه		چقرمگی
(۱۲)	NiAl -	(۲۰۰)	-دی سیلیسایدها
(۱۶۱)	V _x Si -	(۴۴)	TiAL -
	دمای ذوب	(۱۷۴)	چگالی جریان بحرانی، فازهای لاؤه
(۱۷۲)	-فازهای لاؤه	(۸۶)	NiAl، چگالی
(۱۴)	-ویرگی اساسی	(۲۵)	-آلومینایدهای تیتانیم
(۴۱)	TiAL دوقلوشدن،	(۱۶۴)	حدیده کاری گرم، Nb _x Sn، ساختار
(۱۹۷)	دی سیلیسایدها		A15
(۷۷)	ذوب القایی در هوا	(۱۸۹)	خاصیت شبه مغناطیسی، سیلیسایدها
	ذوب مجدد برقی با سرباره	(۵)	خاصیت ابررسانایی
(۱۴۲)	Fe _x Al -	(۹۸)	خرش کوبنل، (Ni,Fe)Al
(۷۷)	Ni _x Al -	(۹۵)	خرش
(۱۴۲)	ذوب القایی، Fe _x Al	(۶۸)	Ni _x Al -
(۱۴۲)	ذوب، Fe _x Al	(۹۶)	NiAl -
(۱۴۲)	ذوب قوسی در خلاء، Fe _x Al	(۹۶)	خرش نابه‌جاوی
(۷۷)	Ni _x AL ذوب مجدد قوسی در خلاء،	(۹۶)	- معادله‌ی درن
(۷۷)	Ni _x Al ذوب القایی در خلاء،	(۵۷)	- تری آلومیناید نیوبیم Nb _x Ni
(۴۱)	Rفتار شکست ترد، TiAl	(۹۸)	خرش نابارو-هرینگ، (Ni,Fe) Al
	رفتار خوردگی		خرش ثانویه، (Ni,Fe)Al
(۱۹۸)	MoSi _x -	(۹۷)	خرش اولیه‌ی گذرا، آلیاژهای پایه‌ی NiAl چند

	روش‌های متالورژی پودر	(۱۰۸)	NiAl -
(۱۶۷)	Nb _x Al-Nb - آلیاژ‌های	(۷۴)	Ni _x Al -
(۱۸۳)	- بریلایدها	(۳۹)	TiAl -
(۱۴۲)	Fe _x Al -	(۲۸)	Ti _x Al -
(۳۶)	Ti _x Al -		رفتار تغییر شکل
	ریزساختار	(۵۹)	- آلیاژ‌های Al _x Nb-NiAl چند فازه
(۵۳)	- تری آلمیناید تیتانیم Al _x Ti -	(۵۳)	- تری آلمیناید تیتانیم Al _x Ti -
(۱۹۸)	- دی سیلیسایدها	(۱۰۷)	- سیلیسیم
(۶۳)	Al _x Ti _{۲۵} M _۹ -	(۱۸۲)	NbBe _{۱۲} -
(۶۸)	Ni _x Al -	(۱۵۵)	رفتار نفوذ، فازهای Cu-Au
(۹۰)	نیکل بلوره NiAl -		رفتار کش سان
(۲۸)	Ti _x AL -	(۱۵۵)	- فازهای Cu-Au
	زمینه‌ی مواد مرکب	(۱۵۰)	CuZn -
(۱۲۴)	NiAl -	(۸۶)	NiAl -
(۵۱)	TiAl -	(۴۴)	رفتار خستگی، TiAl -
(۳۷)	Ti _x Al -		رفتار مکانیکی
	زیرکونیم، عنصر آلیاژی		رفتار اکسایش
(۱۰۹)	- کم آلیاژ کنده، NiAl -	(۷۴)	Ni _x Al -
(۱۳۴)	FeCi -	(۳۴)	- آلمیناید تیتانیم
(۳۹)	TiAl -		رفتار تبلور مجدد
(۱۷۱)	C۳۶, C۱۵, C۱۴ ساختار	(۱۵۰)	CuZn -
(۱۸۷)	CaNi _۵ -	(۹۳)	NiAl -
(۶۱)	ساختار L _۱ , تری آلمینایدها	(۶۹)	Ni _x Al -
(۱۳۵)	ساختار L _۱	(۷۷)	Ni _x Al, روتور توربوشارژ،
(۱۲)	ساختار شبکه	(۴۵)	TiAL, روش رشد بلور،
(۱۴۳)	ساختار نوع پرسکیت، Fe _x AlC _x		روش های نفوذ دادن، آلیاژهای
(۲۵)	ساختار، آلمیناید‌های تیتانیم	(۱۶۷)	Nb _x Al-Nb

(۱۹۸)	- کاربردها، دی‌سیلیسایدها	(۹)	ساخترهای بلوری
(۱۳۴)	- وابستگی نوع هاج - پچ، FeCo	(۱۷۱)	- فازهای لاوه
(۴۲)	TiAl -	(۷۰)	سازوکارکیار - ویلسدرف، Ni _۳ Al
(۱۹)	ضریب نفوذ	(۳)	سختی
(۱۰۰)	- آلمینیایدها ضریب کش سانی	(۱۱۰) (۲۰۰)	- آلیاژهای آنیکرو - - دی‌سیلیسایدها
(۶۳)	Al _۶ Ti _{۲۵} M _۹ -	(۱۵۰)	CuZn -
(۱۹)	ضریب برشی	(۱۰۹)	سدیم، عنصر کم آلیاژکننده
(۱۰۲)	(B _۲)(Ni, Fe) Al -	(۴)	سمانته کردن، کاربردها
(۳۸، ۲۵)	- آلمینیایدهای تیتانیم ضریب یانگ	(۱۹۱، ۱۴۰، ۴) (۱۳۶)	سنداست، کاربردها سیستم دوتایی Ni-Mo
(۳۸، ۲۵)	- آلمینیایدهای تیتانیم	سیستم Fe-Nb-Si، سیلیسایدهای سه	تایی
(۱۵)	Ni-Al -	(۱۹۴)	سیستم
(۱۹۵)	M _۶ Si _۶ -	(۸۹)	Ni-Al-Co
(۶۳)	Al _۶ Ti _{۲۵} M _۹ -		سیستم‌های سه تایی
(۱۰۰)	(B _۲)(Ni,Fe)Al -	(۱۸۹)	- نمودارهای فازی، سیلیسایدها
(۸۶)	NiAl -	(۱۹۲)	Mg-Si-Al -
	ضعف مرزدانه	(۱۸۹)	سیلیسایدها
(۹۴)	NiAl -		سیلیسایدهای سه تایی، سیستم
(۷۲)	Ni _۳ Al -	(۱۹۴)	Fe-Nb-Si
(۱۷۶)	ظرفیت جذب، هیدروژن، فازهای لاوه	(۱۸۹)	سیلیسایدهای فلز واسطه
	عناصر آلیاژی	(۱۹۷)	- ساختار B _۲ O
(۱۱۰، ۴)	- آنیکرو، کاربردها	(۱۰۷)	سیلیسیم، رفتار تغییر شکل
(۴۵، ۳۱)	- آلمینیایدهای تیتانیم	(۵)	شبه فلزات
(۱۱۰)	- آلیاژهای آنیکرو	(۶۹)	Ni _۳ Al، شکست،
(۱۸۶)	- ترکیب‌های خاکی نادر		شکل پذیری
(۱۴۰)	Fe _۳ Al -	(۵۴)	- تری آلمینیاید تیتانیم Al _۳ Ti

(۱۷۹)	HfCr _r -	(۱۴۶)	FeAl-
(۱۷۵)	HfFe _r -	(۱۳۴)	FeCo-
(۱۷۵)	HfV _r -	(۱۶۶)	A15، ساختار Nb _r Al-
(۱۷۴)	(Hf,Zr)V _r -	(۶۰)	Ni _r V-
(۱۲۳)	Ni _r AlNb/Ni _r AlTa-	(۱۱۰،۸۹)	Ni _r Al-
(۱۱۷)	Ni _r AlTi-	(۵)	غیر فلزات
(۱۰۳)	Ni _r TiAl-	(۱۰)	فاز زینتل
(۱۱)	فازهای هیووم-راتری	(۱۷۱)	فازهای A15، خواص عمدۀ
(۱۴۳)	فازهای Fe _r ZIC _r K	(۸۵)	فازهای دوتایی B2، آلمینیايدها
(۱۲)	فازهای کورناکف	(۱۷۸)	فازهای لاوهی دوتایی، TaFe _r NbFe _r
(۷۸)	فازهای Ge _r Si _r Ga=X _r Ni _r X _r L1 _r	(۱۷۹)	فازهای لاوهی کرم دار
(۱۷۱، ۱۱)	فازهای لاوه	(۱۲۶)	B2، فازهای CoAl-
(۱۰۶)	-آلیازهای پایه‌ی NiAl چند فازه	(۱۵۴)	فازهای Cu-Au
(۱۷۱)	-خواص عمدۀ	(۱۴۹)	فازهای پایه‌ی مس
(۱۴۰)	فازهای Fe _r Al-	(۱۴۹)	فازهای Do _{۲۲} ، ویژگی‌های اساسی،
(۱۲۱)	دو فازی NiAl-	(۵۲)	آلومینیايدهای تیتانیم
(۱۹۲)	فازهای M _r Si	(۱۳۲)	B2 فازهای
(۱۹۴)	M _r Si _r	(۲۰۰)	-دی سیلیسایدها
(۱۷۸)	فازهای لاوهی تک لایه‌ای	(۱۷۲)	-فازهای لاوه
(۱۹۷)	فازهای MSi	(۱۴)	-ویژگی‌های اساسی
(۱۳۶)	فازهای نیکل-مولیبدن	(۱۰۲)	B2(Ni,Fe)Al-
(۱۸۵، ۱۷۵)	فازهای لاوهی خاکی نادر (R)	(۸۳)	فازهای (Fe, Co, Ni) _r V, L1 _r
(۱۰۰)	فازهای B2 سه تایی، آلمینیايدها	(۱۷۱، ۱۱)	فازهای فرانک-کاسپار
(۱۷۸)	فازهای L1 _r سه تایی	(۱۵۹)	-ساختار A15
(۱۰۷)	-آلیازهای پایه‌ی Al-Ni	(۱۷۱)	فازهای لاوه، فرایاف
(۱۲۲)	-عناصر فلز واسطه	(۱۳۴)	فازهای نوعی هیوسنر
(۱۵۲)	فراؤرش، آلیازهای Cu-Zn-Al	(۱۴۹)	Cu _r MnAl/Cu _r MnSn-

(۳۶)	فراورش فعال، Ti_xAl	کاربردهای هوا-فضا
(۶۴)	فرایند تشكیل لایه‌ی نازک، فازهای Al_1 ، $-$ تری‌آلومینایدهای	$NiTi-$
(۱۲۹)	M_xSi	Ti_xAl-
(۳۷)	فرایند ترمودینامیکی، آلمینایدهای Ti_xAl-	$TiAl-$
(۵۱)	تیتانیم	کاربردهای دمای بالا
(۶۸)	فرایندهای نفوذ، Ni_xAl	-آلومینایدها
(۲۱)	قابلیت تغییر شکل، $NiAl$	-دی سیلیسایدها
(۶۶)	کار سازه‌ای دما بالا، تری‌آلومیناید نیویم	-فالزهای M_xSi
(۳)	کاربردها	کاربردهای پزشکی، $NiTi$
(۱۵۲)	-آلیاژهای $Cu-Zn-Al$	کاربردهای پرآلیاژکننده، $MoSi$ ، $Fe-Ni-Al$
(۱۱۰)	-آلیاژهای Al	دی سیلیسایدها
(۱۸۵)	-ترکیب‌های خاکی نادر	کاربردهای سازه‌ای
(۱۹۸)	-دی سیلیسایدها	-عنصر پرآلیاژکننده، $NiAL$
(۱۱۰)	-فالزهای لاوه	Fe_xAl-
(۱۷۴)	-فالزهای M_xSi	کیالت
(۱۹۶)	-فالزهای Al_xV	-عنصر آلیاژی، V
(۵۵)	Ni_xAl	-کربن، عنصر آلیاژی
(۷۶)	Ni_xAl	-ترکیب‌های خاکی نادر
(۳۶)	Ti_xAl	Fe_xAl
(۴۹)	$TiAl-$	Fe_xAl_x
(۱۴۳)	کاربردها در خودرو	$FeCo-$
(۱۳۴)	-فالزهای $B\gamma$	$NiAl-$
(۹۵)	-فالزهای پر Be ، رفتار مکانیکی	کرم، عنصر آلیاژکننده
(۱۴۲)	Fe_xAl	-آلومینایدهای تیتانیم
(۷۷)	Ni_xAl	Fe_xAl_x
(۱۲۹)	$NiTi$	Fe_xAl
(۵۲)	$TiAl$	Ni_xAl

مقاومت به اکسایش		(۱۲۵، ۱۱۶، ۹۴)	NiAl -
-آلیازهای Nb-NiAl	Al چند فازه (۵۹)	کم آلیازکننده، عناصر اکسیژن فعال (۱۰۹)	لانتانیم، عنصر کم آلیازکننده (۱۰۹)
-بریلایدها		لایه‌ی سطحی مقاوم به خوردگی،	لایه‌ی سطحی مقاوم به خوردگی،
-کاربردها، دی‌سیلیسایدها		NiAl	NiAl
مقاومت به سولفید شدن، NiAl		(۱۱۲)	ماده‌ی مرکب ابررسانای Nb-Al-Ag (۱۶۶)
مقاومت به سایش			متالورژی شمشی
مقدار ناخالصی، دی‌سیلیسایدها			-ترکیب‌های خاکی نادر
ملاحظات تاریخی		(۱۸۶)	
ملجمه‌ها		(۱۴۲)	Fe _p Al -
ملجمه‌های مسی		(۳۵)	محیط هیدرورژن، آلومیناید‌های تیتانیم
منگنز		(۱۴۱)	محیط‌های اکسیدکننده، Fe _p Al
-عنصر آلیازی، FeCo		(۱۴۱۹)	محیط‌های سولفیدکننده، Fe _p Al
TiAl -			مدارهای مجتمع بسیار بزرگ،
مواد مرکب	(۱۹۹، ۱۸۳، ۱۲۵، ۷۸، ۴۹، ۳۶)	(۱۹۳)	سیلیسایدها
مواد دمای بالا، بریلایدها			مس، عنصر پرآلیازکننده در آلیازهای مغناطیس
مواد نگهدارنده‌ی هیدرورژن		(۱۱۰)	
-ترکیب‌های خاکی نادر			معادله‌ی درن
-فازهای لاآو		(۵۷)	-تری‌لکومیناید نیوبیم Al_pNb
FeTi -		(۹۶)	-خریش نابه جایی
مواد مغناطیسی، ترکیب‌های خاکی نادر (۱۸۶)		(۲۲)	معیار فن میزس
مواد هد مغناطیسی		(۲۹)	Ti _p Al -
-سنداست		(۴)	مغناطیس‌های Co-Sm، کاربردها
-کاربردها		(۱۴۱)	مقاومت به خوردگی
مواد مغناطیسی، فازهای لاآوی فلز		(۱۹)	مقاومت به خرس
واسطه		(۱۰۹)	-آلیازهای پایه‌ی NiAl چند فازه
مواد چندتایی، ترکیب‌های خاکی نادر (۱۸۶)		(۱۹۸)	-دی‌سیلیسایدها
مواد مغناطیسی دائم، آلنیکو	(۴، ۱۳۳)	(۶۶)	مقاومت الکتریکی، Al _p Ni

	نمودارهای فازی	(۱۸۱)	مواد سازه‌ای، بریلایدها
(۴۰)	نمودارهای فازی سه تایی، TiAl	(۱۷۴)	مواد ابررسانا، فازهای لاوه
(۴)	نی‌تینل	(۱۹۳)	موانع شاتکی، سیلیسایدها
	نیتروژن، آلیاژ‌کننده، ترکیب‌های خاکی (۱۸۶)	(۱۹۸، ۴)	موسیلیت، المنت‌های حرارتی برقی
(۱۴۱)	نیکل، عنصر آلیاژی، Fe _x Al		مولیبدن، عنصر آلیاژی
(۵)	نیمه‌هادی‌ها	(۳۹، ۳۳)	-آلومیناید‌های تیتانیم
(۱۹۲)	Mg, Si -	(۱۳۷)	FeCo -
	نیوبیم	(۱۱۶)	NiAl -
(۳۶، ۳۲)	-آلومیناید‌های تیتانیم	(۴۱)	TiAl، نابه‌جایی‌ها
(۱۳۴)	-عنصر آلیاژی، FeCo	(۲۲)	ناخالصی‌ها
(۱۱۰)	-عنصر کم آلیاژ‌کننده		ناخالصی‌های بین نشین، آلومیناید تیتانیم
	وابستگی تنش سیلان به دما، آلومیناید	(۴۹)	TiAl
(۶۹)	نیکل	(۴۵)	نرخ خرش ثانویه، TiAlO
(۱۳۴)	وابستگی شکل پذیری نوع هال- پچ	(۷۱)	Ni _x Al، نرم‌کنندگی
	وابستگی دمایی، تنش سیلان،	(۱۷۶)	نسبت هیدروژن به فلز، ZrV _x (C _{۱۵})
(۶۹)	آلومیناید نیکل	(۱۸۹)	نسبت فلز به سیلیسیم، سیلیسایدها
	وانادیم، عنصر آلیاژی	(۳۸، ۲۵)	نسبت پواسان، آلومیناید‌های تیتانیم
(۱۳۳)	FeCo -	(۱۴۰)	نفوذ پذیری مغناطیسی Fe _x Al
(۴۸، ۳۹)	. TiAl -	(۱۱۳)	نقطه‌ی ذوب، NiAl
	ورقه‌های ویدمن اشتاتن، آلومیناید‌های	(۶۶)	نمودار فازی دوتایی Ni-Al
(۳۲)	تیتانیم	(۹۰)	نمودار فازی Ni-Al-Mn
(۱)	ویژگی‌های برجسته در دمای بالا	(۸۹)	نمودار فازی Ni-Fe-Al
(۱۴، ۵)	ویژگی‌های فیزیکی	(۱۳۳)	نمودار فازی سه تایی Al-Co-Al
(۲۰۰)	-دی سیلیسایدها	(۱۱۴)	نمودار فازی سه تایی Ni-Fe-Al
(۱۴۴)	FeAl -		نمودارهای فازی Fazی Al-Ta-Ti
(۸۵)	NiAl -	(۱۳۹)	نمودارهای فازی دوتایی Fe-Al
	ویژگی‌های ابررساناوی، V _x Ga _y ، ساختار	(۱۳۳)	نمودارهای فازی دوتایی Fe-Co

(۱۹۷)	CrSi، سیلیساید‌های فلز واسطه، ساختار B۲	(۱۶۳)	A۱۵
(۲۰۱، ۱۸۹)	CrSi _x	(۱۲۷)	ویژگی‌های ترمودینامیک، CoAl، عنصر آلیاژی
(۱۵۴)	Cu-Al-Ni	(۱۰۹)	-کم آلیاژ
(۱۱۱)	-آلیاژ‌های نوع الینکو	(۴۶)	TiAl -
(۱۸۲)	-بریلاید‌ها		هدایت حرارتی
(۲۰۰)	-دی سیلیساید‌ها	(۱۱۳)	NiAl -
(۱۹۰)	-سیلیساید‌ها	(۶۶)	Ni _x Al -
(۱۴۴)	Fe _x AlC _x -		هیدروژن کردن
(۱۳۳)	FeCo -	(۱۸۶)	-آلیاژ‌های Nd-Fe-B
(۸۵)	NiAl -	(۱۷۷)	-ترمودینامیک
(۱۸۳)	NiBe -	(۶۲)	Al _x Hf
(۷۶، ۶۸)	Ni _x Al -	(۶۲)	Al _x Mo
(۹۰)	NiAl - چند بلوره	(۶۲، ۵۹)	Al _x Ta
(۳۹)	TiAl -	(۶۲، ۵۲)	Al _x Ti
(۲۸)	Ti _x Al -		Al _x Ti _{۲۵} M _۶
(۳)	تندیس فلزی و نرس، Cu, Sb، Cu _x AlMn، فازهای نوع هیوسler	(۵۵) (۶۲)	-آلیاژ‌های حافظه‌ی شکل Al _x Ti _{۲۵} M _۶
(۱۳۵)	Cu _x SnMn، فازهای نوع هیوسler	(۶۲، ۵۳)	Al _x V
	Fe-Al	(۶۲)	Al _x Sc
(۱۳۹)	-فازها	(۶۲)	Al _x Zr
(۱۲۶)	-فازهای B۲	(۱۳۱)	B۲، ساختار CoHf
(۱۴۴)	-نمودار فازی	(۲۰۲)	CoSi _x
(۱۳۹)	Fe _x Al	(۱۶۸)	A۱۵، ساختار Co _x Si
(۱۴۳)	Fe _x AlC _x ، فازهای مرتبط	(۱۳۱)	B۲، ساختار CoTi
(۱۳۲)	آلیاژ‌های پرمندوز، FeCo	(۸۱)	L1 _۱ ، فازهای Co _x Ti
(۷۸)	Fe _x Ga	(۱۳۱)	B۲، ساختار CoZr

(۵۲)	-تری آلمیناید های تیتانیم، Al_xTi	(۷۸)	$Fe_{\gamma}Ge$
(۶۱)	-تری آلمیناید های، ساختار $L1_2$		$FeSi$
(۲۵)	Ti_xAl -	(۱۹۷)	$B20$
(۳۸)	$TiAl$ -	(۱۹۱)	$Fe_{\gamma}Si$
(۱۹۰)	-سیلیساید	(۲۰۱)	$FeSi_x$
(۴۷)	$TiAl$ -	(۱۳۱)	$FeTi$
(۷۱)	چند بلوره، نرم کنندگی Ni_xAl	(۱۹۷)	$IrSi$
(۶۵)	Ni_xAl		Kanthal Super
	-آلومیناید های نیکل، فازهای	(۱۷۶)	$LaNi$
(۶۵)	مربوطه	(۱۸۷)	$LaNi_x$
	-آلومیناید های تیتانیم، فازهای	(۱۹۲)	Mg-Si-Al، سیستم سه تایی
(۲۵)	مربوطه	(۱۹۲)	Mg_xSi
(۵۶)	-تری آلمیناید های نیویم Al_xNh		$MnSi$
(۵۲)	-تری آلوسیناید های تیتانیم Al_xTi	(۱۹۷)	$B20$
(۵۱)	-تری آلمیناید های، ساختار $L1_2$	(۱۷۸)	$MoFe_x$
(۱۹۰)	-سیلیساید ها	(۱۸۷)	MoCoSi، فازهای لاوهی سه تایی
(۳۸)	$TiAL$ -	(۱۷۸)	$Mo(Co,Si)_x$
(۲۵)	Ti_xAl -	(۱۶۵)	A15، ساختار Nb_xAl
(۱۸۳)	$NiBe$	(۱۸۳)	$NbBe_x$
(۸۰)	$L1_2$ ، فازهای Ni_xFe	(۱۸۳)	Nb_xBe
(۷۸)	Ni_xGa	(۱۷۸)	NbFe، فازهای لاوهی دوتایی
(۷۸)	Ni_xGe	(۱۶۷)	A15، ساختار Nb_xSi
(۷۸)	Ni_xMn	(۱۹۴)	Nb_xSi_x
(۲۰۲)	$NiSi_x$	(۱۶۳)	A15، ساختار Nb_xSn
(۷۹)	$L1_2$ ، فازهای Ni_xSi	(۸۷)	$NiAl$
(۱۲۹)	$NiTi$		-آلومیناید های نیکل، فازهای
(۶۱)	Do _۳ ، فازهای Ni_xV	(۶۵)	مربوطه

(۱۹۵)	Ti _۳ Si _۷	(۱۸۵)	SmCo _۶
(۱۶۲)	A15، ساختار V _۳ Ga	(۱۸۵)	Sm _۷ Co _{۱۷}
(۲۰۱)	VSi _۷	(۱۷۵)	SmFe _۷
(۱۶۰)	A15، ساختار V _۳ Si	(۱۷۸)	فازهای لاوهی دوتایی TaFe _۷
(۱۹۹)	WSi _۷	(۲۰۱)	TaSi _۷
(۸۳)	L1 _۱ ، فازهای Zr _۳ Al	(۱۷۵)	TbFe _۷
(۱۸۴)	ZrBe _{۱۲}	(۴۸)	TiAL
(۱۷۹، ۱۷۶)	ZrCr _۷	(۲۵)	Ti _۷ Al
(۱۷۶)	ZrMn _۷	(۱۸۳)	TiBe _{۱۲}
(۲۰۰)	ZeSi	(۱۷۸، ۱۷۲)	TiCr _۷
(۱۷۶)	ZrV _۷	(۱۷۵)	TiFe _۷
		(۲۰۰)	TiSi _۷



Ferdowsi University of Mashhad

Publication No. 381

INTERMETALLICS

Gerhard Sauthoff

Translated by:

Ali Haerian Ardekani

Mohammad Hossein Hemmati